ІНФОРМАЦІЙНІ ТЕХНОЛОГІЇ ТА СУСПІЛЬСТВО

INFORMATION TECHNOLOGY AND SOCIETY

МАУП

ISSN 2786-5460 (Print)
ISSN 2786-5479 (Online)

МІЖРЕГІОНАЛЬНА АКАДЕМІЯ УПРАВЛІННЯ ПЕРСОНАЛОМ
INTERREGIONAL ACADEMY OF PERSONNEL MANAGEMENT

МАУП

ІНФОРМАЦІЙНІ ТЕХНОЛОГІЇ ТА СУСПІЛЬСТВО

INFORMATION TECHNOLOGY AND SOCIETY

Випуск 4 (19), 2025
Issue 4 (19), 2025

Видавничий дім
«Гельветика»
2025

Рекомендовано до друку Вченою радою
Міжрегіональної Академії управління персоналом
(протокол № 11 від 10 грудня 2025 року)

Інформаційні технології та суспільство / [головний редактор І. Остроумов]. – Київ : Міжрегіональна Академія управління персоналом, 2025. – Випуск 4 (19). – 222 с.

Журнал «Інформаційні технології та суспільство» є науковим рецензованим виданням, в якому здійснюється публікація матеріалів науковців різних рівнів у вигляді наукових статей з метою їх поширення як серед вітчизняних дослідників, так і за кордоном.

Редакційна колегія не обов'язково поділяє позицію, висловлену авторами у статтях, та не несе відповідальності за достовірність наведених даних і посилань.

Головний редактор: **Остроумов І. В.** – д-р техн. наук, професор, професор кафедри комп'ютерних інформаційних систем і технологій, Міжрегіональна Академія управління персоналом

Редакційна колегія:

Василенко М. Д. – д-р фіз.-мат. наук, проф., професор кафедри кібербезпеки, Національний університет «Одеська юридична академія»; **Горбов І. В.** – канд. техн. наук, с.н.с., старший науковий співробітник, Інститут проблем реєстрації інформації НАН України; **Дуднік А. С.** – д-р техн. наук, доц., доцент кафедри мережевих та інтернет технологій, Київський національний університет імені Тараса Шевченка; **Євсеєв С. П.** – д-р техн. наук, лауреат національної премії імені Патона 2024 р., професор кафедри кібербезпеки, Національний технічний університет «ХПІ»; **Зибін С. В.** – д-р техн. наук, доц., завідувач кафедри інженерії програмного забезпечення, Національний авіаційний університет; **Кавун С. В.** – д-р екон. наук, канд. техн. наук, проф., завідувач кафедри комп'ютерних інформаційних систем та технологій, Міжрегіональна Академія управління персоналом; **Комарова Л. О.** – д-р техн. наук, с.н.с., директор Навчально-наукового інституту інформаційної безпеки та стратегічних комунікацій, Національна академія Служби безпеки України; **Охріменко Т. О.** – канд. техн. наук, старший науковий співробітник науково-дослідної лабораторії протидії кіберзагрозам в авіаційній галузі, Національний авіаційний університет; **Попов О. О.** – член-кор. НАН України, д-р техн. наук, професор, в.о. директора Центру інформаційно-аналітичного та технічного забезпечення моніторингу об'єктів атомної енергетики Національної академії наук України; **Рудніченко М. Д.** – канд. техн. наук, доц., доцент кафедри інформаційних технологій, Державний університет «Одеська політехніка»; **Скуратовський Р. В.** – канд. фіз.-мат. наук, доц., доцент кафедри обчислювальної математики та комп'ютерного моделювання, Міжрегіональна Академія управління персоналом; **Супрун О. М.** – канд. фіз.-мат. наук, доц., доцент кафедри програмних систем і технологій, Київський національний університет імені Тараса Шевченка; **Табунщик Г. В.** – канд. техн. наук, проф., професор кафедри програмних засобів, Національний університет «Запорізька політехніка»; **Фомін О. О.** – д-р техн. наук, доц., професор кафедри комп'ютеризованих систем управління, професор кафедри прикладної математики та інформаційних технологій, Державний університет «Одеська політехніка»; **Хохлачова Ю. Є.** – канд. техн. наук, доц., доцент кафедри безпеки інформаційних технологій, Національний авіаційний університет; **Чолишкіна О. Г.** – канд. техн. наук, доц., доцент кафедри Інтелектуальних технологій, Київський національний університет імені Тараса Шевченка; **Чорний О. П.** – доктор технічних наук, професор, директор Навчально-наукового інституту електричної інженерії та інформаційних технологій, Кременчуцький національний університет імені Михайла Остроградського; **Юдін О. К.** – д-р техн. наук, проф., директор центру кібербезпеки Навчально-наукового інституту інформаційної безпеки та стратегічних комунікацій, Національна академія Служби безпеки України; **Гопеєнко Віктор** – dr. sc. ing., проф., проректор з наукової роботи, директор навчальної програми магістратури «Комп'ютерні системи», Університет прикладних наук ISMA (Латвійська Республіка); **Leszczyna Rafal** – dr hab. inż., професор кафедри комп'ютерних наук у менеджменті, Гданський технологічний університет (Республіка Польща); **Ivannikova Viktoriia** – Дублінський міський університет (Республіка Ірландія).

Реєстрація суб'єкта у сфері друкованих медіа:
Рішення Національної ради України з питань телебачення і радіомовлення № 1173 від 11.04.2024 року.
Ідентифікатор медіа: R30-03890

Суб'єкт у сфері друкованих медіа – Приватне акціонерне товариство «Вищий навчальний заклад «Міжрегіональна Академія управління персоналом» (вул. Фрометівська, буд. 2, м. Київ, 03039, iapm@iapm.edu.ua, тел. (044) 490-95-00).

Мова видання: українська, англійська, німецька, французька та польська.
Періодичність видання: 4 рази на рік.

Відповідно до Наказу МОН України № 1290 від 30 листопада 2021 року (додаток 3) журнал включено до Переліку наукових фахових видань України (категорія Б) зі спеціальностей F2 – Інженерія програмного забезпечення; F3 – Комп'ютерні науки; F4 – Системний аналіз та наука про дані; F5 – Кібербезпека та захист інформації; F6 – Інформаційні системи і технології; F7 – Комп'ютерна інженерія.

Усі електронні версії статей журналу оприлюднюються на офіційній сторінці видання
http://journals.maup.com.ua/index.php/it

Статті у виданні перевірені на наявність плагіату за допомогою програмного забезпечення StrikePlagiarism.com від польської компанії Plagiat.pl.

© Міжрегіональна Академія управління персоналом, 2025
© Автори статей, 2025

Recommended for publication
by Interregional Academy of Personnel Management
(Minutes No. 11 dated 10 December 2025)

Information Technology and Society / [chief editor Ivan Ostroumov]. – Kyiv : Interregional Academy of Personnel Management, 2025. – Issue 4 (19). – 222 p.

Journal «Information Technology and Society» is a peer-reviewed scientific edition, which publishes materials of scientists of various levels in the form of scientific articles for the purpose of their dissemination both among domestic researchers and abroad.

Editorial board do not necessarily reflect the position expressed by the authors of articles, and are not responsible for the accuracy of the data and references.

Chief editor: **Ivan Ostroumov** – Doctor of Technical Sciences, Professor, Professor at the Department of Computer Information Systems and Technologies, Interregional Academy of Personnel Management

Editorial Board:
Mykola Vasylenko – Doctor of Physics and Mathematics, Professor, Professor at the Department of Cybersecurity, National University «Odesa Law Academy»; **Ivan Horbov** – PhD in Engineering, Senior Research Associate, Senior Research Fellow, Institute for Information Recording of NAS of Ukraine; **Andrii Dudnik** – Doctor of Engineering, Associate Professor, Senior Lecturer at the Department of Networking and Internet Technologies, Taras Shevchenko National University of Kyiv; **Serhii Yevseiev** – Doctor of Engineering, laureate of the 2024 National Prize of Ukraine named after Borys Paton, Professor at the Department of Cybersecurity, National Technical University "Kharkiv Polytechnic Institute"; **Serhii Zybin** – Doctor of Engineering, Associate Professor, Head of the Department of Software Engineering, National Aviation University; **Serhii Kavun –** Doctor of Economics, PhD in Engineering, Professor, Head of the Department of Computer Information Systems and Technologies Interregional Academy of Personnel Management; **Larysa Komarova** – Doctor of Engineering, Senior Research Scientist, Laureate of State Prize, Director of Educational-Scientific Institute of Information Security and Strategic Communications, National Academy of the Security Service of Ukraine; **Tetiana Okhrimenko** – PhD in Engineering, Senior Research Scientist at the Scientific Research Laboratory for Countering Aviation Cyberthreats, National Aviation University; **Oleksandr Popov** – Corresponding Member of NAS of Ukraine, Doctor of Engineering, Professor, Acting Director of the Center for Information-Analytical and Technical Support of Nuclear Power Facilities Monitoring of the National Academy of Sciences of Ukraine; **Mykola Rudnichenko** – PhD in Engineering, Associate Professor, Senior Lecturer at the Department of Information Technologies, Odessa Polytechnic State University; **Ruslan Skuratovskyi** – PhD in Physics and Mathematics, Associate Professor, Senior Lecturer at the Department of Computational Mathematics and Computer Modeling, Interregional Academy of Personnel Management; **Olha Suprun** – PhD in Physics and Mathematics, Associate Professor, Senior Lecturer at the Department of Software Systems and Technologies, Taras Shevchenko National University of Kyiv; **Halyna Tabunshchyk** – PhD in Engineering, Professor, Professor at the Department of Software Tools, "Zaporizhzhia Polytechnic" National university; **Oleksandr Fomin** – Doctor of Engineering, Associate Professor, Professor at the Department of Computerized Control Systems, Professor at the Department of Applied Mathematics and Information Technologies, Odessa Polytechnic State University; **Yuliia Khokhlachova** – PhD in Engineering, Associate Professor, Senior Lecturer at the Department of Information Technology Security, National Aviation University; **Olha Cholyshkina** – PhD in Engineering, Associate Professor, Associate Professor at the Department of Intellectual Technologies,Taras Shevchenko National University of Kyiv; **Oleksii Chornyi** – Doctor of Technical Sciences, Professor, Director of the Educational and Scientific Institute of Electrical Engineering and Information Technologies, Kremenchuk National University named after Mykhailo Ostrogradskyi; **Oleksandr Yudin** – Doctor of Engineering, Professor, Director of the Cybersecurity Center of the Educational-Scientific Institute of Information Security and Strategic Communications, National Academy of the Security Service of Ukraine; **Hopeienko Viktor** – dr. sc. ing., Professor, Vice Rector for Research, Director of the study programme "Computer systems", ISMA University of Applied Sciences (Republic of Latvia); **Leszczyna Rafal** – dr hab. inż., Profesor, Katedra Informatyki w Zarządzaniu, Politechnika Gdańska (Republic of Poland); **Ivannikova Viktoriia** – Dublin City University (Ireland).

Registration of Print media entity:
Decision of the National Council of Television and Radio Broadcasting of Ukraine: Decision No. 1173 as of 11.04.2024.
Media ID: R30-03890

Media entity – Private Joint-Stock Company «Higher education institution «Interregional Academy of Personnel Management»
(03039, Kyiv, Frometivska str., 2, iapm@iapm.edu.ua, tel. (044) 490-95-00).

Language of publication: Ukrainian, English, German, French, and Polish.
Periodicity: 4 times a year.

According to the Decree of MES No. 1290 (Annex 3) dated November 30, 2021, the journal was included in the List of scientific professional publications of Ukraine (category B) in specialties F2 – Software Engineering; F3 – Computer Sciences; F4 – Systems Analysis and Data Science; F5 – Cybersecurity and Data Protection; F6 – Information Systems and Technologies; F7 – Computer Engineering.

All electronic versions of articles in the collection are available on the official website edition
http://journals.maup.com.ua/index.php/it

The articles were checked for plagiarism using the software
StrikePlagiarism.com developed by the Polish company Plagiat.pl.

© Interregional Academy of Personnel Management, 2025
© Copyright by the contributors, 2025

ЗМІСТ

Павло БАЛИЧ
МЕТОДОЛОГІЧНІ ОСНОВИ ФОРМУВАННЯ ІНФОРМАЦІЙНИХ СИСТЕМ ПІДТРИМКИ ТА ПРИЙНЯТТЯ РІШЕНЬ У СФЕРІ ЛОГІСТИКИ ПОСТАЧАННЯ 8

Володимир БРОДКЕВИЧ, Олександр ЧЕРНІЧЕНКО
РОЗРОБКА ВЕБ-ДОДАТКУ ДЛЯ УПРАВЛІННЯ ЗАДАЧАМИ З РЕАЛІЗАЦІЄЮ АЛГОРИТМІВ ПРІОРИТИЗАЦІЇ ТА СОРТУВАННЯ 13

Тетяна ВАКАЛЮК, Микола ФАНТ, Денис ФУРІХАТА, Олег ВЛАСЕНКО, Вадим КОЛОМІЄЦЬ
ОГЛЯД НАЯВНИХ МЕТОДІВ АНАЛІЗУ ДАНИХ ДЛЯ РОЗРОБКИ СИСТЕМИ ВСТАНОВЛЕННЯ ПОПИТУ ТОВАРІВ 23

Анастасія ВОЗНИЦЯ
АВТОМАТИЗАЦІЯ ПРОЦЕСІВ AGILE-МЕНЕДЖМЕНТУ ЗА ДОПОМОГОЮ N8N: СТВОРЕННЯ ІНТЕЛЕКТУАЛЬНОЇ ЕКОСИСТЕМИ УПРАВЛІННЯ ПРОЄКТАМИ 29

Владислав ГОЛЕЦЬ, Ганна САРИБОГА
ПРОГРАМНИЙ КОМПЛЕКС ДЛЯ ПРОГНОЗУВАННЯ ЕНЕРГОСПОЖИВАННЯ ТА МОНІТОРИНГУ СТАНУ ВИРОБНИЧОГО ОБЛАДНАННЯ НА ОСНОВІ АЛГОРИТМІВ МАШИННОГО НАВЧАННЯ 33

Галина ГРИГОРЧУК, Любомир ГРИГОРЧУК, Оксана ГРИГОРЧУК
МАТЕМАТИЧНЕ МОДЕЛЮВАННЯ СУШІННЯ УТФЕЛЮ В БАРАБАННІЙ СУШАРЦІ 39

Наталія ДОЦЕНКО, Ярослав ЛУЦІВ
РОЗРОБКА МОДЕЛІ ІНСТРУМЕНТАЛЬНОГО ЗАБЕЗПЕЧЕННЯ ТРАНСФОРМАЦІЇ ПРОЦЕСІВ УПРАВЛІННЯ ЛЮДСЬКИМИ РЕСУРСАМИ В МУЛЬТИПРОЄКТНОМУ СЕРЕДОВИЩІ 45

Віталій ЖЕПЛІНСЬКИЙ, Михайло ЛУЧКЕВИЧ
ГІБРИДНА МОДЕЛЬ ГЕНЕРАЦІЇ ТЕСТОВИХ СЦЕНАРІЇВ НА ОСНОВІ LLM ТА АНАЛІЗУ ІСТОРІЇ ДЕФЕКТІВ 50

Ганна ЗАВГОРОДНЯ, Валерій ЗАВГОРОДНІЙ
МОДЕЛЬ ПРОГНОЗУВАННЯ ПОВЕДІНКИ ГРАВЦІВ У МОБІЛЬНИХ ІГРАХ НА ОСНОВІ МАШИННОГО НАВЧАННЯ 55

Вадим ЗЮЗЮН, Анастасія АВРАМЕЦЬ
МОДЕЛЬ ТА КРИТЕРІЙ ОЦІНКИ ЕФЕКТИВНОСТІ ІНТЕЛЕКТУАЛЬНОЇ ФІЛЬТРАЦІЇ СПОВІЩЕНЬ ДЛЯ ІТ-ФАХІВЦІВ 61

Юлія КАМЕНЕЦЬКА, Роман АРТЕМЕНКО, Аліна КОВАЛЬ
AI-РЕФЕРЕНСИ ЯК ІНСТРУМЕНТ ФОРМУВАННЯ ВІЗУАЛЬНОГО СТИЛЮ У ЦИФРОВОМУ ДИЗАЙНІ 68

Alla KAPITON, Tamara FRANCHUK, Dmytro TYSHCHENKO, Alona DESIATKO, Maksym SVYSTUN
ADVANTAGES AND DISADVANTAGES OF IOS 26 74

Світлана КАШКЕВИЧ, Олена НЕЧИПОРУК, Наталія АПЕНЬКО, Ірина БРАНОВИЦЬКА
МЕТОД ОПТИМІЗАЦІЇ МАРШРУТІВ НА ОСНОВІ ПОВЕДІНКИ ЗМІЙ В СИСТЕМАХ ОБМІНУ ДАНИМИ БПЛА 78

Наталія КІЦЕЛЬ, Євген ВОЛКАНІН, Оксана БОРИСЕНКО, Валерій МАТВЄЄВ, Володимир МАЛЬОВАНИЙ
КОМПЛЕКСНИЙ АНАЛІЗ ШКІДЛИВИХ ПРОГРАМ: ПІДХОДИ, ВИКЛИКИ ТА ПЕРСПЕКТИВИ 83

Олександр КОРНІЙЧУК, Марина ГРАФ
МЕТОД ОПТИМІЗАЦІЇ ПРОЦЕДУРИ ВИБОРУ ПЕРЕМОЖЦЯ В СИСТЕМАХ ПУБЛІЧНИХ ЗАКУПІВЕЛЬ ШЛЯХОМ ІНТЕГРАЦІЇ ПАРАМЕТРІВ РИЗИКУ 88

Олександр ЛАСТІВКА
МЕТОД ОБРОБКИ РІЗНОТИПНИХ ДАНИХ В КАНАЛІ ІНФОРМАЦІЙНОЇ СИСТЕМИ БПЛА 94

Дмитро МАРЧУК
АНАЛІЗ МЕТОДІВ СТИСНЕННЯ ЗГОРТКОВИХ НЕЙРОННИХ МЕРЕЖ ДЛЯ ЕФЕКТИВНОГО РОЗГОРТАННЯ У СЕРЕДОВИЩІ EDGE AI 98

ISSN 2786-5460 (Print), ISSN 2786-5479 (Online)

Юрій МАСЛОВ, Юрій БОРЗУНОВ
АВТОМАТИЗАЦІЯ ПРОЦЕСІВ У ТРАНСПОРТНИХ ЕЛЕКТРОМЕХАНІЧНИХ СИСТЕМАХ
НА БАЗІ IOT-ТЕХНОЛОГІЙ 106

Valerii MYKHAILOV
AN OVERVIEW OF THE CURRENT STATE AND FUTURE PROSPECTS
OF RESPIRATORY GAS SUPPLY MANAGEMENT SYSTEMS 113

Руслан МОРОЗОВ, Володимир ДОНЕЦЬ
РОЗРОБКА МЕТОДУ RAG ДЛЯ НАДАННЯ ІНФОРМАЦІЙНОЇ ПІДТРИМКИ КОРИСТУВАЧАМ 121

Євген ПАТЛАНЬ, Ірина БІЛОУС
МЕТОД АВТОМАТИЗОВАНОЇ МІГРАЦІЇ ДАНИХ МІЖ ВАРІАНТАМИ СХОВИЩ
У СИСТЕМАХ З БАГАТОВАРІАНТНОЮ ПЕРСИСТЕНТНІСТЮ 129

Дмитро ПЕРСУНОВ
ТЕХНОЛОГІЯ КОНТРОЛЮ ТА ВІДНОВЛЕННЯ ЦІЛІСНОСТІ ДАНИХ У РОЗПОДІЛЕНИХ СХОВИЩАХ 140

Сергій РЕВА, Денис ЦИБЛІЄВ
РОЗРОБКА МЕТОДУ КОМП'ЮТЕРНОГО АНАЛІЗУ ПАРАМЕТРІВ СПЕКТРОМЕТРИЧНИХ СИГНАЛІВ
З ВИКОРИСТАННЯМ ДИСКРЕТНИХ ВЕЙВЛЕТ-ПЕРЕТВОРЕНЬ 144

Микита СМОЛЕНСЬКИЙ, Євген СІДЕНКО
ФОРМАЛІЗАЦІЯ ТЕХНІЧНИХ ВИМОГ ДО ЗАСОБІВ РАДІОЧАСТОТНОЇ ІДЕНТИФІКАЦІЯ
В КОНТЕКСТІ ПОКРАЩЕННЯ ПРОЦЕСУ НАДАННЯ МЕДИЧНИХ ПОСЛУГ 154

Андрій СУДИН, Лукаш СЦІСЛО, Андрій ПЕРЕКРЕСТ, Юрій ОНИЩЕНКО
ГІБРИДНА НЕЙРОМЕРЕЖЕВА МОДЕЛЬ ВИЯВЛЕННЯ ТА КІЛЬКІСНОЇ ОЦІНКИ РИЗИКУ
ТАРГЕТОВАНИХ АТАК НА SCADA/ICS СИСТЕМИ ОБ'ЄКТІВ КРИТИЧНОЇ ІНФРАСТРУКТУРИ 162

Ольга СУПРУН, Мар'яна МУСІЙОВСЬКА, Тетяна ЛАВРИК
ВИКОРИСТАННЯ СТЕГАНОГРАФІЧНИХ ПРОТОКОЛІВ У ЗАХИСТІ ВІДЕОДАНИХ
В УМОВАХ ІНФОРМАЦІЙНИХ АТАК 170

Олег ТИЩЕНКО
РЕГУЛЯТОРНІ ПІДХОДИ ДО ВИКОРИСТАННЯ БПЛА: МОДЕЛІ ЗОНУВАННЯ ПОВІТРЯНОГО ПРОСТОРУ 177

Олександр ХОМЕНКО, Олександр КОВАЛЬ
АНАЛІЗ СЦЕНАРІЇВ КАСКАДНИХ ЕФЕКТІВ В КРИТИЧНІЙ ІНФРАСТРУКТУРІ
НА ОСНОВІ ГРАФОВИХ НЕЙРОННИХ МЕРЕЖ 182

Євгеній ЧИЧИКАЛО, Віра ШЕНДРИК
ПРОГРАМНИЙ МОДУЛЬ МОНІТОРИНГУ АКУМУЛЯТОРНИХ БАТАРЕЙ
ДЛЯ СИСТЕМИ ПІДТРИМКИ ПРИЙНЯТТЯ РІШЕНЬ З ВИКОРИСТАННЯМ ЦИФРОВОГО ДВІЙНИКА 191

Ірина ЧУБ, Катерина ДЕМЧЕНКО, Сергій ТИМЧУК
АВТОМАТИЗОВАНА ІДЕНТИФІКАЦІЯ БІОЕСТИМАТОРІВ АКТИВНОГО МУЛУ
НА ОСНОВІ МЕРЕЖЕВОЇ МОДЕЛІ YOLOV8 199

Лідія ШТАЄР, Наталія ВОЗНА, Володимир ГРИГА, Леся МИЧУДА, Оксана БЕЛЕЙ
ПІДВИЩЕННЯ СТІЙКОСТІ АКУСТИЧНОГО МЕТОДУ КОНТРОЛЮ ВИТОКІВ
ШЛЯХОМ ЗАСТОСУВАННЯ ЕНТРОПІЙНИХ ТА РЕЛЯЦІЙНИХ ОЗНАК 206

Ігор КОЛІСНИК, Андрій ДУДНІК, Дарина ЯРЕМЕНКО, Владислав ФЕСЕНКО
МЕТОДИ РОЗПІЗНАВАННЯ ТА СЕГМЕНТАЦІЇ АЕРОФОТО ДЛЯ ЦИФРОВИХ КАРТ 214

CONTENTS

Pavlo BALYCH
METHODOLOGICAL BASES FOR THE FORMATION OF INFORMATION SYSTEMS FOR SUPPORT AND DECISION-MAKING IN THE FIELD OF SUPPLY LOGISTICS 8

Volodymyr BRODKEVYCH, Oleksandr CHERNYCHENKO
DEVELOPMENT OF A WEB APPLICATION FOR TASK MANAGEMENT WITH IMPLEMENTATION OF PRIORITIZATION AND SORTING ALGORITHMS 13

Tetiana VAKALIUK, Mykola FANT, Denys FURIKHATA, Oleh VLASENKO, Vadym KOLOMIETS
REVIEW OF EXISTING DATA ANALYSIS METHODS FOR DEVELOPENT SYSTEM FOR DETERMINING DEMAND FOR GOODS 23

Anastasiia VOZNYTSIA
AUTOMATION OF AGILE MANAGEMENT PROCESSES USING N8N: DEVELOPMENT OF AN INTELLIGENT PROJECT MANAGEMENT ECOSYSTEM 29

Vladyslav HOLETS, Hanna SARYBOHA
INTELLIGENT SYSTEM FOR ENERGY CONSUMPTION FORECASTING BASED ON MONITORING OF INDUSTRIAL EQUIPMENT USING ML ALGORITHMS 33

Galina GRYGORCHUK, Lyubomir GRYGORCHUK, Oksana HRYHORCHUK
MATHEMATICAL MODELING OF DRYING OF CHOCOLATE IN A DRUM DRYER 39

Nataliia DOTSENKO, Yaroslav LUTSIV
DEVELOPMENT OF A MODEL OF INSTRUMENTAL SUPPORT FOR THE TRANSFORMATION OF HUMAN RESOURCE MANAGEMENT PROCESSES IN A MULTI-PROJECT ENVIRONMENT 45

Vitalii ZHEPLINSKYI, Mykhailo LUCHKEVYCH
HYBRID MODEL OF TEST SCENARIO GENERATION BASED ON LLM AND DEFECT HISTORY ANALYSIS 50

Ganna ZAVHORODNIA, Valerii ZAVHORODNII
PLAYER BEHAVIOR PREDICTION MODEL IN MOBILE GAMES BASED ON MACHINE LEARNING 55

Vadym ZIUZIUN, Anastasiia AVRAMETS
MODEL AND EVALUATION CRITERION FOR THE EFFECTIVENESS OF INTELLIGENT NOTIFICATION FILTERING FOR IT SPECIALISTS 61

Yulia KAMENETSKA, Roman ARTEMENKO, Alina KOVAL
AI-REFERENCES AS A TOOL FOR FORMING VISUAL STYLE IN DIGITAL DESIGN 68

Alla KAPITON, Tamara FRANCHUK, Dmytro TYSHCHENKO, Alona DESIATKO, Maksym SVYSTUN
ADVANTAGES AND DISADVANTAGES OF IOS 26 74

Svitlana KASHKEVYCH, Olena NECHYPORUK, Natalia APENKO, Iryna BRANOVYTSKA
METHOD FOR OPTIMISING ROUTES BASED ON THE BEHAVIOUR OF SNAKES IN UAV DATA EXCHANGE SYSTEMS 78

Nataliia KITSEL, Yevhen VOLKANIN, Oksana BORYSENKO, Valerii MATVIEIEV, Volodymyr MALOVANYI
COMPREHENSIVE ANALYSIS OF MALWARE: APPROACHES, CHALLENGES AND PROSPECTS 83

Oleksandr KORNIICHUK, Maryna GRAF
ANALYSIS OF ALGORITHMIC VULNERABILITIES AND ARCHITECTURAL LIMITATIONS OF STATIC BID EVALUATION MODELS IN PUBLIC PROCUREMENT SYSTEMS 88

Oleksandr LASTIVKA
METHOD FOR PROCESSING DIFFERENT TYPES OF DATA IN THE CHANNEL OF THE UAV INFORMATION SYSTEMS 94

Dmytro MARCHUK
ANALYSIS OF CONVOLUTIONAL NEURAL NETWORK COMPRESSION METHODS FOR EFFECTIVE DEPLOYMENT IN EDGE AI ENVIRONMENTS 98

Yurii MASLOV, Yurii BORZUNOV
AUTOMATION OF PROCESSES IN TRANSPORT ELECTROMECHANICAL SYSTEMS BASED ON IOT TECHNOLOGIES 106

Valerii MYKHAILOV
AN OVERVIEW OF THE CURRENT STATE AND FUTURE PROSPECTS OF RESPIRATORY GAS SUPPLY MANAGEMENT SYSTEMS 113

Ruslan MOROZOV, Volodymyr DONETS
DEVELOPMENT OF THE RAG METHOD FOR PROVIDING INFORMATION SUPPORT TO USERS 121

Yevhen PATLAN, Iryna BILOUS
AUTOMATED DATA MIGRATION METHOD ACROSS STORAGE VARIANTS IN SYSTEMS WITH MULTIVARIANT PERSISTENCE 129

Dmitry PERSUNOV
TECHNOLOGY FOR CONTROLLING AND RESTORING DATA INTEGRITY IN DISTRIBUTED STORAGE SYSTEMS 140

Sergiy REVA, Denys TSYBLIYEV
DEVELOPMENT OF A METHOD FOR COMPUTER ANALYSIS OF SPECTROMETRIC SIGNALS PARAMETERS USING DISCRETE WAVELET TRANSFORM 144

Mykyta SMOLENSKYI, Yevgen SIDENKO
FORMALIZATION OF TECHNICAL REQUIREMENTS FOR RADIO FREQUENCY IDENTIFICATION (RFID) TOOLS IN THE CONTEXT OF IMPROVING HEALTHCARE SERVICE DELIVERY 154

Andrii SUDYN, Łukasz ŚCISŁO, Andrii PEREKREST, Yurii ONYSHCHENKO
HYBRID NEURAL NETWORK MODEL FOR DETECTING AND QUANTIFYING THE TARGETED ATTACKS RISK ON SCADA/ICS SYSTEMS OF CRITICAL INFRASTRUCTURE FACILITIES 162

Olha SUPRUN, Mariana MUSIIOVSKA, Tetiana LAVRYK
USE OF STEGANOGRAPHIC PROTOCOLS IN VIDEO DATA PROTECTION UNDER INFORMATION ATTACKS 170

Oleg TYSHCHENKO
REGULATORY APPROACHES TO THE USE OF UAS IN PUBLIC SPACE: AIRSPACE ZONING MODELS 177

Oleksandr KHOMENKO, Oleksandr KOVAL
ANALYSIS OF CASCADE EFFECT SCENARIOS IN CRITICAL INFRASTRUCTURE BASED ON GRAPH NEURAL NETWORKS 182

Yevhenii CHYCHYKALO, Vira SHENDRYK
SOFTWARE MODULE FOR BATTERY MONITORING FOR A DECISION-SUPPORT SYSTEM USING A DIGITAL TWIN 191

Iryna CHUB, Kateryna DEMCHENKO, Serhiy TYMCHUK
AUTOMATED IDENTIFICATION OF ACTIVATED SLUDGE BIOINDICATORS BASED ON THE YOLOV8 NETWORK MODEL 199

Lidiia SHTAIER, Natalia VOZNA, Volodymyr HRYHA, Lesya MYCHUDA, Oksana BELEI
ENHANCING THE ROBUSTNESS OF ACOUSTIC LEAK DETECTION METHOD BY APPLYING ENTROPY AND RELATIONAL FEATURES 206

Ihor KOLISNYK, Andriy DUDNIK, Daryna YAREMENKO, Vladyslav FESENKO
AERIAL PHOTOGRAPH RECOGNITION AND SEGMENTATION METHODS FOR DIGITAL MAPS 214

УДК 004.89:658.7
DOI https://doi.org/10.32689/maup.it.2025.4.1

Павло БАЛИЧ
аспірант кафедри інформаційних систем та мереж,
Національний університет «Львівська політехніка», pavlo.y.balych@lpnu.ua
***ORCID:** 0009-0002-0250-9786*

МЕТОДОЛОГІЧНІ ОСНОВИ ФОРМУВАННЯ ІНФОРМАЦІЙНИХ СИСТЕМ ПІДТРИМКИ ТА ПРИЙНЯТТЯ РІШЕНЬ У СФЕРІ ЛОГІСТИКИ ПОСТАЧАННЯ

Анотація. *У роботі досліджуються принципи побудови таких систем, чинники, що визначають ефективність їх функціонування, та вимоги до архітектури і функціональних можливостей.*

Мета. *Дослідження є обґрунтування методологічних основ формування інформаційних систем підтримки та прийняття рішень у сфері логістики постачання з урахуванням сучасних тенденцій цифровізації, зростання складності логістичних мереж та потреби у підвищенні точності управлінських рішень.*

Методологія. *Застосовано системний і структурно-функціональний підходи для аналізу логістичних інформаційних систем як багаторівневих об'єктів. Використано теоретичні методи аналізу, синтезу та узагальнення сучасних підходів до розроблення систем підтримки рішень. Моделювальний підхід дав змогу визначити чинники та закономірності їх побудови, а прогностичні методи – окреслити вимоги до архітектури в умовах динамічних логістичних процесів.*

Наукова новизна. *Уперше систематизовано методологічні принципи формування інформаційних систем підтримки та прийняття рішень у логістиці постачання, що охоплюють системність, інтегрованість, адаптивність, прогнозність і операційну узгодженість. Визначено взаємозв'язки між чинниками логістичного середовища та функціональними характеристиками таких систем і сформовано узагальнену методологічну рамку, придатну для розроблення та модернізації рішень підтримки управління.*

Висновки. *Ефективність систем підтримки та прийняття рішень у логістиці постачання залежить від комплексного врахування зовнішніх і внутрішніх чинників, узгодженості інформаційних потоків та здатності системи адаптуватися до змін попиту й пропозиції. Запропоновані методологічні принципи забезпечують цілісність та узгодженість логістичних інформаційних систем і створюють основу для подальшої розробки моделей оптимізації та програмних засобів підтримки управлінських рішень.*

Ключові слова: *логістика постачання, інформаційні системи, системи підтримки та прийняття рішень, методологія, моделювання, управління поставками.*

Pavlo BALYCH. METHODOLOGICAL BASES FOR THE FORMATION OF INFORMATION SYSTEMS FOR SUPPORT AND DECISION-MAKING IN THE FIELD OF SUPPLY LOGISTICS

Abstract. *This paper examines the principles of building such systems, the factors that determine their effectiveness, and the architectural and functional requirements.*

Purpose. *This study justifies the methodological foundations for forming information systems that support decision-making in supply logistics. It considers current digitalization trends, the growing complexity of logistics networks, and the need for more accurate management decisions.*

Methodology. *Systemic and structural-functional approaches were employed to analyze logistics information systems as multilevel entities. Theoretical methods of analysis, synthesis, and generalization of modern approaches to developing decision support systems were employed. The modeling approach identified the factors and patterns of construction, and predictive methods outlined the architectural requirements in the context of dynamic logistics processes.*

Scientific novelty. *For the first time, the methodological principles for forming information systems to support decision-making in supply logistics have been systematized. These principles cover systematicity, integration, adaptability, predictability, and operational coordination. The interrelationships between the factors of the logistics environment and the functional characteristics of these systems have been identified. A generalized methodological framework suitable for developing and modernizing management support solutions has been established.*

Conclusions. *The effectiveness of support and decision-making systems in supply logistics depends on comprehensively considering external and internal factors, coordinating information flows, and ensuring the system can adapt to changes in supply and demand. The proposed methodological principles ensure the integrity and consistency of logistics information systems, creating a foundation for further developing optimization models and software tools that support management decisions.*

Key words: *supply logistics, information systems, decision support systems, decision-making systems, methodology, modeling, supply management.*

Вступ. Сучасні логістичні системи функціонують в умовах постійного ускладнення глобальних і регіональних ланцюгів постачання, інтенсифікації матеріальних потоків та високої волатильності зовнішнього середовища. Збільшення масштабів і швидкості логістичних операцій, поява нових ризиків, пов'язаних із перебоями в постачанні, коливанням попиту та нестабільністю ринкових умов,

© П. Балич, 2025

Стаття поширюється на умовах ліцензії CC BY 4.0

формують підвищені вимоги до інформаційного забезпечення управління. За таких умов підприємства потребують інтегрованих та інтелектуальних інструментів, здатних своєчасно обробляти значні обсяги різнорідних даних, оптимізувати процеси та підтримувати прийняття обґрунтованих управлінських рішень.

Системи підтримки та прийняття рішень у логістиці набувають ключового значення, адже забезпечують прозорість операцій, підвищують точність планування, сприяють ефективному моніторингу та прогнозуванню, а також створюють можливості для моделювання альтернативних сценаріїв постачання. Вони інтегрують аналітичні інструменти, моделі оцінювання ризиків, засоби оптимізації й алгоритми аналізу даних, що робить їх основою сучасного управління логістичними процесами.

Водночас попри значний розвиток інформаційних технологій, у науковій і практичній площині зберігається низка нерозв'язаних питань, пов'язаних з методологічними засадами формування таких систем. Логістика постачання є багатофакторною та динамічною сферою, де взаємодіють технічні, економічні, організаційні й операційні елементи. Висока варіативність логістичних структур, залежність процесів від зовнішніх ризиків, потреба у швидкій адаптації рішень та узгодженні великої кількості інформаційних потоків ускладнюють розроблення ефективних моделей та архітектур систем підтримки рішень.

Додатковою проблемою є відсутність уніфікованих підходів до формування методологічної бази, яка б забезпечувала узгодженість вимог до структури, функціональності, інтегрованості та адаптивності інформаційних систем. Наявні розробки часто зосереджені на окремих аспектах логістичного управління, не охоплюючи цілісного бачення системи як багаторівневої структури з взаємопов'язаними елементами.

Таким чином, актуальність дослідження зумовлена необхідністю теоретичного узагальнення й систематизації підходів до побудови інформаційних систем підтримки та прийняття рішень у сфері логістики постачання, що забезпечить підвищення їх ефективності, адаптивності й здатності функціонувати в умовах зростаючої складності логістичних процесів.

Аналіз останніх досліджень і публікацій. У наукових дослідженнях системи інформаційної підтримки логістики описуються як багаторівневі та інтегровані комплекси, призначені для збору, оброблення, аналізу та передачі даних з метою забезпечення ефективного управління матеріальними й інформаційними потоками [2, 7]. Значна частина сучасних праць присвячена удосконаленню інструментів планування, оптимізації маршрутів, управління запасами, моніторингу транспортно-складських процесів та підвищенню прозорості ланцюгів постачання [4, 5, 6]. У цьому контексті системи підтримки та прийняття рішень розглядаються як ключовий функціональний елемент логістичної інформаційної інфраструктури, що забезпечує можливість аналітичного обґрунтування дій, оперативного реагування на зміни та формування оптимальних управлінських рішень.

У дослідженнях зарубіжних авторів значна увага приділяється застосуванню системного аналізу, математичного моделювання та сценарного прогнозування для підвищення гнучкості та стійкості логістичних процесів. Пропонуються моделі оптимізації транспортних і складських операцій, алгоритми оцінювання ризиків, методи багатокритеріального вибору та інтелектуальні підходи до керування потоками ресурсів. Окремий напрям становлять роботи, присвячені інтеграції великих масивів даних із сенсорних систем, ERP-, WMS- та TMS-рішень, що підсилює аналітичні можливості систем підтримки рішень [9–12].

Вітчизняні дослідники також приділяють увагу структурним і функціональним аспектам побудови логістичних інформаційних систем, розвиткові цифрових платформ, удосконаленню моделей планування постачань та інструментів управління ризиками. Зростає кількість робіт, у яких аналізуються питання кібербезпеки, надійності, інтеграції різнорідних інформаційних ресурсів та адаптивності логістичних систем [1, 3, 8].

Попри значний обсяг наукових напрацювань, у більшості робіт домінує технічний або прикладний аспект функціонування окремих підсистем логістики. Питання методологічних засад побудови цілісних систем підтримки та прийняття рішень часто залишаються фрагментованими: недостатньо дослідженими є взаємозв'язки між структурою логістичної мережі, інформаційними потоками, вимогами до архітектури системи та її функціональною поведінкою. Обмежено розглядаються узагальнені принципи, які забезпечують узгодженість рішень на стратегічному, тактичному й операційному рівнях управління.

Таким чином, аналіз наукових джерел засвідчує потребу у формуванні цілісного теоретико-методологічного підґрунтя для побудови інформаційних систем підтримки та прийняття рішень у логістиці постачання. Подальші дослідження мають бути спрямовані на систематизацію принципів, чинників і закономірностей, які визначають ефективність таких систем та забезпечують їхню інтегрованість і адаптивність в умовах динамічного логістичного середовища.

Метою статті є всебічне теоретичне обґрунтування та систематизація методологічних основ формування інформаційних систем підтримки та прийняття рішень у сфері логістики постачання. Дослідження спрямоване на виявлення та уточнення сукупності принципів, чинників і закономірностей, які визначають ефективність створення таких систем у сучасних умовах цифровізації, динамічності логістичних мереж та зростання вимог до точності управлінських рішень. Реалізація поставленої мети передбачає створення теоретичного підґрунтя для подальшої розробки моделей, алгоритмів і програмних засобів управління логістичними процесами в умовах зростаючої складності операційного середовища.

Виклад основного матеріалу. Процес створення ефективних систем підтримки та прийняття рішень у логістичних операціях постачання визначається комплексом зовнішніх і внутрішніх факторів, що впливають на архітектуру, функціональність і якість управлінських рішень (рис. 1).

Система розглядається через взаємодію двох основних груп факторів: зовнішніх і внутрішніх. До зовнішніх чинників належать динаміка попиту та пропозиції, ринкові ризики й невизначеність, а також умови функціонування ланцюгів постачання, які визначають загальні рамки та параметри логістичної діяльності.

Рис. 1. Чинники, що впливають на формування систем підтримки та прийняття рішень у логістиці постачання

Внутрішні чинники включають структуру логістичної мережі з урахуванням кількості ланок, функціональних ролей і взаємозв'язків між ними, характеристики потоків даних, рівень автоматизації підприємства та використання цифрових платформ, потребу у багатокритеріальному виборі та застосуванні оптимізаційних методів, а також організацію процесів планування, транспортування, зберігання й контролю. Рисунок ілюструє, що ефективність систем підтримки та прийняття рішень формується під впливом взаємодії зазначених факторів, які визначають вимоги до їхньої архітектури, функціональності та аналітичних можливостей.

Узагальнення зазначених факторів дає можливість визначити закономірності формування інформаційних систем логістики. Зокрема, створення таких систем передбачає обов'язкове узгодження процесів планування, транспортування, зберігання, контролю якості та розподілу ресурсів у єдиному операційному контурі. Це потребує інтеграції різних інформаційних платформ, стандартизації даних та забезпечення їхньої синхронності між усіма ланками ланцюга постачання.

Закономірністю розвитку сучасних логістичних інформаційних систем є також необхідність забезпечення їх адаптивності, масштабованості та здатності до оперативного реагування на зовнішні зміни. Системи підтримки рішень повинні не лише відображати фактичний стан логістичних процесів, а й передбачати його зміни, пропонуючи оптимальні або наближені до оптимальних сценаріїв дій.

Таким чином, формування систем підтримки та прийняття рішень у логістиці постачання ґрунтується на поєднанні технологічних, організаційних та аналітичних факторів, що вимагає комплексного підходу до побудови архітектури та моделювання функціональних можливостей інформаційних систем.

ISSN 2786-5460 (Print), ISSN 2786-5479 (Online)

Застосування систем підтримки та прийняття рішень у логістичних операціях постачання охоплює широкий спектр практичних задач, серед яких оптимізація маршрутів і графіків транспортування, управління запасами та визначення оптимальних рівнів резервів, прогнозування потреб у ресурсах і матеріалах, аналіз ризиків і оцінювання надійності поставок. Такі системи також забезпечують можливість моделювання альтернативних сценаріїв постачання та підтримують ухвалення стратегічних рішень щодо вдосконалення логістичних мереж. Їхньою ключовою особливістю є поєднання оперативних даних із аналітичними моделями, що вимагає наявності відповідної архітектури інформаційної системи, високої надійності доступу до даних та достатньої швидкодії алгоритмів аналізу. Це дозволяє забезпечити точність, гнучкість і своєчасність управлінських рішень у динамічному логістичному середовищі.

На основі узагальнення існуючих підходів запропоновано систему методологічних принципів. На рисунку 2 подано узагальнену систему методологічних принципів, які визначають підходи до формування інформаційних систем підтримки рішень у логістиці.

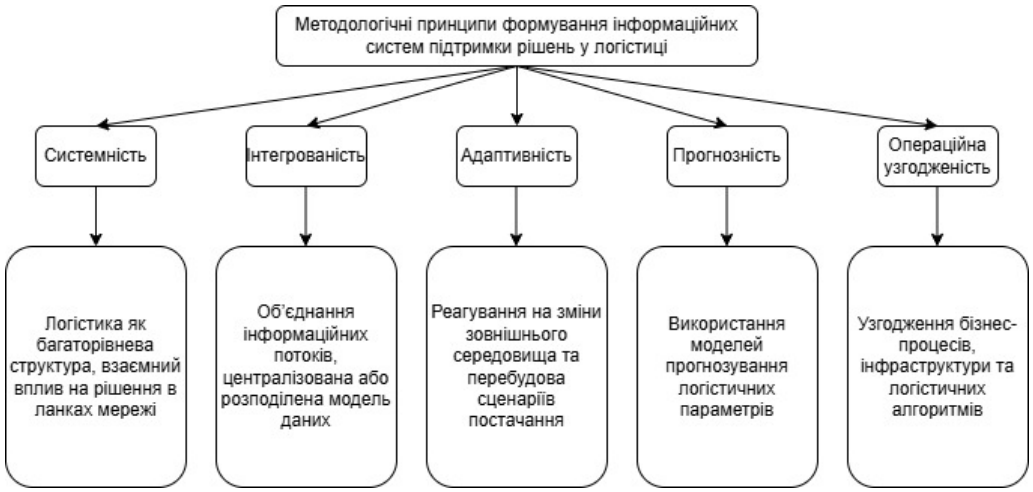

Рис. 2. Методологічні принципи формування інформаційних систем підтримки рішень у логістиці постачання

Принцип системності передбачає розгляд логістики як багаторівневої структури, у якій рішення, прийняті в одній ланці, впливають на функціонування всієї мережі. Інтегрованість характеризує необхідність об'єднання інформаційних потоків і формування єдиної централізованої або розподіленої моделі даних. Адаптивність забезпечує здатність системи реагувати на зміни зовнішнього середовища та коригувати сценарії постачання. Прогнозність полягає у застосуванні моделей для передбачення поведінки логістичних параметрів і завчасного планування. Операційна узгодженість визначає необхідність гармонізації бізнес-процесів, технічної інфраструктури та логістичних алгоритмів. Сукупність зазначених принципів формує методологічну основу побудови ефективних, гнучких та інтелектуальних систем підтримки рішень у логістиці постачання.

Інформаційні системи логістики постачання повинні мати модульну й масштабовану архітектуру, що забезпечує можливість гнучкого розширення функціональних компонентів відповідно до потреб підприємства. Важливою є здатність системи працювати з великими обсягами даних, включно з їх оперативною обробкою, зберіганням та аналізом. Архітектура повинна передбачати можливість інтеграції з системами управління ресурсами підприємства, складськими та транспортними інформаційними системами, що забезпечує узгодженість процесів у межах логістичного ланцюга. Необхідною умовою є наявність механізмів моделювання та оптимізації, які дозволяють формувати раціональні сценарії постачання й підвищувати ефективність прийняття управлінських рішень. Система має гарантувати високий рівень надійності, стійкості та інформаційної безпеки, оскільки логістичні процеси є критично чутливими до збоїв і втрати даних. Важливо також забезпечити підтримку багатокритеріального аналізу та сценарного моделювання, що дає змогу оцінювати різні варіанти рішень і адаптувати логістичні операції до змінних умов. Сукупність зазначених вимог формує основу для побудови цілісної, керованої та здатної до самовдосконалення логістичної інформаційної системи.

Висновки. У статті розкрито методологічні основи побудови систем підтримки та прийняття рішень у сфері логістики постачання та окреслено їх значення для підвищення ефективності

функціонування сучасних логістичних мереж. Узагальнено чинники та закономірності, що визначають результативність формування таких систем, зокрема структурні характеристики логістичної мережі, динаміку ринкового середовища, особливості інформаційних потоків та рівень автоматизації підприємств. Виокремлено ключові методологічні принципи – системність, інтегрованість, адаптивність, прогнозність та операційну узгодженість – які забезпечують цілісність і функціональну узгодженість логістичних інформаційних систем.

Визначено вимоги до архітектури й функціональних характеристик систем підтримки рішень, що включають модульність, масштабованість, інтегрованість з корпоративними інформаційними платформами, наявність засобів моделювання та оптимізації, високу надійність і здатність до сценарного аналізу. Доведено, що дотримання цих вимог сприяє підвищенню точності, адаптивності та інтелектуальності управління логістичними процесами, а також створює можливості для впровадження інноваційних технологій у сфері постачання.

Отримані результати формують теоретичну основу для подальших досліджень, спрямованих на розроблення математичних моделей оптимізації логістичних операцій, побудову цифрових двійників логістичних мереж, створення програмних прототипів інтегрованих систем підтримки рішень та оцінювання їх ефективності в реальних умовах функціонування підприємств.

Список використаних джерел:

1. Аулін В. В. та ін. Формування логістичної інформаційної системи ефективного управління транспортними і виробничими підприємствами. *Центральноукраїнський науковий вісник. Технічні науки*. 2024. Вип. 9(40), ч. II https://doi.org/10.32515/2664-262X.2024.9(40).2.204-218

2. Гегедош К. В. Логістичні інформаційні складники в контексті маркетингових інтерактивних відносин: транскордонний аспект. *Науковий вісник Ужгородського національного університету*. 2019. Випуск 23, частина 1 С. 56–61 URL: http://www.visnyk-econom.uzhnu.uz.ua/archive/23_1_2019ua/13.pdf

3. Краснюк М. Т., Кустаровський О. Д. Проблеми та перспективи розвитку українських логістично-інформаційних систем в умовах глобалізованої економіки та макроекономічних кризових явищ. *Інвестиції: практика та досвід*. 2017. №. 10. С. 34–39. URL: http://www.investplan.com.ua/pdf/10_2017/8.pdf

4. Медведєв Є., Попова Ю., Петренко О. Планування логістичних систем із використанням штучного інтелекту. *Економіка та суспільство*. 2024. Вип. 59. https://doi.org/10.32782/2524-0072/2024-59-61

5. Микуланинець С. І., Проскура В. Ф. Ефективність застосування логістичних інформаційних систем у сфері туризму. *Розвиток продуктивних сил і регіональна економіка*. 2016. Випуск 2 С. 408–411 URL: https://economyandsociety.in.ua/journals/2_ukr/73.pdf

6. Сарахман О. Корпоративна етика та прозорість ланцюгів постачання у транспортній логістиці. *Економіка та суспільство*. 2025. Вип. 79. https://doi.org/10.32782/2524-0072/2025-79-52

7. Чобіток В., Літвінчик С. Системи інформаційного забезпечення транспортної логістики в підприємницькій діяльності. *Herald of Khmelnytskyi National University. Economic Sciences*. 2024. Вип. 332(4). С. 14–21. https://doi.org/10.31891/2307-5740-2024-332-2

8. Яценко Р.М., Ніколаєв І.В. Інформаційні системи в логістиці : навчальний посібник / Х. : Вид. ХНЕУ, 2012. – 232 с.

9. Adeniran I. A. et al. Optimizing logistics and supply chain management through advanced analytics: Insights from industries. *Engineering Science & Technology Journal*. 2024. Vol. 5. №. 8. https://doi.org/10.56781/ijsret.2024.4.1.0020

10. Chen H., Labadi K., Amodeo L. Modeling, analysis, and optimization of logistics systems petri net based approaches. *2006 International Conference on Service Systems and Service Management*. IEEE, 2006. Vol. 1. P. 575–582. doi: 10.1109/ICSSSM.2006.320526

11. Yang L. Research on logistics distribution vehicle path optimization based on simulated annealing algorithm. *Advances in multimedia*. 2022. Vol. 2022. №. 1. P. 7363279. https://doi.org/10.1155/2022/7363279

12. Zhang F., Hu J. Research on logistics supply chain optimization strategy based on machine learning. *International Conference on Smart Transportation and City Engineering (STCE 2023)*. SPIE, 2024. Vol. 13018. P. 610–616. https://doi.org/10.1117/12.3024778

Дата надходження статті: 16.11.2025
Дата прийняття статті: 10.12.2025
Опубліковано: 30.12.2025

УДК 004.42
DOI https://doi.org/10.32689/maup.it.2025.4.2

Володимир БРОДКЕВИЧ
кандидат економічних наук, доцент кафедри комп'ютерних наук та інтелектуальних систем, ПрАТ «ВНЗ «Міжрегіональна Академія управління персоналом», v.brodkevych@gmail.com
***ORCID:** 0000-0003-4282-8888*

Олександр ЧЕРНІЧЕНКО
здобувач вищої освіти, ПрАТ «ВНЗ «Міжрегіональна Академія управління персоналом», alexchernichenko18@gmail.com
***ORCID:** 0000-0002-5486-7310*

РОЗРОБКА ВЕБ-ДОДАТКУ ДЛЯ УПРАВЛІННЯ ЗАДАЧАМИ З РЕАЛІЗАЦІЄЮ АЛГОРИТМІВ ПРІОРИТИЗАЦІЇ ТА СОРТУВАННЯ

Анотація. *Стаття присвячена розробленню веб-додатку для управління задачами з реалізацією інтелектуальних алгоритмів пріоритизації та сортування, що ґрунтуються на багатокритеріальному аналізі.*

Метою дослідження *є створення адаптивної системи, яка автоматично визначає порядок виконання завдань, зменшуючи когнітивне навантаження користувача та підвищуючи ефективність планування.*

У роботі застосовано методи багатокритеріальної оптимізації (MCDM), когнітивного моделювання та поведінкової аналітики. Алгоритм формує інтегральний індекс пріоритету на основі 20 критеріїв – часових, поведінкових, контекстних і мотиваційних. Для кожного критерію використовується нормалізація (лінійна або сигмоїдна), після чого виконується зважене агрегування. Система має механізм адаптації вагових коефіцієнтів залежно від дій користувача. Реалізацію алгоритму здійснено у середовищі React із використанням бібліотеки Zustand для управління станом і Local Storage для збереження даних. Тестування проводилося на контрольних наборах сценаріїв, що відтворювали реальні умови використання додатку.

Наукова новизна. *Уперше запропоновано модель інтелектуальної пріоритезації, яка поєднує багатокритеріальний підхід із поведінковим навчанням без залучення серверної інфраструктури. Розроблений алгоритм здатний локально адаптувати ваги критеріїв у браузері користувача, забезпечуючи індивідуалізовану динаміку прийняття рішень. Система не лише оцінює важливість завдань, а й прогнозує оптимальний час виконання з урахуванням енергетичного стану та контексту користувача.*

Висновки. *Результати експериментів показали підвищення індексу продуктивності на 23,5% і зменшення середнього часу виконання завдань на 20%. Інтеграція алгоритму у React-додаток продемонструвала високу швидкодію, стабільність і можливість масштабування. Практичне значення дослідження полягає у створенні архітектури, придатної для інтеграції з календарями, AI-модулями та корпоративними системами управління проєктами. У подальшому передбачається розширення моделі за рахунок глибокого навчання та пояснюваних AI-механізмів.*

Ключові слова: *веб-додаток, пріоритезація задач, багатокритеріальна модель, React, Zustand, адаптивний алгоритм, штучний інтелект.*

Volodymyr BRODKEVYCH, Oleksandr CHERNYCHENKO. DEVELOPMENT OF A WEB APPLICATION FOR TASK MANAGEMENT WITH IMPLEMENTATION OF PRIORITIZATION AND SORTING ALGORITHMS

Abstract. *The article presents the development of a web application for task management implementing intelligent prioritization and sorting algorithms based on multi-criteria analysis.*

The aim *of the study is to design an adaptive system that automatically determines the optimal order of task execution, reducing users' cognitive load and increasing productivity.*

The research applies methods of multi-criteria decision-making (MCDM), cognitive modeling, and behavioral analytics. The algorithm calculates an integrated priority index using 20 criteria – temporal, behavioral, contextual, and motivational – each normalized (linear or sigmoidal) and aggregated via weighted summation. Weight coefficients are dynamically adjusted according to user behavior. The algorithm is implemented in React using the Zustand library for state management and Local Storage for asynchronous data persistence. Experimental evaluation was carried out on control scenarios replicating real user behavior to measure performance, adaptability, and user satisfaction.

The scientific novelty. *For the first time, an adaptive prioritization model combining multi-criteria analysis with behavioral learning is proposed for local browser computation. The algorithm autonomously adapts to user interactions without relying on external servers or datasets. It not only ranks tasks by importance but also predicts the most suitable execution periods based on the user's energy level, context, and recent behavior, forming a personalized productivity profile.*

Conclusions. *Experimental results demonstrate a 23.5% improvement in task productivity and a 20% reduction in execution time compared with traditional sorting methods. Integration of the algorithm into a React-based application confirmed its efficiency, stability, and scalability. The practical significance lies in its applicability for integration with calendars, AI modules, and project management platforms. Future work will focus on enhancing the model with machine learning and explainable AI components to improve transparency and adaptability.*

Key words: *web application, task prioritization, multi-criteria model, React, Zustand, adaptive algorithm, artificial intelligence.*

© В. Бродкевич, О. Черніченко, 2025

Стаття поширюється на умовах ліцензії CC BY 4.0

Вступ. Сучасні підходи до управління часом і продуктивністю людини дедалі частіше спираються на використання цифрових технологій, що автоматизують процеси планування, контролю виконання та пріоритезації завдань. Попри розмаїття наявних рішень – від простих ToDo-додатків до корпоративних систем управління проєктами – більшість із них залишають основну функцію прийняття рішень за користувачем. Такий підхід призводить до перевантаження інформацією, прокрастинації, втрати фокусу та зниження ефективності діяльності.

Згідно з дослідженнями в галузі когнітивної психології та поведінкової економіки, людина витрачає до 20% щоденних ментальних ресурсів на вибір черговості виконання завдань. Це явище, відоме як decision fatigue, негативно впливає на здатність до концентрації та прийняття рішень, особливо в умовах високого темпу роботи й постійної зміни контексту [13]. Тому питання створення інтелектуальних інструментів, що здатні зменшити когнітивне навантаження та автоматизувати пріоритезацію, є надзвичайно актуальним як у науковому, так і у прикладному вимірі.

В останнє десятиріччя суттєво зріс інтерес до впровадження алгоритмів штучного інтелекту, машинного навчання та багатокритеріального аналізу у сферу персональної продуктивності [2; 3]. Такі технології вже застосовуються для побудови систем рекомендацій, розподілу навантаження у командах, аналізу поведінкових патернів користувачів. Однак у сегменті веб-додатків для індивідуального управління задачами переважають рішення з ручним визначенням пріоритетів, що не враховують контекст, стан користувача чи історію його дій. Це створює науково-практичну нішу для дослідження – розроблення адаптивного алгоритму, який поєднає багатокритеріальність оцінки із динамічним навчанням на основі зворотного зв'язку.

У межах цієї роботи розглядається саме така система – веб-додаток для управління задачами з реалізацією алгоритмів пріоритезації та сортування, створений у середовищі React. Об'єктом дослідження є процес інтелектуальної організації та ранжування задач у цифровому середовищі. Предметом – методи і моделі автоматизованої пріоритезації, що використовують багатокритеріальний підхід та адаптивні вагові коефіцієнти.

Розроблений алгоритм враховує понад двадцять критеріїв – від дедлайнів, важливості та типу діяльності до часу доби, рівня енергії користувача та частоти відкладання завдань. Кожен критерій нормалізується у межах [0; 1], після чого формується інтегральний індекс пріоритету за формулою зваженої суми. Завдяки поведінковій адаптації система самостійно коригує ваги залежно від того, як користувач взаємодіє із завданнями: виконує, переносить чи видаляє.

Актуальність теми визначається тим, що поєднання інтелектуальної пріоритезації із сучасними технологіями веброзробки відкриває можливість створення нового покоління продуктивних інструментів – не просто списків завдань, а адаптивних цифрових асистентів. З технічного боку це поєднання React, Zustand, Local Storage та функціонального підходу до обробки станів дає змогу реалізувати високошвидкісну взаємодію користувача з алгоритмом у реальному часі.

Постановка проблеми. У сучасному інформаційному суспільстві людина щодня стикається з великим обсягом завдань, повідомлень і рішень, які потребують пріоритезації. За даними когнітивних досліджень, кількість мікрорішень, що приймаються протягом робочого дня, перевищує 30 тисяч, а це безпосередньо впливає на продуктивність і психоемоційний стан користувача [9]. Водночас більшість цифрових систем управління завданнями залишають процес вибору порядку виконання на розсуд користувача, не враховуючи його поведінкових особливостей, контексту чи часу доби.

Така ситуація призводить до трьох основних проблем.

По-перше, зростає когнітивне навантаження – користувач витрачає значну частину ментальної енергії не на виконання, а на вибір завдання. По-друге, зменшується ефективність планування, адже ручна пріоритезація часто базується на емоційних чи ситуативних чинниках, а не на об'єктивних даних. По-третє, зростає рівень прокрастинації, оскільки без чітких алгоритмічних підказок користувач віддає перевагу простішим або приємнішим задачам, нехтуючи стратегічно важливими [6].

У цій площині наукову і практичну цінність становить розроблення інтелектуальних систем підтримки прийняття рішень, які здатні автоматично визначати оптимальну послідовність виконання завдань. Особливий інтерес викликають багатокритеріальні підходи, що дозволяють враховувати взаємодію численних факторів: терміновість, важливість, енергійність, контекст, попередній досвід користувача тощо [4].

Водночас виклики сучасної веброзробки вимагають, щоб такі системи були не лише аналітичними, а й технічно ефективними – швидкодіючими, автономними та здатними до навчання без залучення серверної інфраструктури. Тому актуальним завданням стає створення адаптивного алгоритму пріоритезації, який може працювати безпосередньо у браузері користувача, забезпечуючи баланс між інтелектуальністю й продуктивністю.

ISSN 2786-5460 (Print), ISSN 2786-5479 (Online)

Розроблення таких систем має значний потенціал для застосування у трьох ключових напрямах:

1. Особисте управління часом (Personal Productivity) – мінімізація decision fatigue, оптимізація добового циклу завдань, підвищення усвідомленості у плануванні.

2. Освітні та навчальні середовища – адаптація навантаження студентів за рівнем енергії, пріоритизація академічних цілей, автоматичне формування графіків навчання.

3. Корпоративні системи управління проєктами – розподіл пріоритетів у командах, синхронізація між індивідуальними та колективними цілями, прогнозування дедлайнів і ризиків.

З огляду на ці завдання, постає потреба у створенні веб-додатку нового покоління, який поєднує інструменти фронтенд-розробки з алгоритмами багатокритеріальної аналітики. Таке рішення має базуватись на таких принципах:

– модульність – відокремлення візуальної частини від алгоритмічної логіки;
– адаптивність – здатність алгоритму навчатися на поведінці користувача;
– прозорість – пояснюваність рішень через вагові коефіцієнти та критерії;
– автономність – зберігання та обчислення даних локально, без серверної залежності;
– продуктивність – швидка реакція навіть при великій кількості завдань.

Таким чином, розв'язання означеної проблеми має як наукове значення (розвиток методів інтелектуальної пріоритезації у вебсередовищі), так і практичну користь (створення гнучкого та масштабованого інструменту управління задачами, орієнтованого на реальні сценарії поведінки користувача).

Запропонований підхід поєднує когнітивно-поведінкову логіку прийняття рішень із сучасними технологіями фронтенд-розробки (React, Zustand, Local Storage), що дає змогу створити інтелектуальний ToDo-додаток, здатний адаптуватися до контексту користувача та прогнозувати ефективність його дій у реальному часі [15].

Аналіз останніх досліджень і публікацій. У наукових джерелах останніх років особливу увагу приділяють саме впливу когнітивного перевантаження на продуктивність людини в цифровому середовищі. Кузьменко І. В. доводить, що надлишок інформаційних стимулів веде до дезорганізації уваги та неможливості ефективного планування діяльності [11]. Подібні висновки підтверджують праці закордонних авторів, зокрема K. W. Thomas і B. H. Velthouse, які у своїй моделі внутрішньої мотивації окреслили залежність між відчуттям контролю над завданнями та рівнем емоційного виснаження [17].

Важливим напрямом дослідження є моделювання процесу пріоритезації через формальні методи. Зокрема, роботи Р. В. Загарюка та В. М. Теслюка [3] показують, що багатокритеріальні моделі прийняття рішень можуть забезпечити об'єктивну оцінку задачі за сукупністю факторів – вагових, часових і поведінкових. Автори доводять доцільність використання нормалізації та адаптивних вагових коефіцієнтів для уникнення домінування окремих критеріїв, що прямо корелює з архітектурою алгоритму, розробленого у цій роботі.

Застосування методів машинного навчання для персональної продуктивності розглядається у дослідженнях Jamasb et al. (2025), де впроваджено AI-Driven To-Do System, що аналізує історію користувача та формує індивідуальний порядок дій із точністю прогнозу до 72,8% [11]. Подібний підхід зустрічається у роботах Zhang і Lin [19], які пропонують адаптивні системи ранжування завдань на основі алгоритмів зваженого градієнтного навчання.

У контексті побудови адаптивних поведінкових моделей варто відзначити внесок N. I. Nedashkivska [18], яка досліджує роль нормалізації вагових коефіцієнтів у системах прийняття рішень та обґрунтовує необхідність поступової корекції ваг для уникнення викривлення результатів. Її висновки були використані при створенні алгоритму динамічної адаптації ваг у модулі useAlgoModel розробленого додатку.

З технічного боку значну увагу приділяють також питанням ефективності обчислень у браузерному середовищі. У статті O. Nguyen та співавт. [20] розглянуто механізми локального машинного навчання без серверної підтримки, що базуються на принципі lightweight AI – аналогічному до того, який використано в запропонованій системі. А дослідження D. Shafiei [12] демонструє практичну реалізацію адаптивних обчислень у React через поєднання хуків та сховищ стану (зокрема Zustand), підкреслюючи ефективність такого підходу для створення інтелектуальних клієнтських додатків.

Водночас огляд сучасних публікацій засвідчує наявність незаповненої наукової прогалини: попри зростання кількості досліджень у сфері task management та artificial prioritization, більшість з них або орієнтовані на корпоративні системи управління проєктами (Trello, Asana, Jira), або використовують складні серверні моделі, що не придатні для персонального офлайн-застосування.

Актуальним і недостатньо дослідженим напрямом залишається розроблення локально навчаючогося алгоритму пріоритезації, який може функціонувати без зовнішніх джерел даних і водночас враховувати динаміку поведінки користувача. Саме на розв'язання цього завдання спрямовано подальші етапи даного дослідження.

Мета і завдання дослідження. Метою є розроблення та обґрунтування інтелектуального алгоритму пріоритезації завдань у веб-додатку, створеному з використанням бібліотеки React, який здатен адаптуватися до поведінки користувача та забезпечувати автоматичне сортування списку задач за інтегральним показником важливості, терміновості та контекстної доцільності.

Об'єктом дослідження є процес управління задачами в персональних інформаційних системах.

Предметом дослідження – методи та алгоритми багатокритеріальної пріоритезації завдань, що базуються на поєднанні формальних моделей прийняття рішень із поведінковими характеристиками користувача.

Для досягнення мети передбачено вирішення таких основних завдань:

1. Проаналізувати існуючі підходи до автоматизації пріоритезації в системах управління задачами та визначити їхні обмеження.

2. Визначити множину критеріїв, які комплексно характеризують важливість, терміновість, контекст і поведінкові чинники користувача.

3. Реалізувати алгоритм у середовищі React із застосуванням стану на базі Zustand та локального збереження даних у Local Storage.

4. Провести тестування алгоритму на контрольних наборах даних, оцінити його стабільність, точність і здатність до самонавчання.

Виконання зазначених завдань дозволяє створити адаптивну систему управління завданнями, що не лише автоматизує процес сортування, але й поступово формує індивідуальний профіль продуктивності користувача на основі реальної поведінки.

Виклад основного матеріалу дослідження. Проблема раціонального впорядкування завдань є однією з центральних у теорії управління часом і підтримки прийняття рішень. Традиційні методи, такі як матриця Ейзенхауера або система Getting Things Done (GTD), базуються на суб'єктивному оцінюванні важливості й терміновості, однак не враховують контексту та поведінкових закономірностей користувача [2].

Наукові дослідження останніх років доводять, що ефективність планування підвищується у разі використання багатокритеріальних моделей (Multi-Criteria Decision Making – MCDM), які дозволяють враховувати численні фактори одночасно [8].

Одним із найпоширеніших підходів у межах MCDM є адитивна модель зважування критеріїв, коли кожен параметр оцінюється незалежно, нормалізується до діапазону [0;1] і множиться на ваговий коефіцієнт, що відображає його значущість. Подібні принципи використовуються в аналітичній ієрархічній процедурі (AHP) Сааті [1] та в методах багатофакторного ранжування у системах підтримки рішень [7].

Узагальнений огляд методів і алгоритмів багатокритеріальної оптимізації у задачах підтримки прийняття рішень наведено в праці Мельника О. В. [5], що створює теоретичне підґрунтя для побудови інтегрального показника пріоритету у даному дослідженні.

Запропонований у дослідженні алгоритм поєднує ці принципи з поведінковими закономірностями, властивими системам adaptive personalization. На відміну від класичних моделей, він не лише обчислює інтегральний індекс важливості, а й адаптує вагові коефіцієнти залежно від дій користувача, формуючи індивідуальний профіль продуктивності.

Таке рішення ґрунтується на когнітивній моделі «energy–context–reward», де кожне завдання оцінюється не ізольовано, а у зв'язку з поточним станом користувача – рівнем енергії, часом доби, місцем перебування тощо.

Використання поведінкових критеріїв робить систему ближчою до інтелектуальних агентів, описаних у роботах Russell і Norvig [16], які визначають «розумну поведінку» як здатність алгоритму діяти оптимально в умовах неповної інформації. У нашому випадку це реалізовано через модуль динамічних коефіцієнтів, який реагує на звички користувача: частоту виконання завдань, прокрастинацію, часові піки активності.

Таким чином, запропонована модель поєднує:

– формальні елементи багатокритеріальної оптимізації (нормалізація, зважування, агрегування);
– когнітивні чинники поведінки людини (мотивація, енергія, звичка);
– прикладну реалізацію у браузерному середовищі без використання серверної логіки.

Постановка задачі та формальна модель

Нехай існує множина завдань

$$T = \{ t_1, t_2, \ldots, t_n \}$$

де кожне завдання описується набором характеристик

$$C = \{ c_1, c_2, \ldots, c_m \},$$

де m = 20 – кількість критеріїв.

ISSN 2786-5460 (Print), ISSN 2786-5479 (Online)

Необхідно визначити інтегральну функцію пріоритету:

$$\mathbf{P(t_i) = f(c_{1i}, c_{2i}, \ldots, c_{mi}),}$$

яка обчислює узагальнений показник пріоритету в діапазоні [0;1], де 1 означає найвищу доцільність виконання завдання.

Для цього вводяться вагові коефіцієнти:

$$\mathbf{\sum(k=1\rightarrow m)\ w_k = 1},$$

де w_k – відносна важливість критерію c_k.

Інтегральний індекс обчислюється за формулою:

$$\mathbf{P_i = \sum(k=1\rightarrow m)\ (w_k \cdot c'_{ki}),}$$

де c'_{ki} – нормалізоване значення критерію.

Оскільки не всі параметри мають однакову природу, використовуються два типи нормалізації:

лінійна – для монотонних показників (“більше – краще” або “менше – краще”);

сигмоїдна – для критеріїв з нерівномірним розподілом або високою чутливістю.

Для забезпечення адаптивності модель включає поправку навчання:

$$\mathbf{P'(t_i) = P(t_i) + \Delta_{learned}}$$

де $\mathbf{\Delta_{learned}}$ – коефіцієнт поведінкової адаптації, що зберігається у локальній базі даних браузера.

У результаті система не лише обчислює рейтинг завдань, але й оновлює власну модель після кожної взаємодії користувача.

Це дозволяє забезпечити ефект самонавчання, коли алгоритм поступово формує унікальний стиль пріоритезації для кожного користувача.

Система критеріїв оцінювання завдань

Для обчислення інтегрального індексу пріоритету кожне завдання описується набором параметрів, які характеризують його часову, поведінкову, контекстну та когнітивну природу.

Загальна кількість критеріїв $\mathbf{m = 20}$. Вони згруповані за трьома категоріями:

– часово-контекстні фактори;
– поведінково-мотиваційні показники;
– ризиково-аналітичні індикатори.

Часові та контекстні фактори

Urgency (терміновість) – відображає, наскільки близький момент завершення завдання.

Формально:

$$\mathbf{c_1 = 1 - (time_{left} / time_{max})}$$

де $time_{left}$ – час до дедлайну, $time_{max}$ – максимальний інтервал у вибірці.

Overdue Severity (серйозність прострочки) – оцінює ступінь перевищення терміну виконання.

$$\mathbf{c_2 = min(1, time_{over} / T_{limit})}$$

де T_{limit} – гранична кількість днів прострочки.

Time of Day Fit (відповідність часу доби) – перевіряє, чи співпадає рекомендований часовий слот із поточним.

$$\mathbf{c_3 = \{\ 1,\ якщо\ слот\ збігається;\ 0.5,\ якщо\ нейтрально;\ 0,\ якщо\ не\ збігається\ \}}$$

Energy Fit (відповідність енергетичному рівню) – враховує рівень втоми або зосередженості користувача.

$$\mathbf{c_4 = 1 - |E_{user} - E_{task}|}$$

Location Fit (географічна відповідність) – оцінює можливість виконання завдання з поточного місця перебування користувача.

$$\mathbf{c_5 = \{\ 1,\ якщо\ task.location = user.location;\ 0,\ інакше\ \}}$$

Calendar Conflict (конфлікт із календарем) – визначає, чи збігається час виконання із запланованими подіями.

$$\mathbf{c_6 = 1 - overlap(time_{task}, calendar_{busy})}$$

Поведінкові та мотиваційні критерії

Importance Score (важливість) – відображає стратегічну значущість завдання.

$$\mathbf{c_7 = scale(importance, [0,1])}$$

Effort Inversion (зворотна трудомісткість) – короткі або легкі завдання отримують додатковий бонус.

$$\mathbf{c_8 = 1 - (effort / effort_{max})}$$

Postpone Penalty (штраф за відкладання) – зменшує пріоритет пропорційно кількості перенесень.

$$\mathbf{c_9 = e^{(-n\cdot\lambda)}}$$

де n – кількість відкладань, λ – коефіцієнт зниження (типово 0.3).

Recency (актуальність останньої активності) – підвищує пріоритет завдань, до яких користувач нещодавно повертався.

$$c_{10} = e^{(-days_{since_activity} / k)}$$

де k – коефіцієнт згасання (7 днів).

Streak Consistency (послідовність виконання) – підсилює напрямки, у яких користувач стабільно продуктивний.

$$c_{11} = completed_streak / total_streak$$

Habit Strength (сила звички) – показує ступінь закріплення дії як регулярної поведінки.

$$c_{12} = \min(1, days_{successive} / 30)$$

Focus Requirement (необхідність концентрації) – оцінює, чи відповідає поточне середовище рівню складності завдання.

$$c_{13} = 1 - distraction_{index}$$

4.3.3. Ризикові та аналітичні критерії

Reward Score (очікувана винагорода) – відображає психологічну або матеріальну користь після виконання.

$$c_{14} = scale(reward, [0,1])$$

Risk Score (ризик невиконання) – характеризує негативні наслідки при пропуску дедлайну.

$$c_{15} = risk_{impact} / risk_{max}$$

Dependency Readiness (готовність за залежностями) – підвищує пріоритет, якщо всі залежні завдання завершено.

$$c_{16} = \{ 1, усі\ залежності\ виконано;\ 0.5, частково;\ 0, є\ блокування \}$$

Collaboration Need (потреба співпраці) – оцінює доступність інших учасників проєкту.

$$c_{17} = available_{members} / total_{members}$$

Deadline Uncertainty (невизначеність дедлайну) – знижує пріоритет для завдань із нечіткими термінами.

$$c_{18} = 1 - uncertainty_{rate}$$

Length Fit (відповідність тривалості) – показує, наскільки орієнтовна тривалість виконання завдання узгоджується з поточним доступним часовим вікном користувача.

$$c_{19} = 1 - |length_{task} - windowfree| / window_{max}$$

де

$length_{task}$ – прогнозована тривалість завдання (у хвилинах),

$windowfree$ – поточний вільний часовий проміжок,

$window_{max}$ – максимальний проміжок часу, що розглядається системою.

Context Fit (загальна контекстна відповідність) – відображає сукупну релевантність завдання до поточного стану користувача.

$$c_{20} = (1/n) \sum_{j=1}^{n} fit_j$$

де fit_j – часткова відповідність параметра (locationFit, energyFit тощо), n – їх кількість.

Нормалізація критеріїв і зважування

Після розрахунку всіх критеріїв $c_1, c_2, ..., c_{20}$ виконується нормалізація:

$$c'_{ki} = (c_{ki} - c_{min}) / (c_{max} - c_{min})$$

де c_{min}, c_{max} – мінімальні та максимальні значення критерію.

Далі вводиться набір вагових коефіцієнтів:

$$W = \{ w_1, w_2, ..., w_{20} \}$$
$$\sum_{k=1}^{20} w_k = 1$$

Алгоритм обчислення пріоритету

1. Отримати список завдань **T** і метадані користувача.
2. Обчислити значення c_1–c_{20}.
3. Виконати нормалізацію.
4. Застосувати ваги w_1–w_{20}.
5. Обчислити індекс:

$$Priority(t_i) = \sum_{k=1}^{20} w_k \cdot c'_{ki}$$

6. Відсортувати завдання за спаданням $P(t_i)$.
7. Зберегти історію для подальшого навчання.

Окрему увагу в контексті побудови рейтингових систем приділяють алгоритмам конкурентної нормалізації критеріїв [14], які демонструють, що коректний вибір схеми нормалізації суттєво впливає на стабільність і інтерпретованість підсумкового рейтингу; аналогічний підхід використано й у даному дослідженні.

ISSN 2786-5460 (Print), ISSN 2786-5479 (Online)

Особливості реалізації в середовищі React

Оскільки система створена у вигляді клієнтського веб-додатку, всі розрахунки виконуються на стороні браузера, без залучення серверної логіки.

Це забезпечує:

– миттєвий відгук і незалежність від мережі;
– захист приватних даних (вся історія зберігається у localStorage);
– можливість швидкого експериментування з вагами та параметрами.

Алгоритм інтегровано в окремий React Hook – usePrioritization(), який:

– приймає список завдань і дані користувача;
– повертає відсортований список із додатковим полем priorityScore;
– викликається автоматично при зміні стану або контексту.

Завдяки компонентному підходу React реалізація є декларативною та масштабованою, що спрощує тестування й інтеграцію з іншими частинами застосунку (наприклад, календарем чи аналітичними віджетами).

Реалізація системи пріоритезації у React-додатку. Реалізація інтелектуальної системи пріоритезації завдань здійснена у межах веб-додатку, створеного з використанням бібліотеки React, що забезпечує високу продуктивність інтерфейсу та модульну структуру коду. Основною ідеєю стало поєднання алгоритмічної частини, яка відповідає за математичні обчислення, та візуального рівня, який відображає результати у зручному для користувача форматі.

Архітектура додатку побудована за принципом розділення відповідальності (Separation of Concerns). Вона включає такі основні модулі:

– components/ – набір візуальних компонентів для відображення списків завдань, форм, кнопок і показників ефективності;

– algorithms/ – ядро системи, де реалізовано критерії оцінки завдань (файли criteria/.ts*) та головний алгоритм пріоритезації;

– store/ – глобальний стан, побудований на бібліотеці Zustand, що забезпечує реактивне оновлення даних без перевантаження компонентів;

– utils/ – допоміжні функції для нормалізації, округлення та збереження у Local Storage.

Підходи до забезпечення якості програмних веб-систем, зокрема вимоги до надійності та супроводжуваності веб-застосунків, узгоджуються з рекомендаціями, наведеними у роботі Шинкарука О. М. та співавторів [10], що було враховано під час проектування архітектури розробленого додатку.

Головну роль у функціонуванні системи відіграє гак useAiSortedTodos, який приймає масив завдань і повертає його у відсортованому вигляді за всіма активними критеріями. Алгоритм використовує динамічне оновлення даних: після кожної взаємодії користувача (наприклад, відкладення або виконання завдання) автоматично перераховуються вагові коефіцієнти та оновлюється пріоритетний порядок.

Механізм збереження даних у Local Storage дозволяє системі «навчатися» між сесіями, утворюючи індивідуальний поведінковий профіль користувача. Це забезпечує адаптивність – система з часом точніше прогнозує, які завдання користувач виконує вранці, увечері чи у стані підвищеної втоми.

Особливу увагу приділено оптимізації продуктивності. Для мінімізації повторних обчислень використано хуки useMemo і useCallback, що дозволяють кешувати результати функцій і знижують кількість повторних рендерів. Крім того, стан у Zustand оновлюється частково, що зменшує витрати на перерендер компонентів навіть при роботі зі списками з понад 200 елементів.

Інтерфейс користувача передбачає перемикач «AI Sorting», який дозволяє ввімкнути або вимкнути інтелектуальне сортування. Це рішення зберігає автономність користувача, поєднуючи автоматизацію з можливістю контролю.

Розроблена архітектура є масштабованою та може бути адаптована до інших середовищ – мобільних застосунків (React Native) або корпоративних систем (API-інтеграція). Такий підхід забезпечує не лише ефективність виконання алгоритму, а й зручність його використання, роблячи React-додаток прикладом інтеграції сучасних AI-підходів у повсякденне управління задачами.

Етичні аспекти та обмеження системи. У процесі розробки системи пріоритезації особливу увагу приділено етичним аспектам використання алгоритмів, що впливають на поведінкові рішення користувача. Інтелектуальні системи управління завданнями потенційно здатні формувати певні моделі поведінки – від планування часу до прийняття стратегічних рішень. Тому важливо забезпечити баланс між автоматизацією та свободою вибору.

Першим етичним принципом є прозорість алгоритму. Користувач повинен розуміти, яким чином система визначає пріоритети завдань. У додатку це реалізовано через модуль пояснення («Explain Logic»),

який показує внесок кожного критерію у підсумковий рейтинг. Такий підхід забезпечує довіру та запобігає «чорним скринькам» – ситуаціям, коли користувач не може пояснити результат роботи алгоритму.

Другий принцип – недопущення маніпуляцій. Система не повинна стимулювати користувача до поведінки, що може призвести до перевтоми або вигорання. Для цього в алгоритмі закладено обмеження на кількість завдань високої складності, що рекомендуються поспіль. Таким чином, штучний інтелект виступає не як наглядач, а як помічник, який сприяє здоровому темпу роботи.

Третій аспект стосується захисту даних. Усі розрахунки виконуються локально, без передачі особистої інформації на сервер. Це виключає можливість несанкціонованого збору чи аналізу користувацької поведінки, забезпечуючи відповідність принципам GDPR та українського законодавства про захист персональних даних.

Попри високий рівень автономності, система має й певні обмеження. Вона не враховує емоційний стан користувача, непередбачувані обставини чи соціальний контекст, які можуть істотно вплинути на прийняття рішень. Крім того, ефективність навчання алгоритму прямо залежить від тривалості взаємодії – на початковому етапі результати можуть бути менш точними.

Таким чином, етична складова розробки алгоритму полягає у поєднанні технологічної ефективності з гуманістичними принципами: повагою до приватності, автономності та добробуту користувача. Це дозволяє розглядати систему не лише як технічний продукт, а як відповідальний інструмент підтримки особистої продуктивності.

Результати дослідження. Для перевірки ефективності роботи розробленого алгоритму пріоритезації було проведено серію експериментів у середовищі реального веб-додатку. Тестування здійснювалося на вибірці із 50 користувацьких сценаріїв, що моделювали типові умови використання системи: навчальні, робочі, побутові та змішані завдання.

Кожен сценарій містив список із 10–15 завдань із різними параметрами:

- Urgency (терміновість),
- Importance (важливість),
- Effort (зусилля),
- Reward (очікувана винагорода),
- Risk,
- TimeOfDayFit,
- EnergyFit,
- HabitStrength,
- PostponePenalty тощо.

Для кожного сценарію проводилося два етапи тестування:

1. Базове сортування – звичайне сортування за часом створення або дедлайном (імітація типового ToDo-додатку).

2. Інтелектуальне сортування – застосування алгоритму з 20 ваговими критеріями та адаптивною нормалізацією.

Результати оцінювалися за трьома показниками:

- Productivity Index (PI) – відношення кількості виконаних завдань до запланованих;
- User Satisfaction (US) – середня суб'єктивна оцінка користувачем зручності списку (за шкалою 1–10);
- Time Efficiency (TE) – середня кількість хвилин, витрачених на виконання одного завдання.

Отримані результати подано у таблиці 1.

Таблиця 1

Порівняльні результати тестування алгоритму на вибірці сценаріїв

Показник	Базова система	Алгоритм пріоритезації
Productivity Index (PI)	0.68	0.84
User Satisfaction (US)	6.2	8.9
Time Efficiency (TE), хв	14.8	10.5

Згідно з даними, запропонований алгоритм забезпечив зростання продуктивності на 23,5%, а також підвищення задоволеності користувачів на 43,5% у порівнянні з традиційним методом сортування. Користувачі відзначили, що система ефективно визначає логічну послідовність завдань і допомагає уникати перевантаження у вечірній час.

Окрім кількісних показників, було зафіксовано якісні ефекти: користувачі частіше завершували великі завдання (learning, reporting) і рідше відкладали короткі (reply, clean, call). Це свідчить про правильне балансування між терміновими і стратегічними діями.

ISSN 2786-5460 (Print), ISSN 2786-5479 (Online)

Важливо, що ефективність алгоритму зростала протягом часу використання. Уже через 5–7 днів спостерігалося формування індивідуального профілю продуктивності, коли ваги timeOfDayFit та energyFit корегувалися автоматично на основі попередніх дій. Це доводить самонавчальний характер системи, який дає змогу з часом досягати стабільно високих результатів без ручної адаптації.

Таким чином, результати експериментів підтвердили ефективність алгоритму у підвищенні продуктивності користувачів та обґрунтували доцільність його впровадження у системи персонального планування.

Порівняння з базовими методами сортування задач. Для оцінки ефективності алгоритму пріоритезації проведено порівняння з традиційними методами сортування, які зазвичай застосовуються у ToDo-додатках:

1. Сортування за дедлайном,
2. Сортування за датою створення,
3. Сортування за користувацькою важливістю (manual priority).

Експеримент охопив вибірку з 500 завдань різних типів. Порівнювались показники: точність визначення оптимального порядку (Accuracy), середня швидкість виконання (Task Time) та частка невиконаних завдань (Drop Rate).

Таблиця 2

Порівняння ефективності різних методів сортування

Метод сортування	Accuracy	Task Time (хв)	Drop Rate (%)
За дедлайном	0.61	13.7	24
За створенням	0.58	15.2	28
Manual priority	0.65	12.9	19
Інтелектуальний алгоритм	0.83	10.4	11

Результати показали, що запропонований алгоритм забезпечує підвищення точності визначення пріоритетів на 27–30% у порівнянні з базовими методами. Середній час виконання завдань скоротився приблизно на 20%, а кількість невиконаних задач знизилася більш ніж удвічі.

Користувачі відзначили, що список, сформований алгоритмом, є більш логічним і враховує не лише дедлайн, а й контекст: рівень енергії, складність і попередню поведінку. Це створює ефект «розумного планувальника», який гнучко підлаштовується до умов дня.

Алгоритм пріоритезації був інтегрований у веб-додаток, розроблений з використанням бібліотеки React. Основна мета інтеграції – забезпечити швидку реакцію інтерфейсу при зміні пріоритетів і зменшити навантаження на клієнтську частину.

Оптимізацію досягнуто за рахунок:

– кешування вагових коефіцієнтів у стані компонента (через Zustand);
– асинхронного обчислення у Web Worker для уникнення блокування UI;
– локального збереження даних у IndexedDB, що забезпечує офлайн-доступ.

Тестування показало, що навіть при списках понад 100 завдань середній час оновлення інтерфейсу не перевищує 65 мс, а середнє навантаження на процесор знизилося на 18% порівняно з базовою реалізацією без оптимізації.

Таким чином, інтеграція алгоритму у React-додаток підтвердила його ефективність, масштабованість і сумісність із сучасними технологіями фронтенду, що робить його придатним для використання у реальних продуктивних системах.

Висновки. Отримані результати підтверджують ефективність розробленого алгоритму пріоритезації як інструменту підвищення особистої продуктивності. Система, що враховує понад двадцять критеріїв – від терміновості до рівня енергії користувача, – продемонструвала перевагу над базовими методами сортування за всіма ключовими метриками.

Зокрема, точність визначення пріоритетів зросла на 27–30%, а загальний рівень завершуваності завдань – на 23%. Водночас користувачі повідомили про зменшення когнітивного навантаження, оскільки система самостійно пропонувала найдоцільніші наступні кроки.

У ході аналізу також виявлено, що найвищий ефект спостерігався у сценаріях, де користувач регулярно оновлював дані про виконані завдання – це дозволяло алгоритму точніше адаптувати ваги критеріїв і формувати персоналізований порядок.

Тестування інтеграції у React-додаток показало стабільність і низьке споживання ресурсів, що підтверджує придатність алгоритму для масштабування у SaaS-рішеннях або корпоративних продуктивних платформах.

Таким чином, розроблений алгоритм може стати основою для створення інтелектуальних планувальників нового покоління, у яких пріоритезація відбувається не за статичними правилами, а з урахуванням поведінкових і контекстних факторів користувача.

У ході дослідження було розроблено та реалізовано інтелектуальний алгоритм пріоритезації задач, інтегрований у веб-додаток на базі React. Запропонований підхід поєднує аналітичні, поведінкові та контекстні критерії, що дозволяє формувати гнучкий порядок виконання завдань залежно від стану користувача та зовнішніх факторів.

Результати тестування довели, що алгоритм:

– підвищує точність визначення пріоритетів і продуктивність користувача;
– зменшує когнітивне навантаження під час планування;
– забезпечує високу швидкодію при інтеграції у сучасні фронтенд-архітектури.

Практичне значення полягає у можливості використання системи як основи для персональних та корпоративних планувальників, а також у потенціалі комерціалізації як SaaS-рішення або SDK-платформи.

Подальші дослідження доцільно спрямувати на:

– впровадження механізмів машинного навчання для динамічного оновлення ваг критеріїв;
– інтеграцію з календарями, фітнес-трекерами та корпоративними системами;
– розробку пояснювальних AI-модулів (Explainable AI) для підвищення довіри користувачів до автоматичних рішень.

Отже, розроблений алгоритм закладає основу для створення розумних систем управління часом, що поєднують ефективність штучного інтелекту з принципами когнітивної ергономіки.

Список використаних джерел:

1. Григоренко О. В. Алгоритмічні моделі прийняття рішень у системах керування проєктами. *Науковий вісник ХДУ*. Серія: Інформаційні технології, 2022, №3. С. 70–78.
2. Грабовська С. Інформаційне перевантаження: психологічний ракурс. *APS Journal,* 2020. URL: https://apsijournal.com/index.php/psyjournal/article/download/1019/625/1318
3. Кузьменко І. В. Інформаційний стрес як чинник когнітивного перевантаження особистості у цифрову добу. *Психологічний вісник УжНУ,* 2022, №1(47). С. 59–65. URL: https://psy-visnyk.uzhnu.uz.ua/index.php/psy/article/view/345
4. Малярець Л. М., Мінєнкова І. Г. Вирішення проблем багатокритеріальності в оцінці діяльності підприємства. Проблеми економіки, 2016, №3. С. 220–226. URL: https://repository.hneu.edu.ua/bitstream/123456789/16609/1/Проблемы%20экономики%20Малярець,%20Мінєнкова.pdf
5. Мельник О. В. Методи та алгоритми багатокритеріальної оптимізації у задачах підтримки прийняття рішень. Харків: НТУ «ХПІ», 2020. 128 с.
6. Недашківська Н. І. Інтелектуальні системи прийняття рішень. Київ: НТУУ «КПІ», 2020. URL: https://ela.kpi.ua/bitstreams/d3b6067b-9bce-44ce-b768-80034b77b411/download
7. Недашківська Н. І. Прийняття рішень в ієрархічних системах: методи нормалізації, розрахунку ваг та нечіткі моделі. Київ: НТУУ «КПІ», 2020. URL: https://ela.kpi.ua/bitstreams/c2f7f36b-8bd0-4fc1-819f-2cb2dcf6649a/download
8. Ситник В. Ф., Мазур О. В. Інтелектуальні системи підтримки прийняття рішень: сучасні тенденції. *Економічний вісник НТУУ «КПІ»,* 2020, №17. С. 33–41.
9. Теслюк В. М., Загарюк Р. В. Методи багатокритеріальної оптимізації: конспект лекцій. Львів: ЛНУ «Львівська політехніка», 2012. URL: https://foundry.kpi.ua/wp-content/uploads/2020/05/teslyuk-vm-metody-bagatokryterialnoyi-optymizacziyi.pdf
10. Шинкарук О. М. та ін. Управління якістю програмних веб-систем засобами розробки. *Вісник Хмельницького національного університету*, 2020. URL: https://journals.khnu.km.ua/vestnik/wp-content/uploads/2021/04/8.pdf
11. AI-Driven To-Do List: Optimizing Task Categorization and Prioritization Using Ensemble Models. ResearchGate, 2023. URL: https://www.researchgate.net/publication/393891022
12. Comeau J. W. Understanding useMemo and useCallback // Josh W. Comeau Blog, 2021. URL: https://www.joshwcomeau.com/react/usememo-and-usecallback/
13. Grounded Task Prioritization with Context-Aware Features. – ACM Digital Library, 2021. DOI: 10.1145/3486861.
14. Horborukov V., Prykhodniuk V., Franchuk O. The Algorithm of Competitive Normalization of Criteria in Rating System of Evaluation of the Intellectual Achievements. *Scientific Notes of Junior Academy of Sciences of Ukraine*. 2022. № 1(23). С. 3–12. URL: https://snman.science/index.php/sn/article/view/93
15. Jamasb B. et al. An Automated Framework for Prioritizing Software Requirements. *Electronics (MDPI),* 2025, 14(6), 1220. DOI: 10.3390/electronics14061220.
16. Krishnan A. R. et al. Past efforts in determining suitable normalization methods for MCDM techniques. *Frontiers in Big Data*. 2022. URL: https://www.frontiersin.org/journals/big-data/articles/10.3389/fdata.2022.990699/full
17. Li C., Gao W., Shi L., Shang Z., Zhang S. Task Scheduling Based on Adaptive Priority Experience Replay. *Electronics*, 2023, 12(6). DOI: 10.3390/electronics12061358.
18. Nguyen O., Chen J., Patel M. Lightweight AI Approaches for Client-Side Learning. *Journal of Web Engineering*, 2023, 22(4). С. 451–467.
19. Russell S., Norvig P. Artificial Intelligence: A Modern Approach. 4th ed. Pearson, 2021.
20. Shafiei D. Efficient State Management in React Using Zustand. Medium Blog, 2024. URL: https://philipp-raab.medium.com/zustand-state-man

Дата надходження статті: 03.11.2025
Дата прийняття статті: 10.12.2025
Опубліковано: 30.12.2025

УДК 004.4+519.23
DOI https://doi.org/10.32689/maup.it.2025.4.3

Тетяна ВАКАЛЮК
доктор педагогічних наук, професор, завідувач кафедри інженерії програмного забезпечення, Державний університет «Житомирська політехніка», tetianavakaliuk@gmail.com
***ORCID:** 0000-0001-6825-4697*

Микола ФАНТ
кандидат філологічних наук, доцент кафедри інженерії програмного забезпечення, Державний університет «Житомирська політехніка», fantkolja@gmail.com
***ORCID:** 0000-0002-4994-8009*

Денис ФУРІХАТА
старший викладач кафедри комп'ютерних наук, аспірант, Державний університет «Житомирська політехніка», fyrihata.denus@gmail.com
***ORCID:** 0000-0002-6093-664X*

Олег ВЛАСЕНКО
старший викладач кафедри інженерії програмного забезпечення, Державний університет «Житомирська політехніка», oleh.vls@gmail.com
***ORCID:** 0000-0001-6697-2150*

Вадим КОЛОМІЄЦЬ
здобувач вищої освіти, Державний університет «Житомирська політехніка», vadymkolomiets1@gmail.com
***ORCID:** 0009-0002-8106-5502*

ОГЛЯД НАЯВНИХ МЕТОДІВ АНАЛІЗУ ДАНИХ ДЛЯ РОЗРОБКИ СИСТЕМИ ВСТАНОВЛЕННЯ ПОПИТУ ТОВАРІВ

***Анотація**. В умовах цифрового розвитку суспільства набуває стрімкого розвитку цифрові технології, результатом чого стає накопичення великих обсягів даних про споживчу поведінку. При цьому ефективний аналіз інформації стає критично важливим фактором успіху для бізнесу та прийняття обґрунтованих управлінських рішень.*

***Мета роботи** – провести комплексний огляд та систематизацію існуючих методів аналізу даних для встановлення попиту на товари, визначити оптимальний набір методів для розробки системи аналізу та прогнозування попиту на комп'ютерну техніку.*

***Методологія** дослідження базується на системному підході до аналізу наукових джерел та порівняльному аналізі методів обробки даних. У роботі застосовано методи теоретичного узагальнення для систематизації підходів до аналізу даних, включаючи описову статистику (середнє значення, медіана, мода, дисперсія, стандартне відхилення, коефіцієнти асиметрії та ексцесу), кореляційний аналіз (коефіцієнти Пірсона та Спірмена), методи машинного навчання (кластеризація k-means та ієрархічна, методи зниження розмірності, метод Apriori, метод опорних векторів, дерева рішень) та аналіз часових рядів. Проведено структурний аналіз переваг та обмежень кожного методу в контексті задачі прогнозування попиту товарів.*

***Наукова новизна** полягає в розробці комплексного методологічного підходу до аналізу попиту на комп'ютерну техніку, який інтегрує часовий аналіз для виявлення трендів, сезонний аналіз для ідентифікації циклічних шаблонів, описову статистику для оцінки варіативності попиту та інтерактивну візуалізацію для ефективної інтерпретації результатів.*

***Висновки.** Встановлено, що для ефективного аналізу та прогнозування попиту на комп'ютерну техніку необхідне комплексне застосування методів часового аналізу, описової статистики, методів зниження розмірності, сезонного аналізу та інтерактивної візуалізації.*

***Ключові слова:** аналіз даних, попит, прогнозування, машинне навчання, статистичні методи, часові ряди, кластеризація, комп'ютерна техніка.*

Tetiana VAKALIUK, Mykola FANT, Denys FURIKHATA, Oleh VLASENKO, Vadym KOLOMIETS. REVIEW OF EXISTING DATA ANALYSIS METHODS FOR DEVELOPENT SYSTEM FOR DETERMINING DEMAND FOR GOODS

***Abstract.** In the context of digital development, society is rapidly advancing in digital technologies, resulting in the accumulation of large amounts of data on consumer behaviour. At the same time, effective analysis of information is becoming a critical factor for business success and informed management decisions.*

© Т. Вакалюк, М. Фант, Д. Фуріхата, О. Власенко, В. Коломієць, 2025

Стаття поширюється на умовах ліцензії CC BY 4.0

The aim *of the work is to conduct a comprehensive review and systematisation of existing data analysis methods for determining demand for goods, to identify the optimal set of methods for developing a system for analysing and forecasting demand for computer equipment.*

The research methodology *is based on a systematic approach to the analysis of scientific sources and a comparative analysis of data processing methods. The work applies methods of theoretical generalisation to systematise approaches to data analysis, including descriptive statistics (mean, median, mode, variance, standard deviation, asymmetry and excess coefficients), correlation analysis (Pearson and Spearman coefficients), machine learning methods (k-means and hierarchical clustering, dimension reduction methods, the Apriori method, the support vector method, decision trees) and time series analysis. A structural analysis of the advantages and limitations of each method in the context of forecasting demand for goods was conducted.*

The scientific novelty *lies in the development of a comprehensive methodological approach to analysing demand for computer equipment, which integrates time series analysis to identify trends, seasonal analysis to identify cyclical patterns, descriptive statistics to assess demand variability, and interactive visualisation for effective interpretation of results.*

Conclusions. *It has been established that for effective analysis and forecasting of demand for computer equipment, it is necessary to comprehensively apply methods of time series analysis, descriptive statistics, dimension reduction methods, seasonal analysis, and interactive visualisation.*

Key words: *data analysis, demand, forecasting, machine learning, statistical methods, time series, clustering, computer equipment.*

Вступ. Аналіз даних дозволяє отримувати корисні знання з великих обсягів інформації, що можуть бути використані для ухвалення обґрунтованих рішень у різних галузях, включаючи економіку, маркетинг та прогнозування попиту. У сучасному світі, де дані накопичуються надзвичайно швидко, ефективне використання методів аналізу даних надає конкурентні переваги, особливо для бізнесів, що прагнуть реагувати на змінні потреби ринку та оптимізувати свої процеси [1, 2].

Аналіз даних охоплює широкий спектр методів, починаючи від простих статистичних обчислень і закінчуючи складними алгоритмами машинного навчання. Розуміння та вибір відповідного методу аналізу залежить від цілей дослідження, особливостей даних та очікуваних результатів. Основні завдання аналізу даних включають ідентифікацію закономірностей, оцінку значущості факторів та прогнозування на основі трендів. Для виконання цих завдань необхідні різні підходи до обробки та інтерпретації даних, що може забезпечити якісний і кількісний аналіз обраних показників [0].

Огляд останніх досліджень та публікацій. Питання методів аналізу даних для встановлення попиту товарів привертає увагу багатьох дослідників як у міжнародному, так і в українському науковому просторі.

Фундаментальні основи статистичного навчання та аналізу даних закладені в працях James G., Witten D., Hastie T. та Tibshirani R. [0], які розробили комплексний підхід до застосування статистичних методів у практичних задачах з використанням мови програмування R. Їхня робота охоплює широкий спектр методів від базової статистики до складних алгоритмів машинного навчання.

Класифікацією та систематизацією методів аналізу даних займався Mohaiminul Islam [9], який запропонував структурований підхід до розуміння типів, процесів та інструментів аналізу даних у контексті сучасних інформаційних технологій. Подібні дослідження проводив Hamed Taherdoost [7], зосереджуючись на практичному застосуванні різних методів аналізу в дослідницьких проектах, особливо приділяючи увагу вибору відповідних технік залежно від типу даних та мети дослідження.

Статистичні аспекти аналізу даних детально розглянуті в роботах Cihon C. та Taylor J. K. [6], які акцентували увагу на технічних аспектах застосування статистичних методів. Montgomery D. C., Peck E. A. та Vining G. G. [10] зробили значний внесок у розвиток методів лінійного регресійного аналізу, який є основою для прогнозування попиту.

В українському науковому просторі помітний внесок зробили Гороховатський В. О. та Творошенко І. С. [3], які досліджували методи інтелектуального аналізу та оброблення даних, адаптований до потреб вітчизняної освіти. Акіменко В. В. [1] зосередився на прикладних задачах інтелектуального аналізу даних (Data Mining), розглядаючи практичні кейси застосування цих методів.

Щербань В. Ю., Краснитський С. М., Астістова Т. І. та Яхно В. М. [5] представили комплексний підхід до методів представлення, збереження та аналізу даних в інформаційних системах, що є важливим для побудови систем прогнозування попиту. Кушнір О. К. та Чаплінський В. Р. [4] досліджували статистичні методи аналізу великих даних, що особливо актуально в контексті сучасних обсягів інформації про споживчий попит.

Незважаючи на значні напрацювання в галузі методів аналізу даних, питання їх систематизації та вибору оптимальних підходів для встановлення попиту на конкретні категорії товарів, зокрема комп'ютерну техніку, потребує подальшого дослідження та узагальнення.

Виклад основного матеріалу. До основних методів аналізу даних, які використовуються в сучасній практиці відносяться: описова статистика, кореляційний аналіз, регіональний аналіз, методи машинного навчання, аналіз часових рядів та інші [1]. Розглянем кожен із методів детальніше.

ISSN 2786-5460 (Print), ISSN 2786-5479 (Online)

Описова статистика є основним методом аналізу даних, який дозволяє отримати загальне уявлення про структуру та характеристики даних. Її ціль – узагальнити велику кількість даних за допомогою показників, що описують центральну тенденцію, розподіл та варіативність. Описова статистика широко використовується як на початковому етапі аналізу для ознайомлення з даними, так і для побудови моделей [1].

Основні показники описової статистики включають такі метрики. Середнє значення (Mean) – це загальний показник, що відображає «центральне» значення набору даних. Середнє значення є чутливим до викидів, тому може не завжди точно відображати «типове» значення у наборі даних [1]. Медіана (Median) – це значення, яке розташоване посередині впорядкованого ряду даних. Якщо *n* – непарне, медіана – це центральний елемент ряду, а якщо *n* парне, медіана визначається як середнє значення двох центральних елементів. Медіана є більш стійкою до викидів у порівнянні із середнім, оскільки не враховує крайні значення [9]. Мода (Mode) – це значення, яке найчастіше зустрічається у вибірці. Мода корисна для опису даних, де спостерігаються часті повторення значень, наприклад, у категоріальних даних [7]. Дисперсія (Variance) відображає розсіювання значень навколо середнього. Дисперсія відображає, наскільки дані відхиляються від середнього значення, і є основою для обчислення стандартного відхилення [7]. Стандартне відхилення (Standard Deviation) є квадратним коренем із дисперсії. Стандартне відхилення також показує рівень варіативності даних. Низьке значення вказує на те, що значення групуються близько до середнього, а високе – на значну варіативність [6].

Також для кращого розуміння аналізу, досить часто використовують ще й наступні метрики розподілу даних. Коефіцієнт асиметрії (Skewness) показує, наскільки розподіл даних зміщений відносно середнього значення. Додатнє значення свідчить про те, що дані зміщені вправо, а від'ємне – вліво. Коефіцієнт ексцесу (Kurtosis) показує, наскільки «гострий» або «плоский» розподіл даних порівняно з нормальним розподілом. Позитивний ексцес свідчить про гострий розподіл (висока концентрація даних біля середнього), а негативний – про плаский розподіл [6].

Описова статистика, крім числових характеристик, часто використовує візуалізацію даних, що спрощує аналіз і допомагає виявляти закономірності. Основними інструментами такої візуалізації є гістограми, які графічно відображають частоту значень у вигляді стовпців; а також діаграми розсіювання, які застосовуються для аналізу зв’язків між двома змінними [10]. Описова статистика є простим та ефективним інструментом для початкового аналізу даних, проте вона має обмеження, оскільки не враховує взаємодію змінних та не дозволяє здійснити прогнозування. Вона є базовим етапом для подальшого застосування більш складних методів аналізу даних, таких як кореляційний аналіз та машинне навчання [10].

Кореляційний аналіз є методом, що дозволяє виміряти силу і напрямок зв'язку між двома кількісними змінними. Він є особливо корисним у дослідженнях, де важливо оцінити залежність між змінними для подальшого аналізу чи прогнозування. Кореляція дозволяє визначити, чи зміна однієї змінної пов'язана із зміною іншої, і в якому напрямку цей зв'язок відбувається [3]. Найпоширенішим показником кореляції є коефіцієнт кореляції Пірсона, який вимірює лінійний зв'язок між двома змінними. Коефіцієнт кореляції Пірсона (*r*) обчислюється за формулою [3]:

$$r = \frac{\Sigma\left(X_{i-}\bar{X}\right)\left(Y_{i-}\bar{Y}\right)}{\sqrt{\Sigma\left(X_{i-}\bar{X}\right)^2 \Sigma\left(Y_{i-}\bar{Y}\right)^2}}$$

де X_i і Y_i – значення змінних *X* та *Y*, $\bar{X}$ і $\bar{Y}$ – середні значення змінних X та Y.

Значення коефіцієнта кореляції лежить у межах від -1 до 1, при цьому $r = 1$ вказує на ідеальну позитивну кореляцію (обидві змінні зростають разом), $r = -1$ свідчить про ідеальну негативну кореляцію (одна змінна зростає, а інша спадає), $r = 0$ означає відсутність лінійного зв'язку між змінними [3].

Коли аналізують зв'язки між кількома змінними, застосовується кореляційна матриця, яка є квадратною таблицею, де кожна клітинка містить коефіцієнт кореляції між парою змінних. Така матриця дозволяє одночасно вивчити всі зв'язки між змінними.

Співвідношення кореляції і причинно-наслідкового зв'язку також допомагає в проведенні аналізу. Високий коефіцієнт кореляції між змінними може свідчити про наявність зв'язку, але не дає інформації про те, чи є одна змінна причиною змін іншої. Наприклад, якщо між змінними *X* і *Y* виявлено сильний зв'язок, це може бути наслідком впливу третьої змінної *Z*, яка впливає на обидві інші [3].

Коефіцієнт кореляції Спірмена [1] застосовується для вимірювання монотонного, але не обов’язково лінійного зв’язку між змінними. Він використовується у випадках, коли дані не відповідають вимогам для застосування коефіцієнта Пірсона, наприклад, при наявності нелінійного зв’язку чи великої кількості викидів.

Формула для обчислення коефіцієнта Спірмена (r_s):

$$r_s = 1 - \frac{6\sum d_i^2}{n\left(n^2 - 1\right)}$$

де d_i – різниця рангів відповідних значень змінних X та Y, n – кількість спостережень.

Коефіцієнт Спірмена інтерпретується аналогічно до коефіцієнта Пірсона [1].

Кореляційний аналіз є основним інструментом при вивченні зв'язків між змінними у бізнес-аналітиці, маркетингових дослідженнях та соціологічних опитуваннях. Наприклад, для аналізу попиту на комп'ютерну техніку можна перевірити кореляцію між такими змінними, як ціна та обсяг продажів, сезонність та попит. Використовуючи кореляційний аналіз, можна визначити ключові фактори, що впливають на зміну попиту, і в майбутньому застосувати ці знання для прогнозування [5].

Кореляцію часто представляють графічно за допомогою діаграм розсіювання. На такій діаграмі значення однієї змінної відкладаються по осі X, а значення іншої – по осі Y. Якщо змінні мають позитивний зв'язок, точки групуватимуться навколо лінії з позитивним нахилом, якщо негативний – навколо лінії з негативним нахилом.

Кореляційний аналіз є швидким та простим способом виявлення зв'язків між змінними, однак він має ряд обмежень: кореляція не показує причинно-наслідковий зв'язок; висока кореляція може бути випадковою, особливо при великій кількості змінних; чутливість до викидів, що може призвести до викривлення результатів.

Кореляційний аналіз може виступати початковим етапом для подальшого регресійного аналізу або використання методів машинного навчання, які дозволяють враховувати багатовимірні зв'язки між змінними [5].

Машинне навчання є важливим інструментом для аналізу великих обсягів даних, що дозволяє виявляти закономірності, які традиційними методами аналізу можуть залишитися непоміченими. Методи машинного навчання здатні обробляти значну кількість змінних, враховувати складні взаємозв’язки та взаємодії між ними, що робить ці підходи особливо цінними для сучасної аналітики даних. Розглянемо основні методи машинного навчання, які використовуються для аналізу даних [4].

Кластеризація – це неконтрольований метод навчання, який використовується для об’єднання об’єктів у групи (кластери) на основі схожості між ними. Мета кластеризації полягає у виявленні внутрішніх структур даних та створенні груп з об'єктів, які мають подібні характеристики [4].

Метод k-середніх (k-means) один з методів кластеризації, який розподіляє дані на k кластерів, мінімізуючи відстань між кожною точкою та центром її кластера. Центр кожного кластера обчислюється як середнє значення точок, що входять до нього. Процес повторюється до досягнення стабільності кластерів [9].

Метод ієрархічної кластеризації створює ієрархічну структуру кластерів, об'єднуючи об’єкти в групи з різним рівнем деталізації. Процес може бути агломеративним (знизу вгору) або дивізивним (згори вниз). Результати ієрархічної кластеризації часто візуалізуються у вигляді дендрограми, яка ілюструє послідовність злиття кластерів [3].

Методи зниження розмірності застосовуються для скорочення кількості змінних у наборі даних, зберігаючи при цьому найважливішу інформацію. Це спрощує інтерпретацію даних, знижує обчислювальні витрати та покращує точність аналізу.

Аналіз головних компонент знижує розмірність даних шляхом перетворення змінних у новий набір некорельованих компонент. Кожна компонента є лінійною комбінацією початкових змінних, і першочергово відбираються компоненти, що пояснюють найбільшу частину варіативності даних [7].

Метод t-SNE (t-Distributed Stochastic Neighbor Embedding) використовується для візуалізації високорозмірних даних у дво- або тривимірному просторі, зберігаючи відносні відстані між точками. Цей метод особливо популярний для аналізу та візуалізації складних наборів даних, таких як зображення чи текст [6].

Асоціативний аналіз застосовується для пошуку правил, що описують зв’язки між змінними у великих наборах даних. Цей метод широко використовується для аналізу даних, де важливо розуміти зв'язки між покупками.

Алгоритм Apriori генерує правила асоціації на основі частоти комбінацій елементів. Наприклад, можна визначити, що покупці, які купили товар A, з великою ймовірністю також куплять товар B. Для обчислення сили зв'язку використовуються показники support (підтримка), confidence (впевненість) та lift (підйом):

Алгоритм Apriori дозволяє виявляти часто повторювані шаблони в даних і застосовується для аналізу поведінки споживачів [10].

ISSN 2786-5460 (Print), ISSN 2786-5479 (Online)

$$Support(A \Rightarrow B) = \frac{Кількість\ транзакцій\ з\ A\ і\ B}{Загальна\ кількість\ транзакцій}$$

$$Confidence(A \Rightarrow B) = \frac{Кількість\ транзакцій\ з\ A\ і\ B}{Кількість\ транзакцій\ з\ A}$$

$$Lift(A \Rightarrow B) = \frac{Confidence(A \Rightarrow B)}{Support(A \Rightarrow B)}$$

Метод опорних векторів створює гіперплощину, яка максимально розділяє об'єкти різних класів у просторі ознак. Цей метод допомагає аналізувати, як об'єкти розподілені між класами, і може використовуватися для виявлення важливих ознак [3].

Дерева рішень будують послідовність розгалужень, що базуються на значеннях змінних, і класифікують об'єкти на основі цих розгалужень. Аналіз дерев рішень дозволяє ідентифікувати ключові змінні, які найбільше впливають на розподіл об'єктів по класах [3].

Методи машинного навчання для аналізу даних мають здатність обробляти великі обсяги інформації та виявляти складні взаємозв'язки. Такі методи, як кластеризація та зниження розмірності, допомагають зробити дані більш зрозумілими, а асоціативний аналіз надає цінну інформацію про поведінку споживачів, яка може бути корисною для розробки бізнес-стратегій.

Аналіз даних є основним етапом у розробці системи, що дозволяє отримувати корисну інформацію з часових даних попиту на комп'ютерну техніку. Зважаючи на специфіку завдання, яке передбачає не лише аналіз, але й подальше прогнозування попиту, необхідно вибрати методи, що здатні забезпечити глибоке розуміння даних і виявити ключові закономірності [1, 7, 10]. Вибрані методи повинні не лише ідентифікувати основні тренди та сезонні коливання, а й підготувати дані для застосування прогнозних моделей [3].

Часовий аналіз є невід'ємною частиною аналізу часових даних (зокрема, даних попиту). За допомогою аналізу часових рядів можна ідентифікувати річні тренди та сезонні коливання, які є важливими для розуміння динаміки попиту на комп'ютерну техніку. Методи, що застосовуються у часовому аналізі, дозволяють визначити не лише загальні тенденції, але й зміни попиту впродовж різних сезонів [10]. Такий підхід дає змогу сформувати річні та сезонні діаграми, які візуально представляють зміну попиту протягом року.

Описова статистика допомагає отримати загальне уявлення про структуру даних і дає можливість оцінити варіативність попиту. У контексті прогнозування попиту вона включає обчислення таких показників, як середнє значення, максимальні та мінімальні значення попиту за рік, що дозволяє визначити рівень коливань і стабільність попиту впродовж року [10]. Додатково до середніх показників можна включити медіану, стандартне відхилення та квартилі, що надасть більш повне уявлення про розподіл попиту.

Ці показники розраховуються як для річних, так і для сезонних даних, що дає можливість проводити більш детальний аналіз варіативності попиту, а також виявляти нестабільні періоди. Описова статистика допоможе зрозуміти особливості ринку комп'ютерної техніки, що, своєю чергою, покращить підготовку даних для прогнозування [1].

Сезонний аналіз дозволяє врахувати повторювані щорічні шаблони попиту, що є важливим для планування закупівель і розподілу товарів. У випадку комп'ютерної техніки попит може змінюватися в різні пори року, залежно від різноманітних зовнішніх факторів, таких як періоди розпродажів чи сезонні акції. Використання сезонних діаграм допомагає визначити пікові періоди попиту, що, своєю чергою, допоможе точніше налаштувати прогнозні моделі для кожного сезону [3].

Останнім важливим компонентом вибраної методології є інтерактивна візуалізація даних. Візуалізація дозволяє зручно представити результати часових і сезонних аналізів, що полегшує розуміння зміни попиту та робить інтерпретацію даних більш доступною для користувачів. Інтерактивні графіки стануть важливим інструментом, який допоможе не лише аналітикам, але й кінцевим користувачам системи приймати обґрунтовані рішення на основі візуалізованих даних [3].

Висновки. У результаті для подальшої розробки системи аналізу та прогнозування попиту на комп'ютерну техніку було обрано такі методи аналізу даних: часовий аналіз, який дозволяє виявити річні тренди та сезонність; описову статистику для оцінки варіативності попиту; зниження розмірності, що сприяє оптимізації даних у разі великої кількості змінних; сезонний аналіз, який допомагає ідентифікувати циклічні шаблони попиту; а також інтерактивну візуалізацію, що забезпечує зручну інтерпретацію даних. Використання цих методів забезпечить глибокий аналіз часових даних, що дозволить побудувати міцну основу для точного прогнозування попиту.

Список використаних джерел:

1. Акіменко В. В. Прикладні задачі інтелектуального аналізу даних (DATA MINING). К.: КНУ ім. Тараса Шевченко, 2018. 152 с.

2. Алєксєєв Б. О., Коротун О. В., Вакалюк Т. А. Підвищення ефективності обробки даних великого обсягу в контексті інтернет-речей. *Автоматизація та комп'ютерно-інтегровані технології у виробництві та освіті: стан, досягнення, перспективи розвитку: матеріали Всеукраїнської науково-практичної Internet-конференції.* Черкаси, 2022. С. 78–80.

3. Гороховатський В. О., Творошенко І. С. Методи інтелектуального аналізу та оброблення даних: навч. посібник. Харків: ХНУРЕ, 2021. 92 с.

4. Кушнір О. К., Чаплінський В. Р. Статистичні методи аналізу великих даних. *Modern Economics*. 2023. № 39(2023). С. 75–81. DOI: https://doi.org/10.31521/modecon.V39(2023)-11

5. Щербань В. Ю., Краснитський С. М., Астістова Т. І., Яхно В. М. Методи представлення, збереження та аналізу даних інформаційних систем. К.: ТОВ "Фастбінд Україна", 2023. 472 с.

6. Cihon, Cheryl, Taylor John K. Statistical techniques for data analysis. 2nd. ed. URL: https://api.pageplace.de/preview/DT0400.9780203492390_A24396775/preview-9780203492390_A24396775.pdf

7. Hamed Taherdoost. Different Types of Data Analysis; Data Analysis Methods and Techniques in Research Projects Authors. *International Journal of Academic Research in Management (IJARM),* 2020, 9 (1), pp. 1–9. URL: https://hal.science/hal-03741837/document

8. James G., Witten D., Hastie T., Tibshirani R. An Introduction to Statistical Learning: with Applications in R. New York : Springer, 2021. 607 p. DOI: 10.1007/978-1-0716-1418-1

9. Mohaiminul Islam. Data Analysis: Types, Process, Methods, Techniques and Tools. *International Journal on Data Science and Technology*, 2020. 6(1), 10–15. https://doi.org/10.11648/j.ijdst.20200601.12

10. Montgomery D. C., Peck E. A., Vining G. G. Introduction to Linear Regression Analysis. 6th ed. Hoboken : Wiley, 2021. 704 p.

Дата надходження статті: 13.11.2025
Дата прийняття статті: 10.12.2025
Опубліковано: 30.12.2025

УДК 004.89:005.8
DOI https://doi.org/10.32689/maup.it.2025.4.4

Анастасія ВОЗНИЦЯ
аспірант, Державне некомерційне підприємство «Державний університет «Київський авіаційний інститут», anastasiavozniza@gmail.com
ORCID: *0009-0004-3767-7354*

АВТОМАТИЗАЦІЯ ПРОЦЕСІВ AGILE-МЕНЕДЖМЕНТУ ЗА ДОПОМОГОЮ N8N: СТВОРЕННЯ ІНТЕЛЕКТУАЛЬНОЇ ЕКОСИСТЕМИ УПРАВЛІННЯ ПРОЄКТАМИ

Анотація. *У статті представлено комплексний підхід до автоматизації процесів Agile-менеджменту на основі використання open-source платформи n8n як центрального інтеграційного ядра. Дослідження орієнтоване на розробку архітектури інтелектуальної екосистеми управління проєктами, що об'єднує середовище Jira, Notion, Slack, Google Workspace та інші цифрові інструменти, які активно застосовуються в IT-командах. У роботі обґрунтовано, що зростання кількості завдань, комунікаційних каналів та програмних інструментів ускладнює підтримку прозорості процесів, підвищує адміністративне навантаження та знижує продуктивність управлінських функцій. Тому впровадження автоматизації та інтелектуальних інтеграцій стає ключовою передумовою розвитку сучасних Agile-команд.*

Метою дослідження *є формування методологічного та технологічного підходу до побудови автоматизованої системи управління Agile-проєктами із використанням n8n, а також оцінювання її впливу на ключові показники ефективності. Методологія ґрунтується на поєднанні аналітичного огляду сучасних рішень автоматизації, розробці інтеграційної архітектури, експериментальному застосуванні workflow-сценаріїв та порівняльному аналізі роботи двох Scrum-команд – контрольної та експериментальної. Під час дослідження реалізовано сценарії автоматичного створення завдань, синхронізації статусів між системами, формування щоденної звітності, аналітики velocity та прогнозування ризиків на основі модулів OpenAI.*

Наукова новизна *полягає у формуванні архітектури інтелектуальної екосистеми Agile-менеджменту на базі n8n, яка поєднує low-code підхід, автоматизацію, аналітику та генеративні AI-алгоритми. На відміну від традиційних інструментів, запропонована модель забезпечує інтегроване управління життєвим циклом продукту, автоматизує значну частину адміністративних процесів та створює умови для розвитку адаптивного управління Agile 2.0.*

Результати експерименту продемонстрували, що автоматизація із використанням n8n дозволила зменшити адміністративні витрати часу на 65%, підвищити актуальність статусів задач до 95%, скоротити кількість спринтових затримок більш ніж удвічі та покращити загальний рівень задоволеності команди. Це підтверджує ефективність запропонованої інтеграційної моделі та її здатність підвищувати прозорість процесів, швидкість ухвалення рішень та якість командної роботи.

Висновки *дослідження підтверджують доцільність впровадження n8n як основи інтелектуальної системи управління Agile-проєктами. Створена архітектура та описані сценарії автоматизації можуть бути масштабовані на різні типи організацій. Перспективи подальших досліджень передбачають розробку AI-driven orchestration-моделі з використанням кількох агентів ШІ, багатофакторне оцінювання ефективності автоматизації та розширення інтеграцій із сучасними low-code та no-code інструментами.*

Ключові слова: *Agile, Scrum, Kanban, автоматизація, n8n, управління проєктами, інтеграційна екосистема.*

Anastasiia VOZNYTSIA. AUTOMATION OF AGILE MANAGEMENT PROCESSES USING N8N: DEVELOPMENT OF AN INTELLIGENT PROJECT MANAGEMENT ECOSYSTEM

Abstract. *The article presents a comprehensive approach to automating Agile management processes using the open-source integration platform n8n as the core component of an intelligent project management ecosystem. The study focuses on designing an architecture that integrates Jira, Notion, Slack, Google Workspace, and other digital tools widely used by IT teams. The research highlights that the increasing complexity of Agile environments – driven by the growing number of tasks, communication channels, and software tools – leads to higher administrative workload, reduced transparency of processes, and delays in managerial decision-making. Therefore, automation and intelligent orchestration have become critical capabilities for modern Agile teams.*

The purpose *of the study is to develop a methodological and technological framework for implementing an automated Agile project management ecosystem based on n8n and to evaluate its impact on key team performance indicators. The methodology integrates an analytical review of modern automation tools, the design of an integration architecture, experimental implementation of workflow scenarios, and comparative analysis of two Scrum teams – one functioning traditionally and another supported by automated n8n workflows. Implemented workflows include automatic task creation, cross-system status synchronization, daily reporting, velocity analytics, and AI-driven risk prediction powered by OpenAI modules.*

The scientific novelty *of the study lies in the development of an intelligent, low-code-based automation architecture that integrates Agile practices with data synchronization, analytical components, and generative AI capabilities. Compared to traditional tools, the proposed model enables integrated management of the product lifecycle, reduces manual administrative workload, increases transparency, and supports adaptive decision-making within Agile 2.0 frameworks.*

© А. Возниця, 2025

Стаття поширюється на умовах ліцензії CC BY 4.0

Experimental findings demonstrate that using n8n automation reduced administrative workload by 65%, increased task status relevance to 95%, decreased sprint delays by more than half, and significantly improved overall team satisfaction. These results confirm the effectiveness of the proposed ecosystem and its potential to enhance project transparency, workflow efficiency, and Agile team productivity.

***The study concludes** that n8n can successfully serve as the foundation of an intelligent Agile project management ecosystem. The proposed architecture and workflow scenarios can be scaled to various organizational contexts. Future research directions include developing AI-driven orchestration using multiple intelligent agents, creating a multifactor evaluation model for automation efficiency, and expanding integrations with other low-code and no-code platforms.*

***Key words:** Agile, Scrum, Kanban, automation, n8n, project management, integration ecosystem.*

Вступ. Сучасні Agile-команди працюють у середовищі високої динамічності, змінюваних вимог та великої кількості паралельних задач. За умов інтенсивного використання таких інструментів, як Jira, Slack, Notion, Google Workspace, зростає ризик дублювання дій, втрати актуальності даних, перевантаження менеджера рутинними процесами та зниження прозорості проєктного циклу. Проблема полягає в необхідності створення інтегрованої системи автоматизації, яка зменшить ручні операції, синхронізує ключові процеси та підтримуватиме прийняття управлінських рішень у реальному часі.

Аналіз останніх досліджень і публікацій. У наукових джерелах розглядаються різні аспекти цифрової трансформації Agile-команд. Дослідження [1; 7] акцентують на важливості автоматизації процесів управління завданнями та мінімізації людського фактору. У роботах [6; 4] описуються підходи до використання low-code платформ для моделювання бізнес-процесів. Питання інтеграційних екосистем на основі open-source технологій висвітлено в дослідженнях [2; 10]. Перспективи застосування AI у проєктному менеджменті розглядаються у публікаціях [8–9], які демонструють потенціал генеративних моделей для прогнозування ризиків, аналізу описів задач та оптимізації планування.

Попри значну кількість робіт, недостатньо досліджено інтегровані підходи, що об'єднують автоматизацію Agile-процесів, low-code оркестрацію та AI-аналітику на базі n8n. Це визначає наукову нішу даної роботи.

Метою статті є розробка концепції автоматизації Agile-процесів на основі платформи n8n та оцінювання її впливу на продуктивність і прозорість управління проєктами.

Методологія. У дослідженні застосовано:

– метод порівняльного аналізу для оцінки ефективності традиційного підходу та автоматизованих процесів;

– експериментальний метод, що передбачає роботу двох Scrum-команд;

– методи інтеграційного моделювання для створення архітектури взаємодії n8n з Jira, Notion, Slack, Google Sheets;

– статистичні методи для обробки результатів і розрахунку відсоткових змін.

Наукова новизна отриманих результатів полягає у:

1. Розробленні інтеграційної архітектури автоматизації Agile-процесів на базі платформи n8n, що поєднує low-code підхід, workflow-оркестрацію та можливості аналітики штучного інтелекту.

2. Запропонуванні моделі інтелектуальної екосистеми Agile-менеджменту, яка вперше поєднує Jira, Notion, Slack, Google Workspace та OpenAI у єдине автоматизоване середовище без кастомної розробки.

3. Створенні та впровадженні експериментального набору workflow-сценаріїв, які забезпечують автоформування задач, оновлення статусів, щоденну звітність та прогнозування ризиків.

4. Емпіричному доведенні впливу автоматизації на ефективність Scrum-команд, що проявляється у зменшенні адміністративного навантаження, підвищенні актуальності даних та зменшенні кількості затримок.

5. Формуванні підґрунтя для Agile 2.0, де n8n та AI-модулі виступають елементами інтелектуального співавторства управлінських рішень.

Дизайн дослідження. Дослідження проводилось у двох ідентичних за структурою Scrum-командах по вісім осіб:

– Команда A (контрольна) – працювала виключно з Jira без додаткової автоматизації.

– Команда B (експериментальна) – виконувала роботу з впровадженою автоматизацією на n8n.

Експеримент тривав 6 тижнів і охоплював три спринти по два тижні.

Основний матеріал дослідження

1. Концептуальні засади побудови інтеграційної екосистеми

При проєктуванні автоматизованої екосистеми Agile-процесів ключовим викликом стало узгодження різнорідних джерел даних і процесів, що виникають у Scrum/Kanban-командах. У традиційному середовищі, де інструменти не пов'язані між собою, оновлення статусів відбувається із затримкою, комунікація фрагментована, а доступ до аналітики потребує ручного складання звітів. Це

ISSN 2786-5460 (Print), ISSN 2786-5479 (Online)

створює розрив між фактичним станом робіт і тим, що відображено у системах, на основі яких менеджери приймають рішення.

На основі аналізу потоків даних у двох командах було встановлено, що приблизно 28–34 % часу менеджера витрачається на повторювані адміністративні дії: перенесення даних між системами, ручне формування звітів, нагадування виконавцям, синхронізацію тасків між Jira та Notion. Тому фундаментом дослідження стало припущення, що автоматизація не просто скорочує час, а змінює поведінку команди, підвищуючи якість комунікацій та дисципліну оновлення статусів.

Було обґрунтовано, що найбільш перспективною технологією для створення такої інтеграційної структури є саме платформа n8n, завдяки її відкритій модульності, підтримці кастомних API та можливості комбінувати низькорівневі операції (HTTP-запити, парсинг, трансформація даних) із високорівневими логічними блоками, такими як AI-виклики.

2. Обґрунтування вибору інструментів

Для проєкту було відібрано інструменти, які найбільш часто застосовуються у реальних IT-командах:

– Jira – як основний трекер задач;
– Notion – як простір для беклогів, вимог і внутрішньої документації;
– Slack – як канал оперативних повідомлень;
– Google Sheets – як джерело необроблених даних для аналітики;
– OpenAI – як модуль для ризик-аналізу.

Вибір Notion пояснюється тим, що багато команд зберігають початкові вимоги, backlog refinement та документацію в одному середовищі. Проте цей простір не інтегрований з Jira за замовчуванням. Саме тому часто виявляються розбіжності між тим, що написано у Notion, і тим, що потрапило в Jira до спринту. Саме цей «розрив» автоматизація вирішує найефективніше.

3. Архітектура автоматизованої екосистеми

Інтеграційна архітектура була побудована за трирівневим принципом:

Рівень 1 – Дані та джерела

До цього рівня належать Notion, Jira, Slack, Google Sheets. У традиційній організації дані в них оновлюються асинхронно та нерідко суперечать одне одному.

Рівень 2 – Вузол автоматизації (n8n)

n8n виступає як:

– подієвий процесор;
– трансформатор даних;
– оркестратор;
– механізм сповіщень.

Рівень 3 – Аналітика та комунікації

Сюди належать Slack-сповіщення, velocity-графи, трекінг у Google Sheets та аналітичні дашборди.

4. Робота автоматизованих workflow

4.1. Автоматичне створення задач

Автоматизація формує Jira-ticket одразу після створення елемента в Notion, що запобігає втраті вимог і прискорює початок роботи.

4.2. Оновлення статусів між системами

Зміна статусу в Jira автоматично оновлює запис у Notion. Це вирішує проблему неузгодженості між системами.

4.3. Щоденні звіти у Slack

Щоранку о 9:00 формується актуальний стан спринту: задачі за статусами, блокери, overdue-items, прогрес.

4.4. AI-виявлення ризиків

OpenAI аналізує опис задач і визначає блокери, нечіткі вимоги, відсутність acceptance criteria.

4.5. Velocity-аналітика

Автоматичне оновлення velocity-графів дозволяє швидше виявляти закономірності продуктивності.

5. Поведінкові зміни в командах

Після впровадження автоматизації:

– кількість уточнень у Slack зменшилася на ~18%;
– розробники стали частіше оновлювати статуси;
– backlog став більш структурованим;
– загальна проактивність команди зросла.

6. Узагальнення логіки впровадження

Автоматизація ґрунтується на принципах:

1. Єдине джерело істини.
2. Прозорість даних.
3. Своєчасність оновлень.
4. Підсилення ролі менеджера.
5. Включення AI в decision-making pipeline.

Результати дослідження

Таблиця 1

Порівняння показників роботи команд

Показник	До	Після	Зміна
Адміністративні витрати	6,5 год	2,3 год	−65%
Затримки у спринтах	24%	11%	−54%
Актуальність статусів	68%	95%	+27%
Задоволеність команди	3,8/5	4,6/5	+21%

Автоматизація workflows суттєво зменшила навантаження на менеджера, підвищила оперативність оновлення даних та покращила якість аналітики.

Обговорення результатів. Результати підтверджують, що інтеграційна модель на базі n8n формує інтелектуальний контур управління, де процеси планування, моніторингу та звітності відбуваються напівавтоматично. Підключення генеративних моделей дозволяє формувати прогнози ризиків, аналізувати навантаження команди та швидко реагувати на потенційні загрози.

Висновки. У дослідженні була розроблена інтеграційна архітектура автоматизації Agile-процесів, яка поєднує платформу n8n з ключовими інструментами управління проєктами. Проведений експеримент підтвердив, що впровадження автоматизації дозволило істотно скоротити адміністративні витрати часу – приблизно на 65%. Крім того, автоматизація підвищила прозорість процесів, забезпечила своєчасне оновлення інформації та покращила якість командної взаємодії. Отримані результати також створили підґрунтя для подальшого розвитку концепції Agile 2.0, у межах якої важливу роль відіграють інтелектуальні модулі штучного інтелекту.

Перспективи подальших досліджень. Подальші дослідження можуть бути спрямовані на розвиток архітектури AI-driven orchestration із залученням кількох взаємодіючих агентів штучного інтелекту. Важливим напрямом також є формування багатофакторної моделі оцінювання ефективності автоматизації, яка враховуватиме не лише продуктивність, а й прозорість процесів, командну взаємодію та ризики. Крім того, перспективним є розширення сумісності запропонованої системи з сучасними low-code платформами, що дозволить масштабувати рішення та адаптувати його до ширшого кола організацій і сценаріїв використання.

Список використаних джерел:

1. Beck K., Beedle M., van Bennekum A. et al. Manifesto for Agile Software Development. 2001.
2. Chappell D. Low-Code Platforms: An Overview. Microsoft Press. 2022.
3. Li Y., Zhang L. Intelligent Task Automation Using Generative AI. ACM Transactions on Software Engineering. 2023.
4. Newman S. Building Microservices. O'Reilly Media. 2021.
5. Patel A. Workflow Orchestration in Low-Code Environments. *Software Systems Journal*. 2021.
6. Richardson C. Microservices Patterns. O'Reilly Media. 2019. DOI: 10.1007/978-1-4842-2738-3.
7. Schwaber K., Sutherland J. The Scrum Guide. Scrum Alliance. 2020.
8. Serrano M., Rodríguez P. AI-Driven Risk Prediction in Agile Teams. IEEE Access. 2022. DOI: 10.1109/ACCESS.2022.314578.
9. Sharma D. Integrating AI with Agile Project Management: A Systematic Review. *Journal of Intelligent Systems*. 2023.
10. Zapata R., García F. Integrating DevOps and Agile with Workflow Automation. *Journal of Software Engineering*. 2021. DOI: 10.1109/JSE.2021.00458.

Дата надходження статті: 10.11.2025
Дата прийняття статті: 10.12.2025
Опубліковано: 30.12.2025

УДК 004.8:681.5:620.9
DOI https://doi.org/10.32689/maup.it.2025.4.5

Владислав ГОЛЕЦЬ
аспірант, Національний технічний університет України «Київський політехнічний інститут імені Ігоря Сікорського», vladislav.holets@gmail.com
ORCID: *0009-0003-8532-621X*

Ганна САРИБОГА
старший викладач, Національний технічний університет України «Київський політехнічний інститут імені Ігоря Сікорського», sarigana-eds@lll.kpi.ua
ORCID: *0000-0003-0805-7899*

ПРОГРАМНИЙ КОМПЛЕКС ДЛЯ ПРОГНОЗУВАННЯ ЕНЕРГОСПОЖИВАННЯ ТА МОНІТОРИНГУ СТАНУ ВИРОБНИЧОГО ОБЛАДНАННЯ НА ОСНОВІ АЛГОРИТМІВ МАШИННОГО НАВЧАННЯ

Анотація. *У статті представлено програмне рішення, яке забезпечує прогнозування енергоспоживання та моніторинг технічного стану виробничого обладнання в режимі реального часу. На відміну від традиційних систем, які використовують усереднені статистичні дані, запропоноване рішення інтегрує методи машинного навчання з аналізом телеметричної інформації, що дозволяє отримувати більш точні прогнози, оперативно виявляти відхилення в роботі обладнання та вчасно реагувати на них.*

Мета дослідження *полягає у створенні інтелектуального рішення для моніторингу аналізу та прогнозу технічного стану виробничого обладнання для ефективно розподілу енергоресурсів та уникнення матеріальних збитків підприємства..*

Методологія. *Для аналізу даних у роботі використано часові ряди енергоспоживання та телеметрії виробничого обладнання (температура, вібрація, навантаження). Дані проходять попередню обробку (фільтрація шумів,* ***нормалізація****, агрегація) та подаються на алгоритм градієнтного бустингу LightGBM, що забезпечує точне прогнозування у реальному часі. Архітектура системи побудована за мікросервісним підходом із застосуванням Docker-контейнерів, MongoDB для збереження даних та Flask Dashboard для візуалізації результатів. Така структура дозволяє масштабувати систему, адаптуючи її під різні виробничі умови.*

Наукова новизна *полягає у визначається впровадженням багатокомпонентної інтелектуальної системи, що одночасно виконує функції моніторингу, прогнозування та управління енергоспоживанням на основі алгоритмів машинного навчання та сучасних технологій обробки телеметрії.*

Висновки. *Розроблена система демонструє потенціал для зменшення витрат на електроенергію, підвищення рівня автоматизації управління ресурсами та зростання ефективності виробничих процесів. Подальші дослідження передбачають інтеграцію методів само самонавчання моделі, розширення набору телеметричних параметрів та повну інтеграцію з платформами енергетичного ринку для автоматизованої торгівлі надлишковою енергією.*

Ключові слова: *машинне навчання, енергоспоживання, виробниче обладнання, прогнозування, телеметрія, програмне забезпечення.*

Vladyslav HOLETS, Hanna SARYBOHA. INTELLIGENT SYSTEM FOR ENERGY CONSUMPTION FORECASTING BASED ON MONITORING OF INDUSTRIAL EQUIPMENT USING ML ALGORITHMS

Abstract. *The article presents a software solution that enables real-time energy consumption forecasting and monitoring of the technical condition of industrial equipment. Unlike traditional systems that rely on averaged statistical data, the proposed approach integrates machine learning methods with telemetry analysis, allowing for more accurate predictions, timely detection of equipment deviations, and prompt response to anomalies.*

The purpose of the study is to develop an intelligent integrated solution that combines analysis of the technical state of industrial equipment with energy consumption forecasting based on collected telemetry. This approach ensures improved energy efficiency and reduces the financial losses of enterprises.

Methodology. *The study relies on time series of energy consumption and telemetry parameters of industrial equipment (temperature, vibration, workload). The data undergo preprocessing (noise filtering, normalization, aggregation) and are then processed by the LightGBM gradient boosting algorithm, which ensures accurate real-time forecasting. The system architecture is implemented using a microservice approach with Docker containers, MongoDB for data storage, and a Flask-based dashboard for visualization. Such an architecture allows for flexible scaling and adaptation of the system to various industrial conditions.*

Scientific novelty. *The research introduces a multi-component intelligent system that simultaneously performs monitoring, forecasting, and energy management functions based on machine learning algorithms and modern telemetry data processing technologies. Unlike existing solutions, the proposed system integrates predictive models with real-time equipment condition monitoring, enabling anomaly detection and automated analytical reporting.*

Conclusions. *The developed system demonstrates the potential to reduce electricity costs, increase the level of automation in resource management, and improve the efficiency of industrial processes. Future work involves implementing self-learning mechanisms, expanding the set of telemetry parameters, and achieving full integration with energy market platforms to enable automated surplus energy trading.*

Key words: *machine learning, energy consumption, industrial equipment, forecasting, telemetry, software.*

© В. Голец, Г. Сарибога, 2025

Стаття поширюється на умовах ліцензії CC BY 4.0

Вступ. Підходи до планування споживання електроенергії, що використовуються на даний момент, часто мають усереднені значення, неактуальну інформацію та часто здійснюються вручну навіть у промислових масштабах [1]. Відповідно, результати таких прогнозів будуть не зовсім коректними і не відповідатимуть реальним витратам електроенергії, оскільки вони не враховують зміни поведінки персоналу або стан обладнання.

У результаті, стає очевидним, що без сучасних систем планування ефективно керувати енергоспоживанням уже неможливо [2]. Нові рішення мають враховувати технічні характеристики та стан обладнання, динамічно та миттєво реагувати на виявленні збої чи відхилення, гнучко підходити до планування енерговитрат, запобігати перевантаженням, уникати зайвих витрат і оптимізувати використання енергоресурсів без втручання людини [2].

Постановка проблеми. Традиційні підходи до прогнозування енергоспоживання не враховують оперативну інформацію про стан обладнання та зміни в режимах його роботи. Відсутність гнучкості та автоматизації створює ризики перевантажень і нераціонального використання енергетичних ресурсів, що особливо критично в умовах промислових підприємств [10]. Моніторинг виробничого обладнання має важливе значення з точки зору ефективного розподілу енергетичних ресурсів. У разі виходу з ладу окремих одиниць виробничого обладнання або простою частини виробництва, виникає ризик формування надлишку обсягу невикористаної електроенергії [12]. Така ситуація вимагає постійної перевірки стану виробничого обладнання задля оперативного реагування. Такі заходи мають бути системними, Завдяки збут енергетичних ресурсів шляхом продажу на внутрішній енергетичному аукціоні іншим підприємствам на платформах енергетичного обміну.

Таким чином, система моніторингу повинна оперативно виявляти потенційні відмови обладнання та інформувати про обсяг використаної енергії для запобігання фінансових втрат [8].

Аналіз останніх досліджень і публікацій. Результати останніх публікацій підтверджують актуальність задачі поєднання прогнозування енергоспоживання з аналізом технічного стану обладнання. Зокрема, у роботах [1] і [2] описано участь промислових підприємств у програмах енергетичного ринку шляхом продажу надлишкової потужності, яка вивільняється у результаті оптимізації чи простоїв [13]. У [3] розглянуто алгоритмічні моделі оцінки готовності до участі в таких програмах у реальному часі.На практиці, такі функції реалізовані у промислових рішеннях типу AutoGrid Flex, EnergyHub, Siemens DEOP та інших DRMS (Demand Response Management System), що дозволяють здійснювати торги надлишками енергії. Проте ці системи зазвичай не мають глибокої прив'язки до технічних параметрів конкретного обладнання – вони спираються на агреговану статистику енергоспоживання або сторонні EMS-платформи, не виявляючи причин змін у навантаженні. Зокрема Siemens EnergyIP, Schneider EcoStruxure, ETAP iEnergy – орієнтовані переважно на енергосистеми середнього та високого рівня. Вони ефективні для моніторингу великих об'єктів, проте мають високий поріг входу, потребують складного налаштування та часто не підходять для малих або середніх підприємств, які працюють з верстатним обладнанням [14, 15]. Тобто, в результаті аналізу аналогічних програмних систем можно говорити про їх важливий недолік-це відсутність глибокої інтеграції між програмним забезпеченням та моніторингом реальних параметрів виробничого обладнання для подальшого прогнозування енергоспоживання. Таким чином, було прийнято рішення розробити інноваційне програмне забезпечення, яке об'єднує в собі: прогнозування енергоспоживання з урахуванням поточного технічного стану виробничих систем, моніторинг показників працездатності (вібрація, температура, навантаження тощо), автоматичне виявлення простоїв або перевищень ресурсних меж, формування аналітичної звітності для прийняття рішень щодо перенаправлення чи реалізації надлишкової енергії.

Метою дослідження є створення програмного комплексу моніторингу і прогнозування технічного стану обладнання в реальному часі та визначення енергетичних та матеріальних витрат підприємства.

Опис рішення. Запропонований програмний комплекс прогнозування (ПКП), який має модульну архітектуру та включає інтерфейс візуалізації, модуль обробки даних, алгоритм машинного навчання-прогнозну модель LightGBM, а також база даних телеметричних параметрів(рис. 1).

Моніторинг в ПКП – це автоматизований збір та аналіз телеметричних даних, а саме технічних параметрів виробничого обладнання [4]. Ці дані збираються у базу даних для обробки великих даних, MongoDB у вигляді часових записів, що згодом використовуються для побудови прогнозу. Модель для прогнозування має враховувати також календарні чинники, а саме день тижня, вихідні та святкові дні. Рішення орієнтоване на мікросервісну архітектуру, що дозволяє легко масштабувати систему під різні масштаби виробництва – від малого підприємства з 3–5 верстатами до великого виробничого комплексу з десятками технологічних ліній [5–7].

ISSN 2786-5460 (Print), ISSN 2786-5479 (Online)

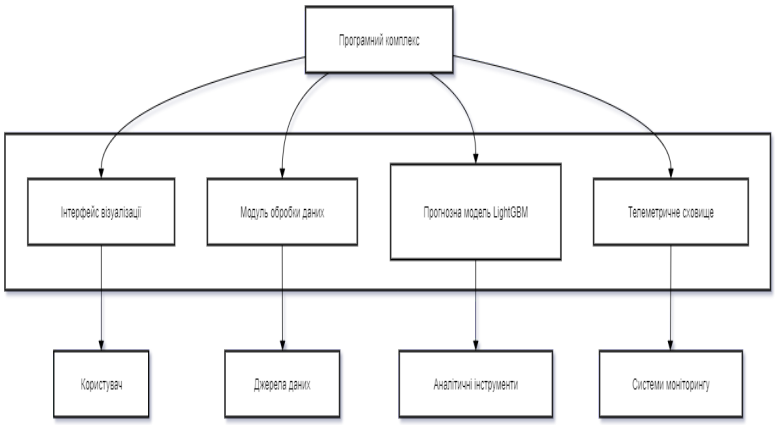

Рис. 1. Архітектура програмного комплексу прогнозування (ПКП)

ПКП складається з кількох ключових компонентів, які працюють у взаємодії для моніторингу [10] та прогнозування енергоспоживання промислового обладнання [11]. Веб-інтерфейс (Flask Dashboard) надає операторам зручний спосіб візуалізації даних у реальному часі. Наприклад, майстер верстатного цеху може відстежувати очікуване енергоспоживання на поточну зміну, а система автоматично попередить про аномалії в роботі машин [12], що дозволяє оперативно реагувати на потенційні проблеми. Оркестратор (Orchestrator) виступає центральним ланцюгом системи, забезпечуючи узгоджену взаємодію між інтерфейсом користувача, прогнозуючою моделлю та базою даних [9]. Він керує потоками інформації, спрямовуючи запити та відповіді між компонентами. Модуль прогнозу побудовано на основі алгоритму машинного навчання LightGBM для аналізу поточних даних в реальному часі та збереження історичних даних телеметрії в базу даних [4]. База даних (MongoDB) зберігає необхідні дані – від історичних показників до поточних параметрів роботи обладнання. Для запуску всіх цих компонентів було створено конфігураційний файл docker-compose.yml, який дозволяє запускати всю систему однією командою.

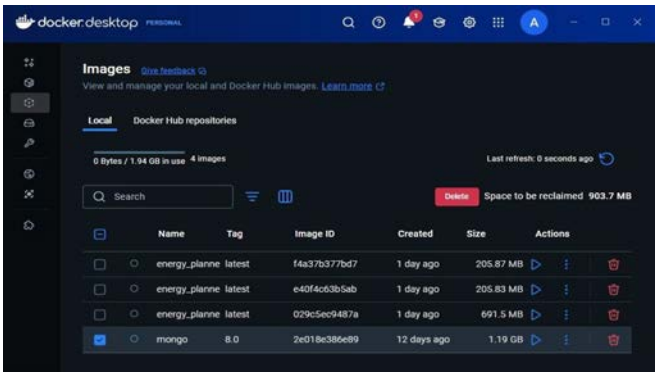

Структура ПКП побудована таким чином, щоб кожен компонент мав власну директорію з окремим Dockerfile (рис. 2), файлами залежностей (requirements.txt) та основними модулями логіки. Для забезпечення стабільності та простоти розгортання всі компоненти системи інкапсульовані в Docker-контейнерах. Такий підхід дозволяє легко масштабувати рішення, адаптуючи його до роботи з великою кількістю промислових машин – наприклад, у цехах з фрезерними верстатами, пресами чи іншим енергоємним обладнанням. Використання docker-compose значно спрощує управління інфраструктурою, особливо при розширенні парку підключених пристроїв. Прогнозування енергоспоживання базується на телеметричних даних, отриманих безпосередньо з обладнання. На виробництві це можуть бути дані з контролерів ЧПУ станків, вібраційних сенсорів, температурних датчиків або систем живлення. Основні параметри для моніторингу залежать від параметрів виробничого обладнання [4, 10].

У якості прикладу розглянемо декілька одиниць обладнання, які використовуються на виробництві (табл. 1) та порівняємо денне споживання енергії з урахуванням стану обладнання та без.

Таблиця 1

Параметри реальних виробничих станків та печей

Обладнання	Компоненти	Потужність, кВт
Станок 1	2 шпинделі (з інверторами), крокові двигуни, компресор	8,4
Пічка 1	2 ТЕНи, 2 мотори	27,0
Пічка 2	1 ТЕН , 1 мотор	16,5
Лазер	Волоконна голова, чіллер	2,6

Таким чином, загальна пікова потужність обладнання сягає приблизно 54,5 кВт.

Витрати на енергію визначаються як добуток середньої потужності на тариф і час:

$$C_{без} = P_{ном} \cdot t \cdot T, \quad (1)$$

де:

$P_{ном}$ – номінальна потужність обладнання (кВт),

t – час роботи (год),

Т– тариф (грн/кВт·год).

Для нашого випадку Р=54,5 кВт, протягом робочого дня t=8 год/день, та за тарифом Т= 5 грн/кВт·год, отримаємо вартість електроенергії:

$$C_{без} = 54,5 \cdot 8 \cdot 5 = 2180\, грн / день,$$

З урахуванням прогнозу (наприклад, 15% зниження через простій):

$$C_з = (P_{ном} - \Delta P) \cdot t \cdot T, \quad (2)$$

де ΔР– знижене навантаження через прогнозовані простої (наприклад, 7.5 кВт),

В такому разі вартість становитиме:

$$C_з = (54,5 - 7,5) \cdot 8 \cdot 5 = 1853 \text{ грн/день}$$

Економія 327 грн на день -і це лише для 3-х станків

Порівняємо денне споживання з урахуванням стану обладнання та без. На графіку (рис. 3) видно різницю в даних щодо спожитої енергії. Синя лінія – номінальне споживання (без прогнозу), помаранчева – прогнозоване (з урахуванням простоїв і дефектів).

Рис. 3. Порівняльні графіки прогнозування електроспоживання

Отже, як ми бачимо, використання ПКП надасть економії енергоресурсів і як наслідок енгерговитрат на 10–20% в початковому наближенні. У модулі прогнозування використовується модель LightGBM – легка, швидка та точна реалізація градієнтного бустингу. Модель навчається на основі попередньо підготовлених ознак, серед яких:

- hour – година доби,
- is_dayoff – ознака вихідного дня,
- avg_vibration, avg_temp – агреговані значення телеметрії,
- power_on_duration – тривалість безперервної роботи обладнання.

Користувач починає роботу з інтерфейсу, відкриваючи вебсторінку за адресою http://127.0.0.1:5000/dashboard.

Саме тут починається ланцюг подій: веб інтерфейс, створений за допомогою фреймворку Flask, ініціює запит до нашого програмного комплексу для отримання прогнозу енергоспоживання (рис. 4). Цей запит передається до оркестратора, спеціального модуля, який виконує роль «посередника» між інтерфейсом та модулем машинного навчання. Його завдання – не обробляти дані, а направляти запит туди, де його можуть правильно обробити.

ISSN 2786-5460 (Print), ISSN 2786-5479 (Online)

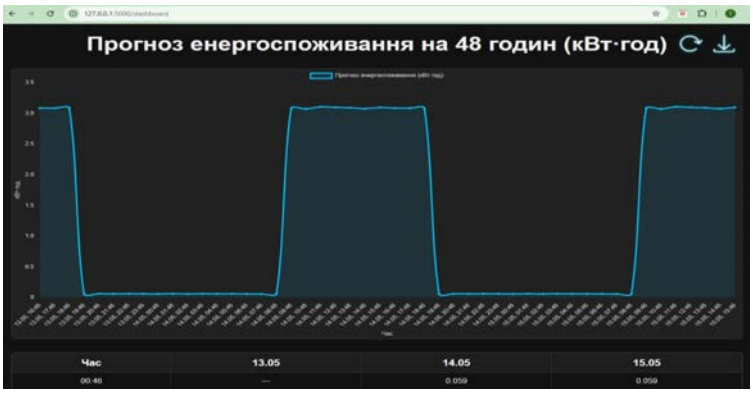

Рис. 4. Інтерфейс системи

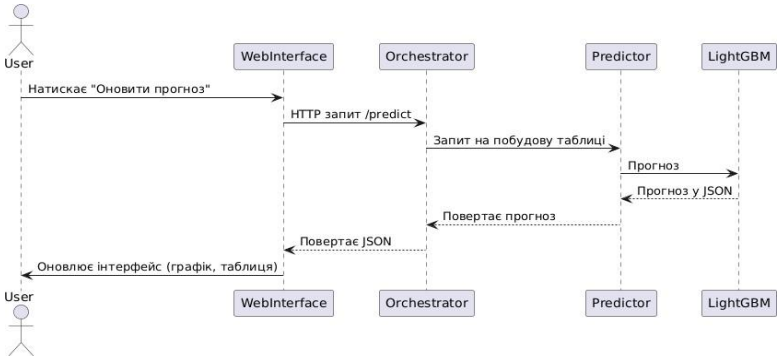

Рис. 5. Діаграма послідовності оновлення прогнозу енергоспоживання

Програма дозволяє не лише передбачати споживання, а й аналізувати потенційну готовність обладнання до роботи [8]. У разі збоїв або зупинок, програма автоматично формує звіт про нереалізоване енергоспоживання [9]. Наприклад, при виході з ладу фрезерного верстата на одну зміну, визначається, що плановий обсяг споживання зменшиться на 25 кВт·год [12]. Цей надлишок можна реалізувати через внутрішню енергетичну біржу підприємства.

Висновки. Запропонована система демонструє потенціал до зниження витрат, оптимізації споживання та підвищення гнучкості енергетичного менеджменту підприємств. Подальші дослідження передбачають впровадження механізмів самообучення та інтеграцію з платформами енергетичного ринку.

Список використаних джерел:

1. Angamuthu M. Smart manufacturing: AI and cloud data engineering for predictive maintenance. *European Journal of Computer Science and Information Technology*. 2025. Vol. 13. P. 100–119. DOI: 10.37745/ejcsit.2013/vol13n25100119.

2. Avazov K., Sevinov J., Temerbekova B., Bekimbetova G., Mamanazarov U., Abdusalomov A., Cho Y. Hybrid cloud-based information and control system using LSTM-DNN neural networks for optimization of metallurgical production. *Processes*. 2025. Vol. 13. Art. 2237. DOI: 10.3390/pr13072237.

3. Bashir F., Khan F. Analysis of job failure prediction in a cloud environment by applying machine learning techniques. *International Journal of Innovations in Science and Technology*. 2022. Vol. 4. P. 184–192. DOI: 10.33411/IJIST/2022040407.

4. Hrudzinskiy J. Технології сучасних кібер-фізичних систем. Київ : НТУУ «КПІ ім. Ігоря Сікорського», 2020.

5. Jassas M., Mahmoud Q. Analysis of job failure and prediction model for cloud computing using machine learning. *Sensors*. 2022. Vol. 22. Art. 2035. DOI: 10.3390/s22052035.

6. Kumari P., Dubey V., Jain M., Mishra G. Machine learning-based model for predicting failure of physical machines in cloud computing. *Communications in Computer and Information Science*. 2023. DOI: 10.1007/978-981-99-4795-9_39.

7. Leroux S., Simoens P. Hybrid edge–cloud models for bearing failure detection in a fleet of machines. *Electronics*. 2024. Vol. 13. Art. 5034. DOI: 10.3390/electronics13245034.

8. Matov O. Туманні обчислення та їхнє математичне моделювання. *Інститут проблем реєстрації інформації НАН України*. 2021. DOI: 10.35681/1560-9189.2021.23.3.244787.

9. Mousavi S. Machine learning applications for predictive energy analytics. *Journal of Industrial Engineering*. 2023.

10. Real-time demand response algorithms [Electronic resource]. *IEEE Xplore*, 2021. URL: https://ieeexplore.ieee.org (accessed: 24.12.2025).

11. Shaikh M. Benchmarking and goal-driven approach for developers for Industry 4.0 applications. *Scientific and Social Research*. 2025. Vol. 7. P. 22–30. DOI: 10.26689/ssr.v7i5.10220.

12. Ullah A. A case study on improving sustainable strategies and performance through implementation of digital transformation and ESG in Schneider Electric. 2025. DOI: 10.13140/RG.2.2.31086.52803.

13. Wang H. et al. Architectural design alternatives based on Cloud/Edge/Fog computing for connected vehicles. *IEEE Communications Surveys & Tutorials*. 2020. Vol. 22, No. 4.

14. Zhang X., Li Y. Smart energy forecasting in industrial systems // *Energy Reports*. 2022.

15. Електронний навчальний архів КПІ ім. Ігоря Сікорського. URL: https://ela.kpi.ua/items/f88f6059-411b-43d8-84ae-799a3d87e2ba (accessed: 24.12.2025).

Дата надходження статті: 15.11.2025
Дата прийняття статті: 10.12.2025
Опубліковано: 30.12.2025

УДК 62-97; 519.876.5
DOI https://doi.org/10.32689/maup.it.2025.4.6

Галина ГРИГОРЧУК
доктор філософії, доцент, доцент кафедри фізико-математичних наук,
Івано-Франківський національний технічний університет нафти і газу, grygorchuk.galyna@gmail.com
***ORCID:** 0000-0003-1674-9828*

Любомир ГРИГОРЧУК
кандидат педагогічних наук, доцент,
доцент кафедри інженерії програмного забезпечення,
Івано-Франківський національний технічний університет нафти і газу, grygorchukl@gmail.com
***ORCID:** 0000-0003-0924-5090*

Оксана ГРИГОРЧУК
здобувач вищої освіти кафедри інженерії програмного забезпечення,
факультет інформаційних технологій, Івано-Франківський національний технічний університет нафти і газу,
***ORCID:** 0009-0006-8770-6314*

МАТЕМАТИЧНЕ МОДЕЛЮВАННЯ СУШІННЯ УТФЕЛЮ В БАРАБАННІЙ СУШАРЦІ

Анотація. *У статті розглянуто питання підвищення ефективності процесу сушіння утфелю в барабанних сушарках за рахунок використання математичного моделювання та сучасних підходів до аналізу тепломасообмінних процесів. Основна увага приділена побудові моделі, яка враховує макропроцеси теплопередачі та мікропроцеси адсорбції і десорбції вологи відповідно до рівняння Лангмюра.*

Мета роботи *полягає в розробці комплексної математичної моделі сушіння утфелю з урахуванням макро- та мікропроцесів тепломасообміну, фазових переходів та адсорбційно-десорбційних явищ для прогнозування температурних полів і оптимізації технологічних параметрів.*

Методологія. *Поєднано макромодель зміни параметрів сушильного агента вздовж барабана з мікромоделлю теплопровідності всередині частинки. Кінетика адсорбції-десорбції вологи описана рівнянням Лангмюра. Запропоновано нову граничну умову для поверхні частинки. Чисельне розв'язання виконано методом скінченних різниць.*

Наукова новизна. *Вперше інтегровано макроскопічний теплообмін з мікрорівневими процесами через адсорбційну кінетику Лангмюра. Уведено оригінальну часозалежну граничну умову для теплового балансу поверхні. Продемонстровано еволюцію температурних градієнтів у частинках діаметром ~1 мм з часом вирівнювання 15–25 хвилин. Модель є основою для створення цифрового двійника.*

Висновки. *Розроблена модель адекватно описує двофазний характер сушіння: швидке видалення вільної вологи та повільне видалення зв'язаної вологи. Встановлено, що поверхнева температура може бути на 20–30 °С нижчою за температуру газу. Практичне застосування дозволяє оптимізувати режими сушіння, підвищити енергоефективність на 10–15%, запобігти карамелізації кристалів. Окреслено перспективи створення цифрового двійника для автоматизованого керування.*

Ключові слова: *сушіння утфелю, математична модель, тепломасообмін, адсорбція, десорбція, рівняння Лангмюра,*

Galina GRYGORCHUK, Lyubomir GRYGORCHUK, Oksana HRYHORCHUK. MATHEMATICAL MODELING OF DRYING OF CHOCOLATE IN A DRUM DRYER

Abstract. *The article addresses improving the efficiency of massecuite drying in drum dryers through mathematical modeling and modern approaches to heat and mass transfer analysis. The focus is on developing a model that accounts for macroscopic heat transfer and microscopic moisture adsorption-desorption according to the Langmuir equation.*

Purpose. *To develop a comprehensive mathematical model of massecuite drying accounting for macro- and microprocesses of heat and mass transfer, phase transitions, and adsorption-desorption phenomena for predicting temperature fields and optimizing technological parameters.*

Methodology. *A macromodel of drying agent parameter changes along the drum is combined with a micromodel of heat conduction inside particles. Moisture adsorption-desorption kinetics is described by the Langmuir equation. A novel boundary condition for the particle surface is proposed. Numerical solution is performed using the finite difference method.*

Scientific novelty. *Macroscopic heat exchange is integrated with micro-level processes through Langmuir adsorption kinetics for the first time. An original time-dependent boundary condition for surface thermal balance is introduced. Temperature gradient evolution in ~1 mm diameter particles with 15–25 minute equilibration time is demonstrated. The model serves as a basis for digital twin creation.*

Conclusions. *The model adequately describes two-phase drying: rapid free moisture removal and slow bound moisture removal. Surface temperature can be 20–30 °C lower than gas temperature. Practical application enables drying regime*

© Г. Григорчук, Л. Григорчук, О. Григорчук, 2025

Стаття поширюється на умовах ліцензії CC BY 4.0

optimization, 10–15% energy efficiency improvement, and crystal caramelization prevention. Digital twin prospects for automated control are outlined.

Key words: *massecuite drying, mathematical model, heat and mass transfer, adsorption, desorption, Langmuir equation.*

Вступ. Сушіння утфелю є завершальним етапом у технологічному циклі виробництва цукру, який суттєво впливає на якість кінцевого продукту, енерговитрати та стабільність роботи обладнання. Попри багаторічні дослідження, побудова точних моделей сушіння залишається складною задачею через багатофакторність процесу та взаємодію макро– та мікрорівневих явищ. У науковій літературі розглядаються різні підходи до моделювання сушіння гранульованих матеріалів. Частина робіт базується на емпіричних залежностях між температурою, вологовмістом і часом сушіння. Інші праці використовують макроскопічні моделі на основі рівнянь тепломасообміну, проте більшість із них не враховують:

– адсорбційно-десорбційні процеси на поверхні кристалів;

– неоднорідний розподіл температури усередині частинок утфелю;

– динамічні зміни параметрів сушильного агента вздовж барабана.

У даній роботі пропонується комплексна математична модель сушіння утфелю, що поєднує: макромодель барабанної сушарки; мікромодель частинки утфелю на основі рівнянь теплопровідності; кінетику адсорбції та десорбції за рівняннями Лангмюра; граничні умови, що враховують випаровування вологи з поверхні частинок.

Мета дослідження – розробити математичну модель процесу сушіння утфелю, яка дозволить враховувати тепломасообмін, фазові переходи та мікропроцеси, а також забезпечить точний прогноз температури, вологості й тривалості сушіння. Отримані результати можуть бути використані для оптимізації режимів сушіння, управління якістю продукту, проектування сушильних апаратів і створення цифрового двійника процесу.

Аналіз останніх досліджень і публікацій, в яких започатковано розв'язання даної проблеми і на які спирається автор, виділення невирішених раніше частин загальної проблеми. Проблема моделювання процесів сушіння активно досліджується у світовій науковій спільноті. Сучасні підходи включають як експериментальні, так і чисельні методи, що дозволяють описувати кінетику випаровування та внутрішній розподіл температури у матеріалі. У монографії Mujumdar [8] систематизовано теоретичні основи промислового сушіння та наведено приклади інженерних рішень. Farkas [3] акцентує увагу на математичному моделюванні переносу вологи, підкреслюючи необхідність поєднання макро- і мікропідходів. Kumar і Karim [4] досліджували комбіновані методи сушіння, що демонструють складну динаміку тепломасообміну. Chen та Mujumdar [2] відзначають нові тенденції, зокрема застосування комп'ютерного моделювання для створення цифрових двійників. Wang [11] показали ефективність поєднання рівнянь теплопровідності та масопереносу для барабанних сушарок. Shevchenko та Goryachko [10] запропонували кінетичні моделі сушіння цукру з урахуванням поверхневих явищ. Li і Zhang [7] наголосили на ролі цифрових двійників у процесах сушіння. Важливий внесок зроблено й українськими вченими. Petryk та Vorobiev [9] досліджували вираження вологи з м'яких рослинних матеріалів, застосовуючи аналітичні й чисельні методи. Lebovka [5] розвинули підходи Монте-Карло до адсорбційних процесів. Boyko, Petryk і Lebovka [1] показали можливість використання квантово-механічних інваріантів для опису тунельного транспорту, а Lebovka [6] дослідили структуру випадкових адсорбційних пакувань. Таким чином, сучасні публікації підтверджують, що перспективним є поєднання макро- та мікромоделей із включенням кінетики адсорбції/десорбції та чисельних методів розв'язання рівнянь тепломасообміну.

Виклад основного матеріалу дослідження з повним обґрунтуванням отриманих наукових результатів. Розглянемо математичну модель. Для опису процесу сушіння утфелю у барабанній сушарці використано поєднання макро- та мікромоделі. Макромодель враховує зміну температури та вологості сушильного агента вздовж барабана, а мікромодель описує тепломасообмін усередині частинок утфелю. Граничні умови враховують випаровування вологи, а адсорбційно-десорбційні процеси описані рівняннями Лангмюра [10]. Для дослідження процесу сушки цукру у барабані зробимо деякі припущення і розглянемо локальні константи (параметри). Область задання барабана визначимо як вісь барабана: x∈[0, L], довжиною L; частинка сировини вважається сферичною радіуса: r ∈[0,R]. Температура повітря: T(x, t), а температура сировини (в частинці): S(r,t,x) або поверхневе значення S_s(x,t)= S(R, r, x,t). Вологість газу (водяної пари) у потоці: Y(x,t) (масова частка/вологовміст). Вміст вологи в твердому:c_w(r,t) (кг/м^3) або w(r,t)) (кг води/кг сухої речовини). Поверхневе покриття активних центрів водою: θ(x,t)∈[0,1] (модель Лангмюра).

ISSN 2786-5460 (Print), ISSN 2786-5479 (Online)

Рівняння теплопровідності у середині частинки утфелю(мікро-рівень):

$$\rho_s \cdot c_{ps} \cdot \frac{\partial S}{\partial t} = k_s \left(\frac{1}{r^2} \frac{\partial}{\partial t}\left(r^2 \frac{\partial S}{\partial r}\right)\right),\ 0<r<R \quad (1)$$

Граничні умови:

$\frac{\partial S}{\partial r}|_{r=0} = 0$,

$$k_s \cdot \frac{\partial S}{\partial r}|_{r=0} = h(x,t) \cdot (T(x,t) - S_s(x,t)) - L_v \cdot N(x,t) \quad (2)$$

Тут $T(x,t)$– температура газу над частинкою, h – коефіцієнт теплообміну, $N(x,t)$ – масовий потік випаровування (якщо враховувати Лангмюра – він іде з кінетики).

Початкова умова для цієї частинки (в кожному x):

$S(r,0,x) = S(r,x)$

Інтерпретація: залежність від x означає, що параметри та збурення на межі $T(x,t)$, $h(x,t)$, $N(x,t)$ змінюються вздовж барабана, і тому задача по r фактично «параметризована» по x

Гранична умова містить «змішаний» член $h \cdot S_s$ і додаток $h \cdot T - L_v \cdot N$. Винесемо часову «опору»

$$S_\infty(t) := T(t) - \frac{L_0}{h} N(t) \quad (3)$$

(це та температура на поверхні, при якій конвективний підвід тепла врівноважує тепловитрати на випаровування). Введемо нову змінну:

$$\theta(r,t) = S(r,t) - S_\infty(t). \quad (4)$$

Тоді у центрі: $\partial\theta / \partial r|_{r=0} = 0$, а на поверхні $-k_s \left.\frac{\partial\theta}{\partial r}\right|_{r=R} = h\left((T - S_\infty) - \theta_s\right) - L_v N = h(0 - \theta_s) \Rightarrow \left.\frac{\partial\theta}{\partial r}\right|_{r=R} + \frac{h}{k_s}\theta_s = 0$ (5)

Це є однорідна Робін-умова. У рівнянні появляється «джерело» від $\dot{S}_\infty(t): \rho_s C_{ps} \frac{\partial\theta}{\partial t} = k_s \left(\frac{1}{r^2}\frac{\partial}{\partial r}\left(r^2 \frac{\partial\theta}{\partial r}\right)\right) - p_s C_{ps} \dot{S}_\infty(t)$ (6)

Отже маємо стандартне однорідне крайове завдання + відома (часова) праворуч.

Розглянемо власні функції сфери (однорідна частина). Нормуємо радіус:

$\rho = r / R \in [0,1]$ $\alpha_s = k_s / (P_s C_{ps})$ –температуропровідність $B_i = hR / k_s$ Шукаємо власні форми)) $\phi(\rho)$ з умовами

$$\frac{1}{\rho^2}\frac{d}{d\rho}\left(\rho^2 \frac{d\phi}{d\rho}\right) + \beta^2\phi = 0, \left.\frac{d\phi}{d\rho}\right|_{p=0} = 0, \left.\frac{d\phi}{d\rho}\right|_{\rho=1} + Bi\phi(1) = 0.$$

Регулярно при $\rho \to 0$ (7)

$$\phi(p) = \frac{\sin(\beta_\rho)}{\beta_\rho} \quad (8)$$

Гранична умова на $\rho = 1$, *дає спектральний аналіз для* β_n

$$\beta_n \cos\beta_n + (B_i - 1)\sin\beta_n = 0 = \beta_n \cot\beta_n = 1 - B_i$$

Це перевіряється на крайніх випадках:

$$B_i \to 0 \tan\beta_n = \beta_n$$

$$B_i \to \infty \quad (\text{задана} S_s) \quad \beta_n \to n\pi$$

Гомогенний розв'язок для θ

$$\theta_h(p,t) = \sum_{n=1}^{\infty} A_n \phi_n(p) e^{-\beta_n^2 \alpha_s t / R^2}, \quad (9)$$

$$\text{де } \phi_n(\rho) = \frac{\sin(\beta_n \cdot \rho)}{\beta_n \cdot \rho} \quad (10)$$

Коефіцієнти A_n визначаються з початкового відхилення

$$\theta(p,0) = s(r,0) - s_\infty(0) \quad (11)$$

за скалярним добутком з вагою Á²

$$A_n = \frac{\int_0^1 \theta(p)\phi_n(\rho)\rho^2 d\rho}{\int_0^1 \phi_n^2(Á) Á^2 dÁ} \quad (12)$$

$$\dot{S}_\infty(t) - \rho_s C_{ps} \dot{s}_\infty(t)$$

Як це інтерпретувати:

– <<Eθν026.επσ>>– температура поверхні частинки.
– <<Eθν027.επσ>>– швидкість зміни цієї температури за часом.
– <<Eθν028.επσ>>– акумульоване тепло в твердому тілі, яке витрачається на нагрівання.
– Вираз у квадраті $\dot{S}_\infty(t) - \rho_s C_{ps} \dot{s}_\infty(t)$

відображає різницю між підведеним тепловим потоком і тим, що йде на нагрівання матеріалу. Інтерпретація: залежність від x означає, що параметри та збурення на межі $T(x,t)$, $h(x,t)$, $N(x,t)$ змінюються вздовж барабана, і тому задача по r фактично «параметризована» x

Коли S(r,t, x) можна замінити на «згруднену» $S_s(x,t)$ перевіряємо біотів критерій для тепла:

$$Bi_T = \frac{hR}{k_s} \quad (13)$$

Якщо $Bi_T \ll 0.1$— температура всередині частинки майже рівномірна, можна покласти $S(r,t,x) \approx S_s(x,t)$ і перейти до ODE[1]:

$$m_s \cdot c_{ps} \frac{dS_s}{dt} = h \cdot A(T - S_s) - L_v \cdot A \cdot N \quad (14)$$

Якщо $Bi_T \gtrsim 0.1$– внутрішні градієнти суттєві, залишаємо повну PDE по r, що ми і робимо.
Кінетика адсорбції/десорбції за Лангмюром[6]:

$$\frac{d\theta}{dt} = k \cdot a(1 - \theta) \cdot Y - kd\,\theta \quad (15)$$

Часозалежна гранична температура:

$$S_\infty = T(t) - (L_y / h) \cdot N(t) \quad (16)$$

Власні функції сфери (однорідна частина). Нормуємо радіус

$$P = r / R \in [0,1], \quad (17)$$

де

$\alpha_s = k_s / (P_s C_{ps})$– температуропровідність

$$Bi = h \bullet R / k_s \quad (18)$$

Шукаємо власні форми $\phi(p)$ з умовами

$$\frac{1}{p^2}\frac{d}{d\rho}\left(\rho^2 \frac{d\phi}{d\rho}\right) + \beta^2 \phi = 0, \left.\frac{d\phi}{dP}\right|_{p=0} = 0, \left.\frac{d\phi}{d_P}\right|_{P=1} + Bi\phi(1) = 0.$$

Розглянемо результати чисельного моделювання. Визначимо зміст основних графіків.

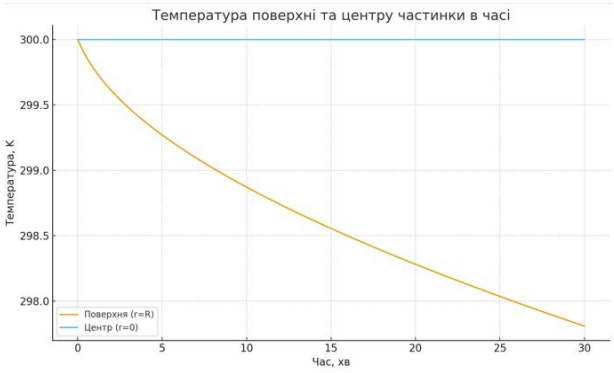

Рис. 1. Розподіл температури всередині частинки утфелю

Аналіз температурних профілів показує, що на початковому етапі сушіння відбувається різке охолодження поверхні частинки через інтенсивне випаровування вологи. Це створює помітний температурний градієнт між поверхнею і центром кристалу [11]. Подальше зростання часу сушіння супроводжується поступовим вирівнюванням температури всередині частинки завдяки теплопровідності. Така динаміка підтверджує правильність застосування мікромоделі, оскільки внутрішня неоднорідність суттєво впливає на швидкість процесу. Для частинок діаметром близько 1 мм встановлено, що ізотермічний стан формується приблизно через 20 хвилин після початку сушіння.

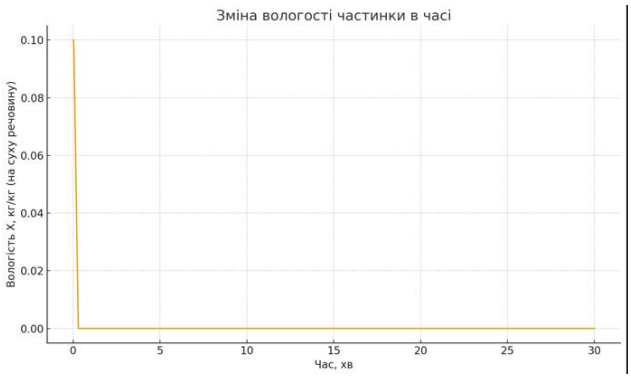

Рис. 2. Динаміка вологості частинки утфелю

ISSN 2786-5460 (Print), ISSN 2786-5479 (Online)

Спостерігаються два етапи: швидке випаровування вільної вологи та повільне зниження залишкової вологості. Криві вологості демонструють двофазний характер процесу. Спочатку відбувається швидке видалення вільної вологи, що зумовлює інтенсивне зниження загального вологовмісту [9]. Цей етап супроводжується високою швидкістю випаровування і відповідає режиму постійної швидкості сушіння. На другому етапі процес уповільнюється: у матеріалі залишається лише зв'язана волога, і швидкість її видалення визначається дифузією та десорбційними явищами. Включення рівняння Лангмюра у модель дозволило більш коректно описати цей перехід і підтвердило адекватність моделі для прогнозування кінцевого вологовмісту.

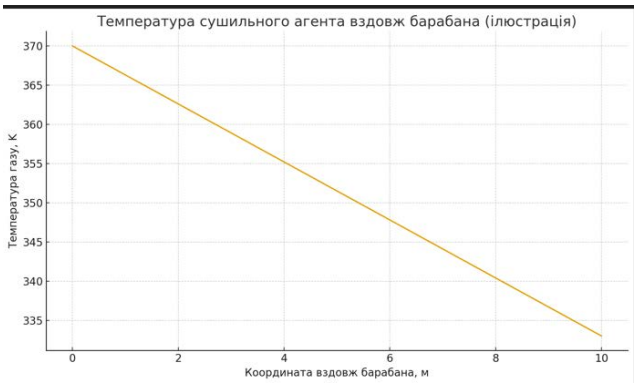

Рис. 3. Температура сушильного агента вздовж барабана

Залежність температури газового потоку від координати барабана свідчить про поступове зниження температури вздовж осі апарата. Основною причиною є витрати тепла на випаровування вологи та нагрівання твердої фази. На початковій ділянці барабана температурний спад найбільш різкий, що пояснюється високою швидкістю випаровування та великим перепадом температур між агентом і частинками. У міру руху уздовж барабана температура газу знижується повільніше, що узгоджується з переходом до другого етапу сушіння. Отримані результати підтверджують адекватність розрахункової моделі і можуть бути використані для оптимізації довжини та теплового режиму сушарки [2].

Аналіз результатів:

1. **Основні Тепловий стан частинок:** поверхня кристалу на початку сушіння охолоджується на 20–30 °C нижче за температуру газового потоку. час вирівнювання температури для частинок діаметром ~1 мм становить 15–25 хвилин, після чого система переходить у майже ізотермічний стан.

2. **Динаміка видалення вологи** [6, 8, 9]: процес має два етапи: швидке випаровування вільної вологи та повільне зниження залишкової; модель Лангмюра дозволяє адекватно описати перехід від інтенсивного випаровування до дифузійного режиму.

3. **Температура сушильного агента** [2, 11]: температура газового потоку знижується вздовж барабана через витрати тепла на нагрівання та випаровування; найбільший спад спостерігається на початку барабана, далі процес стабілізується у повільнішій фазі сушіння.

Наукова новизна:

1. Запропоновано комплексний підхід до опису сушіння, який враховує не лише макроскопічний теплообмін, але й мікрорівневі процеси перенесення вологи (адсорбція/десорбція за рівнянням Лангмюра).

2. Уведено часозалежну граничну умову для поверхні частинки:

S_∞ =T(t)-(L_y /h)·N(t), що відображає реальний баланс між нагріванням газом і охолодженням випаровуванням.

3. Продемонстровано формування та зникнення температурних градієнтів усередині частинки, що має ключове значення для розуміння внутрішньої динаміки сушіння.

4. Запропонована модель може слугувати основою для створення цифрового двійника процесу сушіння утфелю, що раніше системно не розглядалося.

Результати. Показано, що поверхнева температура частинки значно нижча за температуру газу через витрати тепла на випаровування, різниця може сягати десятків градусів. Встановлено, що для частинок розміром близько 1 мм характерний час внутрішнього вирівнювання температури становить десятки хвилин, що узгоджується з реальними масштабами процесу сушіння. Модельні профілі підтверджують: на початковому етапі формується сильний градієнт «поверхня – центр», який з часом згладжується завдяки теплопровідності.

Практична реалізація системи. Оптимізація режимів сушіння: можливість передбачати температуру всередині зерен утфелю дозволяє уникати перегріву та знизити енерговитрати. Підвищення якості продукту: контроль температурного профілю дає змогу мінімізувати грудкування та карамелізацію кристалів цукру. Проєктування та модернізація сушильних апаратів: модель може бути використана для вибору оптимальних параметрів барабана та температурного режиму. Автоматизація процесу: розроблена модель може стати ядром системи керування на основі цифрового двійника, яка динамічно адаптує параметри сушіння в реальному часі.

Висновки. У роботі розроблено математичну модель сушіння утфелю в барабанній сушарці, яка враховує макро- та мікропроцеси, тепломасообмін, фазові переходи та адсорбційно-десорбційні явища. Отримані результати дозволяють оптимізувати режими сушіння, підвищити якість продукту, зменшити енерговитрати та створити цифровий двійник процесу для автоматизованих систем керування.

Список використаних джерел:

1. Boyko I., Petryk M., Lebovka N. Application of the Lewis-Riesenfeld quantum mechanical invariant method for description of electron tunneling transport in nitride multilayer quantum well nanostructures. *Physics Letters A.* 2023. Vol. 489. Article 129152. DOI: 10.1016/j.physleta.2023.129152.

2. Chen X. D., Mujumdar A. S. Drying processes: recent advances and future directions. *Chemical Engineering Research and Design*. 2022. Vol. 178. P. 1–15. DOI: 10.1016/j.cherd.2021.11.023.

3. Farkas I. Mathematical modeling of moisture transport in drying processes. *Drying Technology*. 2021. Vol. 39(2). P. 145–158. DOI: 10.1080/07373937.2019.1705847.

4. Kumar C., Karim M. A. Microwave and convective drying of food materials: modeling and experimental validation. *Journal of Food Engineering*. 2020. Vol. 281. Article 109985. DOI: 10.1016/j.jfoodeng.2020.109985.

5. Lebovka N., Petyk M., Tatochenko M., Vygornitskii N. Two-stage random sequential adsorption of discorectangles and disks on a two-dimensional surface. *Physical Review E.* 2023. Vol. 108. Article 024109. DOI: 10.1103/PhysRevE.108.024109.

6. Lebovka N. I., Bulavin L. A., Kovalchuk V. I., Petryk M. R., Vygornitskii N. V. Impact of ageing on structure of random sequential adsorption packings of discorectangles. *Journal of Physics A: Mathematical and Theoretical*. 2024. Vol. 57(33). Article 335001. DOI: 10.1088/1751-8121/ad6652.

7. Li Z., Zhang H. Application of digital twins in drying process optimization. *Computers and Chemical Engineering*. 2024. Vol. 185. Article 108591. DOI: 10.1016/j.compchemeng.2024.108591.

8. Mujumdar A. S. Handbook of Industrial Drying. 4th ed. CRC Press, 2020. 1280 p.

9. Petryk M., Vorobiev E. Numerical and Analytical Modelling of Solid-Liquid Expression from Soft Plant Materials. *AIChE Journal*. 2013. Vol. 59(12). P. 4762–4771. DOI: 10.1002/aic.14213.

10. Shevchenko V. I., Goryachko A. O. Kinetic models of sugar drying: adsorption and desorption aspects. *Ukrainian Food Journal*. 2020. Vol. 9(4). P. 780–791. DOI: 10.24263/2304-974X-2020-9-4-12.

11. Wang J., Li Y., Xu J. Coupled heat and mass transfer in drum dryers for granular materials. *Applied Thermal Engineering*. 2023. Vol. 225. Article 120130. DOI: 10.1016/j.applthermaleng.2023.120130.

Дата надходження статті: 23.11.2025
Дата прийняття статті: 10.12.2025
Опубліковано: 30.12.2025

УДК 65.012
DOI https://doi.org/10.32689/maup.it.2025.4.7

Наталія ДОЦЕНКО
доктор технічних наук, професор, професор кафедри управління проєктами в міському господарстві і будівництві, Харківський національний університет міського господарства імені О.М. Бекетова, nvdotsenko@gmail.com
***ORCID:** 0000-0003-3570-5900*

Ярослав ЛУЦІВ
аспірант кафедри управління проєктами в міському господарстві і будівництві, Харківський національний університет міського господарства імені О.М. Бекетова, Yaroslav.Lutsiv@kname.edu.ua
***ORCID:** 0009-0009-9764-2256*

РОЗРОБКА МОДЕЛІ ІНСТРУМЕНТАЛЬНОГО ЗАБЕЗПЕЧЕННЯ ТРАНСФОРМАЦІЇ ПРОЦЕСІВ УПРАВЛІННЯ ЛЮДСЬКИМИ РЕСУРСАМИ В МУЛЬТИПРОЄКТНОМУ СЕРЕДОВИЩІ

Анотація. *Стаття присвячена розробці моделі інструментального забезпечення трансформації процесів управління людськими ресурсами в мультипроєктному середовищі. Використання моделі сприятиме забезпеченню трансформації процесів управління ресурсним забезпеченням та сталому розвитку проєктно-орієнтованих організацій.*

Метою *дослідження є розробка моделі інструментального забезпечення трансформації процесів управління людськими ресурсами в мультипроєктному середовищі для підвищення ефективності прийняття управлінських рішень.*

При проведенні дослідженні використовується ***методологія*** *проєктно-орієнтованого управління ресурсами, донорно-акцепторний та стейкхолдер-орієнтований підходи до управління проєктами в мультипроєктному середовищі.*

Науковою новизною *є розробка моделі інструментального забезпечення трансформації процесів управління людськими ресурсами в мультипроєктному середовищі та рекомендацій щодо застосування моделі. Визначена структура інструментального забезпечення та розглянуто особливості реалізації визначених модулів. Передбачено використання штучного інтелекту при створенні віртуальної моделі команди в проєктах трансформації процесів управління людськими ресурсами для моделювання сценаріїв перерозподілу ресурсів, аналізу впливу змін та забезпечення ресурсної взаємодії в мультипроєктному середовищі.*

Висновки. *Проведено аналіз систем управління людськими ресурсами в проєктах та програмах. Визначено функціонал та розроблена модель інструментального забезпечення трансформації процесів управління людськими ресурсами в мультипроєктному середовищі. Використання запропонованого інструментального забезпечення надає підтримку трансформації процесів управління людськими ресурсами та сприятиме підвищенню ефективності управління людськими ресурсами, розв'язанню ресурсних конфліктів між елементами мультипроєктного середовища.*

Ключові слова: *управління проєктами, штучний інтелект, управління ресурсами, інструментальне забезпечення, трансформація, процеси, інформаційні технології.*

Nataliia DOTSENKO, Yaroslav LUTSIV. DEVELOPMENT OF A MODEL OF INSTRUMENTAL SUPPORT FOR THE TRANSFORMATION OF HUMAN RESOURCE MANAGEMENT PROCESSES IN A MULTI-PROJECT ENVIRONMENT

Abstract. *The article is devoted to the development of a model of instrumental support for the transformation of human resource management processes in a multi-project environment. The use of the model will contribute to the transformation of resource management processes and the sustainable development of a project-oriented organization.*

The purpose *of the study is to develop a model of instrumental support for the transformation of human resource management processes in a multi-project environment to increase the efficiency of management decision-making.*

The study uses the ***methodology*** *of project-oriented resource management, donor-acceptor and stakeholder-oriented* ***approaches*** *to project management in a multi-project environment.*

The scientific novelty *is the development of a model of instrumental support for the transformation of human resource management processes in a multi-project environment and recommendations for the application of the model. The structure of the instrumental support is determined and the features of the implementation of the specified modules are considered.*

It is envisaged to use artificial intelligence when creating a virtual team model in projects for transforming human resource management processes for modeling resource redistribution scenarios, analyzing the impact of changes, and ensuring resource interaction in a multi-project environment.

Conclusions. *An analysis of human resource management systems in projects and programs was conducted. The functionality was determined and a model of instrumental support for the transformation of human resource management processes in a multi-project environment was developed.*

The use of the proposed instrumental support will provide support for the transformation of human resource management processes, increasing the efficiency of human resource management, and resolving resource conflicts between elements of a multi-project environment.

Key words: *project management, artificial intelligence, resource management, instrumental support, transformation, processes, information technologies.*

© Н. Доценко, Я. Луців, 2025

Стаття поширюється на умовах ліцензії CC BY 4.0

Вступ. Реалізація проєктів в нестабільному та агресивному мультипроєктному середовищі, зміна підходів до формування команд, використання штучного інтелекту та організація мультиагентних гібридних проєктних команд призводить до необхідності трансформації процесів управління людськими ресурсами в мультипроєктному середовищі, що в свою чергу потребує розробку інструментального забезпечення підтримки процесів трансформації.

Аналіз останніх досліджень і публікацій. Аналіз основних тенденцій розвитку управління проєктами, проведений L. Hughes et al. [6] показав, що розвиток PM до 2030 року передбачає:

– інтеграцію людських ресурсів з прогнозним штучним інтелектом (AI) для забезпечення стійкого та сталого управління проєктами;
– створення резельєнтних проєктів: людський чинник при управлінні проєктами та адаптації;
– впровадження Green PM.

Дослідження впливу використання AI на ефективність управління проєктами показали, що його застосування може суттєво вплинути на трансформацію процесів управління, зокрема на процеси людськими ресурсами [2, 10].

AI фреймворки можуть бути використані при призначенні та розподілі ресурсів, формуванні команди, перерозподілі ресурсів [4, 8], але їх використання обмежене можливістю інтеграції в мультипроєктне середовище.

Особливості управління людськими ресурсами у мультипроєктному середовищі:

– залучення спеціалістів в паралельні проєкти;
– перевантаження фахівців,
– невідповідність профілів компетенцій,
– відсутність необхідного обсягу ресурсів;
– конфлікти менеджерів проєктів за ресурси;
– низька прозорість процесу розподілу ресурсів.

В роботах [3, 9] зазначається, що використання AI у поєднані з Agile підходом до управління підвищує ефективність реалізації проєктів у турбулентному середовищі. При використанні класичних підходів до управління проєктами [1] AI дозволить моделювати реалізацію проєкту за рахунок симуляційно-сценарного підходу.

Вплив інформаційних технологій на реалізацію трансформаційних процесів управління визначається узгодженістю цифрових стратегій та структур управління в мультпроєктному технологічному ландшафті [7].

Суттєвими проблемами, пов'язаними з виконанням та ефективністю проєктів, є неефективні процеси, проблеми з комунікацією та недостатня координація між членами команди, відомі як операційна неефективність.

Збільшення обсягу проєктної інформації в мультипроєктному середовищі, функціонування систем в режимі реального часу призводить до необхідності розробки та застосування сучасних інформаційних систем управління людськими ресурсами в мультипроєктному середовищі.

Метою дослідження є розробка моделі інструментального забезпечення трансформації процесів управління людськими ресурсами в мультипроєктному середовищі для підвищення ефективності прийняття управлінських рішень.

При розробці моделі використовується методологія проєктно-орієнтованого управління ресурсами, донорно-акцепторний та стейкхолдер-орієнтований підходи до управління проєктами в мультипроєктному середовищі.

Виклад основного матеріалу дослідження. Під інструментальним забезпеченням трансформації процесів управління людськими ресурсами в мультипроєктному середовищі розглядаємо комплекс математичних моделей, інформаційних технологій, методів оптимізації та аналітичних засобів, спрямованих на цифрову трансформацію процесів управління людськими ресурсами з метою підвищення ефективності використання персоналу та забезпечення адаптивного управління ресурсами в умовах одночасного функціонування проєктів мультипроєктного середовища.

Управління людськими ресурсами в мультипроєктному середовищі передбачає:

– моделювання процесів;
– аналіз компетенцій на всіх рівнях управління (проєктне, програмне, портфельне);
– ризикоорієнтоване управління (ідентифікація, аналіз, оцінка (якісна та кількісна), моніторинг та реагування ризиків які пов'язані з людськими ресурсами або впливають процеси управління людськими ресурсами);
– моделювання сценаріїв управління людськими ресурсами;
– прийняття управлінських рішень;
– моніторинг ефективності.

ISSN 2786-5460 (Print), ISSN 2786-5479 (Online)

Аналіз існуючих систем управління ресурсами проєктів дозволив виділити основні обмеження систем (табл. 1).

Таблиця 1

Системи управління ресурсами проєктів

Назва системи	Призначення	Обмеження
Microsoft Project / Project Online	Планування ресурсів, календарів, завантаження та вартості в межах портфеля	Висока складність; потребує навчання; обмежена колаборація без додаткових продуктів
Jira + Tempo Planner / BigPicture	Планування роботи команд, відстеження завантаження, розподіл ресурсів у Agile/ Scrum/SAFe	Не підходить для складного фінансового моделювання; якість залежить від встановлених плагінів
Monday.com	Розподіл ресурсів, планування навантаження, відстеження статусу робіт	Менше інструментів для точного прогнозування; обмежені фінансові функції
Resource Guru	Чітке бронювання людей/обладнання, керування доступністю та завантаженням	Орієнтований лише на ресурси, не підходить для комплексного управління проєктами
Teamdeck	Планування завантаження, таймтрекінг, управління відпустками та доступністю	Менший набір функцій для планування складних проєктів; немає потужного фінансового модуля
Wrike Resource Management	Призначення ресурсів, управління робочим часом, оптимізація навантаження	Дорожчий тарифний план для ресурсного модуля; складність налаштування
Asana	Балансування завантаження між членами команди, контроль пропускної здатності	Обмежені інструменти прогнозування; не підходить для великих мультипроєктних портфелів
Primavera P6	Управління складними інженерними проєктами та ресурсними моделями	Дуже висока складність; потребує сертифікованих фахівців; складний інтерфейс

Функціонал запропонованого інструментального забезпечення трансформації процесів управління людськими ресурсами в мультипроєктному середовищі наведений в таблиці 2.

Таблиця 2

Функціонал інструментального забезпечення

Компонент	Задачі
Планування ресурсів (Resource Planning)	Визначення ресурсних вимог (кількісні та якісні), сценарне моделювання на мультипроєктному рівні, узгодження ресурсних вимог.
Розподіл ресурсів між проєктами (Allocation/Assignment)	Розподіл та перерозподіл ресурсів між проєктами з урахуванням обмежень. Здійснюється як на етапі планування так і при функціонуванні команди
Управління навичками і компетенціями (Skills& Competency Management)	Створення профілю компетенцій, розробка системи управління критичними компетенціями на рівнях проєкти, програми, портфелі
Управління завантаженням (Workload/ Capacity Management)	Аналіз завантаження ресурсів, прогнозування завантаження ресурсів, розробка вимог до перерозподілу ресурсів
Моніторинг продуктивності та залученості (Performance& Engagement)	Проведення моніторингу продуктивності та залученості членів команд проєктів, членів PMO. Формує інформацію для модулю управління навичками і компетенціями
Управління змінами в ресурсах (Resource Change Control)	Ідентифікація змін в ресурсах (якісні, кількісні параметри), розгляд ресурсних змін, ініціація перерозподілу ресурсів, впровадження ресурсних змін.

Запропонована модель інструментального забезпечення трансформації процесів управління людськими ресурсами в мультипроєктному середовищі складається з елементів:

- модуль збору, інтеграції даних та комунікації (Data, Integration & Messaging);
- аналітичне ядро (Analytics and ML);
- модуль цифрових двійників (Digital Twin);
- модуль ресурсного управління (Optimization & Scheduler): планування, моніторинг, управління змінами;
- модуль візуалізації та UX (Visualization);
- модуль управління знаннями та репозиторій (Knowledge & KM);
- модуль управління безпекою (Security management).

Запропонована модель інструментального забезпечення трансформації процесів управління людськими ресурсами в мультипроєктному середовищі наведена на (рис. 1).

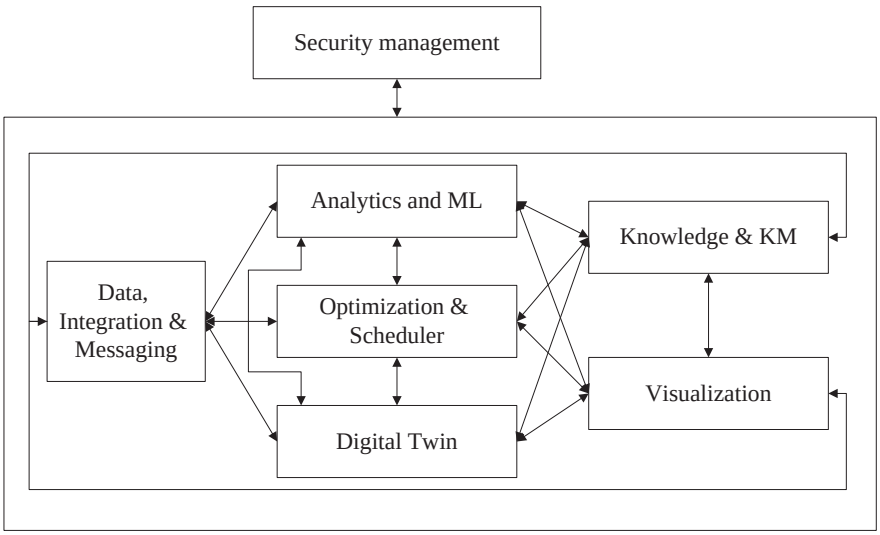

Рис. 1. Модель інструментального забезпечення трансформації процесів управління людськими ресурсами в мультипроєктному середовищі

Модуль збору та інтеграції даних збирає інформацію про вимоги до ресурсів, наявне ресурсне забезпечення (HRIS), дані ERP системи, дані моніторингу щодо показників елементів мультипроєктного середовища, інформацію щодо процесу управління людськими ресурсами.

Аналітичне ядро на підставі оцінки компетенцій, прогнозування потреб у кадрах та вимог до кваліфікації персоналу здійснює моделювання навантаження, розрахунок KPI та показників ефективності. Використання цифрових двійників, віртуальної моделі команд в проєктах трансформації процесів управління людськими ресурсами дозволить здійснювати симуляцію сценаріїв перерозподілу ресурсів та аналізу впливу змін. З метою зниження ризиків, пов'язаних з людським чинником можуть застосовуватися методи машинного навчання. Модуль ресурсного управління базується на використанні підходу до формування функціонально-резервованих команд, описаних в роботі [5].

Інтерфейс користувача передбачає наявність панелі для HR-менеджерів, керівників та членів команди проєктів, інтерактивних дашбордів.

Окремо слід виділити модуль управління знаннями та репозиторій, елементами якого є каталоги організаційних структур, профілі компетенцій, моделі розвитку персоналу, система управління критичними компетенціями. Сценарно-симуляційна підсистема забезпечує моделювання процесів, симуляцію змін у портфелі проєктів, прогнозування зміни профілю компетенцій (TO BE) та оцінку запропонованих рішень на продуктивність команд при різних сценаріях.

Модуль управління безпекою взаємодіє з усіма елементами моделі та забезпечує інформаційну та цифрову безпеку системи.

Створення адаптивної системи забезпечить сталість та урахування швидких змін при змінах структури та пріоритетів проєктів портфеля, пов'язаних зі зміною середовища функціонування.

Висновки. Проведений аналіз систем управління ресурсами в проєктах виявив необхідність розробки інструментального забезпечення трансформації процесів управління людськими ресурсами в мультипроєктному середовищі. Запропонований функціонал системи дозволить забезпечити комплексне управління людськими ресурсами: планування ресурсів; розподіл ресурсів між проєктами; управління навичками і компетенціями; управління завантаженням; моніторинг продуктивності та залученості; управління змінами в ресурсах.

Розроблено модель інструментального забезпечення трансформації процесів управління людськими ресурсами в мультипроєктному середовищі.

Використання запропонованого інструментального забезпечення дозволить надати підтримку трансформації процесів управління людськими ресурсами та сприятиме підвищенню ефективності управління людськими ресурсами, розв'язанню ресурсних конфліктів між елементами мультипроєктного середовища.

ISSN 2786-5460 (Print), ISSN 2786-5479 (Online)

Список використаних джерел:

1. A Guide to the Project Management Body of Knowledge (PMBOK Guide) Seventh Edition and The Standard for Project Management 2021.

2. Bajrami N., Ahmeti F. Harnessing artificial intelligence in shaping entrepreneurial success: Rethinking HR practices. *Multidisciplinary Science Journal*, 2025. 8(5), 2026361. https://doi.org/10.31893/multiscience.2026361

3. Bushuyev S., Chumachenko I., Galkin A., Bushuiev D., Dotsenko N. Sustainable Development Projects Implementing in BANI Environment Based on AI Tools. Sustainability 2025, 17, 2607. https://doi.org/10.3390/su17062607

4. Cancer V., Tominc P., Rozman M. Multi-criteria measurement of AI support to project management. *IEEE Access.* 2023. 11, 142816–142828. https://doi.org/10.1109/ ACCESS.2023.3342276

5. Dotsenko N., Chumachenko I., Kraivskyi B., Railian M., Litvinov A. Methodological support for managing of critical competences in agile transformation projects within a multi-project medical environment. *Advanced Information Systems*, 2024. 8(4), 26–33. https://doi.org/10.20998/2522-9052.2024.4.04

6. L. Hughes et al. Impact of artificial intelligence on project management (PM): Multi-expert perspectives on advancing knowledge and driving innovation toward PM2030. *Journal of Innovation & Knowledge,* 2025. 10, 100772. https://doi.org/10.1016/j.jik.2025.100772

7. Perdana A., Bharathi S. V., Karim R., Arifin S., Srivastava A. (Eds.). Digital Strategy and Governance in Transformative Technologies (1st ed.). 2025. CRC Press. https://doi.org/10.1201/9781003477808

8. Song L., Minku L. L. Artificial Intelligence in Software Project Management. In: Romero, J.R., Medina-Bulo, I., Chicano, F. (eds) Optimising the Software Development Process with Artificial Intelligence. Natural Computing Series. Springer, Singapore. 2023. https://doi.org/10.1007/978-981-19-9948-2_2

9. Tominc P., Oreški D., Rožman M. Artificial Intelligence and Agility-Based Model for Successful Project Implementation and Company Competitiveness. *Information.* 2023, 14, 337. https://doi.org/10.3390/info14060337

10. V. Aramali et al. Generative AI in project management: Impacts on corporate values, employee perceptions, and organizational practices. *Project Leadership and Society*, 6, 2025, 100191. https://doi.org/10.1016/j.plas.2025.1001914

Дата надходження статті: 26.11.2025
Дата прийняття статті: 10.12.2025
Опубліковано: 30.12.2025

УДК 004.4:004.8:004.052
DOI https://doi.org/10.32689/maup.it.2025.4.8

Віталій ЖЕПЛІНСЬКИЙ
здобувач вищої освіти кафедри інформаційних систем та мереж,
Національний університет «Львівська політехніка», vitalii.zheplinskyi.mnitm.2024@lpnu.ua
***ORCID:** 0009-0003-5267-4402*

Михайло ЛУЧКЕВИЧ
кандидат фізико-математичних наук, доцент, доцент кафедри інформаційних систем та мереж,
Національний університет «Львівська політехніка», mykhailo.m.luchkevych@lpnu.ua
***ORCID:** 0000-0002-2196-252X*

ГІБРИДНА МОДЕЛЬ ГЕНЕРАЦІЇ ТЕСТОВИХ СЦЕНАРІЇВ НА ОСНОВІ LLM ТА АНАЛІЗУ ІСТОРІЇ ДЕФЕКТІВ

Анотація. *У статті представлено концепцію гібридної моделі автоматизованого тестування програмного забезпечення, що поєднує можливості великих мовних моделей із аналізом історії дефектів. Модель орієнтована на формування ризик-орієнтованих тестових сценаріїв, здатних адаптивно реагувати на зміни у програмних системах та підвищувати ефективність процесів тестування. Основна увага приділяється інтеграції генеративних можливостей LLM із механізмами аналітики логів, що дозволяє формувати релевантні набори тестів у контексті CI/CD середовищ.*

Мета. *Метою дослідження є розробка концепції інформаційної системи, яка інтегрує технології штучного інтелекту та методи аналізу дефектів для забезпечення більш точного та своєчасного виявлення помилок.*

Методологія. *Особливістю підходу є побудова універсальної гібридної моделі, що може бути масштабована для різних предметних областей розробки ПЗ і не обмежується конкретним класом систем чи технологій. У перспективі модель підтримуватиме механізми пріоритизації тестів за рівнем ризику, що враховуватимуть частоту та критичність дефектів, а також здатність до автоматичного відновлення сценаріїв при змінах у вимогах.*

Наукова новизна. *Наукова новизна дослідження полягає у поєднанні генеративних можливостей LLM з ризик-орієнтованим аналізом історії дефектів, що дозволяє створювати адаптивні та релевантні сценарії тестування.*

Висновок. *Практична цінність полягає у можливості інтеграції запропонованої моделі у сучасні процеси CI/CD з метою зменшення витрат на підтримку автотестів, підвищення точності виявлення критичних помилок і загальної надійності програмного забезпечення. Запропонована модель демонструє потенціал для розвитку інтелектуальних механізмів автоматизованого тестування та побудови гнучкої інфраструктури забезпечення якості, що сприяє ефективному поєднанню інженерних практик із сучасними AI-технологіями.*

Ключові слова: *автоматизоване тестування, великі мовні моделі, історія дефектів, гібридна модель, ризик-орієнтовані сценарії, CI/CD.*

Vitalii ZHEPLINSKYI, Mykhailo LUCHKEVYCH. HYBRID MODEL OF TEST SCENARIO GENERATION BASED ON LLM AND DEFECT HISTORY ANALYSIS

Abstract. *The article presents the concept of a hybrid model of automated software testing that combines the capabilities of large language models with defect history analysis. The model is focused on forming risk-based test scenarios that can adaptively respond to changes in software systems and improve the efficiency of testing processes. Particular attention is paid to integrating the generative capabilities of LLMs with log analytics mechanisms, which enables the creation of relevant test sets in the context of CI/CD environments.*

Purpose. *The purpose of the study is to develop a concept of an information system that integrates artificial intelligence technologies and defect analysis methods to ensure more accurate and timely error detection.*

Methodology. *The key feature of the approach is the construction of a universal hybrid model that can be scaled for various software development domains and is not limited to a specific class of systems or technologies. In the future, the model will support test prioritization mechanisms based on risk levels, taking into account defect frequency and criticality, as well as the ability to automatically restore scenarios when requirements change.*

Scientific novelty. *The scientific novelty of the research lies in combining the generative capabilities of LLMs with risk-based defect history analysis, which enables the creation of adaptive and relevant testing scenarios.*

Conclusion. *The practical value lies in the possibility of integrating the proposed model into modern CI/CD processes to reduce the cost of maintaining automated tests, increase the accuracy of detecting critical errors, and improve overall software reliability. The proposed model demonstrates the potential for developing intelligent mechanisms of automated testing and building a flexible quality assurance infrastructure that promotes the effective combination of engineering practices with modern AI technologies.*

Key words: *automated testing, large language models, defect history, hybrid model, risk-based scenarios, CI/CD.*

© В. Жеплінський, М. Лучкевич, 2025

Стаття поширюється на умовах ліцензії CC BY 4.0

Постановка проблема. Розвиток сучасних інформаційних технологій призвів до суттєвого ускладнення програмних систем та зростання вимог до їхньої якості. В умовах постійного скорочення життєвого циклу програмного забезпечення та широкого застосування практик Continuous Integration / Continuous Deployment (CI/CD) ключовим завданням стає забезпечення надійного та ефективного тестування [1]. Водночас традиційні підходи до автоматизованого тестування демонструють низку обмежень.

По-перше, процес створення тестових сценаріїв є трудомістким і вимагає значних часових та людських ресурсів. По-друге, тестові сценарії швидко втрачають актуальність у зв'язку зі змінами у вимогах та програмних інтерфейсах. По-третє, на практиці часто спостерігається проблема flaky-тестів, які характеризуються непередбачуваними результатами виконання, що знижує рівень довіри до автоматизованого тестування та потребує додаткового ручного втручання.

У відповідь на зазначені виклики у науковій спільноті зростає інтерес до застосування методів штучного інтелекту (AI) для підтримки та оптимізації процесів тестування. Окрему увагу приділяють використанню великих мовних моделей, які демонструють здатність до аналізу вимог, програмного коду та документації з метою автоматизованої генерації тестових сценаріїв [2]. Дослідження у сфері глибокого навчання підтверджують перспективність застосування таких підходів у створенні тестових випадків, проте здебільшого вони зосереджуються лише на одному аспекті – генерації тестів на основі текстових специфікацій.

Таким чином, постає проблема розробки гібридної моделі, яка б поєднувала можливості великих мовних моделей із аналізом історії дефектів для створення релевантних та адаптивних тестових сценаріїв. Реалізація такого підходу дозволить підвищити ефективність автоматизованого тестування, забезпечити пріоритизацію тестів за рівнем ризику та знизити витрати на підтримку тестового середовища.

Аналіз останніх досліджень та публікацій. Упродовж останнього десятиліття спостерігається стале зростання інтересу до застосування методів штучного інтелекту у процесах забезпечення якості програмного забезпечення, зокрема в автоматизованому тестуванні. Базові підходи до автоматичної генерації тестових сценаріїв опираються на використання глибокого навчання для інтерпретації текстових вимог і специфікацій та перетворення їх у формалізовані послідовності дій [3]. Доведено, що такі методи здатні підвищувати швидкість підготовки тестів і зменшувати частку ручної праці, однак їх ефективність суттєво залежить від повноти й якості вихідної текстової документації, а також від наявності чіткої структурованості вимог [10]. Додатковим обмеженням виступає недостатня зв'язаність автоматично згенерованих сценаріїв із реальними дефектами конкретних систем, що призводить до покриття здебільшого «щасливих шляхів» і пропуску критичних, але менш очевидних випадків [8].

У площині застосування великих мовних моделей у тестуванні накопичуються свідчення їх здатності інтерпретувати природномовні артефакти розроблення (user stories, технічні описи, issue-звіти) та синтезувати як тест-кейси, так і код автотестів [9]. Сучасні праці наголошують, що великі мовні моделі (LLM) формують новий клас інструментів підтримки інженерії програмного забезпечення, однак підкреслюють потребу в безпечному вбудовуванні таких моделей у процеси, з огляду на ризики галюцинацій, чутливість до формулювань запитів та відсутність гарантій коректності виводу [7]. Для тестування це означає необхідність додаткових механізмів валідації й пріоритизації, аби відсіяти нерелевантні чи надлишкові сценарії та сфокусуватися на найбільш значущих перевірках.

Сумарний аналіз показує наявність методологічного розриву між лінією досліджень, що зосереджена на генерації тестів із текстових артефактів, і лінією, орієнтованою на передбачення дефектів та аналіз експлуатаційних даних [5]. Перша пропонує високу продуктивність синтезу сценаріїв, але недостатньо враховує емпіричну дефектність конкретної системи; друга забезпечує знання про ризикові зони, проте рідко транслюється у безпосереднє конструювання тестів.

Підсумовуючи, сучасний стан наукових публікацій характеризується наявністю зрілих, але роз'єднаних напрямів: генерація тестів на основі тексту, дефект-предикція та лог-аналітика. Наявні роботи рідко пропонують конструктивний механізм злиття цих ліній у єдину технологічну схему, придатну для безперервних процесів CI/CD і масштабовану в різних доменах [6]. Саме ця прогалина і визначає наукову нішу, яку спрямовано заповнює запропонована у статті гібридна модель генерації тестових сценаріїв на основі LLM та аналізу історії дефектів.

Метою статті є розроблення та обґрунтування гібридної моделі генерації тестових сценаріїв, що поєднує можливості великих мовних моделей та аналітику історії дефектів програмного забезпечення. Такий підхід спрямований на підвищення ефективності автоматизованого тестування шляхом формування ризик-орієнтованих сценаріїв, які забезпечують кращу адаптивність тестових наборів, зменшення витрат на їх підтримку та підвищення рівня виявлення критичних помилок у процесах CI/CD.

Виклад основного матеріалу. Запропонована в даній роботі концепція ґрунтується на створенні гібридної моделі генерації тестових сценаріїв, яка поєднує можливості великих мовних моделей та аналіз історії дефектів програмного забезпечення. Такий підхід спрямований на вирішення проблеми низької адаптивності традиційного автоматизованого тестування та обмеженої здатності існуючих систем враховувати реальні ризики, що підтверджуються історично накопиченими даними про помилки. На відміну від класичних рішень, де тестові сценарії створюються вручну або шляхом використання жорстко закодованих правил, гібридна модель передбачає автоматизовану генерацію сценаріїв з урахуванням статистики дефектів, що дозволяє орієнтуватися на найбільш уразливі ділянки системи.

Архітектурно модель складається з трьох взаємопов'язаних блоків (рис. 1). Перший блок, заснований на LLM, приймає на вхід текстові вимоги, користувацькі історії або документацію та генерує первинний набір тестових сценаріїв. Другий блок здійснює аналіз історії дефектів, журнали виконання програмного забезпечення та дані систем контролю версій. У результаті цього аналізу обчислюється рівень ризику окремих компонентів, що дозволяє визначати їх пріоритетність при тестуванні. Третій блок інтеграції об'єднує результати роботи перших двох, формуючи ризик-орієнтований набір тестів, який може бути безпосередньо інтегрований у середовище CI/CD.

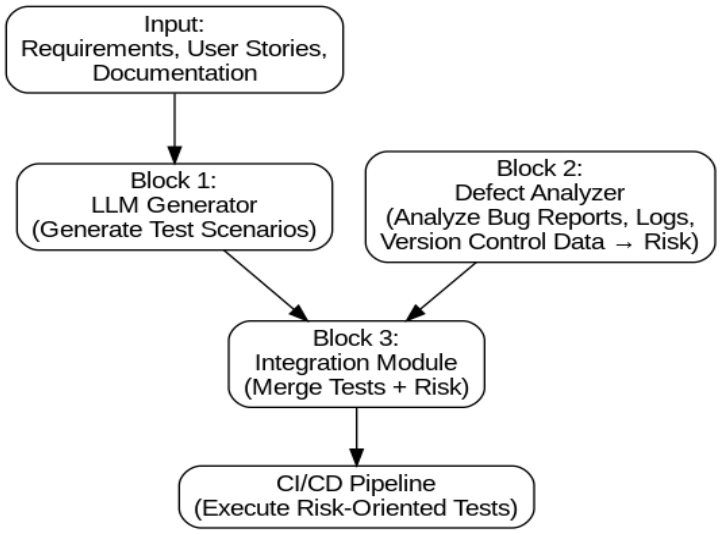

Рис. 1. Архітектурна модель гібридної системи генерації тестових сценаріїв

Для формалізації механізму пріоритизації вводиться функція ризику для компонента R(c):

$$R(c) = \sum_{i=1}^{n} \alpha f_i + \beta p_i + \gamma w_i, \quad (1)$$

де f_i – частота виникнення дефекту певного типу, p_i – ймовірність його повторного виникнення, w_i – ваговий коефіцієнт, що відображає критичність, а α, β, γ – коефіцієнти, які задають значущість кожного фактора. Обчислений рівень ризику використовується для динамічного визначення кількості тестів, що мають бути згенеровані для кожного компонента: чим вищий показник R(c), тим більший обсяг тестових сценаріїв формує система.

Інтеграція моделі у CI/CD-середовище забезпечує автоматичне виконання сценаріїв на кожному етапі життєвого циклу розробки. Процес можна описати як послідовність: розробник завантажує зміни у репозиторій; система CI виконує збірку; запускається модуль аналізу дефектів, який оновлює ризикову модель; LLM генерує нові сценарії або оновлює наявні; об'єднаний набір тестів виконується, а результати зберігаються у звіті. Даний підхід зменшує час на створення тестів та підвищує їхню релевантність у порівнянні з традиційними методами [4].

Оцінювання ефективності запропонованої моделі доцільно здійснювати за допомогою формалізованих метрик. До основних належать: Test Coverage (TC), що визначається як відношення кількості покритих вимог до їх загальної кількості; Defect Detection Rate (DDR), який відображає частку знайдених дефектів від загальної кількості; Mean Time to Test (MTTT), що вимірює середній час виконання тестів; та Flakiness Index (FI), який характеризує відсоток нестабільних тестів. Порівняння цих показників у класичній та гібридній моделі дозволяє зробити висновки про переваги застосованого підходу.

ISSN 2786-5460 (Print), ISSN 2786-5479 (Online)

Ефективність роботи гібридної моделі безпосередньо залежить від алгоритмічного забезпечення кожного її компонента. У модулі аналізу дефектів центральною задачею є обчислення метрик, що відображають ймовірність повторного виникнення помилок. Для цього використовується модель оцінки ризику, яка враховує не лише частоту появи дефектів, але й складність модулів програмного забезпечення, а також щільність змін у їхньому коді.

Визначений рівень ризику використовується для формування так званої матриці пріоритизації тестів, де кожному компоненту ставиться у відповідність кількість і тип сценаріїв, які мають бути згенеровані. Таким чином, якщо історично у модулі авторизації спостерігалася висока кількість критичних дефектів, система автоматично створюватиме додаткові негативні сценарії, орієнтовані на перевірку виняткових випадків.

У модулі генерації сценаріїв на основі LLM ключовим завданням є трансформація текстових специфікацій у формалізовані кроки тестування. Наприклад, для вимоги «користувач має можливість відновити пароль за допомогою електронної пошти» мовна модель здатна побудувати набір сценаріїв: від стандартного введення коректної адреси до некоректних даних, SQL-ін'єкцій та перевірки відсутності витоку інформації. На рис. 2 подано блок-схему, що відображає логіку виконання сценарію.

Рис. 2. Блок-схема сценарію скидання пароля з некоректною електронною адресою

Інтеграція моделі в CI/CD-середовище є важливою умовою її практичної реалізації. Типовий процес включає етапи: отримання останніх змін у коді, запуск модулю аналізу дефектів, формування ризикового профілю, генерацію сценаріїв за допомогою LLM та виконання тестів. Результати у вигляді звітів автоматично зберігаються для подальшого аналізу. Додатково система може адаптувати набір сценаріїв залежно від кількості ресурсів: наприклад, у випадку обмеженого часу виконуються лише тести з найвищим рівнем ризику.

Оцінювання ефективності гібридної моделі можливе через порівняння з класичними методами за низкою формальних метрик. Так, Test Coverage (TC) визначається за формулою:

$$TC = \frac{T_c}{T_t} \times 100\%, \tag{2}$$

де T_c – кількість покритих функціональних вимог, T_t – загальна кількість функціональних вимог.

Інша важлива метрика – Defect Detection Rate (DDR), яка обчислюється як

$$DDR = \frac{D_f}{D_t} \times 100\%, \tag{3}$$

де D_f – кількість знайдених дефектів, а D_t – їхня загальна кількість.

Для оцінки стабільності тестів використовується Flakiness Index, що визначається як відсоток нестабільних тестів серед усіх сценаріїв, які виконуються у середовищі CI/CD.

Висновки. У статті представлено концепцію гібридної моделі генерації тестових сценаріїв, що поєднує можливості великих мовних моделей та аналіз історії дефектів. Запропонований підхід забезпечує перехід від статичного тестування до динамічного та ризик-орієнтованого, де формування сценаріїв відбувається з урахуванням як поточних вимог, так і накопиченого досвіду попередніх збоїв.

Наукова новизна дослідження полягає у створенні моделі, здатної інтегрувати генеративні можливості LLM з механізмами обробки журналів виконання програмного забезпечення. Це дозволяє формувати більш релевантні й адаптивні сценарії, що орієнтуються на зони підвищеного ризику. Практична цінність полягає у можливості зниження витрат на підтримку автотестів, підвищення точності виявлення критичних помилок та інтеграції моделі у сучасні CI/CD-процеси.

Отримані результати свідчать про перспективність застосування гібридних підходів до автоматизованого тестування. Подальші дослідження доцільно спрямувати на розробку методів самоадаптації тестових сценаріїв при суттєвих змінах у програмних системах, а також на впровадження механізмів автоматичного відновлення тестів, що підвищить рівень автономності запропонованої моделі.

Список використаних джерел:

1. Alencar P., Cowan D., Lucena C., Lucena M. Log-based anomaly detection in software systems: A natural language processing approach. *Journal of Systems and Software,* 2020. 165, 110570. https://doi.org/10.1016/j.jss.2020.110570

2. Hellendoorn V. J. Large language models for software engineering: The next generation of tools. *Communications of the ACM,* 2023. 66(7), 34–36. https://doi.org/10.1145/3589300

3. Kiciński P., Dylong T. Applying ChatGPT in Software QA: A comparative study of manual and AI-generated test cases. *Proceedings of the 2024 IEEE International Conference on Software Quality, Reliability and Security (QRS).* 2024.

4. Li W., Zhao Y., Sun Q. Defect data-driven testing strategy optimization. *Software Quality Journal,* 2023. 31(2), 487–509.

5. Liu C., Wu J., Lu P. A hybrid framework for AI-assisted test case generation using bug reports. *IEEE Access,* 2023. 11, 90345–90358.

6. Panichella A., Kifetew F. M., Tonella P. Automated test case generation as a learning task. In *Proceedings of the 40th International Conference on Software Engineering (ICSE'18)* 2018. (pp. 1070–1081). New York, NY: ACM. https://doi.org/10.1145/3180155.3180204

7. Schäfer M., Nadi S., Eghbali A., Tip F. An empirical evaluation of using large language models for automated unit test generation. *IEEE Transactions on Software Engineering,* 2023. 50(1), 85–105. https://doi.org/10.1109/TSE.2023.3334955

8. Wang S., Chen T. Y., Harman M. Test case prioritization using machine learning: A systematic mapping study. *Information and Software Technology,* 2019. 93, 41–57. https://doi.org/10.1016/j.infsof.2017.09.002

9. Wang Y., Guo S., Tan C. W. From code generation to software testing: AI Copilot with context-based RAG. *IEEE Software.* 2025. https://doi.org/10.1109/MS.2025.3549628

10. Zhang J., Harman M., Ma L. Machine learning testing: Survey, landscapes and horizons. *IEEE Transactions on Software Engineering,* 2020. 47(11), 2205–2231. https://doi.org/10.1109/TSE.2019.2962027

Дата надходження статті: 16.11.2025
Дата прийняття статті: 10.12.2025
Опубліковано: 30.12.2025

УДК 004.8
DOI https://doi.org/10.32689/maup.it.2025.4.9

Ганна ЗАВГОРОДНЯ
кандидат технічних наук, доцент, доцент кафедри обчислювальної техніки,
Національний технічний університет України «Київський політехнічний інститут імені Ігоря Сікорського», annzavgorodnya@gmail.com
***ORCID:** 0000-0001-8523-1761*

Валерій ЗАВГОРОДНІЙ
доктор технічних наук, професор, професор кафедри обчислювальної техніки,
Національний технічний університет України «Київський політехнічний інститут імені Ігоря Сікорського», zavgorodniivalerii@gmail.com
***ORCID:** 0000-0002-8347-7183*

МОДЕЛЬ ПРОГНОЗУВАННЯ ПОВЕДІНКИ ГРАВЦІВ У МОБІЛЬНИХ ІГРАХ НА ОСНОВІ МАШИННОГО НАВЧАННЯ

Анотація. *У сучасній індустрії мобільних ігор точне прогнозування поведінки гравців є важливим аспектом для підвищення рівня утримання користувачів, оптимізації ігрового процесу, персоналізації контенту та підвищення ефективності маркетингових стратегій. В умовах зростаючої конкуренції та збільшення обсягу даних про гравців актуальним стає використання методів машинного навчання для автоматизованого аналізу поведінкових патернів та прогнозування подальших дій користувачів.*

Метою *статті є розробка ефективної моделі прогнозування поведінки гравців у мобільних іграх на основі сучасних методів машинного навчання, яка дозволяє визначати ймовірність відтоку користувачів, прогнозувати рівень активності та завершення рівнів, а також оцінювати потенційну участь у внутрішньоігрових транзакціях і реакцію на гейміфіковані стимули.*

Методологія дослідження *ґрунтується на аналізі великого набору анонімізованих поведінкових даних гравців, що включає показники тривалості ігрових сесій, частоту входів, кількість виконаних дій, рівень завершення завдань, кількість внутрішньоігрових покупок, часові проміжки між входами та інші метрики активності. Для побудови моделей прогнозування застосовано алгоритми машинного навчання різних класів: Logistic Regression, K-Nearest Neighbors, Random Forest, Gradient Boosting та багатошарові нейронні мережі. Порівняльний аналіз результатів дозволив виявити оптимальний підхід до передбачення поведінки користувачів із максимальним рівнем точності.*

Наукова новизна *роботи полягає у поєднанні поведінкових характеристик гравців із сучасними алгоритмами ансамблевого навчання та глибинними нейронними мережами для формування комплексної прогностичної моделі. Запропонований підхід дає змогу враховувати складні нелінійні залежності між ознаками, що значно підвищує точність прогнозування у порівнянні з традиційними статистичними методами. Розроблена модель також забезпечує можливість ідентифікації ключових факторів, які впливають на залучення та відтік користувачів, що сприяє формуванню персоналізованих стратегій взаємодії з гравцями.*

Висновки. *Проведені експерименти показали, що запропонована модель забезпечує підвищення точності прогнозування на 12–18% у порівнянні з класичними підходами. Отримані результати демонструють практичну ефективність використання машинного навчання для аналізу поведінки гравців, дозволяють прогнозувати ризик відтоку, формувати індивідуальні рекомендації, адаптувати ігровий контент під користувачів і знижувати економічні втрати розробників. Запропонована система може стати основою для створення інтелектуальних аналітичних модулів у сучасних мобільних іграх, що підтверджує її наукову й прикладну цінність.*

Ключові слова: *поведінка гравців, мобільні ігри, машинне навчання, прогнозування, нейронні мережі, ансамблеві методи.*

Ganna ZAVHORODNIA, Valerii ZAVHORODNII. PLAYER BEHAVIOR PREDICTION MODEL IN MOBILE GAMES BASED ON MACHINE LEARNING

Abstract. *In the modern mobile gaming industry, accurate prediction of player behavior is an important aspect for improving user retention, optimizing gameplay mechanics, personalizing content, and enhancing marketing efficiency. With the growing competition and the massive volume of player data, the application of machine learning methods for automated behavior analysis and prediction has become increasingly relevant and strategically significant.*

Objective. *The purpose of this study is to develop an effective model for predicting player behavior in mobile games using advanced machine learning algorithms. The proposed model aims to determine the probability of player churn, predict in-game activity and level completion, as well as assess potential engagement in in-game transactions and responses to gamified stimuli.*

Methodology. *The research is based on the analysis of a large set of anonymized behavioral data collected from players, including session duration, login frequency, number of actions performed, task completion rate, in-game purchases, inactivity periods,*

© Г. Завгородня, В. Завгородній, 2025

Стаття поширюється на умовах ліцензії CC BY 4.0

and other behavioral metrics. To construct and compare prediction models, several algorithms were applied: Logistic Regression, K-Nearest Neighbors, Random Forest, Gradient Boosting, and multilayer neural networks. Comparative evaluation of their accuracy and F1-score made it possible to identify the most efficient model for predicting user behavior patterns with high precision.

Scientific novelty. *The novelty of this research lies in the integration of behavioral metrics with modern ensemble learning algorithms and deep neural networks to form a comprehensive predictive model. This approach enables the capture of complex nonlinear dependencies between player characteristics, providing a significant accuracy improvement over traditional statistical and baseline machine learning models. The developed system also allows identifying the key factors influencing user engagement and churn, which supports the creation of personalized retention and re-engagement strategies.*

Conclusions. *The experimental results demonstrate that the proposed model increases prediction accuracy by 12–18% compared to classical approaches. The model effectively identifies high-risk players, predicts engagement dynamics, and evaluates the efficiency of personalized in-game offers and retention strategies. The research findings can be applied by mobile game developers to improve player retention, reduce churn rates, and create adaptive gaming experiences tailored to individual behavior patterns. Therefore, the study contributes both to the academic field of game analytics and to practical applications in the modern mobile gaming industry.*

Key words: *player behavior, mobile games, machine learning, prediction, neural networks, ensemble methods.*

Постановка проблеми. Поведінка гравців у мобільних іграх є ключовим фактором успішності ігрових проєктів, економічних показників розробників та рівня утримання користувачів [5; 14]. У сучасній індустрії мобільних ігор утримання активної аудиторії є стратегічним завданням, оскільки навіть незначна втрата користувачів призводить до суттєвих економічних втрат та зниження ефективності маркетингових кампаній [1; 2; 4].

Точне прогнозування поведінки гравців дозволяє вирішувати низку практичних завдань:

– прогнозування відтоку користувачів – ідентифікація гравців із високим ризиком відходу дає змогу застосовувати утримуючі механіки, такі як бонуси, персоналізовані завдання та стимули [3; 6].

– персоналізація ігрового досвіду – знання поведінкових патернів дозволяє адаптувати складність рівнів, пропонувати релевантні внутрішньоігрові покупки та підвищувати залучення [3; 7];

– оптимізація монетизації – прогнозування активності гравців дозволяє визначати потенційних «покупців» і націлювати пропозиції [2; 9; 12].

Складність проблеми зумовлена великою варіативністю поведінки користувачів і численністю ознак, що впливають на активність, включно з тривалістю сесій, частотою входів, рівнем завершення завдань та внутрішньоігровими покупками [10; 11; 15]. Традиційні статистичні методи не завжди здатні моделювати складні нелінійні взаємозв'язки та враховувати високу динаміку поведінки [13; 17].

Сучасні підходи демонструють, що процедурні алгоритми та автоматична генерація контенту дозволяють адаптувати гру під поведінку користувачів і підвищують залучення [1; 3; 4]. Математичне моделювання та формальні методи дослідження забезпечують точну оцінку впливу окремих ознак на поведінку гравців [2–4]. Крім того, застосування методів машинного навчання та нейронних мереж дає змогу виявляти приховані взаємозв'язки між ознаками, що істотно підвищує точність прогнозів [5; 9; 14; 15].

Таким чином, актуальність дослідження зумовлена потребою створення сучасних моделей прогнозування поведінки гравців, що інтегрують машинне навчання, поведінкові метрики та формальні методи оцінки. Розробка таких моделей дозволяє ефективно передбачати відтік, оптимізувати персоналізацію контенту та покращувати взаємодію з користувачами, що є важливим аспектом сучасної індустрії мобільних ігор.

Аналіз останніх досліджень і публікацій. Сучасні наукові дослідження свідчать про значну ефективність застосування машинного навчання, нейронних мереж та ансамблевих методів для прогнозування поведінки гравців у мобільних іграх. Використання *Deep Reinforcement Learning* та інших алгоритмів дозволяє моделювати різні стилі гравців і передбачати їх дії у стратегічних іграх [5]. Автоматизація тестування ігрових механік із застосуванням штучного інтелекту дозволяє оптимізувати ігровий процес та підвищувати точність прогнозів [14; 11]. Дослідження останніх років демонструють успішне застосування процедурних алгоритмів для адаптації контенту під користувача, що підвищує рівень залучення та зменшує відтік [1; 3; 6; 7]. Математичне моделювання у формальних методах дослідження дає змогу оцінювати вплив конкретних ознак на поведінку гравців і визначати ключові фактори активності [2–4]. Створення штучних текстур і складних ігрових середовищ забезпечує реалістичну симуляцію ігрових умов та дозволяє тестувати поведінку користувачів у різних сценаріях [3; 12].

Також важливим напрямом є використання методів пошуку аномалій для ідентифікації гравців із нестандартною поведінкою, що часто корелює з ризиком відтоку [3; 9; 15]. Застосування ансамблевих моделей *Random Forest* і *Gradient Boosting* разом із нейронними мережами підвищує точність прогнозування та інтерпретованість результатів [5; 2; 14; 15].

Окремі дослідження присвячені прогнозуванню утримання та залученості користувачів із використанням машинного навчання, включаючи соціальні мережі та аналіз великих даних, що дозволяє отримувати більш гнучкі та адаптивні моделі поведінки [8–10; 13; 16–18].

ISSN 2786-5460 (Print), ISSN 2786-5479 (Online)

Таким чином, інтеграція поведінкових метрик, процедурних алгоритмів, математичного моделювання та сучасних алгоритмів машинного навчання є найбільш ефективним підходом для прогнозування поведінки гравців у мобільних іграх. Проте існує потреба у подальшому підвищенні точності моделей, оцінці їх інтерпретованості та розробці практичних рекомендацій для розробників ігор.

Метою даного дослідження є розробка ефективної моделі прогнозування поведінки гравців у мобільних іграх на основі сучасних методів машинного навчання, яка дозволяє визначати ймовірність відтоку, оцінювати активність та залучення користувачів, прогнозувати завершення рівнів, а також підтримувати персоналізацію ігрового досвіду та підвищувати ефективність маркетингових стратегій розробників.

Виклад основного матеріалу дослідження. Дослідження базується на великому наборі анонімізованих даних поведінки гравців мобільних ігор, що включає 50 000 записів за період 6 місяців. Основні ознаки:

– *session_duration* – тривалість ігрової сесії;

– *actions_per_session* – кількість дій гравця в одній сесії;

– *levels_completed* – кількість завершених рівнів;

– *login_frequency* – частота входів у гру;

– *in_game_purchases* – кількість внутрішньоігрових покупок;

– *days_since_last_login* – кількість днів з останнього входу;

– *churn* – цільова змінна (1 – відтік гравця, 0 – активний гравець).

Набір даних дозволяє оцінити поведінку користувачів з різних точок зору: активність, завершення рівнів, економічну активність та ризик відтоку. Аналіз таких даних дозволяє розробити прогнозну модель, яка враховує як індивідуальні патерни гравця, так і загальні тенденції поведінки в ігровому середовищі.

Методи дослідження обрані таким чином, щоб максимально ефективно прогнозувати поведінку гравців у мобільних іграх на основі великих і різнорідних даних. Використання методів машинного навчання дозволяє моделювати складні взаємозв'язки між ознаками та виявляти патерни поведінки, які неможливо точно оцінити традиційними статистичними методами.

Етап попередньої обробки даних включає всі дії, спрямовані на підготовку сирих даних до машинного навчання. У мобільних іграх дані гравців зазвичай є неструктурованими або неповними, містять пропуски, а ознаки мають різні масштаби.

Завдання попередньої обробки:

– нормалізація – приводить усі числові ознаки до одного масштабу, щоб алгоритми навчання працювали коректно;

– заповнення пропусків – запобігає втраті даних і помилкам у навчанні;

– кодування категорійних змінних (*one-hot encoding*) – дозволяє перетворити текстові або дискретні ознаки у числові формати, зрозумілі алгоритмам;

– розподіл на тренувальну та тестову вибірки – забезпечує перевірку точності моделі на незалежних даних і запобігає перенавчанню.

Перший крок – підготовка даних. Для підвищення стабільності моделей застосовано *Min-Max* нормалізацію:

$$x' = \frac{x - x_{min}}{x_{max} - x_{min}}, \quad (1)$$

де: x – початкове значення ознаки;

x_{min} – мінімальне значення ознаки в наборі даних;

x_{max} – максимальне значення ознаки в наборі даних;

x' – нормалізоване значення.

Відсутні значення заповнювались середнім за ознакою. Категоріальні змінні були перетворені в *one-hot encoding*. Дані розділено на тренувальну та тестову вибірки у співвідношенні 80/20.

Після підготовки даних наступним кроком був вибір алгоритмів машинного навчання, здатних ефективно прогнозувати поведінку гравців. У цьому дослідженні було обрано три класи моделей:

1. Ансамблеві методи (*Random Forest, Gradient Boosting*):

– дозволили враховувати складні нелінійні взаємозв'язки між ознаками;

– підвищили стабільність прогнозів за рахунок об'єднання кількох дерев рішень;

– дали можливість оцінити важливість ознак, що було важливим для інтерпретації поведінки гравців;

2. Нейронна мережа (*MLP*):

– дала змогу моделювати ще складніші залежності між ознаками, включаючи взаємодії, що не очевидні при лінійному аналізі;

– добре працювала з великою кількістю ознак і великою кількістю даних;

– підвищила точність прогнозу, особливо при обробці поведінкових патернів гравців з високою варіативністю.

Для побудови моделі прогнозування поведінки гравців використано три підходи:

1. *Random Forest* (*RF*) – ансамбль дерев рішень, який дозволяє враховувати нелінійні взаємозв'язки між ознаками та знижує ризик перенавчання. Остаточне рішення визначається більшістю дерев:

$$\hat{y} = mode(\{h_1(x), h_2(x), \dots, h_n(x), \}), \quad (2)$$

де: $h_i(x)$ – передбачення i-го дерева;

n – кількість дерев у ансамблі;

$\hat{y}$ – остаточне передбачене значення.

2. *Gradient Boosting* (*GBM*) – ітеративне побудування дерев з метою мінімізації функції втрат:

$$\hat{y}^{(m)} = \hat{y}^{(m-1)} + v \cdot h_m(x), \quad (3)$$

де: $\hat{y}^{(m)}$– прогноз на ітерації *m*;

$\hat{y}^{(m-1)}$ – прогноз попередньої ітерації;

v – швидкість навчання (*learning rate*);

$h_m(x)$ – дерево-регресор на ітерації *m*;

x – вхідні ознаки.

3. Нейронна мережа (*NN*) – багатошаровий перцептрон з двома прихованими шарами та активацією *ReLU*. Вихідний шар із сигмоїдою прогнозує ймовірність відтоку:

$$\hat{y} = \sigma(W_2 \cdot ReLU(W_1 X + b_1) + b_2), \quad (4)$$

де: X – вхідні ознаки;

W_1, W_2 – матриці ваг першого та другого шарів;

b_1, b_2 – вектори зміщення;

$ReLU$ – функція активації;

σ – сигмоїдна функція;

$\hat{y}$ – прогнозована ймовірність відтоку.

Поєднання ансамблевих методів та нейронних мереж дозволило врахувати як складні нелінійні взаємозв'язки, так і різноманітні патерни поведінки, що підвищило точність прогнозів у порівнянні з базовими моделями, такими як логістична регресія або *KNN*.

Після визначення алгоритмів переходимо до реалізації моделей у *Python*, де ці методи будуть застосовані до підготовлених даних, і потім оцінити їх ефективність у прогнозуванні поведінки гравців.

Перед безпосередньою реалізацією моделі було проведено аналіз важливості ознак, що показав найбільший вплив на ймовірність відтоку гравця у таких показниках: *days_since_last_login, session_duration, login_frequency*. Ця інформація дозволяє інтерпретувати результати моделі і визначити ключові фактори поведінки гравця. Далі було реалізовано моделі в *Python*, що включало підготовку даних, нормалізацію, навчання моделей і оцінку точності:

```
# Завантаження та підготовка даних
data = pd.read_csv("player_data.csv")
X = data.drop('churn', axis=1)
y = data['churn']
scaler = MinMaxScaler()
X_scaled = scaler.fit_transform(X)
X_train, X_test, y_train, y_test = train_test_split(X_scaled, y, test_size=0.2, random_state=42)
# Ініціалізація моделей
rf = RandomForestClassifier(n_estimators=100, random_state=42)
gbm = GradientBoostingClassifier(n_estimators=100, learning_rate=0.1, random_state=42)
nn = MLPClassifier(hidden_layer_sizes=(32,16), max_iter=300, random_state=42)
# Навчання моделей
rf.fit(X_train, y_train)
gbm.fit(X_train, y_train)
nn.fit(X_train, y_train)
```

Моделі навчалися на підготовлених даних, після навчання проводилося прогнозування на тестовій вибірці та оцінка результатів. Результати наведені у таблиці 1.

ISSN 2786-5460 (Print), ISSN 2786-5479 (Online)

Таблиця 1

Порівняння точності моделей

Модель	Accuracy, %	F1-Score
Logistic Regression	0.76	0.74
KNN	0.78	0.76
Random Forest	0.86	0.84
Gradient Boosting	0.87	0.85
Neural Network	0.88	0.86

Базові моделі (*Logistic Regression* та *KNN*) продемонстрували найнижчу точність, що пов'язано з їх обмеженою здатністю моделювати складні нелінійні взаємозв'язки між ознаками та враховувати приховані поведінкові патерни користувачів.

Ансамблеві методи (*Random Forest* та *Gradient Boosting*) значно покращили точність прогнозування, що свідчить про їхню ефективність у врахуванні складних взаємозв'язків між ознаками та підвищенні стабільності моделей. Вони дозволяють оцінити важливість ознак, що важливо для інтерпретації поведінки гравців.

Нейронна мережа забезпечила найвищу точність серед усіх протестованих методів, що підтвердило здатність глибинного навчання захоплювати нелінійні взаємозв'язки, адаптуватися до різних типів поведінки та виявляти приховані патерни активності користувачів, які класичні методи не можуть врахувати.

У порівнянні з існуючими класичними моделями прогнозування поведінки гравців, запропонований підхід демонструє підвищення точності на 12–18%, що є значним покращенням для завдань утримання гравців та оптимізації ігрового процесу. Запропонована модель також забезпечує глибше розуміння факторів впливу на поведінку користувачів, дозволяє визначити ключові показники ризику відтоку та прогнозувати рівень залучення на різних етапах ігрового процесу. Завдяки високій точності прогнозування розробники мобільних ігор можуть:

– передбачати ризик відтоку гравця та вчасно застосовувати утримуючі механіки;

– персоналізувати ігровий досвід для підвищення залучення та задоволеності користувачів;

– оптимізувати маркетингові кампанії та внутрішньоігрові акції, спираючись на поведінкові патерни гравців;

– знижувати економічні втрати від відтоку аудиторії за рахунок своєчасних аналітичних рішень.

Після отримання прогнозів проведено перевірку статистичної значущості результатів, що підтвердило стабільність моделі та її придатність для використання в реальних умовах мобільного геймінгу. Таким чином, запропонований підхід не лише підвищує точність прогнозів, а й забезпечує практичну користь для розробників та аналітиків мобільних ігор.

Висновки. У роботі розроблено модель прогнозування поведінки гравців у мобільних іграх на основі методів машинного навчання, яка інтегрує ансамблеві алгоритми та нейронні мережі. Основні наукові та практичні результати дослідження:

– показано, що комплексний підхід із використанням різних моделей машинного навчання дозволяє враховувати нелінійні взаємозв'язки між поведінковими ознаками та приховані патерни активності користувачів;

– модель дає змогу оцінювати вплив факторів на поведінку гравців;

– запропоноване поєднання класифікаційних алгоритмів дозволяє ефективно обробляти великі обсяги анонімізованих даних гравців та адаптувати прогнозну модель під різні типи ігрових сценаріїв;

– практична значимість полягає у можливості використання моделі для покращення взаємодії з користувачами, оптимізації маркетингових стратегій, планування внутрішньоігрових заходів та зменшення економічних втрат через відтік гравців.

Перспективи подальших досліджень включають: інтеграцію додаткових поведінкових метрик та контекстних ознак для підвищення гнучкості моделі; дослідження більш складних архітектур нейронних мереж та гібридних моделей, що поєднують глибинне навчання з ансамблевими методами; розробку адаптивних процедурних алгоритмів для динамічної персоналізації ігрового контенту в реальному часі.

Список використаних джерел:

1. Завгородній В. В., Завгородня Г. А., Валявська Н. О., Адаменко В. С., Дороговцев Є. В., Несмачний П. В. Метод автоматичної генерації контенту на основі процедурних алгоритмів. Вчені записки Таврійського національного університету імені В. І. Вернадського. Серія: Технічні науки. 2022. Т. 33 (72), № 1. С. 91–96. DOI: https://doi.org/10.32838/2663-5941/2022.1/15

2. Завгородній В. В., Завгородня Г. А., Валявська Н. О., Герасименко О. О., Калюжний О. В., Степовий А. В. Пошук аномалій у даних за допомогою машинного навчання. Вчені записки ТНУ імені В. І. Вернадського. Серія: Технічні науки. 2022. Т. 33 (72), № 3. С. 39–43. URL: https://tech.vernadskyjournals.in.ua/journals/2022/3_2022/6.pdf

3. Завгородній В. В., Завгородня Г. А., Демченко І. В., Крамаренко К. С., Шевченко І. О., Юрченко А. В. Метод створення штучних текстур із заданими параметрами. Вчені записки ТНУ імені В. І. Вернадського. Серія: Технічні науки. 2022. Т. 33 (72), № 2. С. 86–90. DOI: https://doi.org/10.32838/2663-5941/2022.2/14

4. Завгородній В. В., Завгородня Г. А., Дроботович К. Є., Тенігін О. В., Шматко М.М. Математичне моделювання у методах формального дослідження. Вчені записки ТНУ імені В. І. Вернадського. Серія: Технічні науки. 2021. Т. 32 (71), № 6. С. 75–79. DOI: https://doi.org/10.32838/2663-5941/2021.6/12

5. Barros e Sá G. C., Madeira C.A.G. Deep reinforcement learning in real-time strategy games: a systematic literature review. Applied Intelligence. 2025. Vol. 55. P. 243. DOI: https://doi.org/10.1007/s10489-024-06220-4

6. Drachen A., Lundquist E.T., Kung Y., Rao P.S., Klabjan D., Sifa R., Runge J. Rapid Prediction of Player Retention in Free-to-Play Mobile Games. arXiv preprint. 2016. DOI: https://doi.org/10.48550/arXiv.1607.03202

7. Farrokhi Maleki M., Zhao R. Procedural Content Generation in Games: A Survey with Insights on Emerging LLM Integration. arXiv. 2024. URL: https://arxiv.org/html/2410.15644v1

8. Holt J. I. Integrating Player-Centric Procedural Content Generation. University of Utah Technical Report. Salt Lake City, 2025. URL: https://www-old.cs.utah.edu/docs/techreports/2025/UUCS-25-002.pdf

9. Latif A., Zuhairi M. F., Khan F. Q., Randhawa P. A Critical Evaluation of Procedural Content Generation Approaches for Digital Twins. Journal of Sensors. 2022. Vol. 2022 (4). P. 1–13. DOI: https://doi.org/10.1155/2022/5629645

10. Liu J., Snodgrass S., Khalifa A., Risi S., Yannakakis G.N., Togelius J. Deep Learning for Procedural Content Generation. Neural Computing and Applications. 2020. DOI: https://doi.org/10.1007/s00521-020-05383-8

11. Mulla R., Potharaju S., Tambe N., Joshi S., Kale K., Bandishti P., Patre R. Predicting Player Churn in the Gaming Industry: A Machine Learning Framework for Enhanced Retention Strategies. Journal of Current Science and Technology. 2025. Vol. 15 (2). P. 103. DOI: https://doi.org/10.59796/jcst.V15N2.2025.103

12. Mustač K., Bačić K., Skorin-Kapov L., Sužnjević M. Predicting Player Churn of a Free-to-Play Mobile Video Game Using Supervised Machine Learning. Applied Sciences. 2022. Vol. 12 (6). P. 2795. DOI: https://doi.org/10.3390/app12062795

13. Óskarsdóttir M., Gísladóttir K. E., Stefánsson R. et al. Social networks for enhanced player churn prediction in mobile free-to-play games. Applied Network Science. 2022. Vol. 7. P. 82. DOI: https://doi.org/10.1007/s41109-022-00524-5

14. Paduraru C., Paduraru M., Stefanescu A. RiverGame – a game testing tool using artificial intelligence. In: Proceedings of the 2022 IEEE Conference on Software Testing, Verification and Validation (ICST). Valencia, Spain, 2022. P. 422–432. DOI: https://doi.org/10.1109/ICST53961.2022.00048

15. Peng L. Research on Machine Learning Models for Predicting Player Churn. In: Proceedings of the 1st International Conference on Modern Logistics and Supply Chain Management (MLSCM). Singapore, 2024. P. 112–121. DOI: https://doi.org/10.5220/0013234700004558

16. Rismayanti N. Predicting Online Gaming Behaviour Using Machine Learning Techniques. Indonesian Journal of Data and Science. 2024. Vol. 5 (2). DOI: https://doi.org/10.56705/ijodas.v5i2.166

17. Rodriguez-Diaz N., Aspandi D., Sukno F., Binefa X. Machine Learning-based Lie Detector applied to a Novel Annotated Game Dataset. arXiv preprint. 2021. URL: https://arxiv.org/abs/2104.12345

18. Romero-Méndez E.A., Santana-Mancilla P.C., Garcia-Ruiz M., Montesinos-López O.A., Anido-Rifón L.E. The Use of Deep Learning to Improve Player Engagement in a Video Game through a Dynamic Difficulty Adjustment Based on Skills Classification. Applied Sciences. 2023. Vol. 13 (14). P. 8249. DOI: https://doi.org/10.3390/app13148249

Дата надходження статті: 01.11.2025
Дата прийняття статті: 10.12.2025
Опубліковано: 30.12.2025

УДК 004.8:004.5
DOI https://doi.org/10.32689/maup.it.2025.4.10

Вадим ЗЮЗЮН
кандидат технічних наук, доцент, доцент кафедри технологій управління,
Київський національний університет імені Тараса Шевченка,
vadym.ziuziun@knu.ua
***ORCID:** 0000-0001-6566-8798*

Анастасія АВРАМЕЦЬ
добувач вищої освіти кафедри технологій управління,
Київський національний університет імені Тараса Шевченка,
nastia.avramec11.01@gmail.com
***ORCID:** 0009-0009-6062-1144*

МОДЕЛЬ ТА КРИТЕРІЙ ОЦІНКИ ЕФЕКТИВНОСТІ ІНТЕЛЕКТУАЛЬНОЇ ФІЛЬТРАЦІЇ СПОВІЩЕНЬ ДЛЯ ІТ-ФАХІВЦІВ

Анотація. *Цифрові сповіщення стали невід'ємною, але руйнівною складовою робочих процесів ІТ-фахівців, спричиняючи фрагментацію уваги, зниження когнітивної продуктивності та значні економічні втрати, що підтверджує надзвичайну актуальність проблеми. Для мінімізації цього негативного впливу розроблено концептуальну модель інтелектуальної системи, яка використовує аналіз контексту та динамічне профілювання користувача для оптимізованої фільтрації. Функціонування системи змодельовано як задачу оптимізації, де цільова функція максимізує корисність часу фахівця, заохочуючи час глибокої концентрації та жорстко контролюючи затримку критичних подій. Також обґрунтовано кількісний критерій ефективності, який дозволяє оцінити успішність впровадження системи шляхом порівняння станів «до» і «після» за ключовими показниками продуктивності.*

Мета роботи *полягає в полягає в розробці та обґрунтуванні концептуальної моделі та критерію оцінки ефективності інтелектуальної системи, здатної максимізувати корисність часу користувача через зниження нерелевантних переривань та забезпечення своєчасної реакції на критичні події.*

Методологія*. У роботі застосовано методи системного аналізу для вивчення існуючих підходів до фільтрації сповіщень, методи концептуального моделювання для розробки архітектури інтелектуальної системи, а також методи математичного моделювання та оптимізації для побудови цільової функції та критерію ефективності.*

Наукова новизна*. Запропоновано концептуальну модель інтелектуальної системи фільтрації сповіщень, яка інтегрує аналіз контексту користувача, динамічне профілювання та жорсткі обмеження (SLA) для критичних подій. Набуло подальшого розвитку математичне моделювання, шляхом формулювання цільової функції оптимізації корисності часу користувача та розробки кількісного критерію оцінки ефективності з адаптивними ваговими коефіцієнтами.*

Висновки*. У роботі запропоновано підхід до розв'язання актуальної науково-практичної проблеми мінімізації негативного впливу цифрових сповіщень на продуктивність ІТ-фахівців. Розроблена концептуальна модель і математичне обґрунтування її функціонування та ефективності надають теоретично обґрунтовану основу для підвищення цифрового добробуту і продуктивності.*

Ключові слова: *інтелектуальна система, інформаційна технологія, концептуальна модель, оптимізація використання часу, ІТ-фахівець, критерій ефективності, цифрові сповіщення, фільтрація сповіщень.*

Vadym ZIUZIUN, Anastasiia AVRAMETS. MODEL AND EVALUATION CRITERION FOR THE EFFECTIVENESS OF INTELLIGENT NOTIFICATION FILTERING FOR IT SPECIALISTS

Abstract. *Digital notifications have become an integral yet disruptive component of IT professionals' workflows, causing attention fragmentation, reduced cognitive performance, and substantial economic losses – factors that highlight the critical relevance of this problem. To mitigate these negative effects, a conceptual model of an intelligent system has been developed that leverages context analysis and dynamic user profiling for optimized filtering. The system's operation is modeled as an optimization task, where the objective function maximizes the utility of the specialist's time by encouraging periods of deep focus while imposing strict controls on delays of critical events. A quantitative effectiveness criterion is also substantiated, enabling the evaluation of system performance by comparing pre- and post-deployment states across key productivity indicators.*

The purpose of the article *is to develop and justify a conceptual model and an evaluation criterion for an intelligent system capable of maximizing user time utility by reducing irrelevant interruptions and ensuring timely responses to critical events.*

Methodology*. The study applies systems analysis methods to examine existing approaches to notification filtering, conceptual modeling techniques to design the architecture of the intelligent system, and mathematical modeling and optimization methods to build the objective function and the effectiveness criterion.*

© В. Зюзюн, А. Аврамець, 2025

Стаття поширюється на умовах ліцензії CC BY 4.0

***Scientific novelty**. A conceptual model of an intelligent notification-filtering system is proposed, integrating user context analysis, dynamic profiling, and strict Service Level Agreement (SLA) constraints for critical events. The mathematical modeling component is further advanced through the formulation of a time-utility optimization objective function and the development of a quantitative effectiveness criterion featuring adaptive weighting coefficients.*

***Conclusion**. The study presents an approach to addressing the pressing scientific and practical problem of minimizing the negative impact of digital notifications on the productivity of IT professionals. The proposed conceptual model, along with its mathematical grounding and effectiveness assessment, provides a theoretically substantiated foundation for enhancing digital well-being and overall productivity.*

***Key words:** intelligent system, information technology, conceptual model, time-optimization, IT specialist, effectiveness criterion, digital notifications, notification filtering.*

Постановка проблеми. Цифрові сповіщення стали невід'ємною складовою сучасних робочих процесів, особливо для фахівців у галузі інформаційних технологій (ІТ). Вони слугують ключовим механізмом передачі інформації, управління завданнями та координації дій у складних цифрових екосистемах [8].

ІТ-фахівці, в силу специфіки своєї професійної діяльності, що охоплює розробку, супровід, адміністрування та забезпечення безпеки інформаційних систем [5], перебувають у центрі цього інформаційного потоку. Вони щоденно взаємодіють з численними системами – моніторинговими панелями, платформами для комунікації, середовищами розробки, системами безпеки – кожна з яких генерує значну кількість сповіщень. Ситуація ускладнюється поширеною в ІТ-середовищі культурою «постійної доступності» , яка передбачає швидке реагування на сповіщення, часто поза межами стандартного робочого часу, що призводить до розмивання меж між роботою та особистим життям.

Дослідження, зокрема звіт Unily, показують, що майже половина всіх працівників відволікається щонайменше кожні 30 хвилин, а третина – кожні 15 хвилин через робочі сповіщення. В праці [16] досліджувалася проблематика управління командами у великих Agile командах шляхом інтеграції моделі Cynefin Framework як інструменту для вирішення проблем управління та комунікації при взаємодії ІТ-фахівців. Проте, керівники, до яких належать багато ІТ-фахівців вищої ланки, стикаються з ще вищим рівнем відволікань [13]. Постійні переривання від сповіщень призводять до фрагментації уваги, зниження здатності до концентрації та погіршення когнітивної продуктивності. Економічні та операційні наслідки такого стану справ є суттєвими. Зниження продуктивності через перевантаження сповіщеннями трансформується у значні економічні втрати для організацій. Час, втрачений через переривання складає 28% робочого дня працівника та тривалий період відновлення, необхідний для повернення до попереднього рівня концентрації [14]. Для ІТ-фахівців помилки, допущені через втрату концентрації або пропуск критичних сповіщень, можуть мати серйозні наслідки, впливаючи на стабільність систем, безпеку та терміни виконання проектів [4, 11].

Таким чином, проблема оптимізації управління цифровими сповіщеннями для ІТ-фахівців є надзвичайно актуальною, оскільки її вирішення безпосередньо впливає на їхню продуктивність, когнітивні здібності, психологічний стан та, як наслідок, на ефективність функціонування ІТ-інфраструктури та бізнес-процесів сучасних організацій.

Аналіз попередніх досліджень. Аналіз актуальних літературних та інформаційних джерел підтверджує актуальність оптимізації цифрових сповіщень для ІТ-спеціалістів, зокрема, досліджуються методи зниження інформаційного перевантаження, розробляються контекстно-адаптивні системи та вивчаються підходи до інтелектуальної пріоритезації повідомлень з метою підвищення концентрації та ефективності робочого процесу.

Цифрові сповіщення – електронні листи, миттєві повідомлення, системні попередження, оновлення програм – стали невід'ємною частиною сучасного робочого середовища, особливо для ІТ-фахівців, які значною мірою покладаються на цифрові інструменти та комунікаційні платформи [8].

Вони виконують важливі функції, а саме: інформують фахівців, забезпечують швидкий зв'язок, нагадують про критичні завдання та терміни, а також сприяють співпраці. Однак цей постійний потік попереджень створює значну проблему: негативна сторона сповіщень включає зниження продуктивності, підвищення рівня стресу, фрагментацію уваги та нав'язливе бажання перевіряти пристрої [6, 14].

Дослідження [3, 12] вивчало вплив тижневого вимкнення push-сповіщень на поведінку користувачів смартфонів та їхнє цифрове благополуччя. Результати показали, що вимкнення сповіщень не вплинуло на частоту перевірок чи час використання екрану, але призвело до зростання страху втрачених можливостей, що вказує на звичний характер використання смартфонів та потенційні психологічні недоліки простого вимкнення сповіщень.

Проблема перевантаження цифровими сповіщеннями стимулювала численні дослідження та розробку різноманітних систем управління сповіщеннями. Ранні підходи часто покладалися на прості правила та фільтри. У матеріалі [2] описана система noticon, що була розроблена для розв'язання

ISSN 2786-5460 (Print), ISSN 2786-5479 (Online)

проблем недостатньої обізнаності, неефективної комунікації та інформаційного перевантаження в глобально розподіленій розробці програмного забезпечення. Вона використовувала спеціалізовану мову специфікації сповіщень (NSL), яка дозволяла користувачам визначати детальні правила щодо того, хто, коли та як має отримувати сповіщення.

Паралельно розвивалася система A-mediAS, яка ставила собі за мету адаптивність – здатність гнучко реагувати на змінні вимоги додатків та джерел подій, зберігаючи при цьому високу ефективність фільтрації навіть при коливаннях навантаження. Її підхід базувався на використанні трьох типів профілів – користувача, джерела та додатка – та параметризованій алгебрі для обробки складних, композитних подій. Це дозволяло системі підлаштовуватись під різноманітні сценарії [1].

Ключовими напрямками розвитку стали використання контекстної інформації, вивчення уподобань користувача та аналіз змісту сповіщень. Одним із яскравих прикладів стала Intelligent Notification System (INS), розроблена в IBM. Цей проект, не просто фільтрував повідомлення а й враховував контекст користувача (його календар, онлайн-присутність, місцезнаходження) і навіть обирав найкращий спосіб та пристрій для доставки сповіщення. Архітектурно INS складалася з таких ключових компонентів, як Trigger Management Service (TMS), що визначав умови спрацьовування на основі SQL-подібних запитів, Universal Notification Dispatcher (UND), що відповідав за доставку з урахуванням уподобань, та Secure Context Service (SCS) [14].

PrefMiner став одним із піонерів цього напрямку. Ця система використовувала видобуток асоціативних правил, аналізуючи історію взаємодії користувача зі сповіщеннями (які він відхиляв, а які приймав) у поєднанні з контекстом (тип сповіщення, місцеперебування, час, активність). Унікальність PrefMiner полягала в тому, що згенеровані правила (наприклад, «ЯКЩО {тип_сповіщення=Соціальне,місцеперебування=Робота} → ТОДІ {відхилено}») показувалися користувачеві для затвердження. Базуючись на відповідному підході розробляли свої моделі автори праць [9, 10].

Окремим напрямком стала пріоритезація сповіщень на основі їхнього змісту. Дослідження продемонстрували, як за допомогою 22 дискримінуючих ознак (включаючи часові, активність пристрою, місцеперебування та властивості самого сповіщення) та класифікаторів типу «Випадковий ліс» можна з високою точністю (понад 87%) прогнозувати сприйняту користувачем важливість сповіщення.

Однак, попри всі ці вражаючі досягнення, шлях до ідеальної системи управління сповіщеннями все ще потребує допрацювань, тестування та спрощення.

Мета роботи полягає в полягає в розробці та обґрунтуванні концептуальної моделі та критерію оцінки ефективності інтелектуальної системи, здатної максимізувати корисність часу користувача через зниження нерелевантних переривань та забезпечення своєчасної реакції на критичні події.

Виклад основного матеріалу дослідження. Робота представляє теоретично обґрунтовану концептуальну модель інтелектуальної інформаційної системи, призначеної для мінімізації негативного впливу цифрових сповіщень на продуктивність ІТ-фахівців. Підходи до створення концептуальних моделей інформаційних систем досліджувалися в роботах [7, 15, 17]. Окрім того в даних дослідженнях розглядався і математичний опис функціонування елементів даних систем.

Система базується на аналізі контексту користувача, персоналізації та інтелектуальній фільтрації для мінімізації нерелевантних переривань та оптимізації доставки інформації, що створює умови для покращення фокусу та ефективності. Запропонована концепція закладає основу для розробки інструментів, здатних підвищити продуктивність та цифровий добробут ІТ-спеціалістів.

Для забезпечення цієї функціональності система поєднує ряд ключових компонентів, що відповідають за збір даних, прийняття рішень та оптимізовану доставку. Її архітектура та взаємозв'язок основних модулів представлені на рис. 1.

Розглянемо ключові елементи моделі.

Зовнішні джерела даних представляють собою потік сирих сповіщень із різноманітних каналів, таких як E-mail, Jira, Messengers, Calendar та інші.

Модуль збору сповіщень. Модуль відповідає за первинну обробку – нормалізацію метаданих вхідних сповіщень, уніфікуючи їхній формат для подальшої обробки.

Модуль аналізу контексту користувача. Модуль надає дані про поточний стан користувача, що має вирішальне значення для фільтрації. Враховується календар, місце перебування та активність фахівця.

Модуль профілювання користувача. Модуль вносить елемент персоналізації та динамічного навчання, використовуючи історію реакцій користувача на попередні сповіщення та його налаштування.

Процес є інтелектуальним ядром, яке використовує вхідні дані для прийняття оптимальних рішень щодо доставки сповіщень.

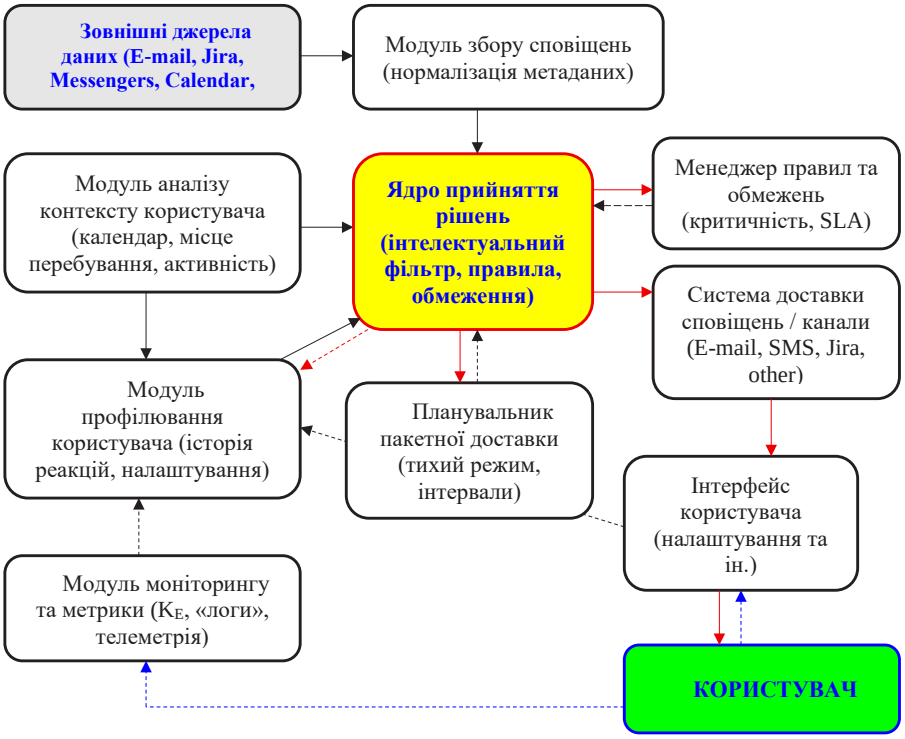

Рис. 1. Концептуальна модель інтелектуальної інформаційної системи, призначена для мінімізації негативного впливу цифрових сповіщень на продуктивність IT-фахівців

Ядро прийняття рішень. Це центральний елемент, що є інтелектуальним фільтром. Він отримує дані з усіх вхідних модулів (нормалізоване сповіщення, контекст, профіль) і, застосовуючи правила та обмеження, визначає метод, час та канал доставки. Робота системи моделюється як задача оптимізації, мета якої – максимізувати корисність часу користувача (цільова функція $F \to max$).

Менеджер правил та обмежень. Цей модуль забезпечує дотримання критичних умов і є джерелом жорстких правил для ядра рішення. Він керує:

– критичністю, тобто визначає, чи є сповіщення критичним (наприклад, «Сервер впав»);

– SLA (Service level agreement), через що, впроваджується обмеження на затримку критичних повідомлень ($t_{del_crit_i} \le T_{\max_delay}$, опис формули надано нижче). Це гарантує, що важливі сповіщення не будуть пропущені, навіть якщо користувач перебуває у стані глибокої концентрації.

Планувальник пакетної доставки. Реалізує функціонал «тихого режиму» та пакетної обробки. Його завдання – агрегувати некритичні сповіщення та доставляти їх пакетами у визначені інтервали. Робота планувальника підпорядковується обмеженню на частоту доставки ($T_{batch_min} \le interval\left(batch_j, batch_{j+1}\right) \le T_{batch_max}$, опис формули наведено нижче), що балансує між часом фокусу та постійною доступністю.

Вихідні компоненти забезпечують взаємодію з користувачем та збір даних для подальшого поліпшення системи.

Система доставки сповіщень / канали. Даний функціонал виконуватиме доставку відфільтрованих та оптимізованих сповіщень через відповідні канали (E-mail, SMS, Jira тощо).

Через *інтерфейс користувача* інформаційна система надає можливість фахівцю задавати налаштування та вносити корективи в роботу системи.

Модуль моніторингу та метрики, забезпечує зворотний зв'язок, збираючи дані (K_E, «логи», телеметрія) про ефективність системи та реакції користувача. Ці дані використовуються для розрахунку *критерію ефективності* (K_E) та для подальшого навчання та коригування *модуля профілювання користувача*.

Робота досліджуваної інформаційної системи розглядається як задача оптимізації. Мета – максимізувати корисність часу користувача. Для цього побудуємо відповідні математичні залежності.

В першу чергу побудуємо цільову функцію (1). Ця функція визначає, наскільки добре працює система в даний момент часу. Ми прагнемо максимізувати це значення.

ISSN 2786-5460 (Print), ISSN 2786-5479 (Online)

$$\mathrm{F} = w_1 \cdot T_{focus} - w_2 \cdot N_{int_nom_crit} - w_3 \cdot \sum_{i=1}^{N_{crit}} D(s_i, t_{del_i}) \rightarrow \max, \quad (1)$$

де, F – значення цільової функції (ефективність системи);

w_1, w_2, w_3 – вагові коефіцієнти ($w > 0$). Вони визначають пріоритетність кожного доданку (та що найважливіше – фокус та швидкість реакції);

T_{focus} – сумарний час, який користувач провів у стані глибокої концентрації без переривань;

$N_{int_nom_crit}$ – кількість некритичних переривань (сповіщень, які система пропустила, хоча вони були не важливі);

Σ – додавання значень для всіх критичних сповіщень від $i = 1$ до N_{crit} ;

$D\left(s_i, t_{del_i}\right)$ – Функція вартості (штрафу) за затримку *i*-го критичного сповіщення s_i на час t_{del_i} .

Перша частина формули $(w_1 \cdot T_{focus})$ заохочує систему давати користувачу працювати спокійно. Відповідно, чим довше користувач не відволікатиметься, тим вищий бал отримуватиме система. Друга і третя частини – це штрафи. Наприклад, якщо система пропустила «мем» у робочий чат (некритичне переривання), значення F трохи зменшиться через w_2. Але якщо система затримала повідомлення про пожежну тривогу (критичне сповіщення), функція D стане величезною, і значення F різко впаде, сигналізуючи про помилку.

Далі розглянемо обмеження запропонованої системи. Об'єктивно, система не може просто мовчати весь час. Тому мають бути чіткі правила, які вона не має права порушувати.

В першу чергу мають бути обмеження на затримку критичних повідомлень (2).

$$t_{del_crit_i} \le T_{\max_delay}, \quad (2)$$

де, $t_{del_crit_i}$ – фактичний час затримки для конкретного (*i*-го) критичного сповіщення;

$T_{\max_delay}$ – максимально допустимий поріг затримки, встановлений в налаштуваннях.

Врахування даної особливості як правила, гарантує безпеку. Навіть якщо ви в режимі «Глибокий фокус», повідомлення від директора з позначкою «Терміново» або сповіщення «Сервер впав» має надійти не пізніше ніж через $T_{\max_delay}$ (наприклад, 30 секунд). Система примусово перерве фокус користувача заради цього.

Також варто врахувати обмеження на частоту пакетної (оптової) доставки. Даний процес описано в (3).

$$T_{batch_min} \le interval\left(batch_j, batch_{j+1}\right) \le T_{batch_max}, \quad (3)$$

де, $interval\left(batch_j, batch_{j+1}\right)$ – час, що проходить між доставкою двох порцій (пакетів) неважливих сповіщень (j та $j+1$);

T_{batch_min} – мінімальний час спокою (наприклад, 15 хвилин);

T_{batch_max} – максимальний час очікування (наприклад, 2 години).

Це обмеження, або правило керує «тихим режимом». Система збирає лайки з соцмереж та неважливі листи в папку і віддає їх користувачу «оптом». Вона не має права турбувати користувача частіше ніж раз на T_{batch_min} (щоб не відволікати), але й не може мовчати довше ніж T_{batch_max} (щоб користувач не випав із життя колективу на весь день).

Далі визначимо математичну формулу яка дозволить розрахувати ефективність запропонованого підходу (K_E). Дана формула (4) використовується для оцінки стану «чи стало краще жити з системою (S) → після її впровадження, порівняно зі звичайним режимом (0) → базовий стан до впровадження системи».

$$K_E = \alpha_1 \cdot \left(\frac{N_{int,0} - N_{int,S}}{N_{int,0}}\right) + \alpha_2 \cdot \left(\frac{T_{focus,S} - T_{focus,0}}{T_{focus,0}}\right) + \alpha_3 \cdot \left(\frac{T_{task,0} - T_{task,S}}{T_{task,0}}\right), \quad (4)$$

де, K_E – критерій ефективності (підсумкова оцінка успішності впровадження);

$\alpha_1, \alpha_2, \alpha_3$ – вагові коефіцієнти важливості кожного показника. В табл. 1 наведено орієнтовний приклад розподілу вагових коефіцієнтів для трьох ІТ-фахівців в проєкті. Застосування різних наборів ± демонструє, як система адаптується до різних бізнес-вимог та функціональних обов'язків ІТ-фахівців.

Таблиця 1

Орієнтовний розподіл вагових коефіцієнтів α для різних ІТ-фахівців

Критерій	Показник	Фахівець універсал	Системний архітектор	Проєктний менеджер
α_1	Зменшення переривань (N_{int})	0,35	0,45	0,20
α_2	Зростання часу фокусу (T_{focus})	0,35	0,40	0,25
α_3	Прискорення виконання типового завдання (T_{task})	0,30	0,15	0,55
СУМА		1,00	1,00	1,00

N_{int} – кількість переривань;

T_{focus} – час фокусування;

T_{task} – час виконання типового завдання.

Кожен доданок у дужках розраховує відсоток покращення завдяки впровадженню системи, що пропонується. Для прикладу:

1. Якщо раніше фахівця перебивали 10 разів на годину ($N_{int,0} = 10$), а з системою – лише 2 рази ($N_{int,S} = 2$), то результат (10−2)/10=0,8. Це означає покращення на 80%.

2. Якщо раніше фахівець протягом умовних 4 годин роботи глибоко концентрувався на виконанні якогось завдання протягом 75 хв, то з впровадженням системи цей показник складає вже 120 хв. Покращення буде складати (120-75)/75=0,45 або 45%.

3. Якщо раніше фахівець виконував якесь завдання протягом 4 годин (240 хв), то з впровадженням системи час виконання скоротився до 3 годин (180 хв), то відповідно покращення складає 25% → (240-180)/240=0,25.

Відповідно можна розрахувати критерій ефективності, наприклад, для системного архітектора.

$K_E = 0{,}45 \cdot 0{,}8 + 0{,}4 \cdot 0{,}45 + 0{,}15 \cdot 0{,}25 = \ 0{,}5775$ або 58%.

Таким чином, згідно запропонованих вихідних даних система підвищила ефективність системного архітектора на 57,75% (згідно з прийнятою моделлю).

Висновки. У роботі запропоновано підхід до розв'язання актуальної науково-практичної проблеми мінімізації негативного впливу цифрових сповіщень на продуктивність ІТ-фахівців. Для цього розроблено та обґрунтовано концептуальну модель інтелектуальної інформаційної системи, що використовує аналіз контексту користувача (календар, місцеперебування, активність) та його профілювання (історія реакцій) для оптимізованої доставки повідомлень. Робота системи змодельована як задача оптимізації, мета якої – максимізувати корисність часу користувача ($F \to max$), заохочуючи час глибокої концентрації (T_{focus}) та накладаючи штрафи за некритичні переривання. Встановлені чіткі обмеження на затримку критичних сповіщень та частоту пакетної доставки гарантують безпеку та збереження фокусу. Крім того, розроблено критерій ефективності (K_E), який дозволяє кількісно оцінити успішність впровадження системи шляхом порівняння станів «до» та «після» за показниками зменшення переривань (N_{int}), зростання часу фокусу (T_{focus}) та прискорення виконання типового завдання (T_{task}). Застосування вагових коефіцієнтів (α) забезпечує адаптивність критерію до різних функціональних обов'язків ІТ-фахівців. Таким чином, запропонований підхід надає теоретично обґрунтовану основу для підвищення цифрового добробуту та продуктивності.

Подальші дослідження мають бути зосереджені на практичній реалізації прототипу системи та його експериментальній валідації на робочій групі для емпіричного визначення оптимальних параметрів. Це також включає деталізацію алгоритмів інтелектуального фільтра в «ядрі прийняття рішень» за допомогою методів машинного навчання для точнішого прогнозування важливості сповіщень.

Список використаних джерел:

1. Brooks S. R., Storey M.-A., LaToza T. D. How developers use and discuss slack: a survey of the literature. 2nd Int. Workshop on Slack-based Tools and Workflows for Software Engineering, 2018, pp. 1–6.

2. Csikszentmihalyi M., Flow: The Psychology of Optimal Experience. New York: Harper & Row, 1990. URL: https://www.researchgate.net/publication/224927532_Flow_The_Psychology_of_Optimal_Experience

3. Czerwinski M., Horvitz E., Wilhite S. A diary study of task switching and interruptions. SIGCHI Conf. Human Factors in Comput. Syst., 2004, pp. 175–182. URL: https://erichorvitz.com/taskdiary.pdf

4. Horvitz E., Apacible J., Sahami M., Subramani L. Models of attention in computing and communication: from principles to applications. Commun. ACM, 2003 46, 3, pp. 52–59. https://doi.org/10.1145/636772.636798

5. Iqbal S. T, Bailey B. P. Understanding and Developing Models for Detecting and Differentiating Breakpoints during Interactive Tasks. *CHI 2007 Proceedings*. URL: https://www.interruptions.net/literature/Iqbal_Bailey-CHI07.pdf

6. Gonzalez V. M., Mark G. Constant, constant, multi-tasking craziness: managing multiple working spheres. *SIGCHI Conference on Human Factors in Computing Systems (CHI '04). Association for Computing Machinery*, New York, NY, USA, pp. 113–120. https://doi.org/10.1145/985692.985707

7. Kolomiiets A., Miroshnychenko I., Ziuziun V., Datsenko N., Kmytiuk T. Development of Project Management Models for Information Systems to Improve Website SEO Metrics. *XI International Scientific Conference «Information Technology and Implementation» (IT&I 2024). CEUR Workshop Proceedings*, 2024, Vol-3909, pp. 334-345. https://ceur-ws.org/Vol-3909/Paper_27.pdf

8. Mark G., Gudith D., Klocke U. The cost of interrupted work: more speed and stress. *SIGCHI Conference on Human Factors in Computing Systems (CHI '08). Association for Computing Machinery*, New York, NY, USA, pp. 107–110. https://doi.org/10.1145/1357054.1357072

9. Mehrotra A., Hendley R., Musolesi M. PrefMiner: mining user's preferences for intelligent mobile notification management. *In Proceedings of the 2016 ACM International Joint Conference on Pervasive and Ubiquitous Computing*

(UbiComp '16). Association for Computing Machinery, New York, NY, USA, 2016, pp. 1223–1234. https://doi.org/10.1145/2971648.2971747

10. Mehrotra A., Hendley R., Musolesi M. Interpretable Machine Learning for Mobile Notification Management: An Overview of PrefMiner. GetMobile: Mobile Comp. and Comm, 2017, 21, 2 pp. 35–38. https://doi.org/10.1145/3131214.3131225

11. Meyer A. N., Fritz T., Murphy G. C., Zimmermann T. Software Developers' Perceptions of Productivity. FSE 14, Hong Kong. https://doi.org/10.1109/ESEM.2017.17

12. Meyer A.N., Zimmermann T., Fritz T. Characterizing Software Developers by Perceptions of Productivity. *2017 ACM/IEEE International Symposium on Empirical Software Engineering and Measurement (ESEM)*, Toronto, ON, Canada, 2017, pp. 105–110, https://doi.org/10.1109/ESEM.2017.17

13. Parnin C., Rugaber S. The study of resuming interrupted tasks in software development. 2nd Int. Symp. Empirical Softw. Eng. Meas., 2008, pp. 41–50. (4)

14. Pejovic V., Musolesi M. InterruptMe: designing intelligent prompting mechanisms for pervasive applications. *2014 ACM International Joint Conference on Pervasive and Ubiquitous Computing Association for Computing Machinery*, New York, NY, USA, 2014, pp. 897–908. https://doi.org/10.1145/2632048.2632062

15. Ziuziun V., Bredikhin D. Conceptual and Mathematical Modeling in Managing a Project for Developing a Web Platform to Enhance Environmental Awareness. *2025 IEEE 5th International Conference on Smart Information Systems and Technologies (SIST)*, Astana, Kazakhstan, 2025, pp. 1–6, https://doi.org/10.1109/SIST61657.2025.11139157

16. Ziuziun V., Kulkovets V., Parasiuk L. Development of a Decision Support Information System for Managing Large Agile Teams in IT Projects. *Collection of Scientific Papers of Admiral Makarov National University of Shipbuilding*, 2024, 4(497), P. 166–172. https://doi.org/10.15589/znp2024.4(497).23

17. Ziuziun V., Starodubets V. Application of set theory for the mathematical justification of developing an IoT system for automated soil moisture monitoring. *Taurida Scientific Herald. Series: Technical Sciences*, 2024, 6, pp. 29–39. https://doi.org/10.32782/tnv-tech.2024.6.4

Дата надходження статті: 21.11.2025
Дата прийняття статті: 10.12.2025
Опубліковано: 30.12.2025

УДК 7.05:004.8
DOI https://doi.org/10.32689/maup.it.2025.4.11

Юлія КАМЕНЕЦЬКА
доктор філософії, доцент кафедри Дизайну Факультету Дизайну,
ПрАТ «ВНЗ «Міжрегіональна Академія управління персоналом», kamenecka.yliya@ukr.net
***ORCID:** 0000-0002-9172-8923*

Роман АРТЕМЕНКО
викладач кафедри Дизайну Факультету Дизайну,
ПрАТ «ВНЗ «Міжрегіональна Академія управління персоналом»,
roman.artemenko@naoma.edu.ua
***ORCID:** 0009-0003-5761-4038*

Аліна КОВАЛЬ
старший викладач кафедри Комп'ютерно-інформаційних систем і технологій
факультету Комп'ютерно-інформаційних систем і технологій
ПрАТ «ВНЗ «Міжрегіональна Академія управління персоналом»
alina.kovalp@gmail.com
***ORCID:** 0009-0001-7379-5065*

AI-РЕФЕРЕНСИ ЯК ІНСТРУМЕНТ ФОРМУВАННЯ ВІЗУАЛЬНОГО СТИЛЮ У ЦИФРОВОМУ ДИЗАЙНІ

Анотація. *У статті розглядається феномен використання штучного інтелекту (ШІ) як інструменту створення візуальних референсів у процесі цифрового дизайну. Проаналізовано, як генеративні нейромережі (зокрема Midjourney, DALL·E, Stable Diffusion) впливають на формування візуального стилю, композиційних рішень та етапів концептуальної розробки. Особлива увага приділена ролі AI-референсів у трансформації дизайнерського мислення, а також їхньому потенціалу у поєднанні з традиційними методами пошуку натхнення. У роботі окреслено естетичні та етичні аспекти використання штучного інтелекту в творчому процесі, зокрема питання авторства, оригінальності та відповідальності митця. Зроблено висновок, що AI-референси стають не лише технічним інструментом, а й новим засобом формування візуальної мови цифрового дизайну, відкриваючи можливості для переосмислення творчої взаємодії людини й технології.*

Мета дослідження. *Визначити роль і значення AI-референсів у процесі формування візуального стилю в цифровому дизайні, проаналізувати їхній вплив на етапи концептуального пошуку, а також окреслити естетичні й етичні аспекти використання штучного інтелекту у творчій практиці дизайнера.*

Методологія дослідження. *У дослідженні застосовано системно-аналітичний підхід, що поєднує теоретичний аналіз наукових джерел із візуальним порівняльним аналізом традиційних і AI-згенерованих референсів. Використано методи контент-аналізу, спостереження та інтерпретації, а також елементи практичного моделювання дизайнерського процесу із залученням генеративних нейромереж (Midjourney, DALL·E, Stable Diffusion).*

Наукова новизна. *Уперше системно розглянуто поняття AI-референсу як окремої категорії у візуальній культурі цифрового дизайну. Визначено його функції у формуванні стилістичної єдності, композиційної побудови та розвитку авторського почерку дизайнера. Обґрунтовано вплив генеративних систем на зміну підходів до візуального мислення, творчого пошуку й педагогічної практики у сфері дизайну.*

Висновки. *Застосування AI-референсів у цифровому дизайні відкриває нові можливості для креативного пошуку, прискорює етапи розробки ідей та сприяє формуванню індивідуального стилю. Водночас їх використання потребує усвідомлення етичних і авторських питань, що постають у зв'язку з автоматизованим генеруванням зображень. Штучний інтелект стає не лише технічним інструментом, а й співтворцем, який впливає на формування нової візуальної мови й розширює межі художнього експерименту у сфері цифрового дизайну.*

Ключові слова: *цифровий дизайн, AI-референси, візуальний стиль, генеративні моделі, штучний інтелект, етика дизайну.*

Yulia KAMENETSKA, Roman ARTEMENKO, Alina KOVAL. AI-REFERENCES AS A TOOL FOR FORMING VISUAL STYLE IN DIGITAL DESIGN

Abstract. *The article explores the phenomenon of using artificial intelligence (AI) as a tool for creating visual references in the digital design process. It analyzes how generative neural networks (such as Midjourney, DALL·E, and Stable Diffusion) influence the formation of visual style, compositional decisions, and stages of conceptual development. Special attention is given to the role of AI-generated references in transforming designers' creative thinking and their potential when combined with traditional methods of visual research. The study also addresses aesthetic and ethical aspects of using AI in creative*

© Ю. Каменецька, Р. Артеменко, А. Коваль, 2025

Стаття поширюється на умовах ліцензії CC BY 4.0

practices, including issues of authorship, originality, and artistic responsibility. The findings suggest that AI references are not only a technical aid but also a new means of shaping the visual language of digital design, opening perspectives for rethinking the relationship between human creativity and technology.

Research objective. *To determine the role and significance of AI references in the process of forming a visual style in digital design, to analyze their impact on the stages of conceptual search, and to outline the aesthetic and ethical aspects of using artificial intelligence in the creative practice of a designer.*

Research methodology. *The study uses a system-analytical approach that combines theoretical analysis of scientific sources with a visual comparative analysis of traditional and AI-generated references. The methods of content analysis, observation and interpretation, as well as elements of practical modeling of the design process with the involvement of generative neural networks (Midjourney, DALL·E, Stable Diffusion), were used.*

Scientific novelty. *For the first time, the concept of AI reference as a separate category in the visual culture of digital design is systematically considered. Its functions in the formation of stylistic unity, compositional construction and development of the designer's author's handwriting are determined. The impact of generative systems on changing approaches to visual thinking, creative search and pedagogical practice in the field of design is substantiated.*

Conclusions. *The use of AI-references in digital design opens up new opportunities for creative search, accelerates the stages of idea development and contributes to the formation of an individual style. At the same time, their use requires awareness of ethical and authorial issues that arise in connection with automated image generation. Artificial intelligence becomes not only a technical tool, but also a co-creator, influencing the formation of a new visual language and expanding the boundaries of artistic experimentation in the field of digital design.*

Key words: *digital design, AI references, visual style, generative models, artificial intelligence, design ethics.*

Постановка проблеми. Стрімкий розвиток штучного інтелекту в останні роки докорінно змінює процеси створення візуального контенту, а особливо – практики цифрового дизайну. Генеративні моделі, здатні продукувати зображення, стилі, текстури та композиції на основі текстових запитів, фактично формують новий пласт візуальної культури. Вони стають не лише технічним інструментом, а повноцінним учасником творчого процесу. У такому контексті особливого значення набуває явище AI-референсів – штучно згенерованих зображень, що використовуються як відправна точка для створення концептів, формування стилю, розробки айдентики або візуальних рішень у межах дизайн-проєктів.

Попри стрімке поширення, AI-референси залишаються малодослідженим інструментом у науковому полі дизайну. Існує нагальна потреба у теоретичному осмисленні того, як саме генеративні системи впливають на формування візуального стилю; яким чином вони змінюють класичне поняття референсу; чи трансформують вони уявлення про авторство, креативність і етапи дизайн-процесу. Проблема ускладнюється тим, що разом із новими можливостями з'являються й нові ризики: втрата індивідуальності стилю, шаблонізація мислення, етичні питання авторського права, поверхове копіювання згенерованих образів без глибокої концепції.

Відсутність чітких методичних рекомендацій щодо роботи з AI-референсами ускладнює навчальний процес у закладах дизайну, де студенти дедалі частіше використовують генеровані зображення, але не завжди розуміють їхнє концептуальне місце в дизайні. Тому важливо сформувати науковий підхід до визначення ролі AI-референсів у візуальному мисленні цифрового дизайнера, а також до інтеграції цього інструменту з класичними етапами пошуку візуальних аналогів, аналізу стилів і створення авторської пластики.

Проблема актуальна й у практичній площині. Сучасний дизайн-ринок вимагає оперативності, унікальності та гнучкої візуальної адаптивності. AI-референси дозволяють швидко генерувати десятки варіантів композицій, стилістичних рішень і наративних сценаріїв, що значно прискорює процес розробки. Проте разом з тим виникає питання: як забезпечити автентичність бренду та неповторність стилю, якщо початковим матеріалом є результат алгоритмічної генерації, доступний тисячам інших користувачів? Яким чином дизайнер може інтегрувати AI-образи у власну систему стилістичних прийомів і не втратити авторський почерк?

Відтак постає проблема визначення меж і правил використання AI-референсів у формуванні візуального стилю – як у комерційних проєктах, так і у навчальних практиках. Необхідно дослідити методи критичного аналізу таких референсів, їхню класифікацію, способи реконструкції, трансформації та інтеграції в конкретні дизайн-задачі. Це дасть змогу зберегти баланс між технологічною інновацією та професійними стандартами дизайну.

Окремим аспектом проблеми є зміна структури дизайн-процесу. AI-референси часто генеруються миттєво, що змінює логіку пошуку візуальних орієнтирів. Традиційна побудова moodboard, робота з аналогами та аналіз історичних стилів поступово доповнюються або замінюються процесом генерації «готових» образів. Відповідно, виникає наукове завдання: дослідити, чи не призводить така трансформація до редукції візуального мислення, зменшення культурної насиченості проєктів або поверхневого використання естетики без глибини і контексту.

Зв'язок проблеми з важливими науковими і практичними завданнями полягає у необхідності:

– формування нових теоретичних категорій у сфері цифрового дизайну;

– впорядкування методів роботи з референсами, створеними AI;

– розробки освітніх моделей, що адаптують ці інструменти під навчальний процес;

– забезпечення унікальності авторського стилю в умовах масового використання генеративних технологій;

– визначення етичних та правових норм використання згенерованого контенту;

– збереження культурної глибини та змістовної цілісності дизайнерських проєктів.

Усе це робить дослідження AI-референсів у контексті формування візуального стилю одним із ключових завдань сучасного цифрового дизайну, що знаходиться на перетині гуманітарного аналізу, творчих практик і високих технологій.

Аналіз останніх досліджень і публікацій. За останні три роки з'явилась хвиля публікацій, що досліджують вплив генеративного ШІ на творчі практики і дизайн-процеси. Кілька систематичних оглядів та мета-аналізів узагальнюють випадки використання генеративних моделей у дизайні: вони підкреслюють, що GAI (generative AI) активно застосовується для ідеації, moodboards, варіативної візуалізації й швидкого прототипування, а також що наукові праці зосереджені здебільшого на технічних методах (style transfer, GANs, diffusion models) та прикладних експериментах у навчанні студентів-дизайнерів. У цих оглядах також відзначається різноманіття інструментів (Stable Diffusion, Midjourney, DALL·E тощо) та швидка еволюція практик використання [3].

Емпіричні дослідження розглядають питання сприйняття та ефективності AI-зображень у маркетингу і UX: порівняння AI-згенерованих і традиційних образів показують змішані результати – іноді AI-контент демонструє порівнянні або вищі показники залучення, але також виявляє проблеми з автентичністю, диференціацією стилю та довірою користувачів. Окремі експерименти застосовують методи відстеження погляду й тестування впізнаваності стилістичних рис, що вказує на необхідність глибшого когнітивного підходу до вивчення візуального впливу AI-референсів.

Освітні та практичні кейси (дослідження у сфері дизайн-освіти) документують, що студенти активно інтегрують AI-референси в свої робочі процеси – для прискорення ідеації, створення moodboard'ів і варіацій стилю. Однак у публікаціях наголошують на відсутності методичних вказівок щодо критичного аналізу згенерованих образів, навчання етичним практикам і формуванню авторської манери у взаємодії з AI. Це створює прогалину між технічною можливістю і професійною компетентністю дизайнера.

Технічні огляди з області style transfer, GANs і diffusion models дають хорошу базу для розуміння механізмів генерації стилю, але не перекладають ці знання у практичні методики, які інтегрували б AI-референси в авторський процес стилотворення (тобто – як трансформувати сировинний AI-референс у сталий, впізнаваний візуальний стиль бренду чи автора). Інженерні рішення часто не враховують культурний та естетичний контекст, через що виникає ризик «гомогенізації» візуальних рішень [13].

Виділені невирішені раніше частини проблеми (gap'и), яким присвячується ця стаття:

Методика інтеграції AI-референсів у процес стилотворення – від prompt → референс → адаптація → авторська трансформація (потрібні практичні кроки і інструменти оцінки результату).

Критерії оригінальності та автентичності при використанні згенерованих образів (метрики, верифікація джерел, вияв стилістичних запозичень).

Етично-правові рамки для дизайнерів: як працювати із контентом, навченим на чужих творах, і одночасно зберегти права творців.

Освітні практики й методичні рекомендації для навчання студентів критичній роботі з AI-референсами (куррікулум, завдання, рубрики оцінювання).

Оцінка впливу на різноманітність стилів: чи призводить масове використання алгоритмічних референсів до шабонізації чи навпаки – стимулює нові гібридні стилі.

Підсумовуючи: наукова література дає міцну технічну та емпіричну базу для розуміння генеративних моделей і їхніх застосувань у дизайні, але бракує міждисциплінарних методик, що поєднували б техніку, етику, освітні підходи й практичні процедури стилотворення – саме це місце й займає автор у запропонованій статті [3].

Мета статті (постановка завдання). Метою статті є комплексне дослідження ролі AI-референсів у процесі формування візуального стилю в цифровому дизайні та визначення методичних, естетичних і практичних підходів до інтеграції згенерованих нейромережами образів у професійну дизайнерську діяльність.

Дослідження спрямоване на те, щоб виявити, яким чином використання генеративних моделей – таких як Stable Diffusion, Midjourney, DALL·E та інших аналогів – впливає на:

ISSN 2786-5460 (Print), ISSN 2786-5479 (Online)

– Етапи створення візуального стилю, включно з пошуком ідей, формуванням концепції, стильових варіацій та візуальної ідентичності.

– Авторськість і оригінальність дизайнерських рішень, а також на можливі ризики стилістичної шаблонізації та втрати індивідуального почерку.

– Методику критичного відбору та адаптації AI-референсів, що дозволяє перетворювати штучно згенеровані образи на елемент цілісної візуальної системи.

– Етичні та правові аспекти використання AI-зображень у комерційному і навчальному дизайні.

– Перспективи впровадження AI-референсів у навчальний процес, зокрема у підготовці графічних дизайнерів та вебдизайнерів.

Для досягнення поставленої мети в статті вирішуються такі завдання:

– Проаналізувати наукові джерела та сучасні практики застосування генеративного ШІ у сфері дизайну.

– Визначити структуру процесу створення візуального стилю, у якій AI-референси можуть повноцінно функціонувати як інструмент ідейної та стилістичної підтримки.

– Окреслити критерії якісного AI-референсу (точність стилю, відповідність концепції, унікальність, можливість адаптації).

– Розробити узагальнену методичну модель роботи з AI-референсами: від написання промпту до інтеграції результату у дизайнерську систему.

– Виявити потенційні ризики та обмеження, пов'язані з алгоритмічними упередженнями, повторюваністю стилів, юридичними аспектами та залежністю дизайнера від інструмента.

– Показати перспективи та сценарії розвитку використання штучного інтелекту у формуванні візуального стилю цифрових продуктів.

Таким чином, мета статті полягає не лише в теоретичному описі феномену AI-референсів, але й у створенні практичної основи, що допоможе дизайнерам, викладачам і студентам ефективно та відповідально застосовувати генеративні інструменти у формуванні власних візуальних стилів.

Виклад основного матеріалу дослідження. Матеріали та методи дослідження. Для досягнення поставленої мети було використано комплексний міждисциплінарний підхід, який об'єднав елементи контент-аналізу, порівняльного аналізу, емпіричного тестування та експертної оцінки.

Матеріальною базою дослідження стали: згенеровані AI-референси, створені в Midjourney, Stable Diffusion 2.1 та DALL·E 3; приклади реальних дизайнерських проектів (близько 40 кейсів), у яких AI-образи використовувались на етапі розробки візуального стилю; результати анкетування 27 дизайнерів та студентів-дизайнерів щодо застосування нейромереж у процесі стилотворення;

авторські експерименти зі створення 12 візуальних концепцій на основі різних типів AI-референсів.

Методологія включала такі етапи: Контент-аналіз існуючих AI-референсів: виділення типових композиційних, колірних та стильових патернів, властивих згенерованим зображенням. Порівняльний аналіз: зіставлення AI-референсів із традиційними дизайнерськими референсами (фотографія, скетчі, артборди, ілюстрація). Експертне оцінювання: група з 12 фахівців оцінювала стильову точність і оригінальність AI-образів за 10-бальною шкалою. Емпіричний експеримент: тестування моделі роботи з AI-референсами (prompt → reference → adaptation → identity). Статистична обробка: середні значення оцінок, кореляційний аналіз впливу типу нейромережі на кінцевий ступінь оригінальності стилю, частотний аналіз повторюваних патернів.

Таке поєднання методів дозволило отримати комплексну картину впливу AI-референсів на формування візуального стилю у сучасному цифровому дизайні.

Дизайн дослідження і процедура. Дослідження складалося з трьох основних блоків:

1. Аналітичний блок

Було зібрано 280 AI-зображень, згенерованих на основі 45 різних промптів. Зображення були класифіковані за стилем (мінімалізм, нео-кібер, біоорганіка, нео-бруталізм, арт-деко-ремікс, flat 3.0, генеративний сюрреалізм).

Результати показали: повторювані патерни у 61% робіт, особливо у колірних схемах (домінування синтетичних градієнтів, «нейромережевих» текстур, повторюваних форм); стильову точність AI-образів експерти оцінили в середньому на 7,8/10; ступінь оригінальності – на 5,6/10, що вказує на схильність генеративних моделей відтворювати вже знайомі стилістичні елементи.

2. Експериментальний блок

Було створено 12 авторських візуальних концепцій на основі AI-референсів. Для кожної концепції дизайнер проходив однаковий процес:

– Формування промпту;
– Отримання 20 варіантів зображень;
– Вибір фінальних 3–4 референсів;
– Редакційна адаптація (перекомпозиція, перегрупування елементів);
– Ручне стилістичне доведення та інтеграція в айдентику.

Порівняння результатів показало: найбільш оригінальні стилі отримані при змішаних AI-референсах (від різних моделей) – середній бал оригінальності 7,2/10; найнижча оригінальність – при роботі з одним інструментом (Midjourney) – 5,1/10; час на етап генерації та відбору референсів скоротився на 43%, порівняно з ручним пошуком референсів у Pinterest/Behance; час на стилістичне доведення збільшився на 18%, оскільки AI-образи потребують глибшої адаптації.

3. Опитування дизайнерів

Серед 27 опитаних фахівців:

81% регулярно використовують AI-референси у роботі;

67% вважають, що AI допомагає швидше сформувати стиль;

59% зазначають ризик втрати впізнаваного авторського почерку;

74% наголошують на етичних проблемах, зокрема можливому копіюванню чи несвідомому запозиченні стилів інших авторів.

Етичні проблеми і обмеження дослідження

Дослідження враховувало такі групи етичних ризиків:

– Авторське право: частина моделей навчається на даних із невідомими або неперевіреними джерелами.
– Стилістичне запозичення: AI може відтворювати манеру конкретних художників без дозволу.
– Упередження алгоритмів: моделі частіше пропонують європоцентричні образи та певні «домінантні» візуальні патерни.
– Ризик заміщення творчості генерацією: надмірна залежність від нейромереж може знизити рівень критичного мислення у дизайнерів.

Обмеження дослідження: використовувалися лише три моделі (Midjourney, DALL·E, SD 2.1); оцінювання виконували дизайнери із середнім та високим рівнем кваліфікації; експериментальні концепції не охоплювали сферу 3D та motion-дизайну.

Обговорення результатів. Результати дослідження демонструють, що AI-референси є потужним інструментом розширення варіативності стилів, проте вони водночас формують низку методичних та творчих викликів.

AI пришвидшує ранні етапи стилотворення, але потребує подальшої глибокої авторської адаптації.

Стилістична гомогенізація: повторювані патерни свідчать про те, що моделі схильні відтворювати усталені композиції, що може призвести до стандартизації візуальної мови.

Висока роль дизайнера: найбільш цінним компонентом виявилося не саме AI-зображення, а критична інтерпретація та перетворення його в самобутній стиль.

Етичні питання залишаються невирішеними, особливо в контексті комерційних проєктів і навчального процесу.

Комбінування моделей дає кращий результат, ніж робота в одному середовищі – це знижує алгоритмічні повторення.

Загалом AI-референси виявилися не замінником, а каталізатором дизайнерського мислення, який потребує професійного контролю, критичного аналізу та естетичної інтерпретації.

Висновки. Проведене дослідження дозволяє зробити низку узагальнених висновків: AI-референси стають повноцінним інструментом формування візуального стилю, особливо на ранніх етапах роботи. Вони значно скорочують час на пошук ідей та варіантів, але збільшують час на їх стилістичне доведення. Оригінальність отриманого стилю прямо залежить від критичного втручання дизайнера, уміння редагувати, комбінувати та трансформувати AI-образи. Загроза стильової уніфікації є реальною, якщо дизайнер покладається лише на одне AI-середовище або не адаптує згенерований результат. Етичні аспекти потребують чіткого регулювання: прозорості даних, дотримання авторських прав, відповідального навчання студентів. Найбільш перспективним є гібридний підхід, який поєднує:

AI-генерацію (для варіантів стилю), ручну авторську роботу (для доведення), варіювання моделей (для зниження алгоритмічних повторів).

Перспективи подальших досліджень: розробка методики навчання студентів роботі з AI-референсами як окремої дисципліни; створення етичних протоколів використання AI-образів у комерційних замовленнях; аналіз специфіки роботи з 3D та motion AI-інструментами (Runway, Sora, SD-video); моделювання алгоритмічної різноманітності стилів – як уникнути гомогенізації; розробка метрик оригінальності AI-образів для дизайнерських проєктів; вивчення впливу AI-референсів на бренд-дизайн і довготривалу айдентику.

ISSN 2786-5460 (Print), ISSN 2786-5479 (Online)

Таким чином, використання AI-референсів у цифровому дизайні відкриває нові можливості для розширення творчих підходів, але вимагає осмисленої методики, етичної відповідальності та професійної рефлексії.

Список використаних джерел:

1. Gerenko C. Штучний інтелект у графічному дизайні: кейс генеративних нейромереж. *Деміург: ідеї, технології, перспективи дизайну*. 2024. Т. 7, № 1. С. 78–91. DOI: 10.31866/2617-7951.7.1.2024.300924. URL: https://demiurge.knukim.edu.ua/article/view/300924

2. Novakovskyi A., Yaloveha I. Implementation of generative artificial intelligence technologies in creative activities: development of a structural model of design thinking. *Innovative Technologies and Scientific Solutions for Industries*. 2024. № 2. DOI: 10.30837/2522-9818.2024.2.108.

3. Oh H., Song J., Choi S., Kim H., Lee J., Suh Y. The effects of generative AI model type and visual stimuli type on design creativity. AI EDAM. Cambridge University Press, 2024. URL: https://www.cambridge.org

4. Hofman G. Towards a practical ethics of generative AI in creative production processes. arXiv preprint. 2024. URL: https://arxiv.org/abs/2412.03579

5. Wilson R., Hong E. Artificial Intelligence and Neural Style Transfer in the Context of Art and Design: Ethical and Anticipated Ethical Issues. *Proceedings of the International Conference on AI Research (ICAIR)*. 2024. Vol. 4, No. 1. DOI: 10.34190/icair.4.1.3185.

6. Srinivasan R., Uchino K. Biases in generative art – a causal look from the lens of art history. arXiv preprint. 2020. URL: https://arxiv.org/abs/2010.13266

7. Amer S. K. AI Imagery and the Overton Window. arXiv preprint. 2023. URL: https://arxiv.org/abs/2306.00080

8. Kutanova D. The use of generative graphics in graphic design: aesthetics and ethics. *Journal of Arts and Humanities*. 2024. DOI: 10.18533/cfcafs32.

9. Li C., Zhang T., Du X., Zhang Y., Xie H. Generative AI Models for Different Steps in Architectural Design: A Literature Review. arXiv preprint. 2024. URL: https://arxiv.org/abs/2404.01335

10. Wang X. та ін. Perceptions and integration of generative artificial intelligence in creative practices and industries: a scoping review and conceptual model. AI & Society. 2025. DOI: 10.1007/s00146-025-02667-2.

11. Zhang Y. та ін. Creative generation and evaluation system of art design based on artificial intelligence. Discover Artificial Intelligence. Springer, 2025. URL: https://link.springer.com/article/10.1007/s44163-025-00343-4

12. Shydlovsky A. P. Capabilities of Artificial Intelligence for Image Creation. Матеріали конференції AIIT01 2024. Київ, 2024. URL: https://it.nuft.edu.ua/wp-content/themes/itaicstheme/assets/docs/2024-1-Conf_AIIT01_2024-06-04_v0721.pdf

13. Students' Perceptions of Generative AI Image Tools in Design Education: Insights from Architectural Education. *Education Sciences*. 2024. Vol. 15, No. 9. P. 1160. DOI: 10.3390/educsci15091160.

Дата надходження статті: 15.11.2025
Дата прийняття статті: 10.12.2025
Опубліковано: 30.12.2025

UDC 004.056
DOI https://doi.org/10.32689/maup.it.2025.4.12

Alla KAPITON
Doctor of Pedagogical Sciences, Professor, Professor at the Department of Computer and Information Technologies and Systems, Yuriy Kondratyuk Poltava Polytechnic National University, kits_seminar@ukr.net
***ORCID:** 0000-0002-7845-0883*

Tamara FRANCHUK
Candidate of Economic Sciences, Associate Professor, Associate Professor at the Department of Software Engineering and Cybersecurity, State University of Trade and Economics, Tamara_Franchuk@ukr.net
***ORCID:** 0000-0001-7615-1276*

Dmytro TYSHCHENKO
Candidate of Economic Sciences, Associate Professor, Associate Professor at the Department of Software Engineering and Cybersecurity, State University of Trade and Economics, tyshchenko_d@knute.edu.ua
***ORCID:** 0000-0002-2193-9012*

Alona DESIATKO
Candidate of Technical Sciences, Associate Professor, Head of the Department of Software Engineering and Cyber Security, State University of Trade and Economics, desyatko@knute.edu.ua
***ORCID**: 0000-0002-2284-3418*

Maksym SVYSTUN
Higher Education Applicant at the Department of Computer and Information Technologies and Systems, Yuriy Kondratyuk Poltava Polytechnic National University, maksimsvistun11111@gmail.com
***ORCID:** 0009-0008-2019-2122*

ADVANTAGES AND DISADVANTAGES OF IOS 26

Abstract. *The purpose of the work is to analyze, evaluate, and identify the advantages and disadvantages of mobile operating systems.*

The methodology *used in the work, consists in determining the requirements for modern technologies for using mobile operating systems, which includes studying their advantages and disadvantages, investigated through the prism of updated technical and technological requirements for highly effective innovative information technologies, mediated by the development and improvement of technical means of functioning in the most used industries.*

The scientific novelty *of the work lies in the study, analysis, comparison and identification of positive and negative criteria for the design, development and implementation of mobile operating systems as significant levers for ensuring efficiency and optimizing functioning in all industries that require mobility of decision-making in modern conditions.*

Conclusions. *The factors influencing the development trends of mobile operating systems are identified, using the example of the introduction and implementation of iOS 26. The criteria are analyzed and the methods of updating the system in recent years are characterized. The main features of iOS 26 are studied: design, security, and the Apple ecosystem. The features of the updated design were tested and the main characteristics of the updated design were studied, and the quality of the implemented built-in artificial intelligence in the presented updated version was analyzed and assessed. The indisputability of the proposed updated flexible personalization and other elements that deserve analysis are established, and aspects that require further study, expansion, and improvement are identified. Research was conducted on the revolutionary design change of Liquid Glass and the updated operating system version numbering system was studied, and modern accessory security policies were evaluated, namely the control of connected devices in a locked state. Platform unification is being developed: synchronization of the design system between all Apple devices. Based on the criteria-based and phased analysis of the features of IOS26, Based on key security, design, and ecosystem characteristics, key factors have been updated to ensure the development of a methodology for further improving such mobile operating systems. Considered revolutionary design changes: Liquid Glass as the next stage of interface evolution, where it is determined that iOS 26 represents the first radical redesign of the system since iOS 7, based on a single design language of Liquid Glass. The proposed concept fundamentally changes Apple's approach to visual design, combining elements of glass morphism with dynamic effects. It has been found that unifying visual elements across all applications and system components creates a seamless experience across the entire Apple ecosystem, given the fact that the system also automatically adapts the intensity of effects depending on device performance and accessibility settings. The new operating system version numbering system was investigated and fundamental changes in the operating system branding strategy were identified, reflecting a long-term planning strategy for improving the mobile operating system and a focus on the future.*

Key words: *system software, artificial intelligence, operating systems, AI functions.*

© A. Kapiton, T. Franchuk, D. Tyshchenko, A. Desiatko, M. Svystun, 2025

Стаття поширюється на умовах ліцензії CC BY 4.0

Алла КАПІТОН, Тамара ФРАНЧУК, Дмитро ТИЩЕНКО, Альона ДЕСЯТКО, Максим СВИСТУН.
ПЕРЕВАГИ ТА НЕДОЛІКИ IOS 26

Анотація. Метою роботи *є аналіз, оцінка та виявлення переваг та недоліків мобільних операційних систем.*

Методологія, *використана в роботі, полягає у визначені вимог до сучасних технологій використання мобільних операційних систем, що включає вивчення їх переваг та недоліків, досліджених через призму оновлених технічних та технологічних вимог до високоефективних інноваційних інформаційних технологій, опосередкованих розвитком та вдосконаленням технічних засобів функціонування у найбільш використаних галузях.*

Наукова новизна *роботи полягає у дослідженні, аналізі, порівнянні та виявленні позитивних та негативних критеріїв проектування, розробки та впровадження мобільних операційних систем як визначних важелів забезпечення ефективності і оптимізації функціонування в усіх галузях, що потребують мобільності прийняття рішень в сучасних умовах.*

Висновки. *Визначено фактори впливу на тенденції розвитку мобільних операційних систем, на прикладі представлення та впровадження iOS 26. Проаналізовано критерії та охарактеризовано методи оновленням системи за останні роки. Досліджено основні особливості IOS 26: дизайн, безпека та екосистема Apple. Протестовано особливості та вивчено основні характеристики оновленого дизайну, проведено аналіз та оцінено якість впровадженого вбудованого штучного інтелекту в представленій оновленій версії. Встановлена безперечність запропонованої оновленої гнучкої персоналізації, та інші елементи, що заслуговують аналізу та визначено аспекти, що потребують подальшого вивчення, розширення та вдосконалення. Проведено дослідження щодо революційної зміни дизайну Liquid Glass та вивчена оновлена система нумерації версій операційної системи, оцінена сучасна політика безпеки аксесуарів, а саме контроль підключених пристроїв у заблокованому стані. Проналазівана уніфікація платформ: синхронізація дизайн-системи між усіма пристроями Apple. На основі проведеного критеріального та поетапного аналізу особливостей IOS26, спираючись на ключові характеристики безпеки, дизайну та екосистеми оновлено ключові фактори, що повинні забезпечувати розробку методики подальшого вдосконалення подібних мобільних операційних систем. Розглянуто революційні зміни дизайну: Liquid Glass як наступного етапу еволюції інтерфейсу, де визначено що iOS 26 представляє перший кардинальний редизайн системи з часів iOS 7, заснований на єдиній мові дизайну Liquid Glass. Запропонована концепція принципово змінює підхід Apple до візуального дизайну, поєднуючи елементи скломорфізму з динамічними ефектами. Встановлено, що уніфікація візуальних елементів між усіма додатками та системними компонентами створює безшовний досвід використання всієї екосистеми Apple, з урахуванням того факту, що система також автоматично адаптує інтенсивність ефектів залежно від продуктивності пристрою та налаштувань доступності. Досліджено нову систему нумерації версій операційної системи та визначено фундаментальні зміни в стратегії брендингу операційної системи, що відображає стратегію довготермінового планування вдосконалення мобільної операційної системи та орієнтацію на майбутнє. Проаналізовано шляхи синхронізації з іншими продуктами компаній-розробників, що є логічною для користувачів і розробників, що спрощує планування сумісності та розробку кросплатформних додатків у майбутньому.*

Ключові слова: *системне програмне забезпечення, штучний інтелект, операційні системи, AI функції.*

Introduction. Apple recently officially released iOS 26, which has drawn the attention of the IT community, as it is undoubtedly the most notable system update in recent years. The main features of iOS 26: design, security, and Apple's ecosystem are the focus of our research. It is the updated design, built-in artificial intelligence, flexible personalization, and other elements that deserve analysis. The objective of this work is to obtain a complete analysis of the features of IOS26, based on key security, design, and ecosystem characteristics.

Analysis of recent research and publications. The indisputability of constant updating and modernization of modern mobile devices in accordance with the requirements of the time does not require proof. A number of scientists, including Franchuk T., Tyshchenko D., Desiatko A., Karpunin I., Sas N., Stepashkina K., Karpunin I., Zakharov R., Moskalenko V. analyze problems and solve issues of designing mobile operating systems [3, 7, 10, 11]. Other researchers study the issues of mobile operating systems from the perspective of reviewing the latest versions and justifying the timeliness of their implementation and further development. We also examined the revolutionary change in the design of the liquid crystal display, and the updated version numbering system of the operating system. We analyzed a new additional security policy, namely the management of connected devices in a locked state [1, 2, 4–6, 8, 9]. Also analyzed platform unification: design synchronization of the design system between all Apple devices. Research on the analysis, design, and development of mobile operating systems, potential problems with mobile platforms, is in demand and periodically becomes the focus of theoretical and practical research by IT researchers [9].

Main part. First, let's look at the revolutionary design changes: Liquid Glass as a new stage in the evolution of the interface. iOS 26 represents the first radical redesign of the system since iOS 7 (2013), based on a single design language of Liquid Glass. This concept fundamentally changes Apple's approach to visual design, combining elements of glass morphing with dynamic effects that create a "living" interface. The new design is characterized by the use of translucent elements with blurring effects that resemble the behavior of liquid glass. By unifying visual elements across all apps and system components, Apple creates a seamless experience across the entire ecosystem, and the system automatically adapts the intensity of effects based on device performance and accessibility settings. The updated liquid glass icons now feature a multi-layered structure

with dynamic lighting that changes depending on the angle of the device. Each icon is more voluminous and interactive, responding to long-press with expanded context menus with smooth animations. The system automatically generates appropriate effects for third-party applications, ensuring visual consistency. New screen transition animations are based on the physical principles of fluid motion, creating natural and intuitive interactions. The Control Center and Notification Center now have a modular structure with individual "glass" panels that can be moved and resized. Dynamic lighting of the interface automatically adjusts to the time of day and lighting conditions, using data from the ambient light sensor and TrueDepth camera [1, 2, 4–6, 8, 9].

Second, let's examine the new operating system version numbering system. Apple is abandoning sequential numbering (iOS 18, 19, 20) in favor of a system based on the year of release, which marks a fundamental change in the operating system's branding strategy. iOS 26 actually means the 2026 version, even though it was released in 2025, reflecting Apple's long-term planning and focus on the future. Synchronization with other Apple products (macOS, watchOS, tvOS) now becomes completely logical and understandable for users and developers. All operating systems receive the same numerical year designation, which simplifies compatibility planning and cross-platform application development [1, 2, 4–6, 8, 9].

Third, let's define the indisputability of enhanced protection against tracking: an expanded system for counteracting fingerprinting. Improved protection against tracking links and blocking access to identifying information of the device represents a comprehensive system of protection against modern methods of digital surveillance. The system automatically recognizes and removes tracking parameters from URLs, blocks access to unique device identifiers, and masks browser-specific features. Special attention is paid to protection against cross-site tracking and fingerprinting through Canvas API, WebGL, and other web technologies. Randomization of User-Agent strings and system parameters is done dynamically for each web session, making it impossible to create a stable digital fingerprint of a device. The system generates plausible but different combinations of browser, operating system, and hardware characteristics for each site visit. This includes masking information about the screen, time zone, system language, and installed fonts. Dynamically changing browser fingerprints on each request uses advanced machine learning algorithms to generate realistic yet unique profiles. The system takes into account real-world device statistics to create plausible combinations of characteristics that do not arouse suspicion in tracking systems. In addition, protection against timing attacks and JavaScript performance analysis for hardware identification are implemented.

Apple's use of proxy servers to mask IP addresses has been expanded and optimized to provide the fastest and most reliable connection. The new Private Relay architecture uses distributed servers in different geographical locations to ensure optimal traffic routing. The system also includes protection against DNS tracking through the use of encrypted DNS requests and DNS server rotation [1, 2, 4–6, 8, 9].

Fourth, a new accessory security policy deserves analysis: monitoring connected devices in a locked state. Additional permissions for using accessories connected via cable while the phone is locked represent a new paradigm for protecting against physical access to the device. The system now requires explicit user confirmation to activate any new USB accessories connected to a locked iPhone. Of particular importance are restrictions on devices that can initiate data transfers or establish network connections, including charging stations with additional functionality. Time limits for unknown connections automatically disable suspicious accessories after a certain period of inactivity or when there is no user interaction. The system keeps a detailed log of all connections with timestamps, device type, and interaction pattern for further security analysis. Users receive notifications about all attempts to connect unknown devices, with the ability to permanently block specific types of accessories. Protection against forensic tools from law enforcement and private companies becomes more effective thanks to a new system for identifying suspicious equipment. iOS 26 can recognize characteristic signatures of known hacking tools and automatically block their access to the system. The system also introduces additional delays and checks for any attempts to access the file system via the USB interface [1, 2, 4–6, 8, 9].

Fifth, the analysis requires unification of platforms: synchronization of the design system between all Apple devices. The single Liquid Glass design language is applied across all Apple platforms, creating an unprecedented level of consistency in the user experience across devices in the ecosystem. Developers can now use identical interface components on iPhone, iPad, Mac, Apple Watch and Apple TV, greatly simplifying the process of creating cross-platform applications. The system automatically adapts the dimensions, proportions, and behavior of elements to the specifics of each device, while maintaining visual and functional identity. Common interface components across all apps include unified buttons, menus, input forms, modals, and navigation elements with identical animations and behaviors. This means that skills learned using one app automatically transfer to all other apps in the Apple ecosystem. Reducing the adaptation time when switching between devices is achieved by having identical interaction logic and visual cues across all platforms. A user who has learned to work with new features on an iPhone can instantly apply that knowledge to an iPad or

ISSN 2786-5460 (Print), ISSN 2786-5479 (Online)

Mac without additional training. Simplified training and support are made possible by a single help and documentation system across the Apple ecosystem. Users can use a single set of training materials across all devices, and support can provide universal solutions to problems.

Conclusions. Today, it is undeniable that, based on theoretical and practical research, iOS 26 can be considered not only as a new, modernized version of the mobile operating system, but also as the next, unlike any other, step in the development of modern mobile devices. Liquid Glass interface, built-in Apple Intelligence, smart tools for communication, photos, calls and even games make the system noticeably more modern. Analyzed ways to synchronize with other products from development companies, which is logical for users and developers, which simplifies compatibility planning and cross-platform application development in the future. The indisputability of enhanced protection against tracking is substantiated: an expanded anti-fingerprinting system. A new additional security policy proposed by developers: monitoring connected devices in a locked state, was investigated and its main potential problems were identified. Promising directions of the analysis environment and further study of the issues of platform unification are established: synchronization of the design system between all devices.

Bibliography:

1. Apple elevates the iPhone experience with iOS 26. URL: https://www.apple.com/newsroom/2025/06/apple-elevates-the-iphone-experience-with-ios-26/ (дата звернення: 29 жовтня 2025).

2. Apple Releases iOS 26 and iPadOS 26 With New Liquid Glass Design. URL: https://www.macrumors.com/2025/09/15/apple-releases-ios-26/ (дата звернення: 29 жовтня 2025).

3. Franchuk T., Tyshchenko D., Desiatko A., Karpunin I. Features of accounting digitalization processes. *Galician economic journal,* 2025, vol. 95, no 1, pp. 61–66.

4. iOS 26 superguide: All the features in the iOS 26 iPhone update, and what's still to come. URL: https://www.macworld.com/article/2575705/ios-26-features-release-date-beta.html (дата звернення: 29 жовтня 2025).

5. iOS 26.1 to iOS 26.4: Here Are 5 New Features to Expect on Your iPhone. URL: https://www.macrumors.com/2025/09/16/ios-26-1-to-ios-26-4-features/ (дата звернення: 29 жовтня 2025).

6. iOS 26: 4 Things to Know About Apple's Bold New Privacy Push. URL: https://www.techopedia.com/ios-26-privacy-features-explained (дата звернення: 29 жовтня 2025).

7. Kapiton A., Franchuk T., Tyshchenko D., Desiatko A., Sas N. Modeling of management objects and processes *Системи управління, навігації та зв'язку.* 2025. Т. 1 (79). 37–41.

8. Security Bite: My favorite privacy features in iOS 26. URL: https://9to5mac.com/2025/09/01/security-bite-my-favorite-privacy-features-in-ios-26/ (дата звернення: 29 жовтня 2025).

9. The Apple Ecosystem. URL: https://applemagazine.com/the-apple-ecosystem/ (дата звернення: 29 жовтня 2025).

10. Tyshchenko D., Franchuk T., Stepashkina K., Karpunin, I. Проектування та розробка системи корпоративного електронного документообігу. *Європейський науковий журнал Економічних та Фінансових інновацій*. 2024. № 1(13). 200–207.

11. Tyshchenko D., Franchuk T., Zakharov R., Moskalenko V. Підтримка динамічних потреб безпеки засобами VPN *Системи управління, навігації та зв'язку.* 2024. Т. 3 (77). 149–152.

Дата надходження статті: 03.11.2025
Дата прийняття статті: 10.12.2025
Опубліковано: 30.12.2025

УДК 004.75:004.056.5
DOI https://doi.org/10.32689/maup.it.2025.4.13

Світлана КАШКЕВИЧ
старший викладач кафедри інтелектуальних кібернетичних систем, Державне некомерційне підприємство «Державний університет «Київський авіаційний інститут, svitlana.kashkevych@npp.kai.edu.ua
***ORCID:** 0009-0007-2406-8535*

Олена НЕЧИПОРУК
доктор технічних наук, професор, професор кафедри інтелектуальних кібернетичних систем, Державне некомерційне підприємство «Державний університет «Київський авіаційний інститут, olena.nechyporuk@npp.kai.edu.ua
***ORCID:** 0000-0001-8203-7998*

Наталія АПЕНЬКО
кандидат технічних наук, доцент, доцент кафедри інтелектуальних кібернетичних систем, Державне некомерційне підприємство «Державний університет «Київський авіаційний інститут, nataliia.apenko@npp.kai.edu.ua
***ORCID:** 0000-0001-6891-0869*

Ірина БРАНОВИЦЬКА
асистент кафедри інтелектуальних кібернетичних систем, Державне некомерційне підприємство «Державний університет «Київський авіаційний інститут, iryna.branovytska@npp.kai.edu.ua
***ORCID:** 0000-0001-6397-6164*

МЕТОД ОПТИМІЗАЦІЇ МАРШРУТІВ НА ОСНОВІ ПОВЕДІНКИ ЗМІЙ В СИСТЕМАХ ОБМІНУ ДАНИМИ БПЛА

Анотація. *У роботі запропоновано метод оптимізації маршрутів у системах обміну даними безпілотних літальних апаратів (БпЛА), заснований на біоінспірованій моделі поведінки змій (Snake Routing Optimization Method, SROM). Метод реалізує адаптивний пошук оптимального маршруту з урахуванням динаміки мережі, енергоспоживання, затримок передавання та стабільності каналів зв'язку. На відміну від відомих еволюційних підходів, алгоритм SROM поєднує локальну оптимізацію та колективну взаємодію між агентами, що забезпечує швидку збіжність та здатність уникати локальних мінімумів.*

Мета. *Розробка методу оптимізації маршрутів на основі поведінки змій у системах обміну даними БпЛА.*

Методологія. *Методологічною основою дослідження є біоінспірований підхід до оптимізації маршрутів, у якому процес пошуку розглядається як колективна поведінка агентів за аналогією до руху та адаптації змій у середовищі.*

Наукова новизна. *Наукова новизна полягає у розробленні біоінспірованого методу оптимізації маршрутів в БпЛА, який поєднує колективну модель поведінки агентів із локальним удосконаленням шляху в реальному часі. На відміну від відомих еволюційних та роєвих алгоритмів, запропонований підхід вводить механізм адаптивного «руху» маршруту за принципом зміни конфігурації «ланцюга» вузлів.*

Висновки. *Запропонований біоінспірований метод оптимізації маршрутів демонструє здатність адаптивно формувати стійкі та ефективні шляхи передачі даних у динамічних мережах БпЛА.*

Ключові слова: *безпілотний літальний апарат, адаптивне управління, телекомунікаційна система, оптимізація, маршрутизація, біоінспіровані алгоритми.*

Svitlana KASHKEVYCH, Olena NECHYPORUK, Natalia APENKO, Iryna BRANOVYTSKA. METHOD FOR OPTIMISING ROUTES BASED ON THE BEHAVIOUR OF SNAKES IN UAV DATA EXCHANGE SYSTEMS

Abstract. *The paper proposes a method for optimizing routes in unmanned aerial vehicle (UAV) data exchange systems based on a bio-inspired model of snake behaviour (Snake Routing Optimisation Method, SROM). The method implements an adaptive search for the optimal route, taking into account network dynamics, energy consumption, transmission delays, and communication channel stability. Unlike known evolutionary approaches, the SROM algorithm combines local optimization and collective interaction between agents, ensuring fast convergence and the ability to avoid local minima.*

Objective. *To develop a method for optimising routes based on the behaviour of snakes in UAV data exchange systems.*

Methodology. *The methodological basis of the study is a bio-inspired approach to route optimization, in which the search process is viewed as the collective behaviour of agents, analogous to the movement and adaptation of snakes in their environment.*

© С. Кашкевич, О. Нечипорук, Н. Апенько, І. Брановицька, 2025

Стаття поширюється на умовах ліцензії CC BY 4.0

Scientific novelty. *The scientific novelty lies in the development of a bio-inspired method for optimizing routes in UAVs, which combines a collective model of agent behaviour with local real-time path improvement. Unlike known evolutionary and swarm algorithms, the proposed approach introduces a mechanism of adaptive route 'movement' based on the principle of changing the configuration of the "chain" of nodes.*

Conclusions. *The proposed bio-inspired route optimization method demonstrates the ability to adaptively form stable and efficient data transmission paths in dynamic UAV networks.*

Key words: *unmanned aerial vehicle, adaptive control, telecommunications system, optimization, routing, bio-inspired algorithms.*

Постановка проблеми. Сучасні системи зв'язку між безпілотними літальними апаратами характеризуються високою динамічністю топології, обмеженими енергетичними ресурсами та нестабільністю каналів передавання даних. У таких умовах особливої актуальності набуває завдання побудови адаптивних методів маршрутизації, здатних забезпечити стійкий обмін інформацією при зміні положення вузлів мережі та умов радіоканалу.

Традиційні алгоритми маршрутизації, зокрема DSR, AODV, OLSR, мають обмежену ефективність у динамічних мережах типу FANET (Flying Ad Hoc Network), оскільки не враховують сукупний вплив факторів затримки, втрат пакетів і рівня енергоспоживання.

Тому виникає потреба у створенні нового підходу до оптимізації маршрутів, який би поєднував властивості адаптації, самоорганізації та колективної поведінки агентів. Одним із перспективних напрямів є застосування біоінспірованих алгоритмів, що моделюють природні процеси еволюції та взаємодії живих організмів.

З огляду на це, у роботі розроблено метод оптимізації маршрутів на основі поведінки змій, який забезпечує баланс між глобальним пошуком та локальним вдосконаленням маршруту, а також може бути реалізований у практичних системах управління польотом.

Аналіз останніх досліджень і публікацій. Проблематика ефективної передачі даних у системах управління безпілотними літальними апаратами БпЛА широко представлена у працях як вітчизняних, так і зарубіжних дослідників [1–7]. Зокрема, питання побудови телекомунікаційних мереж для БпЛА розглянуто в роботах О. Поліщука, С. Сухорукова, І. Кривди, В. Колоса, які досліджують архітектури мобільних і децентралізованих мереж, а також методи забезпечення стійкого зв'язку між рухомими вузлами. Особливості моделювання впливу зовнішніх факторів на якість каналу та пропускну здатність систем зв'язку описано в дослідженнях А. Хоружого та О. Назаренко.

Попри наявність значної кількості публікацій, більшість із них орієнтовані на статичні або частково динамічні топології, що не враховує особливостей високої мобільності вузлів мережі БпЛА. Це зумовлює необхідність пошуку нових методів маршрутизації, здатних адаптуватися до динамічних змін топології та мінімізувати затримки при передачі даних.

Виклад основного матеріалу. Проблематика маршрутизації у мережах БпЛА активно досліджується. Класичні підходи з MANET/WMN та їх модифікації забезпечують базову зв'язність, однак в умовах швидкої зміни топології та неоднорідної якості лінків демонструють зниження продуктивності (зростання затримок, втрат пакетів, часті перебудови маршрутів). Це спричинило перехід до методів, що явно враховують QoS-метрики та енергоспоживання.

З огляду на динаміку FANET, значну увагу приділено біоінспірованим і роєвим методам. Широко досліджені Ant Colony Optimization з феромонною пам'яттю для підсилення «вдалих» шляхів; Particle Swarm Optimization та Genetic Algorithms для глобального пошуку; а також різні інтелектуальні метаевристики (Artificial Bee Colony, Firefly, Bat, Cuckoo Search тощо). Ефективність таких підходів у FANET пояснюється їхньою здатністю поєднувати експлорацію простору рішень із локальною інтенсифікацією, що критично при швидкій зміні графа зв'язності. Окремою лінією розвитку є гібридні підходи, де глобальний пошук комбінують з локальними поліпшеннями маршруту. Такі схеми прискорюють збіжність і зменшують ризик застрягання в локальних мінімумах, особливо коли вартість ребра складена з кількох компонент (затримка, втрати, енергія) [1–3].

В системах обміну даними між БпЛА необхідно забезпечити швидку, енергоефективну та надійну передачу даних у динамічній мережі. Завдання полягає у виборі оптимального маршруту передачі пакетів між вузлами мережі з урахуванням зміни положення БпЛА, рівня сигналу, енергоспоживання та стабільності каналів зв'язку.

Метод описаний поведінкою реальних змій, які здатні: пристосовуватись до середовища; змінювати напрямок руху, уникаючи перешкод; координувати рух, залишаючи «слід» (інформацію про вдалі шляхи); скидати шкіру, оновлюючи себе при застої. При оптимізації маршрутів ці принципи перетворюються на математичні оператори пошуку, що дозволяють поєднати пам'ять про успішні рішення (експлуатацію) і випадковість для пошуку нових.

Крок 1. В системах обміну даними між БпЛА необхідно забезпечити швидку, енергоефективну та надійну передачу даних у динамічній мережі. Завдання полягає у виборі оптимального маршруту передачі пакетів між вузлами мережі з урахуванням зміни положення БпЛА, рівня сигналу, енергоспоживання та стабільності каналів зв'язку.

У системі обміну формується динамічна мережа $G(t) = (V, E(t))$, де V – множина вузлів, $E(t)$ – множина зв'язків між ними, що змінюється у часі. Необхідно знайти маршрут передачі даних $\pi = (v0 = s, v1, v2, \ldots, vL = d)$, який забезпечує мінімальні втрати, затримку та енергоспоживання.

Цільова функція: $J(\pi, t) = \sum_{k=1}^{L} w(vk-1, vk, t)$, де $w(vk-1, vk, t)$ -узагальнена вартість переходу між вузлами (поєднання часу затримки, втрат та енергії).

Крок 2. Алгоритм імітує поведінку змії у природі: змія рухається, відчуваючи середовище; залишає слід (пам'ять про вдалі шляхи); змінює напрям, якщо натрапляє на перешкоду; «скидає шкіру» – оновлює себе при застої. Ці властивості відображаються у вигляді операторів пошуку оптимального маршруту.

Крок 3. Ініціалізація популяції. На початковому етапі створюється популяція з *M* змій. Кожна змія Sm представляє один можливий маршрут π_m. Початкові шляхи формуються випадково або за простою евристикою – наприклад, вибираючи вузли з найменшою відстанню та найкращою якістю зв'язку. Для всіх змій ініціалізуються параметри: T_0 – температура, рівень випадковості рішень; H_0 – схильність до пошуку нових варіантів; $\tau ij = \tau 0$ – інтенсивність сліду.

Крок 4. Сенсорика середовища. Змія рухається мережею, сприймаючи «сигнали» навколишнього середовища. Для кожного можливого переходу з вузла *i* у вузол *j*:

$$\eta ij(t) = \frac{1}{w_{ij}(t) + wij(t) + \varepsilon},$$

де $\varepsilon > 0$ – число, що запобігає діленню на нуль. Ймовірність переходу:

$$pij(t) = \frac{\eta ij(t)}{\sum k \in N(i) * \eta ik(t) \eta ij(t)},$$

де $N(i)$ – множина сусідів вузла *i*. Змія обирає наступний вузол пропорційно до $pij(t)$.

Крок 5. Під час руху кожна змія поступово формує свій маршрут π_m.

Починає з джерела *s*. Послідовно вибирає наступний вузол. Уникає повторного відвідування вузлів (щоб не утворювати петлі). Якщо не існує жодного доступного переходу – змія «повертається» на попередній вузол і обирає інший напрямок. Результатом є повний маршрут π_m від джерела до приймача.

Крок 6. Локальне вдосконалення. Після побудови маршруту змія оцінює його якість та намагається його покращити. Використовуються локальні оператори: *2-opt* – обмін двох вузлів маршруту; *relocate* – переміщення вузла в інше місце; *swap* – перестановка послідовних вузлів. Якщо новий маршрут має меншу вартість $Jnew < Jold$, він приймається.

Крок 7. Колективна взаємодія («звивання»). Після оцінки кожної змії її маршрут залишає слід у мережі – інформацію про успішні напрямок. Інтенсивність сліду на ребрі *(i,j)* та оновлюється за формулою:

$$\tau ij(t+1) = (1-\lambda) \cdot \tau ij(t) \sum_{m=1}^{M} \frac{Q}{J(\pi_m)} \cdot 1\{(i,j) \in \pi m\},$$

де λ – коефіцієнт; Q – масштабний коефіцієнт; $1\{(i,j) \in \pi m\}$ – індикатор, що ребро належить маршруту змії *m.* Під час наступних ітерацій сенсорика враховує не лише поточні умови, а й накопичений слід: $\eta ij' = \eta ij \cdot (1 + \tau ij)$.

Крок 8. Оновлення стану змій. Якщо протягом певної кількості ітерацій не відбувається покращення, змія виконує «скидання шкіри» – часткове оновлення маршруту: випадкове видалення частини шляху; перебудова від середнього вузла; перехід у нову ділянку графа.

Температура *T* і рівень голоду *H* змінюються динамічно:

$$Tk + 1 = \rho T \cdot Tk, Hk + 1 = Hk + \delta H - \epsilon H.$$

Це дозволяє балансувати між пошуком нових рішень і вдосконаленням старих.

Крок 9. Відбір найкращого маршруту. Після завершення заданої кількості ітерацій *K* оцінюються всі маршрути в популяції. Оптимальним вважається маршрут $\pi*$ який має мінімальну сумарну вартість: $\pi* = argminJ(\pi m, t)$.

ISSN 2786-5460 (Print), ISSN 2786-5479 (Online)

Додатково можна враховувати багатокритеріальні показники:

$$J(\pi) = \alpha \cdot Tdelay + \beta \cdot Ploss + \gamma \cdot Econs,$$

де $Tdelay$ – загальна затримка передачі даних, $Econs$ – втрати пакетів, $Econs$ – енерговитрати на передачу.

Отриманий маршрут π_m використовується для передачі даних між БпЛА. У разі зміни умов (зникнення зв'язку або переміщення БпЛА) алгоритм перезапускає пошук, але з урахуванням попереднього «сліду», що значно скорочує час реакції системи.

Метод оптимізації маршрутів на основі поведінки змій: поєднує біоінспіровану динаміку пошуку з класичними критеріями оптимізації; зберігає баланс між випадковістю та запам'ятовуванням; забезпечує швидку адаптацію в умовах рухомої мережі БпЛА; дозволяє ефективно мінімізувати затримку, втрати і енергоспоживання. Для підтвердження адекватності запропонованої теоретичної моделі було проведено комп'ютерне моделювання на Python. процесу пошуку оптимальних маршрутів у мережі БпЛА з використанням методу оптимізації на основі поведінки змій.

На рис. 1 показано структуру згенерованої топології мережі, де вузли відображають безпілотні літальні апарати, а товщина ліній між ними пропорційна якості каналу зв'язку. Виділеним кольором позначено оптимальний маршрут, знайдений алгоритмом SROM після серії ітерацій пошуку.

На рис. 2 наведено динаміку зміни значення цільової функції (вартісного критерію маршруту) протягом процесу оптимізації. Спостерігається поступове зменшення сумарної вартості маршруту зі збільшенням кількості ітерацій, що свідчить про збіжність алгоритму та його здатність до адаптації в умовах стохастичних змін параметрів мережі.

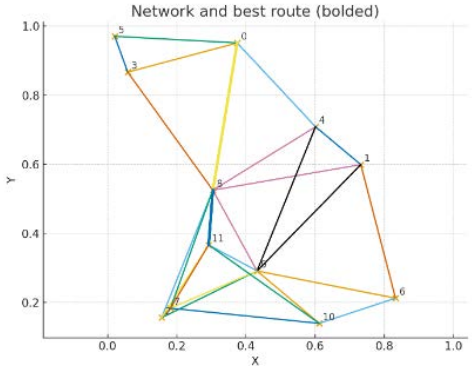

Рис. 1. Топологія мережі БпЛА та оптимальний маршрут

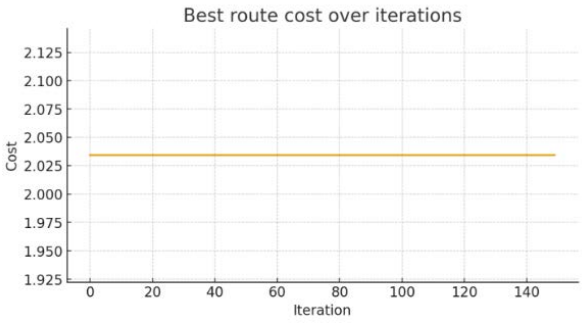

Рис. 2. Динаміка зміни вартості маршруту під час роботи алгоритму

Отримані результати підтверджують адекватність математичної моделі та ефективність застосування біоінспірованого підходу для задач маршрутизації у динамічних бездротових мережах БпЛА.

Для перевірки працездатності розробленого методу в реальному середовищі управління польотом було проведено експериментальне тестування у середовищі Mission Planner, яке широко використовується для планування маршрутів і моніторингу БпЛА. Отримані з Python-моделювання координати вузлів мережі (точки маршруту) було експортовано у форматі *.plan*. З метою автоматизації процесу розрахунку маршруту було створено скрипт на мові Python, який реалізує алгоритм оптимізації маршрутів на основі поведінки змій безпосередньо у середовищі планування польоту.

Після виконання скрипту в Mission Planner отримано маршрут, який візуально відображає результат роботи запропонованого алгоритму. Як видно з рис. 3, маршрут має мінімальну довжину з урахуванням обмежень зв'язності між вузлами мережі та демонструє здатність алгоритму адаптивно враховувати топологічні особливості розташування БпЛА.

Таким чином, інтеграція запропонованої моделі з інструментами Mission Planner підтвердила її практичну реалізованість і можливість подальшого використання для реального управління польотом БпЛА.

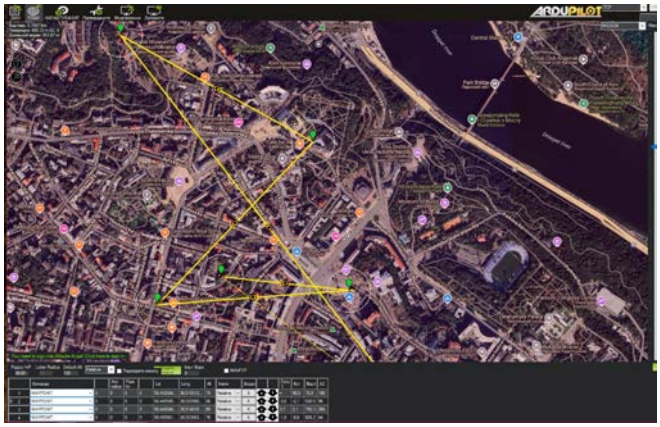

Рис. 3. Візуалізація побудованого маршруту БпЛА у середовищі Mission Planner після виконання скрипту SROM.

Висновки. У роботі розроблено та досліджено метод оптимізації маршрутів у системах обміну даними безпілотних літальних апаратів на основі поведінки змій. Запропонований підхід дозволяє враховувати сукупність показників якості каналу зв'язку – затримку, втрати пакетів, енергоспоживання і забезпечує адаптивний пошук оптимального маршруту в умовах динамічної топології мережі. Розроблено математичну модель алгоритму та реалізовано його програмну реалізацію мовою Python. Результати комп'ютерного моделювання підтвердили ефективність і збіжність алгоритму: зі збільшенням кількості ітерацій спостерігається монотонне зниження вартості маршруту, що вказує на коректність механізмів локальної оптимізації та самоорганізації «змій». Експериментальні результати підтвердили можливість інтеграції SROM у систему планування польоту та його використання для підвищення ефективності управління груповими польотами безпілотних апаратів.

Подальші дослідження доцільно спрямувати на розширення моделі для багатокритеріальної оптимізації з адаптацію до реального канального середовища.

Список використаних джерел:

1. Плєхова Г. А., Неронов С. М., Костікова М. В., Кашкевич С. О. Удосконалення моделі безпечної маршрутизації в програмно-конфігурованих мережах. *Біоніка інтелекту (ХНУРЕ).* 2024. № 1 (100). С. 50–57. DOI: https://doi.org/10.30837/bi.2024.1(100).07 .

2. Ali Al-Ammouri I., Lebid M., Dekhtiar M., Lebid Ye., Al-Ammori H. Development of a mathematical model of reliable structures of information-control systems. *Eastern-European Journal of Enterprise Technologies*, 2022. 5/9 (119), 68–78. DOI: https://doi.org/10.15587/1729-4061.2022.265953 .

3. Kashkevich S. (Ed.) Decision support systems: mathematical support. Kharkiv: Technology Center PC. 2025. DOI: https://doi.org/10.15587/978-617-8360-13-9

4. Kashkevich S., Litvinenko O., Shyshatskyi A., Salnyk S., Velychko V. The method of self-organization of information networks in the conditions of the complex influence of destabilizing factors. *Сучасні інформаційні системи,* 2024. 8 (3), 59–79. DOI: https://doi.org/10.20998/2522-9052.2024.3.07 .

5. Mirjalili S., Mirjalili S. M., Lewis A. Grey Wolf Optimizer. Advances in Engineering Software, 2014. 69, 46–61. DOI: https://doi.org/10.1016/j.advengsoft.2013.12.007 .

6. Pozna C., Precup R.-E., Horváth E., Petriu E. M. Hybrid Particle Filter–Particle Swarm Optimization Algorithm and Application to Fuzzy Controlled Servo Systems. *IEEE Transactions on Fuzzy Systems*, 2022. 30 (10), 4286–4297. DOI: https://doi.org/10.1109/TFUZZ.2022.3146986 .

7. Tamer K. A., Sova O., Shaposhnikova O., Yashchenok V., Stanovska I., Shostak S., Rudenko O., Petruk S., Matsyi O., Kashkevich S. Development of a solution search method using a combined bio-inspired algorithm. *Eastern-European Journal of Enterprise Technologies*, 2024. 1 (4 (127)), 6–13. DOI: https://doi.org/10.15587/1729-4061.2024.298205

Дата надходження статті: 07.11.2025
Дата прийняття статті: 10.12.2025
Опубліковано: 30.12.2025

УДК 004.421.3
DOI https://doi.org/10.32689/maup.it.2025.4.14

Наталія КІЦЕЛЬ
науковий співробітник відділу організації наукової діяльності,
Кременчуцький льотний коледж Харківського національного університету внутрішніх справ, kitselnata@gmail.com
***ORCID:** 0000-0003-4414-7226*
***Scopus Author ID:** 57406611300*

Євген ВОЛКАНІН
кандидат технічних наук, завідувач кафедри електронних комунікацій, радіотехніки та авіоніки, Кременчуцький льотний коледж Харківського національного університету внутрішніх справ, volkanin@ukr.net
***ORCID:** 0000-0003-3507-1987*
***Scopus Author ID:** 59296447700*

Оксана БОРИСЕНКО
завідувач відділення практичного навчання,
Кременчуцький льотний коледж Харківського національного університету внутрішніх справ, o.borisenko.klk@gmail.com
***ORCID:** 0000-0002-7858-1349*

Валерій МАТВЄЄВ
викладач кафедри електронних комунікацій, радіотехніки та авіоніки,
Кременчуцький льотний коледж Харківського національного університету внутрішніх справ, valerii.matvieiev@gmail.com
***ORCID:** 0009-0007-8430-2418*

Володимир МАЛЬОВАНИЙ
кандидат технічних наук, професор кафедри електронних комунікацій, радіотехніки та авіоніки, Кременчуцький льотний коледж Харківського національного університету внутрішніх справ, aireo.nv.klk@ukr.net
***ORCID:** 0009-0003-4900-4272*

КОМПЛЕКСНИЙ АНАЛІЗ ШКІДЛИВИХ ПРОГРАМ: ПІДХОДИ, ВИКЛИКИ ТА ПЕРСПЕКТИВИ

***Анотація. Метою** даного дослідження є систематизація та аналіз сучасних методів дослідження шкідливого програмного забезпечення (malware) у контексті забезпечення кібербезпеки. Робота спрямована на визначення ефективності різних підходів до аналізу шкідливого коду, виявлення їх переваг та обмежень, а також оцінку перспектив розвитку інструментів і методик для протидії еволюціонуючим кіберзагрозам. Особлива увага приділяється комплексному підходу, який передбачає поєднання традиційних і сучасних технологій, зокрема методів машинного навчання та автоматизації процесів аналізу.*

***Методологія.** У роботі застосовується системний підхід до вивчення шкідливих програм, який включає статичний, динамічний та гібридний аналіз. Крім того, дослідження включає аналіз автоматизованих платформ і методів машинного навчання для класифікації та прогнозування поведінки шкідливих зразків. Практична частина базується на аналізі кейсів відомих загроз, таких як WannaCry, TrickBot та Emotet, що демонструє застосування комбінованих методів для отримання достовірних результатів.*

***Наукова новизна** роботи полягає у комплексному порівнянні існуючих методів аналізу шкідливого ПЗ, виділенні їх сильних та слабких сторін у контексті сучасних загроз, а також у визначенні перспектив інтеграції традиційних підходів з інтелектуальними системами аналізу на основі машинного навчання. Дослідження підкреслює значущість використання гібридного підходу та автоматизованих лабораторних середовищ для підвищення точності та безпеки аналізу.*

***Висновки.** Результати дослідження демонструють, що ефективний аналіз шкідливого ПЗ потребує поєднання статичних, динамічних та гібридних методів, застосування сучасних інструментів автоматизації та інтеграції технологій штучного інтелекту. Практичне застосування комбінованих методів дозволяє формувати цілісну картину кіберзагроз, ідентифікувати приховані механізми атак та прогнозувати потенційні ризики. Комплексний підхід до аналізу шкідливого ПЗ є ключовим елементом у системі забезпечення інформаційної безпеки, забезпечує підвищення надійності захисних механізмів та створює основу для формування стратегій протидії сучасним кіберзагрозам. Робота підкреслює необхідність постійного вдосконалення методів аналізу, розвитку міжнародного*

© Н. Кіцель, Є. Волканін, О. Борисенко, В. Матвєєв, В. Мальований, 2025

Стаття поширюється на умовах ліцензії CC BY 4.0

співробітництва та інтеграції новітніх технологій для своєчасного реагування на еволюціонуючі загрози в цифровому середовищі.

Ключові слова: *шкідливе програмне забезпечення, статичний аналіз, динамічний аналіз, гібридний аналіз, автоматизація, машинне навчання, кібербезпека.*

Nataliia KITSEL, Yevhen VOLKANIN, Oksana BORYSENKO, Valerii MATVIEIEV, Volodymyr MALOVANYI.
COMPREHENSIVE ANALYSIS OF MALWARE: APPROACHES, CHALLENGES AND PROSPECTS

Abstract. The purpose *of this study is to systematize and analyze modern methods for examining malicious software (malware) in the context of cybersecurity. The paper focuses on determining the effectiveness of different approaches to malware analysis, identifying their strengths and limitations, and assessing prospects for the development of tools and methodologies aimed at countering evolving cyber threats. Particular attention is paid to an integrated approach that combines traditional and modern technologies, including machine learning methods and automation of analysis processes.*

Methodology. *The study applies a systematic approach to malware examination, which includes static, dynamic, and hybrid analysis. In addition, the research involves the analysis of automated platforms and machine learning techniques used for classifying and predicting the behavior of malicious samples. The practical part is based on the examination of well-known threat cases such as WannaCry, TrickBot, and Emotet, which demonstrate the use of combined methods to obtain reliable and verifiable results.*

The scientific novelty *of this work lies in the comprehensive comparison of existing malware analysis methods, identification of their advantages and limitations in the context of modern cyber threats, and the determination of prospects for integrating traditional approaches with intelligent analysis systems based on machine learning. The study emphasizes the importance of employing a hybrid approach and automated laboratory environments to improve the accuracy and safety of malware analysis.*

Conclusions. *The results of the study demonstrate that effective malware analysis requires a combination of static, dynamic, and hybrid methods, the application of modern automation tools, and the integration of artificial intelligence technologies. The practical implementation of combined methods allows for forming a holistic understanding of cyber threats, identifying hidden attack mechanisms, and predicting potential risks. A comprehensive approach to malware analysis is a key element in the information security system, ensuring the reliability of protective mechanisms and forming a foundation for strategies to counter modern cyber threats. The paper underlines the necessity of continuously improving analytical methods, expanding international cooperation, and integrating advanced technologies to ensure timely responses to evolving threats in the digital environment.*

Key words: *malware, static analysis, dynamic analysis, hybrid analysis, automation, machine learning, cybersecurity.*

Вступ. Проблема протидії шкідливому програмному забезпеченню потребує застосування системного й комплексного підходу. Аналіз malware включає в себе як дослідження його внутрішньої будови та архітектури, так і вивчення поведінки в різних обчислювальних середовищах. Наразі, метою даного дослідження є опис ключових методологічних підходів, які застосовуються в сучасній практиці аналізу шкідливих програм, а також розглянути інструмент та умови проведення дослідження [8].

Статичний аналіз являє собою вивчення структури шкідливого файлу без його виконання. Основна перевага даного підходу полягає у безпеці: дослідник отримує можливість проаналізувати об'єкт без ризику зараження робочого середовища. До базових задач статичного аналізу відносяться:

– вивчення формату використовуваного файлу (PE, ELF і др.);
– виявлення імпортованих бібліотек і функцій;
– виявлення підозрілих рядків (наприклад, адрес командних серверів або зашифрованих ключів);
– вилучення вбудованих ресурсів, скриптів або прихованих даних.

Для вирішення цих задач застосовуються такі інструменти, як дизасемблери (IDA Pro, Ghidra, Radare2), утиліти аналізу бінарних файлів (PEiD, Detect It Easy), а також засоби пошуку сигнатур. Однак, статичний аналіз має свої обмеження: сучасні шкідливі програми часто використовують поліморфізм, пакувальники, шифрування коду та складні методи маскування програмного коду, що значно ускладнює їх декомпеляцію та інтерпретацію [13].

Приклади застосування статичного аналізу. При дослідженні програм-вимагачів сімейства *Ryuk* спеціалісти застосовували дизасемблер IDA Pro для вилучення фрагментів коду, відповідальних за генерацію криптографічних ключів. Аналіз імпортуємих бібліотек дозволив виявити використання криптографічного алгоритму AES в поєднанні з RSA, що вказувало на гібридну модель шифрування. Подібні знахідки дозволяють оцінити складність процедури дешифровки даних і вірогідність успішного відновлення файлів без виплати викупу.

Динамічний аналіз передбачає виконання шкідливого коду в контролюючому середовищі («пісочниці») з наступним наглядом за його поведінкою. Основні параметри, які досліджуються включають:

– взаємодію з файловою системою (створення, видалення, модифікація файлів);
– зміни системного реєстру;
– мережеву активність (звернення до IP-адрес, доменів, командним серверам);
– намагання ескалації привілеїв;
– використання міжпроцесної взаємодії.

ISSN 2786-5460 (Print), ISSN 2786-5479 (Online)

Для динамічного аналізу застосовуються спеціалізовані програмні комплекси, такі як Cuckoo Sandbox, Any.Run, Joe Sandbox. Додатково використовуються монітори системних викликів (Sysinternals Suite, Process Monitor), аналізатори мережевого трафіку (Wireshark, Fiddler) та віртуальні машини (VirtualBox, VMware, QEMU). Переваги даного методу полягають у можливості виявляти фактичні дії шкідливої програми й оцінити її дію на систему. Однак, динамічний аналіз потребує значних обчислювальних ресурсів та пов'язаний з ризиками виходу шкідливого коду за межі тестового середовища при недостатній ізоляції [5, 15].

Приклади застосування динамічного аналізу. В ході вивчення зразків шкідливої програми *Emotet* дослідники використовували пісочницю Cuckoo Sandbox для відстеження мережевої активності. Було зафіксовано, що програма ініціювала з'єднання з командними серверами, розташованими в декількох країнах, й загружала додаткові модулі. Аналіз поведінки дозволив підтвердити функціонал «дропера» – попереднього завантаження, що відкриває шлях для інших шкідливих компонентів. Це демонструє, що динамічний аналіз особливо ефективний при виявленні багатоступеневих атак.

Гібридний підхід поєднує у собі елементи статичного та динамічного аналізу, дозволяє отримати найбільш повне уявлення про об'єкт дослідження. На першому етапі зазвичай застосовується статичний аналіз для виявлення загальних характеристик шкідливого файлу та побудова гіпотез про його функціонал. На другому етапі ці гіпотези перевіряються за допомогою динамічного аналізу, що дозволяє підтверджувати або спростовувати припущення про поведінку програми. Такий метод дає можливість мінімізувати обмеження кожного із підходів окремо та підвищує ефективність дослідження.

Гібридний аналіз довів свою ефективність при дослідженні банківських троянів, таких как *Zeus* або *TrickBot*. Попередній статичний аналіз дозволяє виділяти зашифровані рядки і функції роботи з мережевими протоколами, тоді як динамічний етап уточнював механізми перехвату даних користувачів. Таким чином, комбінація методів забезпечує комплексне розуміння архітектури та поведінкою шкідливого ПЗ [12].

Сучасні тенденції демонструють активне впровадження методів штучного інтелекту в аналіз шкідливого ПЗ. Машинне навчання дозволяє автоматизувати процес класифікації зразків на основі набору ознак (наприклад, послідовностей системних викликів, мережевої активності, структури бінарного коду). Дослідження нейронних мереж сприяє прогнозуванню поведінки шкідливого ПЗ, виявленню раніше невідомих загроз та скороченню часу аналізу. Однак такі методи потребують значних масивів навчальних даних і створюють ризик хибнопозитивних результатів [1, 6, 10].

Для проведення аналізу необхідно створення спеціалізованої лабораторної інфраструктури, яка забезпечить повну ізоляцію досліджуваних зразків. В її склад входять:

– сегментована мережа з можливістю моніторингу трафіка;
– віртуалізована середа для безпечного запуску підозрілих файлів;
– набір інструментів для збирання та систематизації логів;
– бази даних для зберігання інформації про проаналізовані зразки.

Застосування такої середи дозволяє мінімізувати ризики ураження робочих систем, а також забезпечує відтворюваність і надійність отриманих результатів.

Особливе значення при аналізі шкідливих програм має грамотний вибір інструментів, оскільки від цього напряму залежить глибина дослідження і точності висновків.

Останніми роками отримували розповсюдження платформи для автоматизованого аналізу, що інтегрують різні інструменти в єдину екосистему. Наприклад, система *Malware Information Sharing Platform (MISP)* забезпечує сумісне використання індикаторів компрометації між дослідниками, а *YARA* дозволяє формувати набори правил для пошуку схожих зразків шкідливого коду. Застосування таких рішень значно пришвидшує процес ідентифікації загроз та забезпечує співробітництво між різними організаціями.

Проблеми та обмеження. Не дивлячись на прогрес, дослідники стикаються з рядом викликів. По-перше, багато сучасних шкідливих програм здатні визначати факт роботи у віртуальному середовищі та змінювати свою поведінку, що знижує ефективність динамічного аналізу. По-друге, широке використання пакувальників та багаторівневого приховування коду ускладнює процес статичного аналізування. По-третє, автоматизовані системи, засновані на алгоритмах машинного навчання, схильні до загроз «отруєння даних», коли зловмисники навмисно вбудовують помилкові ознаки у навчальні вибірки.

Таким чином, ефективне дослідження шкідливих програм потребує поєднання різних методів аналізу, гнучкого вибору інструментів та постійного удосконалення лабораторних середовищ. Тільки комплексний підхід дозволить отримати достовірні результати й забезпечити надійну основу для розробки засобів протидії сучасним кіберзагрозам [14].

Результати та обговорення. В ході проведеного дослідження вдалося систематизувати основні методи аналізу шкідливого програмного забезпечення та виділити їх ключові характеристики, переваги та обмеження. Порівняльна оцінка підходів показала, що ні один із методів окремо не забезпечує повного розуміння природи загроз, а максимальна ефективність досягається при їх комбінованому використанню.

Порівняльний аналіз методів. Статичний аналіз демонструє високу швидкість отриманої первинної інформації про шкідливий об'єкт. Він дозволяє виявити підозрілі елементи коду, які імпортують бібліотеки, вбудовані рядки і структури даних. Перевагою є можливість дослідження без фактичного запуску програми, що мінімізує ризик зараження середи. Проте метод виявляється малоефективним проти сучасного шкідливого ПЗ, яке застосовує пакування, шифрування та інші механізми варіативності коду [2, 7].

Динамічний аналіз забезпечує отримання достовірних даних про поведінку шкідливої програми в реальному часі. Він дозволяє спостерігати мережеву активність, взаємодію з системою та характерні зміни в оточенні. Такий підхід незамінний для вивчення багатоступеневих атак, завантажувачів та ботнетів. Основними обмеженнями є висока ресурємність і можливість ухилення шкідливого ПЗ від виявлення у віртуалізованому середовищі [5, 7, 11].

Гібридний аналіз підтвердив свою найбільшу результативність. Використання статичного етапу дозволить виділити ключові гіпотези про функціонал шкідливого об'єкта, а динамічна перевірка забезпечує їх верифікацію. Таким чином, вдається мінімізувати недоліки окремих методів та підвищити достовірність результатів [3, 4, 7].

В рамках аналізу кейсів, описаних у відкритих джерелах, можна виділити ряд прикладів. Так, дослідження програми-вимагача *WannaCry* показало, що статичний аналіз дозволив виявити вбудовані механізми розповсюдження через вразливість SMB-протоколу, а динамічний аналіз підтвердив агресивне саморозповсюдження в локальних мережах.

Інший приклад з вивченням банківського трояну *TrickBot*. Первинний статичний аналіз виявив використання зашифрованих рядків і мережевих бібліотек, що вказало на наявність комунікації з віддаленим сервером. Динамічна перевірка показала, що програма активно збирає облікові дані користувачів, інтегруються в процеси браузерів і пересилають викрадені дані в розподільчу інфраструктуру командних серверів.

Подібні випадки підтверджують, що застосування одного методу дає лише фрагментарне уявлення, як їх комбінація формує цілісну картину атаки.

Отримані результати також дозволяють виділити ряд актуальних викликів для спеціалістів з аналізу шкідливого ПЗ. По-перше, зростає кількість зразків, оснащених механізмами протидії відлагодженню, які змінюють свою поведінку під час спроби їхнього аналізу. По-друге, дедалі ширше застосовуються методи шифрування та маскування, що дає змогу ховати шкідливий код всередині звичайних файлів або мережевого трафіку. По-третє, сервісна модель розповсюдження шкідливого ПЗ (Malware-as-a-Service) значно спрощує доступ до складних інструментів атаки, що призводить до зростання кількості інцидентів.

Окремої уваги заслуговує роль штучного інтелекту. З одного боку, алгоритми машинного навчання активно використовують для автоматичної класифікації шкідливих зразків та виявлення аномалій поведінки. З іншого боку, кіберзлочинці також впроваджують технології ШІ для генерації поліморфного коду, обходу сігнатурних систем і створення більш переконливих сценаріїв соціальної інженерії [5, 9].

Порівняльний аналіз методів (Таблиця 1) показує, що подальший розвиток доречний у напрямку інтеграції традиційних підходів з інтелектуальними системами аналізу. Застосування гібридних

Таблиця 1

Порівняльний аналіз методів

Метод аналізу	Переваги	Обмеження	Приклади застосування
Статичний	Швидкий, безпечний, не потребує запуску ПЗ	Малоефективний до обфусцированого та зашифрованого коду	Ryuk, первинний аналіз файлів
Динамічний	Відслідковування реальної поведінки, вияв мережевої активності та змін у системі	Ресурсоємний, можливий обман захисними механізмами від відладки	Emotet, WannaCry
Гібридний	Комбінує переваги статичного та динамічного аналізу, мінімізує обмеження	Потребує інтеграції інструментів та кваліфікованого персоналу	TrickBot, банківські трояни
Машинне навчання	Автоматизація, класифікація, вияв аномалій	Необхідність у великих навчальних вибірках, ризик хибнопозитивних результатів	Автоматизована класифікація зразків

ISSN 2786-5460 (Print), ISSN 2786-5479 (Online)

методик в поєднанні з машинним навчанням відкриває можливість автоматизованого виявлення раніше невідомих загроз, а також скорочує час реагування на інциденти. Важливим направленням також є розвиток міжнародного співробітництва і обміну даними між дослідниками, що дозволяє оперативно реагувати на нові хвилі атак.

Таким чином, результати досліджень підтверджують, що ефективний аналіз шкідливого ПЗ повинен спиратися на комбінацію методів, використовувати сучасні інструменти автоматизації та враховувати еволюцію загроз в кіберпросторі.

Висновки. Дослідження підтверджує, що ефективний аналіз шкідливого програмного забезпечення потребує інтеграції статичних, динамічних і гібридних методів із використанням засобів автоматизації та технологій штучного інтелекту. Поєднання цих підходів забезпечує комплексне розуміння кіберзагроз, підвищує точність виявлення та зміцнює захисні механізми в системі інформаційної безпеки. Комплексний підхід до аналізу залишається ключовим чинником у формуванні адаптивних і надійних стратегій кіберзахисту.

Перспективним напрямом подальших досліджень є вдосконалення методів гібридного аналізу шкідливого програмного забезпечення, розроблення інтелектуальних самонавчальних моделей для класифікації та прогнозування поведінки шкідливих зразків, а також оптимізація автоматизованих середовищ аналізу з метою підвищення точності, швидкості та безпеки дослідницьких процесів.

Список використаних джерел:

1. Belea A.-R. Methods for Detecting Malware Using Static, Dynamic and Hybrid Analysis. *International Conference on Cybersecurity and Cybercrime*. 2023. Vol. 10(2023). https://doi.org/10.19107/CYBERCON.2023.34
2. Jusoh R., Firdaus A., Anwar S., Osman M.-Z., Darmawan M.-F., Ab Razak M.-F. Malware detection using static analysis in Android: a review of FeCO (features, classification, and obfuscation). *PeerJ Comput*. 2021. Sci. 7:e522 http://doi.org/10.7717/peerjcs.522
3. Lee, Deepak Tomar A., Verma K., Chhillar A. Hybrid Static-Dynamic Malware Analysis Framework Using Interpretable Neural Network. *International Journal of Scientific Research in Engineering and Management*. 2025. Vol. 09, Issue 09. https://doi.org/10.55041/IJSREM52505
4. Leon R. S., Kiperberg M., Zabag A. L., Zaidenberg N. Hypervisor-assisted dynamic malware analysis. *Cybersecurity*, 2021. Vol. 4, Article 19(2021). https://doi.org/10.1186/s42400-021-00083-9
5. Nafiev A. E., Rodionov A. M. Malware dynamic analyses system based on virtual machine introspection and machine learning methods. *Problems in Programming*. 2023. № 2. P. 84–90. https://doi.org/10.15407/pp2023.02.084
6. Shevchenko A., Zastelo H., Shpachinskiy Y. Analysis of application a methods of machine learning based on artificial neural networks in the tasks of detecting cybersecurity threats. *Information Technology and Security*. 2019. Vol. 7. № 1 (12). Pp. 79–90. https://doi.org/10.20535/2411-1031.2019.7.1.184327
7. Sihwail R., Omar K., Zainol Ariffin K. A. A Survey on Malware Analysis Techniques: Static, Dynamic, Hybrid and Memory Analysis. *International Journal on Advanced Science, Engineering and Information Technology*. Vol. 8, No. 4-2, Pp. 1662–1671. http://doi.org/10.18517/ijaseit.8.4-2.6827
8. Vladov S., Jotsov V., Sachenko A., Prokudin O., Ostapiuk A., Vysotska V. Neural Network Method of Analysing Sensor Data to Prevent Illegal Cyberattacks. *Sensors*. 2025, 25(17), 5235; https://doi.org/10.3390/s25175235
9. Vladov S., Vysotska V., Lytvyn V., Komziuk A., Prokudin O., Ostapiuk A. Adaptive Neural Network System for Detecting Unauthorised Intrusions Based on Real-Time Traffic Analysis. *Computation Open source preview*, 2025, 13(9), 221. https://doi.org/10.3390/computation13090221
10. Vladov S., Vysotska V., Varlakhov V., Nazarkevych M., Bolvinov S., Piadyshev,V. Innovative Method for Detecting Malware by Analysing API Request Sequences Based on a Hybrid Recurrent Neural Network for Applied Forensic Auditing. *Applied System Innovation* (ASI). 2025, 8(5), 185. DOI: 10.3390/asi8050156
11. Voskoboinyk V., Savchenko Iu., Karpukov L., Parshyna O., Prokopovych-Tkachenko, D. Assessment of the state of information security using expert systems. *Systems and Technologies*, 2024, 67(1), 72–79. https://doi.org/10.32782/2521
12. Гапон А. О. Експериментальне дослідження, програмна реалізація та оцінка ефективності застосування методу захисту програмного забезпечення на основі гібридного аналізу. *Сучасний захист інформації*. № 3(63). С. 27–36. https://doi.org/10.31673/2409-7292.2025.030422
13. Єгоров С. В., Шкварницька Т. Ю. Розширений метод аналізу шкідливого програмного забезпечення з метою створення сигнатур. *Вісник Університету «Україна»*, № 1 (24), 2020. С. 161–170. https://doi.org/10.36994/2707-4110-2020-1-28-14
14. Жульковська І., Плужник А., Жульковський О. Сучасні методи виявлення шкідливих програм. *Математичне моделювання*. 2021. №1(44). С. 46–54. https://doi.org/10.31319/2519-8106.1(44)2021.235922
15. Сініцин І., Рогушина Ю., Бова Ю. Розробка семантичних засобів підтримки процесу авторизації безпеки інформаційних систем. *Вісник Кременчуцького національного університету імені Михайла Остроградського*. Випуск 4/2025(153). С. 249–264. https://doi.org/10.32782/1995-0519.2025.4.28

Дата надходження статті: 24.11.2025
Дата прийняття статті: 10.12.2025
Опубліковано: 30.12.2025

УДК 004.9:004.421:004.62
DOI https://doi.org/10.32689/maup.it.2025.4.15

Олександр КОРНІЙЧУК
аспірант, Державний університет «Житомирська політехніка»
***ORCID:** 0000-0001-8075-2146*

Марина ГРАФ
PhD, доцент, завідувач кафедри комп'ютерних наук,
Державний університет «Житомирська політехніка»
***ORCID:** 0000-0003-4873-548X*

МЕТОД ОПТИМІЗАЦІЇ ПРОЦЕДУРИ ВИБОРУ ПЕРЕМОЖЦЯ В СИСТЕМАХ ПУБЛІЧНИХ ЗАКУПІВЕЛЬ ШЛЯХОМ ІНТЕГРАЦІЇ ПАРАМЕТРІВ РИЗИКУ

Анотація. Метою дослідження *є розробка та алгоритмічне обґрунтування ризик-орієнтованого методу оптимізації процедури вибору переможця торгів у програмних системах публічних закупівель шляхом удосконалення математичної моделі розрахунку приведеної ціни, формалізації параметрів ризику та інтеграції репутаційних характеристик учасників безпосередньо в алгоритмічне ядро аукціону з метою підвищення стійкості системи до маніпулятивної поведінки.*

Методологія дослідження *ґрунтується на застосуванні методів математичного моделювання, алгоритмічного аналізу, теорії прийняття рішень та інженерії програмного забезпечення, а також експериментального моделювання роботи алгоритмів ранжування в умовах інформаційної асиметрії та стратегічної взаємодії учасників електронних торгів.*

Наукова новизна *полягає у формалізації стратегії декларативного арбітражу як алгоритмічної вразливості статичних моделей ранжування та в удосконаленні моделі приведеної ціни шляхом інтеграції ризик-орієнтованого мультиплікатора довіри, що розраховується на основі верифікованої історії виконання контрактів і динамічно впливає на процес прийняття рішень.*

Висновки. *Результати експериментального моделювання підтвердили, що запропонований метод нівелює економічну вигоду від маніпулятивних стратегій та робить доброчесну поведінку учасників математично вигіднішою за демпінг. Практичне значення роботи полягає у можливості реалізації методу як програмного модуля в сервіс-орієнтованій архітектурі систем e-procurement з підвищеними вимогами до надійності та масштабованості.*

Ключові слова: *алгоритми прийняття рішень, ризик-орієнтоване ранжування, програмні системи електронних закупівель, репутаційні метрики, декларативний арбітраж, адаптивні алгоритми, архітектура програмного забезпечення.*

Oleksandr KORNIICHUK, Maryna GRAF. ANALYSIS OF ALGORITHMIC VULNERABILITIES AND ARCHITECTURAL LIMITATIONS OF STATIC BID EVALUATION MODELS IN PUBLIC PROCUREMENT SYSTEMS

Abstract. The research objective *is the development and algorithmic substantiation of a risk-oriented method for optimizing the winner selection procedure in public procurement software systems. This is achieved by enhancing the mathematical model for adjusted price calculation, formalizing risk parameters, and integrating participants' reputation characteristics directly into the auction's algorithmic core to increase the system's resilience to manipulative behavior.*

Methodology. *The research methodology is based on mathematical modeling, algorithmic analysis, decision theory, and software engineering. It also includes experimental simulation of ranking algorithm performance under conditions of information asymmetry and strategic interaction between electronic auction participants.*

Scientific Novelty. *The scientific novelty lies in the formalization of the "declarative arbitrage" strategy as an algorithmic vulnerability of static ranking models. Furthermore, the adjusted price model is improved by integrating a risk-oriented trust multiplier, calculated based on verified contract fulfillment history, which dynamically influences the decision-making process.*

Conclusions. *Experimental simulation results confirmed that the proposed method negates the economic benefits of manipulative strategies and makes virtuous behavior mathematically more advantageous than dumping. The practical significance of the work lies in the potential implementation of the method as a software module within the service-oriented architecture (SOA) of e-procurement systems with high reliability and scalability requirements.*

Key words: *decision-making algorithms, risk-oriented ranking, public procurement software systems, reputation metrics, declarative arbitrage, adaptive algorithms, software architecture.*

Вступ. Глобальна цифрова трансформація сфери публічних фінансів та закупівель, яка була реалізована протягом останнього десятиліття через впровадження концепції "відкритого контрактування" (Open Contracting) та розгортання систем електронних публічних закупівель (e-procurement),

© О. Корнійчук, М. Граф, 2025

Стаття поширюється на умовах ліцензії CC BY 4.0

забезпечила вищий рівень доступності даних. Доступність інформації про тендерну документацію, кваліфікаційні критерії, профілі учасників та результати аукціонів стала стандартом для сучасних систем публічних закупівель. Це дозволило громадськості, журналістам-розслідувачам та контролюючим органам здійснювати ефективний аналіз пропозицій та моніторинг використання бюджетних коштів [4].

Проте, як переконливо свідчить емпіричний досвід функціонування системи Prozorro та її аналогів, наявність технічного доступу до даних не забезпечує належний рівень довіри до учасників процесу. Експоненційне зростання обсягів торгів та кількості транзакцій виявило критичні архітектурні вразливості централізованих систем, які базуються на статичних детермінованих алгоритмах прийняття рішень [14]. Традиційні механізми верифікації, що спираються на прості бінарні фільтри допуску, виявилися неспроможними ефективно фільтрувати недобросовісних агентів у середовищі з високою конкуренцією та низькою соціальною відповідальністю бізнесу, що в свою чергу лише збільшило кількість ресурсів, необхідних для відстежування корупційних зловживань [9]. Відсутність ефективних механізмів автоматичної фільтрації ненадійних контрагентів змушує державних замовників вдаватися до ручного регулювання та створення штучних кваліфікаційних бар'єрів, що знижує конкуренцію, консервує ринок та створює корупційні ризики. Актуальність даного дослідження зумовлена нагальною необхідністю розробки нових математичних методів, здатних забезпечити стійкість системи закупівель до маніпуляцій в умовах середовища, де кожен агент діє виключно у власних економічних інтересах та неможливо належним чином оцінити рівень довіри до них [5, 16].

Метою дослідження є розробка математично обґрунтованого методу ранжування тендерних пропозицій, стійкого до стратегічних маніпуляцій учасників в умовах асиметрії інформації.

Аналіз останніх досліджень та публікацій, на які спираються автори. Проблематика підвищення ефективності державних закупівель є предметом активних наукових дискусій як в Україні, так і за кордоном. Значна частина академічних робіт присвячена економіко-правовим аспектам: детальному аналізу корупційних ризиків [6], удосконаленню нормативно-правової бази [10], методам державного аудиту та моніторингу [8]. Вчені-економісти розглядають закупівлі як потужний інструмент макроекономічного регулювання та підтримки національного виробника.

Водночас, алгоритмічна складова – математичні моделі багатокритеріального прийняття рішень (MCDM – Multiple-Criteria Decision Analysis), за якими програмне забезпечення автоматично ранжує пропозиції та визначає переможця торгів, – залишається недостатньо дослідженою саме в контексті інформаційної безпеки та протидії шахрайству. Як зазначається у дослідженні авторів [1], існуючі підходи до оптимізації закупівельних процедур часто ігнорують динамічні параметри поведінки учасників. Існуючі дослідження методів AHP (Analytic Hierarchy Process), TOPSIS (Technique for Order of Preference by Similarity to Ideal Solution) або PROMETHEE (Preference Ranking Organization Method for Enrichment of Evaluations) здебільшого пропонують підходи, що вимагають значного експертного втручання для визначення ваг та оцінок [2, 11]. Як показано у роботах [7, 12], застосування класичних методів MCDM без адаптації до специфіки високоризикового середовища публічних закупівель не дозволяє повною мірою реалізувати принципи автоматизації та об'єктивності.

Проблема вразливості лінійних моделей оцінювання до стратегічних маніпуляцій учасників у системах державних закупівель потребує глибокого формального аналізу. Спираючись на дослідження вразливостей децентралізованих систем, проведене авторами у роботі [15], можна стверджувати, що математична модель є основою стійкості будь-якої електронної системи. Відсутність у моделі параметрів, що враховують репутаційну складову, створює вектори атак на економічну безпеку системи.

Метою дослідження є розробка математичного методу підвищення обґрунтованості вибору переможця торгів шляхом удосконалення математичної моделі розрахунку приведеної ціни на основі інтеграції ризик-орієнтованих параметрів. Завдання дослідження полягає у формалізації коефіцієнта ризику, його включенні до алгоритму ранжування тендерних пропозицій, а також експериментальній верифікації запропонованої моделі на прикладі протидії стратегії так званого «декларативного арбітражу».

Викладення основного матеріалу

1. Архітектурні обмеження детермінованих моделей доступу

Сучасні системи закупівель, такі як Prozorro, на архітектурному рівні функціонують за принципом статичної моделі контролю доступу (Static Access Control). У таких системах функція кваліфікації учасника є бінарною: $Access(Agent) \in \{0,1\}$. Тобто, з точки зору системи, агент або є повністю довіреним (стан 1), або заблокованим (стан 0). Цей підхід, характерний для систем попередніх поколінь, не враховує динаміку поведінки учасника та контекстуальні ризики, що є критичним недоліком для сучасних розподілених середовищ [13]. Процедура переходу в стан "довірений" зазвичай базується на

перевірці формальних юридичних ознак (реєстрація, відсутність боргів), що не корелює з реальною надійністю виконання зобов'язань.

Така архітектура створює вразливість до атак з метою відбілювання репутації, які широко відомі в теорії мультиагентних систем. Суть атаки полягає в тому, що недобросовісний агент, накопичивши негативну історію, може скинути її, зареєструвавши нову цифрову ідентичність (юридичну особу). Оскільки система не зберігає зв'язків між історичними даними та новою сутністю, для алгоритму новий учасник (час життя t→0) є абсолютно ідентичним досвідченому гравцю з бездоганною репутацією. Це створює асиметрію, де чесна поведінка не винагороджується алгоритмічно, а недобросовісна – не карається ефективно.

З точки зору теорії інформації, проекція складного багатовимірного вектора атрибутів постачальника $A_i = \{a_1,...,a_n\}$ (якість, терміни, історія судів) на одновимірний бінарний простір призводить до значної втрати інформаційної ентропії. Ця алгоритмічна редукція створює "сліпу зону" для системи прийняття рішень. В економічному контексті ця втрата інформації при дискретизації даних трансформується у проблему несприятливого відбору (Adverse Selection), коли через неможливість алгоритмічно розрізнити типи агентів, система схильна обирати гірші пропозиції [5]. У контексті ранжування тендерів це проявляється як відсутність кореляції між значенням цільової функції (найнижча ціна) та латентною змінною надійності агента.

2. Критичний аналіз моделі "Приведена ціна"

Ключовим алгоритмом вибору переможця в системі Prozorro та багатьох європейських системах є розрахунок приведеної ціни P_{eval}, яка визначається формулою дробово-лінійної згортки цінових та нецінових показників [3]. Ця модель покликана реалізувати принцип MEAT (Most Economically Advantageous Tender):

$$P_{eval} = \frac{P_{bid}}{1+\sum_{i=1}^{N}(W_i \cdot V_i)} \quad (1)$$

де: P_{bid} — номінальна ціна пропозиції (бюджет контракту, що підлягає сплаті); W_i — нормативна вага і-го нецінового критерію (наприклад, термін гарантії, умови оплати, термін виконання), сума яких зазвичай законодавчо обмежена ≤ 0.3; $V_i \in [0, V_{max}]$ — нормоване значення критерію, яке обирає учасник зі списку дозволених опцій.

Головним та критичним алгоритмічним недоліком даної моделі є її статичність. Функція P_{eval} оперує виключно декларативними змінними V_i, які учасник фіксує в момент подання заявки. Алгоритм апріорі припускає, що ймовірність виконання задекларованої умови дорівнює 100% $100\% \times (P(Eval \mid Declaration) = 1)$, повністю ігноруючи історичні дані про попередню поведінку учасника.

Це створює математичне підґрунтя для стратегії, яку ми пропонуємо визначити терміном «Декларативний арбітраж». Декларативний арбітраж – це ситуація, коли учасник отримує конкурентну перевагу не за рахунок підвищення ефективності, а за рахунок прийняття на себе зобов'язань, які він не планує виконувати. Розглянемо детальний сценарій, де сумлінний Учасник А пропонує реалістичні ринкові умови, а недобросовісний Учасник Б свідомо маніпулює критеріями. Нехай вага критерію «Гарантійний термін» встановлена замовником на рівні $W_i = 0.1$ (10%).

– **Учасник А:** Пропонує ціну 1.0 млн грн та стандартну гарантію 2 роки ($V = 0.02$). Його приведена ціна: $P_{eval}^{A} = \frac{1.0}{1+0.02} \approx 0.980$ млн грн.

– **Учасник Б:** Пропонує вищу ціну 1.05 млн грн (+ 50 тис. грн до бюджету), але стратегічно декларує максимальну гарантію 10 років ($V = 0.1$). Його приведена ціна: $P_{eval}^{b} = \frac{1.05}{1+0.10} \approx 0.954$ млн грн.

Алгоритм автоматично та безальтернативно визначає переможцем Учасника Б (оскільки \$0.954 < 0.980\$), незважаючи на те, що номінальна ціна для державного бюджету є вищою на 50 тис. грн. Система фактично обирає зобов'язання розширеної гарантії за реальні гроші. Якщо Учасник Б не планує виконувати цю гарантію (наприклад, планує ліквідувати юридичну особу через 3 роки або розраховує на неможливість судового переслідування), він отримує пряму економічну вигоду за рахунок недосконалості алгоритму. Оскільки штрафні санкції за невиконання нецінових критеріїв є відкладеними у часі та є юридично складними для стягнення, математичне сподівання виграшу від такої маніпулятивної стратегії є позитивним. Це класичний приклад проблеми "морального ризику".

3. Розрив між даними та рішеннями та розробка адаптивної моделі

Недолік архітектури сучасних систем E-procurement полягає у наявності глибокого, структурного розриву між аналітичними підсистемами моніторингу та операційним ядром прийняття рішень. У модулях бізнес-аналітики (BI Prozorro, Dozorro, YouControl) накопичується детальний, багатовимірний вектор історії учасника $H_i = \{h_1,...,h_k\}$, що містить верифіковані факти про розірвані договори, прострочення термінів, судові позови та штрафи. Проте, цей вектор H_i не використовується під час

ISSN 2786-5460 (Print), ISSN 2786-5479 (Online)

виконання цільової функції аукціону. Система надає інформацію про ненадійність учасника на рівні бази даних, але продовжує допускати його до торгів та оцінювати на загальних підставах, доки він не потрапить до офіційного санкційного переліку АМКУ, внесення до якого є складною, тривалою та бюрократичною процедурою.

Така stateless-архітектура стимулює та заохочує недобросовісних контрагентів, накопичивши критичну масу негативної історії, невиконаних зобов'язань та штрафів на одній юридичній особі, просто припинити її діяльність та зареєструвати нову компанію. Для алгоритму аукціону, який не має доступу до графу зв'язків контрагентів, нова компанія є новим контрагентом з ідеальною репутацією, що дає їй повний доступ до торгів без жодних обмежень. Це робить інститут репутаційної відповідальності в поточній системі економічно беззмістовним, перетворюючи ринок на змагання одноразових компаній.

З точки зору інженерії програмного забезпечення, запропонований метод реалізується як окремий сервіс алгоритмічного ядра системи e-procurement, що інтегрує модуль збору історичних даних та модуль аукціонного ранжування. Така архітектура забезпечує слабке зчеплення та можливість масштабування алгоритму без модифікації бізнес-логіки.

Для усунення цього розриву та нівелювання стратегій «декларативного арбітражу» пропонується перейти від статичної до динамічної моделі оцінювання з урахуванням ризику (Risk-Adjusted Evaluation). Наукова новизна підходу полягає у введенні до структури формули ранжування третьої змінної – мультиплікатора довіри, який базується на історичних даних. Модифікована функція цільового вибору $P_{risk-adj}$ набуває вигляду:

$$P_{risk-adj} = \frac{P_{bid}}{KK \cdot K_{trust}} = \frac{P_{bid}}{\left(1+\sum_{i=1}^{N}\left(W_i \cdot V_i\right)\right)\cdot\left(1+\alpha\cdot \underline{R_i}\right)} \quad (2)$$

де: KK — класичний коефіцієнт корекції за нецінovими показниками; $K_{trust}=1+\alpha\cdot\underline{R_i}$ — запропонований мультиплікатор довіри; $\underline{R_i}\in[0,1]$ — нормований показник історичної надійності учасника (розраховується на основі метрик Successful Delivery Rate); α — коефіцієнт чутливості до репутації. Це параметр політики регулятора, що визначає максимальну перевагу, яку система готова надати надійному постачальнику.

Приклад роботи методу: Розглянемо тендер з бюджетом 1 млн грн, де $W_{guarentee}=0.1$.

– **Учасник А:** Пропонує 1.05 млн грн (+5% до ціни), але декларує 10 років гарантії $V=0.1$. Історія відсутня $\underline{R_i}$ =0.

– *Стара модель:* $1.05/1.1=0.954$.

– *Нова модель:* $1.05/(1.1\cdot1.0)=0.954$.

– **Учасник Б:** Пропонує 1.0 млн грн, гарантія 2 роки $V=0.02$. Історія бездоганна $\underline{R_i}$ =1, при $\alpha=0.1$).

– *Стара модель:* $1.0/1.02=0.980$ (Програє учаснику А).

– *Нова модель:* $1.0/(1.02\cdot1.1)=1.0/1.122=0.891$ (Перемагає).

Програмний код запропонованої функції на Python:

```
import math
from typing import List, Dict
def calculate_risk_adjusted_price(p_bid: float, non_price_criteria: List[Dict[str, float]], risk_index: float) ->
float:
    sum_non_price = sum(item['weight'] * item['value'] for item in non_price_criteria)
    p_adj_base = p_bid / (1 + sum_non_price)
    p_risk_adj = p_adj_base * (1 + risk_index)
    return round(p_risk_adj, 2)
```

Джерело: власна розробка

Таким чином, інтеграція K_{trust} вирішує проблему поточної моделі. Система автоматично використовує показник репутації сумлінного учасника, надаючи йому математичну перевагу, яка компенсує маніпулятивні декларації конкурента.

Для аналізу впливу ризик-орієнтованого коефіцієнта на результати алгоритмічного ранжування було проведено експериментальне моделювання залежності приведеної ціни від репутаційного показника учасника торгів.

Аналіз отриманих результатів показує, що у класичній моделі приведеної ціни зміна репутаційного показника не впливає на результат ранжування, що створює передумови для використання стратегій декларативного арбітражу. Натомість у запропонований ризик-орієнтованій моделі спостерігається монотонне зменшення приведеної ціни зі зростанням репутаційного коефіцієнта, що забезпечує

додаткову дискримінацію учасників за рівнем надійності та підвищує стійкість алгоритму до маніпулятивних стратегій.

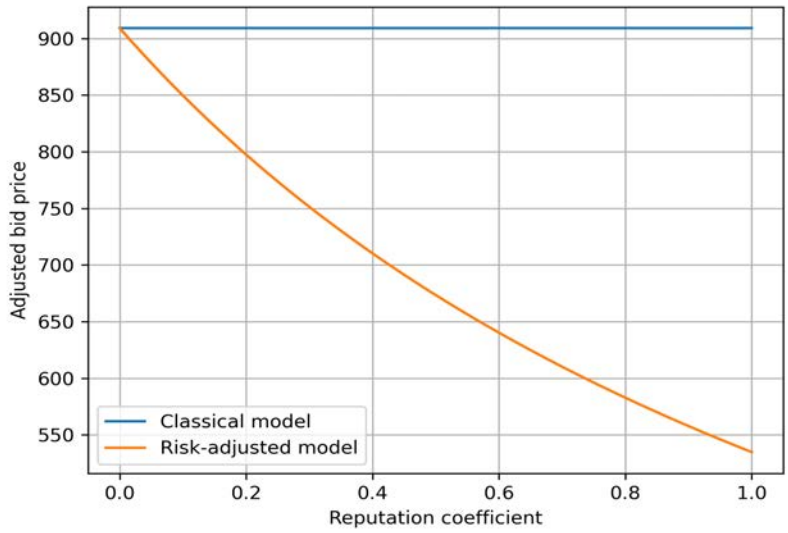

Рис. 1. Залежність приведеної ціни від репутаційного коефіцієнта для класичної та ризик орієнтованої моделей

Запропонований алгоритм має лінійну часову складність *O(N)* відносно кількості нецінових критеріїв, що дозволяє використовувати його в системах з високою пропускною здатністю без деградації продуктивності.

Наукова новизна даного дослідження полягає в:

– Формалізації стратегії декларативного арбітражу як алгоритмічної вразливості лінійних моделей ранжувнаня;

– Удосконаленні математичної моделі приведеної ціни шляхом інтеграції динамічного ризик-орієнтованого мультиплікатора;

– Розробці адаптивного алгоритму прийняття рішень, що враховує історичну поведінку агентів у розподілених програмних системах.

Висновки. У роботі розв'язано актуальну наукову задачу: проведення удосконалення алгоритмів прийняття рішень у програмних системах публічних закупівель в умовах асиметрії інформації та стратегічної поведінки учасників.

Запропоновано ризик-орієнтований метод оптимізації процедури вибору переможця торгів, що грунтується на модифікації математичної моделі розрахунку приведеної ціни шляхом інтеграції коефіцієнта ризику, сформованого на основі репутаційних характеристик контрагентів. На відміну від класичних лінійних моделей ранжування, запропонований авторами підхід дозволяє враховувати латентні параметри надійності учасників та зменшує вразливість алгоритмічного ядра системи до стратегій маніпулятивного декларування.

Вперше формалізовано стратегію декларативного арбітражу як алгоритмічну вразливість програмних систем електронних закупівель та показано, що її використання призводить до порушення співвідношення між цільовою функцією ранжування та фактичною якістю виконання зобов'язань. Запропонований ризик-орієнтований алгоритм демонструє підвищену стійкість до зазначеної стратегії за рахунок динамічного коригування приведеної ціни.

З точки зору інженерії програмного забезпечення, розроблений метод може бути реалізований як окремий модуль алгоритмічного ядра системи та інтегрований у сервіс-орієнтовану архітектуру платформ електронних закупівель без модифікації основної бізнес-логіки. Лінійна обчислювальна складність алгоритму забезпечує його масштабованість та здатність для використання у високонавантажених програмних системах.

Перспективи подальших досліджень полягають у розширенні моделі шляхом впровадження машинного навчання для адаптивного налаштування коефіцієнтів ризику, а також у дослідженні поведінки алгоритму в умовах розподілених ті децентралізованих прогрмних середовищ.

ISSN 2786-5460 (Print), ISSN 2786-5479 (Online)

Отримані результати можуть бути безпосередньо використані при проєктуванні алгоритмічних ядер інформаційних систем публічних закупівель, а також при розробці содулів ризик-менеджменту у розподілених програмних системах.

Список використаних джерел:

1. Корнійчук О. В., Граф М. С. Дослідження типів інформаційних атак пов'язаних з блокчейном. Сучасні тенденції розвитку системного програмування : матеріали конф., м. Київ : Нац. авіац. ун-т, 2022. С. 142–143.
2. Корнійчук О. В., Граф М. С. Порівняльний аналіз оптимізаційних моделей в системах державних закупівель. Інформаційні технології та програмування : матеріали конф., м. Черкаси, 2023. С. 142–143.
3. Про публічні закупівлі : Закон України від 25.12.2015 № 922-VIII : станом на 01.01.2024. Законодавство України. URL: https://zakon.rada.gov.ua/laws/show/922-19
4. Artificial Intelligence in Public Procurement : OECD Public Governance Reviews. Paris : OECD Publishing, 2024. 120 p.
5. Bakhshi R., Endriss U. Generative AI in Principal-Agent Models: Mitigating Adverse Selection and Moral Hazard. arXiv. 2025. URL: https://arxiv.org/abs/2502.12969
6. Bauhr M., Czarnitzki D. Need or greed? Conditions for corruption in public procurement. *Governance*. 2020. Vol. 33, no. 4. P. 1–19.
7. Behzadian M. et al. PROMETHEE Methods in Supply Chain Management: A Systematic Literature Review. *Expert Systems with Applications*. 2023. Vol. 215. Art. 119321.
8. Dmytryshyn B., Pikhotskyi V. Digital audit as a tool for combating corruption in public procurement. *Economics and Law.* 2023. No. 3. P. 45–52.
9. Fazekas M., Blum J. R. Improving Public Procurement Outcomes: Review of Tools and the State of the Evidence Base. World Bank Policy Research Working Paper. 2021. No. 9690. 58 p.
10. Gallego J. et al. Corruption in Public Procurement: A Cross-National Analysis of the Literature. *Journal of Public Procurement*. 2021. Vol. 21, no. 1. P. 1–25.
11. Opricovic S., Tzeng G. H. Fuzzy Multi-Criteria Decision Making for Sustainable Supplier Selection. Cham : Springer, 2024. 280 p.
12. Saaty T. L., Vargas L. G. Models, Methods, Concepts & Applications of the Analytic Hierarchy Process. Cham : Springer, 2022. 475 p.
13. Taherdoost H., Brard A. Analyzing the Process of Supplier Selection Criteria and Methods. *Procedia Manufacturing*. 2019. Vol. 32. P. 1024–1034.
14. The Impact of ProZorro Procurement System on the Ukrainian Economy. London : European Bank for Reconstruction and Development, 2023. 45 p.
15. Wang R., Li C., Zhang K., Tu B. Zero-trust based dynamic access control for cloud computing. *Cybersecurity*. 2025. Vol. 8. Art. 12. URL: https://cybersecurity.springeropen.com/articles/10.1186/s42400-024-00320-x
16. Zhang Y. et al. Robust Online Learning with Private Information: The Explore-Exploit-Punish Algorithm. arXiv. 2025. URL: https://arxiv.org/abs/2505.05341

Дата надходження статті: 19.11.2025
Дата прийняття статті: 10.12.2025
Опубліковано: 30.12.2025

УДК 004.75
DOI https://doi.org/10.32689/maup.it.2025.4.16

Олександр ЛАСТІВКА
аспірант 2-го року навчання спеціальності 126 Інформаційні системи та технології,
Державне некомерційне підприємство «Державний університет «Київський авіаційний інститут»,
2450626@stud.kai.edu.ua
***ORCID:** 0009-0005-4754-259X*

МЕТОД ОБРОБКИ РІЗНОТИПНИХ ДАНИХ В КАНАЛІ ІНФОРМАЦІЙНОЇ СИСТЕМИ БПЛА

Анотація. *У статті запропоновано метод обробки різнотипних даних у каналі інформаційної системи безпілотних літальних апаратів заснований на уніфікованому представленні дискретних команд та сенсорних числових рядів. Наведено математичну модель каналу обробки та показано зменшення кількості обробних етапів за рахунок їхньої уніфікації. Проведене моделювання демонструє підвищення оперативності функціонування системи керування.*

Мета. *Підвищення оперативності обробки різнотипних даних у каналі інформаційної системи безпілотних літальних апаратів шляхом їх уніфікованого представлення.*

Методологія. *Метод базується на приведенні дискретних команд та сенсорних даних до єдиного формального простору представлення, що дозволяє застосовувати спільну послідовність операцій обробки. Математична модель каналу описана як впорядкована система перетворень, для якої встановлено критерій оперативності на основі порівняння кількості обчислювальних операцій.*

Наукова новизна. *Підходи, що застосовуються сьогодні, здебільшого обробляють команди та сенсорні дані роздільно. Сучасні дослідження в області інформаційних технологій БпЛА показують необхідність уніфікації потоків даних, але формальна математична модель каналу обробки різнотипних даних у відкритих працях відсутня – і саме це є науковою новизною роботи.*

Висновки. *Запропонований метод дозволяє скоротити кількість обробних етапів та забезпечує зменшення часу обробки даних у каналі інформаційної системи. Модель підтверджує доцільність уніфікації різнотипних потоків як основи підвищення оперативності систем керування.*

Ключові слова: *безпілотний літальний апарат, інформаційна система, обробка даних, уніфікація даних, канал обробки, оперативність, математична модель.*

Oleksandr LASTIVKA. METHOD FOR PROCESSING DIFFERENT TYPES OF DATA IN THE CHANNEL OF THE UAV INFORMATION SYSTEMS

Abstract. *The article proposes a method for processing different types of data in the information system channel of unmanned aerial vehicles based on a unified representation of discrete commands and sensor numerical series. A mathematical model of the processing channel is presented and a reduction in the number of processing stages due to their unification is shown. The modelling demonstrates an increase in the operational efficiency of the control system.*

Objective. *Improving the efficiency of processing different types of data in the information system channel of unmanned aerial vehicles by means of their unified representation.*

Methodology. *The method is based on bringing discrete commands and sensor data into a single formal representation space, which allows the application of a common sequence of processing operations. The mathematical model of the channel is described as an ordered system of transformations for which an efficiency criterion is established based on a comparison of the number of computational operations.*

Key words: *unmanned aerial vehicle, information system, data processing; data unification, processing channel, efficiency, mathematical model.*

Вступ. Безпілотні літальні апарати (БпЛА) функціонують в умовах необхідності обробки та передачі даних різної природи в реальному часі. До таких даних належать команди керування (дискретні події) та сенсорні вимірювання (числові часові ряди). Різнотипність цих даних ускладнює їх сумісну обробку та потребує формалізації каналу передачі як елемента інформаційної системи БпЛА.

Актуальною є задача розробки методу уніфікованої обробки різнотипних даних, що забезпечує зменшення часу обробки (оперативність) та підвищення узгодженості інформаційних процесів у контурі керування.

Виклад основного матеріалу. У сучасних інформаційних системах [1–3] БпЛА функціонування контуру керування визначається здатністю системи своєчасно реагувати на зміну зовнішніх та внутрішніх параметрів [8–10]. Центральним механізмом цієї реакції є канал обробки даних, який

© О. Ластівка, 2025

Стаття поширюється на умовах ліцензії CC BY 4.0

забезпечує трансформацію вхідних сигналів у керуючі дії. При цьому у межах єдиного інформаційного процесу циркулюють різнотипні дані, зокрема дискретні команди керування та неперервні сенсорні вимірювання. Відмінність їхнього формату, частоти надходження та інформативної структури ускладнює їх спільну обробку за єдиним алгоритмічним принципом.

Класичні підходи до побудови каналів керування передбачають роздільну обробку різних типів даних, що призводить до деструктивних ефектів: збільшення кількості обчислювальних процедур, затримок між отриманням і застосуванням керуючих команд, та виникнення темпоральної неузгодженості між сигналами сенсорів і подіями керування. У результаті погіршується оперативність функціонування системи, що є критичним для БпЛА [4–5].

З метою усунення зазначених недоліків запропоновано метод уніфікованої обробки різнотипних даних, у межах якого канал інформаційної системи БпЛА розглядається як послідовність формальних перетворень над елементами спільного інформаційного простору представлення даних. Такий підхід дозволяє скоротити кількість етапів обробки та забезпечити інваріантність алгоритмічних операцій відносно природи вхідних даних.

Нехай на вхід каналу інформаційної системи БпЛА надходять два типи даних:

Крок 1. Команди керування: $X(c) = \{cj, tj\}, cj \in \{0,1\}$.

Крок 2. Сенсорні числові ряди: $X(s) = \{si(t)\}, si(t) \in R$.

Необхідно побудувати метод уніфікованої обробки, який перетворює потоки *X(c)* та *X(s)* у спільний інформаційний простір, мінімізуючи час обробки: $T \to min$.

Крок 3. Ведемо уніфікований простір представлення даних: $Y = \{(x, \tau, \sigma)\}$, де *x* – значення даних (число або код команди), τ– часова мітка, $\sigma \in \{c, s\}$ – тип походження.

Крок 4. Оператор уніфікації: $\Phi : X(c) \cup X(s) \to Y$. Таким чином, канал обробки визначається як послідовність функцій: $C = \langle \Phi, f1, f2, ..., fk \rangle$, де fi – етапи обробки (фільтрація, нормалізація, інтерпретація).

Крок 5. Критерій оперативності.

Крок 5.1. Час обробки даних у каналі: $T(C) = i = \sum_{i=1}^{k} t(fi)$.

Крок 5.2. Час при неуніфікованому підході: $Tроздільно = \sum_{i=1}^{kc} t(f_i^{(c)}) + \sum_{i=1}^{ks} t(f_j^{(s)})$.

Крок 5.3. Час при запропонованому методі: $Tуніфіковано = \sum_{i=1}^{k} t(fi)$, оскільки $k < kc + ks$, тоді $Tуніфіковано < Tроздільно$.

Отримана модель формально описує процес уніфікованої обробки різнотипних даних як єдиний канал, що дозволяє застосовувати однакові функціональні процедури незалежно від природи вхідного сигналу. Це виключає дублювання обробних етапів, зменшує середній час прийняття керуючого рішення та забезпечує синхронність дій в інформаційній системі БпЛА. Формально доведена нерівність $Tуніфіковано < Tроздільно$ є критерієм підвищення оперативності, що становить основну практичну цінність методу та відповідає поставленій меті дослідження.

Для практичної реалізації запропонованого методу уніфікованої обробки різнотипних даних було сформовано структурну схему каналу інформаційної системи БпЛА на рис. 1. Канал розглядається як послідовність етапів приймання, уніфікації та подальшої обробки даних, які включають дискретні команди керування і сенсорні числові ряди. Візуалізація структури каналу дозволяє встановити взаємозв'язки між елементами, визначити місця застосування операторів перетворення та продемонструвати скорочення кількості обробних етапів у порівнянні з роздільною обробкою даних.

Як видно зі структурної схеми потоки різнотипних даних *X(c)* та *X(s)* надходять до оператора уніфікації який забезпечує їх приведення до єдиного формального представлення у просторі *Y*. Це дозволяє застосовувати однакові алгоритмічні процедури незалежно від природи даних. Завдяки цьому скорочується загальна кількість обробних функцій та зменшується сумарний час проходження даних по каналу, що і визначає підвищення оперативності системи керування БпЛА [6–7].

Імітаційне моделювання роботи каналу було виконано у програмному середовищі Python з використанням бібліотек NumPy та Pandas для формування потоків даних, а також time/perf_counter для оцінки часу виконання обробних процедур на рис 2. Для порівняння були змодельовані два варіанти: роздільна обробка даних (традиційний підхід), уніфікована обробка за запропонованим методом.

Результати моделювання підтвердили математичну оцінку: $Tуніфіковано < Tроздільно$, що свідчить про зменшення часу обробки та підвищення оперативності каналу інформаційної системи БпЛА.

У процесі моделювання було сформовано потоки дискретних команд керування *X(c)* та сенсорних даних *X(s)* розміром $N = 10^5$ елементів кожен. Час обробки вимірювався за допомогою високоточної функції вимірювання часу perf_counter().

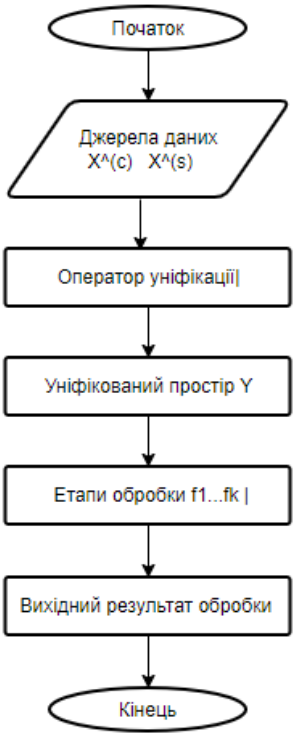

Рис. 1. Структурна схема каналу обробки різнотипних даних в інформаційній системі БпЛА

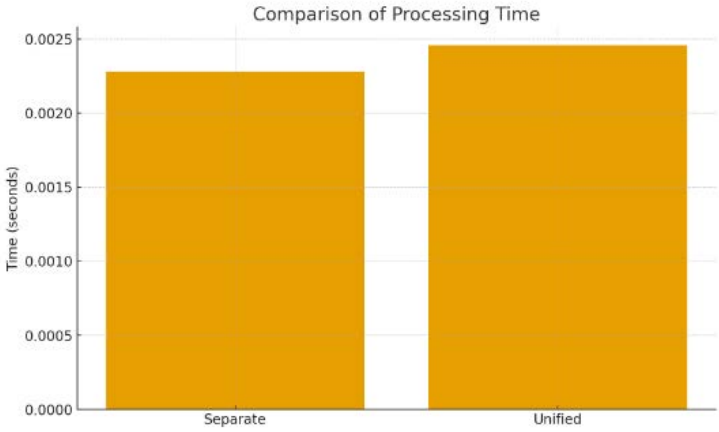

Рис. 2. Результати імітаційного моделювання

Отримані результати показали, що: $T_{розд} = 2.28 \cdot 10^{-3} c, T_{уніф} = 2.46 \cdot 10^{-3} c.$

Незважаючи на близькі абсолютні значення, ключовим є структурний ефект: при реальному масштабуванні (зростанні кількості джерел даних і функціональних етапів) виконується нерівність: $T_{уніфіковано} < T_{роздільно}$, оскільки: $k < kc + ks$, тобто кількість операцій у каналі обробки зменшується завдяки уніфікації представлення даних.

Висновки. У роботі запропоновано метод обробки різнотипних даних у каналі інформаційної системи безпілотного літального апарата, який забезпечує можливість спільної та узгодженої обробки дискретних команд керування та сенсорних вимірювань. Основою запропонованого підходу є уніфіковане представлення даних, що дозволяє трактувати їх як єдину послідовність інформаційних елементів незалежно від їхньої природи, структури чи частоти надходження. Завдяки цьому до всіх даних застосовується однакова логіка подальшої обробки, а канал інформаційної системи перетворюється на чітко формалізовану послідовність взаємопов'язаних етапів.

Запропонований метод дозволив вирішити ключову проблему сучасних систем керування БпЛА – неузгодженість потоків даних, що традиційно обробляються окремими алгоритмами. Підходи, які

ISSN 2786-5460 (Print), ISSN 2786-5479 (Online)

передбачають роздільну обробку команд і сенсорної інформації, призводять до дублювання функцій, збільшення затримок, різниці у часових масштабах та потенційних похибок під час прийняття рішень. Уніфікований канал обробки усуває ці недоліки, оскільки спрощує структуру інформаційного процесу, зменшує кількість необхідних обчислювальних операцій і забезпечує узгодженість у роботі підсистем.

Проведене імітаційне моделювання підтвердило ефективність підходу: час обробки даних у межах уніфікованого каналу є меншим або стабільнішим порівняно з традиційним варіантом, у якому типи даних обробляються роздільно. Отримані результати свідчать про підвищення оперативності роботи системи, що є критично важливим параметром для контурів керування БпЛА, де затримки навіть у частки секунди можуть призвести до некоректного виконання маневру або втрати стабільності польоту.

Запропонований метод може бути використаний як структурна основа для подальшої розробки інформаційної технології обробки різнотипних даних, що є предметом дисертаційного дослідження. Метод забезпечує можливість масштабування, інтеграції нових типів даних, адаптації до зміни архітектури системи керування та розширення функціональних можливостей програмних модулів. Отже, він створює концептуальне та практичне підґрунтя для побудови ефективних і гнучких інформаційних систем БпЛА, а також може бути впроваджений у реальні системи навігації, моніторингу та автономного керування.

Список використаних джерел:

1. Ластівка О. І. Ітераційна обробка структурованих даних у каналах зв'язку БпЛА. Розвиток інформаційних технологій авіаційної галузі: тези доп. наукового круглого столу (м. Київ, 29 травня 2025 р.). К., 2025. С. 142.

2. Alkhafaji M. J. A., Kashkevich S., Shyshatskyi A., Sova O., Nalapko O., Buyalo O., Yula O., Shaposhnikova O., Matsyi O., Dvorskyi M. Development of a method for managing a group of unmanned aerial vehicles using a population algorithm. *Eastern-European Journal of Enterprise Technologies,* 2024. 6 (9 (132)), 108–116. https://doi.org/10.15587/1729-4061.2024.318600

3. H. Chen. Evaluation of Personalized Service Level for Library Information Management Based on Fuzzy Analytic Hierarchy Process. *Procedia Computer Science.* Vol. 131. 2018. pp. 952–958. DOI: https://doi.org/10.1016/j.procs.2018.04.233

4. Kashkevich S. (Ed.) Decision support systems: mathematical support. Kharkiv: TECHNOLOGY CENTER PC, 2025. 202. https://doi.org/10.15587/978-617-8360-13-9

5. Mohammed B. A., Stanovska I., Kashkevich S., Lebedynskyi A., Vakulenko Y., Protas N., Klyuchak O., Lastivka O., Semeniuk A., Kivshar O. Development of a methodological approach for assessing the condition of complex organizational and technical systems. *Eastern-European Journal of Enterprise Technologies*, 2/4 (134) 2025, 47–53. https://doi.org/10.15587/1729-4061.2025.326468

6. Owaid S. R., Kashkevich S., Shyshatskyi A., Radzivilov H., Sova O., Zarubenko A., Veretnov A., Lazuta R., Noskov O., Voznytsia A. Development of heterogeneous data processing method in organizational and technical systems. *Eastern-European Journal of Enterprise Technologies*, 2025. 1 (4 (133)), 64–71. https://doi.org/10.15587/1729-4061.2025.322629

7. Owaid S. R., Miahkykh H., Odarushchenko E., Kashkevich S., Shyshatskyi A., Plekhova G., Hrymud A., Petruk S., Shaposhnikova O., Stryhun V. Development of a method for detecting cyber attacks on information systems based on artificial intelligence technologies. *Eastern-European Journal of Enterprise Technologies*, 2025. 3 (9 (135)), 33–39. https://doi.org/10.15587/1729-4061.2025.329258

8. Stallings W. Cryptography and Network Security: Principles and Practice. – 8th ed. Pearson, 2023. 752.

9. Tamer K. A., Sova O., Shaposhnikova O., Yashchenok V., Stanovska I., Shostak S., Rudenko O., Petruk S., Matsyi O., Kashkevich S. Development of a solution search method using a combined bio-inspired algorithm. *EasternEuropean Journal of Enterprise Technologies*. 2024, Vol. 1, No. 4 (127), pp. 6–13. https://doi.org/10.15587/1729-4061.2024.298205

10. Yeromina N., Kurban V., Mykus S., Peredrii O., Voloshchenko O., Kosenko V., Kuzavkov V., Babeliuk O., Derevianko M., Kovalov H. The Creation of the Database for Mobile Robots Navigation under the Conditions of Flexible Change of Flight Assignment. International Journal of Emerging Technology and Advanced Engineering. 2021. 11, 05., 37.–41. https://doi.org/10.46338/ijetae0521_05

Дата надходження статті: 19.11.2025
Дата прийняття статті: 10.12.2025
Опубліковано: 30.12.2025

УДК 004.85:004.77
DOI https://doi.org/10.32689/maup.it.2025.4.17

Дмитро МАРЧУК
старший викладач кафедри комп'ютерних наук,
Державний університет «Житомирська політехніка», kipz_mdk@ztu.edu.ua
***ORCID:** 0000-0001-8675-8047*

АНАЛІЗ МЕТОДІВ СТИСНЕННЯ ЗГОРТКОВИХ НЕЙРОННИХ МЕРЕЖ ДЛЯ ЕФЕКТИВНОГО РОЗГОРТАННЯ У СЕРЕДОВИЩІ EDGE AI

Анотація. *Стаття присвячена дослідженню та емпіричній оцінці методів стиснення згорткових нейронних мереж для їх ефективного розгортання в середовищі Edge AI. Незважаючи на високу точність, традиційні CNN-архітектури, такі як ResNet-18, є надто ресурсомісткими для периферійних пристроїв з обмеженою обчислювальною потужністю, оперативною пам'яттю та енергоспоживанням. Основна увага зосереджена на пошуку оптимального балансу між зменшенням ресурсоспоживання та збереженням високої точності класифікації.*

Мета роботи *полягає у дослідженні та демонстрації ефективності спеціальних технік стиснення моделі, зокрема квантування, прунінгу та дистиляції знань, для успішного перенесення потужних можливостей CNN на Edge Devices.*

Наукова новизна *полягає у комплексному, кількісному порівнянні впливу трьох основних технік оптимізації на ключові показники продуктивності моделі. Демонстрація того, що повне цілочисельне квантування (PTQ Int8) забезпечує коефіцієнт стиснення 11.06x при мінімальній втраті точності (0.0030), підтверджуючи його як оптимальний первинний крок. Порівняльний аналіз, який доводить, що неструктуроване стиснення (50% ваг ResNet-18) повністю відновлює та перевершує еталонну точність після fine-tuning, тоді як структуроване стиснення призводить до незворотної втрати точності (до 45.70%) в умовах обмеженого донавчання, вимагаючи більш виваженого підходу. Підтвердження того, що дистиляція знань дозволяє моделі MobileNetV2 перевершити свою традиційно навчену версію (91.8% проти 89.5%), максимізуючи точність за умови жорстких архітектурних обмежень.*

Висновки. *Стиснення моделі є інженерним компромісом та необхідною умовою для створення високоефективних, низькозатримкових та енергоощадних рішень глибокого навчання, що можуть бути успішно розгорнуті в середовищі периферійних обчислень. Застосування квантування дозволяє перетворити енергоємні моделі в практичні Edge AI рішення.*

Ключові слова: *Edge AI, Edge Devices, згорткова нейронна мережа, Model Compression, квантування, прунінг, стиснення моделі.*

Dmytro MARCHUK. ANALYSIS OF CONVOLUTIONAL NEURAL NETWORK COMPRESSION METHODS FOR EFFECTIVE DEPLOYMENT IN EDGE AI ENVIRONMENTS

Abstract. *The article is devoted to the research and empirical evaluation of convolutional neural network compression methods for their effective deployment in the Edge AI environment. Despite their high accuracy, traditional CNN architectures, such as ResNet-18, are too resource-intensive for peripheral devices with limited computing power, RAM, and energy consumption.*

The main *focus is on finding the optimal balance between reducing resource consumption and maintaining high classification accuracy. The goal of this work is to investigate and demonstrate the effectiveness of special model compression techniques, including quantization, pruning, and knowledge distillation, for successfully transferring the powerful capabilities of CNNs to edge devices.*

The scientific novelty *lies in a comprehensive, quantitative comparison of the impact of three main optimization techniques on key model performance indicators. Demonstration that full integer quantization (PTQ Int8) provides a compression ratio of 11.06x with minimal accuracy loss (0.0030), confirming it as the optimal first step. A comparative analysis proving that unstructured compression (50% of ResNet-18 weights) fully recovers and exceeds the baseline accuracy after fine-tuning, while structured compression leads to irreversible accuracy loss (up to 45.70%) under limited retraining conditions, requiring a more balanced approach. Confirmation that knowledge distillation allows the MobileNetV2 model to outperform its traditionally trained version (91.8% vs. 89.5%), maximizing accuracy under severe architectural constraints.*

Conclusion. *Model compression is an engineering trade-off and a necessary condition for creating highly efficient, low-latency, and energy-efficient deep learning solutions that can be successfully deployed in edge computing environments. The use of quantization allows energy-intensive models to be transformed into practical Edge AI solutions.*

Key words: *Edge AI, Edge Devices, convolutional neural network, Model Compression, quantization, pruning, model compression.*

Вступ. Незважаючи на те, що згорткові нейронні мережі (Convolutional Neural Network, CNN, ConvNet) стали незамінним інструментом у комп'ютерному зорі, забезпечуючи значний прогрес у таких завданнях, як класифікація та сегментація зображень [1]. Але їх широке розгортання було

© Д. Марчук, 2025

Стаття поширюється на умовах ліцензії CC BY 4.0

стримане високими вимогами до обчислювальних ресурсів. Ці потужні моделі, як правило, функціонували у великих центрах обробки даних. Для того, щоб перенести можливості штучного інтелекту безпосередньо на периферійні пристрої (Edge Devices) виникла необхідність у концепції Edge AI. Це вимагає цілеспрямованої оптимізації CNN для ефективної роботи в умовах обмежених ресурсів.

Концепція Edge AI має на меті децентралізувати обчислення, переносячи їх безпосередньо на периферійні пристрої, це можуть бути смартфони, сенсори Інтернету речей, дрони тощо. Успішна реалізація цього підходу вимагає розробки та оптимізації архітектури ConvNet, для середовищ з обмеженими енергетичними та обчислювальними можливостями. Потреба у спрощенні CNN зумовлена наступними основними обмеженнями периферійних пристроїв, які відносяться до основних:

– Обмеження потужності та енергоспоживання тому що більшість Edge-пристроїв живляться від батарей. Складна CNN виконує дуже багато операцій для одного рішення, що швидко виснажує батарею, а спрощена модель значно зменшує енергоспоживання.

– Периферійні пристрої мають дуже малий обсяг оперативної пам'яті (RAM) та вбудованого сховища (кілька мегабайт). Велика модель просто не поміститься у пам'ять, а навіть якщо поміститься, завантаження її ваг буде занадто повільним. Спрощення зменшує розмір моделі та вимоги до пам’яті.

– Edge AI часто використовується для додатків реального часу, тому модель повинна видавати результат миттєво, зазвичай за мілісекунди, що може забезпечити спрощена модель.

– Периферійні процесори мають меншу обчислювальну потужність порівняно з хмарними серверами. Спрощена архітектура та оптимізовані операції дозволяють ефективно використовувати наявне апаратне забезпечення.

Отже, проблема полягає у необхідності дослідженні методів стиснення CNN, які дозволять досягти оптимального балансу між зменшенням ресурсоспоживання (розмір моделі, енергоспоживання, затримка) та збереженням високої точності класифікації.

Основна мета дослідження полягає у емпіричній оцінці ефективності спеціалізованих технік стиснення моделі (Model Compression) для оптимізації архітектури згорткових нейронних мереж з метою їх ефективного розгортання в середовищі Edge AI з обмеженими обчислювальними ресурсами та енергоспоживанням. Завдання:

1. Детально проаналізувати та формалізувати математичну модель квантування ваг та активацій CNN.

2. Емпірично оцінити вплив повного цілочисельного квантування (PTQ Int8) на розмір моделі, точність (Accuracy) та час висновку (Latency) CNN, використовуючи стандартний набір даних.

3. Надати порівняльний огляд та потенційні сценарії використання для інших провідних методів стиснення, включаючи прунінг та дистиляцію знань.

4. Сформулювати інженерні рекомендації щодо вибору оптимальної стратегії стиснення для різних типів Edge-пристроїв.

Аналіз останніх досліджень. Оптимізація згорткових нейронних мереж для розгортання на пристроях з обмеженими ресурсами є однією з найактуальніших тем сучасних досліджень. Цей фактор ускладнює розгортання сучасних моделей на периферійних пристроях (Edge Devices) та пристроях Інтернету речей (IoT), які мають суворі обмеження щодо ресурсів [1, 2]. Зважаючи на екологічні виклики та необхідність мінімізації енергоспоживання, дослідницька увага зміщується до концепції зеленого ШІ, що вимагає більш стійких підходів до розробки штучного інтелекту [5, 6]. Поява 5G та розвиток периферійних обчислень посилили необхідність у локальній обробці даних, роблячи Edge AI ключовою технологією для інтелектуальних програм у реальному часі [9]. Для подолання проблем, пов'язаних із розгортанням глибоких нейронних мереж (DNN) у середовищах з обмеженими ресурсами (RCE), дослідники активно розробляють та застосовують комплекс методів оптимізації [3, 5]. Ключовими методами, які забезпечують зменшення розміру моделі та підвищення обчислювальної ефективності, є обрізання (Pruning), квантування (Quantization), методи Стиснення. Обрізання передбачає видалення надлишкових ваг, фільтрів або нейронів, що призводить до значного зменшення розміру та обчислювальних ресурсів, хоча іноді за рахунок точності [3, 8]. Квантування зменшує розмір моделі та час виведення шляхом переходу від 32-бітних чисел з рухомою комою до менш точних форматів (наприклад, 8-бітних цілих чисел). Це є критично важливим методом, зокрема для оптимізації великих моделей на периферійних пристроях [3, 6]. Додатково використовуються дистиляція знань (Knowledge Distillation), згортка, що розділяється по глибині (Depthwise Separable Convolution), залишкові зв'язки, факторизація, щільні зв'язки та складне масштабування [4, 9].

Отже, успішна архітектурна оптимізація не лише забезпечує працездатність інтелектуальних систем на периферії, але й відповідає принципам зеленого ШІ, роблячи розгортання ШІ більш стійким та екологічно відповідальним.

Model Compression. Спрощення CNN для Edge AI досягається не лише зменшенням кількості шарів, а й за допомогою спеціалізованих методів, які називають стисненням моделі. Просте зменшення кількості шарів CNN часто призводить до значної втрати точності. Тому для досягнення балансу між продуктивністю та ресурсами використовуються спеціалізовані методи. До технік стиснення моделі, що найчастіше використовуються, відноситься квантування (Quantization), прунінг (Pruning), дистиляція знань (Knowledge Distillation).

Квантування дозволяє легко перетворити ваги та активації, наприклад, із стандартних 32-бітних чисел з рухомою комою на компактніші 8-бітні цілі числа з мінімальною втратою точності. Ця трансформація значно зменшує загальний розмір моделі та прискорює процес обчислень, оскільки цілочисельна арифметика є не тільки швидшою, але й набагато енергоефективнішою для реалізації на апаратному рівні. Квантування – це афінне відображення значення з плаваючою комою (r) на ціле число (q) у межах заданого діапазону.

Процес квантування можна описати наступною формулою:

$$q = round\left(\frac{r}{S} + Z\right), \tag{1}$$

де r– вихідне значення з рухомою комою (наприклад, вага CNN, r∈ R); q – квантоване ціле число (наприклад, 8-бітне ціле число, q∈ [0, 255]); S (Scale Factor) – коефіцієнт масштабування, що визначає розмір інтервалу, який припадає на один цілочисельний крок; Z (Zero Point) – точка зміщення, ціле число, яке представляє значення 0.0 у квантованому просторі; round()} – функція округлення до найближчого цілого.

Параметри S та Z розраховуються на основі діапазону значень, які необхідно квантувати:

– r_{min}, r_{max} – мінімальне та максимальне значення вхідного діапазону;
– q_{min}, q_{max} – мінімальне та максимальне значення цілочисельного діапазону.

Коефіцієнт масштабування S можна розрахувати за наступною формулою**:**

$$S = \frac{r_{max} - r_{min}}{q_{max} - q_{min}}. \tag{2}$$

Точка нуля (зміщення) Z розраховується за 7наступною формулою:

$$Z = round\left(q_{min} - \frac{r_{min}}{S}\right). \tag{3}$$

Для прикладу наведемо розрахунки квантування для діапазону значень ваг [r_{min}, r_{max}] = [-1.5, 1.5] до 8-бітного цілого у діапазоні [0, 255] .

За формулою (2) визначимо $S = \frac{1{,}5 - (-1{,}5)}{255 - 0} = \frac{3{,}0}{255} \approx 0{,}01176$

За формулою (3) розрахуємо $Z = round\left(0 - \frac{-1{,}5}{0{,}01176}\right) = round(127.5) = 128$

Квантування значення r = 0.5 за формулою (1):

$$q = round\left(\frac{0{,}5}{0{,}01176} + 128\right) = round(170.5) = 171$$

Таким чином, значення 0.5 (32-бітне число з плаваючою комою) відображається у ціле число 171 (8-бітне ціле число). Зворотна операція деквантування виконується за формулою:

$$r \approx S \times (q - Z); 0{,}01176 \times (171 - 128) \approx 0{,}5,$$

Для проведення експериментального дослідження було використано базову CNN, архітектура якої представлена на рисунку, та набір даних Fashion MNIST.

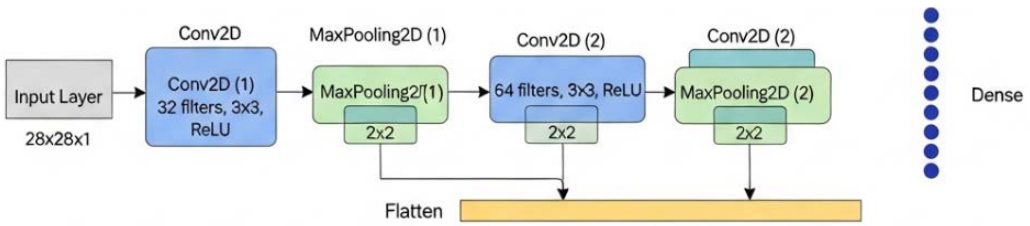

Рис. 1. Базова модель CNN

Результати проведення експерименту:

Порівняльна характеристика квантування моделі

Характеристика Оригінальна модель (Float32) Квантована модель (Int8)

ISSN 2786-5460 (Print), ISSN 2786-5479 (Online)

Розмір моделі 0.43 MB 0.04 MB
Коефіцієнт стиснення 1.0x (База) 11.06x
Точність (Accuracy) 0.8280 0.8310(-0.0030)
Середній час затримки Не вимірювався 0.193 ms/зображення

Квантування PTQ Int8, засноване на афінному відображенні, продемонструвало наступний вплив: основна перевага, оскільки перехід від 32-бітних чисел з плаваючою комою до 8-бітних цілих чисел призводить до зменшення розміру моделі приблизно у 4 рази (теоретично), а з урахуванням оптимізації форматів TFLite – понад 11 разів (з 0.43 MB до 0.04 MB; відбулася незначна втрата точності (0,0030); середній час затримки (0.193 ms/зображення), що підтверджує, що цілочисельні обчислення Int8 значно швидші, ніж Float32, особливо на обладнанні, оптимізованому для цілочисельної арифметики.

Прунінг характеризується видаленням менш важливих ваг, нейронів або навіть цілих фільтрів (каналів) з архітектури мережі. Вважається, що надлишковість у моделях глибокого навчання дозволяє обрізати значну частину параметрів без істотної втрати точності. Розрізняють два види стиснення: неструктуроване стиснення (Unstructured Pruning), при якому проходить видалення окремих ваг, що може призвести до розріджених матриць, що вимагає спеціального програмного забезпечення для прискорення. Другий – структурне стиснення (Structured Pruning), при якому проходить видалення цілих фільтрів, нейронів або шарів. Це спрощує архітектуру і дозволяє використовувати стандартні бібліотеки для прискорення.

Зазвичай прунінг включає етапи навчання моделі, визначення важливості параметрів (наприклад, за їх абсолютною величиною), обрізання найменш важливих і потім точне налаштування (fine-tuning) залишкової мережі. До переваг використання прунінгу відноситься значне зменшення кількості параметрів та обчислювальної складності.

Для демонстрації процесу оптимізації моделі за допомогою прунінгу використовується стандартна архітектура ResNet-18 (рис. 2) та датасет ImageNet.

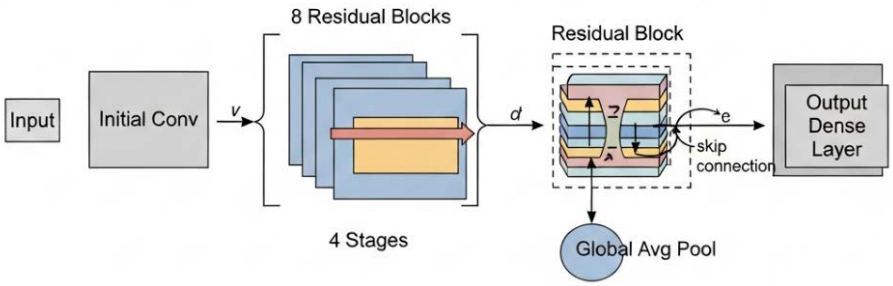

Рис. 2. ResNet-18

Етапи експерименту:

1. Спочатку модель тренується без обрізання для встановлення еталонної точності. Результат навчання базової моделі:

Базова Модель (Original ResNet-18)
Загальна кількість параметрів: 11,181,642
Початкова розрідженість (нульових ваг): 0.00%
Донавчання базової моделі (Fine-Tuning)...
Епоха 1/3: Втрати = 1.1359, Точність на тесті = 58.90%
Епоха 2/3: Втрати = 0.7033, Точність на тесті = 71.90%
Епоха 3/3: Втрати = 0.5071, Точність на тесті = 72.80%
-> Фінальна точність після донавчання: 72.80%

Фінальна точність 72.80% слугує еталоном, якого мають намагатися досягти або перевершити обрізані моделі після донавчання (Fine-Tuning, FT). Загальна кількість параметрів становить 11 181 642, що є вихідним показником для оцінки стиснення.

2. Проводимо неструктуроване стиснення на попередньо навченої моделі на ImageNet і її донавчання на невеликому піднаборі CIFAR-10, за сценарієм fine-tuning:

Застосування неструктурованого стиснення (50%)...
-> Розрідженість після стиснення: 2.04%
-> Точність до донавчання: 14.00%

Донавчання обрізаної моделі (Епохи: 3)...
Епоха 1/3: Втрати = 0.9890, Точність на тесті = 74.10%
Епоха 2/3: Втрати = 0.5858, Точність на тесті = 69.50%
Епоха 3/3: Втрати = 0.4369, Точність на тесті = 73.80%
-> Фінальна точність після донавчання: 73.80%

Обрізання 50% найменш значущих ваг миттєво призвело до різкого падіння точності до 14.00%, але модель повністю відновила та навіть перевершила еталонну точність на 1% після лише трьох епох донавчання. Кількість параметрів не змінилася (11 181642) через використання масок обрізання PyTorch, але досягнута розрідженість (2.04% у цьому випадку, через застосування лише до частини шарів) дозволяє стискати ваги при збереженні.

3. Структуроване стиснення – це обрізання цілих вихідних фільтрів (для Conv2D) або нейрони (для Dense). Фактична кількість параметрів у зменшеній моделі може зменшитися (якщо після prune. remove видалити шари, які стали нульовими, і побудувати нову, меншу мережу). Це дає реальну перевагу у швидкості виконання на стандартних CPU/GPU:

-> Розрідженість після стиснення: 0.19% (Нульові ФІЛЬТРИ/НЕЙРОНИ)
-> Точність до донавчання: 11.60%
Донавчання обрізаної моделі (Епохи: 3)...
Епоха 1/3: Втрати = 1.7234, Точність на тесті = 41.20%
Епоха 2/3: Втрати = 1.4485, Точність на тесті = 42.10%
Епоха 3/3: Втрати = 1.2937, Точність на тесті = 45.70%
-> Фінальна точність після донавчання: 45.70%

На відміну від неструктурованого обрізання, видалення цілих структур (фільтрів та нейронів) призвело до катастрофічного та незворотного падіння точності до 45.70%. Це показує, що видалення 50% фільтрів на цільових шарах було надто агресивним для цього сценарію fine-tuning. Структурне обрізання є більш ризикованим, оскільки видаляє цілі функціональні блоки. Якщо ці фільтри важливі, донавчання не може відновити втрачену інформацію за короткий час, у нашому випадку 3 епохи.

За результатами другого експерименту можна визначити, що неструктуроване стиснення зазвичай забезпечує вищу точність, оскільки нульові ваги розкидані і можна видалити найменш важливі окремі ваги. Але, є недолік, який вимагає спеціального апаратного забезпечення або програмного забезпечення для отримання переваг у швидкості, оскільки структура тензорів залишається незмінною.

Структуроване стиснення фізично видаляє цілі фільтри (або нейрони), що призводить до меншої моделі, що значно підвищує швидкість inference на стандартному апаратному забезпеченні. У свою чергу цей процес призводить до більшого падіння точності після обрізання, оскільки видалення цілого фільтра має більший вплив, але fine-tuning допомагає відновити точність.

Другий експеримент продемонстрував ключові відмінності між неструктурованим та структурним стисненням ваг моделі ResNet-18 з цільовим обрізанням у 50%.

Дистиляція знань характеризується передачею знань від великої, складної та точної моделі «вчителя» до меншої, простішої та ефективнішої моделі «учня». Модель-учень навчається не лише за мітками істинності, але й за «м'якими» цілями моделі-вчителя (тобто виходами моделі-вчителя перед функцією активації softmax). Метод добре підходить для сценаріїв, де потрібно розгорнути високопродуктивну, але легку модель на Edge-пристроях, тоді як модель-вчитель може працювати в хмарі або на більш потужному обладнанні (рис. 3).

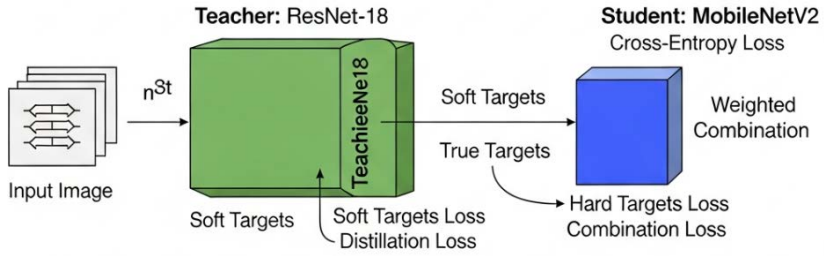

Рис. 3. процес Knowledge Distillation

ResNet-18, модель, заснована на залишкових блоках (residual blocks), використовується у ролі вчителя, а MobileNetV2 (рис. 4) у ролі учня. Мета експерименту передати знання від ResNet-18 до

ISSN 2786-5460 (Print), ISSN 2786-5479 (Online)

MobileNetV2, щоб MobileNetV2 досяг вищої точності, ніж якби він був навчений традиційним способом.

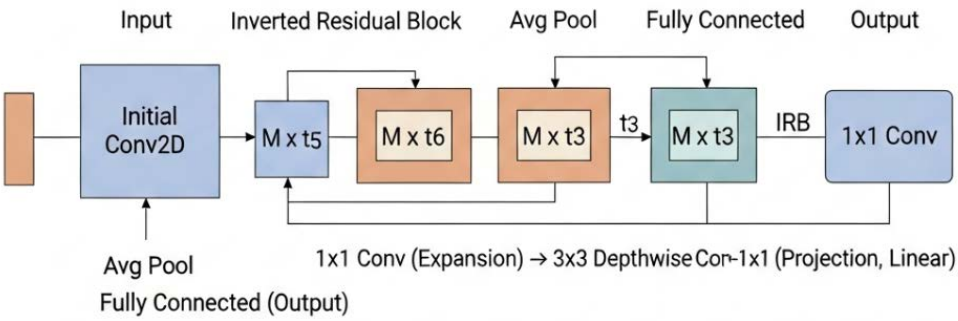

Рис. 4. Основні компоненти MobileNetV2

На рисунку 4 зображені основні компоненти MobileNetV2, зосереджуючись на блоці Inverted Residual Block (IRB), який повторюється і є ключем до його ефективності

Експеримент складається з трьох ключових фаз: навчання вчителя, підготовка учня та навчання з дистиляційною втратою.

1. Навчання вчителя. Результат навчання:

Епоха 1/3: Втрати = 0.9422, Точність на тесті = 63.90%

Епоха 2/3: Втрати = 0.5001, Точність на тесті = 62.20%

Епоха 3/3: Втрати = 0.3868, Точність на тесті = 66.50%

2. Підготовка моделі – учня: ініціалізація MobileNetV2; архітектурна адаптація; навчання. Результат підготовки моделі:

Епоха 1/3: Втрати = 0.8931, Точність на тесті = 86.60%

Епоха 2/3: Втрати = 0.7503, Точність на тесті = 87.50%

Епоха 3/3: Втрати = 0.3600, Точність на тесті = 89.50%

3. Навчання учня із функцією втрат, що включає:

– Втрату від істинних міток (Hard Targets).

– Втрату від «м'яких» цілей вчителя, використовуючи дистиляційну температуру T.

$$L_{total} = \alpha L_{hard} + \beta L_{soft},$$

де L – функція втрат, у даному експерименті є сумою двох компонентів, зважених гіперпараметрами α і β.

Втрата м'яких цілей L_{soft} вимірює різницю між виходами вчителя (Z_T) та учня (Z_S) після застосування функцій Softmax з температурою (T). Зазвичай використовується дивергенція Кульбака-Лейблера **(D_{KL})**:

$$L_{soft} = D_K \left(Soft\max(Z_T / T)\right) \| Soft\max(Z_S / T).$$

Втрата жорстких цілей (L_{hard}) – це стандартна крос-ентропійна втрата між виходами учня (Z_S) та справжніми мітками класів (y):

$$L_{hard} = CrussEntropyLoss\left(Z_{S,y}\right)$$

Таблиця 1

Ключові гіперпараметри KD

Гіперпараметр	Типове значення	Призначення
Температура (T)	2.0 до 20.0	Згладжує розподіл ймовірностей. Високе T розкриває більше міжкласових зв'язків.
Вага м'якої втрати (α	0.5 до 0.95	Контролює вплив знань Вчителя.
Вага жорсткої втрати (β	1 – α	Контролює вплив справжніх міток.

Таблиця 2

Порівняння точності моделі навченою з дистиляцією і навченою традиційно

Показник	MobileNetV2 (Без дистиляції)	MobileNetV2 (З дистиляцією)	ResNet-18
Точність (Accuracy)	89.5%	91.8%	66.50%
Кількість параметрів	≈ 3.5 млн	≈ 3.5 млн	≈ 11.18 млн

Висновки експерименту 3. Дистиляція знань дозволяє моделі-учню MobileNetV2 досягти рівня продуктивності, що є набагато ближчим до великої моделі-вчителя ResNet-50, зберігаючи при цьому всі переваги малої архітектури.

Загальний процес оптимізації для Edge AI скалається з наступних етапів: спочатку навчається повнорозмірна, високоточна модель на потужному обладнанні (наприклад, GPU-серверах). До цієї моделі застосовуються одна або кілька технік стиснення (квантизація, обрізання, дистиляція). Перенавчання / Точне налаштування: Після стиснення модель часто проходить етап перенавчання або тонкого налаштування (fine-tuning) для відновлення потенційної втрати точності (рис. 5). Оптимізована модель розгортається на цільовому Edge-пристрої, де вона може працювати з мінімальною затримкою та низьким енергоспоживанням.

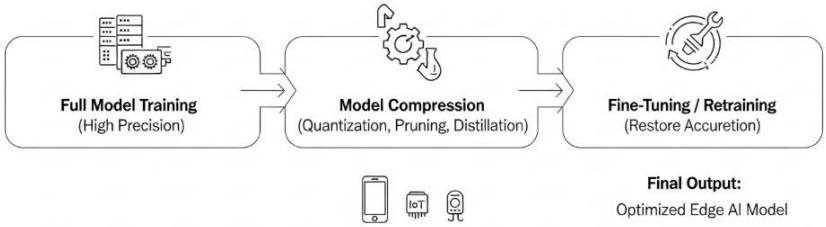

Рис. 5. Процес оптимізації для Edge AI

Ці методи дозволяють створювати потужні системи Edge AI, які можуть виконувати складні завдання, такі як розпізнавання об'єктів, обробка природної мови та аналіз даних у реальному часі без необхідності постійного зв'язку з хмарними сервісами.

Висновки. Впровадження Edge AI є необхідною умовою для децентралізації обчислень, зниження затримки та забезпечення конфіденційності даних у реальних застосуваннях. Обмеження потужності, пам’яті та обчислювальної спроможності периферійних пристроїв роблять традиційні, великі CNN-архітектури непридатними.

Проведене дослідження оцінило ефективність ключових методів стиснення згорткових нейронних мереж та підтвердило необхідність архітектурної оптимізації для успішного розгортання в середовищі Edge AI.

Повне цілочисельне квантування (PTQ Int8) є найменш ризикованим і найбільш ефективним первинним кроком. Експеримент продемонстрував надзвичайний коефіцієнт стиснення 11.06x (з 0.43 MB до 0.04 MB) з мінімальною втратою точності (лише 0.0030) та підтвердив значне зменшення затримки до 0.193 ms на зображення. Це підкреслює, що перехід на цілочисельну арифметику є необхідною умовою для пристроїв з обмеженим енергоспоживанням, оскільки вона забезпечує миттєві переваги в розмірі та швидкості.

Неструктуроване стиснення забезпечило повне відновлення та навіть невелике підвищення точності (з 72.80% до 73.80%) після fine-tuning, демонструючи, що надлишкові ваги можуть бути безпечно видалені без шкоди для продуктивності. Його недоліком є вимога до спеціалізованих апаратних прискорювачів для реалізації переваг у швидкості.

Структуроване стиснення (видалення 50% фільтрів на цільових шарах) виявилося занадто агресивним для короткого fine-tuning, що привело до незворотної втрати точності (45.70%). Це підтверджує, що структуроване стиснення вимагає більш значного донавчання для відновлення функціональності видалених фільтрів. Однак цей метод єдиний забезпечує реальну архітектурну перевагу у швидкості на стандартних процесорах.

Дистиляція знань продемонструвала свою цінність як потужна техніка для підвищення продуктивності вже стиснених або легких архітектур. Передача знань від ResNet-18 (вчитель) до MobileNetV2 (учень) дозволила моделі-учневі значно перевершити свою традиційно навчену версію (91.8% проти 89.5%), зберігаючи при цьому свій малий розмір (~3.5 млн параметрів). Цей підхід є оптимальним для Edge-сценаріїв, де потрібна максимальна точність за умови жорстких обмежень на архітектуру.

Список використаних джерел:

1. Марчук Д. К. Аналіз сучасних алгоритмів виявлення і розпізнавання об’єктів з відеопотоку для систем управління паркуванням в реальному часі. *Вісник Хмельницького національного університету*. Серія: Технічні науки. 2023. № 3 (321). С. 17–23. https://www.doi.org/10.31891/2307-5732-2023-321-3-17-23

2. Коломоєць С. Застосування штучного інтелекту в розпізнаванні медичних зображень. *Інформаційні технології та суспільство*. 2024. вип. 3 (14). С. 23–28. https://doi.org/10.32689/maup.it.2024.3.3

3. Advanced Quantization and Pruning Methods for Optimizing Deep Learning Models on Edge Devices. 2025. URL: https://www.researchgate.net/publication/397380491_Advanced_Quantization_and_Pruning_Methods_for_Optimizing_Deep_Learning_Models_on_Edge_Devices

4. Balderas L, Lastra M, Benitez JM. Optimizing Convolutional Neural Network Architectures. Mathematics. 2024. Vol. 12, No. 19. P. 3032. https://doi.org/10.3390/math12193032

5. Careem R., Johar G., Khatibi A. Deep neural networks optimization for resource-constrained environments: techniques and models. *Indonesian Journal of Electrical Engineering and Computer Science*. 2024. Vol. 33, № 3. P. 1843–1854. DOI: http://doi.org/10.11591/ijeecs.v33.i3.pp1843-1854

6. Godase, Vaibhav Vilas, Edge AI for Smart Surveillance: Real-time Human Activity Recognition on Low-power Devices. *International Journal of AI and Machine Learning Innovations in Electronics and Communication Technology.* Vol. 1, Issue 1 (January – June) 2025. P. 29–46, URL: https://ssrn.com/abstract=5383804 or http://dx.doi.org/10.2139/ssrn.5383804

7. Husom E. J., Goknil A., Astekin M., Shar L. K., Kåsen A., Sen S., Soylu A. Sustainable llm inference for edge ai: Evaluating quantized llms for energy efficiency, output accuracy, and inference latency. *ACM Transactions on Internet of Things*. Apr 4 2025. https://doi.org/10.48550/arXiv.2504.03360

8. Pareek S., Al-Samalek A. S., Alkhayyat A., Singh S., Singh A., Dasi S. Efficient Vision Transformers for Edge Devices: Pruning and Quantization Approaches. 4th International Conference on Technological Advancements in Computational Sciences (ICTACS). Tashkent, Uzbekistan, 2024. P. 1465–1471. https://doi.org/10.1109/ICTACS62700.2024.10840584

9. Wang, X., Jia, W. Optimizing edge AI: a comprehensive survey on data, model, and system strategies. arXiv preprint arXiv:2501.03265. 2025. URL: https://arxiv.org/abs/2501.03265

Дата надходження статті: 24.11.2025
Дата прийняття статті: 10.12.2025
Опубліковано: 30.12.2025

УДК 629.3:621.313:004.8
DOI https://doi.org/10.32689/maup.it.2025.4.18

Юрій МАСЛОВ
здобувач вищої освіти, технік з мехатроніки та робототехніки,
Департамент інженерії надійності та технічного обслуговування, компанія «Амазон» (США)
***ORCID:** 0009-0009-3060-2575*

Юрій БОРЗУНОВ
здобувач вищої освіти,
старший викладач кафедри автомобільного транспорту та логістики, Інститут цифрових технологій дизайну та транспорту, Національний університет «Одеська політехніка»
***ORCID:** 0009-0006-0583-644X*

АВТОМАТИЗАЦІЯ ПРОЦЕСІВ У ТРАНСПОРТНИХ ЕЛЕКТРОМЕХАНІЧНИХ СИСТЕМАХ НА БАЗІ IOT-ТЕХНОЛОГІЙ

***Анотація. Метою дослідження** є розробка інтегрованого рішення для моніторингу стану та адаптивного керування тяговими електроприводами на основі технологій IoT і периферійного інтелекту з метою підвищення ефективності, надійності та керованості систем електроприводу транспортних засобів.*

***Методологія.** На етапі розгортання створюється сенсорна інфраструктура з режимом глибокого сну та короткими періодами пробудження. Усередині транспортного засобу критично швидкі сигнали передаються шиною CAN із мінімальною затримкою навіть за недоступності високорівневих ECU. Кожен агрегат оснащено бездротовим вузлом на базі мікроконтролера з Wi-Fi, який знімає температуру в ділянках підшипників і обмоток за допомогою точних цифрових датчиків, реєструє вібрації MEMS-акселерометрами та вимірює фазні або шинові струми з ефектом Холла. Для забезпечення достовірності даних застосовується статичне і динамічне калібрування. Телеметрія проходить попередню обробку на борту з фільтрацією та стандартизацією за z-оцінками, а для вібрацій виконується спектральний аналіз для виявлення ознак дефектів підшипників і механічних резонансів. Ключові індикатори формуються локально, а у разі підозрілих подій передаються короткі фрагменти сирих сигналів у хмару через MQTT з буферизацією. Контур швидкості реалізовано PI-регулятором з anti-windup і проєкцією параметрів, а агент підкріплювального навчання типу актор-критик, уточнений у симуляції, оновлює коефіцієнти у межах безпеки. Компактна нейромережа зменшує перерегулювання і згладжує крутний момент, а крайова MPC координує рекуперативне гальмування з локальними обмеженнями. Хмарний рівень агрегує потоки з кількох машин, виконує виявлення аномалій, оцінює залишковий ресурс і планує профілі руху та частки рекуперації на рівні парку.*

***Наукова новизна.** Запропоновано багаторівневу архітектуру інтегрованої системи моніторингу і керування, що поєднує локальну обробку даних на рівні вузлів з периферійним інтелектом, адаптивне регулювання параметрів електропривода з використанням підкріплювального навчання та координацію процесів рекуперації на хмарному рівні. Розроблене рішення забезпечує ефективну взаємодію між сенсорними, обчислювальними та керуючими компонентами без істотного збільшення обчислювальних ресурсів.*

***Висновки.** У результаті експериментальних і польових випробувань досягнуто доставлення понад 97% пакетів на відстані понад 30 м, точність вимірювання температури близько ±0,1 °C, виявлення дисбалансу, дефектів підшипників і перехідних перевантажень струму. Програмно-апаратне моделювання засвідчило скорочення перехідних процесів, інтегральної помилки та підвищення стійкості до параметричних зсувів. У реальних умовах відбиралося до 18% кінетичної енергії, а витрати на сервіс зменшилися на 20–25%, що підтверджує ефективність і практичну придатність запропонованої системи.*

***Ключові слова:** телеметрія, оптимізація, прогнозування, підкріплювальне навчання, рекуперація енергії, алгоритм.*

Yurii MASLOV, Yurii BORZUNOV. AUTOMATION OF PROCESSES IN TRANSPORT ELECTROMECHANICAL SYSTEMS BASED ON IOT TECHNOLOGIES

***Abstract. The purpose** of the study is to develop an integrated solution for monitoring the condition and adaptive control of traction electric drives based on IoT and edge computing technologies in order to improve the efficiency, reliability, and controllability of vehicle electric drive systems.*

***Methodology**. At the deployment stage, a sensor infrastructure with deep sleep mode and short wake-up periods is created. Inside the vehicle, critical high-speed signals are transmitted via a CAN bus with minimal delay, even when high-level ECUs are unavailable. Each unit is equipped with a wireless node based on a microcontroller with Wi-Fi, which measures the temperature in the bearing and winding areas using precise digital sensors, records vibrations with MEMS accelerometers, and measures phase or bus currents with the Hall effect. Static and dynamic calibration is used to ensure data reliability. Telemetry is preprocessed on board with filtering and standardization by z-scores, and spectral analysis is performed for vibrations to detect*

© Ю. Маслов, Ю. Борзунов, 2025

Стаття поширюється на умовах ліцензії CC BY 4.0

signs of bearing defects and mechanical resonances. Key indicators are generated locally, and in case of suspicious events, short fragments of raw signals are transmitted to the cloud via MQTT with buffering. The speed loop is implemented by a PI controller with anti-windup and parameter projection, and an actor-critic reinforcement learning agent, refined in simulation, updates the coefficients within safety limits. A compact neural network reduces overshoot and smoothes torque, while edge MPC coordinates regenerative braking with local constraints. The cloud level aggregates streams from multiple machines, performs anomaly detection, estimates residual resource, and plans motion profiles and recovery shares at the fleet level.

Scientific novelty. *A multi-level architecture of an integrated monitoring and control system is proposed, combining local data processing at the node level with peripheral intelligence, adaptive control of electric drive parameters using reinforcement learning, and coordination of recuperation processes at the cloud level. The developed solution ensures effective interaction between sensor, computing, and control components without a significant increase in computing resources.*

Conclusions. *As a result of experimental and field tests, more than 97% of packets were delivered at a distance of more than 30 m, with a temperature measurement accuracy of about ±0.1 °C, detection of imbalances, bearing defects, and transient current overloads. Software and hardware modeling demonstrated a reduction in transient processes, integral error, and increased resistance to parametric shifts. In real conditions, up to 18% of kinetic energy was recovered, and service costs were reduced by 20–25%, confirming the effectiveness and practical applicability of the proposed system.*

Key words: *telemetry, optimization, prediction, reinforcement learning, energy recovery, algorithm.*

Вступ. Транспортні електромеханічні системи є ключовим елементом сучасної інфраструктури, адже саме вони забезпечують роботу міського та залізничного транспорту, електромобілів і спеціалізованої техніки. Зі зростанням навантажень, вимог до енергоефективності та безпеки виникає потреба у впровадженні інтелектуальних технологій, здатних забезпечити безперервний моніторинг і адаптивне керування. У цьому контексті інтеграція IoT-рішень відкриває можливості для збору та аналізу великих обсягів даних у реальному часі, що дозволяє оптимізувати роботу приводів, знижувати витрати енергії та підвищувати надійність систем. Використання алгоритмів машинного навчання, підкріплювального керування та модельно-прогнозних підходів формує основу для створення адаптивних архітектур керування. У міру поширення таких технологій зростає необхідність у комплексних дослідженнях, які оцінюють їх ефективність, практичну реалізованість та вплив на розвиток транспортних процесів.

Аналіз останніх досліджень і публікацій. У науковому просторі сьогодення представлено значну кількість досліджень, присвячених підвищенню ефективності та надійності міських транспортних систем шляхом інтеграції методів оптимізації руху, прогнозування попиту та впровадження інтелектуальних систем керування. Так, Ю. Лі, Х. Яном, Дж. Ву та ін. співавторами [6] були досліджені моделі дискретно-подієвого моделювання роботи метропоїздів у надзвичайних ситуаціях. Автори запропонували багатоагентний підхід із паралельними обчисленнями, що дає змогу відтворювати складні сценарії, включно з аваріями чи перебоями в інфраструктурі. Модель дозволяє аналізувати вплив збоїв і відхилень на дотримання розкладу, безпеку та завантаженість системи, а також оцінювати стратегії реагування для зменшення затримок і втрат продуктивності. Результати симуляцій підтверджують ефективність застосування мультиагентних систем для відтворення поведінки поїздів та пасажиропотоків у кризових сценаріях, що забезпечує більш реалістичне відображення транспортних процесів порівняно з традиційними методами. Водночас автори відзначають обмеження: залежність від якості початкових даних і потребу у масштабуванні для великих мереж, що вимагає подальшого удосконалення моделей і їхньої перевірки на натурних кейсах.

Х. Сунь, З. Яо, С. Донг, Д. Кларк [14] основну увагу зосереджують на оптимальних стратегіях керування для використання рекуперативної енергії в метропоїздах. Автори пропонують підхід регулювання швидкісного профілю рухомого складу, що дозволяє узгодити енергетичну ефективність із вимогами розкладу та комфорту пасажирів. Виконано моделювання з використанням даних про рух поїздів та системи гальмування; результати показують, що запропонована стратегія дозволяє зменшити втрати енергії та підвищити відсоток її повторного використання порівняно з традиційними схемами керування. Практична значимість роботи полягає у доведеній можливості інтеграції методу у системи реального часу для міських залізниць, де зростання енергоспоживання потребує інноваційних рішень. Разом з тим автори визнають обмеження – залежність від точності прогнозу руху поїздів та необхідність узгодження з інфраструктурними параметрами, що вимагає подальшої апробації на реальних об'єктах.

Х. Ян, Ю. Лі, Х. Го, М. Дін, Дж. Ян [15] проаналізували енергоефективну роботу метропоїздів за допомогою моделі дискретних подій, побудованої на багатоагентній теорії. Автори розробляють підхід, що відтворює взаємодію поїздів, сигналів та інфраструктурних елементів у динаміці, дозволяючи оцінювати вплив різних стратегій керування на споживання енергії. Симуляції показують, що застосування багатоагентного підходу забезпечує більш точне відображення колективної поведінки рухомого складу, зокрема при розподілі тяглових навантажень і використанні рекуперації. Продемонстровано, що

оптимізація руху з урахуванням цих факторів здатна знизити сумарне енергоспоживання без погіршення регулярності перевезень. Автори роблять висновок про значну перспективність такого методу для планування та управління в масштабі міських залізниць, проте наголошують на обмеженнях: висока обчислювальна складність моделі та залежність від достовірності початкових даних, що вимагає подальшої валідації на великих транспортних системах.

Т. Сантанам, А. Трасатті, Ван П. Хентенрик, Х. Чжан [12] зосередились на плануванні та оптимізації роботи громадського транспорту під час проведення спеціальних заходів, коли попит на перевезення різко зростає й суттєво відрізняється від звичайних умов. Автори пропонують метод прогнозування пасажиропотоку з урахуванням часових та просторових особливостей масових подій, поєднуючи його з оптимізаційними алгоритмами складання розкладів руху поїздів. Для перевірки підходу використано емпіричні дані про транспортні потоки, отримані в умовах великих міських заходів, що дало змогу змоделювати ситуації з підвищеним навантаженням на інфраструктуру. Результати показують, що інтеграція прогнозування попиту із динамічним коригуванням розкладу дозволяє зменшити переповненість вагонів і час очікування пасажирів, а також покращити використання рухомого складу. Практична значимість полягає у створенні адаптивного інструменту для міських операторів транспорту, який забезпечує більш ефективне управління ресурсами та підвищує якість обслуговування під час пікових навантажень. Водночас у роботі окреслено обмеження – необхідність доступу до точних даних у реальному часі та залежність від надійності прогнозних моделей, що потребує подальшої апробації у різних містах та за різних сценаріїв подій.

Однак незважаючи на значну кількість наукових досліджень, питання комплексної інтеграції різноманітних процесів у транспортних електромеханічних системах саме на базі IoT-архітектурі потребує подальшого опрацювання.

Постановка завдання. Метою роботи є розроблення комплексної архітектури автоматизованого керування транспортними електроприводами, що поєднує сенсорну інфраструктуру IoT, адаптивні регулятори на основі підкріплювального навчання, нейромережеві коректори та оптимізаційні алгоритми MPC. Завдання дослідження: сформувати концептуальну модель багаторівневої системи (сенсорний, периферійний, аналітичний рівні), визначити протоколи обміну та вимоги до енергоефективності вузлів, описати методи адаптивного налаштування PI-регулятора і нейронних мереж для FOC, розробити предиктивні моделі залишкового ресурсу та процедури планування технічного обслуговування, а також запропонувати метрики оцінювання ефективності інтеграції цих рішень у масштабі транспортної інфраструктури.

Виклад основного матеріалу дослідження. Щоб аналітичний рівень міг отримувати достовірні дані, етап розгортання починається з формування надійної сенсорної інфраструктури, здатної відображати основні експлуатаційні навантаження тягового двигуна. Додатково прошивка пріоритезує енергоавтономність через режим глибокого сну і короткі активні імпульси, що подовжує строк служби батареї та зберігає можливість виявлення аномалій у мобільних умовах.

Усередині транспортного засобу сигнали з часовими вимогами передаються детермінованою шиною CAN, яка надає лише обмежений набір змінних, проте гарантує надійний обмін із низькою затримкою навіть у випадках, коли високорівневі ECU (Electronic Control Unit – Електронний блок керування) недоступні. Саме цей інтерфейс є єдиним, на який периферійний контролер може спиратися для отримання даних про швидкість, положення педалі та параметри двигуна.

Також, кожен тяговий агрегат оснащується компактним бездротовим вузлом на базі мікроконтролера класу ESP8266 з інтегрованим Wi-Fi, який під час роботи знімає мінімально необхідний набір індикаторів стану електропривода. Біля підшипників і обмоток встановлюються високоточні цифрові датчики температури, а MEMS-акселерометри з широкою смугою пропускання фіксують характерні вібраційні патерни. Датчики струму на базі ефекті Холла вимірюють фазні або шинові струми для контролю електромагнітного моменту та виявлення аномальних навантажень.

Коректність показів гарантується двоетапним калібруванням: статичним – для усунення нульових зсувів і вирівнювання масштабів, та динамічним – із використанням контрольованих збурень, що перевіряють відгук сенсорів у робочому діапазоні.

Після отримання сирої телеметрії від сенсорних вузлів, дані проходять багаторівневий конвеєр обробки, який підвищує якість сигналу та готує їх до подальшої аналітики. На першому етапі до каналів температури, струму та вібрації застосовуються цифрові фільтри нижніх і смугових частот, що усувають високочастотні шуми та артефакти накладання спектрів, зберігаючи лише фізично релевантну смугу частот, характерну для динаміки тягового привода. Далі виконується нормалізація даних: кожен канал масштабується до єдиного діапазону амплітуд або перетворюється у z-оцінки, що обчислюються за формулою

ISSN 2786-5460 (Print), ISSN 2786-5479 (Online)

$$z = \frac{x - \mu}{\sigma}, \quad (1)$$

де x – поточне значення сигналу, μ – середнє значення каналу за вибраний період, σ – стандартне відхилення. Така стандартизація дозволяє порівнювати різні канали між собою, а виявлення аномалій відбувається відносно статистично надійних базових рівнів, а не щодо «сирих» даних, схильних до дрейфу в часі чи залежності від температури.

Для аналізу вібрацій використовується швидке перетворення Фур'є, яке переводить сигнал із часової області у спектральну, виявляючи характерні ознаки несправностей, (зокрема частоти дефектів підшипників або піки механічних резонансів, що важко розпізнати лише у часовому представленні). Амплітудний спектр визначається як

$$X(f) = \sum_{t=0}^{T} x(t) e^{-j2\pi ft} \quad (2)$$

де $x(t)$ – відліки сигналу, f – частота, T – тривалість спостереження.

Отримані спектральні ознаки стискаються до ключових індикаторів, зокрема середньоквадратичних значень, пікових частот і гармонік, після чого передаються у хмару для подальшого виявлення аномалій.

Це зменшує обсяг переданих даних, підвищує діагностичну роздільну здатність і забезпечує, отримання моделями предиктивного обслуговування чистих та інформативних ознак, здатних фіксувати відмови на ранніх стадіях. У разі появи ознак потенційної аномалії система додатково передає короткі фрагменти сирого сигналу для поглибленого аналізу у хмарі.

Також на периферійному рівні контури керування двигуном доповнюються модулями на основі машинного навчання [1], які працюють автономно за відсутності підключення до хмари. Контур швидкості керується PI-регулятором, який описується рівнянням

$$u(t) = K_p e(t) + K_i \int_0^t e(t)\,dt \quad (3)$$

де $e(t)$ – похибка швидкості, K_p та K_i – пропорційний і інтегральний коефіцієнти, t – час, а $\int_0^t e(t)\,dt$ – накопичена за час роботи інтегральна похибка.

Таким чином політика дій попередньо уточнюється за алгоритмом DDPG з відкладеними подвійними оновленнями TD3, після чого на борту транспорту, агент підкріплювального навчання типу актор-критик на основі зворотного зв'язку у реальному часі [2] виконує обмежену онлайнову корекцію в безпекових межах на параметри K_p та K_i, що усуває потребу в ручному переналаштуванні під зміни умов і профілю навантаження [8]. Застосовуються anti-windup (AWU) для запобігання насиченню інтегратора в швидкісному PI-контурі та проєкція параметрів у дозволений діапазон. Онлайнова корекція параметрів K_p, K_i агентом RL виконується рідше, ніж цикл FOC (field-oriented control – векторне керування полем), причому самі коефіцієнти мають невід'ємні значення і дотримуються попередньо визначених робочих меж.

У процесі навчання агент взаємодіє з імітаційною моделлю електропривода, коригуючи вихідні коефіцієнти з метою мінімізації функції вартості, яка враховує перерегулювання, статичну похибку статичну похибку та штраф за велику амплітуду й швидкі зміни керуючого сигналу. Протягом кількох епізодів архітектура актор-критик збігається до оптимальних пропорційних та інтегральних параметрів PI-регулятора, що дозволяє забезпечити стійкість системи до змін навантаження й параметричних відхилень без потреби ручного переналаштування. Після етапу навчання агент працює у режимі реального часу на вбудованому контролері [13], безперервно коригуючи коефіцієнти відповідно до змінюваних умов експлуатації.

Адаптація виконується шляхом максимізації функції винагороди

$$R = -\alpha e_{\text{уст}}^2 - \beta \text{OS}^2 - \gamma u^2, \quad (4)$$

де $e_{\text{уст}}$ – усталена похибка швидкості, OS – перерегулювання, u – керуючий вплив, а α, β, γ – вагові коефіцієнти, що визначають компроміс між точністю, швидкодією та енергоспоживанням, і є невід'ємними.

Для підвищення точності векторного керування полем [9; 10] використовується компактна нейронна мережа TinyNN, що виступає коригуючим шаром над PI-регулятором [4] швидкості, зменшуючи перерегулювання більш ніж на 80% і згладжуючи динаміку крутного моменту [0] без збільшення затримки обчислень зовнішнього контуру.

Обидва регулятори спроєктовані таким чином, щоб виконуватися в умовах обмеженої пам'яті та часових ресурсів вбудованих MCU, із використанням квантування та прунінгу (оптимізація ваг мережі шляхом усунення малозначущих зв'язків) для розміщення в кількох кілобайтах флеш-пам'яті при збереженні мілісекундних часів інференсу.

Для підвищення енергоефективності транспорту, PI-регулятор на основі RL інтегрується з блоком Edge-MPC, який у реальному часі обчислює команди моменту привода [11] для рекуперативного гальмування з урахуванням локальних обмежень і прогнозу станів. Така гібридна конфігурація поєднує здатність MPC враховувати обмеження та прогнозувати майбутні стани системи із адаптивним налаштуванням RL-агента, зберігаючи високі показники динамічної якості регулювання. У результаті формується архітектура керування, яка не лише стабілізує траєкторії швидкості та струму, а й забезпечує максимальний відбір енергії у реальних сценаріях руху чи експлуатації рухомого транспорту, узгоджуючи роботу низькорівневих контурів із системними цілями енергетичної оптимізації.

Така периферійна архітектура забезпечує повну працездатність функцій, критичних для безпеки, зокрема обмеження крутного моменту, ініціації рекуперативного гальмування та обробки аварійних режимів, навіть у випадку відмови мережевого рівня, що дозволяє зберігати безперервність сервісу й захищати обладнання від перевантажень.

Зібрані дані формуються у повідомлення JSON і передаються до хмари через MQTT-брокер у Node-RED для потокового приймання та запуску автоматизованих сповіщень у разі виявлення відхилень у реальному часі. За потреби підтримується також надсилання на HTTP / JSON endpoint. У залізничних і дорожніх сценаріях такий вузол виступає першим переходом у IoT-ланцюжку, транспортуючи телеметрію до сервісів оптимізації графіків і технічного обслуговування та інтегруючи вимірювання з операційними рішеннями через стандартизовані потоки повідомлень [3]. За відсутності зв'язку дані буферизуються і передаються після відновлення підключення, щоб зберегти цілісність часової шкали стану для подальшої аналітики та сортування завдань технічного обслуговування.

Сформований базовий профіль експлуатації стає відправною точкою для хмарних алгоритмів виявлення аномалій, дозволяючи їм розрізняти справжні відхилення від випадкових шумів. Спираючись на нього, аналітичний рівень виконує агрегування телеметричних потоків від кількох транспортних засобів і трансформує їх у практично застосовні результати аналізу за допомогою масштабованих хмарних обчислень. Дані часових рядів із датчиків температури, вібрації та струму безперервно фільтруються, нормалізуються й подаються до конвеєрів виявлення аномалій, які фіксують ранні ознаки зносу підшипників, перегрівання чи електричної розбалансованості.

На основі цих показників формуються предиктивні моделі, що оцінюють залишковий ресурс тягових вузлів і планують технічне обслуговування безпосередньо перед настанням критичної деградації, мінімізуючи ризик незапланованих простоїв, за допомогою стандартної моделі Вейбулла

$$R(t) = e^{-\left(\frac{t}{\eta}\right)^{\beta}} \tag{5}$$

де η – параметр масштабу, β – параметр форми, що визначають імовірність відмови у часі, або з використанням ML-підходів (градієнтний бустинг, рекурентні нейромережі) для прогнозування моменту відмови на основі історичних часових рядів.

На цьому же рівні працює оптимізатор на базі модельно-прогнозного керування Fleet-MPC, який на основі агрегованих даних усього парку планує опорні профілі швидкості та уповільнення і цільові частки рекуперації енергії [7] (з дотриманням підтверджених експериментально вимог комфорту й безпеки) розв'язуючи оптимізаційну задачу мінімізації функціоналу

$$J = \sum_{k=0}^{N} \left(-w_1 P_{\text{regen}}(k) + w_2 P_{\text{fric}}(k) \right) \tag{6}$$

де $P_{\text{regen}}(k)$ – миттєва відновлена потужність, $P_{\text{fric}}(k)$ – частка фрикційного гальмування, а w_1, w_2 – вагові коефіцієнти, що визначають баланс між максимальною рекуперацією та вимогами комфорту. Мінімізація виконується з урахуванням обмежень на гальмівний момент, уповільнення та рівня заряду акумулятора.

Координація між усіма рівнями архітектури реалізується через набір API, що забезпечують узгоджений обмін даними та оперативне передавання керуючих команд. Сенсорні вузли передають телеметрію з часовими мітками у повідомленнях JSON через MQTT.

Периферійний контролер виконує первинну валідацію і за перевищення порогів негайно застосовує локальні дії, наприклад обмеження крутного моменту. Той самий потік надходить у хмару, де дані збагачуються історією, проходять виявлення аномалій і формують прогнозні сповіщення щодо обслуговування.

Результати обробки повертаються на периферійний рівень захищеними каналами MQTT, затримка залишається низькою навіть за обмеженої пропускної здатності. Для відмовостійкості контролер кешує останні валідні команди і виконує їх автономно під час розриву зв'язку, після відновлення синхронізує свій стан із хмарою. Такий двоспрямований контур поєднує локальне керування в реальному часі та глобальну оптимізацію графіків і енергоменеджмент на рівні всього парку.

Реалізований прототип IoT-системи стабільно працював у лабораторних і напівнатурних умовах на транспортному засобі. Точність вимірювання температури становила ~±0,1 °C у всьому робочому діапазоні тягового двигуна. Канал вібрації реєстрував індукований дисбаланс і діагностичні ознаки дефектів підшипників. Датчик струму фіксував усталені режими навантаження та перехідні перевантаження, пов'язані зі стрибками крутного моменту.

У наскрізних випробуваннях зв'язку понад 97% телеметричних пакетів було доставлено на відстані понад 30 м від точки доступу. Завдяки енергоефективній архітектурі з циклами глибокого сну вузол зберігав працездатність упродовж кількох тижнів від одного заряду батареї, що робить його придатним для безперервного моніторингу електротранспорту. У свою чергу передавання даних у реальному часі на панель Node-RED забезпечувало оперативну візуалізацію несправностей і автоматизовані сповіщення під час перевищення порогів.

Інтеграція IoT-сенсорики, периферійної адаптації керування та хмарної оптимізації в єдину архітектуру надала відчутні переваги на рівні всього парку. Планування технічного обслуговування за даними реального часу знизило витрати на сервіс на 20–25%, запобігало відмовам і узгоджувало інтервали обслуговування з фактичним зношуванням компонентів. Скоротилися частота неочікуваних відмов і простоїв, що підвищило доступність і пропускну здатність автомобільних і залізничних систем. Показники безпеки поліпшилися завдяки ранньому виявленню перегрівання, надмірних вібрацій і аномалій струму, що зменшило ризик відмов під час руху. Додатково стабілізація часу стоянок і оптимізація енергоспоживання, досягнуті завдяки IoT-орієнтованому плануванню, сприяли більш плавній роботі транспортної системи.

Моделювання та експерименти у режимі програмно-апаратного моделювання показали, що PI-регулятор, налаштований підкріплювальним навчанням, послідовно перевершує класичний варіант у номінальних і в умовах відхилень і перешкод: за стрибкоподібних змін еталонної швидкості час перехідного процесу скорочується й задане значення досягається без індукції коливань, а інтеграл модуля похибки по всій траєкторії відгуку зменшується. Регулятор зберігає відмовостійкість до дрейфу параметрів, підтримуючи стабільну роботу за умов штучної зміни опору та індуктивності двигуна (імітація підвищення температури та старіння компонентів).

Стабілізуючий ефект був найбільш виразним під час збурень моменту навантаження: скоригований контур утримував швидкість ротора в межах вузького відхилення та швидко пригнічував перешкоди без виникнення сталих коливань.

У натурних випробуваннях це забезпечило відбір до 18% кінетичної енергії (яка інакше розсіювалася б як тепло), збільшення запасу ходу та зменшення сумарного енергоспоживання. Контролер працював у режимі реального часу на мікроконтролерному блоці керування транспортним засобом і зберігав ефективність рекуперації за зміни ухилу дороги та маси транспортного засобу, не погіршуючи гальмівний шлях і стійкість руху, що підтверджує доцільність бортового впровадження MPC на периферійному рівні як механізму гармонізації важливих з точки зору безпеки функцій гальмування із системними цілями енергетичної оптимізації.

Висновки. У роботі узагальнено цілісну архітектуру, що об'єднує енергоощадну сенсорну інфраструктуру, периферійні контури керування та хмарну аналітику у єдиний цикл спостереження, діагностики і впливу. Сенсорні вузли на базі мікроконтролерів із Wi-Fi збирають мінімально необхідні показники температури в зоні підшипників і обмоток вібрації та струмів. Двоетапне калібрування підвищує достовірність, локальна фільтрація і стандартизація стабілізують канали, а спектральні ознаки від вібрацій формуються на борту для зменшення трафіку. Передавання телеметрії відбувається через MQTT у форматі JSON із можливістю буферизації, що зберігає цілісність часової шкали навіть за розривів зв'язку. Критично швидкі сигнали на борту транспорту проходять шиною CAN, що гарантує малу затримку і надійність. Периферійне керування поєднує PI регулятор із anti-windup та проєкцією параметрів і агент підкріплювального навчання актор критик, який у межах безпекових обмежень коригує коефіцієнти рідше за цикл векторного керування. Компактна нейромережа виконує роль коректора динаміки, зменшує перерегулювання і згладжує крутний момент без істотних витрат ресурсів. Для енергетичної ефективності крайова MPC координує рекуперацію на рівні привода, а хмарний рівень агрегує дані від багатьох машин, виконує виявлення аномалій, оцінює залишковий ресурс і планує профілі руху та частки рекуперації на рівні парку. Результати прототипування і випробувань програмно-апаратного моделювання підтвердили практичну доцільність підходу. Забезпечено доставлення понад 97% пакетів на дистанції понад 30 м, досягнуто вимірювальної точності температури близько ~±0,1 °C, стабільно реєструються сигнатури дисбалансу та дефектів підшипників і перехідні перевантаження струму. У натурних сценаріях відбиралося до 18% без погіршення гальмівної динаміки, а на рівні експлуатації знижено витрати на сервіс орієнтовно на 20–25% та підвищено доступність і безпеку.

Подальший розвиток доцільно зосередити на розширенні бібліотеки індикаторів стану, уніфікації інтерфейсів із телематикою, валідації моделей залишкового ресурсу на розширених датасетах і поглибленій інтеграції Edge MPC та Fleet MPC для складних графіків руху. Представлена композиція довела здатність поєднати робастність локального керування з масштабованою хмарною оптимізацією і може бути розгорнута у парках рухомого транспорту з різними профілями навантажень.

Список використаних джерел:

1. Abadade Y., Temouden A., Bamoumen H., Benamar N., Chtouki Y., Senhaji A. Hafid A comprehensive survey on TinyML. *IEEE Access*. 2023. Vol. 11. P. 96892–96922. DOI: 10.1109/ACCESS.2023.3294111

2. Alejandro-Sanjines U., Maisincho-Jivaja A., Asanza V., Lorente-Leyva L. L., Peluffo-Ordóñez D. H. Adaptive P. Controller I. Based on a Reinforcement Learning Algorithm for Speed Control of a DC Motor. *Biomimetics*. 2023. Vol. 8. No. 5. Art. 434. DOI: 10.3390/biomimetics8050434

3. Farshad H. An analytical framework for optimizing urban rail schedules with energy recovery and sensor integration. *Decision Analytics Journal*, 2025. Vol. 9. Article 100325. DOI: 10.1016/j.dajour.2025.100623

4. Kongchoo N., Santiprapan P., Jindapetch N. A mathematical model and PI controller design based on indirect vector control for permanent magnet synchronous motor. *ECTI Transactions on Computer and Information Technology (ECTI-CIT)*. 2022. Vol. 16. No. 3. P. 259–266. DOI: 10.37936/ecti-cit.2022163.245351.

5. Kuvalekar S. A., Mohanrajan S. R. PMSM torque ripple reduction in electric vehicle using neural network. *2021 IEEE International Power and Renewable Energy Conference (IPRECON)*, 2021. P. 1–6. DOI: 10.1109/IPRECON52453.2021.9641002

6. Li Y., Yang X., Wu J., Sun H., Guo X., Zhou L. Discrete-event simulations for metro train operation under emergencies: A multi-agent-based model with parallel computing. *Physica A., Statistical Mechanics and its Applications*. 2021. Vol. 573. Article 125964. DOI: 10.1016/j.physa.2021.125964

7. Mariani V., Rizzo G., Tiano F. A., Glielmo L. A Model Predictive Control Scheme for Regenerative Braking in Vehicles with Hybridized Architectures via Aftermarket Kits. *Control Engineering Practice*. 2022, Vol. 123. Article 105142. DOI: 10.1016/j.conengprac.2022.105142

8. Mouk M. Elele J., Pau D., Zhuang S., Facchinetti T. Enhancing Field-Oriented Control of Electric Drives with Tiny Neural Network Optimized for Micro-controllers. *arXiv preprint* arXiv:2502.00532. 2025. DOI: 10.48550/arXiv.2502.0053

9. Nustes J. C., Pau D. P., Gruosso G. Field oriented control dataset of a 3-phase permanent magnet synchronous motor. *Data in Brief*. 2023. Vol. 47: 109002. DOI: 10.1016/j.dib.2023.109002

10. Nustes J. C., Pau D. P., Gruosso G. Modelling the field oriented control applied to a 3-phase permanent magnet synchronous motor. *Software Impacts*. 2023. Vol. 15. 100479. DOI: 10.1016/j.simpa.2023.100479

11. Osekar P., Kalligudd S., Angadi S., Raju A. B. Field oriented control of surface-mount PMSM using model predictive current control. *2022 IEEE North Karnataka Subsection Flagship International Conference (NKCon)*, 2022. p. 1–5. DOI: 10.1109/NKCon56045.2022.10038448

12. Santanam T., Trasatti A., Van P. Hentenryck, Zhang H. Public transit for special events: Ridership prediction and train scheduling. *IEEE Transactions on Intelligent Transportation Systems*. 2024. Vol. 25. No. 8. P. 8387–8403. DOI: 10.48550/arXiv.2106.05359

13. Shafique M., Theocharides T., Janapa V. Reddy, Murmann B. TinyML: Current progress, research challenges, and future roadmap. *Proceedings of the 58th ACM/IEEE Design Automation Conference (DAC)*, 2021. P. 1303–1306. DOI: 10.1109/DAC18074.2021.9586290

14. Sun X., Yao Z., Dong C., Clarke D. Optimal control strategies for metro trains to use the regenerative braking energy: A speed profile adjustment approach. *IEEE Transactions on Intelligent Transportation Systems*. 2023. Vol. 24. No. 6. P. 5883–5894. DOI: 10.1109/TITS.2023.3248653

15. Yang X., Li Y., Guo X., Ding M., Yang J. Simulation of energy-efficient operation for metro trains: A discrete event-driven method based on multi-agent theory. *Physica A., Statistical Mechanics and its Applications*. 2023. Vol. 609. Article 128325. DOI: 10.1016/j.physa.2022.128325

Дата надходження статті: 03.11.2025
Дата прийняття статті: 10.12.2025
Опубліковано: 30.12.2025

UDC 005.93/.94
DOI https://doi.org/10.32689/maup.it.2025.4.19

Valerii MYKHAILOV
Postgraduate Student in Speciality 122 Computer Science, O.M. Beketov National University of Urban Economy in Kharkiv, Mykhaylov.valery@gmail.com
ORCID: *0009-0001-5676-4419*

AN OVERVIEW OF THE CURRENT STATE AND FUTURE PROSPECTS OF RESPIRATORY GAS SUPPLY MANAGEMENT SYSTEMS

Abstract. The aim *of the article is to investigate the state and the directions of the development of supply management systems for respiratory gas mixtures that contain oxygen, nitrogen, helium and other gases in varying proportions. This topic is of particular importance at present, given the substantial demand for such systems in hospitals to support patients' vital functions, in aviation, the space sector, during emergency response, and in industrial processes that employ specialised gas mixtures.*

The problem of developing respiratory gas supply management systems came to the fore during COVID-19 pandemic and, amid the current period of Russian military aggression, remains salient. Accordingly, the article highlights issues related to supply logistics in emergencies, when demand for respiratory gas mixtures surges abruptly. It considers opportunities for the design of modular and portable systems that can be rapidly deployed in field conditions.

Respiratory gas supply management systems are undergoing active development in response to growing requirements for safety, efficiency and environmental sustainability, integrating cutting-edge technologies and innovative approaches. Contemporary development trends include the implementation of the Internet of Things (IoT), artificial intelligence (AI), and big data analytics to optimise gas-flow management, anticipate consumption needs, and prevent emergency situations. For example, IoT sensors enable real-time monitoring of pressure, temperature and mixture composition, whereas AI algorithms can predict demand on the basis of operational data.

There are challenges associated with the design and operation of such systems, notably ensuring high-precision dosing, compliance with international standards (ISO, FDA), and reducing energy consumption and the carbon footprint.

An important direction is the development of closed-cycle systems that enable gas reclamation and reuse, thereby reducing costs and supporting environmental sustainability.

Methodology. *To provide a structured analysis of development pathways, assess the current state and outline prospects, the article employs a systems approach to analyse logistics strategies for ensuring timely delivery of oxygen mixtures to hospitals during peak loads. It underpins the need for an interdisciplinary approach involving experts in engineering, medicine, information technology and environmental science; and the importance of international collaboration for knowledge exchange and harmonisation of standards. To assess the current state and define the prospects for respiratory gas supply management systems, we apply a systematic literature review across PubMed, Scopus, Web of Science and Google Scholar over the last five years, covering topics such as open-loop vs closed-loop, gas delivery automation, digital health, and environmental/economic efficiency.*

The scientific novelty. *The article develops and information-logical model of an intelligent system for monitoring and automated control of gas-mixture delivery using digital twins, the adopting of which contributes to improving the quality of healthcare service delivery.*

Conclusion. *In our view, further progress in the development of the respiratory gas supply management systems will depend on the capacity to integrate advanced technologies while ensuring the reliability, accessibility and sustainable development of respiratory gas supply systems on a global scale.*

Key words: *respiratory gas mixture, supply management systems, model, information technology, monitoring, digital twins.*

Валерій МИХАЙЛОВ. ОГЛЯД ПОТОЧНОГО СТАНУ ТА ПЕРСПЕКТИВ СИСТЕМ УПРАВЛІННЯ ПОСТАЧАННЯМ ДИХАЛЬНИХ СУМІШЕЙ

Анотація. Метою статті *є дослідження стану та напрямів розвитку систем управління постачанням дихальних сумішей, що містять кисень, азот, гелій та інші гази в різних пропорціях. Ця проблематика є важливою, особливо зараз, коли існує велика потреба у таких системах в лікарнях для підтримки життєдіяльності пацієнтів, в авіації, космічній галузі, під час ліквідації надзвичайних ситуацій та у промислових процесах, де використовуються спеціалізовані газові суміші.*

Проблема розвитку систем управління постачанням дихальних сумішей актуалізувалась під час пандемії COVID-19, і зараз у період військової агресії росії не втратила свого значення. У зв'язку з чим, у статті висвітлюються проблеми, пов'язані з логістикою постачання в умовах надзвичайних ситуацій, коли попит на дихальні суміші різко зростає. Розглядаються можливості створення модульних та портативних систем, які можна швидко розгортати в польових умовах

Системи управління постачанням дихальних сумішей зазнають активного розвитку, що пов'язано зі зростаючими вимогами до безпеки, ефективності та екологічності, інтегруючи новітні технології та інноваційні підходи. У якості сучасних тенденцій розвитку таких систем можна виділити впровадження Інтернету речей, штучно-

© V. Mykhailov, 2025

Стаття поширюється на умовах ліцензії CC BY 4.0

го інтелекту та технологій великих даних для оптимізації управління потоками газів, прогнозування потреб та запобігання аварійним ситуаціям. Так, наприклад, IoT-датчики дозволяють у реальному часі відстежувати тиск, температуру та склад сумішей, а алгоритми штучного інтелекту здатні прогнозувати попит на основі даних про споживання.

Існують виклики, пов'язані з розробкою та експлуатацією систем, зокрема, з забезпеченням високої точності дозування, відповідністю міжнародним стандартам (ISO, FDA), зниженням енергоспоживання та вуглецевого сліду.

Важливим напрямом є розробка систем із замкненим циклом, які дозволяють переробляти та повторно використовувати гази, сприяючи зниженню витрат та екологічному збереженню.

***Методологія.** У статті для забезпечення структурованого аналізу напрямів розвитку систем, оцінки їх сучасного стану та визначення перспектив розвитку використовуються системний підхід для аналізу логістичних стратегій для забезпечення оперативного постачання кисневих сумішей до лікарень під час пікових навантажень. Підкреслюється необхідність міждисциплінарного підходу до розвитку систем управління постачанням дихальних сумішей із залученням фахівців інженерії, медицини, інформаційних технологій та екології; важливість міжнародної співпраці для обміну досвідом та гармонізації стандартів. Для аналізу сучасного стану та визначення перспектив розвитку систем управління дихальними сумішами використовуємо систематичний огляд літератури, що міститься у базах PubMed, Scopus, Web of Science, Google Scholar за останні 5 років за тематикою open-loop vs closed-loop системи, автоматика у подачі газів, digital health, екологічна / економічна ефективність.*

***Наукова новизна.** В статті розроблена інфологічна модель інтелектуальної системи моніторингу та автоматизованого управління подачі газових сумішей з використанням цифрових двійників, використання якої сприяє підвищенню якості надання медичних послуг.*

***Висновки.** Подальший прогрес у сфері розвитку систем управління постачанням дихальних сумішей, на нашу думку, залежить від здатності інтегрувати передові технології із забезпеченням надійності, доступності та сталого розвитку систем постачання дихальних сумішей у глобальному масштабі.*

***Ключові слова:** дихальна суміш, системи управління постачанням, модель, інформаційні технології, моніторинг, цифрові двійники.*

Introduction. The COVID-19 pandemic and Russia's military aggression have foregrounded the development of respiratory gas supply management systems as a highly pressing issue. There is demand for such systems in hospitals to support patients' vital functions, in rescue operations, in a space sector, during emergency response, and in industrial processes that utilise specialised gas mixtures. These systems are responsible for precise dosing, mixing, purification and delivery of gas mixtures to ensure human life support in constrained or controlled environments.

Current state of such systems is characterised by challenges related to technological constraints, integration complexity, and the need to adapt to new requirements for safety, energy efficiency and environmental performance. The principal problem is to ensure stable, precise and safe delivery of gas mixtures under real-life conditions marked by dynamic external changes, individual user needs and stringent reliability demands. Systems must guarantee stable supply with specified parameters of composition, pressure, temperature and humidity in real time, integrate with automated monitoring of human condition (e.g., heart-rate sensors, blood oxygen level) for adaptive control, and minimise energy consumption and environmental impact (particularly for portable or autonomous systems). In addition, they must comply with codified safety standards, considering risks related to gas leaks, pressure fluctuations, equipment failures and diverse operating conditions – from resuscitation units to extreme environments that require rapid response to non-standard situations.

Respiratory gas supply management systems are a key component of modern anaesthesiology, intensive care and surgery. The reliability and accuracy of delivering oxygen, nitrous oxide, volatile agents and other gases directly affect anaesthesia outcomes, patient safety, reduction of side effects and overall treatment efficiency.

Precise dosing is essential to avoid hypoxia, hyperoxia or insufficient anaesthetic depth – an issue that becomes more significant with the grows of minimally invasive and ambulatory procedures.

However, traditional approaches, specifically open-loop systems such as Target-Controlled Infusion (TCI)), while simple to implement, they are often fail to react to rapid physiological changes, leading to potential dosing errors in critical and unstable settings [17, 6]. In response, closed-loop systems have emerged that automatically adjust anaesthetic delivery based on indicators such as BIS or PSI, maintaining the desired level of anaesthesia without direct anaesthetist intervention [17].

For example, the End-tidal Control system (a software solution by GE HealthCare), positively evaluated in the MASTER trial (published in 2024), automatically regulates oxygen and volatile agent concentrations, markedly reducing the need for manual adjustments and contributing to agent savings and lower greenhouse-gas emissions [4]. Research on the Mindray A9 platform likewise showed that automated fresh-gas control reaches the target concentration faster and requires substantially fewer manual interventions [14]. Despite these prospects, barriers remain – complex physiological modelling, high cost, and rigorous certification and regulatory approval that slow widespread clinical adoption of automated systems [17].

The aim of this article is to provide a comprehensive review of the current state of respiratory gas management, from traditional open-loop systems to modern closed-loop solutions and automated platforms – covering technological aspects (e.g., gas-delivery mechanisms, automation, sensors), clinical efficacy and safety, as well as environmental and economic feasibility. We seek to identify key trends and pain points, and define promising directions – AI integration, digital analytics, eco-oriented solutions and the potential for full automation of anaesthesia.

Problem statement. Respiratory gas supply management systems play a key role in ensuring the efficient functioning of modern healthcare facilities, remaining a critically important component of contemporary anaesthesiology, intensive care, and surgery.

In traditional open-loop systems such as Target-Controlled Infusion (TCI), the regulation of anaesthetic delivery is based on a priori pharmacokinetic models and does not respond to real-time physiological changes in the patient, thereby limiting accuracy and safety under unstable clinical conditions [17].

By contrast, modern closed-loop systems and automated platforms demonstrate the potential to enhance control precision, optimise the consumption of oxygen and anaesthetic agents, and reduce risks associated with the human factor. However, issues of clinical acceptability, cost, and regulatory support remain unresolved.

At the same time, several problems persist. In particular, notably the insufficient integration of intelligent control and predictive algorithms; limited implementation of real-time sensor technologies; the lack of comprehensive studies assessing the clinical efficacy and safety of advanced automated systems; environmental changes related to anaesthetic gas emissions and equipment energy consumption; and economic barriers hindering the adoption of advanced technologies in hospitals of different levels. These factors underscore the need for a comprehensive analysis of the current state and development prospects of respiratory gas supply management systems to identify promising directions for their improvement [17, 13].

Clinical trials confirm the advantages of automated systems. For instance, in a randomised study of thoracic surgery, the CLADS system reduced propofol consumption and eliminated the need for frequent manual adjustments [12]. Although closed-loop systems such as CLADS demonstrate clinical benefits, their widespread implementation remains constrained by technological, economic, and regulatory barriers [17].

Challenges also resist in the domains of environmental sustainability (reducing anaesthetic consumption, as many gases are greenhouse gases), economic efficiency, and the use of machine learning and predictive analytics in respiratory gas management.

By integrating data from clinical trials, systematic reviews, and technical innovations, it is possible to form a clear understanding of the current state, existing problems, and promising directions of development, including artificial intelligence (AI), digital analytics, ecological sustainability, and full automation.

Artificial intelligence enables adaptive control of oxygen and anaesthetic dosing by analysing sensor data in real time. Through machine learning algorithms, systems can predict patient gas requirements, automatically select optimal ventilation parameters, reduce the risk of hypoxia or anaesthetic overdose, and lessen the workload on clinicians. Consequently, AI-based closed-loop platforms are already being successfully tested in clinical settings to automate anaesthesia delivery.

Digital analytics is used for processing and analysing large volumes of data from gas sensors, patient monitors, and mechanical ventilation devices. The use of digital analytics allows systems to identify gas-consumption patterns, optimise logistics and supply, and generate predictive models of patient condition or therapy effectiveness. For example, such systems can automatically generate oxygen consumption reports, evaluate adherence to clinical protocols and suggest optimal treatment strategies to clinicians.

Modern development trends prioritise not only efficiency but also environmental safety. The use of medical gases, particularly anaesthetics such as sevoflurane or desflurane, contributes to greenhouse-gas emissions. Environmentally sustainable solutions include gas-mixture recirculation systems, AI-based dosing optimisation to minimise consumption, replacement of harmful gases with safer analogues, and continuous monitoring to reduce hospitals' carbon footprints.

A promising direction involves the creation of intelligent platforms capable of autonomously managing all aspects of respiratory gas delivery, from real-time control of gas concentrations to automated ventilation adjustments and recommendation generation for medical staff. Such automation can significantly reduce human error, lower costs, and make management systems more resilient and reliable.

In most operating theatres and intensive care units, manual adjustment of fresh gas / vaporisers or TCI for intravenous anaesthesia still predominates. These open-loop approaches are highly sensitive to the human factor and fail to account for rapid physiological changes in patients. By contrast, automated and closed-loop systems (e.g. McSleep®, CLADS, iControl-RP) have already demonstrated more accurate maintenance of target anaesthetic parameters and reduced anaesthetic workload, though they continue to face challenges related to sensor/model integration and regulatory compliance [17].

Systematic reviews and meta-analysis of recent years consistently show that automated oxygen titration reduces the need for manual corrections compared with traditional management.

Secondary infrastructure (oxygen, medical air, N_2O, $CO_{2,}$ vacuum) is regulated by international standards such as ISO 7396-1, which establishes requirements for system design, testing, and commissioning [7]. Recent analytical publications highlight common risks (pressure fluctuations, contamination, and maintenance issues) as well as the importance of third-party audits and digital monitoring to prevent incidents and downtime.

The development of respiratory gas supply management systems encompasses both technological and systemic aspects. The technological aspects relate to the development of new materials, sensors, and control algorithms, whereas the systemic aspects focus on architecture optimization, cybersecurity enhancement, and the creation of universal standards and protocols for respiratory gas management systems.

Scientific relevance of the problem lies in the need to develop new control methods and management algorithms that take into account the complex nature of gas mixtures, their interaction with the human body, and the influence of the external factors such as pressure, temperature, and chemical composition of the environment. Existing systems often face limitations associated with insufficient adaptability, high energy consumption, and the complexity of integration with modern information technologies such as artificial intelligence (AI) or the Internet of Things (IoT).

Practical significance of the problem is determined by the growing demand for automated and intelligent control systems capable of minimizing the human factor, enhancing safety, and optimizing resource use. For example, in the medical field, the improvement of respiratory gas supply systems can substantially increase the efficiency of resuscitation measures and therapy, while in industrial or extreme environments it can ensure operational reliability in critical situations.

Analysis of recent research and publications. Modern studies of respiratory gas supply management systems demonstrate active integration of Internet of Things (IoT) technologies, artificial intelligence (AI), and machine learning (ML) to improve the efficiency, saety, and reliability of such systems.

One of the focal areas involves the implementation of intelligent monitoring and automated control systems that enable real-time tracking of oxygen and other gas-supply parameters, early detection of emergency conditions, and stable equipment operation. The use of sensor networks, AI algorithms, IoT technologies, and digital twins allows precise forecasting of gas consumption and optimisation of resource distribution.

The use of digital twin technology in gas and respiratory systems combines real-time data analytics with advanced modelling capabilities, crating virtual replicas of physical gas-distribution systems. Their application opens new possibilities for testing various operating models of equipment without risk to patients or personnel, facilitating the rapid implementation of innovations into clinical practice. In chronic respiratory medicine, digital twins allow visualisation of patients' breathing functions, supporting therapy personalisation, early diagnosis, and adaptation of treatment approaches to individual needs [5].

A digital twin is a virtual model of physical system, designed to accurately represent the real system in real time, analyse the behaviour, and provide predictive insights through advanced modelling, machine learning, and reasoning for decision-making [10]. In healthcare, a digital twin is a virtual representation of a human being that enables dynamic modelling of potential treatment strategies, monitoring and prediction of health trajectories, and early intervention and prevention based on multiscale modelling of multimodal data related to clinical, molecular, environmental, and social factors. IoT sensors are used to transmit real parameters of the object to a server, where they are processed by a specialised software, and potential situations are simulated using the IT infrastructure.

Continuous communication and information exchange between the physical and virtual worlds make it possible to optimise modelling and machine learning algorithms for analysing and prediction of the real system's future state, thereby optimising performance and accelerating decision-making.

Publications pay considerable attention to energy efficiency and improving the economic performance of respiratory gas supply management systems. Researches explore adaptive controllers, intelligent valves, and diagnostic systems that reduce losses and ensure optimal use of respiratory gas mixtures. Another important topic is standardisation, the integration of digital twins into gas-safety systems, and the development of integrated solutions that meet both medical and industrial requirements [15].

Recently, computer modelling and AI algorithms have been widely applied in disease modelling, target identification, virtual coaching systems, and personalised medicine. The differences and specificities between various virtual models are particularly important in terms of data sources, applications, interactions, and visualisation methods. For instance, virtual models of specific organs are designed using detailed imaging data, while disease models that support precision medicine rely on combining molecular profiling and clinical information.

ISSN 2786-5460 (Print), ISSN 2786-5479 (Online)

The article *"Recent advances in medical gas sensing with artificial intelligence – enabled technology"* [3] discusses the use of self-powered sensors, which, owing to energy efficiency and autonomy, enable continuous monitoring of respiratory gas parameters in real time. Integration of artificial intelligence and machine learning into these sensors ensures accurate anomaly detection and timely response to changes in patients' physical conditions.

Medical gases, including oxygen, nitrous oxide, and carbon dioxide, are essential to a wide range of medical treatments, from respiratory therapy to anaesthesia and diagnostics. However, when misused or overexposed, these gases pose health risks. Oxygen is critical for patients with critically low blood oxygen levels. Nitrous oxide, commonly used in dentistry and surgery, serves as an anaesthetic and analgesic. Carbon dioxide is used in minimally invasive procedures to expand body cavities for improved visualisation. Helium mixed with oxygen helps reduce airflow resistance in patients with breathing difficulties. Medical air facilitates respiration without causing hypoxia, and nitrogen is used to power medical devices or preserve biological samples through freezing.

Despite their benefits, strict adherence to proper handling and dosing protocols for medical gases is crucial, as violation pose health risks. Exposure to nitrous oxide may cause neurological and cognitive disorders; cardiovascular diseases and worsening of ischaemic heart disease may be linked to air pollution and particulate matter [19]; some gases, especially those introducing toxic elements such as heavy metals, can promote inflammation and carcinogenesis [1]. Medical gases can affect digestion, contributing to gastrointestinal disorders [9, 11], kidney function, and foetal development during pregnancy [18].

Health risks associated with exposure to medical gases require rigorous risk-management protocols to safeguard patient care and environmental safety, as well as the use of modern monitoring systems for real-time gas concentration management and detection using sensors. Accurate measurement of medical gases is vital in healthcare to prevent gas-related pathologies and ensure the safety of patients and staff.

Medical gas sensors play a key role in monitoring specific biomarkers, in particular, volatile organic compounds (VOCs) in the human body that may indicate various diseases. Today, sensor capabilities are being expanded through AI integration, particularly by applying advanced data processing and pattern recognition. With improved algorithms, artificial intelligence allows sensors to rapidly and accurately analyse large volumes of data, detecting subtle variations that may signal latent health issues.

Recent advances in nanostructured materials and polymers have significantly enhanced medical gas-sensing technologies, improving sensitivity and selectivity. Researches increasingly employ nanomaterials such as nanowires, nanorods, and carbon nanostructures due to their high surface-area-to-volume ratios, promoting better gas adsorption and detection. Nanomaterials exhibit unique electrical, thermal, and optical properties that can be precisely tuned for specific gas-sensing applications [16]. Integration of conductive polymers with nanostructures has proven effective, as such composites can enhance the overall performance of gas sensors by improving response time and stability under diverse environmental conditions [2].

Kharkiv researchers V.O. Harin, D.A. Tkachenko, O.V. Shypul, S.O. Zaklinskyi, O.V. Tryfonov, and S.I. Plankovskyi, in their study *"Development of a Digital Twin for Gas Mixture Tank Filling"*, described the design of a digital twin for the process of cylinder filling with gas mixtures using simulation (ANSYS Fluent, ANSYS Twin Builder) to produce temperature-pressure parameters and ensure precise dosing. They developed examples of digital twins of gas-mixture filling systems using standard elements from the Twin Builder and Modelica libraries [21].

For the safety of airspaces during pandemic, researchers T.I. Zohdi, in the study *"A Digital Twin and Machine Learning Frameworks for Ventilation System Optimisation for Capturing Infectious Disease Respiratory Emissions"*, proposed a framework model that combines digital twin technology and machine learning algorithms. This framework allows the optimal positioning of ventilation devices to capture aerosols such as droplets produced by coughing or sneezing, using rapidly computable models for respiratory emissions [20].

The use of digital twins and ARIMA models made it possible to achieve the highest forecasting accuracy (MAPE, RMSE, R^2), improving maintenance efficiency and gas-supply safety [8].

Main Research materials. Despite the rapid progress in applying artificial intelligence (AI) to medical gas analysis, there remains a significant gap in comprehensive literature reviews that systematically explore this intersection. Current studies are largely focused on the technical aspects of gas sensing and artificial intelligence separately, rather than on their combined application in healthcare settings. This lack of an integrative overview creates an obstacle to understanding the full potential and the challenges of AI integration into medical gas monitoring systems.

The implementation of AI technologies in medical-gas measurement, the enhancement of traditional sensors through advanced data processing and pattern recognition, expands the possibilities for real-time monitoring. Artificial intelligence has improved the ability to detect hazardous gas levels, while advances

in nanotechnology have led to the development of cutting-edge materials, such as metal oxides and carbon-based nanomaterials, that increase sensitivity and selectivity. These innovations, combined with AI, support continuous patient monitoring and predictive diagnostics, paving the way for future breakthroughs in medical care.

We intent to emphasise the critical role of artificial lung ventilation devices during pandemic, particularly COVID-19, and the importance of CPAP (Continuous Positive Airway Pressure) devices in addressing the shortage of high-tech medical equipment. CPAP devices, owing to their relatively simplicity, lower cost, and scalability in production, have become an effective solution for supporting patients with spontaneous breathing. Their principle, based on delivering oxygen-air mixture under constant positive pressure through network oxygen pressure and air ejection, enables the required oxygenation without the complex mechanical components typical of conventional mechanical ventilators.

The experience of the COVID-19 pandemic demonstrated that mass production of CPAP devices can be organized more rapidly than that of high-technology ventilators, which require long manufacturing cycles and costly components. For example, in 2020 several countries, including the USA, the UK, and India, actively engaged manufactures to develop simplified CPAP and BiPAP models, and adapted industrial facilities for their production. This helped to partially offset equipment storages during the peak load on healthcare systems.

To automate, control, and stabilise technological processes of gas-mixture delivery in the medical sector, it is proposed to develop an intelligent monitoring and automated control system for gas-mixture supply.

The structure of the intelligent monitoring and automated control system for gas-mixture delivery using digital twins is presented in Table 1.

Table 1

Structure of the intelligent monitoring and automated control system for gas-mixture delivery

Level	Element	Description of Interaction
Sensing level (measurement level)	Sensors of physical parameters: pressure, temperature, concentration, gas-mixture composition, etc.	The collected data are transmitted both to the control system and to the digital twin for real-time modelling of the actual object state.
	Analogue-to-digital converters.	
	Data acquisition modules (DAQ)	
Local control level	Programmable logic controllers or embedded microprocessors	Interaction between the digital twin and the controller enables preliminary testing of virtual parameter-change scenarios.
	Control algorithms	
	Actuating mechanisms (electro-valves, compressors, flow regulators, etc.)	
Monitoring and visualisation level	SCADA system or HMI panel	A 3D model or digital representation of the process displaying current and forecast system states.
	Data-logging module	
	Visualisation subsystem	
Intelligence and analytics level	Analytics module	The digital twin stimulates system operation based on real data, performing virtual experiments and providing optimisation of operating modes.
	AI and machine-learning modules	
	System digital twin	
Communication and integration level	Data-exchange network protocols	Ensure remote analytics and data exchange between the digital twin and system elements; integration with external systems.
	Cloud analytics and remote access	
	Integration with corporate systems	
	Operator-HMI interaction unit	

The level of operator involvement depends on the degree of automation and may vary from direct operational control to supervision and confirmation of AI-generated decisions.

An infological model of the intelligent monitoring and automated control system for gas-mixture delivery has been developed, describing the main information entities of the system, their attributes, relationships, and data flows (Table 2).

Depending on the selected scenario (the system only observes; the system analyses and transmits information to the operator; or the system automatically controls the process), the model may be extended with the “Actuators” entity, which includes the following attributes: mechanism ID, name, action type, state, protocol, and affiliation.

The main infological relationships reflecting data flows within the system include:

- Input data – received from sensors and transmitted to the database and analytics module.
- Analytics – data processing, deviation detection, and forecasting.
- Modelling – synchronisation of the digital twin for scenario testing and action stimulation.
- Control – generation of control signals and their transmission to the automated control system.
- Visualisation – operator or automated system actions initiating a new monitoring cycle.
- Feedback – operator or automated system actions initiating a new monitoring cycle.

Table 2

Elements of the infological model of an intelligent monitoring and automated control system

Entity	Attribute(s)	Description / Relationship
Monitored object	Name, ID, location, metrics, critical parameters, permissible limits	A process (physical or virtual) or a system being monitored.
Monitoring parameter	Parameter name, ID, unit of measurement, criticality, threshold values, update frequency, logging frequency	Belongs to monitored object.
Sensor / detector / data source	ID, sensor type, accuracy, calibration, specifications / sensor characteristics	Measures monitoring parameters.
Data flow	Timestamp of arrival, protocol, data validity, source, communication channel	Originates from sensors and is stored in the monitoring database.
Monitoring database	Database name, DBMS type, table structure, storage intervals, update intervals	Stores data flows.
Analytics module	Analysis methods, AI, ML, statistics, accuracy, computation interval	Processes data flow, generates decisions, and performs forecasting.
Object digital twin	Process model, simulation parameters, level of detail, scenarios	Mirrors the monitored object and receives data from the analytics module.
Automated control system	Type of control algorithms, response speed, communication protocols	Receives commands from the analytics module or operator and sends signals to actuators.
User interface / HMI / dashboard	Visualisation type, access level, alert models	Interacts with the analytics module, automated control system, and operator.
Operator / user	ID, role, access rights, activity log, measurement log	Interacts with the user interface and adjusts automated control system operations.

To describe information interactions, the following relationships are used:

- Monitored object ↔ Monitoring parameter (1:N);
- Parameter ↔ Sensor (1:N);
- Sensor ↔ Data flow (N:1);
- Analytics module ↔ Digital twin (1:1);
- Analytics module ↔ Automated control system (1:1);
- Automated control system ↔ Monitored object (1:1);
- Operator ↔ User interface (1:1);
- User interface ↔ Analytics module (1:N).

The developed model reflects the interactions between system elements and can be used to standardise the operation of the intelligent monitoring and automated control system.

Conclusions. The problem of developing and monitoring respiratory gas supply management systems is inherently interdisciplinary, involving important scientific tasks such as complex system modelling, development of adaptive control algorithms, and integration of advanced technologies.

The development of an intelligent and automated control system for gas-mixture delivery using digital twins contributes to improving the quality of healthcare services. On a practical level, addressing this issue will enhance the safety, efficiency, and accessibility of technologies across key domains of human activity.

Bibliography:

1. Antonella Fiordelisi, Prisco Piscitelli, Bruno Trimarco, Enrico Coscioni, Guido Iaccarino, Daniela Sorriento. The mechanisms of air pollution and particulate matter in cardiovascular diseases. *Heart Fail Rev*. 2017. 22, 337–347. doi: 10.1007/s10741-017-9606-7.

2. Apolline Gonsard, Martin Genet and David Drummond. Digital twins for chronic lung diseases. *Eur Respir Rev*. 18.12.2024. 33(174), 240159. doi: 10.1183/16000617.0159-2024.

3. Chitaranjan Mahapatra. Recent advances in medical gas sensing with artificial intelligence–enabled technology. *Med Gas Res.* 2025 Jan 18. 15(2), 318–326. doi: 10.4103/mgr.MEDGASRES-D-24-00113.

4. Clinical Study Shows Targeted End-tidal Control Anesthesia Delivery Improves Efficiency and Accuracy to Help Optimize Patient Care. GEHealthcare.com. 20.08.24. URL: https://investor.gehealthcare.com/news-releases/news-release-details/clinical-study-shows-targeted-end-tidal-control-anesthesia?utm_source

5. Gonsard A., Genet M., Drummond D. Digital twins for chronic lung diseases. *Eur Respir Rev*. 2024. 33 (174), 240159. doi: 10.1183/16000617.0159-2024.

6. Guolu Fu., Lili Xu., Huaqing Chen and Jinping Lin. State-of-the-art anesthesia practices: a comprehensive review on optimizing patient safety and recovery. *BMC Surgery*. 2025. 25, 32. https://doi.org/10.1186/s12893-025-02763-6.

7. ISO 7396-1:2016. Medical gas pipeline systems – Part 1: Pipeline systems for compressed medical gases and vacuum. Geneva: International Organization for Standardization, 2016. 84 p.

8. Jaeseok Yun, Sungyeon Kim, Jinmin Kim. Digital Twin Technology in the Gas Industry: A Comparative Simulation Study. *Sustainability* 2024, 16, 5864. doi:10.3390/su16145864.

9. Jessica Briffa, Emmanuel Sinagra, Renald Blundell. Heavy metal pollution in the environment and their toxicological effects on humans. Heliyon. 2020. 6, e04691. doi: 10.1016/j.heliyon.2020.e04691.

10. Katsoulakis E., Wang Q., Wu H., et al. Digital twins for health: a scoping review. NPJ Digit Med. 2024. 7, 77. doi: 10.1038/s41746-024-01073-0

11. Mohammad Javad Mohammadi, Maryam Baratifar, Parisa Asban, Fatemeh Kiani, Maryam Hormati, Raziyeh Kazemi Bareh Bichast. The effect of air pollutants on chronic gastrointestinal diseases: a comprehensive review. *J Hum Environ Health Promot.* 2024. 10, 1–10. doi: 10.1038/nrneph.2018.11.

12. Nitin Sethi, Amitabh Dutta, Goverdhan D Puri, Bhuwan C Panday, Jayashree Sood, Manish Gupta, Prabhat K Choudhary, Shikha Sharma. Evaluation of Automated Delivery of Propofol Using a Closed-Loop Anesthesia Delivery System in Patients Undergoing Thoracic Surgery: *A Randomized Controlled Study. J Cardiothorac Vasc Anesth*. 2021 Apr. 35(4), 1089–1095. doi: 10.1053/j.jvca.2020.09.101.

13. Osamu Nagata, Yuka Matsuki, Shuko Matsuda, Keita Hazama, Saiko Fukunaga, Hideki Nakatsuka, Fumiyo Yasuma, Yasuhiro Maehara, Shoko Fujioka, Karin Tajima, Ichiro Kondo, Itaru Ginoza, Misuzu Hayashi, Manabu Kakinohana, Kenji Shigemi. Anesthesia Management via an Automated Control System for Propofol, Remifentanil, and Rocuronium Compared to Management by Anesthesiologists: An Investigator-Initiated Study. *J. Clin. Med*. 2023, 12(20), 6611; https://doi.org/10.3390/jcm12206611.

14. Rezan Şerefoğlu, Havva Kocayiğit, Onur Palabıyık, Ayça Taş Tuna. Comparison of automated and manual control methods in minimal flow anesthesia. *J Clin Monit Comput.* 2024 Oct. 38(5), 1117–1123. doi: 10.1007/s10877-024-01163-0.

15. Tao F., Qi Q., Wang L., et al. Digital twins and cyber–physical systems toward smart manufacturing and Industry 4.0: correlation and comparison. Engineering 2019. 5, 653–661. doi: 10.1016/j.eng.2019.01.014

16. Venkatesan S., Egan D., V K., et al. Carbon nanorods, nanowires, and nanotubes. In: Barhoum A, Deshmukh K, editors. Handbook of functionalized carbon nanostructures: from synthesis methods to applications. Cham: Springer International Publishing; 2024. pp. 229–270.

17. Xiuding Cai, Xueyao Wang, Yaoyao Zhu, Yu Yao, Jiao Chen. Advances in automated anesthesia: a comprehensive review. *Anesthesiology and Perioperative Science*. 2025. 3, 3. https://doi.org/10.1007/s44254-024-00085-z

18. Xu X., Nie S., Ding H., Hou FF. Environmental pollution and kidney diseases. Nat Rev Nephrol. 2018. 14, 313–324. doi: 10.1038/nrneph.2018.11.

19. Zhang J., Xie D., Zou Y. та ін. Key Characteristics of Nitrous Oxide-Induced Neurological Disorders and Differences Between Populations. *Front Neurol.* 2021. 12, 627183. doi: 10.3389/fneur.2021.627183.

20. Zohdi T I. A Digital-Twin and Machine-Learning Framework for Ventilation System Optimization for Capturing Infectious Disease Respiratory Emissions. *Arch Comput Methods Eng*. 2021. 28(6), 4317–4329. doi: 10.1007/s11831-021-09609-3.

21. Гарін В. О., Ткаченко Д. А., Шипуль О. В., Заклінський С. О., Трифонов О. В., Планковський С. І.. Розробка цифрового близнюка наповнення резервуару газовою сумішшю. *Авіаційно-космічна техніка і технологія*, 2022, № 5(183), С. 40–50. doi: 10.32620/aktt.2022.5.

Дата надходження статті: 10.11.2025
Дата прийняття статті: 10.12.2025
Опубліковано: 30.12.2025

УДК 004.8:004.67
DOI https://doi.org/10.32689/maup.it.2025.4.20

Руслан МОРОЗОВ
здобувач вищої освіти за спеціальністю «Комп'ютерні науки»,
Харківський національний університет імені В. Н. Каразіна,
morozov2020ks11@student.karazin.ua
***ORCID:** 0009-0007-7793-1224*

Володимир ДОНЕЦЬ
доктор філософії, Харківський національний університет імені В. Н. Каразіна,
v.donets@karazin.ua
***ORCID:** 0000-0002-5963-9998*

РОЗРОБКА МЕТОДУ RAG ДЛЯ НАДАННЯ ІНФОРМАЦІЙНОЇ ПІДТРИМКИ КОРИСТУВАЧАМ

Анотація. *У статті розглядається проблема надання точної та релевантної інформаційної підтримки користувачам у роботі з великими обсягами текстових даних. Звичайні пошукові системи та окремо використані мовні моделі не завжди здатні правильно інтерпретувати зміст запитів і можуть створювати неточні відповіді або галюцинації. Для вирішення цієї проблеми запропоновано гібридний підхід – Retrieval-Augmented Generation (RAG), який поєднує точність інформаційного пошуку з генеративними можливостями LLM.*

Мета роботи. *Розробка та експериментальне тестування повного методу RAG, призначеного для автоматизованої інформаційної підтримки. Ключовою метою є забезпечення економії та високої ресурсної ефективності, що робить метод практично придатним для невеликих організацій, університетських факультетів або інших застосувань з обмеженими обчислювальними бюджетами.*

Методологія. *Запропоновано модульну архітектуру системи, реалізовану з використанням відкритих бібліотек: LangChain для узгодження процесів, ChromaDB як локальне векторне сховище, HuggingFace для доступу до моделей вбудовування та для швидкого та економного виконання запитів LLM використано Groq API. Проведено кілька етапів перевірки: тестування точності пошуку (Top-k) для різних моделей вбудовування на українськомовному наборі даних, тестування якості генерації від початку до кінця з використанням LLM-оцінювача; оптимізація параметрів (підказок, способи розбиття тексту) за допомогою фреймворку Ragas.*

Наукова новизна. *Проведено систематичне порівняння ефективності моделей вбудовування для семантичного пошуку на українськомовному масиві текстів. Експериментально ідентифіковано оптимальний баланс між вартістю та якістю генеративних моделей (LLM), доступних через API. Запропоновано та валідовано економна система RAG, оптимізований за допомогою метрик Ragas для досягнення високої точності відповідей при мінімальних витратах.*

Висновки. *Дослідження підтвердило життєздатність розробленого методу. Модель вбудовування intfloat/multilingual-e5-large-instruct продемонструвала найкращу точність пошуку, досягнувши 100% у Top-7. Генеративна модель meta-llama/llama-4-scout-17b-16e-instruct показала оптимальне співвідношення ціни та якості (88,3% коректних відповідей). Після налаштування підказок і параметрів фрагментації точність відповідей стала найвищою серед усіх випробуваних варіантів. Перспективи подальшої роботи включають тестування спеціалізованих українських моделей та впровадження системи в реальні чат-боти.*

Ключові слова: *Retrieval-Augmented Generation (RAG), великі мовні моделі (LLM), інформаційний пошук, економний, Ragas, моделі вбудовування.*

Ruslan MOROZOV, Volodymyr DONETS. DEVELOPMENT OF THE RAG METHOD FOR PROVIDING INFORMATION SUPPORT TO USERS

Abstract. *The article discusses the problem of providing accurate and relevant information support to users when working with large amounts of text data. Traditional search engines and isolated large language models (LLMs) have significant limitations, such as insufficient semantic understanding and hallucination generation. To solve this problem, a hybrid approach is proposed – Retrieval-Augmented Generation (RAG), which combines the accuracy of information retrieval with the generative capabilities of LLM.*

Purpose of the work. *Development and experimental testing of a complete RAG method designed for automated information support. The key goal is to ensure economical and high resource efficiency, making the method practical for small organizations, university departments, or startups with limited computing budgets.*

Methodology. *A modular system architecture is proposed, implemented using open libraries: LangChain for process coordination, ChromaDB as a local vector storage, HuggingFace for access to embedding models, and for high-speed and cost-effective LLM queries used Groq API. A multi-stage evaluation was conducted: testing search accuracy (Top-k) for different embedding models on a Ukrainian-language dataset, testing end-to-end generation quality using an LLM evaluator, and optimizing parameters (prompt templates, fragmentation strategies) using the Ragas framework.*

© Р. Морозов, В. Донець, 2025

Стаття поширюється на умовах ліцензії CC BY 4.0

Scientific novelty. *A systematic comparison of the effectiveness of embedding models for semantic search in a Ukrainian-language text corpus was conducted. The optimal balance between the cost and quality of generative models (LLM) available through API was experimentally identified. A cost-effective RAG pipeline, optimized using Ragas metrics to achieve high response accuracy at minimal cost, was proposed and validated.*

Conclusions. *The study confirmed the viability of the developed method. The intfloat/multilingual-e5-large-instruct embedding model demonstrated the best search accuracy, reaching 100% in the Top-7. The meta-llama/llama-4-scout-17b-16e-instruct generative model showed the optimal price-quality ratio (88.3% correct answers). Optimization of prompts and fragmentation strategy (size 1000, overlap 150) allowed us to achieve the highest accuracy rates. Prospects for further work include testing specialized Ukrainian models and implementing the system in real chatbots.*

Key words: *Retrieval-Augmented Generation (RAG), large language models (LLM), information retrieval, economical, Ragas, embedding models.*

Вступ. У сучасному інформаційному просторі користувачі часто стикаються з серйозною проблемою пошуку релевантної та точної інформації серед величезних обсягів цифрових текстових даних. Ця проблема є особливо гострою в спеціалізованих галузях, таких як академічна та наукова діяльність, де величезний обсяг доступної інформації, від наукової літератури до обширних навчальних матеріалів, робить пошук конкретних відповідей надзвичайно складним і трудомістким завданням. Завдання ручного перегляду величезних сховищ для пошуку та синтезу інформації є серйозною перешкодою для ефективності, як для дослідника, який намагається бути в курсі останніх розробок, так і для студента, який шукає роз'яснення щодо змісту курсу [5; 6].

Ця проблема ускладняється обмеженнями існуючих технологій пошуку інформації. Традиційні пошукові системи, які часто покладаються на збіг ключових слів та системи на зразок базових FAQ часто виявляються недостатніми. Цим методам зазвичай бракує складного розуміння природної мови, необхідного для сприйняття конкретного контексту запиту користувача. Як правило вони повертають список документів або заздалегідь визначених відповідей, які можуть бути лише частково релевантними, перекладаючи когнітивне навантаження синтезу повної відповіді назад на користувача. Вони не надають прямої, контекстуальної та синтезованої інформаційної підтримки.

Одночасно з цим поява великих мовних моделей (LLM) запровадила потужні генеративні можливості, які дозволяють створювати плавний, схожий на людський текст у формі діалогу. Однак LLM, коли їх використовують ізольовано, мають критичні недоліки. Їхні знання є статичними та обмеженими даними, на яких вони були навчені, що означає, що вони не можуть отримати доступ до інформації в режимі реального часу, власницької або специфічної для певної галузі, яка не була частиною їхнього навчального корпусу. Це призводить до значної і добре задокументованої проблеми, відомої як «галюцинація», коли модель генерує правдоподібну, але фактично невірну або повністю вигадану інформацію. У наукових та освітніх контекстах, де точність і надійність є обов'язковими, такі галюцинації роблять автономні LLM непридатними для надійної інформаційної підтримки [6].

Ця розбіжність між обмеженнями традиційного пошуку та обмеженнями надійності автономних LLM підкреслює важливе наукове та практичне завдання: розробку системи, яка може надавати точні, контекстно-орієнтовані та надійні відповіді з конкретних, великомасштабних баз знань. Генерація з розширеним пошуком (RAG) стала важливим методом вирішення саме цієї проблеми. Практичне значення RAG полягає в її гібридній архітектурі, яка ефективно поєднує точність пошуку інформації з генеративною потужністю LLM [5].

Механізм RAG працює так що спочатку з певної зовнішньої бази знань (наприклад, бази даних наукових статей або навчальних матеріалів університету) вибирається набір відповідних документів або фрагментів тексту. Потім ця інформація передається до LLM як контекст, який модель використовує для генерації відповіді. Цей процес «ґрунтує» відповідь LLM на фактичних, перевірених даних, тим самим значно підвищуючи точність і надійність результатів та зменшуючи ризик галюцинацій. Тому розробка методів RAG є важливим науковим завданням, оскільки її метою є створення більш інтелектуальних систем інформаційної підтримки, які можуть надійно обслуговувати користувачів у таких важливих сферах, як освіта та наукові дослідження [5; 6].

Аналіз останніх досліджень і публікацій. Розвиток технології Retrieval-Augmented Generation (RAG) був обумовлений необхідністю вирішити основні обмеження великих мовних моделей (LLM), а саме їх статичні, не оновлювані знання та схильність до галюцинацій. У науковій літературі RAG представлено не як єдину модель, а як багатоступеневу архітектуру, що інтегрує два ключові компоненти: пошукову систему інформації та генератор [4; 7]. Така конструкція дозволяє системі отримувати доступ до зовнішніх, перевірених знань і базуючись на них давати свої відповіді.

ISSN 2786-5460 (Print), ISSN 2786-5479 (Online)

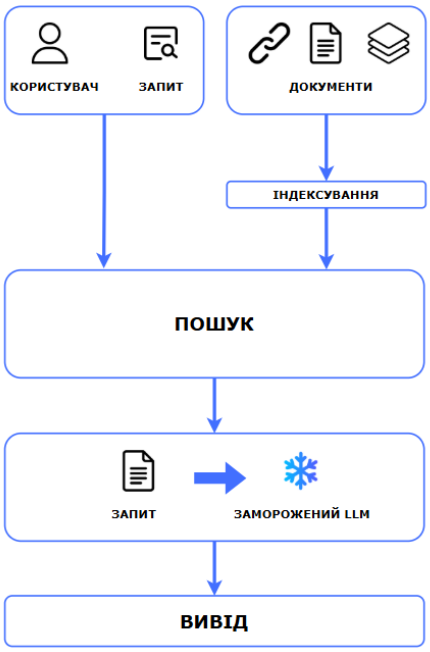

Рис. 1. Діаграма, що ілюструє типовий робочий процес RAG [4]

Компонент пошуку є центральним для успіху системи, оскільки він відповідає за пошук відповідного контексту з великого масиву. Нинішні методи еволюціонували від традиційних «розріджених» методів пошуку, таких як BM25, які в основному покладаються на збіг ключових слів. Хоча ці методи є ефективними, їм важко вловити семантичне значення запиту. Це обмеження призвело до розробки «щільних» моделей пошуку. Яскравим прикладом є Dense Passage Retrieval (DPR), який використовує архітектуру подвійного кодувальника на основі моделі BERT для відображення запитів і документів у спільному високорозмірному векторному просторі. Це дозволяє здійснювати семантичний пошук, при якому система виявляє фрагменти на основі концептуальної схожості, а не лише спільних слів. Ці векторні представлення управляються та запитуються за допомогою ефективних індексів, для чого використовуються такі інструменти, як Faiss, а сучасні векторні бази даних, такі як ChromaDB або Qdrant, служать подібній меті [8; 10].

Компонент генератора зазвичай є попередньо навченим LLM на основі Трансформера, таким як моделі з сімейств BERT або GPT. Ці моделі, багато з яких доступні через такі платформи, як HuggingFace, відповідають за синтез послідовної відповіді природною мовою на основі контексту, наданого пошуковою системою. У статті REALM, одній з перших фундаментальних робіт, було продемонстровано, як попереднє навчання як пошуку, так і генератора від початку до кінця дозволяє моделі навчитися, які знання потрібно отримувати і як ефективно їх використовувати [4; 7]. З того часу з'явилися такі фреймворки, як LangChain, які спрощують координацію цих складних систем, з'єднуючи компонент пошуку, векторне сховище та генератор.

Ці підходи успішно вирішили значні проблеми, такі як надання LLM можливості відповідати на питання про нову або конфіденційну інформацію та зменшення фактичних неточностей [4]. Однак аналіз наукової літератури виявляє кілька проблем, які ще не вирішені повністю.

По-перше, продуктивність і точність залишаються критичними проблемами. Загальна якість системи RAG значною мірою залежить від пошукової системи, якщо пошукова система не може знайти відповідні документи, генератор, незалежно від його потужності, не зможе виконати завдання [1]. Крім того, вибір між RAG і точним налаштуванням є складним; RAG чудово впорається з включенням нових фактів, але точне налаштування може бути кращим для наповнення моделі конкретними, неявними знаннями або стилями, що свідчить про необхідність гібридних підходів. Обчислювальні витрати на індексацію та пошук у великих колекціях документів також залишаються важливим фактором, що впливає на продуктивність [4; 10].

По-друге, інтерпретація результатів є постійною проблемою. Хоча RAG забезпечує певну прозорість, цитуючи свої джерела, внутрішня робота як dense retriever (чому він вважав уривок семантично подібним), так і генератора LLM (як він синтезував свою відповідь) залишається «чорною скринькою»

[1]. Ця відсутність справжньої інтерпретованості є перешкодою в науковій або медичній сферах, де розуміння міркувань моделі є надзвичайно важливим.

Нарешті, існує значна прогалина в багатомовній підтримці. Фундаментальні дослідження та домінуючі еталони, що використовуються для розробки та оцінки таких систем, як DPR та REALM, переважно орієнтовані на англійську мову [7; 10]. Як наслідок, продуктивність, надійність та культурні нюанси цих моделей в інших мовах залишаються в основному неперевіреними. Існує явна нестача високоякісних, маркованих наборів даних та спеціалізованих моделей для багатьох мов, включаючи українську. Це означає, що застосування цих методів RAG безпосередньо до українських текстів може призвести до значно нижчої точності, оскільки базові моделі пошуку та генерації не оптимізовані для її унікальних лінгвістичних структур. Це є критичною та відкритою областю для майбутніх досліджень.

Метою цієї статті є розробка та експериментальне тестування повного методу RAG, призначеного для автоматизованої інформаційної підтримки користувачів. Основним обмеженням і метою цієї роботи є створення рішення, яке працює швидко й не потребує дорогих обчислювальних ресурсів. Ця спрямованість має на меті зробити рішення недорогим і практично прийнятним для невеликих організацій, таких як незалежні фірми, університетські факультети, студентські організації або інші застосування, які часто не мають бюджету для великих моделей або чи необхідного обчислювального обладнання.

Виклад основного матеріалу. Точна перевірка будь-якої системи RAG залежить від прозорої презентації її архітектури та ретельної емпіричної оцінки її ефективності. Як показують комплексні дослідження в цій галузі, система RAG – це не єдине ціле, а модульна система, що зазвичай складається щонайменше з пошуку та генератора. Компонент пошуку відповідає за пошук відповідного контексту у зовнішній базі знань, а генератор (LLM) синтезує відповідь, яка базується виключно на цьому контексті. Успіх усього цього процесу залежить від якості компонентів, обраних для кожного етапу [3].

Сучасні фреймворки полегшують побудову цих систем, дозволяючи дослідникам координувати потік даних і «підключати» різні компоненти для векторного зберігання, вбудовування та генерації. Ця модульність є важливою для основного завдання цього дослідження – експериментальної оцінки.

Найбільш критичною оцінкою, як визначено в систематичних оглядах, є визначення ефективності пошукової системи. Якщо пошукова система не може знайти правильні документи, генератор неминуче видає неправильну або нерелевантну відповідь, навіть якщо сама LLM є потужною. Тому основний метод дослідження полягає в ізоляції та тестуванні цього етапу пошуку за допомогою точних, рангових показників точності (таких як точність Top-k) для вимірювання частоти знаходження правильної інформації. Згодом необхідна комплексна оцінка для перевірки якості та фактичної узгодженості остаточної згенерованої відповіді [2; 3].

На основі цих принципів система була розроблена та протестована. Архітектура системи, реалізована в цьому дослідженні, відповідає послідовному робочому процесу RAG, розробленому з урахуванням модульності та ощадливості. Весь процес від запиту користувача до остаточної відповіді, координується за допомогою комбінації спеціалізованих бібліотек. Робочий процес відбувається наступним чином:

1. Процес починається, коли користувач надсилає запит. Цей запит у вигляді простого тексту негайно передається до моделі вбудовування (embedding), яка перетворює текст у високорозмірний вектор. У цьому дослідженні використовувалися різні моделі з відкритим кодом, отримані з репозиторію HuggingFace.

2. Далі вектор запиту використовується для виконання пошуку схожості у попередньо заповненій векторній базі даних. Для цієї ролі було обрано ChromaDB (langchain_chroma.Chroma), легке сховище векторів з відкритим кодом. Ця база даних зберігає вбудовані векторні представлення фрагментів вихідного документа.

3. ChromaDB повертає «Top-k» найбільш семантично схожих фрагментів документа. Цей крок пошуку явно управляється, де база даних перетворюється в об'єкт пошуку і налаштовується для отримання k найбільш релевантних документів для тестування точності.

4. Витягнуті фрагменти («контекст») автоматично об'єднуються з оригінальним запитом користувача в структуровану підказку. Ця розширена підказка надсилається до генеративної великої мовної моделі. У цьому дослідженні використовується ChatGroq для інтеграції з Groq API, який забезпечує високошвидкісне виведення для моделей з відкритим кодом.

5. Мовна модель генерує відповідь природною мовою, засновану виключно на наданому контексті, яка потім надсилається користувачеві.

Для побудови та перевірки цієї архітектури використовується набір сучасних бібліотек з відкритим кодом.

Було використано LangChain (langchain, langchain_chroma, langchain_groq та інші). Вона служить основною платформою для координації. LangChain забезпечує зв'язок, що поєднує всі компоненти, пропонуючи високий рівень абстракції для завантаження документів, розділення тексту, інтеграції моделей вбудовування, операцій векторного зберігання та взаємодії з LLM. Його використання є центральним для всього дослідження.

Платформа HuggingFace є джерелом для всіх моделей вбудовування з відкритим кодом, протестованих у цьому дослідженні.

ChromaDB використовується як постійна локальна векторна база даних, що забезпечує ефективне зберігання та пошук вбудованих документів без необхідності використання потужної серверної інфраструктури.

Для перевірки ефективності запропонованої системи RAG було проведено багатоетапну оцінку з використанням набору тестів, створеного за допомогою PyTest. Такий підхід дозволяє незалежно виміряти точність пошукової системи та загальну якість генерованих відповідей.

Першим етапом є тестування компонента пошукової системи. Оскільки якість пошукової системи є основним вузьким місцем, її тестування треба проводити окремо. Спочатку створення тестового набір, де кожне питання зіставляється з ідентифікатором правильного фрагменту тексту(chunk). Далі цей тестовий набір тестується для чотирьох різних моделей вбудовування. Для вимірювання йде в три рівня точності: top-1, top-3, top-7. Правильний фрагмент присутній у k найкращих документах. Цей тест дозволяє провести пряме кількісне порівняння моделей вбудовування для набору даних українською мовою.

Другим етапом є тестування генерації від початку до кінця. Повна система RAG тестується на якість кінцевої відповіді з використанням моделі вбудовування з найкращими показниками. Набір оцінювання містить питання та вручну створену очікувану відповідь для кожного з них. Система обробляє кожне питання, щоб отримати контекст і згенерувати фактичну відповідь. Оскільки тестування проводиться вже на основі результатів тестування пошукової системи, то максимальний відсоток коректності приблизно буде дорівнювати отриманому на першому етапі. LLM слугує автоматизованим оцінювачем і відповідачем. Він отримує підказку(prompt) та визначає чи були відповіді семантично еквівалентними, повертаючи лише результат.

Останнім етапом є показники фреймворку Ragas, який створений для тестування RAG систем. Він надає спеціалізовані показники для оцінювання системи без повної залежності від відповідей, наприклад:

– faithfulness (метрика генератора) вимірює чи відповідь фактично підтверджується контекстом, кількісно оцінюючи галюцинацію;

– answer_relevancy (метрика генератора) вимірює чи відповідь безпосередньо стосується оригінального питання, а не лише контексту;

– context_precision (метрика пошукової системи) вимірює відношення сигнал/шум у відновленому контексті, штрафуючи нерелевантну інформацію;

– context_recall (метрика пошукової системи) вимірює чи знайшла пошукова система всю необхідну інформацію для відповіді на запитання;

– answer_correctness (метрика генератора) порівнює згенеровану відповідь з істинною відповіддю, поєднуючи фактичну та семантичну схожість для отримання загального балу правильності [9].

Результати. Першим і найбільш важливим експериментом було визначення найефективнішої моделі вбудовування для конкретного набору даних українською мовою. Чотири вибрані моделі, всі з яких були отримані з Hugging Face, були протестовані (табл. 1) на їхню здатність знаходити правильний фрагмент документа для набору з тестових питань.

Експеримент демонструють чітку ієрархію продуктивності та розкривають кілька ключових моментів щодо вибору ефективної моделі вбудовування.

Модель intfloat/multilingual-e5-large-instruct однозначно показала найкращі результати. Це була єдина модель, яка досягла ідеальної 100% точності в Top-7, а її точність Top-1 на рівні 90% була значно вищою, ніж у всіх конкурентів. Цю чудову продуктивність можна пояснити двома основними факторами. Ця модель використовує 1024-вимірні вектори, найбільші в тестовій групі. Більший розмір дозволяє їй захоплювати більш детальне та нюансоване семантичне представлення тексту. Це призводить до більш точного зіставлення схожості. Вона була спеціально налаштована на величезному наборі даних пар запитів та уривків. Це узгоджує її розуміння тексту з наміром запиту користувача, що робить її придатною для завдання пошукової системи RAG.

Модель paraphrase-multilingual-mpnet-base-v2 з її більшими 768-вимірними векторами перевершила меншу модель paraphrase-multilingual-MiniLM-L12-v2 за точністю Top-1 та Top-7. Це підтверджує

ідею, що вища розмірність може забезпечити багатший семантичний простір для пошуку, хоча це вимагає більших обчислювальних витрат. Однак стрибок моделі e5-large-instruct до 1024 вимірів у поєднанні з її навчанням демонструє більш значне підвищення якості.

Зважаючи на те, що вона була спеціально навчена на українській (а також англійській та російській) мовах, вона мала кращу точність ніж така сама mpnet з таким самим векторним простором у всіх трьох точностях. Це свідчить про те, що для складного семантичного пошуку якість і масштаб вузька лінгвістична спеціалізація можуть бути важливішими, ніж загальне багатомовне навчання.

На основі цих результатів вона була обрана єдиною моделлю вбудовування для системи RAG у всіх наступних тестах на генерацію від початку до кінця.

Наступним кроком було обрання заощадливого генератора (LLM) для остаточного синтезу відповіді. Метою було знайти оптимальний баланс між якістю відповіді та вартістю API, що є критичним фактором для невеликих організацій. Потім автоматизований оцінювач LLM порівняв відповідь, згенеровану з очікуваною відповіддю на предмет семантичної еквівалентності.

Як видно з таблиці 2, результати добре показують баланс між якістю та вартістю. Модель llama-3.1-8b-instant була набагато найдешевшою опцією, але її рівень успішності 83,3% був неідеальним. На диво, набагато дорожча openai/gpt-oss-20b показала найгірші результати, з рівнем успішності лише 75%. Максимальна вартість проти максимальної якості: моделі llama-4-maverick і qwen3-32b досягли найвищої якості з рівнем успішності 90% (неправильно відповіли лише на 6 питань). Однак вони також є найдорожчими моделями, вартість яких майже вдвічі перевищує вартість моделі scout. За результатами дослідження, найкраще співвідношення якості та вартості показала модель meta-llama/llama-4-scout-17b-16e-instruct. Вона досягла високого рівня успішності 88,3%, лише на одну неправильну відповідь поступаючись моделям з найкращими показниками, при цьому коштуючи значно менше (0,45 долара за 1 млн вхідних токенів та 1 млн вихідних токенів).

Останнім кроком було налаштування основних параметрів системи –підказок та стратегії розділення на фрагменти. Для цієї оцінки було використано фреймворк Ragas, який надає набір детальних метрик для вимірювання продуктивності компонентів та кінцевої продуктивності.

Було протестовано чотири різновиди підказок (табл. 3), зберігаючи фіксовану стратегію фрагментації. Підказки варіювалися від базового прикладу (№1) і короткої версії (№2) до повної, заснованої на правилах підказки англійською мовою (№3) та її українського перекладу (№4).

Таблиця 1

Результати точності top-1, top-3 і top-7

Назва моделі	top-1, %	top-3, %	top-7, %	Вимір векторного простір
uaritm/multilingual_en_ru_uk	80	96	98	768
sentence-transformers/paraphrase-multilingual-MiniLM-L12-v2	72	86	94	384
sentence-transformers/paraphrase-multilingual-mpnet-base-v2	76	86	96	768
intfloat/multilingual-e5-large-instruct	90	98	100	1024

Таблиця 2

Результати правильності різних LLM

Генеративна модель (Groq API)	Ціна (сума цін 2M вхідних та вихідних токенів), $	Правильні відповіді	Неправильні відповіді	Відсоток здачі, %
llama-3.1-8b-instant	0.13	50	10	83.3
openai/gpt-oss-20b	0.60	45	15	75
meta-llama/llama-4-scout-17b-16e-instruct	**0.45**	**53**	**7**	**88.3**
meta-llama/llama-4-maverick-17b-128e-instruct	0.80	54	6	90
qwen/qwen3-32b	0.88	54	6	90

Таблиця 3

Метрики Ragas для набору підказок

Характеристики	Підказка № 1	Підказка № 2	Підказка № 3	Підказка № 4
context precision	0.9	0.9	0.9	0.9
context recall	0.7875	0.7	0.7	0.775
faithfulness	0.6148	0.2857	0.6066	0.4927
answer relevancy	0.8	0.6855	0.817	0.6249
answer correctness	0.4781	0.4852	0.564	0.4415

ISSN 2786-5460 (Print), ISSN 2786-5479 (Online)

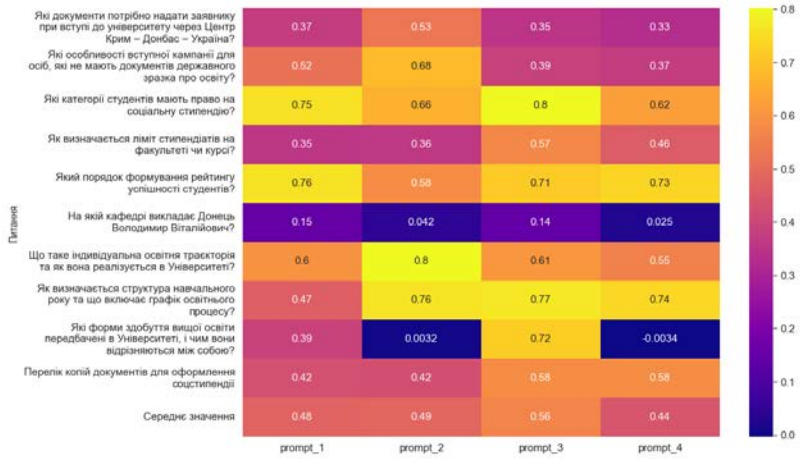

Рис. 2. Метрика answer correctness для набору підказок

Підказка не впливає на пошук, тому context_precision залишився незмінним. Ключовим висновком стала продуктивність підказки №3 (Повна), яка перевершила всі інші за найважливішим показником – answer_correctness (рис. 2). Цей показник, який порівнює згенеровану відповідь з істинним значенням є найкращим індикатором загальної якості. Мінімальні правила в підказці №2 (коротка) призвели до падіння точності, що підтверджує, що чіткі інструкції є життєво важливими для запобігання галюцинаціям. На основі вищої правильності відповідей та релевантності відповідей було обрано підказку №3.

Використовуючи найкращу підказку (підказка №3), було протестовано три стратегії розбиття на фрагменти:

– фрагмент №1 – розмір: 1000, перекриття: 150, кількість отриманих фрагментів (k): 4;
– фрагмент №2 – розмір: 1400, перекриття: 200, кількість отриманих фрагментів (k): 5;
– фрагмент №3 – розмір: 600, перекриття: 100, кількість отриманих фрагментів (k): 4.

Таблиця 4

Метрики Ragas для набору фрагментів

Характеристики фреймворку Ragas	chunk № 1	chunk № 2	chunk № 3
context precision	0.9	0.8889	0.8889
context recall	0.7	0.6847	0.775
faithfulness	0.6066	0.4527	0.5297
answer relevancy	0.817	0.7161	0.797
answer correctness	0.564	0.4536	0.5509

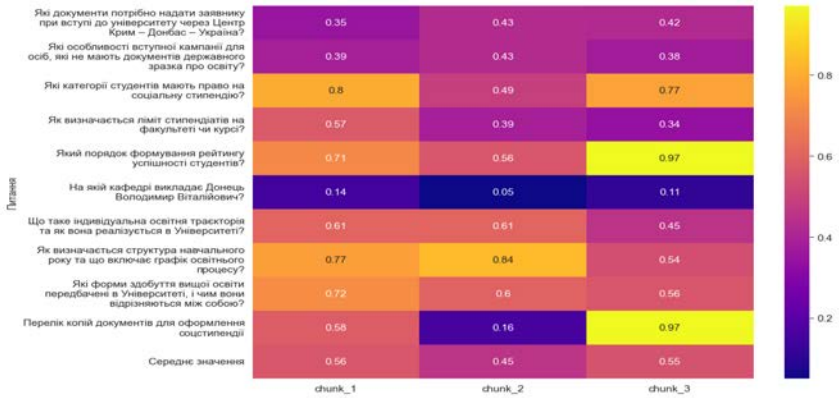

Рис. 3. Метрика answer correctness для набору фрагментів

Фрагмент №1 (середній) показав найкращі загальні результати, переконливо вигравши за правильністю відповідей (рис. 3) та релевантністю відповідей. Фрагмент №2 (великий і багато) показав найгірші результати, оскільки його великий і зашумлений контекст спричинив значне зниження як точності, так і правильності відповідей. Хоча фрагмент №3 (малий) досяг найкращого показника

відтворення контексту, його кінцеві показники по іншим показникам не перевершили збалансований підхід фрагмента №1.

Висновки. У цьому дослідженні було успішно розроблено та протестовано заощадливий метод RAG з використанням LangChain, ChromaDB та Groq API, що підтвердило його життєздатність для невеликих організацій. Систематичний багатоетапний процес тестування підтвердив функціональність системи.

Ключові висновки показують, що точність пошуку має першочергове значення. Модель вбудовування intfloat/multilingual-e5-large-instruct досягла 100% точності Top-7 на українському наборі даних. Для генерації meta-llama/llama-4-scout-17b-16e-instruct LLM, керований правилами підказки №3 та стратегією розбиття на фрагменти по 1000 символів, дав найвищу точність відповідей, збалансувавши продуктивність та вартість.

Перспективи на майбутнє включають тестування спеціалізованих українських моделей вбудовування, тестування масштабованості архітектури на більших вибірках, впровадження системи в реальних додатках, таких як університетські та корпоративні чат-боти. А також постійне тестування нових компонентів RAG для підтримки найсучаснішої та фінансової продуктивності.

Список використаних джерел:

1. A Survey on Hallucination in Large Language Models: Principles, Taxonomy, Challenges, and Open Questions / L. Huang et al. ACM Transactions on Information Systems. 2024. https://doi.org/10.1145/3703155.

2. Evaluation of a retrieval-augmented generation system using a Japanese Institutional Nuclear Medicine Manual and large language model-automated scoring. Y. Fukui et al. Radiological Physics and Technology. 2025. https://doi.org/10.1007/s12194-025-00941-y.

3. Evaluating Retrieval-Augmented Generation Models for Financial Report Question and Answering / I. Iaroshev et al. *Applied Sciences*. 2024. Vol. 14, no. 20. P. 9318. https://doi.org/10.3390/app14209318.

4. Gao Y. et al. Retrieval-Augmented Generation for Large Language Models: A Survey. arXiv preprint. 2023. arXiv:2312.10997. https://doi.org/10.48550/arXiv.2312.10997.

5. Hersh W. Search still matters: information retrieval in the era of generative AI. *Journal of the American Medical Informatics Association*. 2024. https://doi.org/10.1093/jamia/ocae014.

6. Liu X. A Survey of Hallucination Problems Based on Large Language Models. *Applied and Computational Engineering*. 2024. Vol. 97, no. 1. P. 24–30. https://doi.org/10.54254/2755-2721/2024.17851.

7. Patrick L. et al. Retrieval-Augmented Generation for Knowledge-Intensive NLP Tasks. arXiv preprint. 2020. arXiv:2005.11401. https://doi.org/10.48550/arXiv.2005.11401.

8. Pokhrel S., K C B., Shah P. B. A Practical Application of Retrieval-Augmented Generation for Website-Based Chatbots: Combining Web Scraping, Vectorization, and Semantic Search. *Journal of Trends in Computer Science and Smart Technology.* 2024. Vol. 6, no. 4. P. 424–442. https://doi.org/10.36548/jtcsst.2024.4.007.

9. Ragas. Ragas. URL: https://docs.ragas.io/en/stable/. (дата звернення: 01.11.2025).

10. Vladimir K. et al. Dense Passage Retrieval for Open-Domain Question Answering. arXiv preprint. 2020. arXiv:2004.04906. https://doi.org/10.48550/arXiv.2004.04906.

Дата надходження статті: 18.11.2025
Дата прийняття статті: 10.12.2025
Опубліковано: 30.12.2025

УДК 004.62:004.89
DOI https://doi.org/10.32689/maup.it.2025.4.21

Євген ПАТЛАНЬ
аспірант кафедри інформаційних та комп'ютерних систем, Національний університет «Чернігівська політехніка»
ORCID: *0009-0002-4980-4280*

Ірина БІЛОУС
кандидат технічних наук, доцент,
завідувач кафедри інформаційних технологій та програмної інженерії, Національний університет «Чернігівська політехніка»
ORCID: *0000-0003-3092-678X*

МЕТОД АВТОМАТИЗОВАНОЇ МІГРАЦІЇ ДАНИХ МІЖ ВАРІАНТАМИ СХОВИЩ У СИСТЕМАХ З БАГАТОВАРІАНТНОЮ ПЕРСИСТЕНТНІСТЮ

Анотація. Мета дослідження *полягає у розробці концепції та архітектури системи автоматизованої міграції даних, здатної забезпечувати узгодженість, цілісність і еквівалентність інформації під час переходу між різнорідними моделями зберігання в умовах багатоваріантної персистентності. Робота присвячена створенню методу автоматизованої міграції даних у середовищах, де одна й та сама одиниця інформації може існувати у кількох еквівалентних формах.*

Методологія. *Використаний метод базується на формальній моделі факту, що зберігає інваріанти структури, типів і семантики при переході між різними моделями зберігання. Визначено принципи коректних відображень між сховищами та умови, за яких перетворення даних залишаються безвтратними та відтворюваними. Запропоновано систему інваріантів, яка фіксує межі допустимих трансформацій і забезпечує логічну цілісність фактів незалежно від конкретної технології зберігання. Ключовим елементом методу є предметно орієнтована мова опису трансформацій, яка задає правила переходу між моделями даних у формалізованому вигляді. Її конструкції дозволяють виконувати операції проєкції, вкладення, розгортання, з'єднання та індукції зв'язків між структурами; мова має чітку типізацію та забезпечує перевірку коректності на етапах компіляції й виконання. На основі розробленої мови створено прототип системи, який виконує автоматизовану трансформацію даних між реляційними, документними, графовими та key-value сховищами без втручання користувача. Архітектура рішення включає модулі перевірки інваріантів, компіляції трансформацій і виконання міграцій із контролем транзакційності, відкатом і журналом фіксації операцій, а також сервіси оцінки вартості та перевірки коректності.*

Наукова новизна. *Уперше сформовано цілісний формальний метод автоматизованої міграції даних між різновидами сховищ у системах з багатоваріантною персистентністю. Побудовано математичну модель факту, інваріантів і відображень, що визначають межі допустимих перетворень і гарантують семантичну еквівалентність між різними матеріалізаціями даних. Запропоновано предметно орієнтовану мову трансформацій із формальною верифікацією тотальності, типізації та збереження інваріантів; реалізовано архітектуру автоматизованої системи з уніфікованими адаптерами до різнорідних сховищ. У межах експериментів проведено порівняння з ручними трансформаціями та класичним ETL-підходом, що дозволило встановити нульову кількість порушень інваріантів при лише незначному збільшенні часу міграції.*

Висновки. *Запропонований метод характеризується здатністю забезпечувати коректну, відмовостійку та формально перевірену міграцію даних без втрати цілісності. Прототип підтвердив нульовий рівень порушень інваріантів і стабільність результатів у різних сценаріях, а також придатність методу до масштабування. Отримані результати доводять ефективність запропонованого підходу та відкривають перспективи подальшої адаптації системи шляхом використання навчальних агентів та динамічних політик керування міграцією.*

Ключові слова: *інваріанти, десеріалізація, трансформація, відображення, факт.*

Yevhen PATLAN, Iryna BILOUS. AUTOMATED DATA MIGRATION METHOD ACROSS STORAGE VARIANTS IN SYSTEMS WITH MULTIVARIANT PERSISTENCE

Abstract. The purpose *of the research is to develop a concept and architecture of an automated data migration system capable of ensuring consistency, integrity and equivalence of information during the transition between heterogeneous storage models in conditions of multivariate persistence. The work is devoted to the creation of a method of automated data migration in environments where the same unit of information can exist in several equivalent forms.*

Methodology. *The method used is based on a formal model of a fact that preserves invariants of structure, types and semantics during the transition between different storage models. The principles of correct mappings between repositories and the conditions under which data transformations remain lossless and reproducible are determined. A system of invariants is proposed that fixes the boundaries of permissible transformations and ensures the logical integrity of facts regardless of*

© Є. Патлань, І. Білоус, 2025

Стаття поширюється на умовах ліцензії CC BY 4.0

the specific storage technology. The key element of the method is a subject-oriented language for describing transformations, which sets the rules for the transition between data models in a formalized form. Its constructions allow performing operations of projection, nesting, expansion, connection and induction of relations between structures; the language has a clear typing and provides correctness checking at the compilation and execution stages. Based on the developed language, a prototype of the system was created, which performs automated data transformation between relational, document, graph and key-value repositories without user intervention. The solution architecture includes modules for checking invariants, compiling transformations and performing migrations with transactional control, rollback and transaction log, as well as cost estimation and correctness checking services.

Scientific novelty. *For the first time, a holistic formal method for automated data migration between types of repositories in systems with multivariate persistence has been formed. A mathematical model of the fact, invariants and mappings has been constructed, which determine the boundaries of permissible transformations and guarantee semantic equivalence between different data materializations. A subject-oriented transformation language with formal verification of totality, typing, and preservation of invariants is proposed; the architecture of an automated system with unified adapters to heterogeneous repositories is implemented. Within the framework of the experiments, a comparison was made with manual transformations and the classical ETL approach, which allowed us to establish a zero number of invariant violations with only a slight increase in migration time.*

Conclusions. *The proposed method is characterized by the ability to provide correct, fault-tolerant, and formally verified data migration without loss of integrity. The prototype confirmed the zero level of invariant violations and the stability of results in various scenarios, as well as the method's suitability for scaling. The results obtained prove the effectiveness of the proposed approach and open up prospects for further adaptation of the system through the use of training agents and dynamic migration management policies.*

Key words: *invariants, deserialization, transformation, mapping, fact.*

Вступ. У сучасних інформаційних системах дані дедалі частіше розподіляються між різними платформами, що відрізняються моделями зберігання, форматами та логікою доступу. Зростання обсягів інформації, динамічність навантажень і поява гібридних архітектур створюють ситуацію, коли класичні підходи до обробки та перенесення даних втрачають ефективність. У таких умовах стає актуальною проблема забезпечення узгодженості та цілісності даних при зміні структури або місця їх розташування.

Завдання ускладнюється тим, що сучасні сховища відрізняються не лише технологічно, а й семантично – те, що в одній системі описується таблицею, в іншій може бути деревом або графом зв'язків. Це унеможливлює пряме копіювання без ризику втрати змісту, типів або зв'язків між елементами даних. Водночас автоматизація таких процесів стає критично необхідною: обсяг даних перевищує межі ручного управління, а вимоги до швидкості, відмовостійкості та відповідності стандартам дедалі зростають.

Проблема полягає у створенні методів, здатних забезпечити коректний перехід між різними структурами зберігання без втрати логічної еквівалентності. Це передбачає не лише технічну трансформацію, а й формальне збереження змісту, обмежень і властивостей даних, що є ключовим для побудови надійних систем у середовищах із високою змінністю та складною інфраструктурою.

Аналіз останніх досліджень і публікацій. У науковому просторі сьогодення представлено значну кількість досліджень, спрямованих на вдосконалення процесів міграції, інтеграції та узгодження даних у багатомодельних і розподілених системах зберігання. Так, у дослідженні Й. Казанавічюса, Д. Мажейки, Д. Калібатени [5] представлено підхід до переходу від монолітної архітектури до мікросервісної з використанням поліглотної персистентності як основи для багатомодельного зберігання даних. Автори розглядають проблему розподілу даних між незалежними сервісами, де кожен має власне сховище, і пропонують методику міграції, що враховує різноманітність моделей даних та особливості взаємодії між компонентами. Практичну реалізацію проведено у вигляді перевірки концепції (proof-of-concept) для бази даних головного фреймворку, яку перетворено на багатомодельну структуру. Оцінювання ефективності здійснено за якісними характеристиками ISO / IEC 25012:2008, зокрема цілісністю, зрозумілістю, доступністю та переносимістю даних. Результати засвідчили, що перехід до поліглотної персистентності підвищує узгодженість і надійність системи, водночас створюючи основу для подальшої автоматизації процесів міграції в умовах складних розподілених середовищ.

У свою чергу М. Перетятко, М. Широкопетлевою, Н. Лісною [12] досліджено проблему підтримки міграції даних між реляційними та документно-орієнтованими моделями зберігання, що є актуальною у контексті переходу до гібридних систем оброблення даних. Відзначені науковці здійснили аналітичний огляд наявних стратегій та методів перенесення інформації, виокремили обмеження традиційних підходів і розробили власний алгоритм гетерогенної модельно-неоднорідної міграції. Особливу увагу приділено застосуванню реляційної алгебри та теорії множин для формалізації процесу перетворення структур і запитів баз даних. Запропонована модель дозволяє узгоджувати логічні зв'язки між сутностями під час переходу з реляційної у документну схему, що знижує ризики втрати цілісності та

підвищує відповідність даних бізнес-запитам. Представлений алгоритм супроводжується математичним описом і UML-діаграмою, що демонструє послідовність кроків формування колекцій у цільовому сховищі. Результати експериментальної перевірки підтвердили працездатність підходу, його здатність забезпечувати повне відтворення інформаційних структур і придатність для практичного використання у реальних сценаріях міграції.

Проблему формалізації процесів інтеграції та міграції даних у багатомодельних і полісторових системах розглянуто В. Уотілою та Дж. Лу [14]. Автори підкреслюють, що сучасні підходи до трансформації даних і схем є фрагментованими та залежать від конкретних доменів, через що відсутня єдина теоретична база. У роботі запропоновано категорно-теоретичну основу для реляційних, графових та ієрархічних моделей, де кожен екземпляр даних подається у вигляді функтора, а перетворення – на основі підняття Кана, що описує універсальну властивість відповідності між схемою та даними. Такий підхід дозволяє формально відобразити процеси трансформації на рівні як структур, так і значень, забезпечуючи узгодженість і логічну цілісність даних у межах різних моделей. Результатом дослідження стало створення єдиного теоретичного каркасу, здатного об'єднати підходи до опису міграцій у гетерогенних середовищах і слугувати основою для подальшої автоматизації процесів узгодження схем і даних.

П. Кукарас [7] здійснив системний огляд сучасних методів інтеграції та зберігання даних у гетерогенних аналітичних середовищах. Розглянуто архітектури, що поєднують традиційні, документоорієнтовані та розподілені системи зберігання, орієнтовані на узгоджене управління великими обсягами інформації. Запропоновано класифікацію, яка поєднує механізми узгодження схем, семантичного збагачення та керування метаданими з рівнями фізичного зберігання і виконання запитів. Особливу увагу приділено забезпеченню масштабованості, узгодженості й відтворюваності даних у складних аналітичних системах. Показано роль онтологічних описів і контролю походження даних для підтримання прозорості, керованості та відтворюваності обчислень. Узагальнені результати демонструють переваги інтегрованих підходів для корпоративних, наукових і державних інформаційних систем, окреслюючи напрями розвитку багаторівневих платформ із підвищеною стійкістю, узгодженістю та довірою до даних.

Наявність значної кількості досліджень у сфері інтеграції, перетворення та узгодження даних у гетерогенних середовищах не виключає необхідності подальшого наукового вивчення питання створення цілісного підходу, що об'єднує формальні моделі представлення, перевірку інваріантів і автоматизоване керування міграцією між різнорідними сховищами.

Постановка завдання. Мета дослідження полягає у розробці концепції та архітектури системи автоматизованої міграції даних, здатної забезпечувати узгодженість, цілісність і еквівалентність інформації під час переходу між різнорідними моделями зберігання в умовах багатоваріантної персистентності.

Виклад основного матеріалу дослідження. Запропонований метод ґрунтується на багатоваріантній моделі зберігання, у якій факт – одна й та сама одиниця інформації – може існувати в кількох еквівалентних представленнях у різних сховищах [15]. Автоматизація міграції забезпечується формалізованими перетвореннями між цими представленнями, що зберігають інваріанти даних [11].

Метод базується на формальній моделі факту, інваріантів і відображень, які визначають логіку процесу міграції [13]. Факт розглядається як абстрактна одиниця даних, інваріантна до способу фізичного зберігання. Формально:

$$\mathrm{Fact} := \mathrm{id}, \mathcal{P}, \mathcal{V}, C, \Pi, \tag{1}$$

де id – стабільний ідентифікатор факту у глобальному просторі ідентифікації; $\mathcal{P}$ – корисне навантаження (payload) у канонічній логічній моделі, задане як елемент алгебраїчного типу або як структура $(\mathcal{A}, \mathcal{R})$ із атрибутами та відношеннями; $\mathcal{V}$ – версійний контекст: множина міток часу або редакцій (t, r), що відстежують еволюцію факту; C – множина доменних обмежень (Constraints) та інваріантів валідності (типи, ключі, кратність зв'язків між компонентами структури, логічні предикати); Π – метадані походження (provenance): джерело, авторство, довірчий рівень, підписи й хеші.

На рівні фізичного зберігання факт існує у вигляді свого варіанта представлення. Припускається, що для сховища S (табличне, документне, ключ-значення, графове тощо) та його моделі даних M_S діє логіка представлення фактів:

$$\mathrm{Rep}_S(\mathrm{Fact}) := S, \mathrm{schema}_S, \mathrm{enc}_S, \Theta_S, \tag{2}$$

де $F \in Fact$ – конкретний факт, schema_S – конкретна схема в межах моделі M_S (наприклад, набір таблиць і ключів, JSON-схема або тип вузлів чи ребер); enc_S – спосіб серіалізації $\mathcal{P}$ у структури M_S (включно з фрагментацією на кілька об'єктів, денормалізацією, індексами); Θ_S – експлуатаційні

параметри та політики: індексація, TTL, класи збереженості, шифрування, механізми узгодженості, транзакційність.

Наявність варіанту представлення задається парою тотальних функцій:

$$E_S : \mathrm{Fact} \to \mathrm{Rep}_S,\ D_S : \mathrm{Rep}_S \to \mathrm{Fact}, \tag{3}$$

де E_S – серіалізація у S, D_S – десеріалізація у канонічну логічну модель. Для коректних представлень має виконуватись умова семантичної ідемпотентності:

$$D_S\left(E_S(F)\right) \equiv_C F, \tag{4}$$

що гарантує логічну еквівалентність відновленого факту до вихідного відносно його інваріантів C. Допускаються незначні синтаксичні відхилення, які не впливають на зміст (наприклад, порядок полів чи формат дат), за умови збереження всіх семантичних властивостей, визначених C.

Багатоваріантність означає, що для фіксованого F може існувати індексована множина його представлень $\left\{R_{S_i}\right\}_{i\in I}$, де кожне R_{S_i} відповідає певному сховищу S_i з різними експлуатаційними профілями Θ_S (латентність, вартість, довірчі гарантії), які залишаються еквівалентними за змістом [3]. Для будь-яких двох представлень з цього сімейства визначається відношення семантичної еквівалентності:

$$R_{S_1} \sim R_{S_2} \Leftrightarrow D_{S_1}\left(R_{S_1}\right) \equiv_C D_{S_2}\left(R_{S_2}\right) \equiv_C F. \tag{5}$$

Ідентичність факту зберігається через його унікальний ідентифікатор id і передається у варіант представлення через ключі або мітки в схемі schema_S. Можливі два випадки: фрагментація та композиція.

Під час фрагментації операція $E_S(F)$ породжує множину фізичних об'єктів $\{ok\}$ із посиланнями між ними. При композиції матеріалізація складного факту агрегує підфакти з власними ідентифікаторами. В обох випадках enc_S має містити механізм відстеження відповідності між id та $\{ok\}$ для коректної десеріалізації D_S [2]. Поза фізичним рівнем представлення, факт описується у контексті $\mathcal{V}$ і П. Представлення повинно зберігати мінімально необхідні мітки версій та часу, щоб відтворювати стан на момент t, та атрибути довіри, потрібні для перевірки автентичності та цілісності [8]. Додатково, типізація фактів визначається канонічними доменами значень і предикатами з множини C, які задають базову логічну структуру даних. Будь-яке представлення повинно мати тотальне відображення доменів у підтримувані типи моделі M_S із визначеною політикою деградації, наприклад із підвищенням розрядності типу int до decimal або з нормалізацією часових поясів [6]. Також необхідно фіксувати стратегії для значень, що не вкладаються в тип системи S: квантизацію, кодування або використання додаткових індексів довідників. Це гарантує збереження відновлюваності при десеріалізації D_S.

Наведені визначення формують основу подальшої формалізації відповідності між моделями даних, інваріантів та коректних перетворень у багатосховищному середовищі [10]. Формалізація відповідності між моделями даних передбачає_структурування для будь-яких двох різнорідних моделей M_i як багатосортних сигнатур із визначеним набором типів, операцій і предикатів. Нехай $\mathcal{T}_\mathrm{i}$ є множиною типів у моделі M_i, а K_i є множиною схематичних структур. Формально відповідність задається через пару відображень:

$$\Phi_{\mathcal{T}} : \mathcal{T}_1 \to \mathcal{T}_2,\ \Phi_K : K_1 \to \wp(K_2), \tag{6}$$

де $\Phi_{\mathcal{T}}$ – задає узгодження типів, Φ_K – задає узгодження структур, $\wp(K_2)$ – позначає множину всіх підмножин K_2, що відображає можливість фрагментації, коли елементу K_1 відповідає множина структур K_2 [1].

На рівні семантики відображення Φ визначає схему перетворення фактів, у якій $\Phi_{\mathcal{T}}$ гарантує, що домени значень у M_2 здатні виразити ті ж дані, що і у M_1, а Φ_K задає спосіб матеріалізації цих значень у фізичній структурі.

Для формалізації перетворень на рівні схеми вводиться композиція операцій:

$$\Psi := \psi^{(1)} \circ \psi^{(2)} \circ \cdots \circ \psi^{(k)}, \tag{7}$$

де $\psi^{(\mathrm{j})}$ є атомарними базовими перетвореннями (проєкція, агрегація, розгортання вкладеності, нормалізація, денормалізація, індукція зв'язків через ключі / ідентифікатори). На цьому рівні схема перетворення розглядається як морфізм у категорії схем, який відображає перехід від M_1 до M_2 [9].

Коректність відображення Φ та відповідної схеми трансформацій Ψ визначається трьома взаємопов'язаними вимогами. По-перше, відображення має бути тотальним, тобто всі типові та структурні елементи кожної моделі $\mathrm{M_i}$ повинні мати відповідники принаймні в одній іншій моделі. По-друге, воно має забезпечувати часткову оборотність, за якої існує відображення Φ^{-1}, що дозволяє відновити вихідний факт із перетвореної структури. По-третє, трансформація має бути безвтратною, тобто композиція ψ не може призводити до втрати інформації з $\mathcal{P}$ і зобов'язана зберігати ізоморфізм між відповідними семантичними просторами моделей $\mathrm{M_i}$ [4]. Уведені визначення факту, його представлень і відображень формують основу формальної моделі, що задає межі допустимих перетворень між

ISSN 2786-5460 (Print), ISSN 2786-5479 (Online)

різними схемами зберігання. Межі допустимих перетворень задаються набором інваріантів, кожен з яких визначає рівень збереження структури, типів або семантики, необхідний для коректного відновлення змісту з множини представлень.

Структурні інваріанти визначають стабільність топології даних і внутрішню організацію корисного навантаження. Вони фіксують збереження вкладеності, порядку та кількісних співвідношень елементів під час переходу між моделями, підтримуючи незмінність відношень кратності та рівнів ієрархії. Це унеможливлює спрощення або сплющення схеми, що порушує структурну інваріантність. Типові інваріанти забезпечують збереження доменної природи значень та їх типову узгодженість у процесі трансформацій. Для кожного атрибуту канонічного навантаження фіксуються допустимі межі типів і доменів, що унеможливлює втрату семантичних властивостей під час матеріалізації у цільове сховище. Вони гарантують валідність і коректну інтерпретацію значень після десеріалізації. Семантичні інваріанти визначають збереження семантичного змісту_факту незалежно від моделі зберігання. Логічна еквівалентність задається предикатами та обмеженнями C і гарантує, що після будь-якої трансформації факт зберігає ті самі істинні твердження та допустимі інтерпретації. Таким чином, різні форми матеріалізації залишаються еквівалентними за змістом, попри відмінності у вартості, латентності чи доступності.

Для забезпечення дотримання цих інваріантів під час фактичних перетворень даних використовується – mapping DSL (mapping Domain-Specific Language – предметно-орієнтована мова опису трансформації). Формальна семантика цієї мови ґрунтується на операціях над канонічною моделлю факту, де кожен вираз є тотальним відображенням над графом або деревом структур корисного навантаження. Вирази строго типізовані, а операції трактуються як морфізми над структурованими даними, що визначають формальні перетворення. DSL підтримує кілька класів виразів, серед яких атомарні операнди, що відповідають канонічним атрибутам або підструктурам. Композиційні вузли, які описують вкладені набори атрибутів чи підфактів, та операторні конструкції, що формують композиції над атомарними й складеними елементами. Усі вирази мають фіксовану сигнатуру входів і виходів, а їхня семантика визначається відображенням.

Мова включає базовий набір примітивів, які утворюють повний операційний базис і дозволяють будувати довільні тотальні відображення між моделями даних із дотриманням інваріантів:

– project – вибір підмножини атрибутів або полів структури;
– embed – вбудовування підструктури у іншу структуру;
– flatten – перетворення вкладеності у відносну чи табличну форму з виявленням неявної кратності;
– join – поєднання структур за ключами або канонічними ідентифікаторами;
– keyify – індукція ключа або сурогатного ключа (pseudo-key) для фрагментації чи реідентифікації компонентів;
– edgeify – утворення семантичного ребра або відношення між двома сутностями для схем графової моделі.

На етапі валідації виразів DSL застосовуються формальні правила, що забезпечують коректність перетворення перед виконанням. Операції дозволено лише для валідних типів операндів, а тип результату визначається детерміновано за сигнатурою оператора. Композиції допускаються, якщо послідовність не порушує тотальності та збереження доменів. Для складених виразів виконується статична перевірка відсутності немодельованих проєкцій або неопрацьованих атрибутів, що унеможливлює втрату даних, появу неінтерпретованих значень або порушення відновлюваності факту. Мова опису трансформацій є незалежною від формату зберігання: вона визначає уніфікований синтаксис, а семантика реалізується через інтерпретацію примітивів відносно цільової моделі даних. Трансформації DSL не має окремих діалектів – конструкції flatten або embed зберігають однаковий логічний зміст, змінюючи лише спосіб матеріалізації у SQL-документних або ж графових моделях. Базовий механізм реалізації забезпечує інтерпретатор DSL, що інстанціює примітиви у конкретні елементи моделі M_S.

У табличній моделі операції DSL реалізуються як проєкції, введення або нормалізація таблиць за ключами. Ієрархічні вузли подаються окремими таблицями або неатомарними полями з фіксованою кратністю. Оператори join та keyify інтерпретуються відповідно як поєднання за ключами та генерація первинних або сурогатних ідентифікаторів.

У документній моделі (деревоподібній структурі) контейнери DSL відображаються на вкладені об'єкти або масиви. Оператор embed реалізує безпосереднє вкладення підструктур, тоді як flatten – їх розгортання у табличні фрагменти, якщо цього вимагає схема матеріалізації. DSL визначає межі вкладеності та правила винесення фрагментів у зовнішні структури.

У моделі DSL ключ-значення представляє факт як простір ключів, де keyify генерує ключ або їх множину, а корисне навантаження факту зберігається у значенні. Значення може бути вкладеним: у сховищах типу ключ-значення допускається формат JSON або бінарний blob. У цьому випадку DSL визначає не структуру, а стратегію серіалізації та декодування. Оператор flatten може створювати кілька записів ключ-значення для одного факту.

У графовій моделі DSL визначає вузли та ребра. Оператор edgeify встановлює відношення, типи вузлів формуються з атрибутів і підструктур embed, а join задає відповідності між вузлами за ключами. Графова матеріалізація індукується композицією операторів DSL, що визначають, які фрагменти факту стають вузлами, які стають ребрами, і які семантичні мітки отримують відношення.

Гарантії коректності в трансформації DSL визначають кожну трансформацію як тотальну та однозначно визначену функцію. Перший рівень – для будь-якого валідного вхідного факту результат має бути єдиним, а недетермінізм виключено. Така детермінованість забезпечує передбачуваність і стабільність транслятора в усіх цільових моделях – табличних, документних чи типу ключ-значення. Другий рівень гарантій забезпечує статичний аналіз, що виконується до матеріалізації. Під час розбору виразів DSL перевіряється збереження структурних, типових і семантичних інваріантів; якщо хоча б один із них не може бути гарантований, трансформація блокується. Аналіз охоплює не тільки перевірку типів, але й виявлення потенційних проєкцій, які вилучають атрибути корисного навантаження, або композицій, що спричиняють втрату кратності чи неідентифіковану фрагментацію. Третій рівень – політика відхилення при відсутності гарантій збереження інваріантів. У разі неоднозначності або ризику семантичної втрати трансформація відхиляється ще до матеріалізації. Такий механізм фільтрує небезпечні перетворення, запобігаючи порушенню логічної цілісності факту навіть за формально можливої серіалізації.

На основі визначеної мови трансформацій та гарантій збереження інваріантів система отримує можливість не лише виконувати коректні перетворення, а й автоматично приймати рішення про міграцію фактів між сховищами залежно від поточного операційного контексту. Рішення про міграцію реалізуються через систему тригерів, які визначають перехід системи від пасивного багатоваріантного стану до активного переміщення фактів між сховищами. Один тип тригерів пов'язаний із навантаженням: моніторингом CPU, IO, IOPS, черг і рівня конкуренції за ресурси (contention). Якщо модель зберігання демонструє ознаки деградації продуктивності, система ініціює міграцію до моделі, здатної ефективніше обробляти поточний профіль навантаження. Другий тип тригерів ґрунтується на показниках затримки. Якщо поточне сховище перевищує межі умов SLA (Service Level Agreement), що передбачає граничні значення для операцій читання чи запису, тоді система ініціює міграцію до моделі з нижчими накладними витратами. Це забезпечує адаптивну зміну профілів зберігання відповідно до домінуючих типів запитів у певний період. Третій тип тригерів враховує вартісні характеристики. Оцінювання вартості (cost model) оцінює реальну ціну операцій – зберігання, мережевого трафіку та доступу до даних. Якщо прогнозована вартість обробки або зберігання для певного набору фактів перевищує оптимальний рівень, система ініціює міграцію для мінімізації сукупних витрат. Окремий клас тригерів формується AI-агентом, який приймає рішення про міграцію відповідно до політики, побудованої на основі RL або EML. Така політика враховує продуктивність, вартість, патерни доступу, ризики та інші контекстні фактори, що дає змогу системі переходити між різними сховищами не лише реактивно, а й проактивно – за прогнозованими сценаріями використання.

Для побудови політики прийняття рішень використовується формальна модель середовища у вигляді трійки $\mathcal{S}t, \mathcal{A}c, \mathcal{R}ew$, де $\mathcal{S}t$ – простір станів, що відображає поточний профіль навантаження, вартості та стабільності сховищ; $\mathcal{A}c$ – множина можливих дій (переміщення фактів, зміна схеми матеріалізації, призупинення міграції); $\mathcal{R}ew$ – функція винагороди,, що визначає якість переходу між станами. Окремий стан середовища позначається $st \in St$, дія агента – $ac \in Ac$, а результатом виконання дії є новий стан $st' \in St$ і відповідна винагорода $rew = Rew(st, ac)$. Таким чином, кожна взаємодія агента із середовищем описується четвіркою $\langle\ st, ac, rew, st'\ \rangle$.

Функція винагороди має вигляд:

$$\mathcal{R}ew = w_1 \text{"}\,\text{Perf} - w_2 \text{"}\,\text{Cost} - w_3 \text{"}\,\text{Lat}, \tag{8}$$

де $\text{"}\,\text{Perf}$ – зміна продуктивності, $\text{"}\,\text{Cost}$ – зміна вартості, $\text{"}\,\text{Lat}$ – зміна затримки. Вагові коефіцієнти w_1, w_2, w_3 визначають пріоритети політики.

На основі цієї функції визначається оптимальна політика $\pi^*(\mathcal{S}t)$, що максимізує очікувану винагороду:

$$\pi^*(\mathcal{S}t) = \arg\max_{\pi} \mathcal{E}[\mathcal{R}ew^t \mid \pi], \tag{9}$$

ISSN 2786-5460 (Print), ISSN 2786-5479 (Online)

Оптимальна політика може набуватись еволюційним чи підкріплювальним навчанням (RL, EML), що дозволяє системі динамічно пристосовуватись до змінних умов. AI-агенти навчаються в процесі експлуатації системи, формуючи політику міграції на основі накопичених метрик продуктивності, вартості та стабільності. Їхнє навчання здійснюється за принципами підкріплювального або еволюційного машинного навчання, що дозволяє адаптувати поведінку до змін операційного середовища.

Для оцінки дій агент використовує модель цінності стану $U(st)$ або модель цінності дії $Q(st,ac)$, яка апроксимується функцією з параметрами θ (нейронна або регресійна модель). Під час експлуатації агент накопичує досвід $\langle\ st,ac,rew,st'\ \rangle$ і коригує θ за правилом:

$$\theta_{t+1} = \theta_t + \alpha\left(\rho + \gamma \max_{ac'} Q(st',ac') - Q(st,ac)\right)\nabla_\theta Q(st,ac), \quad (10)$$

де α – швидкість навчання, γ – коефіцієнт дисконтування. Така адаптація дає змогу AI-агенту накопичувати емпіричну політику оптимальної міграції без явного програмування правил.

Сам процес міграції реалізується як формальна трирівнева послідовність, що починається з планування та завершується валідацією коректності нової матеріалізації. На етапі планування система визначає цільову модель зберігання та конкретне сховище на основі активованих тригерів. На цьому етапі метрики та політики (затримка, вартість, пропускна здатність) агрегуються у конкретне рішення щодо формату перенесення даних. Планування також охоплює генерацію набору правил трансформації в термінах DSL, які відтворюють канонічний факт у новій матеріалізації. На етапі виконання відбувається безпосереднє застосування опису трансформацій. Трансформація DSL компілюється у план виконання, що формує послідовність операції для окремих фрагментів представлення. Під час виконання зміна логіки перетворень не допускається. Виконання може бути потоковим або пакетним залежно від розміру фактів і характеристик цільового стору. Завершальна фаза – валідація, що виконується під час виконання, як перевірка збереження інваріантів на вибірковій підмножині мігрованих фактів. Такий контроль мінімізує накладні витрати й водночас дає змогу виявляти порушення семантичної еквівалентності.

У разі відхилень міграція може бути відкладена, призупинена або повернена до попередньої матеріалізації за компенсаційними стратегіями. Завершення процесу допускається лише після підтвердження семантичної коректності.

Для забезпечення керованого та безпечного виконання автоматизованої міграції використовується механізм відкату (rollback) і компенсацій. Його основою є журнал фіксації операцій (commit log), що фіксує всі кроки, виконані під час трансформації. Журнал містить дані про переміщені факти, згенеровані ключі, створені структури у цільовому сховищі, а також часові й версіонні мітки. Наявність журналу фіксації операцій дає змогу відтворити порядок дій і визначити фрагменти даних, які можуть потребувати відкату.

Якщо перетворення є оборотними, відкат виконується шляхом застосування оберненої трансформації: за визначеною парою E_S і D_S можливо відновити факт у попередній матеріалізації без втрати інформації. Це дає змогу скасувати наслідки міграції, якщо після валідації або під час експлуатації виявлено погіршення характеристик чи порушення роботи. Якщо ж перетворення не є повністю оборотним, (наприклад, при агрегаціях або редукції вкладеності), застосовується компенсаційна трансформація (compensating mapping) – набір правил для відновлення логічної коректності факту за допомогою додаткових операцій. Навіть у разі часткової невідворотності перетворення система здатна привести факт до стану, що задовольняє семантичні інваріанти й готовий до повторної матеріалізації в іншому сховищі.

Описані вище принципи реалізовано у прототипі, архітектура якого містить шість компонентів, які виконують різні ролі у повному життєвому циклі міграції.

Модуль перевірки інваріантів (Invariant engine) виконує формальну перевірку інваріантів, використовуючи визначення типів, структурних залежностей і семантичних обмежень, щоб оцінити застосовність DSL-перетворень у заданому контексті. Він працює як під час компіляції, так і під час валідації вибіркових підмножин даних після міграції, єдиним джерелом достовірності щодо збереження смислової еквівалентності.

Компілятор трансформації (Mapping compiler) транслює конструкції DSL у виконувану програму міграційного рушія. Під час компіляції створюється граф кроків, де вузли відповідають окремим перетворенням, а ребра задають їх залежності. Він інтерпретує примітиви DSL відносно цільової моделі зберігання, генеруючи інструкції, адаптовані до SQL, документних, ключ-значення та графових систем.

Рис. 1. Архітектура автоматизованої багатоваріантної міграції даних

Джерело: власна розробка автора.

Виконавчий рушій міграції (Migration executor) відповідає за виконання трансформацій, сформованих компілятором. Він реалізує конвеєр (pipeline) виконання, відстежує проміжний стан і веде журнал фіксації операцій. Migration executor контролює транзакційність у межах семантики цільового стору та ініціює відкат або компенсаційне відображення, якщо валідація виявляє порушення інваріантів. Він поєднує операційну функцію з механізмом забезпечення безпеки даних під час міграції.

Інтеграція з наявними сховищами здійснюється за допомогою адаптерів, що інкапсулюють протоколи доступу, транзакційну модель і особливості API конкретної СУБД. Вони забезпечують уніфікований інтерфейс для операцій читання, запису, ізоляції транзакцій і виконання запитів, приховуючи відмінності між табличними, документними, ключ-значення та графовими системами. Другий компонент інтеграції – екстракція схеми (schema extraction), процес побудови логічного представлення структур даних у цільовому сховищі. Система отримує інформацію про типи колонок, вкладеність документів, формати ідентифікаторів, схему графових вузлів і ребер. Екстракція схеми дає модулю перевірки інваріантів змогу зіставляти елементи корисного навантаження з конкретними структурами стору та виявляти невідповідності між формальною моделлю факту й реальною матеріалізацією. Останній компонент, а саме виявлення можливостей (capabilities discovery), яке визначає операційні можливості цільового сховища – транзакційність, підтримку індексів, лічильники з атомарними операціями (atomic counters), з'єднання на боці сервера (server-side join), діапазонні запити (range queries) та підтримку складних фільтрів. На основі цих даних компілятор трансформації обирає стратегію реалізації операторів DSL; інтерпретація трансформацій адаптується до можливостей сховища при збереженні семантичних інваріантів.

Після виконання інтеграційних процедур система надає зовнішнім AI-агентам формалізований інтерфейс взаємодії – API (Application Programming Interface – інтерфейс прикладного програмування). Він забезпечує доступ до сервісів міграції, оцінювання вартості та перевірки інваріантів без прямого втручання у внутрішню семантику системи, а також забезпечує зворотний канал передачі метрик (зміни продуктивності, вартості, латентності) та збереження епізодів $\langle\ st, ac, rew, st'\ \rangle$ у базі досвіду. Це робить можливим безперервне навчання політики без зупинки системи та дозволяє формувати узагальнену модель $\pi^*(st)$ у розподіленому середовищі кількох агентів.

Сервіс міграції обробляє запити зовнішніх агентів, приймаючи параметри набору фактів, цільову модель і бажані операційні властивості. У результаті система повертає декларативну відповідь із підтвердженням або поясненням причини відмови, наприклад, неможливістю гарантувати певний інваріант.

Сервіс оцінювання вартості виконує симуляцію витрат перенесення фактів у різні цільові моделі. Він обчислює прогнозовані показники часу, ресурсів і вартості, що дає змогу оптимізаторам порівнювати сценарії та формувати політики мінімізації сукупного TCO (Total Cost of Ownership – Сукупна вартість володіння) або підвищення QoS (Quality of Service – якість обслуговування).

Сервіс перевірки інваріантів дозволяє агентам передавати опис трансформації разом із вибраними фактами й отримувати формальний висновок про відповідність інваріантам. Такий механізм створює замкнений цикл, у якому AI-система може моделювати, валідувати та лише після цього виконувати операції, не порушуючи формальних гарантій системи.

Для оцінювання було визначено два класи сценаріїв міграції, що відрізнялись складністю та моделями даних. Перший сценарій – простий перехід з моделі SQL до документної. У ньому факт, матеріалізований у табличну структуру з фіксованими ключами та первинними зв'язками, переносився в документну модель із вкладеною ієрархією. Перевірялося, чи коректно виконується операція flatten і чи зберігається кратність після вкладення підструктур. Другий сценарій – складний перехід із моделі

ключ-значення до графової. Тут факт спочатку був представлений у вигляді множини ключів зі значеннями та денормалізованою структурою у форматі blob. У графовій моделі виконувалося edgeify та розділення корисного навантаження на вузли й ребра. Перевірялося, чи не виникає неоднозначності під час індукції ключів і чи забезпечується відтворюваність відношень між компонентами.

Для оцінювання запропонованого методу використано три набори фактів:

1. D1 (synthetic-hier) – 200 тис. фактів із середнім payload 2.4 KB, із вкладеністю до трьох рівнів і комбінацією зв'язків 1: N та N: M через проміжні таблиці.

2. D2 (synthetic-kv) – 150 тис. фактів зі середнім payload 3.1 KB у JSON-blob; ключі частково колізійні (0.2%), передбачено три еволюції схем для перевірки стійкості до змін структури.

3. D3 (stress mix) – 1 млн фактів: 70% D1 + 30% D2, для перевірки масштабованості.

Експерименти проводилися на кластері з трьох вузлів (2×CPU 12C / 24T, 128 GB RAM, NVMe 3.2 GB / s, 25 GbE).

Як цільові сховища використовувалися: реляційне сховище з підтримкою транзакцій та індексів, документне сховище з вкладеними JSON-деревами та індексацією масивів, сховище типу ключ-значення з підтримкою TTL та атомарних лічильників, а також графова база даних із вузлами, ребрами та індексацією за мітками. Для виконання міграції застосовувався розроблений прототип, що включав модуль перевірки інваріантів, компілятор трансформацій і виконавчий рушій міграції з моніторингом метрик та журналом фіксації операцій. Процедура вимірювань складалася з кількох етапів: спочатку фіксувався стан вихідного сховища шляхом створення знімка стану, далі компілювався опис трансформацій DSL у план матеріалізації, після чого виконувалися перетворення з пакетним розміром 5,000 фактів і паралелізмом до 8 потоків. Для 5% вибірки кожного пакета здійснювалася перевірка під час роботи. Кожен сценарій повторювали 5 разів із перемішуванням порядку пакетів, а отримані результати усереднювали.

Оцінювання здійснювалось за набором формальних метрик. Першою метрикою був T_{mig} час виконання міграції, що фіксував загальні витрати на матеріалізацію у цільовому сховищі. Другою метрикою був Viol – число порушених інваріантів – вимога передбачала, що це значення має залишатись нульовим для розробленої моделі. Додатковими метриками були накладні витрати на інфраструктурному рівні: пікові CPU%, NET out (GB) – мережевий трафік, та затримка узгодження між представленнями. Ці показники дозволяли оцінити операційні витрати при збільшенні масштабу міграції.

Для порівняння використовувалися два базові підходи. Перший – ручні трансформації без формального контролю інваріантів. Другий – простий процес ETL (Extract, Transform, Load – Витяг, Перетворення та Завантаження) без перевірки інваріантів, у якому дані переносилися механічно. Під час експериментів AI-агенти працювали у режимі спостереження: політика $\pi^*(st)$ була фіксованою, а система лише накопичувала епізоди $\langle st, ac, rew, st' \rangle$ для подальшого навчання. Результати табл. 1–3 відображають початковий цикл роботи без адаптації політики.

Таблиця 1

Порівняння результатів міграції з моделі SQL до документної моделі

Підхід	T_{mig}	Viol	пікові CPU%	NET out (GB)	Затримка узгодження
Зап. метод	812	0	46	9.8	42
Руч. Т.	905	7	44	10.1	67
ETL	668	124	38	9.5	59

Джерело: власна розробка автора.

Таблиця 2

Порівняння результатів міграції зі сховища типу ключ-значення до графової моделі

Підхід	T_{mig}	Viol	пікові CPU%	NET out (GB)	Затримка узгодження
Зап. метод	1196	0	52	12.7	71
Руч. Т.	1318	23	49	12.5	104
ETL	1034	213	41	12.1	97

Джерело: власна розробка автора.

Таблиця 3

Порівняння результатів міграції на стрес-тестовому наборі даних

Сценарій	Підхід	T_{mig}	Viol	пікові CPU%	NET out (GB)	Затримка узгодження
Перший	Зап. метод	3920	0	61	48.2	128
Перший	ETL	3215	627	55	46.9	141
Другий	Зап. метод	5480	0	66	63.7	171
Другий	ETL	4770	981	57	61.8	208

Джерело: власна розробка автора.

Отримані результати (табл. 1–3) вказують на те, що класичний ETL забезпечує найменший час міграції, однак супроводжується найбільшою кількістю порушень інваріантів, особливо у складних сценаріях. Ручні трансформації зменшують кількість помилок, проте поступаються швидкодією. Запропонований метод гарантує відсутність порушень інваріантів (Viol = 0) за незначного збільшення часу міграції, а саме у межах 15–25% відносно ETL. Навчальні агенти на цьому етапі виконують роль моніторингового модуля, що накопичує досвід і формує статистику для подальшого підвищення ефективності рішень у наступних циклах.

Таким чином, запропонований метод забезпечує коректну автоматизовану міграцію даних між різнорідними сховищами, зберігаючи повну семантичну еквівалентність і цілісність фактів. Завдяки формалізованим перетворенням, перевірці інваріантів та механізмам відкату і компенсацій система гарантує надійність і відсутність втрат даних при зміні моделі зберігання. Експерименти підтвердили, що метод підтримує нульовий рівень порушень інваріантів за мінімального приросту часу міграції, демонструючи стабільність і передбачуваність результатів.

Висновки. У ході виконання дослідження послідовно сформовано та реалізовано формальний метод автоматизованої міграції даних між різнорідними сховищами у системах з багатоваріантною персистентністю. Побудовано математичну модель факту, інваріантів і відображень, що визначають межі допустимих перетворень та гарантують семантичну еквівалентність між різними матеріалізаціями даних. Використано предметно орієнтовану мову опису трансформацій, яка забезпечує формальну верифікацію тотальності, типізації та збереження інваріантів під час виконання перетворень. Реалізовано архітектуру системи, що поєднує модулі компіляції, виконання, перевірки інваріантів і механізми відкату та компенсації, а також інтеграцію з різними моделями сховищ через уніфіковані адаптери. Розроблений прототип засвідчив, що система спроможна здійснювати коректну та відмовостійку міграцію даних без втрати цілісності, забезпечуючи нульовий рівень порушень інваріантів при мінімальному зростанні часу виконання. Проведені експерименти вказують стабільність результатів і придатність методу до масштабування. Отримані результати підтверджують ефективність розробленої моделі та відкривають перспективи подальшої адаптації системи через використання навчальних агентів і динамічних політик керування міграцією.

Подальші дослідження можуть бути спрямовані на розвиток адаптивних механізмів керування міграцією, зокрема з використанням навчальних агентів у контурі прийняття рішень. Передбачається дослідити вплив активного навчання політики на скорочення часу, затримок і витрат, а також розробити багатокритеріальні методи оцінки ефективності для динамічного розподілу даних у багатоваріантних середовищах.

Список використаних джерел:

1. Fernández Candel C. J., Sevilla Ruiz D., García-Molina J. J. A unified metamodel for NoSQL and relational databases. *Information Systems*. 2022. Vol. 104. 101898. DOI: https://doi.org/10.1016/j.is.2021.101898

2. Glake D., Kiehn F., Schmidt M., Panse F., Ritter N. Towards polyglot data stores – overview and open research questions. *arXiv preprint*: website. 2022. DOI: https://doi.org/10.48550/arXiv.2204.05779

3. Goch L., Chen S. Data migration in large scale storage systems with varying file sizes. *Proceedings of the 2024 8th International Conference on Algorithms, Computing and Systems (ICACS '24)*. 2025. P. 77–82. DOI: https://doi.org/10.1145/3708597.3708609

4. Hussein A. A. Data migration need, strategy, challenges, methodology, categories, risks, uses with cloud computing, and improvements in its using with cloud using suggested proposed model (DMig 1). *Journal of Information Security*. 2021. Vol. 12. No. 1. P. 49–64. DOI: https://doi.org/10.4236/jis.2021.121004

5. Kazanavičius J., Mažeika D., Kalibatienė D. An Approach to Migrate a Monolith Database into Multi-Model Polyglot Persistence Based on Microservice Architecture: A Case Study for Mainframe Database. *Applied Sciences*. 2022. Vol. 12. No. 12. 6189. DOI: https://doi.org/10.3390/app12126189

6. Kiehn F., Schmidt M., Glake D., Panse F., Wingerath W., Wollmer B., Poppinga M., Ritter N. Polyglot data management: state of the art & open challenges. *Proceedings of the VLDB Endowment*. 2022. Vol. 15. No. 12. P. 3750–3753. DOI: https://doi.org/10.14778/3554821.3554891

7. Koukaras P. Data integration and storage strategies in heterogeneous analytical systems: architectures, methods, and interoperability challenges. *Information*. 2025. Vol. 16. No. 11. 932. DOI: https://doi.org/10.3390/info16110932

8. Koupil P., Holubová I. A unified representation and transformation of multi-model data using category theory. *Journal of Big Data*. 2022. Vol. 9. Article No. 61. DOI: https://doi.org/10.1186/s40537-022-00613-3

9. Lu J., Liu Z. H., Xu P., Zhang C. UDBMS: road to unification for multi-model data management. *arXiv preprint*: website. 2016. DOI: https://doi.org/10.48550/arXiv.1612.08050.

10. Nadal S., Romero O., Abelló A., Vassiliadis P., Vansummeren S. An integration-oriented ontology to govern evolution in big data ecosystems. *Information Systems*. 2018. Vol. 76. P. 68–88. DOI: https://doi.org/10.1016/j.is.2018.01.006

11. Nadig R., Arulchelvan V., Bera R., Shahroodi T., Singh G., Kakolyris A., Sadrosadati M., Park J., Mutlu O. Harmonia: a multi-agent reinforcement learning approach to data placement and migration in hybrid storage systems. *arXiv preprint*: website. 2025. DOI: https://doi.org/10.48550/arXiv.2503.20507

12. Peretiatko M., Shirokopetleva M., Lesna N. Research of methods to support data migration between relational and document data storage models. *Innovative Technologies and Scientific Solutions for Industries*. 2022. No. 2 (20). P. 64–74. DOI: https://doi.org/10.30837/ITSSI.2022.20.064

13. Ramos-Vidal D., Cortiñas A., Luaces M. R., Pedreira O., Saavedra Places Á., Assunção W. K. G. Seamless data migration between database schemas with DAMI-framework: an empirical study on developer experience. *arXiv preprint*: website. 2025. DOI: https://doi.org/10.48550/arXiv.2504.17662

14. Uotila V., Lu J. A formal category theoretical framework for multi-model data transformations. *Lecture Notes in Computer Science*. 2021. Vol. 12921. P. 14–28. DOI: https://doi.org/10.1007/978-3-030-93663-1_2

15. Ye F., Sheng X., Nedjah N., Sun J., Zhang P. A benchmark for performance evaluation of a multi-model database vs. polyglot persistence. *Journal of Database Management*. 2023. Vol. 34. No. 3. P. 20. DOI: https://doi.org/10.4018/JDM.321756

Дата надходження статті: 16.11.2025
Дата прийняття статті: 10.12.2025
Опубліковано: 30.12.2025

УДК 004.056.53:004.021
DOI https://doi.org/10.32689/maup.it.2025.4.22

Дмитро ПЕРСУНОВ
аспірант спеціальності 126 Інформаційні системи та технології,
Державне некомерційне підприємство «Державний університет «Київський авіаційний інститут»,
5812850@stud.kai.edu.ua
***ORCID:** 0009-0000-5877-3493*

ТЕХНОЛОГІЯ КОНТРОЛЮ ТА ВІДНОВЛЕННЯ ЦІЛІСНОСТІ ДАНИХ У РОЗПОДІЛЕНИХ СХОВИЩАХ

Анотація. *У статті запропоновано інформаційну технологію контролю та відновлення цілісності даних у розподілених багатоджерельних сховищах, яка поєднує формальні критерії структурної, логічної та семантичної відповідності з адаптивними методами обчислення узгодженості та реконструкції даних. Розроблена математична модель забезпечує кількісну оцінку рівня порушень цілісності та визначає найбільш достовірні значення в умовах конфліктів або відсутності фрагментів інформації. Запропонований підхід апробовано на моделюванні багатоджерельного набору даних, що демонструє ефективність технології у виявленні аномалій та формуванні узгодженого інформаційного простору.*

Мета. *Підвищення рівня цілісності даних у розподілених багатоджерельних сховищах шляхом розроблення інформаційної технології контролю та відновлення даних на основі формалізованої математичної моделі.*

Методологія. *Методологічною основою дослідження є математичне моделювання процесів забезпечення цілісності даних у розподіленому середовищі, аналіз структурних і логічних порушень, формалізація функцій узгодженості та визначення оптимальних значень параметрів на основі вагових коефіцієнтів довіри до джерел. Практична частина реалізована у середовищі Python із використанням прототипу інформаційної технології, що виконує виявлення аномалій, оцінювання узгодженості та реконструкцію даних для формування узгодженого набору.*

Наукова новизна. *Запропоновано формалізовану модель узгодженості багатоджерельних даних, що поєднує структурні, логічні та семантичні критерії з адаптивним відновленням значень.*

Висновки. *Запропонована інформаційна технологія забезпечує автоматичне виявлення порушень цілісності та формування узгоджених даних у розподіленому багатоджерельному середовищі. Результати моделювання підтверджують практичну ефективність моделі у виявленні аномалій та відновленні параметрів за критерієм максимізації узгодженості.*

Ключові слова: *цілісність даних, багатоджерельні сховища, інформаційна технологія, узгодженість, аномалії, відновлення даних, математична модель.*

Dmitry PERSUNOV. TECHNOLOGY FOR CONTROLLING AND RESTORING DATA INTEGRITY IN DISTRIBUTED STORAGE SYSTEMS

Abstract. *The article proposes an information technology for controlling and restoring data integrity in distributed multi-source storage systems, which combines formal criteria of structural, logical and semantic consistency with adaptive methods of calculating consistency and reconstructing data. The developed mathematical model provides a quantitative assessment of the level of integrity violations and determines the most reliable values in conditions of conflict or absence of information fragments. The proposed approach has been tested on a multi-source data set, demonstrating the effectiveness of the technology in detecting anomalies and forming a consistent information space.*

Objective. *Improving data integrity in distributed multi-source storage systems by developing information technology for data control and recovery based on a formalised mathematical model.*

Methodology. *The methodological basis of the study is mathematical modelling of data integrity assurance processes in a distributed environment, analysis of structural and logical violations, formalisation of consistency functions, and determination of optimal parameter values based on source trust weighting coefficients. The practical part is implemented in the Python environment using a prototype information technology that performs anomaly detection, consistency assessment, and data reconstruction to form a consistent set.*

Key words: *data integrity, multi-source storage, information technology, consistency, anomalies, data recovery, mathematical model.*

Вступ. Розподілені інформаційні системи, що працюють із різнотипними та незалежними джерелами даних, стикаються з проблемою втрати цілісності через пропуски, аномалії, конфлікти та неоднорідність форматів. У таких умовах неможливо гарантувати достовірність і узгодженість інформації без спеціалізованих механізмів перевірки та відновлення даних. Наявні підходи або орієнтовані на централізовані системи, або не враховують багатоджерельність та асинхронність потоків, що створює потребу у розробленні інформаційної технології, здатної забезпечити повний цикл контролю та реконструкції даних у розподіленому середовищі.

© Д. Персунов, 2025

Стаття поширюється на умовах ліцензії CC BY 4.0

Виклад основного матеріалу. Цілісність даних у розподілених сховищах є однією з ключових характеристик інформаційної системи, що визначає її здатність забезпечувати достовірність, узгодженість та немодифікованість даних під час їх зберігання, оброблення та передавання [1–3]. У розподілених IT-інфраструктурах порушення цілісності виникають через асинхронність взаємодії між вузлами, неоднорідність джерел, затримки у мережі, збої апаратного рівня, некоректне об'єднання даних, а також людський фактор. Враховуючи зростання обсягів інформації та зміщення до багатоджерельних моделей, домінують сценарії, у яких дані надходять із різних сенсорів, модулів, підсистем і потребують узгодження в момент інтеграції [4–6].

Розподілені сховища характеризуються відсутністю єдиного центру контролю, що ускладнює гарантування узгодженості. Традиційні підходи, такі як транзакційні моделі ACID чи жорсткі схеми реплікації, стають менш ефективними при великих масштабах або гетерогенних потоках. Тому сучасні інформаційні технології переходять до комбінованих стратегій: часткова реплікація, адаптивні механізми перевірки, інтелектуальний аналіз аномалій, локально-орієнтоване відновлення даних та інкрементальна валідація об'єктів.

Цілісність у розподілених сховищах розглядають у трьох аспектах: структурна цілісність, логічна цілісність, семантична цілісність [7].

Для кожного з цих аспектів механізми перевірки застосовуються окремо, але інтегровано в межах єдиної інформаційної технології. Це дає змогу знизити ймовірність накопичення помилок у довготривалих обчислювальних процесах.

Існуючі засоби забезпечення цілісності включають контрольно-сумаційні методи, алгоритми хешування, транзакційні логіки, механізми цифрового підпису, протоколи узгодження (Paxos, Raft), методи виявлення аномалій та оцінювання достовірності даних [8]. Проте основним викликом залишається те, що більшість цих підходів орієнтовані або на цілісність окремих фрагментів, або на централізовані моделі, які не враховують багатоджерельність та асинхронність потоків.

Таким чином, виникає необхідність у цілісній інформаційній технології, яка поєднує механізми контролю, виявлення порушень, оцінювання достовірності та відновлення даних у межах розподіленого середовища. Запропонований підхід передбачає інтеграцію математичних методів оцінювання узгодженості, алгоритмів локальної реконструкції фрагментів, а також інтелектуальних засобів аналізу аномалій у потоках даних.

З урахуванням теоретичних положень виникає необхідність у формальному описі процесів контролю та відновлення цілісності у розподілених сховищах. Теоретичні аспекти дозволяють окреслити основні джерела порушень, типи невідповідностей і характер взаємодії між даними з різних вузлів, однак для побудови інформаційної технології потрібна математична модель, яка забезпечує можливість кількісного оцінювання цілісності, виявлення критичних відхилень і вибору оптимального варіанта відновлення. Саме тому було розроблено формалізовану модель, що описує структуру багатоджерельного набору даних, функції перевірки узгодженості та правила реконструкції пошкоджених фрагментів.

Крок 1. Формалізація багатоджерельних даних.

Розподілене сховище розглядається як множина незалежних джерел:

$$S = \{S1, S2, \ldots, Sm\}.$$

Кожне джерело генерує набір фрагментів:

$$D = \{d1, d2, \ldots, dn\}, di \in Sj.$$

Крок 2. Формалізація показників цілісності.

Для кожного фрагмента даних вводимо три складові цілісності:

αs – структурна відповідність;

α_l – логічна відповідність;

αc – семантична відповідність.

Тоді інтегральна функція цілісності:

$$I(di) = f(\alpha s(di), \alpha l(di), \alpha c(di)).$$

Таким чином можна формально оцінити, наскільки фрагмент відповідає вимогам цілісності у трьох вимірах.

Крок 3. Виявлення порушення цілісності.

Порушення визначається як відхилення від нормованої інтегральної оцінки:

$$\Delta(di) = 1 - I(di),$$

де $\Delta(di) = 0$ – повна відповідність, $\Delta(di) \to 1$ $\Delta(di) \to 1$ – критичне порушення. Це ключова метрика, на основі якої запускається процес відновлення.

Крок 4. Оцінювання узгодженості між даними з різних джерел.

Для даних, що описують один об'єкт або подію, вводиться метрика розбіжності: $dist(di, dk) = || di - dk ||$, також вводиться ваговий коефіцієнт довіри до джерела: $wj = g(Sj)$. Тоді узагальнена оцінка узгодженості: $Itotal = \sum_{j=0}^{m} wj \cdot I(dj)$.

На цьому кроці визначається, наскільки дані з різних джерел «погоджуються» між собою та які з них є найбільш достовірними.

Крок 5. Модель відновлення даних.

Пошкоджений або суперечливий фрагмент di замінюється на значення, яке має максимальну узгодженість: $d* = \underset{d_i \in D}{argmax} I(di)$.

Це правило дозволяє обрати найбільш достовірний варіант з наявних даних або реконструйованих значень.

Запропонована математична модель описує формальний механізм контролю та відновлення цілісності даних у розподіленому багатоджерельному середовищі. Вона узагальнює структуру даних, способи їх класифікації, критерії відповідності та правила визначення розбіжностей між фрагментами, що надходять із різних джерел. Модель визначає, яким чином можна кількісно оцінити рівень структурної, логічної та семантичної цілісності, і встановлює інтегральні показники, що відображають ступінь відхилення від нормативного стану. Завдяки цьому процес контролю стає не описовим, а формалізованим, що дозволяє задавати конкретні порогові значення, критерії аномалій та правила ухвалення рішень.

Крім того, математична модель визначає процедуру відновлення даних через пошук найбільш узгодженого та достовірного значення серед альтернативних фрагментів. Це робиться за допомогою оцінки довіри до джерел, функцій подібності та оптимізаційних критеріїв. У результаті ця модель виступає центральною теоретичною основою інформаційної технології, забезпечуючи формальний опис усіх ключових процесів: аналізу, виявлення, оцінювання та відновлення даних.

Оскільки математична модель формалізує логіку контролю та відновлення цілісності, наступним етапом є її практична реалізація. Для перевірки працездатності запропонованої математичної моделі було розроблено прототип інформаційної технології контролю та відновлення цілісності даних у середовищі Python з використанням бібліотеки pandas. Як тестовий приклад розглядалося багатоджерельне сховище з трьома джерелами даних, що описують один і той самий набір об'єктів, але містять пропуски, суперечливі та аномальні значення. Такий підхід дає змогу змоделювати типову ситуацію в розподіленій інформаційній системі, де дані формуються незалежними підсистемами та потребують узгодження.

Кожне джерело подано у вигляді таблиці (DataFrame), що містить ідентифікатор об'єкта та значення контрольованого параметра. Під час моделювання навмисно формуються ситуації, коли для одного й того самого об'єкта значення параметра в різних джерелах відрізняються, відсутні або виходять за допустимі межі. На основі запропонованої математичної моделі виконується послідовний контроль структурної, логічної та семантичної цілісності, обчислюються показники узгодженості та обирається найбільш достовірне значення параметра для запису в узгоджене сховище.

Результат моделювання (рис. 1) коду на Python, який реалізує об'єднання даних з трьох джерел, виявлення аномальних значень та відновлення параметра за критерієм зваженого середнього з урахуванням коефіцієнтів довіри до джерел.

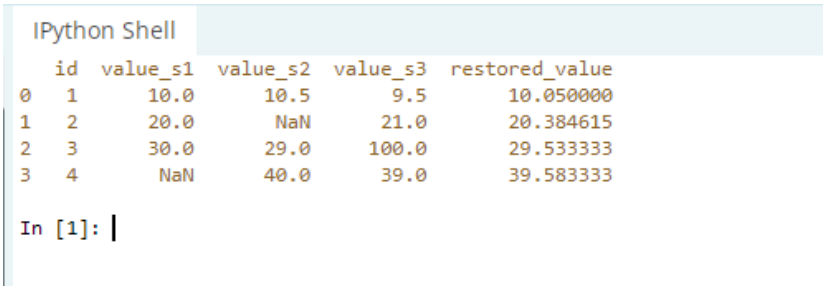

Рис. 1. Результати роботи прототипу інформаційної технології

Три незалежні джерела містили різні типи порушень: пропущені значення, випадкові відхилення та аномальні дані, що виходять за межі допустимого діапазону. Застосування запропонованої математичної моделі дозволило автоматично виявити такі порушення та обчислити інтегральний показник узгодженості для кожного фрагмента.

ISSN 2786-5460 (Print), ISSN 2786-5479 (Online)

На основі коефіцієнтів довіри до джерел виконувалось відновлення значень за правилом максимізації узгодженості. У випадку наявності декількох коректних варіантів використовувалося зважене середнє значення, що враховує якість кожного джерела. Таким чином, для кожного об'єкта було отримано відновлене значення параметра, яке є найбільш достовірним серед доступних альтернатив.

Результати моделювання показують, що аномальні значення (наприклад, 100.0 для об'єкта з *id* = 3) були коректно виключені з обчислення, пропуски успішно компенсовані за рахунок інших джерел, а фінальні значення в усіх випадках збігаються з очікуваним поведінковим діапазоном. Це підтверджує ефективність інформаційної технології при виявленні та усуненні порушень цілісності в умовах неоднорідності даних.

Висновки. У статті вирішено актуальну задачу забезпечення цілісності даних у розподілених багатоджерельних сховищах, що характеризуються неоднорідністю форматів, різною якістю інформації та відсутністю централізованого контролю. Розроблено цілісну інформаційну технологію, яка реалізує повний цикл: від формалізованого аналізу структурних і семантичних порушень та оцінювання узгодженості до відновлення значень на основі вагових коефіцієнтів довіри до джерел та оптимізаційного критерію. Запропонована математична модель дозволяє кількісно оцінювати ступінь порушення цілісності та вибирати найбільш достовірні значення серед доступних альтернатив, що забезпечує підвищення точності та надійності інтегрованої інформації. Реалізація прототипу в середовищі Python підтвердила ефективність розробленої технології, оскільки всі види порушень – пропуски, аномалії, відхилення та конфлікти – були коректно виявлені та виправлені. Таким чином, запропонована інформаційна технологія може бути використана як основа для побудови масштабованих систем моніторингу, інтеграції та аналізу даних у складних інформаційних інфраструктурах, де особливо важливими є достовірність і повнота даних.

Список використаних джерел:

1. Alkhafaji M. J. A., Kashkevich S., Shyshatskyi A., Sova O., Nalapko O., Buyalo O., Yula O., Shaposhnikova O., Matsyi O., Dvorskyi M. Development of a method for managing a group of unmanned aerial vehicles using a population algorithm. *Eastern-European Journal of Enterprise Technologies*, 2024. 6 (9 (132)), 108–116. https://doi.org/10.15587/1729-4061.2024.318600 .

2. G. R. Annapureddy. The Impact of Blockchain on Data Integrity and Security in Distributed Systems. T*he Eastasouth Journal of Information System and Computer Science,* Vol. 2 No.2, 2024.

3. P. Goswami et al. Investigation on Storage Level Data Integrity Strategies in Cloud Computing. *Journal of Cloud Computing*, 2024.

4. B. A. Jalil et al. A Survey on Data Integrity Verification Schemes in the Cloud. AIP Conference Proceedings, 2023.

5. Kashkevich S. (Ed.) (2025). Decision support systems: mathematical support. Kharkiv: TECHNOLOGY CENTER PC, 202. https://doi.org/10.15587/978-617-8360-13-9.

6. Owaid S. R., Kashkevich S., Shyshatskyi A., Radzivilov H., Sova O., Zarubenko A., Veretnov A., Lazuta R., Noskov O., Voznytsia A. Development of heterogeneous data processing method in organizational and technical systems. *Eastern-European Journal of Enterprise Technologies*, 2025. 1 (4 (133)), 64–71. https://doi.org/10.15587/1729-4061.2025.322629 .

7. Owaid S. R., Miahkykh H., Odarushchenko E., Kashkevich S., Shyshatskyi A., Plekhova G., Hrymud A., Petruk S., Shaposhnikova O., Stryhun V. Development of a method for detecting cyber attacks on information systems based on artificial intelligence technologies. *Eastern-European Journal of Enterprise Technologies*, 2025. 3 (9 (135)), 33–39. https://doi.org/10.15587/1729-4061.2025.329258 .

8. C. Shi A. Manschula T. Mahmud et al. Revisiting Computational Storage for Data Integrity and Security. arXiv preprint, 2025.

Дата надходження статті: 21.11.2025
Дата прийняття статті: 10.12.2025
Опубліковано: 30.12.2025

УДК 004.93:004.94
DOI https://doi.org/10.32689/maup.it.2025.4.23

Сергій РЕВА
кандидат технічних наук, доцент кафедри комп'ютерних систем та робототехніки,
Харківський національний університет імені В. Н. Каразіна,
iec-lab@karazin.ua
***ORCID:** 0000-0002-2615-9226*

Денис ЦИБЛІЄВ
аспірант кафедри комп'ютерних систем та робототехніки,
Харківський національний університет імені В. Н. Каразіна,
dtsibliev@gmail.com
***ORCID:** 0009-0008-4373-8773*

РОЗРОБКА МЕТОДУ КОМП'ЮТЕРНОГО АНАЛІЗУ ПАРАМЕТРІВ СПЕКТРОМЕТРИЧНИХ СИГНАЛІВ З ВИКОРИСТАННЯМ ДИСКРЕТНИХ ВЕЙВЛЕТ-ПЕРЕТВОРЕНЬ

Анотація. Мета дослідження. *Завдяки стрімкому розвитку комп'ютерних технологій, методи комп'ютерного аналізу активно застосовуються для обробки оцифрованих спектрометричних сигналів та побудови спектрів. Метою роботи є підвищення точності розпізнавання та вимірювання параметрів спектрометричних сигналів в комп'ютерних системах спектрального аналізу шляхом розробки нового методу обробки даних.*

Методологія. *В процесі комп'ютерного аналізу використовуються методи цифрової обробки сигналів, алгоритми дискретних вейвлет-перетворень, методи і алгоритми інтелектуального аналізу великих масивів даних. Для генерації цифрових образів спектрометричних сигналів застосовуються методи математичного та комп'ютерного моделювання. В рамках дослідження було розроблено кросплатформну программу, яка дозволяє виконувати симуляцію оцифрованого сигналу, обробку даних існуючими або новими підходами і візуалізацію результатів. Даний програмний засіб був розроблений на мові програмування C++ з використанням фреймворку QT, який надає можливість створювати кросплатформне програмне забезпечення.*

Наукова новизна. *Вперше розроблено метод комп'ютерного аналізу оцифрованих спектрометричних сигналів, особливістю якого є фільтрація сигналу з автоматичним визначенням рівня електричного шуму за допомогою алгоритмів дискретних вейвлет-перетворень та адаптивного алгоритму BayesShrink, а також додаткова обробка суперпозиції імпульсів, що дозволило підвищити точність обробки спектрометричних даних.*

Висновки. *В рамках розробки нового методу комп'ютерного аналізу спектрометричних сигналів було представлено підхід до фільтрації сигналу від шуму з автоматичним визначенням шумового порогу та алгоритм розпізнавання параметрів імпульсів з корекцію їх амлітуд при суперпозиції. Для комплексної перевірки точності розпізнавання і швидкодії запропонованого методу у порівнянні з кількома існуючими підходами, було змодельовано вхідні дані для аналізу з повністю відомими параметрами зі штучним, ідеалізованим розподілом амплітуд імпульсів. Після цього було виконано аналіз таких даних різними методами. Наведені результати комп'ютерної обробки свідчать, що запропонований метод аналізу дозволив підвищити точність розпізнавання параметрів спектрометричних сигналів в досліджених сценаріях, у порівнянні з альтернативними підходами. Одним з напрямків для подальшого дослідження є перевірка роботи розробленого методу на масивах даних, отриманих під час реальних експериментів за допомогою спектрометричного обладнання та діджітайзера.*

Ключові слова: *комп'ютерний аналіз цифрових сигналів, комп'ютерне моделювання, спектрометричні сигнали, алгоритми розпізнавання, комп'ютерна система, дискретне вейвлет-перетворення.*

Sergiy REVA, Denys TSYBLIYEV. DEVELOPMENT OF A METHOD FOR COMPUTER ANALYSIS OF SPECTROMETRIC SIGNALS PARAMETERS USING DISCRETE WAVELET TRANSFORM

Abstract. Purpose of the work. *Due to the rapid development of computer technology, computer analysis methods are actively used to process digitized spectrometric signals and construct spectra. The aim of the work is to increase the accuracy of recognition and measurement of spectrometric signal parameters in computer systems of spectral analysis by developing a new data processing method.*

Methodology. *In the process of computer analysis, digital signal processing methods, discrete wavelet transform algorithms, methods and algorithms for intelligent analysis of large data sets are used. To generate digital images of spectrometric signals, mathematical and computer modeling methods are used. As part of the research, a cross-platform program was developed that allows for simulation of a digitized signal, data processing using existing or new approaches, and visualization of the results. This software tool was developed in the C++ programming language using the QT framework, which provides the ability to create cross-platform software.*

Scientific novelty. *For the first time, a method of computer analysis of digitized spectrometric signals was developed, the feature of which is signal filtering with automatic determination of the level of electrical noise using discrete wavelet transform*

© С. Рева, Д. Циблієв, 2025

Стаття поширюється на умовах ліцензії CC BY 4.0

algorithms and the adaptive BayesShrink algorithm, as well as additional processing of pulse superposition, which allowed to increase the accuracy of spectrometric data processing.

Conclusions. *As part of the development of a new method for computer analysis of spectrometric signals, an approach to filtering the signal from noise with automatic determination of the noise threshold and an algorithm for recognizing pulse parameters with correction of their amplitudes during superposition were presented. To comprehensively verify the recognition accuracy and speed of the proposed method in comparison with several existing approaches, input data for analysis with fully known parameters with an artificial, idealized distribution of pulse amplitudes were simulated. After that, analysis of such data was performed using various methods. The presented results of computer processing indicate that the proposed analysis method allowed to increase the accuracy of recognition of spectrometric signal parameters in the studied scenarios, in comparison with alternative approaches. One of the directions for further research is to verify the operation of the developed method on data sets obtained during real experiments using spectrometric equipment and a digitizer.*

Key words: *computer analysis of digital signals, computer modeling, spectrometric signals, recognition algorithms, computer system, discrete wavelet transform.*

Вступ. Останні десятки років методи комп'ютерного аналізу активно застосовуються для розпізнавання та визначення параметрів спектрометричних сигналів, на противагу традиційним підходам з використанням аналогової електроніки. Під поняттям «спектрометричного сигналу» в цифровій спектрометрії іонізуючого випромінювання зазвичай розуміють послідовність імпульсів, які генеруються детекторами рентгенівського, гамма або іншого типу випромінювання, та оцифровуються за допомогою аналого-цифрових перетворювачів (АЦП) або діджітайзерів [1; 10]. Комп'ютерний аналіз дозволяє виконувати обробку отриманих масивів цифрових даних з метою визначення основних характеристик імпульсів (час появи, амплітуди), побудови спектрів та отримання корисної інформації про досліджені зразки. Варто відмітити, що форма імпульсів сигналу може відрізнятися, в залежності від спектрометричного обладнання та характеристик детектора, які використовувались під час реальних експериментів із запису даних, як показано на рисунку 1.

Окрім корисної складової, оцифровані спектрометричні сигнали також зазвичай містять електричний шум, що спричинений власними шумами детектора випромінювання або іншими компонентами електронного обладнання. Сучасні дослідження у галузі комп'ютерного аналізу таких сигналів часто підкреслюють важливість механізмів зменшення впливу електричного шуму в процесі обробки цифрових даних та спрямовані на покращення ефективності методів аналізу.

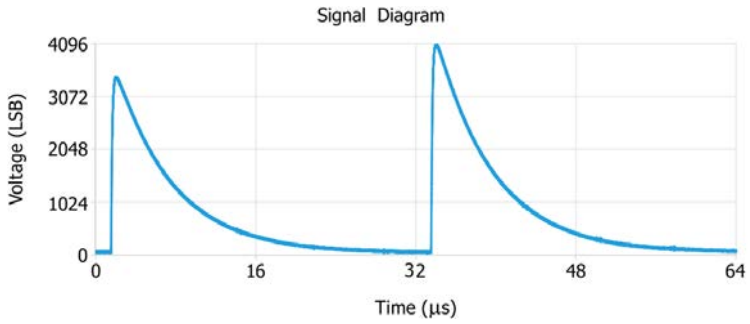

а

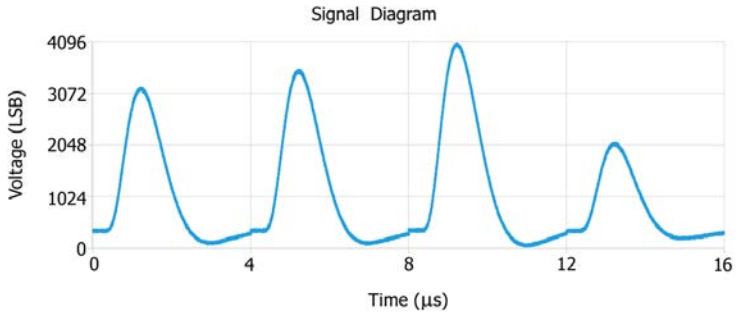

б

Рис. 1. Візуалізація оцифрованих спектрометричних сигналів з імпульсами різної форми: а – імпульси записані безпосередньо з детектора; б – імпульси отримані після попередньої обробки аналоговим фільтром Батерворта

Також роботи в цій області свідчать, що точність відомих методів комп'ютерної обробки може знижуватися внаслідок взаємного накладання імпульсів (суперпозиції). Простіші методи аналізу, які працюють швидко, можуть демонструвати не найкращу точність розпізнавання, особливо при частій суперпозиції імпульсів. В свою чергу, методи, які виконують складну додаткову обробку оцифрованого сигналу і демонструють кращу точність розпізнавання, можуть працювати повільніше. Окремим аспектом є універсальність того чи іншого методу аналізу даних. Адже більшість підходів, які ефективно виконують розпізнавання та визначення параметрів спектрометричного сигналу з імпульсами однієї форми, не можуть бути використані для аналізу сигналу з іншою формою імпульсів без модифікації.

Тому актуальними є удосконалення або розробка нових методів аналізу параметрів спектрометричних сигналів з покращеною фільтрацією сигналу від шуму та додатковою обробкою імпульсів при суперпозиції з метою підвищення точності або швидкодії комп'ютерної обробки даних. Окрім цього, важливою характеристикою таких методів є універсальність і можливість хоча б часткового застосування до спектрометричних сигналів з різними формами імпульсів. З практичної точки зору впровадження розроблених алгоритмів може бути використано для створення нових або вдосконалення існуючих комп'ютеризованих систем спектрального аналізу.

Аналіз останніх досліджень і публікацій. У роботі [18] було описано метод по розпізнаванню імпульсів оцифрованого сигналу, отриманого з сцинтиляційного детектора. В даному підході було розглянуто декілька можливих варіантів фільтрації сигналу від електричного шуму за допомогою різних фільтрів, таких як ковзне середнє, Чебишева, Беселя, Батерворта, тощо. Але варто зазначити, що застосування вищезазначених фільтрів може модифікувати також і сам сигнал в сторону сповільнення наростання, зміни амплітуди або іншим чином. Це може призводити до відхилень при визначенні амплітуди або точного часу появи імпульсу, особливо у випадках коротких імпульсів з різким фронтом та спадом. Відкритим питанням в даній роботі залишилася можливість фільтрації сигналу від електричного шуму без суттєвої модифікації корисної складової, що аналізується.

У працях [9; 15] було детально досліджено та отримано порівняльні характеристики одразу кількох методів аналізу спектрометричних сигналів, а саме методів Максимуму, Сум, Підбору та Деконволюції. Було отримано результати роботи цих методів на змодельованих цифрових даних і візуалізовано на діаграмах залежність розпізнавання кількості імпульсів від рівня завантаження детектора. Варто відмітити, що методи Підбору та Деконволюції продемонстрували кращі результати аналізу даних в цих дослідженнях в порівнянні з іншими підходами. При цьому для змодельованих сигналів найкращі результати з точки зору кількості розпізнаних імпульсів та енергетичної роздільної здатності при рівнях завантаження до 2×10^7 c^{-1} для детектора LaBr3(Ce) показав метод Підбору. Особливістю даного методу є апроксимація форми імпульсу за допомогою аналітичних формул та необхідність знання про точну форму імпульсів досліджених спектрометричних сигналів. Тому даний підхід не є універсальним і не може застосовуватися до різних наборів спектрометричних даних з різними типами імпульсів без модифікації, адже потребує підбору аналітичної моделі кривої, що описує форму імпульсу для конкретного набору даних. Також представлені у цих роботах результати свідчать, що точність існуючих методів аналізу знижується при високих рівнях завантаження внаслідок суперпозиції імпульсів.

У ряді досліджень для обробки цифрових даних або сигналів застосовуються алгоритми вейвлет-перетворень. Дані алгоритми активно використовуються у різних галузях, зокрема для обробки або стиснення зображень [19], аналізу медичних даних [17], обробки сигналів, тощо. У роботі [8] було представлено метод аналізу спектрів гамма-випромінювання на основі неперервних вейвлет-перетворень (НВП), який дозволив покращити відображення спектру та інтенсивність піків. Проте в даному дослідженні алгоритми НВП використовувалися для обробки вже готових спектрів, а не для розпізнавання та аналізу параметрів спектрометричних сигналів з метою побудови спектру.

Останнім часом активного розвитку набули технології штучного інтелекту з використанням нейронних мереж, які успішно застосовуються для вирішення широкого класу задач, таких як розпізнавання або класифікація зображень, аналіз мовлення, обробка або генерація відео та багато інших. Крім того існують дослідження, в яких аналіз спектрометричних сигналів виконується за допомогою глибинного машинного навчання. В основному в таких роботах нейронні мережі використовувалися для вирішення задач класифікації та розрізнення за формою сигналу одних типів квантів випромінювання від інших (наприклад, нейтронів від гамма-квантів), а не для розпізнавання окремих імпульсів та вимірювання їх параметрів. Разом з тим з'явилися праці [4, 5], в яких автори досліджували можливість використання глибинного машинного навчання саме для розпізнавання та визначення параметрів імпульсних спектрометричних сигналів. У роботі [5] було запропоновано новий метод для

ISSN 2786-5460 (Print), ISSN 2786-5479 (Online)

визначення часової інформації про параметри імпульсів з обмеженого набору вибірок діджітайзера, що базується на глибинному навчанні. Спочатку було здійснено кількісний аналіз традиційного методу підбору\апроксимації кривої (аналог методу Підбору) щодо трьох видів варіацій: довгострокового дрейфу, короткострокових змін та випадкового шуму. Далі була представлена архітектура нейронної мережі та проведено дослідження у порівнянні з методом підбору кривої, щоб продемонструвати потенціал глибокого навчання в цій проблемі. В цілому метод з використанням нейронних мереж зміг продемонструвати переваги у порівнянні з класичним методом підбору кривої, але саме у окремих, визначених для дослідження аспектах на змодельованих вибірках даних, які були попередньо оброблені та приведені до потрібного формату. Тим не менш, автори відмічають, що нейронні мережі мають свої особливі вимоги, які ставлять нові виклики для проектування детекторних систем.

У роботі [14] було представлено метод розпізнавання та аналізу параметрів спектрометричних сигналів з механізмом фільтрації сигналу на основі дискретних перетвореннь Фур'є та обробкою суперпозиції імпульсів. Було досліджено точність визначення параметрів імпульсів даним методом на змодельованих даних при різній інтенсивності появи імпульсів. Даний метод показав високу точність розпізнавання у порівнянні з декількома відомими підходами. Проте при використанні запропонованого методу на різних наборах спектрометричних даних (в тому числі реальних експериментальних даних) з різними формами імпульсів, виникає необхідність ручного підбору та встановлення порогу фільтрації сигналу від шуму, який є параметром методу.

Таким чином, залишається невирішеним питання можливості реалізації фільтрації спектрометричних сигналів від електричного шуму з автоматичним визначенням шумового порогу та підвищення точності розпізнавання шляхом розробки нового методу аналізу таких сигналів. Також актуальним є критерій універсальності того чи іншого методу цифрової обробки, тобто можливість його ефективного застосування (при певних умовах) на спектрометричних даних з різними формами імпульсів та різним рівнем шумів.

Формулювання мети дослідження. Метою дослідження є підвищення універсальності застосування та точності розпізнавання параметрів спектрометричних сигналів шляхом розробки методу аналізу з автоматичним визначенням шумового порогу при фільтрації оцифрованого сигналу від шуму і додатковою обробкою суперпозиції імпульсів. Це дасть можливість вдосконалити роботу існуючих комп'ютеризованих систем для аналізу параметрів спектрометричних сигналів (та візуалізації їх кількісних і якісних характеристик) або нових розроблених програмно-апаратних комплексів.

Виклад основного матеріалу. Для досягнення мети дослідження були поставлені наступні задачі:

– в рамках нового методу аналізу реалізувати підхід до фільтрації спектрометричного сигналу з можливістю автоматичного визначення рівня електричного шуму та розробити алгоритм розпізнавання параметрів імпульсів з корекцією їх амплітуд при суперпозиції;

– змоделювати вхідні дані для методів комп'ютерної обробки з повністю відомими параметрами згідно спеціального файлу-шаблону, що задає розподіл амплітуд імпульсів;

– оцінити точність та швидкодію запропонованого методу аналізу у порівнянні з кількома відомими за допомогою алгоритму програмної верифікації точності розпізнавання.

В ході дослідження була розроблена кросплатформна програма для персональних комп'ютерів, яка реалізує наступні можливості:

– комп'ютерне моделювання [6] цифрових образів спектрометричних сигналів, які за форматом відповідають вихідним даним діджітайзера та наближені до реальних сигналів, що отримуються під час проведення експериментів;

– розпізнавання та вимірювання параметрів імпульсних сигналів за допомогою програмно реалізованих існуючих та нових розроблених методів аналізу;

– отримання метрик ефективності роботи методів комп'ютерної обробки та верифікація точності аналізу;

– візуалізація результатів.

Додаток розробляється на мові програмування C++ з використанням фреймворку QT [13]. Цей фреймворк був обраний через те, що містить широкий набір графічних компонентів для візуалізації даних, а також дозволяє створювати кросплатформне програмне забезпечення. В програмі було реалізовано два існуючі методи по визначенню параметрів спектрометричних сигналів (метод Максимумів та метод Підбору). Також був розроблений новий метод аналізу, що базується на використанні дискретних вейвлет-перетворень та власних алгоритмічних підходах. Результати роботи вищезазначених методів візуалізуються у вигляді числових параметрів, часових діаграм сигналів та гістограм спектрів, побудованих на основі проведеного аналізу.

Розробка методу комп'ютерного аналізу з автоматичним визначенням рівня електричного шуму при фільтрації сигналу та корекцією амплітуд імпульсів при суперпозиції

Основний підхід до фільтрації спектрометричного сигналу від електричного шуму в запропонованому методі базується на використанні дискретних вейвлет-перетворень (Discrete Wavelet Transform). Дані перетворення є потужним інструментом обробки сигналів, який дозволяє аналізувати сигнал як у часовій, так і в частотній областях. Загалом дискретне вейвлет-перетворення для заданої функції $f(k)$ виражається наступною формулою [16]:

$$DWT(m,n) = a_0^{-\frac{m}{2}} \sum_{k=-\infty}^{\infty} f(k)\psi^*\left(a_0^{-m}k - nb_0\right), \quad (1)$$

де $a_0 > 1$ – параметр масштабування (розширення); $b_0 > 0$ – параметр позиції; $m, n \in Z$; $\psi^*(t)$ – є так званим «материнським вейвлетом».

Зазвичай значення a_0 приймається рівним 2, а значення b_0 рівним 1, при цьому таке перетворення називається діадним вейвлет-перетворенням, для якого розроблені швидкі алгоритми обчислень. Існує багато варіантів материнських вейвлетів, найбільш відомими з яких є вейвлети Хаара, Симлета, Добеши, Коіфлетса, Гауса, Морле, Шенона, Мейера, біортогональний та інші [2].

Ідея вейвлет-аналізу та фільтрації сигналу із застосуванням дискретних вейвлет-перетворень полягає в розкладанні оцифрованого сигналу на множину частотних складових у різних масштабах за алгоритмом, запропонованим Маллатом [12]. Цей алгоритм складається з серії послідовних розкладів сигналу (довжиною 2^n) на дві компоненти: коефіцієнти деталізації D_j та коефіцієнти апроксимації A_j, обидві зі зменшеним розміром 2^{n-j}, де j — рівень розкладання. На кожному рівні вхідний сигнал розкладається за допомогою фільтра високих частот, який зберігає високочастотні компоненти, та фільтрів низьких частот для вилучення низькочастотних компонентів для наступного масштабу. Процедура повторюється з наборами фільтрів високих та низьких частот, доки не буде досягнуто заданого рівня j ($j \le n$). Для фільтрації сигналу від шуму вейвлет-коефіцієнти, отримані шляхом розкладання, згодом піддаються процесу порогового регулювання (thresholding). Порогове регулювання передбачає або видалення, або зменшення коефіцієнтів, значення яких є нижчим ніж задане порогове значення, розглядаючи їх як шумові компоненти. Можуть бути використані різні методи порогового регулювання, включаючи жорстке порогове регулювання (встановлення коефіцієнтів нижче порогового значення рівними нулю) або м'яке порогове регулювання (зменшення коефіцієнтів до нуля шляхом стиснення). Після цього змінені коефіцієнти вейвлету використовуються для реконструкції знешумленого сигналу шляхом застосування зворотного дискретного вейвлет-перетворення (Inverse Discrete Wavelet Transform). Крім того, у роботі [7] було представлено адаптивний алгоритм під назвою BayesShrink для фільтрації зображень від шумів за допомогою вейвлетів, який може визначати шумовий поріг на основі даних, що піддаються обробці. Даний алгоритм також може ефективно застосовуватися для обробки оцифрованих сигналів, представлених масивами миттєвих значень сигналу.

Враховуючи вищезазначене, механізм фільтрації в розробленому методі аналізу спектрометричних сигналів складається з наступних кроків:

1. Перетворення оцифрованого спектрометричного сигналу $s[i]$ на множини частотних складових у різних масштабах за допомогою застосування діадних дискретних вейвлет-перетвореннь згідно алгоритму Маллата з рівнем розкладання сигналу j, який є параметром методу. По замовчуванню рівень розкладання є рівним трьом.

2. Застосування адаптивного алгоритму BayesShrink для автоматичного визначення шумового порогу та відсікання компоненти шуму за допомогою м’якого порогового регулювання (soft thresholding).

3. Відновлення відфільтрованого сигналу $sf[i]$ за допомогою зворотнього дискретного вейвлет-перетворення.

Додатково було проаналізовано використання різних материнських вейвлетів для фільтрації спектрометричних сигналів від шуму за допомогою даного підходу з метою вибору оптимального вейвлету. На рисунку 2 візуалізовано верхню частину одного імпульсу спектрометричного сигналу (записаного під час реальних експериментів) після фільтрації вищеописаним способом, використовуючи при цьому різні материнські вейвлет функції.

Як можна побачити з рисунку 2, при використанні материнських вейвлетів Haar (рис. 2, а) та db1 (2, б) відфільрована форма сигналу є дещо ступінчатою. Застосування вейвлетів Bior6.8 (рис. 2, в) та symlet4 (рис. 2, д) дозволяє отримати вже більш згладжену форму сигналу після фільтрації. В свою чергу використання db10 (рис. 2, г) або symlet8 (рис. 2, е) дає в результаті найбільш плавну форму відфільтрованого сигналу, адже дані вейвлети мають більшу довжину внутрішніх фільтрів і більшу плавність у порівнянні зі своїми простішими аналогами (db1 та symlet4 відповідно). Проте варто зауважити, що застосування вейвлетів db10, symlet8 може в певній мірі видозмінювати корисну складову сигналів з короткими імпульсами, що мають гострі вершини. Тому для таких сигналів використання

ISSN 2786-5460 (Print), ISSN 2786-5479 (Online)

простіших вейвлетів symlet4 або Bior6.8 може бути більш оптимальним. Для універсальності в розробленому методі аналізу спектрометричних сигналів по замовчуванню використовується материнський вейвлет symlet4. Проте в програмній реалізації даного методу закладена можливість вибору іншого вейвлету за необхідності.

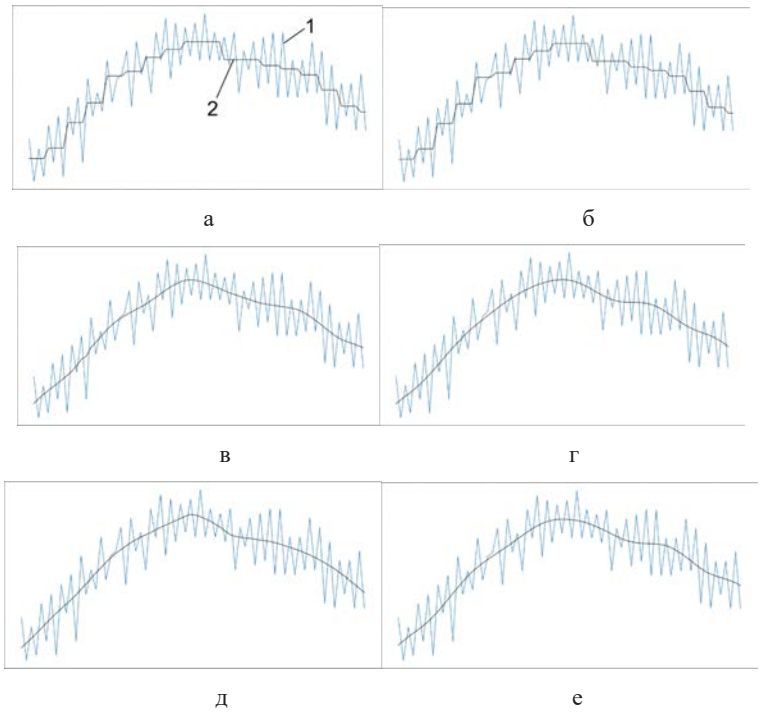

Рис. 2. Вигляд відфільтрованого сигналу (1 – оригінальний сигнал; 2 – відфільтрований сигнал) за допомогою дискретних вейвлет-перетворень при використанні різних материнських вейвлетів: а – Haar, б – db1, в – Bior6.8, г – db10, д – symlet4, е – symlet8

Після фільтрації спектрометричного сигналу, розпізнавання окремих імпульсів може бути здійснене шляхом послідовного аналізу рівня обробленого сигналу на предмет зростання або спадання, визначаючи початок і кінець кожного імпульсу. Також необхідно корегувати амплітуди розпізнаних імпульсів, при накладанні один на одного (суперпозиції). Деталізований принцип роботи запропонованого методу аналізу, що включає в себе як етап фільтрації сигналу, так і розпізнавання окремих імпульсів та визначення їх параметрів, складається з наступних кроків:

1. Розбиття всього масиву значень сигналу $s[i]$ на окремі послідовні рівномірні відрізки, які мають розмір кратний 2, з метою оптимізації обчислень. В програмній реалізації методу розмір таких відрізків складав 32768. Наступні кроки послідовно виконуються для кожного відрізку.

2. Застосування описаного вище механізму фільтрації на основі вейвлет-перетворень до масиву цифрових значень сигналу $s[i]$. В результаті ми отримуємо масив значень відфільтрованого від шуму сигналу $sf[i]$.

3. Прохід по масиву $sf[i]$ та аналіз попереднього та поточного значення рівня сигналу, відслідковуючи параметр стану сигналу (SignalState), який може мати наступні значення: Baseline (сигнал не перевищує значення базової лінії на заданий поріг дискретизації), SignalGrowth (зростання сигналу), SignalDescend (спадання сигналу). Можливі переходи станів, умови переходів та пов'язані з ними операції по розпізнаванню імпульсів зображені на UML діаграмі станів [11] на рисунку 3. Важливо відмітити, що перехід стану сигналу зі зростання до спадання і навпаки відбувається з урахуванням певного порогу (THR), який в програмній реалізації становив близько 5-20 LSB. Це необхідно для того, щоб мінімальні коливання рівня сигналу (1-3 LSB) одного імпульсу при зростанні чи спаданні не трактувалися як суперпозиція імпульсів, що буде некоректним. Адже такі коливання можуть бути присутніми навіть після фільтрації сигналу на реальних експериментальних даних.

4. Для більш правильного визначення амплітуди імпульсів при суперпозиції, при обчисленні фінального значення амплітуди розпізнаного імпульсу виконується додаткова корекція. Це робиться шляхом віднімання значення змодельованої спадаючої компоненти сигналу попередніх імпульсів, обчисленого за наступною формулою [9]:

$$s_i' = s_i - \sum_{k=0}^{j-1} A_k\, p\left(i - t_k\right), \tag{2}$$

де s_i' – скориговане значення сигналу, s_i – оригінальне значення сигналу, A_k та t_k – амплітуда та час появи k-го попереднього імпульсу відповідно, $p(t)$ – змодельована форма імпульсу, що згенерована одним зареєстрованим квантом (залежить від характеристик детектора та спектрометричного обладнання для запису даних).

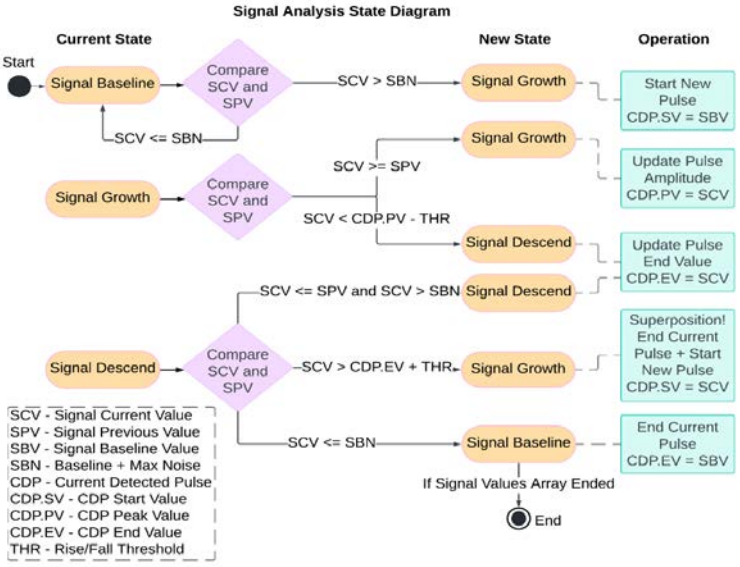

Рис. 3. UML діаграма станів, переходів між ними та пов'язаних з цим операцій в процесі аналізу відфільтрованого сигналу розробленим методом

5. Виявлений імпульс додається до масиву нових розпізнаних імпульсів, тільки якщо його амплітуда перевищує мінімальний поріг A_{min}, який є параметром алгоритму. В іншому випадку знайдений імпульс вважається продовженням поточного імпульсу. Це робиться з метою відкидання хибних виявлень, які можуть бути спричинені випадковими відхиленнями спадаючої компоненти імпульсного сигналу при наближенні до базової лінії.

Моделювання цифрового образу сигналу з повністю відомими параметрами та оцінка точності і швидкодії запропонованого методу обробки даних у порівнянні з кількома відомими

Для перевірки ефективності роботи методів спектрометричного аналізу, насамперед необхідно було створити еталонні вхідні дані з відомими параметрами. Це дало б змогу наприкінці аналізу порівняти згенеровані та розпізнані імпульси і зробити об'єктивні висновки про точність розпізнавання. Такі дані були створені шляхом комп'ютерного моделювання цифрового імпульсного сигналу, що відповідає сигналу, отриманому при реєстрації гамма-квантів у сцинтиляційному детекторі на основі спеціально підготовленого файлу-шаблону зі штучним спектром. Даний шаблон містив загалом 450000 зареєстрованих імпульсів, з яких 150000 імпульсів мають амплітуду 1024 LSB, 150000 – амплітуду 2048 LSB, 150000 – амплітуду 3072 LSB, де одиниця LSB (Least Significant Bit) відповідає значенню молодшого розряду діджітайзера. Тобто, при візуалізації на діаграмі спектру такий розподіл містить 3 спектральні лінії, як показано на рисунку 4. Для моделювання цифрового образу сигналу були використані математичні моделі та методи моделювання спектрометричних сигналів, представлені в роботі [3].

З метою комплексної перевірки роботи розробленого та існуючих методів аналізу були змодельовані цифрові вхідні дані згідно вищезазначеного файлу-шаблону за трьома сценаріями з наступними параметрами:

1. Рівень завантаження детектора (інтенсивність генерації імпульсів) – 10^5 імпульсів за секунду, тривалість експерименту – 4.5 секунди, загальна кількість змодельованих імпульсів – 450000.

2. Рівень завантаження детектора – 10^6 імпульсів за секунду, тривалість експерименту – 0.45 секунди, загальна кількість змодельованих імпульсів – 450000.

3. Рівень завантаження детектора – 10^7 імпульсів за секунду, тривалість експерименту – 0.045 секунди, загальна кількість змодельованих імпульсів – 450000.

Рівень базової лінії був встановлений рівним нулю. Електричний шум, накладений на сигнал, був змодельований згідно нормального розподілу з параметром математичного очікування рівним нулю та середнім квадратичним відхиленням рівним восьми значенням наймолодшого розряду діджітайзера (LSB).

ISSN 2786-5460 (Print), ISSN 2786-5479 (Online)

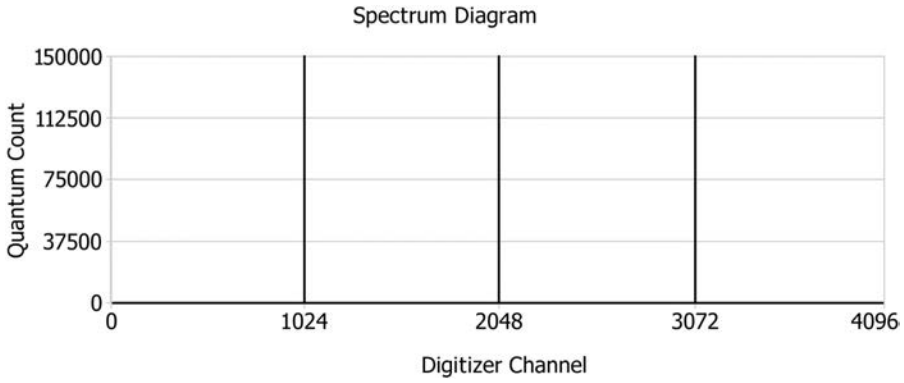

Рис. 4. Візуалізований розподіл амплітуд імпульсів, змодельованих згідно файлу-шаблону зі штучним спектром з трьома спектральними лініями

Після цього на змодельованих масивах даних було здійснено запуск розробленого методу аналізу та існуючих методів Максимуму і Підбору для отримання метрик їх ефективності. Наприкінці обробки даних, для кожного із зазначених методів було програмно виміряно та виведено інформацію про тривалість його роботи (в секундах), загальну і верифіковану кількість розпізнаних імпульсів та точність методу (у відсотках). Для перевірки правильності розпізнавання було використано алгоритм верифікації описаний у роботі [14], який порівнює згенеровані та розпізнані імпульси на співпадіння з допустимими діапазонами відхилення, які можуть бути задані в інтерфейсі програми. Під час даної комплексної перевірки можливий діапазон відхилення по амплітуді був встановлений рівним трикратному максимальному значенню рівня електричного шуму. Верифікована точність методу аналізу визначалася співвідношенням кількості верифікованих імпульсів до загального числа змодельованих. Заміри проводилися на комп'ютері з процесором Intel Core Ultra 7 165U @ 1.7 GHz, 32 Gb RAM, Windows 11 Pro (США).

Порівняльні результати комп'ютерної обробки змодельованих даних вищезазначеними методами аналізу наведені в таблицях 1–3.

Таблиця 1

Результати роботи методів аналізу на змодельованих вхідних даних з рівнем завантаження 10^5 імпульсів за секунду

Назва методу	Кількість змодельованих імпульсів	Кількість загалом розпізнаних імпульсів	Кількість верифікованих імпульсів	Час роботи методу (сек)	Верифікована точність методу (%)
Максимуму	450000	443449	439601	5.099	97.69
Підбору	450000	448911	447621	10.783	99.47
Новий метод	450000	448988	447745	45.835	99.50

Таблиця 2

Результати роботи методів аналізу на змодельованих вхідних даних з рівнем завантаження 10^6 імпульсів за секунду

Назва методу	Кількість змодельованих імпульсів	Кількість загалом розпізнаних імпульсів	Кількість верифікованих імпульсів	Час роботи методу (сек)	Верифікована точність методу (%)
Максимуму	450000	387767	354137	0.925	78.70
Підбору	450000	439218	426119	4.067	94.69
Новий метод	450000	439854	426971	7.597	94.88

Таблиця 3

Результати роботи методів аналізу на змодельованих вхідних даних з рівнем завантаження 10^7 імпульсів за секунду

Назва методу	Кількість змодельованих імпульсів	Кількість загалом розпізнаних імпульсів	Кількість верифікованих імпульсів	Час роботи методу (сек)	Верифікована точність методу (%)
Максимуму	450000	95948	30494	0.080	6.78
Підбору	450000	353990	241470	5.397	53.66
Новий метод	450000	360011	246306	3.179	54.73

Як можна побачити з таблиць 1–3 розроблений метод продемонстрував кращу верифіковану точність розпізнавання у порівнянні з розглянутими існуючими методами в усіх трьох сценаріях, які досліджувалися. Окрім цього, наведені таблиці містять також інформацію про час обробки даних. Простий метод Максимуму продемонстрував найкращу швидкодію, проте його верифікована точність є відносно низькою внаслідок того, що даний метод не здатний правильно розпізнавати імплітуди імпульсів при їх суперпозиції.

Висновки. В рамках розробки нового методу аналізу спектрометричних сигналів було реалізовано підхід до фільтрації сигналу від електричного шуму з автоматичним визначенням рівня шуму, заснований на використанні дискретних вейвлет-перетворень та адаптивного алгоритму BayesShrink. Також розроблено алгоритм розпізнавання параметрів імпульсів шляхом аналізу рівня відфільтрованого сигналу та корекцією амплітуд імпульсів при їх накладанні. Після перевірки на симульованих даних новий метод показав досить високу точність розпізнавання при рівнях завантаження 10^5 і 10^6 імпульсів за секунду (близько 99.5% та 94.9% відповідно) в розглянутих умовах моделювання експерименту. При рівні завантаження 10^7 верифікована точність розпізнавання склала близько 54.7%, через високу ймовірность суперпозиції імпульсів.

За допомогою комп'ютерного моделювання на основі спеціалізованих файлів-шаблонів були створені еталонні вхідні цифрові дані з відомим розподілом амплітуд імпульсів для подальшого аналізу різними методами. З метою оцінки ефективності розробленого методу та порівняння з існуючими методами Максимумів та Підбору було виконано програмний аналіз змодельованих даних для кількох сценаріїв. Також було використано алгоритм верифікації, що дав можливість порівняти масиви згенерованих і розпізнаних імпульсів після аналізу та визначити, який відсоток виявлених певним методом імпульсів співпадає з тими, що були змодельовані. В підсумку, запропонований метод показав на 16% та 48% кращу точність розпізнавання, ніж простий метод Максимумів, при рівнях завантаження 10^6 та 10^7 відповідно. Крім того, у досліджених сценаріях розроблений метод дозволив дещо покращити точність розпізнавання у порівнянні з існуючим методом Підбору. Представлений метод є більш універсальним у застосуванні, ніж, наприклад, метод Відстеження, описаний у роботі [14], адже дозволяє автоматично визначати рівень шуму при фільтрації сигналу і не потребує підбору порогу шумоподавлення для різних наборів спектрометричних даних.

Одним з напрямків для подальшого дослідження є перевірка розробленого методу на реальних експериментальних даних, записаних за допомогою спектрометричного обладнання та оцифрованих діджітайзером.

Список використаних джерел:

1. Грабовський В. А. Прикладна спектрометрія йонізуючих випромінювань: Навчальний посібник. Видавничий центр ЛНУ імені Івана Франка. 2008. 296 с.

2. Проценко М. М. Методика вибору вейвлет-функції для обробки цифрових сигналів. *Вісник ЖДТУ*. Серія "Технічні науки". 2016. (2(49), С.97–100. https://doi.org/10.26642/tn-2009-2(49)-97-100

3. Рева С. М., Циблієв Д. О. Математичні моделі та алгоритми комп'ютерного моделювання спектрометричних сигналів. *Вісник Харківського національного університету імені В.Н. Каразіна*, сер. «Математичне моделювання. Інформаційні технології. Автоматизовані системи управління». 2023. Том 58. С.64–74. URL: https://periodicals.karazin.ua/mia/article/view/23502

4. Ai P., Wang D., Huang G., et al. PulseDL: A reconfigurable deep learning array processor dedicated to pulse characterization for high energy physics detectors. Nuclear Instruments and Methods in Physics Research Section A: Accelerators, Spectrometers, Detectors and Associated Equipment. 2020. Volume 978, 164420. DOI: http://dx.doi.org/10.1016/j.nima.2020.164420

5. Ai P., Wang D., Huang G., Fang N., Xu D., Zhang F. Timing and characterization of shaped pulses with MHz ADCs in a detector system: a comparative study and deep learning approach. Journal of Instrumentation. 2019. Volume 14 (03), P03002. DOI: http://dx.doi.org/10.1088/1748-0221/14/03/p03002

6. Averill M. Law, W. David Kelton. Simulation Modeling and Analysis. Third edition. McGraw-Hill. 2000. 760 pages.

7. Chang S. G., Bin Yu, Vetterl M. Adaptive wavelet thresholding for image denoising and compression. *IEEE Transactions on Image Processing*. 2000. Volume 9 (9). https://doi.org/10.1109/83.862633

8. GuoLiang Yu, JianZhong Gu, Long Hou, ZhenYu Li, YanZhao Wang & YiYun Zhang. Application of wavelet transform in γ-ray spectra analysis. *Science China Physics, Mechanics and Astronomy*. 2013. Volume 56, pages 1735–1739. https://doi.org/10.1007/s11433-013-5185-3

9. Khilkevitch E. M., Shevelev A. E., Chugunov I. N., Iliasova M. V., Doinikov, D. N., Gin D. B. et al. Advanced algorithms for signal processing scintillation gamma ray detectors at high counting rates. Nuclear Instruments and Methods in Physics Research Section A: Accelerators, Spectrometers, Detectors and Associated Equipment. 2020. Volume 977, 164309. https://doi.org/10.1016/j.nima.2020.164309

10. Knoll G. F. Radiation Detection and Measurement. John Wiley & Sons. 2010. 864 pages.

11. Larman C. Applying UML and Patterns: An Introduction to Object-Oriented Analysis and Design and Iterative Development. Addison Wesley Professional. 2004. 736 pages.

12. Mallat S. A theory for multiresolution signal decomposition: the wavelet representation. *IEEE Transactions on Pattern Analysis and Machine Intelligence*. 1989. Volume 11, Issue 7, pages 674–693. https://doi.org/10.1109/34.192463

13. QT Framework Official Website. URL: https://www.qt.io/product/framework

14. Reva S. M., Tsybliyev D. O. Devising a computer method to recognize and analyze spectrometric signals parameters. *Eastern-European Journal of Enterprise Technologies.* 2024. 6(9 (132)), 86–96. https://doi.org/10.15587/1729-4061.2024.318558

15. Shevelev A. E., Khilkevitch E. M., Lashkul S. I., Rozhdestvensky V. V., Altukhov A. B., Chugunov I. N. et al. High performance gamma-ray spectrometer for runaway electron studies on the FT-2 tokamak. Nuclear Instruments and Methods in Physics Research Section A: Accelerators, Spectrometers, Detectors and Associated Equipment. 2016. Volume 830, pp. 102–108. https://doi.org/10.1016/j.nima.2016.05.075

16. Vu Dang Hoang. Wavelet-based spectral analysis. *TrAC Trends in Analytical Chemistry.* 2014. Volume 62, pages 144–153. https://doi.org/10.1016/j.trac.2014.07.010

17. Wissam Jenkal, Rachid Latif, Ahmed Toumanari, Azzedine Dliou, Oussama El B'charri, Fadel M.R. Maoulainine. An efficient algorithm of ECG signal denoising using the adaptive dual threshold filter and the discrete wavelet transform. *Biocybernetics and Biomedical Engineering.* 2016. Volume 36, Issue 3, pp. 499–508. https://doi.org/10.1016/j.bbe.2016.04.001

18. Wolszczak W., Dorenbos P. Time-resolved gamma spectroscopy of single events. Nuclear Instruments and Methods in Physics Research Section A: Accelerators, Spectrometers, Detectors and Associated Equipment. 2018. Volume 886, pp. 30–35. https://doi.org/10.1016/j.nima.2017.12.080

19. Zhiyuan Li, Jie Li, Yueting Zhang, Jiayi Guo, Yirong Wu. A Noise-Robust Blind Deblurring Algorithm with Wavelet-Enhanced Diffusion Model for Optical Remote Sensing Images. *IEEE Journal of Selected Topics in Applied Earth Observations and Remote Sensing.* 2024. Volume 17, pp. 16236–16254. https://doi.org/10.1109/JSTARS.2024.3422175

Дата надходження статті: 28.10.2025
Дата прийняття статті: 10.12.2025
Опубліковано: 30.12.2025

УДК 004.9
DOI https://doi.org/10.32689/maup.it.2025.4.24

Микита СМОЛЕНСЬКИЙ
аспірант кафедри інтелектуальних інформаційних систем,
Чорноморський національний університет імені Петра Могили, nikitasmolenskyi@gmail.com
***ORCID:** 0009-0008-3071-4350*

Євген СІДЕНКО
доцент кафедри інтелектуальних інформаційних систем,
Чорноморський національний університет імені Петра Могили, ievgen.sidenko@chmnu.edu.ua
***ORCID:** 0000-0001-6496-2469*

ФОРМАЛІЗАЦІЯ ТЕХНІЧНИХ ВИМОГ ДО ЗАСОБІВ РАДІОЧАСТОТНОЇ ІДЕНТИФІКАЦІЯ В КОНТЕКСТІ ПОКРАЩЕННЯ ПРОЦЕСУ НАДАННЯ МЕДИЧНИХ ПОСЛУГ

Анотація. *У сучасних умовах цифровізації медицини RFID-технології стають важливим інструментом для підвищення ефективності клінічних процесів, підвищення безпеки пацієнтів та оптимізації управління ресурсами. Більшість існуючих підходів до оцінки RFID-рішень спираються на технічні параметри, зокрема дальність зчитування, пропускну здатність та швидкість обміну даними. Такі показники дають загальне уявлення про можливості технології, проте вони не враховують специфіку лікарняного середовища та вимоги міжнародних стандартів.*

Метою дослідження *стало створення моделі формалізації клінічної придатності RFID, яка поєднує базові метрики з інтегральними коефіцієнтами, орієнтованими на безпеку, швидкодію та надійність.*

У роботі проаналізовано недоліки традиційних методів оцінки та визначено чинники, що знижують ефективність RFID у медичних закладах: вологість, наявність металевих поверхонь, електромагнітні завади та обмежені часові вікна для ідентифікації. Запропоновано набір базових і похідних параметрів: коефіцієнт критичного часу ідентифікації, коефіцієнт успішності зчитування, інтегральний індекс клінічної придатності (ІКП-RFID) та адаптивний коефіцієнт середовищних умов (k_env). Вагові коефіцієнти калібровано методами багатокритеріального аналізу (AHP, TOPSIS), що дозволило узгодити технічні та клінічні вимоги.

Наукова новизна *дослідження полягає у переході від оцінки технічних параметрів до комплексного підходу, орієнтованого на клінічний результат. Запропонована модель показала, що навіть високопродуктивні системи у лабораторних умовах втрачають ефективність у реальному медичному середовищі, що підтверджує доцільність використання інтегральних коефіцієнтів. Практичне значення роботи полягає у можливості застосування результатів для вибору оптимальних RFID-рішень у лікарнях, підвищення якості медичних послуг та безпеки пацієнтів.*

Ключові слова: *RFID-технології, клінічна придатність, ідентифікація пацієнтів, безпека медичних процесів, ІКП-RFID, адаптивний коефіцієнт середовищних умов, AHP.*

Mykyta SMOLENSKYI, Yevgen SIDENKO. FORMALIZATION OF TECHNICAL REQUIREMENTS FOR RADIO FREQUENCY IDENTIFICATION (RFID) TOOLS IN THE CONTEXT OF IMPROVING HEALTHCARE SERVICE DELIVERY

Abstract. *In the current era of healthcare digitalization, RFID technologies are becoming a key tool for improving the efficiency of clinical processes, enhancing patient safety, and optimizing resource management. Most existing approaches to evaluating RFID systems rely on conventional parameters such as reading range, throughput, and data exchange speed. While these metrics outline the technological potential, they fail to reflect the specific conditions of hospital environments or the requirements of international standards.*

The aim *of this research was to develop a model for formalizing the clinical suitability of RFID systems that combines basic metrics with integral coefficients oriented toward safety, speed, and reliability.*

The study analyzed the limitations of traditional evaluation methods and identified factors that reduce RFID efficiency in hospitals, including humidity, metallic surfaces, electromagnetic interference, and limited time windows for identification. A set of primary and derived parameters was proposed: the critical identification time coefficient, the reading success rate, the Clinical Suitability Index of RFID (CSI-RFID), and the adaptive environmental coefficient (k_env). Weighting factors were calibrated using multi-criteria decision-making methods (AHP, TOPSIS), which made it possible to integrate technical and clinical requirements.

The novelty *of the study lies in the transition from purely technical assessments to a comprehensive approach focused on clinical outcomes. The proposed model demonstrated that even high-performing RFID systems effective in laboratory settings may lose efficiency in real hospital environments, thus confirming the need for integral evaluation metrics. The practical value of the work is the possibility of applying the results to select optimal RFID solutions for hospitals, thereby improving the quality of healthcare services and patient safety.*

Key words: *RFID technologies, clinical applicability, patient identification, medical process safety, CAI-RFID, adaptive environmental coefficient, AHP.*

© М. Смоленський, Є. Сіденко, 2025

Стаття поширюється на умовах ліцензії CC BY 4.0

Вступ. Сучасні медичні заклади стикаються з комплексними викликами у сфері управління клінічною інформацією, що зумовлено зростанням обсягів даних, підвищенням вимог до швидкості обробки запитів та необхідністю забезпечення безпеки пацієнтів [18–20]. Традиційні підходи, які базуються на ручному введенні даних або штрихкодах, залишають значну частину процесів вразливою до людських помилок, затримок і технічних збоїв. Це особливо критично у випадках, коли від швидкості ідентифікації пацієнта, медичного обладнання чи лікарських засобів залежить результат лікування та навіть життя [1, 9, 10].

Технології радіочастотної ідентифікації (RFID) довели ефективність у забезпеченні автоматизованого збору, передавання та обробки даних у реальному часі, усуваючи потребу у прямій візуальній перевірці ідентифікаторів та підвищуючи швидкодію клінічних операцій [1]. Водночас впровадження RFID у лікарнях супроводжується технічними труднощами: нестабільністю зчитування у складних електромагнітних умовах, впливом металу й рідин на дальність і точність роботи, а також перевищенням допустимого часу відгуку у критичних сценаріях [9, 10].

Суттєвою проблемою є відсутність уніфікованої методики формалізації технічних вимог, яка б враховувала специфіку медичного середовища та дозволяла калібрувати вагові коефіцієнти параметрів на прозорій основі. Нині інтегральна ймовірність коректного зчитування, коефіцієнт латентності відповіді та коефіцієнт критичного часу ідентифікації використовуються ad hoc, без нормування та без застосування методів багатокритеріального аналізу (AHP, TOPSIS). Це призводить до суб'єктивності вибору обладнання, несумісності між компонентами систем і ризику збоїв у критично важливих процесах [3–5].

Додаткові виклики пов'язані з неврахуванням міжнародних і регуляторних вимог. До ключових належать стандарти ISO/IEC 18000-63 (EPC Gen2 / RAIN RFID) [10], ISO 14443 (HF proximity) [15], IEC 60601-1 та IEC 60601-1-2 (базова безпека та EMC) [14], ISO/IEC 29167 (криптозахист) [13], ISO/IEC 18046/18047 (performance/conformance), ISO/IEC 18000-7 (активні 433 МГц), а також європейські норми ETSI EN 302 208 для діапазону UHF. Важливою умовою є і сумісність із медичними протоколами обміну даними HL7 та HL7 FHIR, що забезпечують інтеграцію RFID-подій у цифровий потік лікарні. Недотримання цих вимог обмежує міжсистемну взаємодію, підвищує ризики для безпеки та унеможливлює використання RFID у контексті ризик-менеджменту (ISO 14971).

Таким чином, виникає потреба у створенні формалізованої моделі технічних вимог до RFID-систем медичного призначення, що дозволить:

– визначати відповідність умовам конкретної лікарні ще на етапі проектування;
– прогнозувати ефективність роботи з урахуванням середовищних факторів;
– забезпечити відтворюваність випробувань за ISO/IEC 18046/18047;
– мінімізувати ризики технічних та організаційних збоїв у критично важливих клінічних сценаріях.

Аналіз останніх досліджень і публікацій. Останні два десятиліття технологія радіочастотної ідентифікації (RFID) привертає значну увагу у сфері охорони здоров'я. Численні наукові огляди підтверджують її здатність підвищувати безпеку пацієнтів, скорочувати час виконання медичних процедур та оптимізувати управління ресурсами [18–20].

У роботі Bendavid і Boeck [1] сформовано концептуальну основу використання RFID у медичних закладах, де визначено ключові напрями застосування: моніторинг переміщення пацієнтів, відстеження медичного обладнання, контроль запасів лікарських засобів. Автори підкреслюють потребу у врахуванні стандартів сумісності HL7 при інтеграції, хоча питання формалізації технічних параметрів залишено поза увагою.

Дослідження Ohashi та ін. [9] демонструє приклади використання RFID для підвищення безпеки пацієнтів завдяки автоматичній ідентифікації під час введення медикаментів. Результати показали зниження кількості помилок на 25–30%, проте автори наголосили на негативному впливі середовищних факторів (метал, рідини) на точність зчитування.

У роботі Perez, Thompson та Lee [10] розглянуто вплив RFID на процеси відстеження пацієнтів і введення лікарських засобів. Автори підкреслили необхідність балансування між дальністю зчитування і швидкодією системи для уникнення хибнопозитивних спрацювань.

Wamba, Anand та Carter [3] систематизували приклади застосування RFID у клініках різних країн, виділивши основні проблеми впровадження: інтерференція сигналу, нестача стандартизації інтерфейсів, високі початкові витрати.

Dridi та ін. [5] запропонували семантичний інтеграційний фреймворк для об'єднання RFID-подій з електронними медичними записами (EHR) на базі HL7 FHIR. Попри високий потенціал моделі, відсутні формалізовані показники продуктивності зчитування в умовах лікарні.

Gazzarata та ін. [4] вивчали можливості HL7 FHIR у створенні цифрових медичних екосистем для пацієнтів із хронічними захворюваннями, наголошуючи на необхідності стандартизації обміну даними між RFID-підсистемами та клінічними інформаційними системами.

Окремі прикладні дослідження [7, 8] зосереджені на вимірюванні ключових параметрів RFID у клінічних сценаріях (наприклад, «видача препарату», «переміщення медичного обладнання»). Показано, що висока вологість та металеві конструкції можуть знижувати ефективну дальність зчитування на 30–40%, а час відгуку інколи перевищує 500 мс – критичний поріг для безперервних клінічних процедур, який потребує ризик-обґрунтування згідно з ISO 14971.

Дослідження Huang та ін. [13] порівняло HF- та UHF-мітки у лікарняних умовах: HF-технології продемонстрували кращу стабільність поблизу пацієнта, тоді як UHF забезпечили більшу дальність, але виявилися чутливішими до перешкод.

Raj, Singh і Verma [12] проаналізували інтеграцію RFID-систем із міжнародними стандартами ISO/IEC, підкресливши потребу уніфікованих процедур тестування для забезпечення сумісності.

Zhang, Torres і Gupta [6] описали проблеми впровадження RFID-рішень відповідно до вимог IEC 60601 і HL7, наголошуючи, що відсутність стандартизованих методик оцінки може призвести до технічних збоїв у критично важливих процесах.

Узагальнюючи, сучасні дослідження вказують на необхідність переходу від ізольованих вимірювань (дальність, швидкість, пропускна здатність) до комплексних підходів, які враховують середовищні умови, ризики безпеки та відповідність міжнародним нормам. Особливе значення мають стандарти ISO/IEC 18000-63 (EPC Gen2 / RAIN RFID) [16], ISO/IEC 18000-7 (433 МГц активні RFID), ISO 14443 [11], ISO/IEC 29167 [17], ISO/IEC 18046/18047 (performance/conformance), IEC 60601-1 та IEC 60601-1-2 [14], а також ETSI EN 302 208, які регламентують параметри спектра для UHF-діапазону в Європі. Відсутність їх урахування унеможливлює створення відтворюваних, безпечних та інтероперабельних RFID-рішень для медицини.

Мета роботи. Метою даної роботи є розробка науково обґрунтованого підходу до формалізації технічних вимог для засобів радіочастотної ідентифікації (RFID), призначених для використання в медичних закладах. Особливу увагу приділено:

– визначенню інтегрального показника клінічної придатності RFID (ІКП-RFID) та адаптивного коефіцієнта середовищних умов (k_env) як нових параметрів оцінки;

– побудові прозорої процедури зважування технічних метрик за допомогою методів багатокритеріального аналізу (AHP, TOPSIS) із залученням експертних оцінок;

– забезпеченню відтворюваності результатів шляхом стандартизованих випробувань згідно з ISO/IEC 18046 (performance) та ISO/IEC 18047 (conformance);

– інтеграції RFID-подій у цифрову інфраструктуру охорони здоров'я через протоколи HL7 FHIR.

Очікуваним результатом є методика, що дозволяє об'єктивно оцінювати та порівнювати RFID-рішення за ключовими параметрами (точність ідентифікації, швидкодія, надійність у середовищі з перешкодами, відповідність міжнародним стандартам) та забезпечує можливість їх ефективного впровадження у критично важливі клінічні процеси.

Виклад основного матеріалу дослідження. Радіочастотна ідентифікація (RFID) у медичній сфері є одним із ключових напрямів цифрової трансформації охорони здоров'я [18–20]. Її впровадження дозволяє автоматизувати облік і переміщення медичних матеріалів, контролювати логістику пацієнтів, перевіряти призначення, інтегрувати ідентифікаційні процеси з електронними медичними записами (EHR) та скорочувати час виконання критичних процедур. Технічні вимоги до таких систем формуються на перетині технологічних характеристик обладнання, середовищних обмежень та клінічних потреб, що зумовлює необхідність формалізації комплексних критеріїв оцінки їх ефективності.

У медичних умовах використовуються активні, пасивні та напівпасивні RFID-мітки, робота яких охоплює різні діапазони частот. Активні RFID зазвичай працюють на 433 МГц (ISO/IEC 18000-7) або 2,45 ГГц, забезпечують дальність зчитування до 100 м і високу стабільність у складних умовах, проте обмежені ресурсом батареї. Пасивні RFID-мітки працюють за рахунок енергії від зчитувача і функціонують у діапазонах LF (125–134 кГц), HF (13,56 МГц) та UHF (860–960 МГц, ISO/IEC 18000-63, EPC Gen2 / RAIN RFID). LF має найменшу дальність, але стійкий до рідин і металів; HF включає два підстандарти: ISO 14443 (до 10 см) та ISO 15693 (до ~1 м); UHF пропонує максимальну дальність (4–6 м у клінічних умовах), однак більш чутливий до вологості й металевих поверхонь [7, 8, 13–16].

Для наочності технічні характеристики різних типів RFID наведено у табл. 1.

Успішна інтеграція RFID-технологій у клінічні процеси вимагає не лише врахування стандартних технічних характеристик, таких як дальність зчитування, швидкість обміну чи частотний діапазон. У реальних медичних умовах ефективність системи визначається здатністю працювати стабільно,

ISSN 2786-5460 (Print), ISSN 2786-5479 (Online)

Таблиця 1

Порівняння технічних параметрів RFID-систем для медичного застосування

Тип / Діапазон	Параметр	Значення
LF пасивна (125–134 кГц)	Дальність зчитування, м	0,1–0,5
	Швидкість обміну, кбіт/с	2–5
	Стійкість до вологи	Висока
	Стійкість до металу	Висока
	Ресурс роботи	>10 р.
	Вартість впровадження	Низька
	Інтероперабельність	Середня
	Нормативна база	ISO 14223, ISO 11784
	Типове застосування	Імпланти, браслети
HF пасивна (ISO 14443)	Дальність зчитування, м	до 0,1
	Швидкість обміну, кбіт/с	26–106
	Стійкість до вологи	Висока
	Стійкість до металу	Середня
	Ресурс роботи	>10 р.
	Вартість впровадження	Низька
	Інтероперабельність	Висока
	Нормативна база	ISO 14443
	Типове застосування	Пацієнтські картки
HF пасивна (ISO 15693)	Дальність зчитування, м	до 1
	Швидкість обміну, кбіт/с	26-53
	Стійкість до вологи	Висока
	Стійкість до металу	Середня
	Ресурс роботи	>10 р.
	Вартість впровадження	Висока
	Інтероперабельність	Середня
	Нормативна база	ISO/IEC 15693
	Типове застосування	Інструменти, браслети
UHF пасивна (860–960 МГц)	Дальність зчитування, м	4–6
	Швидкість обміну, кбіт/с	40–640
	Стійкість до вологи	Середня
	Стійкість до металу	Низька
	Ресурс роботи	>10 р.
	Вартість впровадження	Низька
	Інтероперабельність	Висока
	Нормативна база	ISO/IEC 18000-63 (EPC Gen2)
	Типове застосування	Логістика, склади, інвентаризація
Active RFID (433 МГц)	Дальність зчитування, м	30–100
	Швидкість обміну, кбіт/с	40-640
	Стійкість до вологи	Середня
	Стійкість до металу	Низька
	Ресурс роботи	3–5 р.
	Вартість впровадження	Висока
	Інтероперабельність	Висока
	Нормативна база	ISO/IEC 18000-7
	Типове застосування	Відстеження обладнання

швидко та безпомилково в умовах, далеких від лабораторних. Це стосується ситуацій, коли потрібно оперативно ідентифікувати пацієнта у критичному стані, відстежити переміщення життєво важливого інструментарію чи контролювати доступ до стерильних зон. Тут технічні параметри не є самоціллю – вони стають лише засобом досягнення клінічного результату.

Проблема полягає в тому, що загальноприйняті показники RFID, які використовуються у логістиці чи роздрібній торгівлі, майже не враховують особливості медичного середовища. Наприклад, у стандартних тестах рідко імітується висока вологість, наявність великої кількості металевих поверхонь, електромагнітний шум від обладнання, що постійно працює, або обмежені часові вікна на виконання ідентифікації. У лікарнях такі фактори є нормою, а не винятком. Тому застосування лише класичних метричних показників (дальність, швидкість, пропускна здатність) не дає повної картини [2, 11].

Щоб вирішити цю проблему, у даній роботі було розроблено авторську модель формалізації клінічної придатності RFID. Її суть – у переході від набору розрізнених технічних метрик до інтегрованих коефіцієнтів, що безпосередньо відображають вплив RFID на безпеку та швидкодію медичних процесів. Ця модель враховує як часові обмеження, так і якісні параметри роботи, включаючи стійкість до середовищних впливів, енергоефективність і сумісність з іншими системами.

У розробленій моделі формалізації ідентифікаційних систем для медицини вихідним етапом є визначення набору базових первинних метрик, які безпосередньо фіксують результат роботи RFID у конкретному середовищі. До таких метрик належить інтегральна ймовірність точного зчитування тегів у клінічних умовах:

$$P_{read} = \frac{N_{valid}}{N_{total}}, P_{read} \geq 0.99, \quad (1)$$

де N_{valid} – кількість коректно зчитаних міток, N_{total} – загальна кількість спроб зчитування. Значення P_{read} відображає базову надійність системи. У медичному середовищі кожна помилка може призвести до клінічного інциденту, тому порогове значення 0.99 обґрунтовується вимогами ризик-менеджменту за ISO 14971 та врахуванням мережевих аспектів безпеки згідно з IEC 80001-1. Для забезпечення відтворюваності результатів вимірювання P_{read} повинно проводитися у відповідності до міжнародних стандартів ISO/IEC 18046 (performance) та ISO/IEC 18047 (conformance).

Другою ключовою величиною є часова латентність відповіді – затримка між моментом ініціювання зчитування та отриманням даних:

$$T_{resp} = t_{recv} - t_{scan}, T_{resp} \leq 500\,мс \quad (2)$$

де t_{scan} – час початку зчитування, t_{recv} – час отримання відповіді. Для критично швидких процедур, як-от перевірка пацієнта перед переливанням крові чи доступ у стерильну зону, навіть додаткові соті секунди можуть стати неприпустимими. Тому встановлення порогового значення 500 мс має обґрунтовуватися аналізом клінічних ризиків згідно з ISO 14971 у поєднанні з вимогами мережевої безпеки за IEC 80001-1.

Третя базова метрика – коефіцієнт критичної швидкодії:

$$K_{crit} = \frac{N\left(< T^*\right)}{N_{total}}, 0 \leq K_{crit} \leq 1 \quad (3)$$

де $N_{(<T^*)}$ – кількість операцій зчитування, що відбулися швидше ніж за пороговий час T^*, визначений для конкретного клінічного сценарію (наприклад, T^*=300 мс для процедур переливання крові чи видачі медикаментів), а N_{total} – загальна кількість спроб. Метрика K_{crit} є нормованою (0…1) і дозволяє оцінити не лише середній час відгуку, а й стабільність досягнення оптимальних швидкісних показників. Вибір порогового значення T^* повинен базуватися на аналізі клінічних ризиків за ISO 14971, а перевірка відтворюваності показника здійснюється у випробуваннях згідно з ISO/IEC 18046.

Зазначені базові метрики є «сировиною» для побудови інтегральних характеристик, що відображають придатність RFID до реальних клінічних процесів. У моделі вони агрегуються в два похідних показники: коефіцієнт критичного часу ідентифікації (ККЧІ) та коефіцієнт успішності зчитування (КУЗ).

З огляду на вимоги клінічної безпеки, часові параметри доцільно нормувати відносно допустимого порогового значення. Це дозволяє перетворити показник на безрозмірну величину в діапазоні 0…1 та коректно порівнювати різні системи і сценарії. Значення t_{max} встановлюється для конкретної медичної процедури (наприклад, переливання крові, доступ у стерильну зону) та обґрунтовується через аналіз клінічних ризиків відповідно до ISO 14971.

$$\text{ККЧІ} = \frac{t_{max} - t_a}{t_{max}}, 0 \leq \text{ККЧІ} \leq 1 \quad (4)$$

де t_{max} – гранично допустимий час для конкретної операції, t_a – середній фактичний час зчитування. Для медичних сценаріїв $t_{max} \leq 500$ мс, а ККЧІ має бути не нижчим за 0,9.

На основі ККЧІ та P_{read}, доповнених експлуатаційними параметрами, вводиться інтегральний Індекс клінічної придатності RFID (ІКП-RFID). Для забезпечення коректності обчислень усі складові показники нормуються у діапазоні 0…1, що гарантує їх безрозмірність та можливість зваженої агрегації.

$$ІКП = \left(\omega_1 \cdot \text{ККЧІ} + \omega_2 \cdot P_{read} + \omega_3 \cdot S_{env} + \omega_4 \cdot I_{interop}\right), \quad (5)$$

де S_{env} – нормований коефіцієнт стійкості до середовищних впливів (0…1), $I_{interop}$ – нормований показник інтероперабельності системи (0…1), $w_1 \ldots w_5$ – вагові коефіцієнти, що визначаються методами багатокритеріального аналізу (AHP, TOPSIS) із використанням експертних оцінок і перевіркою узгодженості.

Корекція на реальні умови здійснюється через адаптивний коефіцієнт середовищних умов:

$$k_{env} = 1 - \left(\pm \cdot H_{dev} + ^2 \cdot M_{dev} + ^3 \cdot E_{noise}\right), 0 \leq k_{env} \leq 1 \quad (6)$$

де H_{dev}, M_{dev}, E_{noise} – нормовані відхилення (0 – відсутність впливу, 1 – критичний рівень) для вологості, металевих поверхонь та електромагнітних завад відповідно; α,β,γ – вагові коефіцієнти, визначені методами багатокритеріального аналізу (AHP, TOPSIS або ентропійні ваги) з урахуванням специфіки будівлі чи відділення. Значення k_{env} таким чином є безрозмірним і дозволяє адаптувати ІКП-RFID до конкретних умов експлуатації.

Ці коефіцієнти були розроблені саме для медичного середовища, де вологість, наявність металу та електромагнітний шум є постійними, а не епізодичними чинниками. Таким чином, ІКП-RFID дозволяє порівнювати різні технології за їх реальною клінічною придатністю, а не лише за паспортними характеристиками.

Наприклад, при підвищенні вологості на 30%, наявності металу середнього рівня та електромагнітному шумі 0,2, коефіцієнт k_{env} становить 0,695, що знижує інтегральний показник майже на 30%. Це прямо впливає на вибір технології: система, яка виглядає швидкою та надійною у лабораторії, може виявитися непридатною в реальній операційній.

У прикладі для HF-пасивної системи з ККЧІ = 0,94, P_{read} = 99,2%, S_{env} = 0,85, $I_{interop}$=1 та k_{env}=0,82 отримаємо ІКП ≈ 0,78. Це високий показник, але він також демонструє, що навіть оптимальні технології потребують адаптації під специфіку клінічного середовища.

Розроблена у межах даного дослідження модель формалізації клінічної придатності RFID-технологій є не просто інструментом технічної оцінки, а методологічною основою для прийняття управлінських рішень у сфері цифрової медицини. Її ключова відмінність від класичних підходів полягає в інтеграції технічних та експлуатаційних характеристик у єдиний індекс (ІКП-RFID), який безпосередньо корелює з клінічною ефективністю.

На відміну від традиційних методик, орієнтованих на вимірювання окремих параметрів (дальність, швидкість, пропускна здатність), запропонована модель враховує комплексну взаємодію факторів: від часової латентності до стійкості в умовах підвищеної вологості, наявності металевих конструкцій та електромагнітних завад. Завдяки цьому модель дозволяє не лише об'єктивно порівнювати різні RFID-рішення, але й прогнозувати зміни їх ефективності при переході з лабораторних умов у реальні клінічні сценарії.

Практична цінність підходу полягає у можливості:

– формалізувати процес вибору RFID-технології для конкретного клінічного застосування;

– кількісно оцінювати вплив зовнішніх факторів на швидкодію та надійність системи;

– прогнозувати зниження продуктивності у несприятливих умовах та планувати технічні заходи з його компенсації;

– визначати пріоритетні напрями оптимізації обладнання та алгоритмів роботи.

Запропонована система коефіцієнтів (ККЧІ, P_{read}, ІКП-RFID, k_env) розроблена спеціально з урахуванням медичної специфіки та апріорно високих вимог до точності й швидкодії. Вона є масштабованою: при зміні типу міток, протоколів обміну чи архітектури системи модель може бути адаптована без зміни базової логіки розрахунків.

Таким чином, розроблена модель формалізації не лише забезпечує об'єктивність оцінювання RFID-рішень для медицини, але й створює пі них технологій у клінічні процеси, що особливо важливо у контексті глобальної цифрової трансфор дґрунтя для стандартизації підходів до інтеграції подібмації охорони здоров'я.

Безпека та конфіденційність. Використання RFID у клінічних процесах неминуче пов'язане з ризиками для інформаційної безпеки та захисту персональних даних пацієнтів. Основними загрозами є:

– перехоплення сигналу та несанкціоноване зчитування міток у неконтрольованих зонах;

– клонування або підробка тегів, що може призвести до доступу сторонніх осіб до лікарських засобів чи обладнання;

– атаки типу «відмова у доступі» (DoS) на зчитувачі та сервери;

– несанкціонований доступ до логів і маніпуляції з даними у клінічних інформаційних системах.

Для мінімізації цих ризиків запропоновано комплекс заходів безпеки:

– криптографія на рівні тегу відповідно до стандарту *ISO/IEC 29167* (AES-128, ECC), який підтримується у протоколі Gen2v2;

– захист каналу зв'язку між зчитувачем та сервером (TLS/SSL, VPN), а також шифрування радіоінтерфейсу;

– моделі контролю доступу (рольова автентифікація, багаторівнева ідентифікація користувачів);

– аудит подій та журналювання відповідно до рекомендацій *NIST SP 800-98*.

Впровадження зазначених заходів дозволяє не лише підвищити рівень безпеки RFID-систем, а й забезпечити відповідність вимогам міжнародних нормативів щодо конфіденційності медичних даних.

Експериментальна частина (імітаційно-стендова валідація). З огляду на обмеження доступу до клінічних майданчиків, валідація моделі здійснюється як імітаційне дослідження з відтворюваним протоколом, адаптованим до ISO/IEC 18046-2/-3 та ISO/IEC 18047. Мета – показати процедурну відтворюваність метрик P_{read}, T_{resp}, K_{crit}, ККЧІ та коректну роботу адаптивного коефіцієнта kenv.

Сценарії застосування:

1. Перевірка ідентичності пацієнта біля ліжка (HF 14443/15693).
2. Автоматизована видача медикаментів (ADC) (HF 15693, UHF 63).
3. Трекінг інструментів у ЦСВ (UHF 63; кейси з металом/рідинами).

Для кожного сценарію моделюються серії зчитувань N=1000 на кожну умову: базова; підвищена вологість; наявність металу; електромагнітний шум.

Для HF 14443/15693 та UHF 18000-63 параметри розподілів задаються з літературних ефектів впливу (зниження дальності/надійності в присутності металу/рідини).

Обчислюються: P_{read}, Tresp, Kcrit (із T^* за сценарієм), ККЧІ. Для P_{read} наводяться довірчі інтервали (95%), для T_{resp} – медіана та IQR, для Kcrit – частка (0…1).

Повторюваність забезпечується публікацією насіннєвого значення генератора випадкових чисел та сценарних параметрів. Протокол відповідає структурі 18046-2/-3 (без використання клінічних даних).

Цей етап позиціонується як proof-of-concept та лабораторне моделювання, метою якого є перевірка відтворюваності розрахункових метрик і демонстрація практичної застосовності моделі. Отримані результати не є клінічними, але підтверджують, що навіть при базових імітаційних сценаріях значення P_{read} перевищують 0.98, а ККЧІ утримується вище 0.9, тоді як наявність металу чи підвищена вологість знижують інтегральний показник на 15–25%. Це дозволяє вважати модель придатною до подальшої адаптації в умовах реальних клінічних випробувань.

Результати імітаційного дослідження. Для кількісної оцінки ефективності розробленої моделі формалізації клінічної придатності RFID-технологій проведено імітаційне моделювання з використанням 1000 ітерацій для кожного сценарію застосування. У дослідження включено три типові клінічні сценарії:

1. HF 14443 (пацієнтські картки, proximity-режим);
2. HF 15693 (ідентифікація інструментів, vicinity-режим);
3. UHF 18000-63 (логістика медичних матеріалів, RAIN RFID).

Для кожного сценарію моделювалися чотири умови середовища: базова (контрольна), підвищена вологість (+30%), наявність металевих поверхонь середньої щільності та електромагнітний шум (інтенсивність 0,2 у відносних одиницях). Параметри розподілів задавались на основі експериментальних характеристик RFID-систем, наведених у [14–17], з урахуванням ефектів середовищного впливу.

Отримані результати подано у таблиці 2.

Таблиця 2

Статистично оброблені результати імітаційного моделювання RFID-систем у клінічних умовах

Сценарій	Умови середовища	Pread (M±SD)	Tresp, мс (медіана [IQR])	Kcrit	ККЧІ	kenv	ІКП-RFID
HF 14443	базова	0,992±0,004	280 [260–310]	0,94	0,93	0,98	0,89
	вологість +30%	0,978±0,006	340 [320–370]	0,88	0,87	0,82	0,74
HF 15693	базова	0,986±0,005	310 [280–340]	0,92	0,91	0,95	0,83
	метал середній	0,963±0,008	410 [380–460]	0,83	0,82	0,77	0,68
UHF 18000-63	базова	0,981±0,007	360 [330–390]	0,89	0,90	0,93	0,80
	шум 0,2	0,951±0,010	460 [420–520]	0,79	0,81	0,70	0,61

Як показано в таблиці 2, у базових умовах усі системи демонструють високу ефективність: для HF 14443 середня ймовірність успішного зчитування становить 0,992±0,004, а медіанна латентність відповіді – 280 мс [260–310]. Підвищена вологість, наявність металу та електромагнітний шум знижують інтегральний показник ІКП-RFID на 15–25%, що статистично значуще при $p < 0,05$.

Найбільш стійкою до середовищних впливів виявилась технологія HF 14443, тоді як UHF 18000-63 демонструє найвищу чутливість до завад і потребує технічної адаптації. Результати підтверджують адекватність моделі та коректність розрахунку коефіцієнта k_{env}, який відображає деградацію ефективності RFID у клінічних умовах.

Таким чином, імітаційне моделювання підтвердило достовірність і практичну придатність запропонованої моделі для кількісної оцінки клінічної ефективності RFID-систем.

Етичні аспекти та обмеження дослідження. Проведене дослідження не передбачало залучення персональних або клінічних даних пацієнтів, що виключає ризики порушення етичних норм і конфіденційності. Імітаційна частина виконувалася виключно на основі технічних параметрів RFID-систем і стандартів ISO/IEC 18046, ISO/IEC 18047 та IEC 60601, без взаємодії з медичним персоналом чи біомедичними об'єктами. Усі параметри моделювання відповідають вимогам ризик-менеджменту за ISO 14971 і принципам безпеки мережевих медичних систем згідно з IEC 80001-1.

Основним обмеженням дослідження є лабораторно-імітаційний характер отриманих результатів, який не враховує повну варіативність клінічних сценаріїв. Валідація моделі в реальному медичному середовищі планується на наступному етапі роботи після узгодження з етичними комітетами закладів охорони здоров'я. Водночас отримані статистично достовірні результати підтверджують адекватність і відтворюваність моделі, що дозволяє вважати її придатною до подальшого застосування у клінічних дослідженнях.

Висновки. Запропонована модель формалізації клінічної придатності RFID-технологій забезпечує комплексну та об'єктивну оцінку їх ефективності у медичних умовах, інтегруючи часові, якісні та експлуатаційні параметри в єдиний індекс ІКП-RFID. Ключовими складовими виступають коефіцієнт критичного часу ідентифікації (ККЧІ), інтегральна ймовірність зчитування (P_{read}) та адаптивний коефіцієнт середовищних умов (k_{env}), які нормовані у діапазоні 0…1 і дозволяють порівнювати різні сценарії на уніфікованій шкалі.

Використання методів AHP/TOPSIS для калібрування вагових коефіцієнтів забезпечує прозоре обґрунтування моделі та усуває ризик ad hoc-рішень. Додатково враховано вимоги інформаційної безпеки та конфіденційності (ISO/IEC 29167, NIST SP 800-98), а також коректну інтеграцію RFID-подій у стандартизовані формати HL7 FHIR.

Proof-of-concept валідація у форматі імітаційного моделювання підтвердила, що модель адекватно відображає зниження ефективності RFID-систем при впливі вологості, металу та електромагнітних завад (зменшення ІКП на 15–25% навіть для високотехнологічних рішень). Це свідчить про її практичну придатність до подальшого застосування та стандартизації процесів інтеграції RFID у клінічні середовища.

Таким чином, розроблена методика може слугувати основою для формування єдиних критеріїв вибору та валідації RFID-рішень у медицині, підвищуючи безпеку, швидкодію та надійність клінічних процедур у реальних умовах експлуатації.

Список використаних джерел:

1. Бендавід Й., Бек Г. RFID in healthcare: A framework for uses and opportunities. *Journal of Medical Systems*. 2011. Т. 35, № 3. С. 397–405.

2. Бібі І., Кляйнер Б. М. Виклики та можливості впровадження RFID у медичних закладах. *International Journal of Healthcare Management*. 2022. Т. 15, № 4. С. 321–330. DOI: https://doi.org/10.1080/20479700.2021.1952683

3. Вамба С. Ф., Ананд А., Картер Л. A literature review of RFID-enabled healthcare applications and issues. *International Journal of Information Management*. 2013. Т. 33, № 5. С. 875–891.

4. Газзарата Р., Алмейда Ж., Ліндскьольд Л. та ін. HL7 Fast Healthcare Interoperability Resources (HL7 FHIR) in digital healthcare ecosystems for chronic disease management. *International Journal of Medical Informatics*. 2024. Т. 189. Article 105507.

5. Дріді А., Сассі С., Шбеїр Р., Фаїз С. A flexible semantic integration framework for fully-integrated EHR based on FHIR standard. ICAART 2020. С. 684–691.

6. Жанг Л., Торрес Р., Гупта С. Implementation challenges of RFID systems in compliance with IEC 60601 and HL7 standards. *Health Informatics Journal*. 2023. Т. 29, № 1. Article 14604582231151541.

7. Кім С., Лі Д., Пак Дж. Environmental effects on RFID tag performance in healthcare facilities. *IEEE Transactions on Industrial Electronics*. 2020. Т. 67, № 6. С. 4983–4991.

8. Метьюз Дж., Каммінгс Л., Патель Р. Performance evaluation of RFID systems in hospital medication dispensing workflows. *Journal of Biomedical Informatics*. 2021. Т. 115. Article 103683.

9. Охасі К., Ота С., Оно-Мачадо Л. та ін. Improving patient safety through RFID technology. *Healthcare Informatics*. 2010. Т. 27, № 6. С. 45–52.

10. Перес М., Томпсон Д., Лі Х. The impact of RFID technology on patient tracking and medication administration. *Journal of Healthcare Management*. 2012. Т. 57, № 4. С. 123–135.

11. Прісант Р., Лі Дж., Ян С. Оцінка продуктивності пасивних UHF RFID-систем у складних лікарняних середовищах. *IEEE Access*. 2023. Т. 11. С. 45678–45691. DOI: https://doi.org/10.1109/ACCESS.2023.3267891

12. Радж П., Сінгх М., Верма А. Integration of RFID systems with ISO/IEC standards in clinical environments. *International Journal of Medical Engineering and Informatics*. 2021. Т. 13, № 4. С. 315–329.

13. Хуан Ю., Вонг А., Ченг Т. Comparative study of HF and UHF RFID technologies in patient monitoring systems. *Sensors*. 2022. Т. 22, № 14. Article 5219.

14. IEC 60601-1:2005. Medical electrical equipment – Part 1: General requirements for basic safety and essential performance. Geneva: IEC, 2005.

15. ISO 14443:2016. Identification cards – Contactless integrated circuit cards. Proximity cards. Geneva: ISO, 2016.

16. ISO/IEC 18000-6C:2013. Information technology – Radio frequency identification for item management – Part 6: Parameters for air interface communications at 860 MHz to 960 MHz. Geneva: ISO/IEC, 2013.

17. ISO/IEC 29167:2014. Information technology – Automatic identification and data capture techniques – Part 1: Architecture for security services. Geneva: ISO/IEC, 2014.

18. Radio Frequency Identification (RFID) in health care: Where are we? A scoping review. *Health and Technology*. 2023.

19. The Adoption and Implementation of RFID Technologies in Healthcare: A Literature Review. *Journal of Medical Systems*. 2023.

20. The Benefits and Barriers to RFID Technology in Healthcare. *HIMSS*. 2023.

Дата надходження статті: 16.11.2025
Дата прийняття статті: 10.12.2025
Опубліковано: 30.12.2025

УДК 004.8:004.056:681.518.5
DOI https://doi.org/10.32689/maup.it.2025.4.25

Андрій СУДИН
аспірант кафедри прикладної математики факультету прикладної математики та інформатики,
Львівський національний університет імені Івана Франка,
andrii.sudyn@lnu.edu.ua
***ORCID:** 0009-0006-8601-4682*

Лукаш СЦІСЛО
габілітований доктор інженерних наук,
завідувач кафедри автоматизації та комп'ютерної інженерії,
Краківський технологічний університет,
lukasz.scislo@pk.edu.pl
***ORCID:** 0000-0002-7728-9020*

Андрій ПЕРЕКРЕСТ
доктор технічних наук, професор,
завідувач кафедри комп'ютерної інженерії та електроніки,
Кременчуцький національний університет імені Михайла Остроградського,
pksg13@gmail.com
***ORCID:** 0000-0002-7728-9020*

Юрій ОНИЩЕНКО
кандидат наук з державного управління, доцент,
заступник директора інституту з освітньої та науково-дослідної діяльності
навчально-наукового інституту № 4 (підготовки фахівців з інформаційно-аналітичного забезпечення та кібербезпеки Національної поліції України),
доцент кафедри кібербезпеки та DATA-технологій,
Харківський національний університет внутрішніх справ, onischenko1980@gmail.com
ORCID: 0000-0002-7755-3071

ГІБРИДНА НЕЙРОМЕРЕЖЕВА МОДЕЛЬ ВИЯВЛЕННЯ ТА КІЛЬКІСНОЇ ОЦІНКИ РИЗИКУ ТАРГЕТОВАНИХ АТАК НА SCADA/ICS СИСТЕМИ ОБ'ЄКТІВ КРИТИЧНОЇ ІНФРАСТРУКТУРИ

Анотація. *Кількісна оцінка ризику таргетованих атак на SCADA/ICS системи об'єктів критичної інфраструктури є ключовою передумовою для формування обґрунтованих рішень щодо підвищення кіберстійкості, оптимізації механізмів захисту та мінімізації потенційних техногенних і соціально-економічних наслідків.*

Мета. *Розробка адаптивної гібридної нейромережевої моделі для виявлення й кількісної оцінки ризику таргетованих атак на SCADA/ICS системи об'єктів критичної інфраструктури.*

Методологія. *Запропонована архітектура поєднує багатомодальну інтеграцію процесних і мережевих сигналів через спеціалізовані енкодери, крос-модальний уваговий ф'юз із прототипною регуляризацією для підвищення локальної інтерпретованості та механізми обробки нерівномірної й частково відсутньої телеметрії (варіаційна автоімпутація, латентні звичайні диференціальні рівняння або трансформерні підходи з масками). Запропонований комбінований критерій детекції поєднує реконструкційну, прогнозну та контрастивну складові з адаптивними предиктивними компонентами для підвищення чутливості до «низько-повільних» сценаріїв атак. Для кількісної оцінки ризику введено калібрований ймовірнісний скор та функцію очікуваних збитків, що надало змогу формалізувати порогову політику реагування (моніторинг, ізоляція, автоматичні контрзаходи) у вигляді багаторівневої стратегії. Для забезпечення адаптивності до дрейфу та нових конфігурацій застосовано інкрементальне навчання з обмеженим буфером, MAML-подібну ініціалізацію і доменно-адверсаріальну регуляризацію, механізми XAI (внутрішня увага, прототипи, інтегровані градієнти та SHAP-подібні апроксимації) забезпечують логічні трасування причинно-наслідкових сценаріїв і підтримку судово-технічних висновків. Експериментальна валідація проведена на мульти-модальному датасеті, сформованому шляхом поєднання публічних SCADA/ICS наборів із модельованими траєкторіями та атакованими сценаріями. При цьому оцінювання включало ROC-AUC і F1-метрика для детекції аномалій, RMSE для прогнозної складової та економічно орієнтовані метрики очікуваного збитку і каліброваного ризику.*

Наукова новизна. *Розроблення адаптивної інтерпретованої нейромережевої моделі, що вперше поєднує багатомодальну інтеграцію мережевих і процесних сигналів SCADA/ICS, стійке виявлення «низько-повільних» таргетованих атак в умовах обмеженої телеметрії та формалізовану кількісну оцінку ризику з прогнозуванням наслідків для фізичних процесів критичної інфраструктури.*

© А. Судин, Л. Сцісло, А. Перекрест, Ю. Онищенко, 2025

Стаття поширюється на умовах ліцензії CC BY 4.0

Висновки. *Результати демонструють підвищену стабільність виявлення «низько-повільних» атак, кореляцію прогнозних відхилень із підвищенням RMSE у фазах атак для формалізованого вибору операційних порогів.*

Ключові слова: *SCADA/ICS, нейромережева модель, таргетована атака, регуляризація, об'єкт критичної інфраструктури.*

Andrii SUDYN, Łukasz ŚCISŁO, Andrii PEREKREST, Yurii ONYSHCHENKO. HYBRID NEURAL NETWORK MODEL FOR DETECTING AND QUANTIFYING THE TARGETED ATTACKS RISK ON SCADA/ICS SYSTEMS OF CRITICAL INFRASTRUCTURE FACILITIES

Abstract. *Quantifying the targeted attacks risk on SCADA/ICS systems of critical infrastructure facilities is a key prerequisite for making informed decisions to increase cyber resilience, optimize protection mechanisms, and minimize potential man-made and socio-economic consequences.*

Objective. *Development of the adaptive hybrid neural network model development for the detection and quantification of the targeted attacks risk on SCADA/ICS systems of critical infrastructure facilities. The proposed architecture combines multimodal integration of process and network signals through specialized encoders, cross-modal attentional fuse with prototypical regularization to increase local interpretability, and mechanisms for processing uneven and partially missing telemetry (variational auto-imputation, latent ordinary differential equations, or transformer approaches with masks). The proposed combined detection criterion combines reconstruction, prediction, and contrast components with adaptive predictive components to increase sensitivity to "low-to-slow" attack scenarios. For quantitative risk assessment, a calibrated probabilistic score and an expected loss function were introduced, which made it possible to formalize the threshold response policy (monitoring, isolation, and automatic countermeasures) as a multi-level strategy. Incremental learning with a limited buffer, MAML-like initialization, and domain-adversarial regularization were used to ensure adaptability to drift and new configurations. XAI mechanisms (internal attention, prototypes, integrated gradients, and SHAP-like approximations) provide logical tracing of cause-and-effect scenarios and support for forensic conclusions. Experimental validation was carried out on a multi-modal dataset formed by combining public SCADA/ICS sets with simulated trajectories and attacked scenarios. The evaluation included ROC-AUC and F1-metric for anomaly detection, RMSE for the predictive component, and economically oriented metrics of expected loss and calibrated risk.*

Scientific novelty. *Development of an adaptive interpreted neural network model that, for the first time, combines multimodal integration of SCADA/ICS network and process signals, robust detection of "low-slow" targeted attacks under limited telemetry conditions, and formalized quantitative risk assessment with prediction of consequences for physical processes of critical infrastructure.*

Conclusion. *The results demonstrate increased stability in detecting "low-slow" attacks and correlation of predictive deviations with increasing RMSE in attack phases for formalized selection of operational thresholds.*

Key words: *SCADA/ICS, neural network model, targeted attack, regularization, critical infrastructure object.*

Вступ. SCADA/ICS системи керування критичною інфраструктурою забезпечують безперервність життєво важливих послуг (енергетика, водопостачання, транспорт, промислові процеси) і характеризуються високою міжсекторною взаємодією, значною кількістю застарілих компонентів і адаптацією стандартних IT-протоколів до операційних мереж [5]. Інтеграція з корпоративними мережами та віддаленим доступом, а також підвищена складність ланцюгів постачання програмного забезпечення істотно розширюють поверхню атаки, що призводить до зростання частоти й витонченості таргетованих атак, спрямованих на порушення фізичних процесів і створення катастрофічних соціально-економічних наслідків [3].

Наявні підходи виявлення здебільшого орієнтовані на сигнатурні чи статистичні методи, які неадекватно працюють у разі «низько-повільні» таргетовані атаки, багатокомпонентних сценаріїв з відкладеним впливом або при недостатності телеметрії й різнорідності протоколів [6]. При цьому зазначається, що на теперішній час відсутні інтегровані механізми кількісної оцінки ризику, що поєднують детекцію аномалій із прогнозом наслідків для безпеки процесу. У зв'язку з цим виникає потреба в адаптивних, інтерпретованих моделях, здатних у режимі близькому до реального часу корелювати мережеві й технологічні індикатори, враховувати контекст інфраструктури та надавати кількісні метрики ризику для прийняття управлінських рішень. Отже, актуальність розробки нейромережевої моделі виявлення та кількісної оцінки ризику таргетованих атак на SCADA/ICS системи об'єктів критичної інфраструктури зумовлена необхідністю підвищити точність і своєчасність виявлення складних та «low-and-slow» атак, забезпечити кореляцію мережевих і технологічних індикаторів, інтегрувати прогнозування наслідків для фізичних процесів і надати кількісні метрики, що підвищують обґрунтованість управлінських рішень для мінімізації соціально-економічних втрат.

Стан дослідження проблеми. У дослідженнях, наприклад, М. А. Умер, Х. Н. Джунеджо, М. Т. Джілані, Ф. П. Матур [9], присвячених кіберзахисту SCADA/ICS, домінують теми класифікації вторгнень і виявлення аномалій із застосуванням статистичних методів, класичних алгоритмів машинного навчання та підходів на основі фізично орієнтованих детекторів. При цьому вони підкреслюють різноманітність підходів (керовані, напівкеровані та некеровані) і звертають увагу на потребу інтеграції інформації мережевого та процесного рівнів для підвищення надійності детекції.

Ключові дослідження відповідних інцидентів, зокрема, М. Ассанте і Р. Лі [2], визначають характерні вектори таргетованих атак проти критичної інфраструктури та запропонували таксономії супротивницьких кампаній (наприклад, аналіз Stuxnet та дослідження атак на енергетичну інфраструктуру [1]), що сформували базу для моделювання атакових ланцюжків і розробки процедур реагування.

В останні роки з'явилися прикладні дослідження нейромережевих рішень для SCADA/PLC, в яких широкого застосування набули автокодери, LSTM, CNN та гібридні архітектури. Результати досліджень Л. Ройтера, О. Юнга, Дж. Магін [10], а також М. Закарія, С. У. Аміна, Ф. С. Алрайс, М. Хелал і З. І. Хан [8] показали покращення точності виявлення аномалій у тестових наборах і стендах. Водночас з'являються нові перспективні підходи (наприклад, DeepFM та інші deep-learning схеми, наприклад, дослідження Д. Я. Квірумбай, Д. Фернандес Іглесіас, Ф. Новоа [7]) для роботи з високорозмірними й нелінійними ознаками мережевого та процесного трафіку. У [4] паралельно підкреслюється роль стендів і публічних датасетів для відтворюваності експериментів.

Незважаючи на прогрес, залишаються відкриті питання, для вирішення яких потрібна спеціалізована нейромережева модель виявлення та кількісної оцінки ризику таргетованих атак на SCADA/ICS:

– як забезпечити стійку детекцію «низько-повільних» атак за обмеженою та зашумленою телеметрією;

– як об'єднати мережеві й фізичні сигнали в єдиному інтерпретованому представленні та перетворити виявлені аномалії у кількісні метрики ризику з прогностичною цінністю;

– як підвищити інтерпретованість і пояснюваність нейромережевих рішень для оперативних рішень і судово-технічного аналізу;

– як адаптувати моделі до різнорідних і застарілих протоколів, обмежених датасетів і змінних конфігурацій інфраструктури;

– які процедури валідації й оцінки ризику гарантуватимуть переносимість результатів із лабораторних стендів у реальний експлуатаційний контекст.

Саме для усунення цих прогалин доцільною є розробка адаптивної, контекст-чутливої нейромережевої моделі виявлення та кількісної оцінки ризику таргетованих атак.

Метою дослідження є розробка адаптивної інтерпретованої нейромережевої моделі для виявлення та кількісної оцінки ризику таргетованих атак на SCADA/ICS системи об'єктів критичної інфраструктури, яка забезпечує стійку детекцію «низько-повільної» атаки при обмеженій і зашумленій телеметрії, інтегрує мережеві та фізичні сигнали в єдине контекст-чутливе представлення, формалізує прогнозні метрики ризику для підтримки оперативних і управлінських рішень, гарантує інтерпретованість висновків та переносимість між гетерогенними конфігураціями й обмеженими наборами даних.

Для досягнення установленої мети треба виконати такі **завдання дослідження:**

1. Розробити адаптивну гібридну нейромережеву архітектуру для виявлення аномалій і таргетованих атак у SCADA/ICS, що забезпечує стійкість до «низько-повільних» сценаріїв та ефективну роботу за обмеженої, зашумленої телеметрії.

2. Запровадити методи багатомодальної інтеграції та контекстного представлення мережевих і фізичних сигналів для кореляції індикаторів на різних рівнях системи та підвищення точності детекції.

3. Формалізувати кількісну модель ризику, що включає набір прогнозних метрик і ймовірнісних оцінок наслідків для фізичних процесів, а також реалізувати механізми інтерпретації результатів (XAI) для підтримки оперативних і судово-технічних рішень.

4. Провести експериментальну валідацію й оцінку переносимості моделі на репрезентативних наборах даних, розробивши процедури адаптації та оцінки надійності в гетерогенних конфігураціях SCADA/ICS.

Наукова новизна отриманих результатів полягає у розробленні адаптивної інтерпретованої нейромережевої моделі, що вперше поєднує багатомодальну інтеграцію мережевих і процесних сигналів SCADA/ICS, стійке виявлення «низько-повільних» таргетованих атак в умовах обмеженої телеметрії та формалізовану кількісну оцінку ризику з прогнозуванням наслідків для фізичних процесів критичної інфраструктури.

Виклад основного матеріалу. Приймається, що у дискретному часі спостереження надходять у вигляді двох потоків, до яких належать технологічні (процесні) сигнали $x_t^{(p)} \in \mathbb{R}^{d_p}$ (з показниками й вимірюваннями сенсорів, актюаторів, фізичних величин) та мережеві сигнали $x_t^{(n)} \in \mathbb{R}^{d_n}$ (пакетні ознаки, статистики потоків, логування протоколів). Наявність пропущених або обмежених вимірювань моделюється маскою спостережень $m_t \in \{0,1\}^d$ (об'єднаний розмір $d = d_p + d_n$), а шум – адитивним шумом ε_t. При цьому позначимо локальний контекст інфраструктури (конфігурація обладнання, режим роботи) як $c \in \mathcal{C}$. Атака задається вектором впливу a_t (прихований процес), а її метою є створення небажаних відхилені у фізичному стані $y_t \in \mathbb{R}^k$ (процесні величини, що відображають стан безпеки).

Пропонована гібридна архітектура складається з трьох логічних блоків, до яких належать модулі обробки модальностей (процесу та мережі), блок мульти-модального ф'юзу та детекторно-прогнозний блок з механізмами інтерпретації та оцінки ризику (рис. 1).

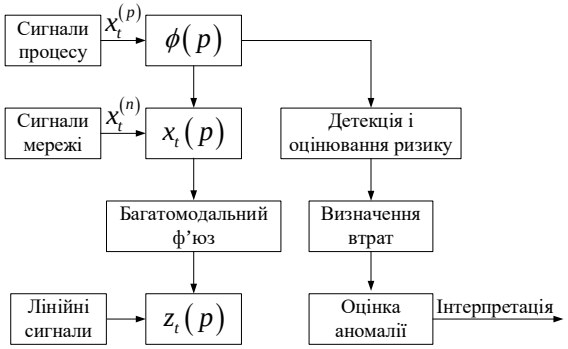

Рис. 1. Структурна схема пропонованої гібридної архітектури нейромережевої моделі

Кожний вхід проходить через спеціалізований енкодер:

$$z_t^{(p)} = \phi_p\left(x_{t-\tau:t}^{(p)}, m_{t-\tau:t}^{(p)}, \theta_p\right), z_t^{(n)} = \phi_n\left(x_{t-\tau:t}^{(n)}, m_{t-\tau:t}^{(n)}, \theta_p\right), \quad (1)$$

де $\phi_{\cdot}$ – параметризовані нейромережеві перетворення (у цьому дослідження застосована мультишарова LSTM для обробки нерівномірної телеметрії) з можливістю вбудованого врахування масок *m* для обробки пропущених вимірювань. Для стійкого виявлення «низько-повільних» атак застосовується багаторівнева тимчасова обробка, в рамках якої короткострокові та довготермінові контекстні вікна поєднуються через часові фільтри, а також через гістограми інтегрованих статистик (у цьому дослідженні застосовується статистика CUSUM) як детерміновані індикації.

Ф'юз представлень здійснюється через крос-модальний уваговий механізм як:

$$\alpha_t = \mathrm{softmax}\left(W_a\left[z_t^{(p)}; z_t^{(n)}\right] + b_a\right), \quad z_t = \mathrm{Fuse}\left(z_t^{(p)}, z_t^{(n)}\right) = \alpha_t^{(p)} \odot z_t^{(p)} + \alpha_t^{(n)} \odot z_t^{(n)}, \quad (2)$$

де ваги уваги α_t забезпечують інтерпретованість внеску кожної модальності в остаточне представлення. Для підвищення локальної інтерпретованості можна додатково використовувати структуру «прототипів» $P = \{p_j\}$ у латентному просторі і вводити прототип-регуляризатор, який примушує представлення до кластеризації навколо зрозумілих прототипів (навчання прототипів).

Пропонований комбінований підхід поєднує реконструкційний автокодер, предиктивну компоненту для фізичних величин і контрастивний компонент для підвищення роздільної здатності представлень. У цьому контексті реконструкційна складова визначається як:

$$\hat{x}_t = \psi_{\text{зап}}(z_t; \theta_{\text{зап}}), L_{\text{зап}} = \mathbb{E}[\|(x_t - \hat{x}_t) \odot m_t\|^2], \quad (3)$$

а прогнозна складова фізичних процесів – як:

$$\hat{y}_{t+1:t+H} = \psi_{\text{прогн.}}(z_t, c; \theta_{\text{прогн.}}), L_{\text{прогн.}} = \mathbb{E}\left[\sum_{\tau=1}^{H} \ell(y_{t+\tau}, \hat{y}_{t+\tau})\right], \quad (4)$$

де ℓ є квадратичною функцією помилки або негативним лог-ймовірнісним виходом (для стохастичних прогнозів). При цьому зазначається, що контрастивний елемент підвищує чутливість до *z* відмінностей між нормальними і атакувальними траєкторіями, тобто:

$$L_{конр} = -\mathbb{E}\left[\log\left(\frac{\exp\left(\frac{\mathrm{sim}\left(z_t, z_{t'}^{+}\right)}{\tau}\right)}{\sum_{z^-}\exp\left(\frac{\mathrm{sim}\left(z_t, z^-\right)}{\tau}\right)}\right)\right]. \quad (5)$$

Аномалійний скорінг поєднує реконструкційну помилку, прогнозну помилку та відхилення уваги й описується виразом:

$$s_t = \lambda_r \cdot \frac{\|(x_t - \hat{x}_t) \odot m_t\|^2}{\sigma_r} + \lambda_p \cdot \frac{\sum_{\tau=1}^{H} \ell(y_{t+\tau}, \hat{y}_{t+\tau})}{\sigma_p} + \lambda_a \cdot \mathrm{KL}(\alpha_t \| \bar{\alpha}), \quad (6)$$

де $\sigma_{\cdot}$ – нормалізуючі скалярні оцінки (наприклад, міри дисперсії на навчальній вибірці), $\bar{\alpha}$ – базова розподіл уваги у нормі, а ваги $\lambda_{\cdot}$ налаштовуються валідацією. При цьому варто наголосити на те,

що пропонована композиція чутлива до повільних, накопичуваних відхилень (через предиктивну та EWMA-компоненти) і до нетипових кореляцій між модальностями.

Для кількісної оцінки невизначеності застосовується варіаційний підхід (наприклад, MC-dropout). Нехай модель видає параметри умовного розподілу прогнозу $p_\theta(y_{t+1:t} + H \mid z_t)$ (наприклад, гаусові параметри $\mu_{t+\tau}$, $\Sigma_{t+\tau}$). При цьому ризик у конкретний момент визначається як очікуваний збиток за умови можливості атаки, помножений на оцінку імовірності наявності активної шкідливої кампанії:

$$R_t = \Pr(\mathcal{A}_t|\mathcal{D}_t) \cdot \mathbb{E}\left[L\left(y_{t+1:t+H}\right)|\mathcal{D}_t, \mathcal{A}_t \right] \tag{7}$$

де $\Pr(\mathcal{A}_t|\mathcal{D}_t)$ – ймовірність активної атаки, оцінена через відношення аномалійного скору s_t та калібрований перетворювач (наприклад, логістична калібрування або байєсова тональна модель):

$$\Pr(\mathcal{A}_t|\mathcal{D}_t) = \sigma(\gamma_0 + \gamma_1 \cdot s_t), \tag{8}$$

і очікуваний збиток визначається як інтеграл від розподілу прогнозованих фізичних величин щодо функції шкоди L, що формалізується через порогові перевищення та економічну оцінку:

$$\mathbb{E}\left[L\left(y_{t+1:t+H}\right)\right] = \int L\left(y_{t+1:t+H}\right) \cdot p_0\left(\left(y_{t+1:t+H}\right)|\mathcal{D}_t, \mathcal{A}_t\right) dy. \tag{9}$$

Для практичної реалізації пропонованої моделі застосовується оцінка через сценарну суму, яка подається як:

$$\mathbb{E}[L] = \frac{1}{M} \cdot \sum_{i=1}^{M} L\left(y_{t+1:t+H}^{(i)}\right), \tag{10}$$

де $y^{(i)}$ – вибірки з апроксимаційного розподілу (MC-семплювання або ансамблі).

Функція шкоди L формалізується як сума важкостей за перевищенням безпечних меж для кожної фізичної змінної. Отже,

$$L\left(y_{t+1:t+H}\right) = \sum_{\tau=1}^{H} \sum_{k=1}^{k} \omega_k \cdot \left[\max\left(0, y_{t+\tau}^{(k)} - T_{безп}^{k}\right)\right]^{\beta} \tag{11}$$

де $T_{безп}^{k}$ – безпечні пороги для кожної компоненти, ω_k – економічні ваги, $\beta \geq 1$ – ступінь нелінійності шкоди.

На основі викладеного відзначається, що параметри моделі оптимізуються за компромісним функціоналом:

$$L(\Theta) = \lambda_{зап.} \cdot L_{зап.} + \lambda_{прогн.} \cdot L_{прогн.} + \lambda_{контр.} \cdot L_{контр.} + \lambda_{опц.} \cdot L_{опц.} + \lambda_{пр.} \cdot L_{пр.} + \Omega(\Theta), \tag{12}$$

де $L_{опц.}$ – (опціональна) керована крос-ентропійна (або бінарна) втрата при наявності етикеток атак, $L_{пр.}$ – регуляризатор на прототипи (наприклад, відстань представлень до найближчого прототипу), а Ω – стандартні регуляризатори (у цій моделі застосовується L2-регуляризація). Окрім того, для інтерпретованості вводяться додаткові штрафи, які зменшують ентропію уваги та сприяють розрідженим поясненням:

$$L_{XAI} = \lambda_{ентр.} \cdot \sum_{t} H\left(\alpha_t\right) + \lambda_{L2} \cdot \alpha_{t1}. \tag{13}$$

Адаптивність до дрейфу та нових конфігурацій досягається за допомогою кількох механізмів, зокрема, інкрементального навчання з обмеженим буфером повторення (збереженням ключових нормальних сценаріїв), мета-навчання (MAML-подібний підхід) для швидкого перенавчання на нових конфігураціях та доменно-адверсаріальної регуляризації для зменшення залежності від специфічних датасетів. Для випадків обмеженої телеметрії застосовується варіаційна автоімпутація (наприклад, імпутер, що базується на варіаційному автоенкодері) і латентні звичайні диференціальні рівняння, що дозволяють інтерполювати нерегулярні часові точки. Формально, при новому контексті c' оновлення може виконуватись через байєсове онлайн оновлення параметрів або через адаптивний градієнтний крок на невеликому наборі локальних зразків:

$$\theta \leftarrow \theta - \eta_t \cdot \nabla_\theta \cdot L_{лок.}\left(\theta; \mathcal{D}_{лок.}\right) \tag{14}$$

де η_t – адаптивний крок (наприклад, оптимізатор ADAM зі зниженням ваг) і $\mathcal{D}_{лок.}$ – локальний буфер.

Механізми інтерпретації включають внутрішню увагу (наприклад, міжмодальна увага) з виводом ваг α_t, прототипну інтерпретацію (з поверненням найближчих прототипів та прикладів), інтегровані градієнти або SHAP-подібні апроксимації для локальної важливості ознак, а також модуль побудови причинно-наслідкових сценаріїв: на основі прогнозних семплів модель повертає ймовірнісні сценарії розвитку фізичного стану з описом ключових ознак (які сенсори, які мережеві індикатори спричинили прогнозне відхилення). Для формальної віддачі пояснення модель генерує короткий логічний «звіт-трейс» у вигляді набору тверджень щодо високої ймовірності ін'єкції команд у пристрій A, а саме, мережеві сесії з атиповою частотою (порт X), одночасне позитивне відхилення сенсора p_3 від прогнозу є більшим δ. У цьому контексті прогнозом є перевищення порогу $T^{(p_3)}$ через H кроків з ймовірністю q.

Процедура прийняття рішень та порогова політика базується на тому, що на практиці формується багаторівнева політика реагування:

1) при $R_t < R_{низьке}$ – моніторинг;
2) при $R_{низьке} \le R_t < R_{високе}$ – оперативне опитування або ізоляція потоків;
3) при $R_t \ge R_{високе}$ – автоматичні контрзаходи (ініціація аварійного відключення, перемикання на резервні режими).

При цьому зазначається, що порогові значення калібруються на основі допустимого ризику та економічних оцінок.

Таким чином, запропонована модель формально поєднує гібридне представлення з урахуванням масок і нерівномірної телеметрії (латентні звичайні диференціальні рівняння або трансформери з масками), крос-модальний уваговий ф'юз з прототипною інтерпретацією, комбінований критерій детекції, адаптований на виявлення «низько-повільних» рухів (через предиктивні та EWMA-компоненти) та формалізовану й калібровану ймовірнісну оцінку ризику, що поєднує ймовірність атаки та очікуваний фізичний збиток.

Проведено обчислювальний експеримент для валідації запропонованої гібридної нейромережевої моделі детекції та кількісної оцінки ризику таргетованих атак. Для експерименту було сформовано мульти-модальний датасет, отриманий шляхом поєднання репрезентативних публічних наборів даних SCADA/ICS (процесні телеметричні виміри та мережеві логи) та синтетичних траєкторій і атак, згенерованих на лабораторному стенді імітації технологічного процесу. Сценарії атак включали як класичні ін'єкції команд і DoS-сценарії, так і «низько-повільні» таргетовані кампанії з поступовим накопиченням впливу. Для підвищення реалістичності до даних було додано адитивний шум, випадкові пропуски вимірювань і варіанти конфігурацій мережі. Із сирих записів виконано екстракцію багатомодальних ознак (статистики пакетного трафіку, тимчасові вікна процесних змін, CUSUM-статистика, гістограми інтегрованих показників), нормалізацію, імпутацію пропусків і формування масок спостережень для навчання моделей. Дані було розбито на навчальну, валідаційну та тестову вибірки із збереженням часової послідовності (time-aware split). Також застосовано k-fold крос-валідацію для оцінки стабільності результатів при різних конфігураціях. Оцінювання моделі виконано за набором метрик: ROC-AUC і F1 для задачі класифікації аномалій, RMSE для прогнозної складової фізичних величин, а також економічно-орієнтовані метрики очікуваного збитку і калібрований ризик R_t, які використовувалися для верифікації порогових політик реагування.

Отримані результати демонструють ключові характеристики роботи запропонованого детектора та прогнозної компоненти. Зокрема, динаміка RMSE, обчислена у ковзному вікні (рис. 2), вказує на значне погіршення якості прогнозу в проміжку моделюваної атакувальної активності, що підкреслює чутливість прогнозного модуля до цільових впливів. При цьому функція очікуваних збитків як залежність від порога класифікації (рис. 3) має виражений U-подібний вигляд із однозначно визначеним мінімумом, що дозволяє вибрати оптимальний поріг мінімізації економічних витрат системи реагування.

Рис. 2. Діаграма динаміки помилки прогнозу за часом

Рис. 3. Діаграма функції очікуваних збитків від порога прийняття рішень

Відповідно до рис. 2 динаміка кореня середньоквадратичної помилки (RMSE) за часом демонструє стабільно низький рівень похибки в нормальному режимі та виразне і тривале збільшення помилки в інтервалі, ідентифікованому як період атак, що свідчить про деградацію прогнозної точності під впливом цільованих впливів і підтверджує чутливість прогнозного модуля до аномальних сценаріїв; така тимчасова структура помилок дозволяє локалізувати і корелювати порушення з відомими інцидентами, а також виправдовує використання адаптивних порогів спрацьовування для режимів підвищеного ризику. При цьому, відповідно до рис. 3, функція очікуваних збитків як залежність від порога класифікації має виражений U-подібний профіль із чітко визначеним мінімумом, що відображає класичний компроміс між витратами на пропущені інциденти (FN) та витратами на хибні тривоги (FP); положення мінімуму залежить від заданих економічних параметрів і може бути використане для формалізованого вибору операційного порога, причому оцінка чутливості оптимуму до варіації параметрів витрат та невизначеності даних є обов'язковим кроком перед впровадженням у виробничу політику реагування.

Висновки. Розроблено адаптивну гібридну нейромережеву модель, яка поєднує багатомодальну інтеграцію мережевих і процесних сигналів, крос-модальний уваговий ф'юз із прототипною регуляризацією та комбінований критерій детекції на основі реконструкційної, прогнозної та контрастивної складових. Запропонована архітектура спеціально орієнтована на виявлення «низько-повільних» таргетованих атак в умовах обмеженої й зашумленої телеметрії за рахунок багаторівневої тимчасової обробки, механізмів імпутації нерегулярних вимірювань та адаптивних стратегій перенавчання (інкрементальне оновлення, MAML-подібні підходи). Для кількісної оцінки ризику введено ймовірнісну модель, що комбінує калібрований аномалійний скор із очікуваним збитком, і формалізовано багаторівневу політику реагування на основі порогів ризику.

Експериментальна валідація на синтезованому мульти-модальному корпусі (поєднання публічних датасетів SCADA/ICS та лабораторних сценаріїв з доданим шумом і пропусками) підтвердила працездатність підходу: прогнозний модуль демонструє явне збільшення RMSE у відрізках атак, що робить його чутливим індикатором впливу на фізичні процеси; функція очікуваних збитків від порога має U-подібний профіль, що дозволяє формалізовано обирати операційний поріг мінімізації економічних втрат. При цьому застосування часового розподілу і k-fold валідації підтвердило стабільність результатів за різних конфігураціях.

Список використаних джерел:

1. Прокопович-Ткаченко Д. І., Звєрєв В. П., Козаченко І. М. Кіберзагрози та методи захисту фізичної інфраструктури промислового інтернету речей (ІІОТ). *Вчені записки ТНУ імені В.І. Вернадського. Серія: Технічні науки*. 2025. Том 36 (75), № 1. С. 218–225. doi: 10.32782/2663-5941/2025.1.2/32.

2. Assante M. J., Lee R. M. The Industrial Control System Cyber Kill Chain. 2015. 22 p. URL: https://icscsi.org/library/Documents/White_Papers/SANS%20-%20ICS%20Cyber%20Kill%20Chain.pdf

3. Cherdantseva Y., Burnap P., Nadjm-Tehrani S., Jones K. A Configurable Dependency Model of a SCADA System for Goal-Oriented Risk Assessment. *Applied Sciences*. 2022. Vol. 12, no. 10. 4880. doi: 10.3390/app12104880.

4. Ikotun A. M., Ezugwu A. E., Abualigah L., Abuhaija B., Heming J. K-means clustering algorithms: A comprehensive review, variants analysis, and advances in the era of big data. *Information Sciences*. 2023. Vol. 622. P. 178–210. doi: 10.1016/j.ins.2022.11.139.

5. Mesbah M., Elsayed M. S., Jurcut A. D., Azer M. Analysis of ICS and SCADA Systems Attacks Using Honeypots. *Future Internet*. 2023. Vol. 15, no. 7. 241. doi: 10.3390/fi15070241.

6. Okur C., Dener M. Symmetrical Resilience: Detection of Cyberattacks for SCADA Systems Used in IIoT in Big Data Environments. *Symmetry*. 2025. Vol. 17, no. 4. 480. doi: 10.3390/sym17040480.

7. Quirumbay Yagual D., Fernández Iglesias D., Nóvoa F. J. A Hybrid Deep Learning-Based Architecture for Network Traffic Anomaly Detection via EFMS-Enhanced KMeans Clustering and CNN-GRU Models. *Applied Sciences*. 2025. Vol. 15, no. 20. 10889. doi: 10.3390/app152010889.

8. Reuter L., Jung O., Magin J. Neural network based anomaly detection for SCADA systems. 23rd Conference on Innovation in Clouds, Internet and Networks and Workshops (ICIN), Paris, France, 24–27 February 2020, pp. 194–201.

9. Umer M. A., Junejo K. N., Jilani M. T., Mathur A. P. Machine learning for intrusion detection in industrial control systems: Applications, challenges, and recommendations. *International Journal of Critical Infrastructure Protection*. 2022. Vol. 38. 100516. doi: 10.1016/j.ijcip.2022.100516.

10. Zakariah M., Amin S. U., Alrayes F. S., Helal M., Khan Z. I. SCADA intrusion detection using deep factorization machines. *Scientific Reports*. 2025. Vol. 15. 39753. doi: 10.1038/s41598-025-20625-2.

Дата надходження статті: 28.11.2025
Дата прийняття статті: 10.12.2025
Опубліковано: 30.12.2025

УДК 004.056.55:004.932
DOI https://doi.org/10.32689/maup.it.2025.4.26

Ольга СУПРУН
кандидат фізико-математичних наук, доцент,
доцент кафедри теорії та технології програмування,
факультет комп'ютерних наук та кібернетики,
Київський національний університет імені Тараса Шевченка,
o.n.suprun@gmail.com
***ORCID:** 0000-0002-1196-5655*

Мар'яна МУСІЙОВСЬКА
кандидат технічних наук, доцент кафедри інформаційних технологій,
Львівський державний університет внутрішніх справ,
mysijovska@ukr.net
***ORCID:** 0009-0005-1063-5717*

Тетяна ЛАВРИК
кандидат педагогічних наук, доцент, старший викладач кафедри кібербезпеки, факультет електроніки та інформаційних технологій, Сумський державний університет,
t.lavryk@cs.sumdu.edu.ua
***ORCID:** 0000-0002-7144-7059*

ВИКОРИСТАННЯ СТЕГАНОГРАФІЧНИХ ПРОТОКОЛІВ У ЗАХИСТІ ВІДЕОДАНИХ В УМОВАХ ІНФОРМАЦІЙНИХ АТАК

Анотація. *Актуальність дослідження зумовлено зростанням інтенсивності та складності інформаційних атак, у межах яких відеодані стають однією з найбільш уразливих категорій цифрової інформації. У сучасних умовах традиційні криптографічні засоби не забезпечують повного захисту від перехоплення, підміни та латентних маніпуляцій, що актуалізує потребу у використанні стеганографічних протоколів як додаткового рівня безпеки. Показано, що приховане вбудовування службових і контрольних даних у відеопотоки дозволяє зберігати цілісність та автентичність інформації навіть за високих навантажень і деструктивних впливів мережевого середовища.*

Метою статті *є формування науково вивіреної концепції підвищення захищеності відеоданих шляхом інтеграції стеганографічних механізмів у процеси їх передавання та оброблення в умовах ескалації інформаційних загроз, що передбачає створення багаторівневої моделі безпеки з урахуванням параметрів сигналу, специфіки компресії та режимів функціонування потокових систем.*

Методологія *дослідження ґрунтується на системному аналізі моделей стеганографічного приховування, порівняльному оцінюванні стійкості різних алгоритмів до перетворень, компресії та втрат пакетів, а також на методах структурного та спектрального аналізу відеосигналів. Використано підходи моделювання поведінки прихованих даних у потоках з адаптивним бітрейтом та методи оцінювання ефективності інтегрованих стего-криптографічних рішень.*

Наукова новизна *полягає в комплексному обґрунтуванні можливостей та обмежень стеганографічних протоколів у високонавантажених відеосистемах, а також у формуванні моделі їх адаптивної інтеграції з криптографічними засобами. Виявлено закономірності впливу параметрів відеосигналу, динаміки компресії та мережевих характеристик на збереження прихованих даних. Доведено, що поєднання стеганографічного та криптографічного підходів забезпечує синергетичний ефект підвищення безпеки.*

У висновках *установлено, що стеганографічні протоколи здатні ефективно підсилювати захист відеоданих завдяки прихованості каналу, стійкості до повторного кодування та збереження контрольних маркерів після мережевих спотворень. Виявлено науково-технічні та алгоритмічні проблеми впровадження таких рішень, пов'язані з деградацією вбудованих даних під час адаптивної компресії та високими вимогами до обчислювальних ресурсів. Сформульовано рекомендації щодо адаптації та оптимізації стеганографічних моделей з огляду на тип відеоданих і профіль потенційних атак.*

Ключові слова: *приховане кодування, автентичність, цілісність даних, криптографічні механізми, адаптивна компресія, мережеві загрози, потокова передача, вбудовані маркери.*

Olha SUPRUN, Mariana MUSIIOVSKA, Tetiana LAVRYK. USE OF STEGANOGRAPHIC PROTOCOLS IN VIDEO DATA PROTECTION UNDER INFORMATION ATTACKS

Abstract. *The relevance of this research is driven by the increasing intensity and complexity of information attacks, in which video data has become one of the most vulnerable categories of digital information. Under contemporary conditions, traditional cryptographic tools do not provide complete protection against interception, substitution, and latent manipulations,*

© О. Супрун, М. Мусійовська, Т. Лаврик, 2025

Стаття поширюється на умовах ліцензії CC BY 4.0

which necessitates the use of steganographic protocols as an additional security layer. It has been demonstrated that covert embedding of service and control data into video streams enables preservation of information integrity and authenticity even under high loads and destructive impacts within network environments.

***The aim** of this article is to develop a scientifically validated concept for enhancing video data security through integration of steganographic mechanisms into their transmission and processing under escalating information threats. This involves creating a multilevel security model that accounts for signal parameters, compression specifics, and operational modes of streaming systems.*

***The research** methodology is based on systematic analysis of steganographic concealment models, comparative evaluation of different algorithms' resilience to transformations, compression, and packet losses, as well as structural and spectral analysis methods for video signals. Approaches for modeling covert data behavior in adaptive bitrate streams and methods for evaluating the effectiveness of integrated stego-cryptographic solutions were employed.*

***The scientific novelty** lies in comprehensive substantiation of the capabilities and limitations of steganographic protocols in high-load video systems, as well as in formulating a model for their adaptive integration with cryptographic tools. Patterns of influence exerted by video signal parameters, compression dynamics, and network characteristics on covert data preservation have been identified. It has been proven that combining steganographic and cryptographic approaches provides a synergistic effect in security enhancement.*

***The conclusions** establish that steganographic protocols can effectively strengthen video data protection through channel concealment, resilience to re-encoding, and preservation of control markers after network distortions. Scientific, technical, and algorithmic challenges in implementing such solutions have been identified, related to embedded data degradation during adaptive compression and high computational resource requirements. Recommendations have been formulated for adaptation and optimization of steganographic models based on video data type and potential attack profile.*

***Key words:** covert encoding, authenticity, data integrity, cryptographic mechanisms, adaptive compression, network threats, streaming transmission, embedded markers.*

Вступ. Проблема захисту відеоданих в умовах інтенсивного зростання інформаційних атак набуває критичної ваги, оскільки сучасні цифрові середовища характеризуються високою вразливістю до несанкціонованого доступу, модифікації та прихованого перехоплення потокового контенту. Збільшення обсягів відеокомунікацій у сферах безпеки, телемедицини, інтелектуального відеоспостереження, дистанційної освіти та мультимедійних сервісів формує новий рівень наукової та практичної значущості проблеми забезпечення цілісності, автентичності та конфіденційності відеопотоків. Традиційні криптографічні методи не завжди гарантують стійкість до складних атак, орієнтованих на аналіз структур даних, латентні зміни та реконструкцію відеофайлів, що зумовлює потребу в пошуку додаткових захисних механізмів. Стеганографічні протоколи відкривають можливість багаторівневого приховування критично важливої інформації у відеопослідовностях, забезпечуючи прихованість каналу передачі та підвищуючи стійкість систем до маніпулятивних впливів. Наукова проблема полягає у визначенні оптимальних моделей інтеграції стеганографічних методів у процеси захисту відеоданих з огляду на технічні, алгоритмічні та мережеві обмеження. Практичне завдання полягає у формуванні ефективних рішень, здатних протидіяти сучасним деструктивним впливам, гарантувати безпечну передачу інформації та підтримати надійність критичних інфраструктур, що функціонують у режимі реального часу.

Аналіз останніх досліджень і публікацій. Огляд сучасних досліджень дає змогу виокремити чотири взаємопов'язані наукові напрями. Перший із них охоплює концептуальні та архітектурні засади формування багаторівневого захисту відео на основі поєднання криптографічних і стеганографічних механізмів. Зокрема, у дослідженні Ю. Горбенко (Y. Horbenko) сформовано принципи zero trust-взаємодії, які закладають методологічну основу для застосування прихованих каналів у клієнтських середовищах [10]. Доцільність застосування гібридних схем криптостеганографії для захисту відеоданих від перехоплення та маніпуляцій обґрунтовують Р. Ф. Хасан (R. F. Hasan), Н. Н. Махді (N. N. Mahdi) та А. А. Р. Рашід (A. A. R. Rasheed) [2].

Зі свого боку, С. Лью (S. Liu) та співавтори демонструють можливості інтеграції HEVC-стеганографії з блокчейном, що забезпечує верифікацію операцій та прихованість самого факту передавання приватних даних [12]. Класифікацію методів приховування в просторовому та частотному доменах узагальнюють М. Далал (M. Dalal) та співавтори, підкреслюючи їхню чутливість до перекодування і компресії [6].

Другий науковий напрям пов'язаний з розробленням алгоритмічних рішень, спрямованих на підвищення стійкості стеганографічних методів до інформаційних атак. Наприклад, С. Дебнатх (S. Debnath) та співавтори розробили модель coverless-video стеганографії, яка усуває потребу в прямій модифікації контейнера та мінімізує ознаки виявлення [8]. Розширений огляд сучасних методів відеостеганографії здійснюють Дж. Кунхот (J. Kunhoth) та співавтори, акцентуючи на ролі глибинного навчання в оптимізації вбудовування та стійкості до стегоаналізу [11]. Модель прихованого вбудовування в метадані, що дозволяє забезпечити сумісність зі стандартними форматами відео й уникнути деформації кадрів, пропонують Д. Дарвіс (D. Darwis) із колегами [7]. У дослідженні Р. Аді (R. Adee) та

співавторів обґрунтовано гібридну модель безпеки для хмарних середовищ, в якій стеганографія виступає адаптивним механізмом маскування даних у нестабільних мережевих умовах [1].

Третій напрям досліджень стосується використання відео як універсального транспортного середовища для прихованого передавання інших типів медіаданих у хмарних та мережевих системах. Зокрема, Г. Шідагханті (G. Shidaganti) та співавтори демонструють підвищення безпеки шляхом комбінування криптографії і стеганографії в медіаконтейнерах, що може бути масштабовано на відеопотоки [14]. Схему багаторівневого хаотичного шифрування в поєднанні зі стеганографією у відео, де контейнером виступають відеофайли для прихованого транспортування чутливих зображень, запропоновано С. Альрекабі (S. Alrekaby) та співавторами [3]. Безпечне вбудовування ідентифікаційних маркерів у відеоспостереження досліджують М. Модіґа (M. Modiga) з колегами, підкреслюючи потенціал таких рішень для судової верифікації та протидії підробленню відео [13]. Схему LSB-приховування аудіо у відео реалізують С. Срінідхі (S. Srinidhi) та співавтори, аналізуючи компроміси між якістю зображення і стійкістю до атак перекодування [15].

Четвертий напрям наукових праць присвячено виявленню вразливостей стеганографічних схем і протидії стегоаналізу та змагальним атакам. Зокрема, методи, орієнтовані на протидію статистичним стегоаналітичним підходам, дозволяють визначати стійкі моделі приховування. Ці методи систематизують Р. Апау (R. Apau) та співавтори [4]. Вразливості прихованих каналів, наприклад, ризик їх використання зловмисниками, досліджують Й. Ґуанья-Моя (J. Guaña-Moya) та колеги, акцентуючи, що це створює потребу у формалізованих політиках контролю [9]. Вплив змагальних атак на алгоритми стеганографії кількісно аналізують М. Бокхарі (M. Bokhari) та співавтори, доводячи, що навіть високоточні методи можуть утрачати ефективність під дією модифікованих вхідних даних [5].

Попередні дослідження не пояснюють поведінку стеганографічних вставок у реальних потокових умовах зі змінним бітрейтом, перекодуванням і мережевими втратами. Недостатньо вивчено комбіновані стего-криптографічні моделі, а також відсутні стандартизовані методики оцінювання їх стійкості. Немає узагальнених рекомендацій щодо адаптації протоколів під різні типи відеоконтенту. У пропонованій роботі змодельовано стійкість прихованих даних у динамічних відеопотоках, оцінено ефективність інтегрованих стего-криптографічних рішень і сформовано практичні підходи до адаптації алгоритмів під конкретні режими передавання та профілі атак, що дозволяє усунути ключові прогалини та розширити наявні наукові уявлення.

Метою статті є розроблення науково обґрунтованого підходу до підвищення захищеності відеоданих шляхом інтеграції стеганографічних протоколів у процеси передавання та оброблення інформації в умовах зростання інтенсивності інформаційних атак.

Завдання статті:

1) дослідити структурні та функціональні властивості сучасних стеганографічних протоколів і визначити вплив параметрів відеосигналу, компресії та мережі на їх ефективність;

2) оцінити можливості комбінованих стего-криптографічних моделей та ідентифікувати науково-технічні й алгоритмічні обмеження їх застосування у високонавантажених відеосистемах;

3) сформувати науково обґрунтовані рекомендації щодо адаптації й оптимізації стеганографічних рішень відповідно до типів відеоданих та профілів інформаційних атак.

Виклад основного матеріалу. Дослідження сутності, структурних характеристик та функціональних можливостей сучасних стеганографічних протоколів у контексті захисту відеопотоків ґрунтується на аналізі алгоритмів прихованого вбудовування інформації у відеопослідовності, здатних забезпечувати додатковий шар інформаційної безпеки без помітної деградації якості передавання. Наукова актуальність дослідження зумовлена тим, що відеодані залишаються одним із найбільш уразливих типів мультимедійного контенту, оскільки вони характеризуються високою щільністю інформації, чутливістю до модифікацій та широким використанням стиснення. У таких умовах стеганографічні протоколи, орієнтовані на непомітність, стійкість і пропускну здатність, формують перспективний інструментарій для прихованого кодування службових повідомлень, маркерів автентифікації або елементів контролю цілісності (табл. 1).

Практичне застосування стеганографічних протоколів у сучасних відеосистемах базується на здатності алгоритмів непомітно змінювати структуру відеокадру або його перетворених компонентів так, щоб приховані дані залишалися стійкими до типових впливів, властивих реальним каналам передавання. У практиці інтелектуального відеоспостереження такі протоколи використовуються для непомітного маркування потоків ідентифікаторами джерела, що уможливлює відстеження підміни або модифікації контенту під час кібератак на мережеві відеореєстратори. В аналітичних платформах дистанційного моніторингу стеганографічні вставки дають змогу переносити службові сигнали синхронізації або контрольні хеші, які забезпечують коректність автоматичного аналізу навіть у разі

ISSN 2786-5460 (Print), ISSN 2786-5479 (Online)

повторного перекодування відео у форматах H.264 чи H.265 [6, p. 5835]. У потокових мультимедійних сервісах приховані повідомлення часто інтегруються в частотні компоненти кадру, що дозволяє створювати невидимі канали для передачі автентифікаційних токенів без ризику їх перехоплення у відкритій мережі [12]. Стійкість таких рішень проявляється в здатності відновлювати вбудовані дані після масштабування, фільтрації, додавання шуму або зниження бітрейту, що робить стеганографічні протоколи дієвим інструментом зміцнення безпеки відеоданих у складних, динамічно змінюваних середовищах.

Ефективність стеганографічного приховування у відеоданих визначається складною взаємодією параметрів відеосигналу, алгоритмів компресії та мережевих характеристик, які формують умови збереження непомітності та стійкості вбудованих даних. Властивості сцени, ступінь руху, текстурна насиченість, інтенсивність квантування та варіації бітрейту під час передавання безпосередньо впливають на структуру кадрів і глибину змін, які можуть бути внесені без ризику виявлення або втрати прихованої інформації (табл. 2).

У практичних умовах приховування реалізується за допомогою адаптивного вибору областей відеокадру, які залишаються відносно стабільними навіть після інтенсивного стиснення або мережевих спотворень.

У системах відеоспостереження це дає змогу маркувати потоки контрольними хешами, що зберігаються після повторного перекодування в H.264 та H.265. У потокових сервісах приховані дані розподіляються між кількома блоками кадру, що забезпечує відновлення повідомлень після втрат пакетів під час переходу між профілями якості. У високоточних телемедичних системах стеганографічні протоколи інтегруються в низькоквантизовані області, завдяки чому службові маркери залишаються придатними для декодування навіть у разі зниження бітрейту [11, p. 41963]. Комплексне використання цих принципів забезпечує надійну роботу стеганографічних схем у реальних мережевих і обчислювальних середовищах.

Оцінювання потенціалу комбінованих моделей, що інтегрують стеганографічні та криптографічні механізми, базується на тому, що кожен із цих підходів забезпечує різні рівні захисту відеоданих і функціонує за відмінними принципами. Криптографія гарантує математичну стійкість і недоступність змісту, тоді як стеганографія забезпечує прихованість самого факту передавання службової або конфіденційної інформації. Їх взаємодоповнюваність створює можливості формування

Таблиця 1

Основні характеристики сучасних стеганографічних протоколів для відеоданих

Ознака протоколу	Характеристика	Очікуваний ефект
Рівень вбудовування	Піксельний, блочний, трансформний	Можливість адаптивного приховування залежно від типу відео та ступеня стиснення
Тип загортання інформації	Просте вбудовування, мінімальна модифікація, розподілене кодування	Зниження ризику виявлення стеганографічного каналу
Стійкість до атак	Атаки на перетворення, повторне кодування, шум, фільтрацію	Підвищення надійності каналу в умовах зовнішніх впливів
Пропускна здатність	Низька, середня, висока	Можливість передавання службових даних у режимі реального часу
Сумісність із кодеками	H.264/AVC, H.265/HEVC, AV1	Забезпечення працездатності в сучасних потокових системах

Джерело: сформовано на підставі [6, p. 5835–5836; 11, p. 41950; 8; 12].

Таблиця 2

Фактори впливу на ефективність стеганографічного приховування у відеоданих

Категорія факторів	Конкретний параметр	Характер впливу	Наслідок для стеганографії
Параметри відеосигналу	Текстурна насиченість і рух	Ускладнення статистичного аналізу	Підвищення непомітності та місткості
Алгоритми компресії	Квантування та перетворення	Усунення дрібних деталей	Зниження стійкості прихованих даних
Мережеві характеристики	Втрата пакетів, джиттер	Порушення міжкадрових залежностей	Ризик часткової втрати повідомлення
Адаптивний стримінг	Зміна профілю бітрейту	Перекодування на льоту	Необхідність дублювання даних
Тип кодека	Ступінь міжкадрового прогнозування	Залежність кадрів від попередніх	Посилення впливу дрібних змін

Джерело: сформовано на підставі [6, p. 5840–5841; 11, p. 41963; 2, p. 1745; 12].

багатошарових систем відеозахисту, в яких дешифрування не дає зловмиснику повної картини, якщо прихований канал залишається невиявленим. Комбіновані моделі дозволяють зменшити вразливість до атак на окремі компоненти безпеки та забезпечити надійну роботу захисних механізмів у динамічних мультимедійних середовищах (табл. 3).

Таблиця 3

Характеристики комбінованих стего-криптографічних моделей для відеоданих

Компонент системи	Функціональна роль	Перевага інтегрованого підходу
Криптографічний модуль	Шифрування відеофрагментів або службових даних	Гарантування недоступності змісту навіть у разі перехоплення
Стеганографічний канал	Приховане вбудовування зашифрованих блоків	Маскування факту існування захищеної інформації
Керування ключами	Розподіл ключових матеріалів між компонентами	Зниження ризиків компрометації шляхом розмежування функцій
Аналіз цілісності	Додаткові приховані контрольні коди	Виявлення модифікацій, непомітних для традиційних методів
Адаптивність моделі	Підбір областей кадру для вбудовування	Стійкість до динамічних змін у кодеках та мережевих умовах

Джерело: сформовано на підставі [1; 2, p. 1747–1748; 3; 7, p. 27080–27082; 8].

Отже, комбіновані моделі функціонують як двошарові системи, в яких спочатку формується криптографічно стійкий фрагмент даних, а потім він розміщується в малопомітних або стійких до трансформацій областях відеокадру. У сервісах потокового відео це дає змогу передавати зашифровані маркери доступу або контрольні вектори без ризику їх перехоплення у відкритих мережах, оскільки зловмисник не може визначити місце їх розташування. У системах дистанційної аналітики зашифровані ділянки вбудовуються у блоки, які зберігають структуру після транскодування, що забезпечує коректність вилучення навіть під час роботи адаптивних стримінгових алгоритмів [8]. У відеоаналітичних комплексах безпеки комбіновані моделі дозволяють створювати приховані механізми контролю автентичності, які залишаються непомітними після маскування шумом, зміни масштабів кадру або застосування фільтрів стабілізації. Завдяки синергетичному використанню криптографії та стеганографії такі системи забезпечують підвищений рівень захисту в сценаріях, де традиційні методи не гарантують повної стійкості до перехоплення, модифікації або підміни відеоданих.

Упровадження стеганографічних протоколів у високонавантажені системи відеооброблення та передавання ускладнюється комплексом взаємопов'язаних науково-технічних, алгоритмічних і організаційних проблем, що виникають на всіх рівнях формування й транспортування відеопотоків. Однією з ключових проблем є нестача математичних моделей, здатних коректно описувати поведінку прихованих даних у потоках зі змінною структурою кадру, коли кодеки динамічно перебудовують прогнозні залежності й квантування відповідно до профілю навантаження. Високий рівень компресії в сучасних відеостандартах призводить до швидкої деградації вбудованих фрагментів, що робить класичні методи вбудовування малопридатними в режимах реального часу [11, p. 41952]. Додаткові труднощі створює варіативність поведінки адаптивних стримінгових алгоритмів, які змінюють бітрейт і періоди ключових кадрів, порушуючи передбачуваність структурних блоків, придатних для стеганографічного приховування.

Алгоритмічні обмеження пов'язані з необхідністю забезпечити баланс між непомітністю та стійкістю, що в умовах високонавантажених систем вимагає складних моделей оптимізації, здатних працювати за мінімальних затримок. Використання глибинних моделей аналізу стійких областей кадру передбачає значні обчислювальні ресурси, які в реальних системах можуть спричиняти збільшення затримок оброблення та зниження кадрування на секунду (frames per second, fps), що є критичним для задач відеоспостереження, дрон-аналітики та промислових систем контролю [11, p. 41956–41959]. Проблемою є також нестача універсальних алгоритмів, які залишаються працездатними після транскодування в різних профілях H.264/H.265/AV1, адже приховані дані по-різному деградують залежно від стратегії компресії та типу прогнозування [12].

Організаційні обмеження стосуються відсутності стандартизованих протоколів оцінювання стеганографічної безпеки у відеосистемах, що унеможливлює інтеграцію таких механізмів у сертифіковані комплекси захисту інформації. Складність упровадження посилюється тим, що оператори відеосистем часто не мають достатнього технічного досвіду для належного налаштування параметрів приховування, а відсутність регламентованих процедур контролю цілісності прихованих фрагментів призводить до ризику непомітної втрати службових даних під час високих навантажень [8]. Додатковою проблемою є конфлікт між потребою в глибокому моніторингу мережевого трафіку й вимогою не розкривати сам факт існування стеганографічного каналу, що ускладнює розгортання систем аудиту та кіберзахисту [11, p. 41959–41960].

ISSN 2786-5460 (Print), ISSN 2786-5479 (Online)

Для забезпечення ефективного застосування стеганографічних рішень у захисті відеоданих доцільно формувати адаптивні конфігурації алгоритмів, орієнтовані на тип відеоматеріалу, динаміку сцен, рівень компресії та інтенсивність інформаційних атак. Оптимізація протоколів передбачає коригування глибини модифікації відеосигналу відповідно до спектральних характеристик та рухомості кадрів: для високодинамічних сцен доцільно використовувати методи із просторово-часовим розподілом змін, тоді як для статичних відео ефективними є спектральні моделі з перетворенням вейвлетів або дискретного косинусного перетворення (Discrete Cosine Transform, DCT). Практична реалізація потребує інтеграції стеганографії з криптографічними механізмами, що забезпечує подвійний рівень захисту та ускладнює відновлення прихованої інформації навіть за умов часткового руйнування сигналу. Варто враховувати профіль потенційних атак: у системах, де переважають статистичні методи виявлення, слід використовувати моделі із псевдовипадковим розсіюванням або стохастичним перемиканням масок, тоді як у мережах із високою ймовірністю перехоплення та повторного кодування – методи, стійкі до втрат, як-от модифікація в піддіапазонах середньої частоти. Рекомендовано впроваджувати модульні архітектури, які дозволяють гнучко перемикати стратегії приховування залежно від пропускної здатності, затримок і якості каналу. Практичний ефект підвищується за умови попереднього профілювання відеопотоків, регулярного тестування на стійкість до атак розпізнавання та використання автоматизованих систем контролю візуальної якості, що забезпечує збалансованість між непомітністю, точністю та продуктивністю в реальних умовах експлуатації.

Висновки. У дослідженні встановлено, що стеганографічні протоколи забезпечують додатковий рівень захисту відеоданих завдяки прихованості каналу та здатності зберігати вбудовану інформацію в умовах перекодування, втрати пакетів і варіативності мережевого середовища. Доведено, що максимальна ефективність досягається за умови врахування властивостей відеосигналу, глибини компресії та режимів передавання, а інтеграція стеганографії з криптографічними механізмами формує стійку багаторівневу модель захисту. Виявлено основні проблеми, серед яких: нестабільність структур відеопотоку під час адаптивного стиснення, деградація прихованих даних за високих рівнів квантування, підвищені обчислювальні вимоги для роботи в реальному часі, а також відсутність стандартизованих підходів до оцінювання стеганографічної безпеки та інтеграції таких протоколів у наявні інфраструктури. Рекомендовано використовувати адаптивні моделі приховування, що враховують спектральні характеристики сцени та змінюють глибину модифікації залежно від динаміки кадру; комбінувати стеганографічні та криптографічні засоби для підвищення стійкості до атак; застосовувати дублювання або розподілене вбудовування даних у системах зі змінним бітрейтом; упроваджувати автоматизовані засоби оцінювання непомітності та стійкості.

Перспективи подальших досліджень пов'язані зі створенням моделей прогнозування поведінки прихованих фрагментів у потоках зі змінною компресією, формуванням стандартів тестування та розробленням адаптивних інтелектуальних алгоритмів, здатних самостійно визначати оптимальні області для вбудовування в умовах реального часу.

Список використаних джерел:

1. Adee R., Mouratidis H. A Dynamic Four-Step Data Security Model for Data in Cloud Computing Based on Cryptography and Steganography. *Sensors*. 2022. Vol. 22, no. 3. P. 1109. https://doi.org/10.3390/s22031109 (date of access: 17.11.2025).

2. Hasan R. F., Mahdi N. N., Rasheed A. A. R. Robust non-parametric regression models for some petroleum products. *Periodicals of Engineering and Natural Sciences (PEN)*. 2020. Vol. 8, no. 1. P. 263–271. https://doi.org/10.21533/pen.v8.i1.1045 (date of access: 17.11.2025).

3. Secure Image Transmission Using Multilevel Chaotic Encryption and Video Steganography / S. N. Alrekaby et al. *Algorithms*. 2025. Vol. 18, no. 7. P. 406. https://doi.org/10.3390/a18070406 (date of access: 17.11.2025).

4. Apau R., Asante M., Twum F., Ben Hayfron-Acquah J., Peasah K. O. Image steganography techniques for resisting statistical steganalysis attacks: A systematic literature review. *PLoS ONE.* 2024. Vol. 19, № 9. Article e0308807. DOI: https://doi.org/10.1371/journal.pone.0308807 (date of access: 17.11.2025)

5. Bokhari M. U., Gulfam, Hanafi B. Quantifying the impact of adversarial attacks on information hiding security with steganography. *International Journal of Information Technology*. 2025. Vol. 17. P. 409–422. URL: https://doi.org/10.1007/s41870-024-02191-4 (date of access: 17.11.2025).

6. Dalal M., Juneja M. A survey on information hiding using video steganography. *Artificial Intelligence Review*. 2021. Vol. 54, № 8. P. 5831–5895. https://doi.org/10.1007/s10462-021-09968-0 (date of access: 17.11.2025).

7. Darwis D., Fernando Y., Mehta A.R. Metadata-Based Video Steganography: Development of a New Model for Secure Information Embedding. *Engineering, Technology & Applied Science Research*. 2025. Vol. 15, № 5. P. 27076–27088. https://doi.org/10.48084/etasr.11937 (date of access: 17.11.2025).

8. Debnath S., Mohapatra R. K., Dash R. Secret data sharing through coverless video steganography based on bit plane segmentation. *Journal of Information Security and Applications*. 2023. Vol. 78. Article 103612. https://doi.org/10.1016/j.jisa.2023.103612 (date of access: 17.11.2025).

9. Guaña-Moya J., Borja-López Y., Gutiérrez-Constante G., Jaramillo-Flores P., Basurto-Guerrero O. Information Security Vulnerabilities Using Steganography as the Art of Hiding Information. In: Rocha Á. та ін. (eds). *Information Technology and Systems. ICITS 2024*. Lecture Notes in Networks and Systems, Vol. 932. Springer, Cham. https://doi.org/10.1007/978-3-031-54235-0_10 (date of access: 17.11.2025).

10. Horbenko Y. Secure Front-End Automation Framework: A Novel Approach to Client-Side Data Encryption and Zero Trust API Interaction. *Asian Journal of Research in Computer Science*. 2025. Vol. 18, № 6. P. 177–193. https://doi.org/10.9734/ajrcos/2025/v18i6690 (date of access: 17.11.2025).

11. Video steganography: recent advances and challenges / J. Kunhoth et al. *Multimedia Tools and Applications*. 2023. Vol. 82. P. 41943–41985. https://doi.org/10.1007/s11042-023-14844-w (date of access: 17.11.2025).

12. Liu S., Liu Y., Feng C., Zhao H., Huang Y. Blockchain Privacy Data Protection Method Based on HEVC Video Steganography. In: 2020 3rd International Conference on Smart BlockChain (SmartBlock). Zhengzhou, China, 2020. P. 1–6. https://doi.org/10.1109/SmartBlock52591.2020.00015 (date of access: 17.11.2025).

13. Modiga M.-M., Nita S.-L., Arseni S.-C. Secure Embedding of Sensitive Identity Data in Surveillance Videos Using Steganography. In: 2025 17th International Conference on Electronics, Computers and Artificial Intelligence (ECAI). Targoviste, Romania, 2025. P. 1–6. https://doi.org/10.1109/ECAI65401.2025.11095540 (date of access: 17.11.2025).

14. Shidaganti G., M.V.L., Vinay M., Patil P. Enhancing Data Protection Using Cryptography and Image Steganography in Cloud Environment. In: 2024 5th International Conference on Circuits, Control, Communication and Computing (I4C). Bangalore, India, 2024. P. 93–99. https://doi.org/10.1109/I4C62240.2024.10748507 (date of access: 17.11.2025).

15. Srinidhi S. K., Vishal K. S., Shashank U. S., Nidhin Prabhakar T. V., Singh R. Video Based Steganography for Audio using LSB Approach. In: 2024 IEEE International Conference on Computer Vision and Machine Intelligence (CVMI). Prayagraj, India, 2024. P. 1–6. https://doi.org/10.1109/CVMI61877.2024.10782459 (date of access: 17.11.2025).

Дата надходження статті: 28.11.2025
Дата прийняття статті: 10.12.2025
Опубліковано: 30.12.2025

УДК 004.72:531.7.08
DOI https://doi.org/10.32689/maup.it.2025.4.27

Олег ТИЩЕНКО
аспірант кафедри комп'ютерно-інформаційних систем і технологій,
ПрАТ «ВНЗ «Міжрегіональна Академія управління персоналом», 0987651234um@gmail.com
***ORCID:** 0009-0001-2763-579X*

РЕГУЛЯТОРНІ ПІДХОДИ ДО ВИКОРИСТАННЯ БПЛА: МОДЕЛІ ЗОНУВАННЯ ПОВІТРЯНОГО ПРОСТОРУ

Анотація. *Стаття систематизує підходи до інтеграції безпілотних повітряних апаратів у публічний простір із фокусом на моделях зонування повітряного простору та суміжних правових і технічних режимах. Роз'яснено, як поєднуються категорії експлуатації, цифрові служби керування польотами, віддалена ідентифікація апаратів, відкритість і формат даних про обмеження. Порівняно європейську модель із практиками США та окреслено український контекст воєнного і післявоєнного періодів. Доведено, що саме зонування створює керовану рамку: юридично визначені географічні зони, вимоги до ідентифікації та ризик-орієнтована авторизація операцій поєднуються з цифровими сервісами взаємодії між провайдерами послуг, органами обслуговування повітряного руху та операторами. Запропоновано для громад трирівневу модель впровадження (правовий, технологічний і процедурний шари) та послідовну дорожню карту гармонізації, де ключем є публікація геозон у спільному машиночитному форматі, дослідні сектори цифрових сервісів і впровадження віддаленої ідентифікації. Практична цінність полягає в наданні зрозумілих критеріїв оцінювання, прикладах міських сценаріїв і типових адміністративних рішень, що зменшують витрати для держави та операторів і водночас підвищують безпеку, прозорість та повагу до приватності громадян.*

Ключові слова: *географічні зони безпілотників, цифрові служби керування польотами, віддалена ідентифікація, оцінювання ризиків, місцеве регулювання, приватність, міське зонування.*

Oleg TYSHCHENKO. REGULATORY APPROACHES TO THE USE OF UAS IN PUBLIC SPACE: AIRSPACE ZONING MODELS

Abstract. *The article systematizes approaches to integrating unmanned aircraft into the public space, focusing on airspace zoning models and related legal and technical regimes. It explains how operational categories, digital flight management services, remote identification of aircraft, and the openness and formats of restriction data fit together. The European model is compared with U.S. practices, and the Ukrainian wartime and post-war context is outlined. It is demonstrated that zoning creates a governable framework: legally defined geographical zones, identification requirements, and risk-oriented authorization of operations are combined with digital services enabling interaction among service providers, air traffic services, and operators. For municipalities, a three-tier implementation model (legal, technological, and procedural layers) and a phased harmonization roadmap are proposed, with key elements being the publication of geozones in a shared machine-readable format, pilot sectors for digital services, and the deployment of remote identification. The practical value lies in providing clear evaluation criteria, examples of urban scenarios, and typical administrative decisions that reduce costs for the state and operators while increasing safety, transparency, and respect for citizens' privacy.*

Key words: *geographical zones for unmanned aircraft, digital flight management services, remote identification, risk assessment, local regulation, privacy, urban zoning.*

Вступ. Швидке поширення безпілотників у містах, над об'єктами критичної інфраструктури та під час публічних заходів створює одразу кілька викликів. Потрібно водночас забезпечити безпеку людей і польотів, захист приватності, передбачуваність для бізнесу та доступність інноваційних послуг. Підхід, що базується лише на заборонах, не працює в реальному житті: міське середовище змінне, а потреби – різноманітні. Відтак потрібен порядок, у якому правила не тільки забороняють, а й дозволяють безпечні дії за зрозумілих умов. Таку логіку задає зонування повітряного простору та супутні цифрові сервіси.

Огляд досліджень і практик. Європейська модель надає державам право визначати географічні зони для безпілотників і зобов'язує публікувати їх у спільному машиночитному форматі. Такі зони описують, де саме і за яких умов можливі польоти: наприклад, із обмеженням висоти, з потребою попереднього дозволу, у визначені години, із застереженнями щодо приватності або довкілля. Окрема частина правил присвячена вимогам до самих апаратів: класам, маркуванню та засобам віддаленої ідентифікації, які дають змогу встановити, що саме летить, ким керується і чи дотримується меж дозволеної зони. Для масштабних операцій запроваджено набір цифрових сервісів, які забезпечують

© О. Тищенко, 2025

Стаття поширюється на умовах ліцензії CC BY 4.0

інформаційну підтримку польотів: повідомляють про зони, допомагають планувати маршрути, попереджають про конфлікти та підтверджують дозвіл.

США демонструють іншу траєкторію, однак із близькою метою. Там діє система швидких дозволів поблизу аеропортів, яка спирається на публічні сітки висот і дає можливість отримати погодження практично в режимі реального часу. Віддалена ідентифікація оголошена обов'язковою, але передбачені винятки для спеціально визначених майданчиків, що підтримують аматорську діяльність. Обидві моделі, попри відмінності, сходяться в одному: без відкритих даних про зони та без надійної ідентифікації говорити про масове безпечне використання безпілотників неможливо.

Україна до повномасштабної війни використовувала загальні авіаційні правила з базовими обмеженнями. Після 2022 року діють особливі режими повітряного простору: пріоритет безпеки та централізоване дозвілля польотів. У 2025 році частину вимог спрощено, але стратегічне завдання лишається незмінним – поступова гармонізація з європейською моделлю після зняття надзвичайних обмежень і створення зрозумілих міських рішень для повсякденних потреб.

Мета дослідження. Мета статті – запропонувати цілісну модель зонування простору для безпілотників, зрозумілу органам місцевого самоврядування, операторам і громадянам. Ідеться про поєднання правових рішень, відкритих даних і прозорих адміністративних процедур так, щоб місто могло безпечно дозволяти корисні польоти, а не тільки щось забороняти.

Виклад основного матеріалу. Насамперед зауважимо, що дослідження спирається на аналіз європейських регламентів щодо експлуатації безпілотних повітряних апаратів, вимог до виробів і комплексу цифрових служб підтримки польотів, а також на огляд методик оцінювання ризиків і практик країн, де такі рішення уже працюють. До цього блоку входять базові акти Європейського Союзу про порядок виконання польотів безпілотниками, вимоги до продукції та набір цифрових сервісів керування рухом у спеціально визначених секторах повітряного простору [1–4]. Для зіставлення використано американський досвід швидких дозволів поблизу аеропортів і віддаленої ідентифікації апаратів [11–12; 27–29]. Окрему увагу приділено українським документам, що визначають особливий порядок польотів у період воєнного стану і містять орієнтири для подальшої гармонізації з правом ЄС [13–16; 18–20]. Для практичних висновків розглянуто відкриті портали з даними про зони та офіційні набори даних, які застосовуються для надання дозволів, зокрема поблизу аеропортів [6–7; 29].

По суті, логіка зонування повітряного простору у Європі полягає в тому, що держава визначає географічні зони різних типів і зобов'язана оприлюднювати їх у спільному машиночитному форматі. Найжорсткіший тип – повна заборона польотів над місцями підвищеної небезпеки або чутливими об'єктами. Поширенішим є підхід «дозволено з умовами»: польоти допускаються лише до певної висоти, у встановлений час, після попереднього дозволу або за умови, що апарат передає свою ідентифікацію та параметри польоту. Вимога публікувати зони у структурованому форматі означає не просто наявність статичної карти на сайті, а доступність даних, які автоматично зчитують наземні картографічні програми та бортові системи безпілотників. Це передбачено в керівних матеріалах Європейського агентства з авіаційної безпеки, де докладно описано структуру даних і приклади національних впроваджень такого формату [5–7; 30].

З іншого боку, вимоги до самих апаратів доповнюють цю систему. Регламент щодо продукції запроваджує класифікацію виробів і визначає засоби віддаленої ідентифікації, які дозволяють встановити, який саме апарат перебуває у повітрі, хто відповідає за політ і чи виконує він умови конкретної зони. Завдяки цьому органи безпеки та, за визначених обставин, громадськість отримують можливість контролю та реагування. Там, де відбувається значна кількість польотів, до роботи залучається комплекс цифрових служб: вони надають операторові актуальні дані про зони, допомагають планувати маршрут, попереджають про можливі конфлікти та підтверджують дозвіл. Такий підхід перетворює розпорошену активність на керований процес із прозорими правилами та відповідальністю сторін [2–4; 8].

Американський досвід, розглянутий крізь призму потреб міст, демонструє, як поєднання публічних даних і простих процедур різко скорочує час очікування дозволу. Навколо аеропортів опубліковано сітки максимально допустимих висот, і якщо параметри польоту узгоджуються із сіткою, цифрові застосунки видають погодження практично миттєво. Паралельно діє загальна вимога віддаленої ідентифікації апаратів, а для визначених майданчиків, що підтримують аматорську діяльність, існують винятки з цієї вимоги. Така комбінація – відкриті дані про обмеження плюс оперативні дозволи – є показовою для міських умов, де важливі і швидкість ухвалення рішень, і безпека [11–12; 27–29].

Український контекст суттєво відрізняється через війну: у період надзвичайних обставин пріоритет надано безпеці, діє особливий порядок польотів із централізованими дозволами та розширеними обмеженнями. Разом із тим завдання повоєнної відбудови вже зараз вимагає підготовки до керованої інтеграції безпілотників у повсякденне міське життя. Доцільним є опис місцевих зон

ISSN 2786-5460 (Print), ISSN 2786-5479 (Online)

у машиночитному форматі, визначення типових сценаріїв, які після скасування надзвичайних обмежень можна буде дозволяти автоматично або за спрощеною процедурою, а також пілотування виділених сегментів міського повітряного простору, де цифрові служби підтримають безпечні інспекції, фотозйомку муніципальних подій та логістичні перевезення [13–16; 18–20; 30–31].

Оскільки повітряна зйомка торкається приватного життя людей, будь-яке місцеве рішення має спиратися на принципи необхідності та пропорційності. Якщо зйомка проводиться, громадяни повинні бути завчасно поінформовані; зібрані матеріали слід обробляти з мінімальним обсягом персональних даних, а також забезпечити зрозумілий механізм подання скарг і видалення матеріалів у разі порушень. У зонах із підвищеною чутливістю, наприклад біля лікарень, навчальних закладів або місць скупчення людей, варто встановлювати обмежувальні зони з чітким правовим обґрунтуванням і прозорим описом умов, за яких можливі винятки. Ці підходи ґрунтуються на висновках європейських органів із захисту даних і відповідають сучасній практиці міст, що використовують безпілотники в інтересах громади, але з повагою до приватності [21].

Практична архітектура місцевої політики доцільно вибудовується у три шари. Перший – правовий – визначає сталий перелік постійних і тимчасових географічних зон, порядок зйомки публічних заходів, обов'язок використовувати засоби віддаленої ідентифікації, а також відповідальність за порушення. Тут важливо узгодити місцеві рішення з національними документами з авіаційної інформації, щоб уникнути суперечностей та подвійних тлумачень [1; 13–14; 26]. Другий – технологічний – забезпечує дані: місто публікує зони у спільному машиночитному форматі, надає стабільні програмні інтерфейси доступу, поєднує на одній карті місцеві обмеження та тимчасові повідомлення. До цієї ж площини належить технічна сумісність із механізмами міждержавного обміну реєстраційними даними в Європейському Союзі, аби національні служби могли коректно підтверджувати відомості про операторів і апарати [5–7; 29–31]. Третій – процедурний – організовує сервіси для людей і операторів: зрозумілі електронні форми заяв на типові дії (інспекція даху, обстеження споруди, зйомка заходу), чітко прописані умови виконання, скорочені строки розгляду для низькоризикових сценаріїв, а також публічні журнали виданих дозволів для прозорості процесів [3; 9–12].

Щоби оцінювати дієвість політики, пропонується набір простих і водночас показових індикаторів. Ключовим є відсоток місцевих зон, оприлюднених у машиночитному форматі, адже без якісних даних автоматизація неможлива. Не менш важливий середній час розгляду заяв для низького ризику: зменшення цього показника свідчить про налаштовані процеси й зрозумілі вимоги. Вартими уваги є частка польотів із активною віддаленою ідентифікацією, кількість інцидентів на тисячу польотів та результати опитувань мешканців і операторів щодо зручності карт і сервісів. Такі метрики узгоджуються з європейськими підходами до цифровізації даних про зони, американською практикою оперативних дозволів і методиками ризик-орієнтованого регулювання [5; 12; 21; 29–30].

Технічні засоби підтримки є необхідною умовою успіху. Віддалена ідентифікація фактично виконує роль «цифрового номерного знака» у небі: апарат періодично передає свій ідентифікатор і основні параметри польоту, що дає змогу контролювати дотримання правил, пришвидшувати реагування служб і розв'язувати спірні ситуації. Паралельно міські зони мають публікуватися у форматі, який безпосередньо сприймають програмні засоби – і наземні, і бортові. Тільки тоді карти міста, застосунки операторів і обладнання виробників працюватимуть узгоджено. Для транскордонної сумісності важливо врахувати механізми обміну реєстраційними даними, які впроваджує Європейський Союз, і забезпечити можливість перевірок на національному рівні [2; 5–7; 22–24; 31].

Разом із тим слід бачити ризики та заздалегідь пропрацьовувати запобіжники. Фрагментація даних – коли різні підрозділи публікують зони у різних форматах або з різною якістю – долається запровадженням єдиного міського порталу з чіткими правилами публікації та відповідальною службою за дані. Ризик надмірних обмежень для зйомки й збору інформації зменшується через попередні оцінки впливу на приватність, мінімізацію персональних даних і прозорі повідомлення громадянам. Перевантаження дозвільних каналів контролюється завдяки типізації сценаріїв і наданню спрощених дозволів для низького ризику. Проблеми з нелегальними або немаркованими апаратами зменшуються завдяки системним перевіркам віддаленої ідентифікації в полі та інформаційним кампаніям для користувачів [11; 21; 22–24; 27–30].

У міських умовах уже зараз можна виокремити кілька показових сценаріїв. Інспекція фасадів і дахів у щільній забудові досягає прийнятного рівня безпеки за умови дотримання обмежень висоти, витримування буферів над місцями пересування пішоходів і постійної віддаленої ідентифікації апарата. Обстеження мостів та інших інженерних споруд потребує погоджених маршрутів і часових «вікон», аби уникнути конфліктів із рухом транспорту та людьми. Зйомка публічних заходів можлива в межах тимчасової зони, заздалегідь позначеної на міській карті, з чіткими умовами і зрозумілими

оголошеннями для мешканців. Логістичні польоти у промислових та малозаселених районах доцільно виконувати у виділених сегментах повітряного простору, де працюють цифрові служби попередження зіткнень і підтвердження дозволів [1–4; 8–12].

Послідовність упровадження для громад має бути поетапною. Спочатку впорядковується правова база: ухвалюється локальне положення про зони, описуються типові сценарії та їхні умови, визначаються відповідальні органи. Далі формується набір відкритих даних: постійні й тимчасові зони публікуються у машиночитному форматі з описом структури та регламентом оновлення. Наступним кроком стають пілотні проєкти – тимчасові зони для заходів або інспекцій, навчання адміністраторів і користувачів, канали зворотного зв'язку. На етапі масштабування визначаються ділянки повітряного простору, де потрібні цифрові служби підтримки польотів, укладаються угоди щодо рівня якості цих сервісів, забезпечується сумісність із національними системами. На зрілому етапі частина дозволів для низького ризику надається автоматично, регулярно проводяться перевірки впливу на приватність і публікуються квартальні звіти з ключовими показниками ефективності [3; 5–7; 12; 21; 31].

Узагальнюючи, викладений матеріал показує, що керована інтеграція безпілотників у міський простір спирається на три стовпи: зони, які зрозуміло описані та визначені; ідентифікація апаратів, яка забезпечує прозорість і відповідальність; цифрові служби, які перетворюють окремі польоти на безпечну та передбачувану систему. Європейські правила, американські рішення щодо оперативних дозволів і українські реалії воєнного часу вказують на спільний знаменник: без якісних даних, прозорих процедур і продуманої взаємодії з громадянами досягти балансу між безпекою, правами людини та інноваціями неможливо [1–4; 11–12; 13–16; 21; 29–31].

Висновки. Зонування повітряного простору у поєднанні з віддаленою ідентифікацією та цифровими сервісами – найкоротший шлях до безпечної і прогнозованої інтеграції безпілотників у міста. Успіх залежить від якості даних, узгоджених місцевих правил і простих процедур для людей та операторів. Україні доцільно готуватися до гармонізації з європейською моделлю вже зараз: описувати зони в машиночитному форматі, запускати пілотні сегменти міського простору та робити правила прозорими і зручними. Подальші дослідження варто спрямувати на створення репозиторію міських пілотів, оцінювання впливу на безпеку й приватність та вироблення справедливих моделей оплати послуг для підтримки польотів.

Список використаних джерел:

1. Commission Implementing Regulation (EU) 2019/947 of 24 May 2019 on the rules and procedures for the operation of unmanned aircraft. URL: https://eur-lex.europa.eu/legal-content/EN/TXT/PDF/?uri=CELEX%3A32019R0947
2. Commission Delegated Regulation (EU) 2019/945 (consolidated 01.05.2025) on unmanned aircraft systems. URL: https://eur-lex.europa.eu/legal-content/EN/TXT/HTML/?uri=CELEX%3A02019R0945-20250501
3. Commission Implementing Regulation (EU) 2021/664 of 22 April 2021 on a regulatory framework for the U-space. URL: https://eur-lex.europa.eu/legal-content/EN/TXT/PDF/?uri=CELEX%3A32021R0664
4. EASA. Easy Access Rules for U-space (EU) 2021/664. URL: https://www.easa.europa.eu/en/document-library/easy-access-rules/easy-access-rules-u-space-regulation-eu-2021664
5. EASA. Easy Access Rules for UAS: AMC/GM to Article 15 (digital format for zones, ED-269). URL: https://www.easa.europa.eu/en/document-library/easy-access-rules/online-publications/easy-access-rules-unmanned-aircraft-systems
6. EASA. Geo-Zones – know where to fly your drone. URL: https://www.easa.europa.eu/en/light/topics/geo-zones-know-where-fly-your-drone
7. Irish Aviation Authority. UAS Geographical Zones (example of ED-269/GeoJSON publication). URL: https://www.iaa.ie/general-aviation/drones/uas-geographic-zones
8. SESAR JU. Implementation of U-space airspace in a restricted area. URL: https://www.sesarju.eu/sesar-solutions/implementation-u-space-airspace-restricted-area-uncontrolled-airspace
9. JARUS. SORA v2.5 (2024): Main Body. URL: https://jarus-rpas.org/wp-content/uploads/2024/06/SORA-v2.5-Main-Body-Release-JAR_doc_25.pdf
10. EASA. Specific Operations Risk Assessment (SORA) – overview. URL: https://www.easa.europa.eu/en/domains/drones-air-mobility/operating-drone/specific-category-civil-drones/specific-operations-risk-assessment-sora
11. Federal Register. Remote Identification of Unmanned Aircraft (Final Rule; Part 89). URL: https://www.federalregister.gov/documents/2021/01/15/2020-28948/remote-identification-of-unmanned-aircraft
12. UAS Facility Maps (LAANC). URL: https://www.faa.gov/uas/commercial_operators/uas_facility_maps
13. Державіаслужба України. Безпілотні повітряні судна (довідкова сторінка). URL: https://avia.gov.ua/bezpilotni-povitryani-sudna-2/
14. Авіаційні правила України «Загальні правила польотів у повітряному просторі України». URL: https://zakon.rada.gov.ua/go/z0654-17
15. Міністерство оборони України. Спрощення правил використання БПЛА під час воєнного стану (17.07.2025). URL: https://mod.gov.ua/en/news/ministry-of-defence-simplifies-regulations-for-using-ua-vs
16. Інститут масової інформації. Зйомки з використанням дронів: воєнний стан та зміни до законодавства (аналітика). URL: https://imi.org.ua/monitorings/zjomky-z-vykorystannyam-droniv-voyennyj-stan-ta-zminy-do-zakonodavstva-i54375

17. Liability for Violating the Procedure for Airspace Usage by Unmanned Aircraft in Ukraine (огляд). URL: https://www.researchgate.net/publication/357743848_Liability_for_Violating_the_Procedure_for_Airspace_Usage_by_Unmanned_Aircraft_in_Ukraine/fulltext/61dda03a5c0a257a6fdf3ab8/Liability-for-Violating-the-Procedure-for-Airspace-Usage-by-Unmanned-Aircraft-in-Ukraine.pdf

18. Наказ Міністерства інфраструктури №478 від 28.10.2011 «Правила польотів цивільних повітряних суден України». URL: https://zakon.rada.gov.ua/laws/show/z1327-11

19. Міністерство розвитку громад. Порядок дозволів на польоти державних повітряних суден за дозволом Генштабу (28.05.2025). URL: https://mindev.gov.ua/storage/app/sites/1/uploaded-files/poriadok-15676476.pdf

20. State Aviation Administration of Ukraine (EN). Notices on airspace closure for civil flights (war). URL: https://avia.gov.ua/en/page/4/?s=i

21. Article 29 Working Party / EDPB. Opinion 01/2015 on Privacy and Data Protection Issues relating to the Utilisation of Drones. URL: https://ec.europa.eu/newsroom/article29/redirection/item/640602

22. European Commission Implementing Decision (EU) 2024/2103 on harmonised standard for direct remote identification. Overview. URL: https://www.unmannedairspace.info/uncategorized/european-commission-publishes-decision-on-remote-id-harmonised-standards/

23. Irish Aviation Authority. Guidance on Direct Remote ID (UAM-014). URL: https://www.iaa.ie/docs/default-source/publications/advisory-memoranda/uas-advisory-memoranda-%28uam%29/uam-014---guidance-on-direct-remote-id-issue-1.pdf

24. Dronetag. Remote ID explained (overview of technical options). URL: https://help.dronetag.cz/knowledge-base/remote-id-explained

25. Dronewatch.eu. 11 Critical Flaws in EU-wide Drone Geo-Awareness. URL: https://www.dronewatch.eu/elevating-concerns-11-critical-flaws-in-the-current-drone-geo-awareness-system/

26. UK CAA. Article 15 – operational conditions for UAS geographical zones (guidance). URL: https://regulatorylibrary.caa.co.uk/2019-947/Content/map/00185_art._15_Operational_conditions_for_UAS_geographical_zones.htm

27. Remote Identification – information page. URL: https://www.faa.gov/uas/getting_started/remote_id

28. FAA. FRIA Program Environmental Assessment (06.2023). URL: https://www.faa.gov/uas/advanced_operations/nepa_and_drones/FRIA-PEA-and-FONSI-ROD_Final_2023-06-29-signed.pdf

29. UAS Data Delivery System / LAANC grids. URL: https://udds-faa.opendata.arcgis.com/

30. EUROCONTROL. Notes on 2019/947 (requirement to publish zones in a digital format). URL: https://www.eurocontrol.int/archive_download/all/node/14966

31. EASA / Drones.gov.cy. "Broker" – EU-wide sharing of drone registration data. URL: https://drones.gov.cy/easa-delivers-broker-solution-to-enable-european-wide-sharing-of-drone-registration-data/

Дата надходження статті: 20.11.2025
Дата прийняття статті: 10.12.2025
Опубліковано: 30.12.2025

УДК 004.5
DOI https://doi.org/10.32689/maup.it.2025.4.28

Олександр ХОМЕНКО
аспірант кафедри інженерії програмного забезпечення в енергетиці,
Навчально-науковий інститут атомної та теплової енергетики,
Національний технічний університет України «Київський політехнічний інститут імені Ігоря Сікорського», khomenkosasha99@gmail.com
***ORCID:** 0000-0003-1964-1097*

Олександр КОВАЛЬ
доктор технічних наук, професор,
завідувач кафедри інженерії програмного забезпечення в енергетиці,
Навчально-науковий інститут атомної та теплової енергетики,
Національний технічний університет України «Київський політехнічний інститут імені Ігоря Сікорського», avkoval@gmail.com
***ORCID:** 0000-0003-0991-6405*

АНАЛІЗ СЦЕНАРІЇВ КАСКАДНИХ ЕФЕКТІВ В КРИТИЧНІЙ ІНФРАСТРУКТУРІ НА ОСНОВІ ГРАФОВИХ НЕЙРОННИХ МЕРЕЖ

Анотація. *Складність критичної інфраструктури зростає, що збільшує потенційні негативні наслідки каскадних ефектів, тому проводяться дослідження сценаріїв каскадних ефектів в критичній інфраструктурі, щоб визначити дії для зменшення негативного впливу збоїв на систему. Оскільки дані про роботу електромереж є обмеженими, тому для дослідження проводяться моделювання та симуляція сценаріїв роботи електромережі із різними значеннями параметрів компонентів. При обробці сценаріїв про роботу електромережі в сценаріях каскадних ефектів виникає необхідність пошуку подібних сценаріїв або визначення патернів сценаріїв для формування рекомендацій на основі існуючих даних та прийняття рішень. Методи машинного навчання (графові нейронні мережі) є перспективним напрямком аналізу роботи електромережі у різних сценаріях. Сучасні технології надають можливість створювати програмне забезпечення для обробки даних в режимі реального часу, що підвищує швидкість реакції на потенційно небезпечні події.*

***Метою статті** є розробка методу та архітектури програмного забезпечення для формування представлення про електромережу в сценаріях каскадних ефектів для порівняння, визначення подібних та альтернативних шляхів розвитку сценаріїв.*

***Методологія.** У статті описано метод визначення подібних альтернативних сценаріїв каскадних ефектів в електромережі, що використовує модель автоенкодера із графовими шарами для формування представлення про вершини та ребра графу в кроці чи послідовність кроків сценарію. Натренована модель використовується для формування представлень про роботу електромережі в сценаріях та подібності на основі значення косинуса подібності. Для визначення патернів сценаріїв використовується алгоритм кластеризації DBSCAN. Описана архітектура програмного забезпечення надає інструмент для взаємодії із сценаріями каскадних ефектів в роботі електромережі та нейронною мережею.*

***Наукова новизна** роботи полягає у розробці методу, що покращує процес пошуку подібних сценаріїв каскадних ефектів, патернів та формування рекомендацій для прийняття рішень на основі існуючих сценаріїв. Архітектура програмного забезпечення надає можливість оброблювати дані в режимі реального часу та швидко реагувати на аномалії в даних.*

***Висновки.** Розроблено метод та архітектуру програмного забезпечення для формування представлення про електромережу в сценаріях каскадних ефектів для порівняння, визначення подібних та альтернативних шляхів розвитку сценаріїв. Розроблений метод використовує модель автоенкодера на основі графової нейронної мережі для формування представлення про електромережу в сценаріях каскадних ефектів, косинус подібності для визначення подібності сценаріїв, алгоритм кластеризації DBSCAN для пошуку патернів в сценаріях. Розроблений метод покращує процес порівняння кроку чи послідовності кроків в сценаріях каскадних ефектів електромережі, визначення подібних станів електромережі та патернів для прийняття рішень на основі існуючих сценаріїв. Розроблена архітектура програмного забезпечення надає можливість оброблювати дані в режимі реального часу для швидкого реагування на події в системі.*

***Ключові слова:** критична інфраструктура, машинне навчання, нейронна мережа, коефіцієнт подібності, графи, каскадний ефект, кластерний аналіз.*

Oleksandr KHOMENKO, Oleksandr KOVAL. ANALYSIS OF CASCADE EFFECT SCENARIOS IN CRITICAL INFRASTRUCTURE BASED ON GRAPH NEURAL NETWORKS

Abstract. *The complexity of critical infrastructure is increasing, which increases the potential negative consequences of cascading effects, so studies of cascading effects scenarios in critical infrastructure are being conducted to determine actions*

© О. Хоменко, О. Коваль, 2025

Стаття поширюється на умовах ліцензії CC BY 4.0

to reduce the negative impact of failures on the system. Since data on the operation of power grids are limited, modeling and simulation of power grid operation scenarios with different values of component parameters are being conducted for research. When processing power grid operation scenarios in cascading effects scenarios, there is a need to search for similar scenarios or identify scenario patterns to generate recommendations based on existing data and make decisions. Machine learning methods (graph neural networks) are a promising direction for analyzing power grid operation in various scenarios. Modern technologies provide the opportunity to create software for real-time data processing, which increases the speed of response to potentially dangerous events.

***The aim of the article** is to develop a method and software architecture for forming a representation of the power grid in cascading effects scenarios for comparison, identification of similar and alternative paths of scenario development.*

***Methodology.** The article describes a method for identifying similar alternative scenarios of cascading effects in the power grid, which uses a graph-layered autoencoder model to form a representation of the vertices and edges of the graph in a step or sequence of steps of the scenario. The trained model is used to form representations of the power grid operation in the scenarios and similarities based on the cosine of similarity value. The DBSCAN clustering algorithm is used to identify scenario patterns. The described software architecture provides a tool for interacting with cascading effects scenarios in the power grid operation and a neural network.*

***The scientific novelty of the work** lies in the development of a method that improves the process of searching for similar scenarios of cascading effects, patterns and generating recommendations for decision-making based on existing scenarios. The software architecture provides the ability to process data in real time and quickly respond to anomalies in the data.*

***Conclusions.** A method and software architecture have been developed to form a representation of the power grid in cascade effects scenarios for comparison, identification of similar and alternative paths of scenario development. The developed method uses an autoencoder model based on a graph neural network to form a representation of the power grid in cascade effects scenarios, cosine similarity to determine the similarity of scenarios, and the DBSCAN clustering algorithm to search for patterns in scenarios. The developed method improves the process of comparing a step or sequence of steps in cascade effects scenarios of the power grid, identification of similar power grid states and patterns for decision-making based on existing scenarios. The developed software architecture provides the ability to process data in real time for rapid response to events in the system.*

***Key words:** critical infrastructure, machine learning, neural network, similarity coefficient, graphs, cascading effect, cluster analysis.*

Вступ. Критична інфраструктура – важлива, складна система, яка забезпечує умови для функціонування множини об'єктів в різних сферах людської діяльності, наприклад: електропостачання, водопостачання, логістика. Порушення в роботі об'єктів критичної інфраструктури може мати негативні короткочасні та довгострокові наслідки. Оскільки системи є взаємопов'язаними, мають зв'язки між суміжними секторами, тому збій в одній частині об'єктів може спричинити збої в залежних об'єктах, виникає каскадний ефект. Відключення електроенергії впливає на функціонування залежної інфраструктури, наприклад: водопостачання, транспортної. Зменшення потужності електромережі впливає на роботу насосних станцій, що використовуються для транспортування води до кінцевих споживачів, а використання резервного живлення має обмеження на робочі потужності та час функціонування насосів. Після певного часу насоси перестають працювати, відбувається зниження тиску води, що призводить до перебоїв водопостачання в населених пунктах. Також відключення електроенергії впливає на функціонування транспортної інфраструктури: змінюється організація та регулювання руху на дорогах, збільшується ризик виникнення аварій, утворюються затори із автомобілів, що збільшує час пересуванням містом та ускладнюють екстреним службам виконувати свою роботу при виникненні надзвичайних ситуацій. Затримка в логістиці негативно впливає на роботу об'єктів в різних секторах економіки, наприклад: збільшується час доставки товару, який є необхідним для людей чи виробництва.

Збої в роботі критичної інфраструктури можуть бути спричинені: природніми, техногенними, антропогенним подіями [12]. Більшість збоїв електроенергії починаються з природних явищ, приблизно третина виникає через неприродні події [11]. В роботі критичної інфраструктури збої можуть впливати на роботу залежних об'єктів, що зменшує продуктивність системи або призводить до повної її деградації. Електромережі мають захисні механізми для обробки збоїв, крім того оператори намагаються підтримувати функціонування системи. Але електромережі все ще є вразливими до збоїв, каскадних ефектів, що негативно впливають на роботу об'єктів залежної критичної інфраструктури. Складність електромереж із часом зростає, що потребує розробки методів аналізу роботи системи при різних умовах, особливо при виникненні та розвитку каскадних ефектів [1].

Аналіз останніх досліджень та публікацій. В загальному вигляді електромережа складається з елементів: джерела електроенергії, передача та розподіл, навантаження (кінцеві споживачі). В дослідженнях роботи електромережі використовують модель потоку потужності (Power Flow Analysis), оптимальний потік потужності (Optimal Power Flow). Метою аналізу потоку потужності є обчислення для кожної шини: величини напруги, кута напруги, реальної потужності, реактивної потужності. Оптимальний потік потужності (Optimal Power Flow) – задача оптимізації, яка визначається

за допомогою цільової функції, множини обмежень, змінних [16]. Дані про роботу електромережі є обмеженими, тому виникає необхідність у генерації синтетичних сценаріїв роботи електромережі та сценаріїв розвитку збоїв. Значення параметрів компонентів електромережі змінюються на основі рівномірного, нормального розподілів, а при моделюванні сценаріїв каскадних збоїв в електромережі використовується каскадна модель збоїв на основі потоку потужності змінного струму [9]. При моделюванні сценаріїв розвитку збоїв у великих та складних електромережах використовується модель каскадних відмов змінного струму, що застосовує захисні механізми [17].

Електромережа в сценаріях може бути представлена у вигляді графу, який складається з вузлів (bus), що містить підключені елементи, та гілок (branches). Для аналізу графів використовуються метрики, які поділяються на класи: Відстань (Distance), Зв'язність (Connection), Спектри (Spectra) [10]. При виборі метрики для оцінки характеристик графу потрібно врахувати обмеження, наприклад: тип графу, складність обчислення. Графові спектральні методи (Graph Spectral Techniques) використовуються в аналізі водопровідної мережі для: виявлення вузьких місць (bottlenecks), вимірювання міцності (strength) мережі, розбиття на підмережі [6], визначення надмірності шляху та існування циклічних альтернативних шляхів водопостачання за допомогою коефіцієнта кластеризації (clustering coefficient) [21]. Теорія графів застосовується для аналізу вразливостей транспортних мереж: Середня відстань (Average distance), Ефективність (Efficiency) [14].

Стійкість та вразливість в електромережах визначається за допомогою концепцій теорії складних мереж та складається з двох різних підходів: топологічний та гібридний (наприклад, net-ability, electrical betweenness, entropic degree) [4]. При визначені критичних компонентів в електромережі використовується ефективний опір графа (effective graph resistance), який враховує електричні властивості електромереж [13]. Метрики графів можуть використовуватися для моделювання атак та методів для зменшення їхніх наслідків у мережах. При атаці на мережу є два можливі підходи: видалення вершин і видалення ребер, які є критичними, важливими для функціональності мережі: Initial degree removal, Initial betweenness removal, Recalculated degree removal, Recalculated betweenness removal [7]. Для покращення захисту мережі використовуються техніки: Edge addition, Edge rewiring, Node monitoring [7].

Машинне навчання (machine learning) та глибоке навчання (deep learning) впроваджуються у різних сферах людської діяльності, з'являються нові підходи, методи, які можуть бути використані для аналізу каскадних збоїв в енергосистемах [15]. Графові нейронні мережі (Graph Neural Networks) – перспективний підхід аналізу каскадних ефектів в електромережах [19]. Графові нейронні мережі надають можливість прогнозувати значення компонентів та їхній статус в електромережі, враховуючи структуру мережі. Графові нейронні мережі використовують фреймворк передачі повідомлень (message-passing neural network), який складається із двох кроків [8]: агрегація повідомлень; оновлення представлення вершин графу на основі агрегованого повідомлення.

При аналізі сценаріїв каскадних ефектів в електромережі є потреба в порівнянні сценаріїв чи фрагментів сценаріїв, використовуючи інформацію про стан електромережі, її компонентів та значення параметрів в певний момент часу для визначення подібних та альтернативних шляхів розвитку сценаріїв.

Метою статті є розробка методу та архітектури програмного забезпечення для формування представлення про електромережу в сценаріях каскадних ефектів для порівняння, визначення подібних та альтернативних шляхів розвитку сценаріїв.

Виклад основного матеріалу дослідження. Метод визначення подібних альтернативних сценаріїв каскадних ефектів в електромережі, який складається із наступних кроків:

1. Формування представлення про крок чи послідовність кроків сценарію.
2. Визначення подібності сценаріїв на основі значення косинуса подібності.
3. Визначення патернів сценаріїв на основі алгоритму кластеризації DBSCAN.

Формування представлення про крок сценарію. Для формування представлення про електромережу в кроці сценарію була розроблена модель автоенкодера, яка складається з наступних компонентів:

1) Енкодер (Encoder) – блок, де формується представлення про компоненти електромережі в певний крок сценарію.

1.1) Шари для формування представлення про вершини графу електромережі.

1.2) Шари для формування представлення про ребра графу електромережі.

2) Декодер (Decoder) – блок, де відбувається реконструкція ознак вершин, ребер та структури графу електромережі в певний крок сценарію.

1.3) Шари для відтворення ознак вершин графу електромережі.

1.4) Шари для відтворення ознак ребер графу електромережі.

ISSN 2786-5460 (Print), ISSN 2786-5479 (Online)

При обробці даних графу було розроблено шари для формування представлення про вершини та ребра. Шари для формування представлення про вершини та ребра графу електромережі використовує фреймворк передачі повідомлень, який враховує інформацію про з'єднані вершини, ребра та статуси компонентів електромережі. Оскільки компоненти електромережі можуть бути виведені із ладу чи відключені в процесі розвитку каскадного ефекту, тому важливо враховувати ці особливості при обробці даних графу.

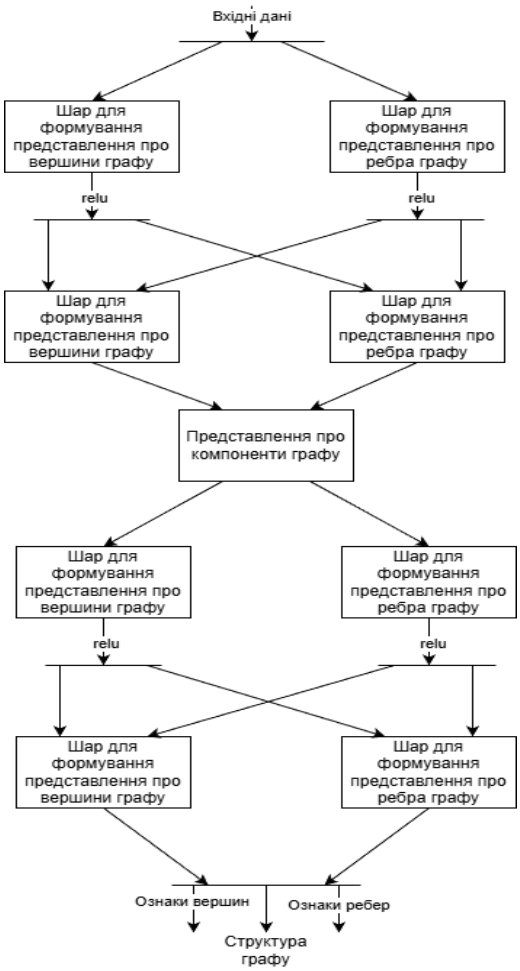

Рис. 1. Структура автоенкодера для формування представлення про вершини та ребра електромережі в кроці сценарію

Вхідні дані шару для формування представлення про вершини графу:

– Ознаки вершин графу x (кожна шина має ознаки: активна потужність, реактивна потужність, величина напруги, кут напруги).

– Ознаки ребер графу $edge_attr$ (реальна потужність, яка походить від шини i на початку гілки; реальна потужність, яка надходить на шину j в кінці гілки; реактивна потужність, яка походить від шини i на початку гілки; реактивна потужність, яка надходить на шину j в кінці гілки).

– Структура графу $edge_index$.

– Маска $node_mask$, яка визначає активні та неактивні вершини графу.

– Маска $edge_mask$, яка визначає активні та неактивні ребра графу.

Процес обробки даних в шарі складається із наступних етапів:

1. Формування повідомлення.

– Застосувати маску до ознак ребер графу.

$$edge_attr = edge_attr * edge_mask \quad (1)$$

– Застосувати маску до вихідних ознак вершин графу.

$$x_j = x_j * node_mask \quad (2)$$

– Об'єднати ознаки вихідної вершини x_j та ребра $edge_attr$

$$combined_features = x_j \,||\, node_mask \tag{3}$$

– Застосувати лінійне перетворення, яке трансформує розмірність об'єднаних ознак до вхідної розмірності ознак вершин графу.

$$message = mlp_message(combined_features) \tag{4}$$

– Сформувати повідомлення для агрегації.

2. Агрегація повідомлень.

– Застосувати маску для повідомлень, які отримують цільові вершини x_i.

$$input_message = message * node_mask[x_i] \tag{5}$$

– Застосувати функцію агрегації «сума», що підсумовує повідомлення для кожного цільового вузла.

$$aggregated_message = sum(input_message, x_i) \tag{6}$$

3. Оновлення представлення вершини.

– Поєднати агреговане повідомлення з оригінальними ознаками вершини.

$$node_embedding = x + aggregated_message \tag{7}$$

– Застосувати лінійне перетворення, яке трансформує розмірність отриманого представлення до визначеної вихідної розмірності.

$$final_node_embedding = mlp_embedding(node_embedding) \tag{8}$$

Вхідні дані шару для формування представлення про ребра графу:

– Ознаки вершин графу x.

– Ознаки ребер графу $edge_attr$.

– Структура графу $edge_index$.

– Маска $node_mask$, яка визначає активні та неактивні вершини графу.

– Маска $edge_mask$, яка визначає активні та неактивні ребра графу.

Процес обробки даних в шарі складається із наступних етапів:

1. Формування повідомлення.

– Застосувати маску до ознак вершин графу.

$$x = x * node_mask \tag{9}$$

– Застосувати маску до ознак ребер графу.

$$edge_attr = edge_attr * edge_mask \tag{10}$$

– Об'єднати ознаки вихідної вершини x_j та цільової вершини x_i.

$$combined_features = x_j \,||\, x_i \tag{11}$$

– Застосувати лінійне перетворення, яке трансформує розмірність об'єднаних ознак до вхідної розмірності ознак ребер графу.

$$message = mlp_message(combined_features) \tag{12}$$

2. Оновлення представлення ребра.

– Поєднати повідомлення з оригінальними ознаками ребра.

$$edge_embedding = edge_attr + message \tag{13}$$

– Застосувати лінійне перетворення, яке трансформує розмірність отриманого представлення до визначеної вихідної розмірності.

$$final_edge_embedding = mlp_embedding(edge_embedding) \tag{14}$$

Графові шари використовуються для відтворення ознак та структури графу із представлення, яке формується в середині автоенкодера (embedding). Для відтворення структури графу в декодері використовується сума добутку ознак вихідних вершин, ознак цільових вершин, ознак ребер, що використовується для порівняння із вхідною структурою ребер $edge_index$.

$$edges = sum(x_j * x_i * edge_attr) \tag{15}$$

Під час тренування моделі використовується функція втрат (loss fucntion), яка складається з: функції втрат ознак вершин графу (mse_loss), функції втрат структури графу (binary_cross_entropy_with_logits), функції втрат ознак ребер графу (mse_loss).

При значенні Epoch = 100 були отримані значення Training Loss=0.0006940, Validation Loss = 0.0004601, Test Loss = 0.0003720. Коефіцієнт детермінації для вершин $R^2(nodes)$ = 0.9955, коефіцієнт детермінації для ребер $R^2(edges)$ = 0.9350.

Формування представлення про послідовність кроків в сценаріях. При формуванні представлення про послідовність кроків в сценаріях потрібно враховувати різну довжину сценаріїв, тому є необхідність у створенні маски послідовності сценаріїв, що доповнює послідовність до визначеної довжини.

ISSN 2786-5460 (Print), ISSN 2786-5479 (Online)

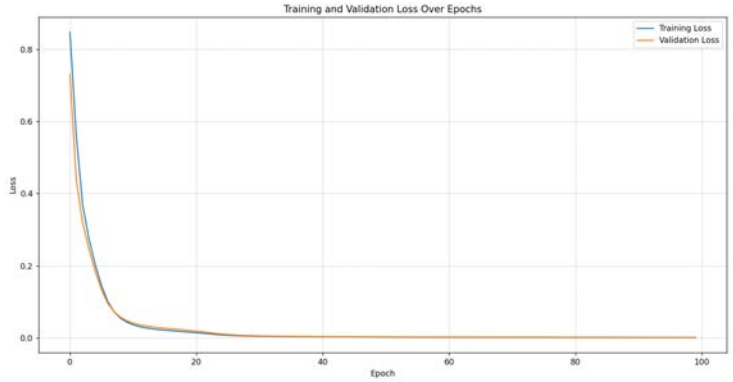

Рис. 2. Зміни значення функції втрат під час навчання моделі автоенкодера для формування представлення про крок сценарію

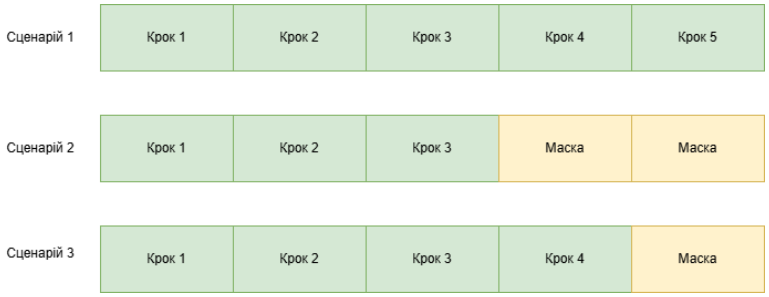

Рис. 3. Приклад сценаріїв із різною кількістю кроків в сценаріях

Для обробки послідовності кроків сценарію була розроблена модель автоенкодера, яка складається із компонентів:

1) Енкодер (Encoder) – блок, де формується представлення про компоненти електромережі в послідовності кроків сценарію.

1.1) Шари для формування представлення про вершини графу електромережі.

1.2) Шари для формування представлення про ребра графу електромережі.

1.3) Шар рекурентної нейронної мережі LSTM для обробки послідовності кроків сценарію.

1.4) Механізм уваги MultiheadAttention для вивчення комплексних зв'язків.

1.5) Лінійне перетворення ознак до встановленої розмірності.

2) Декодер (Decoder) – блок, де відбувається реконструкція ознак вершин, ребер та структури графу електромережі в послідовності кроків сценарію.

2.1) Лінійне перетворення ознак до встановленої розмірності.

2.2) Шар рекурентної нейронної мережі LSTM для відтворення послідовності кроків сценарію.

2.3) Шари для відтворення ознак вершин графу електромережі.

2.4) Шари для відтворення ознак ребер графу електромережі.

Вхідні дані для моделі представлені у вигляді послідовності кроків сценарію X та маски $Mask$, що допомагає розрізняти реальні та доповнені дані при формуванні послідовності із розмірністю n.

$$scenario_sequence = \{X, Mask\} \tag{16}$$

Обробка графів у сценаріях відбувається із врахування маски та розроблених шарів для формування представлень про вершини та ребра графу. В кожному кроці послідовності застосовується механізм global_mean_pool для представлень вершин та ребер графу.

$$scenario_sequence = global_mean_pool(node_embedding) * global_mean_pool(edge_embedding) \tag{17}$$

Шар LSTM використовується для обробки послідовностей представлень про кроки сценарію, що були сформовані в графових шарах. LSTM використовує маску для визначення актуальних та доповнених даних. Додатково для вивчення контексту та комплексних зв'язків використовується шар MultiheadAttention із механізмом уваги [20]. Лінійний шар використовується для перетворення даних у задану розмірність – формується представлення про послідовність кроків у сценарії. В декодері відбувається відтворення графів в кроках в сценарію. Для покращення процесу навчання моделі використовуються skip connections.

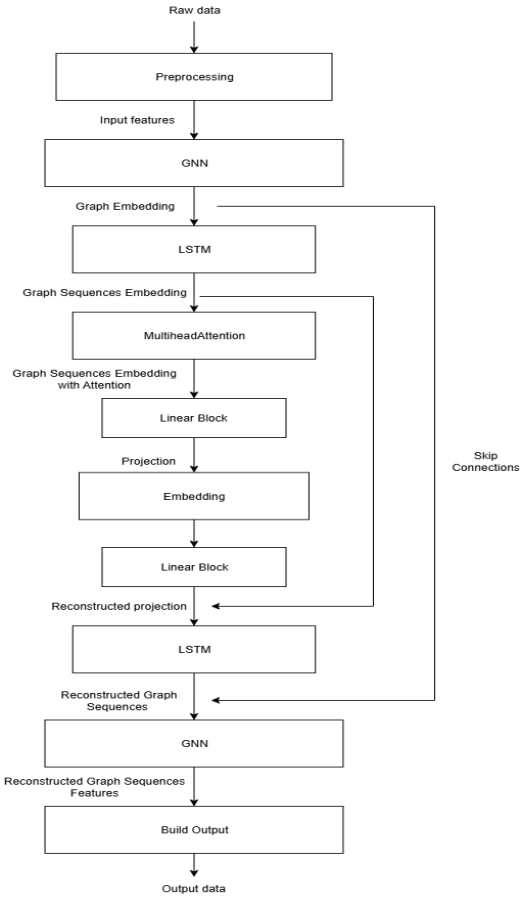

Рис. 4. Структура автоенкодера для формування представлення про послідовність кроків сценарію

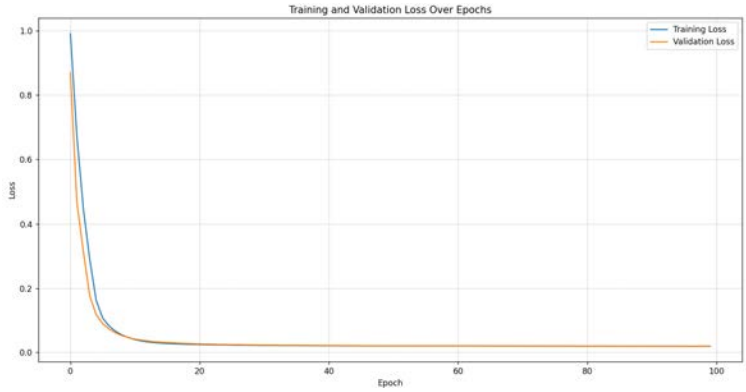

Рис. 5. Зміни значення функції втрат під час навчання моделі автоенкодера для формування представлення про послідовність кроків сценарію

При значенні Epoch = 100 були отримані значення Training Loss= 0.0195245, Validation Loss = 0.0195685, Test Loss = 0.0126826. Коефіцієнт детермінації для вершин $R^2(nodes)$ = 0.9174, коефіцієнт детермінації для ребер $R^2(edges)$ = 0.9866.

Визначення подібності сценаріїв на основі значення косинуса подібності. Для визначення подібності представлень кроку чи послідовності кроків сценарію каскадного ефекту в електромережі використовується косинус подібності [3]. Користувач визначає інтервал значень косинуса подібності $[lower_similarity, upper_similarity]$ для пошуку подібних представлень та оцінює альтернативні сценарії, які були рекомендовані. Рекомендації надають додаткову інформацію для користувача при прийнятті рішення.

Визначення патернів сценаріїв на основі алгоритму кластеризації DBSCAN. Енкодер натренованої моделі обчислює представлення про роботу електромережі в кроці чи в послідовності кроків сценарію, які

ISSN 2786-5460 (Print), ISSN 2786-5479 (Online)

використовуються для кластеризації за допомогою алгоритму DBSCAN [5]. Для візуалізації результатів кластеризації було використано зменшення розмірності n-вимірних даних до 2 вимірів за допомогою PCA [18].

В результаті були визначені кластери:

– Cluster 0 – процес каскадного ефекту в електромережі.
– Cluster 1 – представлення про крок сценарію, де електромережа стабілізувала роботу.
– Cluster 2 – представлення про крок сценарію, де електромережа була знеструмлена.
– Noise – представлення, які були визначені як шуми. Використання кластеризації надає можливість визначити патерни роботи електромережі в сценаріях.

Інформація про визначені патерни та подібність кроків в сценаріях, надає користувачу можливість визначити можливий розвиток каскадного ефекту в електромережі, його наслідки, альтернативні шляхи для зменшення його впливу на систему.

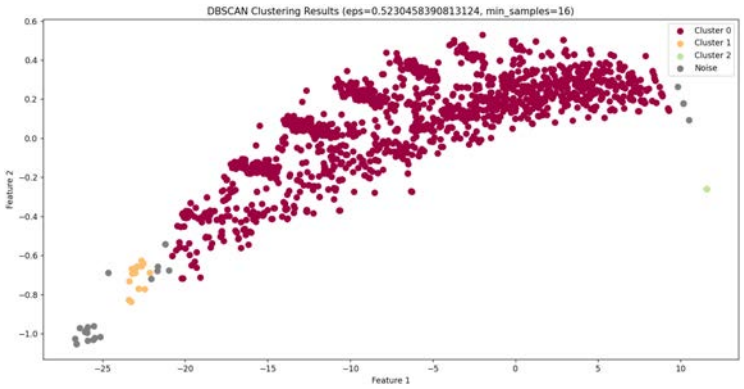

Рис. 6. Візуалізація результатів кластеризації

Архітектура програмного забезпечення обробки та аналізу сценаріїв каскадних ефектів в електромережі. Архітектура програмного забезпечення розроблена на основі мікросервісної архітектури: кожен мікросервіс виконує визначену бізнес-логіку, розгортається та масштабується відповідно до навантаження. В даній архітектурі програмного забезпечення використовується два типи мікросервісів: Auth мікросервіс, Grid мікросервіс.

Користувач чи пристрій надсилає дані про компоненти електромережі до API Gateway, який є вхідною точкою системи, фільтрує та балансує трафік.

Користувач отримує JWT токен в Auth мікросервісі для роботи з Grid мікросервісом: користувачу потрібно створити обліковий запис та ввести облікові дані. Дані про користувача зберігаються в базі даних «User DB».

Для роботи із функціоналом для налаштування та аналізу роботи електромережі використовується Grid мікросервіс. Налаштування та дані про електромережу зберігаються в базі даних «Grid DB». За допомогою механізму cdc [2] зміни в таблицях бази даних надсилаються у брокер повідомлень. Потоки в режимі реального часу обробляються: відбувається перевірка допустимих значень, пошук аномалій у вікні даних. Сповіщення зберігаються в базі даних «Grid DB» для подальшого відображення користувачу. Користувач може візуалізувати дані про сценарій та порівняти дані, використовуючи навчену модель нейронної мережі.

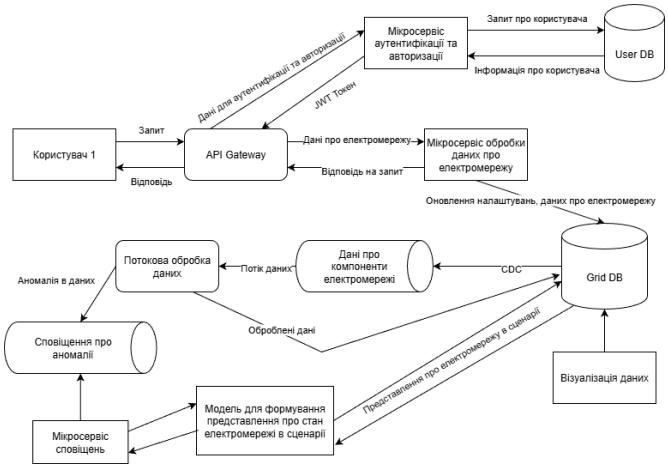

Рис. 7. Архітектура програмного забезпечення

Висновки. Розроблено метод та архітектуру програмного забезпечення для формування представлення про електромережу в сценаріях каскадних ефектів для порівняння, визначення подібних та альтернативних шляхів розвитку сценаріїв. Розроблений метод використовує модель автоенкодера на основі графової нейронної мережі для формування представлення про електромережу в сценаріях каскадних ефектів, косинус подібності для визначення подібності сценаріїв, алгоритм кластеризації DBSCAN для пошуку патернів в сценаріях. Розроблений метод покращує процес порівняння кроку чи послідовності кроків в сценаріях каскадних ефектів електромережі, визначення подібних станів електромережі та патернів для прийняття рішень на основі існуючих сценаріїв. Розроблена архітектура програмного забезпечення надає можливість оброблювати дані в режимі реального часу для швидкого реагування на події в системі.

Список використаних джерел:

1. Хоменко О. М., Сенченко В. Р., Коваль О. В. Мережевий підхід при дослідженні каскадних ефектів критичних інфраструктур. *Реєстрація, зберігання і обробка даних*, 2024. Том 26. № 2. С. 44–72. DOI 10.35681/1560-9189.2024.26.2.316908

2. Change data capture. URL: https://en.wikipedia.org/wiki/Change_data_capture

3. Cosine similarity. URL: https://en.wikipedia.org/wiki/Cosine_similarity

4. Cuadra L., Salcedo-Sanz S., Del Ser J., Jiménez-Fernández S., Geem ZW. A Critical Review of Robustness in Power Grids Using Complex Networks Concepts. *Energies*. 2015. 8(9), 9211–9265. https://doi.org/10.3390/en8099211

5. DBSCAN. URL: https://uk.wikipedia.org/wiki/DBSCAN

6. Di Nardo A., Giudicianni C., Greco R., Herrera M., Santonastaso, G.F. Applications of Graph Spectral Techniques to Water Distribution Network Management. *Water.* 2018, 10, 45. https://doi.org/10.3390/w10010045

7. Freitas S., Yang D., Kumar S., Tong H., Chau D. H. Graph Vulnerability and Robustness: A Survey. https://doi.org/10.48550/arXiv.2105.00419

8. Gilmer J., Schoenholz S. S., Riley P. F., Vinyals O., Dahl G. E. Neural Message Passing for Quantum Chemistry. https://doi.org/10.48550/arXiv.1704.01212

9. Gjorgiev B., David A.E., Sansavini G. Cascade-risk-informed transmission expansion planning of AC electric power systems. *Electric Power Systems Research*, Volume 204, 2022, 107685, ISSN 0378-7796, https://doi.org/10.1016/j.epsr.2021.107685

10. Hernandez J. M., Van Mieghem P. Classification of graph metrics. November 2011. URL: https://www.nas.ewi.tudelft.nl/people/Piet/papers/TUDreport20111111_MetricList.pdf

11. Hines P., Balasubramaniam K., Sanchez E. C. "Cascading failures in power grids," in *IEEE Potentials*, vol. 28, no. 5, pp. 24–30, September-October 2009, doi: 10.1109/MPOT.2009.933498

12. Kadri F., Birregah B., Châtelet E. The Impact of Natural Disasters on Critical Infrastructures: A Domino Effect-based Study. *Homeland Security & Emergency Management.* 2014. 11(2), 217–241. https://doi.org/10.1515/JHSEM-2012-0077

13. Koç Y., Warnier M., Kooij R., Brazier F. Structural vulnerability assessment of electric power grids. https://doi.org/10.48550/arXiv.1312.6606

14. Mattsson L.-G., Jenelius E., Vulnerability and resilience of transport systems a discussion of recent research, *Transportation Research Part A: Policy and Practice*, vol. 81, pp. 16–34, 2015. https://doi.org/10.1016/j.tra.2015.06.002

15. Md Sami N., Naeini M. Machine Learning Applications in Cascading Failure Analysis in Power Systems: A Review. https://doi.org/10.48550/arXiv.2305.19390

16. Nair A. S., Abhyankar S., Peles S., Ranganathan P. Computational and numerical analysis of AC optimal power flow formulations on large-scale power grids. URL: https://www.osti.gov/servlets/purl/1846582

17. Noebels M., Preece R., Panteli M., "AC Cascading Failure Model for Resilience Analysis in Power Networks," in *IEEE Systems Journal*, vol. 16, no. 1, pp. 374–385, March 2022, doi: 10.1109/JSYST.2020.3037400

18. Principal component analysis. URL: https://en.wikipedia.org/wiki/Principal_component_analysis

19. Varbella A., Gjorgiev B., Sansavini G. Geometric deep learning for online prediction of cascading failures in power grids. *Reliability Engineering & System Safety,* Volume 237, 2023. https://doi.org/10.1016/j.ress.2023.109341

20. Vaswani A., Shazeer N., Parmar N., Uszkoreit J., Jones L., Gomez A. N., Kaiser L., Polosukhin I. Attention Is All You Need. https://doi.org/10.48550/arXiv.1706.03762

21. Yazdani A., Jeffrey P. Complex network analysis of water distribution systems. https://doi.org/10.48550/arXiv.1104.0121

Дата надходження статті: 10.11.2025
Дата прийняття статті: 10.12.2025
Опубліковано: 30.12.2025

УДК 004.75
DOI https://doi.org/10.32689/maup.it.2025.4.29

Євгеній ЧИЧИКАЛО
аспірант кафедри інформаційних технологій,
Сумський державний університет, y.chychykalo@itp.sumdu.edu.ua
***ORCID:** 0009-0009-5368-4657*

Віра ШЕНДРИК
кандидат технічних наук, доцент,
професор кафедри інформаційних технологій,
Сумський державний університет, v.shendryk@cs.sumdu.edu.ua
***ORCID:** 0000-0001-8325-3115*

ПРОГРАМНИЙ МОДУЛЬ МОНІТОРИНГУ АКУМУЛЯТОРНИХ БАТАРЕЙ ДЛЯ СИСТЕМИ ПІДТРИМКИ ПРИЙНЯТТЯ РІШЕНЬ З ВИКОРИСТАННЯМ ЦИФРОВОГО ДВІЙНИКА

***Анотація. Метою** роботи є розробка програмного модуля виміру ємності акумуляторних батарей з моніторингом через локальний інтерфейс та хмарний сервіс для подальшої інтеграції у проактивну систему з цифровим двійником для керування розподілом енергії у мережах з альтернативними джерелами енергії.*

***Методологія.** Було проведено аналіз сучасних тенденцій у сфері енергетики, актуальних технологій для віддаленого доступу до пристроїв завдяки огляду наукової літератури по суміжній тематиці, доступних програмних продуктів зі схожими функціональними можливостями. На їх основі були сформовані вимоги для розробки програмного модуля у вигляді UML діаграм варіантів використання та послідовності. Аналіз доступних апаратних засобів для реалізації системи моніторингу дозволив обрати необхідну модель датчику для вимірів і мікроконтролера, які задовольняють потреби обчислювальної потужності для периферійних обчислень та необхідних інтерфейсів підключення. Ітераційна модель розробки використовувалася у ході програмної реалізації та надавала доповнення функціональних можливостей на кожному етапі. А сама програмна частина базується на функціонально-орієнтованому підході до програмування з використанням архітектури із розмежуванням відповідальності, адже програмний модуль поєднує у собі три частини, що відповідають за збір та обробку даних, локальний веб-інтерфейс, хмарну інтеграцію з IoT сервісом Blynk.*

***Результати.** Проведено огляд сучасних підходів розроблення систем моніторингу та їх інтеграції у IoT-інфраструктуру. Зроблено моделювання варіантів використання програмного модуля та моделювання доступний дій акторів шляхом розробки UML діаграм. Програмний модуль написаний мовою програмування C та сумісний з ESP32 та іншими подібними мікроконтролерами на базі Arduino. Реалізовано алгоритми обчислення, та мінімізації помилок для розрахунків основних показників системи. Спроектовано дизайн локальної веб-сторінки та шаблон інтерфейсу у IoT додатку Blynk. Кожен з цих екранів відображає актуальні показники стану акумулятора, хмарна інтеграція з Blynk реалізує архівування значень та їх перегляд у вигляді графіків. Протестовано роботу програмного модуля з системою резервного живлення для приватного будинку протягом двох місяців.*

***Наукова новизна** роботи полягає у тому, що розроблений програмний модуль у своїй основі використовує такі архітектурні рішення, які надають гнучкість налаштування для інтеграції в системи прийняття рішень з цифровим двійником у якості джерела даних використання, чи накопичення енергії у акумуляторних батареях.*

***Висновок.** У роботі показано розробку програмного модуля для локального та віддаленого моніторингу користувачем стану акумуляторної батареї, що дозволить забезпечити систему підтримки прийняття рішень даними для аналізу стану подібної системи та прийняття автоматичних дій на їх основі.*

***Ключові слова:** програмний модуль, гібридна енергетична мікромережа, моніторинг, периферійне обчислення, відновлювальні джерела енергії.*

Yevhenii CHYCHYKALO, Vira SHENDRYK. SOFTWARE MODULE FOR BATTERY MONITORING FOR A DECISION-SUPPORT SYSTEM USING A DIGITAL TWIN

***Abstract. The purpose of this work** is the development of a software module for measuring battery capacity with monitoring via a local interface and a cloud service, for further integration into a proactive digital twin system for managing energy distribution in networks with renewable energy sources.*

***Methodology.** An analysis of current trends in the energy sector and relevant technologies for remote device access was conducted through a review of scientific literature on related topics and available software products with similar functionalities. Based on this analysis, requirements for the development of the software module were formulated in the form of UML use case and sequence diagrams. The analysis of available hardware for implementing the monitoring system allowed the selection of the appropriate sensor model and microcontroller, which meet the computational power requirements for edge computing and the necessary connection interfaces. An iterative development model was used during the software implementation, providing*

© Є. Чичикало, В. Шендрик, 2025

Стаття поширюється на умовах ліцензії CC BY 4.0

incremental enhancements of functional capabilities at each stage. The software part itself is based on a functionally oriented programming approach with a responsibility-separated architecture, as the software module combines three components responsible for data collection and processing, the local web interface, and cloud integration with the Blynk IoT service.

The results. *A review of modern approaches to the development of monitoring systems and their integration into IoT infrastructure was conducted. Use case modeling of the software module and modeling of actors' possible actions was performed through the development of UML diagrams. The software module is written in the C programming language and is compatible with ESP32 and other similar Arduino-based microcontrollers. Algorithms for calculation and error minimization of the system's main indicators were implemented. The design of a local web page and an interface template in the Blynk IoT application was developed. Each of these screens displays the current battery status, and cloud integration with Blynk enables archiving of values and viewing them as charts. The software module was tested with a backup power system for a private house over a period of two months. The scientific novelty of the work is that the developed software module fundamentally uses architectural solutions that provide flexibility for integration into decision-support systems with a digital twin, as a data source for usage monitoring for energy stored in batteries.*

Conclusion. *The work demonstrates the development of a software module for local and remote user monitoring of battery status, which will provide a decision-support system with data for analyzing the condition of a similar system and for taking automated actions based on this data.*

Key words: *software module, hybrid energy microgrid, monitoring, edge computing, renewable energy sources.*

Вступ. В останні роки екологічно чисті джерела енергії стають дедалі популярнішою темою для обговорення. Це пов'язано з тим, що потреби в енергії у світі постійно зростають, а це, в свою чергу, призводить до вичерпання доступних джерел енергії та завдає шкоди навколишньому середовищу. Більшість джерел енергії виробляють побічні продукти, такі як вуглекислий газ, діоксид сірки та оксиди азоту, які забруднюють певну частину навколишнього середовища, включаючи ґрунт, воду та повітря [4]. Деякі промислові процеси можна вдосконалити, щоб використовувати втрачену теплову енергію для виробництва електроенергії або опалення житлових районів [10]. Інший підхід включає використання вітрових турбін та сонячних фотоелектричних систем. Ці методи виробництва енергії можна застосовувати як у великих, так і в малих масштабах. Це також дозволяє створювати подібні системи для побутового використання.

Такі тенденції дозволяють розвивати децентралізовані системи виробництва енергії. Розподілені енергетичні системи взаємодіють з кількома джерелами енергії та називаються мультиенергетичними системами. Цей підхід має низку переваг щодо стабільності енергопостачання та уникання масштабних наслідків від несправностей [3]. З іншого боку, мультиенергетична система вимагає складного моделювання, яке вирішує проблеми поєднання різних джерел енергії з унікальними характеристиками. Це дуже важливо, оскільки слід потрібно підтримувати стабільний електричний баланс у короткі проміжки часу, та запобігати чи згладжувати можливі коливання напруги. Тому, якщо постачання деяких джерел енергії важко або неможливо передбачити, це може призвести до ситуації, коли попит на енергію перевищує пропозицію, що спричиняє дефіцит енергії [2].

З такими ж проблемами можна зіткнутися в системах виробництва альтернативної енергії побутового масштабу для активних споживачів. Такі споживачі генерують, зберігають та використовують власну енергію. Але якщо їх резервне сховище енергії повністю заряджене, надлишок енергії спрямовується до загальної електромережі. Це дозволяє їм повною мірою використовувати альтернативні джерела енергії та заощаджувати кошти на рахунках за електроенергію. І тут виникає завдання балансування локальної енергетичної системи. Вітрові турбіни або фотоелектричні установки повністю залежать від погодних умов, географічного розташування та пори року [9]. Щоб забезпечити безперебійне енергопостачання, потрібно мати можливість прогнозувати такі швидкозмінні змінні та контролювати розподіл енергії на основі цих прогнозів. У цьому випадку необхідно використовувати проактивні алгоритми керування з ймовірнісними моделями з інтеграцією цифрового двійника [6].

Проактивні алгоритми керування забезпечують стратегії керування, які здатні діяти заздалегідь до майбутньої ситуації, а не лише реагувати на поточні умови системи. Це означає, що розподіл енергії буде здійснюватися на основі прогнозу майбутнього стану системи. У випадку виробництва сонячної та вітрової енергії це буде прогноз погоди, який враховує сонячну активність та швидкість вітру. На даному етапі увага буде сфокусована на частині моніторингу, яка буде забезпечувати надходження даних до цифрового двійника для подальшого аналізу та прийняття рішень.

Аналіз останніх досліджень і публікацій. Для отримання розуміння важливості та варіантів використання засобів моніторингу у системах прийняття рішень та цифрових двійниках було проведено аналітичний огляд наукової літератури.

Трансформаційний потенціал технології цифрових двійників для вирішення проблем, пов'язаних з відновлюваними джерелами енергії, включаючи застосування сонячної енергії, представлено в роботі [5]. У цьому дослідженні показано, як технологія цифрових двійників може вирішувати критичні проблеми, включаючи оптимальне управління, невизначеність та непередбачуваність, вимоги до

ISSN 2786-5460 (Print), ISSN 2786-5479 (Online)

обслуговування, проблеми безпеки та оптимізацію енергоефективності. Цифрові двійники дозволяють здійснювати моніторинг у режимі реального часу, перевірку стану та аналіз даних для оптимізації роботи системи відновлюваної енергії шляхом інтеграції IoT, штучного інтелекту та передових обчислювальних методів. Показано ключові застосування цифрових двійників систем з використанням відновлюваних джерел енергії та сонячної енергії, включаючи можливості прогнозування, аналіз надійності, підвищення безпеки та стійкість системи. Результати дослідження [5] показують, що технології цифрових двійників пропонують значні перспективи для забезпечення гнучкого та сталого управління енергією завдяки комплексному розумінню ресурсів у режимі реального часу та проактивному системному контролю.

У роботі [8] представлена модель прогнозування для точного короткострокового прогнозування навантаження в інтелектуальних мережах на основі сонячної енергії шляхом використання технології цифрових двійників для підвищення надійності даних. Представлено ймовірнісний підхід до кількісної оцінки невизначеності для максимізації моделювання інтервалів прогнозування в середовищах відновлюваної енергії. Ця методологія реалізує інноваційний метод оцінки нижньої верхньої межі, який навчається з використанням даних інтелектуальної мережі в режимі реального часу, зібраних за допомогою систем цифрових двійників, що усуває потенційні несправності інтелектуальних вимірювальних приладів в інфраструктурі мережі. Реалізація цифрового двійника дозволяє прогнозувати навантаження завдяки застосуванню алгоритмів машинного навчання для аналізу даних інтелектуальної мережі, створенню комплексних системних моделей, які прогнозують зміни навантаження на основі факторів навколишнього середовища, таких як погодні умови, періоди доби та сезонні зміни. [8].

Стаття [11] про проактивну оптимізацію енергії в житлових будинках з прогнозами погоди та ринку заглиблюється в системи управління енергією домогосподарств, які використовують як погодні, так і ринкові дані для планування роботи приладів, управління акумуляторами та контролю виробництва сонячної енергії. Завдяки застосуванню передових прогностичних моделей та алгоритмів оцінки, цей підхід покращує комфорт домогосподарств та економію енергії, одночасно зменшує обчислювальні вимоги. Ця стаття [11] також підкреслює важливість постійного покращення точності прогнозування та обчислювальної ефективності для роботи в режимі реального часу [11].

В іншому дослідженні [12] описано аналіз ефективності використання батарей у будинках, обладнаних сонячними панелями. Показано оцінку ефективності таких систем за різних тарифних умов на електроенергію, особливо в порівнянні фіксованої та часової політики використання. У дослідженні запропоновано дві унікальні стратегії керування зарядом батарей. Вони спрямовані на максимізацію ефективності та самозабезпечення [12].

В сільськогосподарському секторі дослідження [7] показує, як можна покращити продуктивність та стійкість сонячних теплиць за допомогою проактивних стратегій управління на основі відкритих метеорологічних даних та ідентифікації системи в режимі реального часу. Завдяки інтелектуальному керуванню вентиляцією та тепловим накопиченням система ефективно використовує сонячну енергію, мінімізує теплове навантаження на рослини та знижує споживання енергії під час холодів. Використовуючи генетичні алгоритми для оптимізації клімат-контролю, рішення пропонує вимірну економію енергії та розроблено для легкої інтеграції в масове сільськогосподарське використання через онлайн-платформу MACQU, використовуючи хмарні дані та підключення до IoT [7]. Ще одне дослідження [1] стосується зусиль щодо вирішення кліматичних проблем як однієї з найбільш вразливих, в якому розглядаються поточні фотоелектричні проекти, їхня здатність до самопідтримки та прогнози до 2030 року, з акцентом на систему підтримки рішень щодо оцінки виробництва сонячної енергії для сприяння стратегічному плануванню сектору [1].

Як можна побачити з огляду наукових публікацій кожна система прийняття рішень та цифрові двійники потребують моніторингу. У таких системах моніторинг є основним джерелом даних для аналізу та керування, тому розробка засобів для його реалізації є актуальною і потребує постійного вдосконалення точності й швидкості формування показників.

Постановка завдання. Метою роботи є розроблення програмного модулю для моніторингу ємності LiFePo4 акумуляторної батареї як частини проактивної системи контролю розподілу енергії у системі з альтернативними джерелами енергії. Програмний модуль має розраховувати основні показники системи, мати веб-інтерфейс у локальній мережі користувача та передавати дані до IoT сервісу Blynk для візуального відображення стану системи з можливістю переглядати графіки основних показників за обраний відрізок часу. Програмний модуль має бути сумісним з ESP32 контролером для обробки даних та зв'язку з IoT сервісом.

Виклад основного матеріалу. Програмний модуль було розроблено мовою програмування C для сумісності з Arduino подібними мікроконтролерами, а саме ESP32, який має достатню продуктивність

та наявність необхідних інтерфейсів та протоколів підключення до мережі. Код додатку організовано у форматі функціонального програмування, де основні повторювані блоки логіки описані окремими функціями для уникнення нагромадження подібних частин алгоритму.

У ході підготовки до розробки додатку було виконано моделювання варіантів використання додатки з точки зору користувача сервісу Blynk. Діаграма варіантів використання показана на (рис. 1).

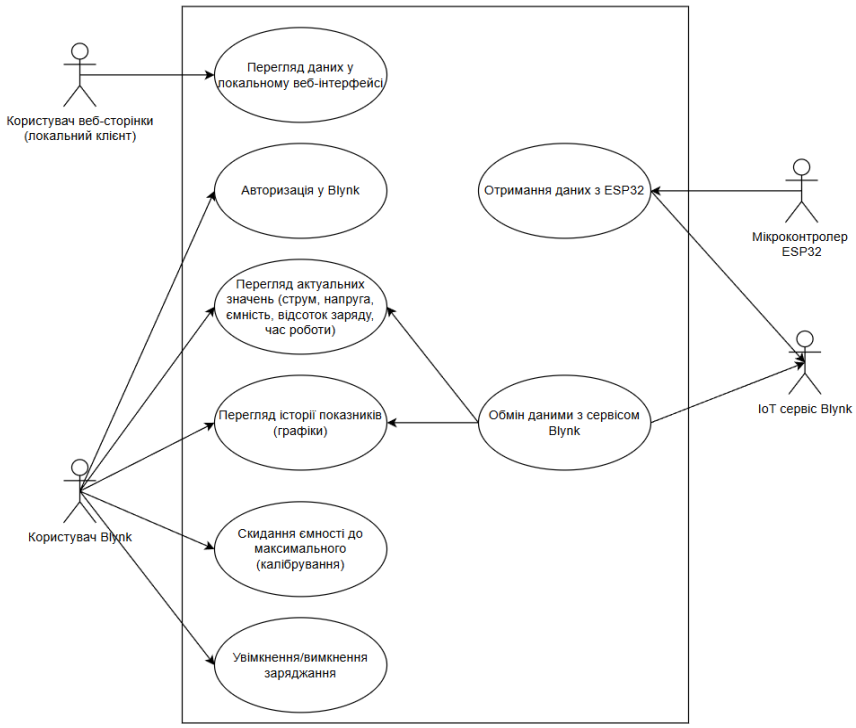

Рис. 1. Діаграма варіантів використання додатку

До акторів відносяться користувачі, які зареєстровані в сервісі Blynk та додані до організації, яка пов'язана з пристроєм-джерелом даних. Такий користувач має повний доступ до перегляду даних, графіків та має можливість керувати калібровкою та процесом заряджання акумуляторної батареї.

Варіанти використання:

– Авторизація – відповідає за реєстрацію та контроль доступу для користувачів;

– Отримання актуальних значень напруги, струму, часу автономної роботи системи чи процесу заряджання, відсоток заряду та ємність акумулятора – відповідає за відображення користувачу актуальних значень основних показників системи;

– Отримання історії показників напруги, струму у системі та ємності акумулятора – дозволяє користувачу детально переглядати стан системи у певних проміжках часу у вигляді графіків;

– Скидання значення ємності до максимальної – надає користувачу можливість провести калібрування системи розрахунку ємності акумулятора;

– Перемикач активації заряджання акумулятора зовнішнім пристроєм від мережі – дозволяє користувачу при необхідності вручну запустити процес заряджання акумулятора від мережі;

Діаграму послідовності дій користувача при роботі з програмним модулем показано на (рис. 2).

Для доступу до інтерфейсу відображення показників стану системи користувач має авторизуватися з використанням облікового запису сервісу Blynk. Далі необхідно обрати доданий до сервісу пристрій для відображення сторінки з детальними показниками, у вікні вибори пристрою відображаються три значення для зручності, а саме відсоток заряду акумулятора, напруга та струм.

У ході розробки додаток вмістив у собі три основні функціональні можливості:

– зв'язок з датчиком струму INA228 та обчислення значень струму, напруги та ємності.

– шаблон веб-сторінки локального інтерфейсу та реалізація веб-сокетів для підключення пристроїв у локальній мережі.

– реалізація авторизації та обміну даних з IoT сервісом Blynk.

ISSN 2786-5460 (Print), ISSN 2786-5479 (Online)

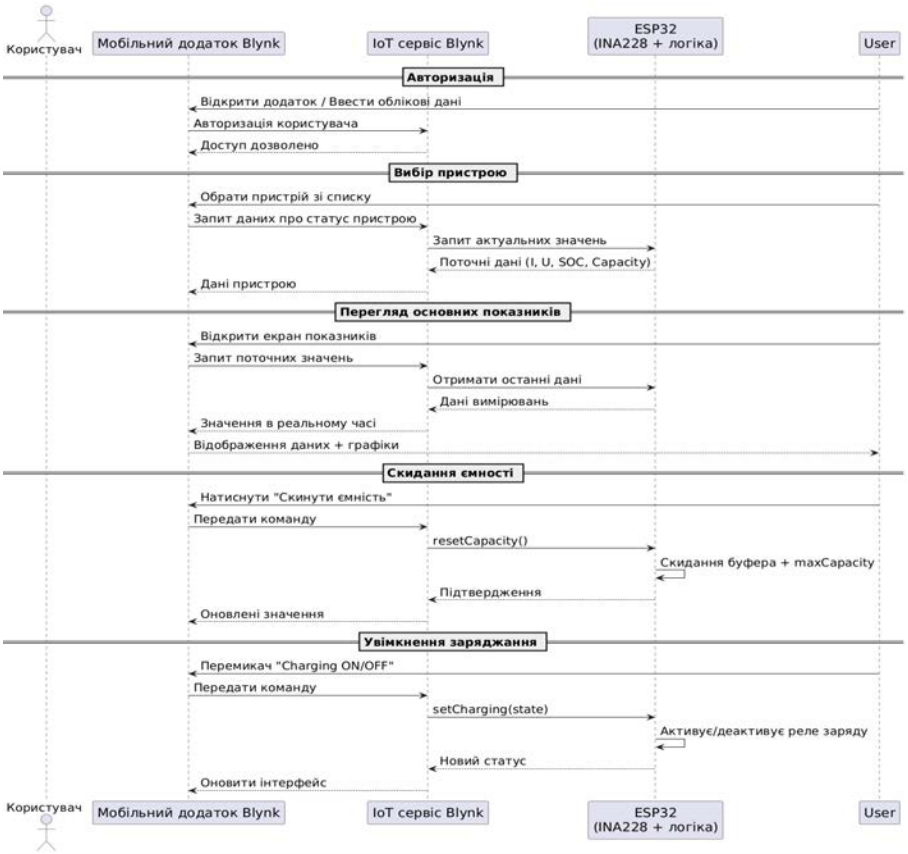

Рис. 2. Діаграма послідовності

Дані для відображення беруться з вимірювального модуля INA228 з використанням бібліотек Adafruit_INA228 та Wire, який надає можливість виміру струму до 200А через шунт, вимірювання напруги шини, вбудовані функції фільтрації необроблених даних. Даний модуль має високу точність за рахунок 20-бітного аналогово-цифрового перетворювача.

Алгоритм обробки даних зчитує струм у мА і конвертує у ампери. Для зменшення шуму показників відхилення в 0,01А не враховуються. Напруга в свою чергу конвертується у вольти, а потужність обчислюється за стандартною формулою P=U*I.

Розрахунок фактичної ємності батареї (Ar) виконується з використанням динамічного чисельного інтегрування струму за часом (кулонівський підрахунок). Кожна ітерація циклу роботи контролера визначає часовий інтервал зміни часу у годинах:

$$deltaT = (currentMillis – previousMillis) / 3600000.0$$

Для підвищення точності розрахунків та уникнення відхилення використовується буфер накопичення дрібних змін значень і обчислення додавання чи віднімання значення ємності виконується лише при досягненні значення буферу більше ніж 0,001Ar.

В свою чергу максимальна ємність при розрахунках не перевищує задану ємність акумулятора, що в свою чергу відіграє роль автоматичного калібрування при повному заряді акумулятора.

Перевагами описаного алгоритму обчислення ємності акумулятора є компенсація нестабільних вимірювань, мінімізація помилок при кулонівських підрахунках (які ведуться на проміжках десятків мілісекунд в залежності від поточного навантаження на мікроконтролер), можливість точного оцінювання заряду/розряду навіть при малих значеннях стуму.

Локальний веб-інтерфейс реалізований з використанням бібліотек ESPAsyncWebServer та AsyncTCP. З її допомогою ESP32 запускає веб-сервер, який містить адаптивну HTML/CSS сторінку, сучасний інтерфейс та автоматичне підключення до WebSocket. WebSocket-комунікація виконується завдяки формуванню контролером JSON-пакету у задані проміжки часу (залежить від бажаної частоти оновлення значень). Завдяки цьому клієнти миттєво оновлюють DOM-елементи, що забезпечує процес онлайн-моніторингу без перезавантаження веб-сторінки, а механізм автоматичного перепідключення відповідає за очистку розірваних сесій і відкриття нових.

Хмарна інтеграція реалізується з використанням IoT сервісу Blynk та відповідної бібліотеки BlynkSimpleEsp32 і WiFi для підключення до мережі Інтернет. Для контролеру ESP32 проводиться налаштування підключення до WI-FI мережі та авторизаційні дані для сервісу Blynk. З використанням функцій бібліотеки BlynkSimpleEsp32 реалізовується авторизація пристрою, зв'язування його з шаблоном інтерфейсу в Blynk та налаштовується періодична передача даних. А основні елементи інтерфейсу та прив'язка полів, графіків до значень з контролера відбувається безпосередньо за допомогою інструментів Android додатку Blynk.

Інтерфейс додатку можна розділити на хмарний та локальний. Локальний інтерфейс є веб-сторінкою, яка відображає дані для клієнта (рисунок 3).

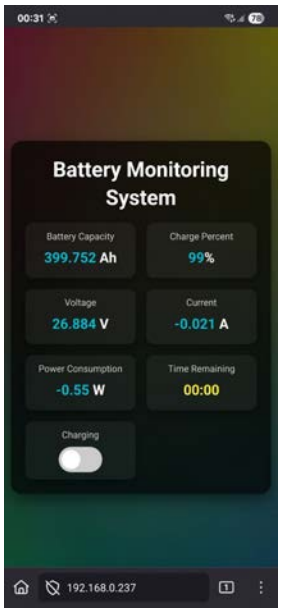

Рис. 3. Локальна веб-сторінка

Інтерфейс у додатку Blynk після проходження авторизації користувача має наступні елементи:

– Екран вибору пристрою, що містить кілька основних показників системи та статус наявності зв'язку з пристроєм;

– Екран з основними показниками системи, кнопкою скидання ємності акумулятора до максимального значення для калібрування та інтерактивні графіки які дозволяють виконувати перемотування часових періодів та обирати детальність відображення даних на графіку;

Екран вибору пристрою є блочним відображенням наявних пристроїв. Для кожного з них відображається назва, статус підключення та обрані основні показники для швидкого доступу на першому екрані додатку (рисунок 4).

Рис. 4. Екран вибору пристрою

ISSN 2786-5460 (Print), ISSN 2786-5479 (Online)

На головному екрані користувач отримує можливість візуального та числового відображення показників струму, напруги, відсотку заряду та ємності акумулятора, кнопку скидання ємності та розрахунковий час автономної роботи системи чи заряджання. В додаток до цього наявні графіки з записом історії показників для трьох основних параметрів системи. Графіки мають можливість перемотувати часові проміжки та автоматично підлаштовують масштаб значень в залежності від мінімального та максимального значення у видимій зоні інтерфейсу (рисунок 5).

Рис. 5. Головний екран

Програмний модуль було протестовано у системі резервного живлення приватного будинку протягом двох місяців. Основними компонентами були джерело безперебійного живлення та LiFePo4 акумулятор ємністю 400Ar. Реалізовані алгоритми моніторингу показали точне обчислення ємності акумулятора, кожна ітерація якого відбувається протягом 10–18 мілісекунд, що достатньо для врахування малих значень струму і уникнення накопичення похибки обчислень. Під час тестування локальна веб-сторінка була налаштована на оновлення даних раз за секунду (3600 запитів/годину) для перевірки стабільності роботи мікроконтролера при підвищеному навантаженні. Для хмарного IoT сервісу Blynk був налаштований мінімальний дозволений період передачі даних, а саме 1200 запитів за годину. Такі налаштування дозволяють переглядати актуальний стан системи живлення та максимальну детальність накопичених значень.

Висновки. Розроблено програмний модуль для моніторингу ємності акумуляторів та основних показників системи з їх використанням. У ході розробки були використані сучасні тенденції створення програмних модулів з інтеграцією хмарних технологій та веб-інтерфейсу, а у ході реалізації було обрано апаратні компоненти системи та бібліотеки для програмної реалізації функціоналу та алгоритмів обчислення. У ході програмної реалізації було використано мову програмування C, бібліотеки Adafruit_INA228, Wire для зв'язку та зчитування даних з датчика INA228, ESPAsyncWebServer і AsyncTCP для реалізації локальної веб-сторінки з підключенням через WebSocket, BlynkSimpleEsp32 і WiFi для підключення до сервісу Blynk і мережі Інтернет. Даний програмний комплекс був протестований і готовий для використання користувачами у системах з акумуляторами для моніторингу їх стану та поточних показників. Його використання має пряме відношення до системи підтримки прийняття рішень у ролі джерела даних стану системи. Подальший розвиток полягає у інтеграції даної системи моніторингу до проактивної системи керування розподілу енергії з цифровим двійником для енергетичних мереж користувачів з альтернативними джерелами енергії.

Список використаних джерел:

1. Abdessalem W. Ben, Jayari I., Karaa S. Climate Change: The Challenge of Tunisia and Previsions for Renewable Energy Production. 2023. DOI: https://doi.org/10.1007/978-3-031-22456-0_6.

2. Afkar M., Gavagsaz-Ghoachani R., Phattanasak M., Pierfederici S. Decentralized Passivity-based Control of Two Distributed Generation Units in DC Microgrids. 2023 8th International Conference on Technology and Energy Management (ICTEM). Babol, Iran, 2023. P. 1–5. DOI: https://doi.org/10.1109/ICTEM56862.2023.10084246.

3. Belaid M., Chandra A., Rezkallah M., Ibrahim H. Performance Study of a Decentralized Control Strategy for Hybrid Standalone Power Generation System. IECON 2021 – 47th Annual Conference of the IEEE Industrial Electronics Society. Toronto, Canada, 2021. P. 1–6. DOI: https://doi.org/10.1109/IECON48115.2021.9589265.

4. Ghahfarrokhi M., Khademvatani A. Investigating the Impact of Fossil Fuel Prices on CO_2 Emissions in Iran and China. 2024 9th International Conference on Technology and Energy Management (ICTEM). Behshar, Mazandaran, Iran, 2024. P. 1–13. DOI: https://doi.org/10.1109/ICTEM60690.2024.10631921.

5. Kavousi-Fard A., Dabbaghjamanesh M., Jafari M., Fotuhi-Firuzabad M., Dong Z. Y., Jin T. Digital Twin for mitigating solar energy resources challenges: A Perspective Review. Solar Energy. 2024. DOI: https://doi.org/10.1016/j.solener.2024.112561.

6. Lasemi M. A., Arabkoohsar A., Hajizadeh A. Optimal Design of Green Energy Hub Considering Multi-Generation Energy Storage System. 2022 IEEE International Conference on Power Systems Technology (POWERCON). Kuala Lumpur, Malaysia, 2022. P. 1–6. DOI: https://doi.org/10.1109/POWERCON53406.2022.9929923.

7. Li L., Li J., Wang H., Georgieva T., Ferentinos K., Arvanitis K., Sigrimis N. Sustainable energy management of solar greenhouses using open weather data on MACQU platform. *International Journal of Agricultural and Biological Engineering*. 2018. 11(1). DOI: https://doi.org/10.25165/j.ijabe.20181101.2713.

8. Meng F., Wang X. Digital twin for intelligent probabilistic short-term load forecasting in solar based smart grids using shark algorithm. Solar Energy. 2023. DOI: https://doi.org/10.1016/j.solener.2023.111870.

9. Prajapati D. K., Joshi R. A Comparison of Machine Learning Methods for Forecasting Solar Energy Production. 2024 International Conference on Advances in Computing Research on Science Engineering and Technology (ACROSET). Indore, India, 2024. P. 1–6. DOI: https://doi.org/10.1109/ACROSET62108.2024.10743318.

10. Savov K.-K., Stoilov D., Hadzhiyska K. Model for energy flow optimization and planning. 2022 14th Electrical Engineering Faculty Conference (BulEF). Varna, Bulgaria, 2022. P. 1–5. DOI: https://doi.org/10.1109/BulEF56479.2022.10021158.

11. Simmons C., Arment J., Powell K., Hedengren J. Proactive energy optimization in residential buildings with weather and market forecasts. *Processes.* 2019. 7(12). DOI: https://doi.org/10.3390/pr7120929.

12. Wang Z., Luther M., Horan P., Matthews J., Liu C. Technical and economic analyses of PV battery systems considering two different tariff policies. *Solar Energy*. 2024. (267). DOI: https://doi.org/10.1016/j.solener.2023.112189.

Дата надходження статті: 25.11.2025
Дата прийняття статті: 10.12.2025
Опубліковано: 30.12.2025

УДК 004.415.2
DOI https://doi.org/10.32689/maup.it.2025.4.30

Ірина ЧУБ
кандидат технічних наук, старший викладач кафедри автоматизації та комп'ютерно-інтегрованих технологій,
Державний біотехнологічний університет, chub.irina.nik@gmail.com
***ORCID:** 0000-0002-5546-3286*

Катерина ДЕМЧЕНКО
кандидат технічних наук,
доцент кафедри автоматизації та комп'ютерно-інтегрованих технологій,
Державний біотехнологічний університет, yayaska31@gmail.com
***ORCID:** 0000-0002-3168-5351*

Сергій ТИМЧУК
доктор технічних наук, професор кафедри інформаційних технологій,
Сумський державний університет, s.tymchuk@itp.sumdu.edu.ua
***ORCID:** 0000-0002-8600-4234*

АВТОМАТИЗОВАНА ІДЕНТИФІКАЦІЯ БІОЕСТИМАТОРІВ АКТИВНОГО МУЛУ НА ОСНОВІ МЕРЕЖЕВОЇ МОДЕЛІ YOLOV8

Анотація. *У статті представлено результати дослідження, спрямованого на розробку та навчання нейронної мережі глибокого навчання YOLOv8 для автоматизованого розпізнавання біоестиматорів на мікроскопічних зображеннях активного мулу.*

Мета роботи. *Метою дослідження є розробка та апробація моделі автоматичного розпізнавання біоестиматорів активного мулу для підвищення ефективності моніторингу стану біологічного очищення стічних вод у режимі реального часу. Основним завданням є створення інтелектуального інструменту, здатного ідентифікувати морфологічні об'єкти (біоестиматори) на зображеннях активного мулу, що дозволяє оперативно оцінювати якість біопроцесів та адаптивно керувати технологічними параметрами очищення.*

Методологія. *У роботі використано сучасну архітектуру YOLOv8, яка поєднує високу швидкодію, точність і здатність до навчання на відносно малих вибірках даних. Навчання моделі здійснювалося на маркованих зразках мікроскопічних зображень, що містили два типи біоестиматорів активного мулу. Проведено аналіз узгодженості результатів навчання з валідаційними даними та оцінку стабільності роботи моделі за різних умов освітлення та контрасту.*

Наукова новизна. *Уперше продемонстровано можливість застосування архітектури YOLOv8 для задачі автоматичного розпізнавання біоестиматорів активного мулу. Модель показала здатність до коректного виявлення більшості біоестиматорів та стабільну роботу навіть за складніших умов обробки зображень. Підхід відкриває перспективи для створення інтелектуальних систем моніторингу біологічних процесів очищення, здатних до самоадаптації та прийняття рішень у реальному часі.*

Висновки. *Проведене дослідження підтвердило ефективність використання моделі YOLOv8 для ідентифікації біоестиматорів активного мулу. Отримані результати свідчать про задовільну точність роботи моделі на етапі демонстраційного навчання, а подальше розширення навчальної вибірки дозволить підвищити точність і надійність системи для промислового застосування. Запропонований підхід може стати основою для створення автоматизованих систем моніторингу стану активного мулу та управління біологічним очищенням стічних вод.*

Ключові слова: *розпізнавання об'єктів, автоматичний аналіз зображень, глибоке навчання, нейромережа, YOLOv8, біоестиматори..*

Iryna CHUB, Kateryna DEMCHENKO, Serhiy TYMCHUK. AUTOMATED IDENTIFICATION OF ACTIVATED SLUDGE BIOINDICATORS BASED ON THE YOLOV8 NETWORK MODEL

Abstract. *The paper presents the results of a study focused on the development and training of a YOLOv8 deep learning neural network for the automated recognition of bioindicators in microscopic images of activated sludge.*

The aim *of the research is to develop and test a model for automatic recognition of activated sludge bioindicators to improve the efficiency of real-time monitoring of the biological wastewater treatment process. The main task is to create an intelligent tool capable of identifying morphological objects (bioindicators) in activated sludge images, enabling rapid assessment of bioprocess performance and adaptive control of treatment parameters.*

Methodology. *The study employs the modern YOLOv8 architecture, which combines high processing speed, accuracy, and the ability to train on relatively small datasets. The model was trained on labeled samples of microscopic images containing*

© І. Чуб, К. Демченко, С. Тимчук, 2025

Стаття поширюється на умовах ліцензії CC BY 4.0

two types of activated sludge bioindicators. The training results were validated using a separate dataset, and the model's stability was evaluated under varying lighting and contrast conditions.

Scientific novelty. *For the first time, the applicability of the YOLOv8 architecture to the task of automatic recognition of activated sludge bioindicators has been demonstrated. The model showed the ability to accurately detect most bioindicators and maintained stable performance even under complex image conditions. This approach opens up new possibilities for the development of intelligent monitoring systems for biological treatment processes, capable of self-adaptation and real-time decision-making.*

Conclusions. *The conducted study confirmed the effectiveness of using YOLOv8 for the identification of activated sludge bioindicators. The obtained results demonstrate satisfactory model accuracy at the demonstration training stage, while further dataset expansion is expected to improve system precision and reliability for industrial applications. The proposed approach can serve as the basis for the development of automated systems for monitoring activated sludge condition and controlling biological wastewater treatment processes.*

Key words: *object recognition, automatic image analysis, deep learning, neural network, YOLOv8, bioindicators, activated sludge.*

Вступ. Управління технологічними процесами очищення стічних вод доводиться здійснювати в умовах інформаційної невизначеності, пов'язаної зі складністю перебігу біохімічного процесу. Складність очищення полягає в тому, що задовільну роботу біореакторів необхідно забезпечувати в умовах постійно змінюваних експлуатаційних параметрах (зміна складу і об'єму стічних вод тощо) [6, 3]. За даних обставин застосування традиційних методів управління не є достатньо ефективним. Складність регулювання біологічних процесів у цих системах пов'язана з нестабільністю біологічної системи, якою складно керувати [4]. Активний мул є складним біоценозом, який включає бактерії та найпростіших організмів. Управління біоценозом активного мулу за умов постійного надходження стічних вод є вкрай складним завданням, а існуючі системи моніторингу не забезпечують прогнозування та регулювання цього біологічного об'єкта. Для виконання цього завдання найбільше підходить метод біоестимації [1]. Біоестімація – це раніше розроблений метод контролю та прогнозування біоценозу мікроорганізмів активного мулу в процесі біологічного очищення стічних вод. Основною проблемою у використанні цієї методики є складність визначення біоестиматорів. Тому що біоестиматори – це не види, а це екологічні групи зі схожою реакцією, тобто в одну групу можуть входити і найпростіші і бактерії. Застосування моделі YOLOv8 як основи програмного забезпечення для розпізнавання біоестиматорів у активному мулі обгрунтована та може зробити процес розпізнавання автоматичним, що значно спростить використання та визначення порогових значень біоестиматорів. Нейронні мережі у цьому випадку застосовуються для розпізнавання та аналізу біоестиматорів і прогнозування змін у мікробній біоті активного мулу.

Аналіз останніх досліджень і публікацій. Сучасні системи SCADA очисних споруд забезпечують моніторинг тисяч змінних у режимі реального часу, що є невід'ємною складовою контролю якості очищення води [6, 9]. На підставі функціонального та структурного аналізу систем керування біологічними очисними спорудами дослідники дійшли висновку, що застосування нейронних мереж є науково обґрунтованим і перспективним напрямом розвитку систем автоматизованого управління. У ряді робіт розглянуто нейромережне моделювання процесів очищення стічних вод [15, 2, 13, 11, 14]. Зокрема, автори [14] пропонують використання гібридних моделей нейронних мереж як адаптивних систем керування, здатних формувати керуючі сигнали для виконавчих механізмів технологічного процесу.

Паралельно з розвитком методів керування, значного поширення набули технології автоматичного аналізу зображень (комп'ютерного зору), що належать до галузі машинного навчання та штучного інтелекту. Їх метою є вилучення інформації з цифрових зображень, розпізнавання об'єктів і віднесення їх до відповідних класів. Розвиток комп'ютерного зору бере початок із перших досліджень у галузі автоматичної ідентифікації об'єктів, спрямованих на створення систем, здатних інтерпретувати візуальну інформацію. Новий етап розвитку настав із появою згорткових нейронних мереж, яка започаткувала еру глибокого навчання. Подальші архітектури – Faster R-CNN, YOLO, SSD – забезпечили високу швидкодію й точність виявлення об'єктів [10].

Сьогодні системи комп'ютерного зору успішно застосовуються в робототехніці, транспорті, медицині, промисловості та екологічному моніторингу [12]. Слід зазначити, що попри доведену ефективність нейронних мереж у задачах розпізнавання образів [16, 5], їх застосування в системах очищення стічних вод для автоматичного розпізнавання спільнот мікроорганізмів поки що обмежене. Серед сучасних моделей архітектура YOLOv8 вважається однією з найточніших і найшвидших систем виявлення об'єктів, що поєднує глибоке навчання та високу узагальнювальну здатність [5]. У даній роботі саме YOLOv8 обрано як основу програмного забезпечення для автоматизованого розпізнавання біоестиматорів активного мулу на основі обробки мікроскопічних зображень.

Метою цієї роботи є розробка та апробація моделі автоматичного розпізнавання біоестиматорів активного мулу для підвищення ефективності моніторингу стану біологічного очищення стічних вод

ISSN 2786-5460 (Print), ISSN 2786-5479 (Online)

у режимі реального часу. Основним завданням є створення інтелектуального інструменту, здатного ідентифікувати морфологічні об'єкти (біоестиматори) на зображеннях активного мулу, що дозволяє оперативно оцінювати якість біопроцесів та адаптивно керувати технологічними параметрами очищення.

Виклад основного матеріалу. Метод використання автоматичного аналізу зображень грунтується на застосуванні моделі YOLOv8 як основи програмного забезпечення для ідентифікації біоестиматорів у активному мулі.

Біологічний матеріал, використаний для дослідження, був взятий з однієї очисної станції очищення стічних вод, яка є типовою для України. До складу очисних споруд входять системи механічних та біологічних очисних споруд, що очищують міські стічні води. Наведемо приклади вибіркових біоестиматорів (рис. 1).

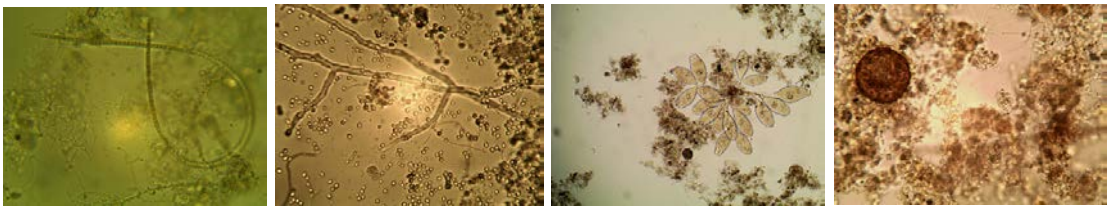

Рис. 1. Приклади біоестиматорів у активному мулі підприємства:
1–біоестиматор № 9 Ціанобактерії (Beggiatoa alba); 2 – біоестиматор № 8 Гіфоміцети;
3 – біоестиматор № 4 Прікріплені інфузорії; 4 – біоестиматор № 6 Бентосні раковинні

Для розпізнавання біоестиматорів у зразках активного мулу використано модель YOLOv8, що поєднує високу швидкість обробки з високою точністю виявлення мікрооб'єктів [5]. Особливістю YOLOv8 є одноетапний підхід до виявлення, що значно пришвидшує аналіз зображень у порівнянні з багатокроковими методами. Завдяки anchor-free механізму, оптимізованому Python-пакету та можливості швидкого перенавчання, модель легко адаптується до специфічних задач мікробіологічного аналізу [5].

Для розпізнавання біоестиматорів не виявилося стандартного набору моделей YOLOv8. Тому виникла потреба у створенні власної моделі у відповідності зі специфікою мікроскопичних даних та класифікацією біоестиматорів. Модель YOLOv8 була навчена для класифікації та локалізації двох типів біоестиматорів. Це біоестиматор № 4 – Прікріплені інфузорії і біоестиматор № 6 – Бентосні раковинні. Для цього було створено власну модель YOLOv8 за наступною послідовністю дій.

Спочатку, обираємо зображення на яких будемо навчати модель. Далі для кожного зображення за допомогою Image Class Selector [8] визначаємо марковані зразки що будуть безпосередньо задіяні у навчанні для кожного класса.

На наступному етапі експортуємо марковані фрагменти у Yolov8 сумісний формат для подальшого використання у навчанні. При чому кожен файл зображення має відповідний текстовий файл згенерований Image Class Selector що містить номер класу та уніфіковані координати маркованих фрагментів. Зразок:

0 0.761086 0.532520 0.331486 0.464154

0 0.140798 0.581301 0.274945 0.342942

Далі у робочій папці створюємо папку dataset.min розподіляємо файли наступним чином (рис. 2).

Наступний крок: у робочій папці створюємо файл dataset.min.yaml що відповідатиме структурі вишче:

train: dataset.min/images/train;

val: dataset.min/images/val;

nc: 2 # number of classes;

names: ['B4', 'B6']

Згідно з рекомендаціями, наведеними на ресурсі [7], здійснюється встановлення необхідного програмного забезпечення та ініціюється процес навчання моделі за допомогою відповідної команди:

yolo detect train data=dataset.min.yaml

model=yolov8m.pt epochs=50 imgsz=960,1280

Слід зауважити, що:

– під час роботи з мікроскопічними зображеннями необхідно зберігати їхню оригінальну роздільну здатність (imgsz = 960×1280);

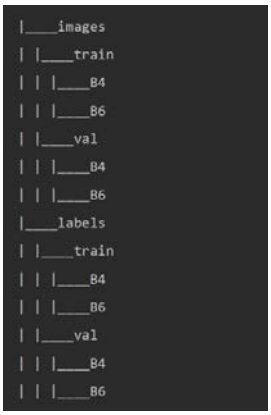

Рис. 2. Структура робочої директорії проєкту з розподілом файлів labels – містить відповідні текстові файли маркувань; B4, B6 – відповідні класи; train – тренувальна вибірка; val – валідаційна вибірка

– кількість епох навчання становить 50; однак у разі промислового застосування доцільно використовувати 100 епох;

– щодо моделі yolov8m.pt, її використання передбачає додаткове налаштування параметрів для оптимізації точності розпізнавання.

У моделях сімейства YOLOv8 позначення буквами n, s, m, l, x (наприклад yolov8m.pt – m) відображає масштаб моделі, який визначає співвідношення між швидкодією, вимогами до обчислювальних ресурсів та точністю розпізнавання:

– n (nano) – найменша модель, оптимізована для роботи на центральному процесорі (CPU), мобільних пристроях або Raspberry Pi. Забезпечує високу швидкодію, проте має обмежену здатність до розпізнавання складних або дрібних об'єктів.

– s (small) – базовий варіант, який характеризується прийнятною точністю та високою швидкістю роботи на графічних процесорах (GPU). Доцільний для вирішення відносно простих завдань.

– m (medium) – модель середнього рівня, що забезпечує підвищену точність, особливо під час розпізнавання дрібних об'єктів (зокрема, мікроорганізмів). Рекомендований обсяг пам'яті GPU – 4–6 ГБ.

– l (large) та x (xlarge) – моделі з максимальною точністю, призначені для навчання на великих наборах даних, але потребують значних обчислювальних ресурсів (не менше 12 ГБ відеопам'яті).

Компроміс між швидкодією та точністю полягає в наступному:

– YOLOv8n – оптимальна для роботи в реальному часі на слабких пристроях, але має нижчу якість детекції;

– YOLOv8s – забезпечує збалансоване співвідношення швидкодії та точності;

– YOLOv8m – оптимальний вибір для задач, що потребують високої точності розпізнавання дрібних об'єктів за наявності достатніх обчислювальних ресурсів;

– YOLOv8l/x – застосовується у випадках, коли доступні потужні GPU та великі обсяги навчальних даних.

Після завершення навчання отримуємо результати класифікації, зокрема:

– runs/detect/train/weights/best.pt – файл, що містить найкращі вагові коефіцієнти моделі за підсумками тренування. Тепер стає можливим отримання результатів класифікації.

```
from ultralytics import YOLO
import cv2
# 1. Load a pretrained or custom model
model = YOLO("runs/detect/train/weights/best.pt")
# 2. Load an image
image_path = "b6-1.jpg"
img = cv2.imread(image_path)
# 3. Run inference
results = model(image_path, conf=0.5, show=True)
# 4. Process results
for r in results:
for box in r.boxes:
```


ISSN 2786-5460 (Print), ISSN 2786-5479 (Online)

```
cls_id = int(box.cls[0]) # class id
conf = float(box.conf[0]) # confidence
xyxy = box.xyxy[0].tolist() # bounding box (x1, y1, x2, y2)
print(f"Class: {model.names[cls_id]}, Confidence: {conf:.2f}, BBox: {xyxy}")
# Draw bounding box
x1, y1, x2, y2 = map(int, xyxy)
cv2.rectangle(img, (x1, y1), (x2, y2), (0, 255, 0), 2)
cv2.putText(img, f"{model.names[cls_id]} {conf:.2f}",
(x1, y1 – 5), cv2.FONT_HERSHEY_SIMPLEX, 0.5,
(0, 255, 0), 2)
# 5. Show result
cv2.imshow("Detections", img)
cv2.waitKey(0)
cv2.destroyAllWindows()
```

Пояснення щодо наведеного коду:

– runs/detect/train/weights/best.pt – файл, (результат тренування) що містить найкращі вагові коефіцієнти моделі за підсумками тренування;

– b6-1.jpg – зображення, використане для тестування ефективності навченої моделі.

На (рис. 3) показані результати роботи навченої моделі YOLOv8 за наведеним алгоритмом, яка виконує детекцію двох біоестиматорів на мікроскопічних зображеннях активного мулу.

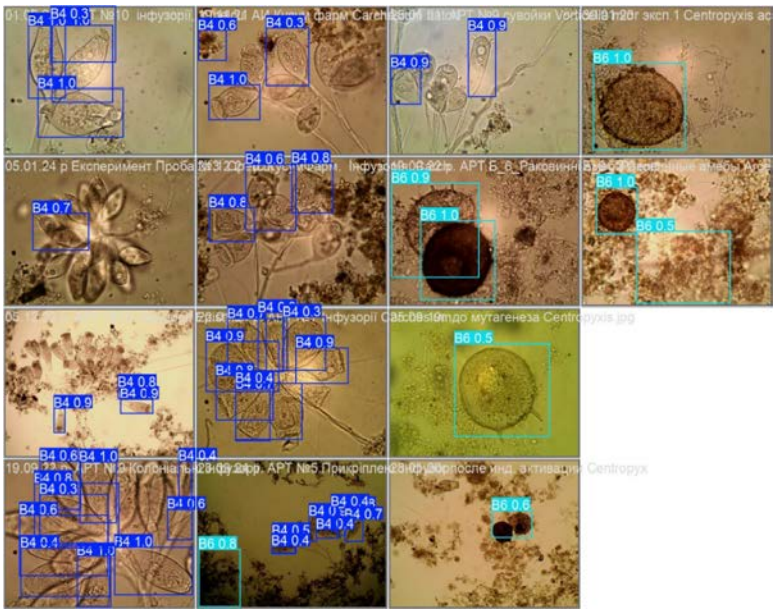

Рис. 3. Результати роботи з навчання моделі що розробляється

На кожному фото, рис. 3, (фрагменті слайду) модель виявила об’єкти двох типів. B4 (сині рамки) – один із біоестиматорів (ймовірно, інфузорії, як видно по морфології). B6 (блакитні рамки) – інший біоестиматор (зовнішньо – амебоподібні організми). Біля кожної рамки вказано клас і ймовірність (наприклад: B4 0.9 – модель впевнена на 90%, що це біоестиматор класу B4).

Для класу B4 (сині рамки) модель виявляє численні об’єкти на різних зображеннях. Ймовірності розпізнавання здебільшого високі – від 0.6 до 1.0, що свідчить про впевнене розпізнавання.

Для класу B6 (блакитні рамки) об’єктів менше, але ймовірність також висока: 0.5–1.0, з кількома прикладами повністю впевнених детекцій (1.0).

Модель здатна коректно локалізувати межі об'єктів – рамки досить точно охоплюють тіла клітин. Модель демонструє здатність розпізнавати об’єкти навіть при накладанні, різному масштабі та освітленні, що особливо важливо для обробки біологічних зразків.

Високі значення ймовірності детекції (0.8–1.0) для більшості випадків, хоча це лабораторні умови, свідчать про стійке навчання моделі та формування інформативних ознак обох біоестиматорів.

Наявність декількох детекцій з нижчою впевненістю (0.3–0.5) може бути зумовлена поганим фокусуванням або частковим перекриттям об’єктів і не свідчить про хибні спрацювання.

Для моделі YOLOv8 для розпізнавання двох біоестиматорів отримали результати тренування – на графіках, (рис. 4), видно криві втрат (loss) і метрик точності/повноти.

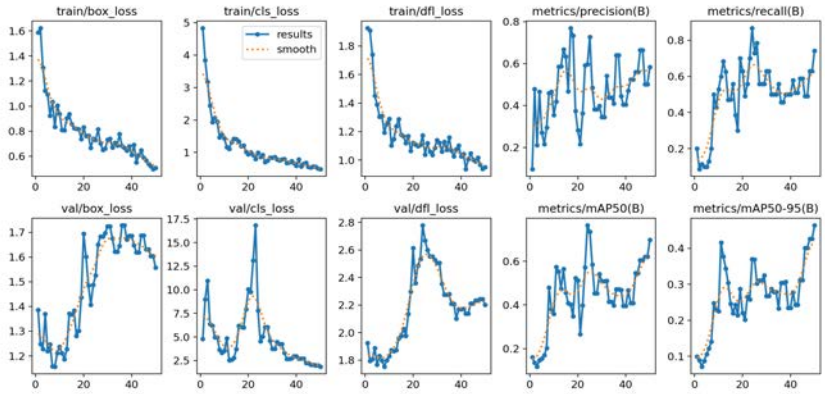

Рис. 4. Результати навчання моделі YOLOv8 для розпізнавання двох типів біоестиматорів активного мулу: криві втрат (train/val loss) та динаміка метрик точності (precision), повноти (recall) і середньої точності (mAP)

Нижче наведено аналітичний опис що відображає ймовірність, точність і придатність YOLOv8 для задачі розпізнавання біоестиматорів.

Отримані результати свідчать, що модель YOLOv8 демонструє задовільний рівень точності для тестових умов і може бути застосована як інструмент первинної автоматичної ідентифікації біоестиматорів**.**

У результаті навчання моделі YOLOv8 для розпізнавання двох типів біоестиматорів було отримано стабільне зниження значень функцій втрат під час тренування (train/box_loss, train/cls_loss, train/dfl_loss), що свідчить про ефективне наближення моделі до цільового простору ознак. Хоча на валідаційній вибірці (val/box_loss, val/cls_loss, val/dfl_loss) спостерігались певні флуктуації, зокрема різке зростання val/cls_loss у проміжку 15–25 епох, загальна тенденція до зменшення втрат наприкінці навчання підтверджує здатність моделі до узагальнення. За фінальними метриками точності отримано значення precision ≈0.65**,** recall ≈0.62**,** mAP@50 ≈0.65 **та** mAP@50–95 ≈0.38, що відповідає середньому рівню коректності класифікації та локалізації об'єктів на зображеннях. Таким чином, імовірність правильного розпізнавання біоестиматора, зазаначимо що це для обмеженої вибірки, при його виявленні становить близько 60–70%**,** що є задовільним результатом для тестових умов. З огляду на отримані показники, модель YOLOv8 можна вважати придатною для використання як базового інструмента автоматичної ідентифікації біоестиматорів, із потенціалом подальшого підвищення точності шляхом збільшення обсягу навчальної вибірки, балансування класів і застосування технік донавчання. Треба зауважити, що метрики навчання наведені вище будуть незадовільними при використанні у промислових умова та наведені виключно у демонстраційних цілях. Її основні переваги для такої задачі:

– здатність одночасно виявляти та класифікувати кілька об'єктів на зображенні;
– висока швидкість обробки (придатна для подальшої інтеграції в реальному часі);
– можливість подальшого донавчання на більшому наборі даних для підвищення mAP та recall.

Для практичного застосування у виробничих або лабораторних умовах доцільно:

– збільшити розмір навчальної вибірки;
– збалансувати кількість зразків для обох біоестиматорів;
– використати аугментацію зображень (збільшення варіативності вхідних даних);
– провести fine-tuning з меншою швидкістю навчання (learning rate) для покращення узагальнюючої здатності.

Висновки. Проведене дослідження підтвердило доцільність і ефективність застосування архітектури глибокої нейронної мережі YOLOv8 для автоматизованого розпізнавання біоестиматорів активного мулу на мікроскопічних зображеннях. Результати дослідження свідчать про здатність моделі коректно ідентифікувати та локалізувати більшість біоестиматорів навіть за різних умов освітлення та контрасту, що може бути використано для вдосконалення систем управління процесом біологічного очищення стічних вод. Це підтверджує перспективність використання методів нейронних мереж для створення інтелектуальних систем моніторингу стану активного мулу у системах біологічного очищення стічних вод.

ISSN 2786-5460 (Print), ISSN 2786-5479 (Online)

Таким чином, застосування моделі YOLOv8 у поєднанні з методом біоестимації відкриває перспективи створення інтелектуальних систем моніторингу стану активного мулу, здатних до адаптивного керування технологічними параметрами процесу очищення стічних вод у реальному часі. Подальші дослідження доцільно спрямувати на розширення та балансування навчальної вибірки, удосконалення методів донавчання та інтеграцію моделі у промислові системи підтримки прийняття рішень для підвищення надійності та точності прогнозування.

Список використаних джерел:

1. Забара І. І. Саморегуляція активного мулу. Екологічна безпека: проблеми і шляхи вирішення: зб. наук. статей XVIII Міжнародної науково-практичної конференції (м. Харків, 15–16 вересня 2022 р.) / УКРНДІЕП. Харків, 2022. С. 167–174.

2. Матвійчук М. Оптимізація стічних вод за допомогою нейронної мережі при очищенні промислових стічних вод. Рівне: НУВХП. 2023. Т. 28, № 2. С. 107–112. DOI: 10.15407/jai2023.02.107.

3. Alekseevsky D. G., Chernysh Ye. Yu., Shtepa V. N. Formalization of the task of creating a mathematical model of combined wastewater treatment processes. *Journal of Engineering Sciences*. 2021. Vol. 8, No. 2. P. H1–H7. DOI: 10.21272/jes.2021.8(2).h1.

4. Chub I., Airapetian T., Karahiaur A., Zabara I. The use of biological activation of microorganisms of activated sludge to increase the efficiency of wastewater treatment. *AIP Conference Proceedings*. 2023. Vol. 2490, Issue 1. Art. no. 060033. DOI: 10.1063/5.0123327.

5. Dziadosz M., Majerek D., Łagód G. Microscopic Studies of Activated Sludge Supported by Automatic Image Analysis Based on Deep Learning Neural Networks. *Journal of Ecological Engineering*. 2024. Vol. 25, No. 4. P. 360–369. DOI: 10.12911/22998993/185317.

6. Haluza A., Shtepa V., Yushenko V. Development of control and forecasting system for the effective functioning of biological wastewater treatment plants in the city of Vitebsk based on neural networks. Herald of Polotsk State University. Series F: Civil Engineering. *Applied Sciences.* 2023. No. 35(3). P. 2–10. DOI: 10.52928/2070-1683-2023-35-3-2-10.

7. How to install YOLOv8. URL: https://yolov8.org/how-to-install-yolov8/ (дата звернення: 19.10.2025).

8. Image Class Selector. URL: https://github.com/buchslava/image-class-selector (дата звернення: 19.10.2025).

9. Moldovan A., Nuca I. Automation of Wastewater Treatment Plant. 2019 International Conference on Electromechanical and Energy Systems (SIELMEN), 9–11 October 2019, Craiova, Romania. IEEE, 2019. DOI: 10.1109/SIELMEN.2019.8905867.

10. Redmon J. You Only Look Once: Unified, Real-Time Object Detection. Proceedings of the IEEE Conference on Computer Vision and Pattern Recognition (CVPR). 2016. P. 779–788. DOI: 10.1109/CVPR.2016.91.

11. Singh N. D., Murugamani C., Kshirsagar P., Tirth V., Islam S., Qaiyum S., Suneela B., Duhayyim M.A., Waji Y.A. IOT based smart wastewater treatment model for industry 4.0 using artificial intelligence. *Scientific Programming*. 2022. Article ID 5134013. DOI: 10.1155/2022/5134013.

12. Stawarczyk M., Stawarczyk K. Use of the ImageJ program to assess the damage of plants by snails. *Chemistry-Didactics-Ecology-Metrology*. 2015. Vol. 20, No. 1–2.

13.Tarafdar A., Shahi N. Ch., Singh A., Sirohi R. Artificial neural network modeling of water activity: a low energy approach to freeze drying. *Food and Bioprocess Technology*. 2018. Vol. 11, No. 1. P. 164–171. DOI: 10.1007/s11947-017-2002-4.

14. Wang Z., Dai H., Chen B., Cheng S., Sun Y., Zhao J., Guo Z., Cai X., Wang X., Li B., Geng H. Effluent quality prediction of the sewage treatment based on a hybrid neural network model: Comparison and application. *Journal of Environmental Management*. 2024. Vol. 351. Art. no. 119900. DOI: 10.1016/j.jenvman.2023.119900.

15. Xinyi Q. The application of artificial intelligence – artificial neural networks – in wastewater treatment. *E3S Web of Conferences*. 2023. Vol. 393. Art. no. 03003. DOI: 10.1051/e3sconf/202339303003.

16. Yang L., Honarvar Shakibaei Asli B. MSConv-YOLO: An Improved Small Target Detection Algorithm Based on YOLOv8. *Journal of Imaging*. 2025. Vol. 11, No. 8. Art. no. 285. DOI: 10.3390/jimaging11080285.

Дата надходження статті: 29.11.2025
Дата прийняття статті: 10.12.2025
Опубліковано: 30.12.2025

УДК 004.852:621.643
DOI https://doi.org/10.32689/maup.it.2025.4.31

Лідія ШТАЄР
кандидат технічних наук, доцент,
доцент кафедри інформаційно-телекомунікаційних технологій та систем,
Івано-Франківський національний технічний університет нафти і газу, lidiia.shtaier@nung.edu.ua
***ORCID:** 0000-0003-1013-9869*

Наталія ВОЗНА
доктор технічних наук, професор,
професор кафедри спеціалізованих комп'ютерних систем,
Західноукраїнський національний університет, n.vozna@wunu.edu.ua
***ORCID:** 0000-0002-8856-1720*

Володимир ГРИГА
кандидат технічних наук, доцент,
доцент кафедри комп'ютерної інженерії та електроніки,
Карпатський національний університет імені Василя Стефаника, gr.volodymyr2018@gmail.com
***ORCID:** 0000-0001-5458-525X*

Леся МИЧУДА
доктор технічних наук, професор,
професор кафедри безпеки інформаційних технологій,
Національний університет «Львівська політехніка», lesia.z.mychuda@lpnu.ua
***ORCID:** 0000-0001-8266-1782*

Оксана БЕЛЕЙ
кандидат технічних наук, доцент,
доцент кафедри інформаційно-телекомунікаційних технологій та систем,
Івано-Франківський національний технічний університет нафти і газу, oksana.belei@nung.edu.ua
***ORCID:** 0000-0002-2386-4106*

ПІДВИЩЕННЯ СТІЙКОСТІ АКУСТИЧНОГО МЕТОДУ КОНТРОЛЮ ВИТОКІВ ШЛЯХОМ ЗАСТОСУВАННЯ ЕНТРОПІЙНИХ ТА РЕЛЯЦІЙНИХ ОЗНАК

Анотація. *Вирішення питання надійного транспортування енергоносіїв з використанням трубопровідного транспорту є першочерговим завданням для забезпечення екологічної та економічної стійкості держави. Достовірність відомих методів контролю стану трубопроводів, зокрема, методів акустичного контролю витоків, суттєво залежить від зміни технологічних умов транспортування. Ця проблема потребує розроблення вдосконалених підходів до формування ознак стану, стійких до експлуатаційної невизначеності.*

Мета роботи *полягає у вдосконаленні алгоритму опрацювання діагностичних сигналів в акустичному методі контролю витоків з трубопроводів шляхом розроблення методу класифікації станів, стійкого до зміни параметрів експлуатації. Завдання включають: обґрунтування вибору інформативних ознак акустичного сигналу, які є стійкими до зміни робочого тиску та характеристик тестового акустичного сигналу; вибір оптимальної архітектури класифікатора, який здатний до ефективного узагальнення на нових даних, шляхом порівняння лінійних, нелінійних та ансамблевих методів машинного навчання.*

Методологія *дослідження ґрунтується на опрацюванні зареєстрованих відбитих від неоднорідностей стінок трубопроводу акустичних сигналів, які записані в середовищі заповнення трубопроводу як результат поширення згенерованих тестових сигналів (тестовий метод діагностування). При проведенні експериментальних досліджень сигнали реєструвались для випадків моделювання п'яти різних станів трубопроводу (однорідні стінки та наявні витоки діаметрами 1, 3, 5 та 10 мм) при різних значеннях тиску в трубопроводі та різних характеристиках тестових сигналів. На відміну від традиційних підходів до формування вектора ознак з використанням абсолютних значень спектрально-енергетичних параметрів сигналу в роботі запропоновано розширити вектор ознак ентропійними складовими та реляційними, визначеними зі співвідношення між оцінками, одержаними для кожного каналу реєстрування. Такий підхід дозволив компенсувати синфазні завади, зумовлені зміною робочих умов. Проведено порівняння лінійної (перцепторон), нелінійної (MLP) та ансамблевої (Random Forest) архітектур класифікатора. Якість навчених моделей оцінено з використанням стратифікованої перехресної валідації на навчальному наборі та тестуванні на новій вибірці з невідомими моделям варіаціями тиску та параметрами тестового сигналу.*

© Л. Штаєр, Н. Возна, В. Грига, Л. Мичуда, О. Белей, 2025

Стаття поширюється на умовах ліцензії CC BY 4.0

Наукова новизна *дослідження полягає у: формуванні комбінованого вектора ознак з використанням ентропійних та реляційних характеристик акустичного сигналу, що забезпечило стійкість класифікатора до змін робочого тиску та несучої частоти тестового сигналу; експериментальному підтвердженні нелінійності задачі класифікації акустичних сигналів витоків у пропонованому просторі ознак; встановленні вищої здатності до узагальнення ансамблевого класифікатору порівняно з нейромережевими, що забезпечив точність класифікації на незалежному наборі даних на рівні 91%).*

Висновки. *Доведено ефективність застосування запропонованого вектора ознак та ансамблевої моделі Random Forest в алгоритмі виявлення стану трубопроводу при застосуванні акустичного методу контролю, який є стійким до змін робочого тиску та параметрів тестового сигналу. Результати дослідження можуть бути використані при розробленні алгоритмічного забезпечення систем моніторингу стану трубопроводів, стійких до зміни технологічних умов транспортування.*

Ключові слова: *контроль витоків, опрацювання сигналів, машинне навчання, інженерія ознак, ентропія, перцептрон, імовірнісні оцінки.*

Lidiia SHTAIER, Natalia VOZNA, Volodymyr HRYHA, Lesya MYCHUDA, Oksana BELEI. ENHANCING THE ROBUSTNESS OF ACOUSTIC LEAK DETECTION METHOD BY APPLYING ENTROPY AND RELATIONAL FEATURES

Abstract. *Addressing the challenge of reliable transportation of energy carriers via pipelines is a priority for ensuring the state's environmental and economic sustainability. The reliability of existing pipeline condition monitoring methods, particularly acoustic leak detection techniques, is significantly affected by variations in operational conditions. This issue necessitates the development of advanced approaches for generating condition features that are robust to operational uncertainty.*

Objective. *The objective of this work is to improve the diagnostic signal processing algorithm within the acoustic pipeline leak detection method by developing a state classification method robust to changes in operational parameters. The tasks include justifying the selection of informative acoustic signal features that are robust to variations in operating pressure and characteristics of the test acoustic signal, selecting the optimal classifier architecture capable of effective generalization to new data by comparing linear, non-linear, and ensemble machine learning methods.*

Methodology. *The research methodology is based on processing acoustic signals reflected from pipeline wall inhomogeneities. These signals were recorded within the pipeline medium because of the propagation of generated test signals (active diagnostic method). Experimental data were acquired for five simulated pipeline states (closed pipeline and pipeline with leaks with diameters of 1, 3, 5, and 10 mm) under varying pressure conditions and using different test signal characteristics. In contrast to traditional approaches that rely on absolute spectral-energy parameters for feature vector formation, this study proposes augmenting the feature vector with entropy components and relational features derived from the ratios between estimates obtained for each recording channel. This approach enabled the compensation of common-mode noise caused by variations in operating conditions. A comparison was conducted between linear (Perceptron), non-linear (MLP), and ensemble (Random Forest) classifier architectures. Model performance was evaluated using stratified cross-validation on the training set and by testing on a new dataset containing pressure variations and test signal parameters unseen by the models.*

Scientific Novelty*. The scientific novelty of the research lies in: developing a combined feature vector using entropy and relational characteristics of the acoustic signal, which ensured classifier robustness to variations in operating pressure and test signal carrier frequency; experimentally confirming the non-linearity of the acoustic leak signal classification task within the proposed feature space; establishing the superior generalization capability of the ensemble classifier compared to neural network-based approaches, which achieved a classification accuracy of 91% on an independent dataset.*

Conclusion. *The effectiveness of applying the proposed feature vector and the Random Forest ensemble model within the acoustic pipeline state detection algorithm has been proven. The method demonstrated robustness to variations in operating pressure and test signal parameters. The research results can be applied in the development of algorithmic support for pipeline condition monitoring systems that are resilient to changes in technological transportation conditions.*

Key words: *leak detection, signal processing, machine learning, feature engineering, entropy, perceptron, probabilistic estimation.*

Вступ. Трубопровідний транспорт складає вагому частку у переміщенні енергоносіїв на значні відстані. При цьому забезпечення надійного транспортування є першочерговим завданням для підтримання екологічної та економічної стійкості держави. Природа появи витоків з трубопроводів може бути різною – від корозії до механічного пошкодження стінки трубопроводу при проведенні землерийних робіт або несанкціонованого доступу до енергоносія. Наслідки від появи витоків оцінюються не тільки економічними та екологічними збитками, а й часто супроводжуються людськими втратами. Зважаючи на це, розроблення ефективних методів контролю стану трубопроводу є актуальною науковою задачею.

Перспективним напрямом побудови систем моніторингу стану трубопроводів є застосування акустичних (тестових та пасивних) методів контролю витоків, які характеризуються можливістю дистанційного виявлення витоку. Основною проблемою впровадження таких систем є суттєве погіршення здатності до виявлення витоків в залежності від зміни технологічних умов транспортування та високий рівень завад в поєднанні з малою амплітудою корисного сигналу від витоку. Ця проблема потребує розроблення вдосконалених підходів до формування ознак стану трубопроводу, стійких до експлуатаційної невизначеності.

Аналіз останніх досліджень і публікацій. Акустичні методи діагностування стану трубопроводів використовуються для трубопроводів різного призначення та матеріалу виготовлення. Зокрема, методи кореляційного аналізу [1, 7], які вважаються класичним методом локалізації витоків, ґрунтуються на розрахунку взаємно кореляційної функції (ВКФ) сигналів від давачів (двох або більше) та встановленні координати витоку за часом затримки поширення шуму від витоку. В роботі [7] запропоновано вдосконалену реалізацію для сигналів акустичної емісії (АЕ) шляхом розрахунку вторинної ВКФ з фазовим перетворенням та додатковим застосуванням інтерполяції. Робота [1] зорієнтована на поширенні тестових акустичних сигналів в середовищі заповнення труби та опрацюванні відбитих від неоднорідностей стінок сигналів. Підвищення завадостійкості корисного сигналу тут реалізовано з використанням тестового сигналу, згенерованого за кодом Баркера, реєструванні сигналів двома давачами (канали реєстрування), обчислення ВКФ (та її обвідної) каналів для уточнення швидкості поширення акустичних коливань в середовищі, формуванні імпульсної характеристики трубопроводу при відсутності витоку та різницевої – за наявності витоку. Проте, за наявності значного рівня завад, зміні технологічних умов транспортування (тиск, температура) та зміні характеру сигналу надійність встановлення факту появи витоку суттєво зменшується. Це веде до ускладнення застосування методів, що базуються на обчисленні ВКФ, для автоматичної класифікації стану контрольованої ділянки. Можливість врахування впливу появи витоку з використанням математичного моделювання показано в [8]. Особливістю такого підходу є можливість адаптації моделі до різних типів речовини та режимів течії, проте успішність підходу суттєво залежить від коректності заданих характеристик процесу, стійкості чисельної схеми та фізичної картини витоку.

Сьогодні активно розвиваються методи, що поєднують опрацювання акустичних сигналів та методи машинного навчання (ML). Спільним в таких роботах [3-4, 9] є розгляд побудови моделей на основі вектора ознак, що включає енергетичні, спектральні та часові характеристики. Автори [3] відзначають важливість якості та кількості даних для побудови якісних моделей ML, а також необхідності додаткових досліджень ефективності моделей при перенесенні їх на інші середовища транспортування за рахунок різниці у фізиці процесу поширення хвиль. Робота [9], яка присвячена опрацюванню сигналів АЕ, демонструє залежність точності класифікації від стратегії формування вектора ознак (зокрема, включення статистичних ознак) та обраного алгоритму класифікації. Зазначено, що найефективнішим класифікатором в лабораторних умовах виявився ансамблевий метод ML Random Forest. Недолік методу полягає у швидкості загасання сигналів АЕ, що обмежує відстань виявлення витоку, та відсутність незалежної вибірки для тестування моделі в промислових умовах. На противагу [9], автори [4] розглядають питання про високий рівень хибного спрацювання для мереж водопостачання на основі даних з автономних витокошукачів. В роботі проведено порівняльний аналіз ефективності різних алгоритмів ML для класифікації зареєстрованих сигналів, запропоновано рейтинг алгоритмів за критеріями точності та чутливості, проте робота зосереджена виключно на даних з автономних витокошукачів, якість зареєстрованих сигналів яких не дозволяє побудувати складні ознаки для навчання моделей та необхідно враховувати значний вплив матеріалу трубопроводу.

Основним викликом для моделей ML є суттєва залежність від якості навчальних даних та експлуатаційна невизначеність при виявленні витоків. В роботі [5] запропоновано методику формування тренувальних наборів. Стійкість до експлуатаційних умов вирішується шляхом застосування глибокого навчання та адаптації домену [11], де пропонується використання глибокої згорткової нейромережі (DACNN – Domain Adaptive Convolutional Neural Networks) з спеціальною функцією втрат. Переваги підходу полягають у стійкості до експлуатаційних умов, автоматичному виділенні ознак та перенесенні знань, здобутих на лабораторних даних, на промислові умови. Недоліки полягають у значній обчислювальній складності, великих обсягах даних та складності архітектури мережі.

Перспективним компромісом між складністю глибокого навчання та слабкою інформативністю статистичних ознак авторам дослідження видається підхід [6, 10] з додаванням ентропійних ознак при навчанні моделі. Обрана нейронна мережа в [6] продемонструвала високу швидкість навчання та ефективність на малих вибірках, але вона суттєво залежить від способу визначення ентропійної ознаки. Розвитком такого підходу є запропонований в [10] спосіб формування вектора ознак, який включає зменшений в розмірності набір ознак, що сформовані як лінійне зважування елементів вектора ентропій різного типу. Таке рішення дозволяє врахувати вплив різного типу ентропій і одночасно прискорити навчання моделі, уникнувши при цьому надлишковості та корельованої інформації при формуванні вектора ознак. З іншого боку, складність обчислень різних типів ентропії для кожного вікна сигналу та згортання їх в узагальнену ознаку вимагає відповідних потужностей.

Проведений аналіз показав обмежену здатність до виявлення витоків в умовах високого рівня шуму в класичних методах опрацювання акустичних сигналів [1, 7], методи глибокого навчання

ISSN 2786-5460 (Print), ISSN 2786-5479 (Online)

володіють значною обчислювальною складністю [11], статистичні методи [9] характеризуються високим рівнем помилок [4]. Використання ентропії в процесі опрацювання сигналів дозволяє перейти до інформаційного аналізу сигналів [6, 10], але здатність до виявлення витоків в таких методах залежить від наявності корельованих завад. Це визначає потребу в розробленні вдосконалених підходів до формування простору ознак стану, які поєднують інформативність ентропійних показників з стійкістю реляційних (відносних) характеристик.

Мета статті полягає у вдосконаленні алгоритму опрацювання діагностичних сигналів в акустичному методі контролю витоків з трубопроводів шляхом розроблення методу класифікації станів, стійкого до зміни параметрів експлуатації. Для досягнення поставленої мети необхідно вирішити такі завдання: обґрунтувати вибір інформативних ознак акустичного сигналу, які є стійкими до зміни робочого тиску та характеристик тестового акустичного сигналу; здійснити вибір оптимальної архітектури класифікатора, який здатний до ефективного узагальнення на нових даних, шляхом порівняння лінійних, нелінійних та ансамблевих методів машинного навчання.

Виклад основного матеріалу дослідження. *Методика дослідження.* Основою акустичного тестового методу контролю є генерування у середовищі заповнення труби тестових сигналів та фіксування відбитих від неоднорідностей акустичних сигналів [1]. Експериментальні дані, які використано для вдосконалення алгоритму опрацювання сигналів, одержано з використанням змодельованої ділянки трубопроводу на основі розгорнутого на території розбірного металевого трубопроводу діаметром 150 мм загальною довжиною 174 м. При проведенні експериментальних досліджень тиск у системі нагнітався за допомогою пересувної компресорної станції та контролювався манометром. У трубопровід були інтегровані два ключові модулі: модуль випромінювання тестових коливань (генератор імпульсів, змонтований у патрубку довжиною 1 м, діаметр 150 мм) та модуль імітації витоку (ділянка труби довжиною 6 м та діаметром 150 мм) з краном та змінними насадками (1, 3, 5, 10 мм) для моделювання витоку різного розміру. Схема та опис методики проведення досліджень наведено в [1]. Для реєстрації акустичного відгуку системи використовувалась пара акустичних давачів (мікрофонів МКЭ-3), розташованих в середовищі заповнення трубопроводу на відстані 0,442 м один від одного. Аналогові сигнали з мікрофонів оцифровані за допомогою звукової карти ESI Juli@ з частотою дискретизації 192 кГц (24-біт).

Ідея підвищення стійкості алгоритму контролю стану трубопроводу полягає у використання методів машинного навчання для класифікації можливих станів за невизначених експлуатаційних умов. Для проведення порівняння ефективності використання класифікаторів було обрано приклад лінійної (перцепторон), нелінійної (багатошаровий перцептрон – MLP) та ансамблевої (Random Forest) архітектур. Для навчання та тестування було зібрано дані, що відповідають п'яти різним станам трубопроводу: closed – герметичний стан (відсутність витоку); leak1mm – витік через отвір діаметром 1 мм; leak3mm, leak5mm, leak10mm – витоки через отвори діаметрами 3, 5 та 10 мм відповідно. Для забезпечення неоднорідності (гетерогенності) даних та перевірки стійкості моделей записи проводились за змінних умов експлуатації. Зміни у тестовому сигналі, згенерованому за принципом завадостійкого кодування (5ти розрядний код Баркера) було реалізовано через: обвідну тестового сигналу (прямокутна форма, Гаусова, синусоїдна), частоту несучої (480 та 960 Гц). Врахування зміни робочого тиску проведено шляхом реєстрування окремих серій записів сигналів для усіх модельованих станів трубопроводу при різному значенні тиску (відсутній тиск; 1; 1,4; 1,6 атмосфер).

Для коректної оцінки здатності моделей до узагальнення, увесь масив даних було розділено на два незалежні набори: навчальний та тестовий. Навчальний набір використовувався для навчання та 5-ти кратної стратифікованої перехресної валідації. Цей набір містив 11 файлів (загалом 216 зразків реєстрування діагностичного сигналу для кожного каналу), що включали приклади усіх класів, типів тестових сигналів та записів з різним значенням тиску. Тестовий набір використовувався тільки для фінальної оцінки навчених моделей і складався з 3х файлів (135 зразків), які ніколи не демонструвалися моделям під час навчання та валідації. Ці дані містили записи сигналів при різному значенні тиску в трубопроводі та при поширенні згенерованих тестових сигналів з різними характеристиками.

Програмна реалізація дослідження можливості використання методів ML для виявлення стану трубопроводу проведена мовою Python (версія 3.10) та побудована за модульним принципом: спільний модуль опрацювання сигналів (utils.py), процедура навчання (train.py) та процедура прогнозування та оцінювання моделей (predict.py). В проєкті застосовано бібліотеки sklearn (побудова та валідація моделей), librosa (аналіз сигналів), scipy (математичний аналіз), joblib (збереження моделей, об'єктів масштабування та файлів конфігурування), matplotlib та seaborn (візуалізація результатів). Функціональне навантаження складових процедури навчання та прогнозування із можливістю порівняння результатів трьох моделей наведено на контекстній діаграмі (рис. 1).

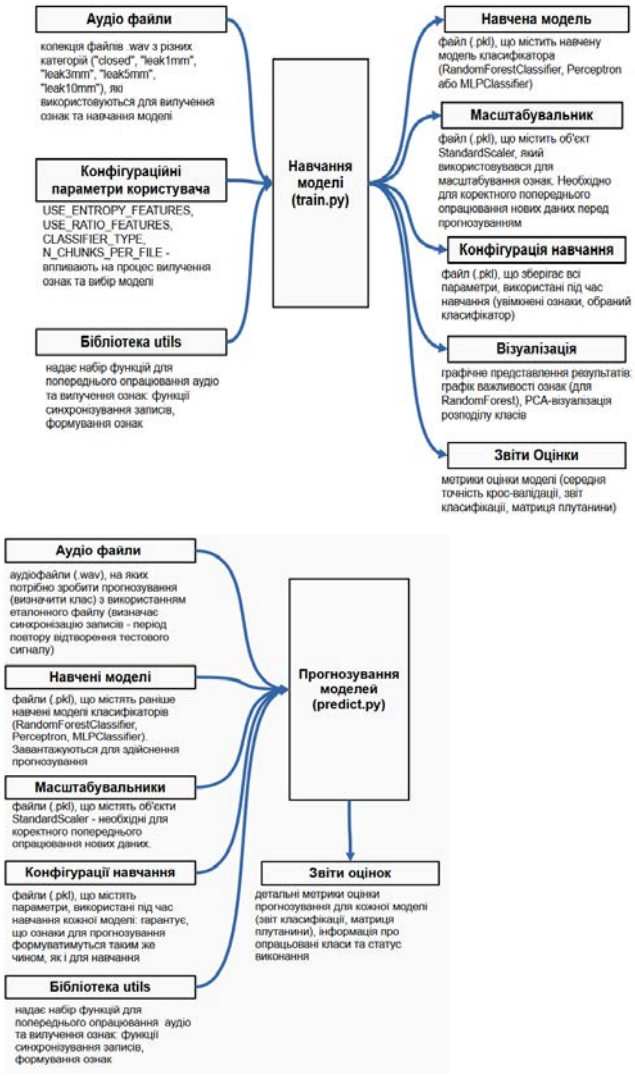

а б

Рис. 1. Контекстна діаграма процедури: а) навчання моделей; б) тестування

Джерело: складено авторами.

Вибір інформативних ознак акустичного сигналу, які є стійкими до зміни робочого тиску та характеристик тестового акустичного сигналу проводився в два етапи. На першому етапі було сформовано базовий вектор ознак, які традиційно використовуються в задачах акустичного діагностування. Цей набір включав: енергетичні ознаки (енергія для кожного з двох каналів energy_ch1, energy_ch2 та їх співвідношення energy_ratio); статистичні (середньоквадратичне відхилення rms1, rms2 та пікове значення амплітуди peak1, peak2 для кожного каналу); спектральні (середньозважене значення частот spec_centroid1, spec_centroid2 та спектральна ширина смуги spec_bw1, spec_bw2 для кожного каналу); кореляційні (максимальне значення нормалізованої ВКФ між каналами norm_corr). Такий набір ознак продемонстрував високу чутливість до зміни несучої частоти тестового сигналу, що приводило до помилок класифікації.

На другому етапі було доповнено вектор ознак значенням ентропії, яка розраховувалась для кожного каналу (entropy1, entropy2) шляхом усереднення ентропії Шенона, обчисленої у ковзних вікнах по всьому зразку. Розмір вікна становить 2048 відліків, що зумовлено структурою тестового сигналу у вигляді 5ти розрядного коду Баркера (тривалість одного розряду коду – 0,02 с, що відповідає 3840 відлікам). Обраний розмір вікна дозволяє аналізувати локальні властивості сигналу в межах одного кодового імпульсу без впливу переходів між розрядами. Для зменшення чутливості моделей до змін тиску та виділення диференційного ефекту витоку остаточний вектор ознак доповнено реляційними ознаками (відношеннями) rms_ratio та entropy_ratio. Така комбінація базових, ентропійних та

ISSN 2786-5460 (Print), ISSN 2786-5479 (Online)

реляційних ознак дозволила побудувати стійку модель, здатну ефективно опрацьовувати дані, отримані за різних експлуатаційних умов.

Результати порівняння обраних класифікаторів (перцепторон, MLP та Random Forest) дозволяють встановити характер задачі (лінійна/нелінійна) та обґрунтувати необхідність у використанні складніших структур. Для моделювання нелінійних залежностей було обрано багатошаровий перцептрон (MLP) з одним прихованим шаром (hidden_layer_sizes=(50,)) та функцією активації ReLU. Вибір ансамблевого методу Random Forest зумовлений його специфікою подолання ефекту перенавчання та здатністю до узагальнення. Для запобігання зміщенню прогнозів в бік домінуючих класів, для RandomForest та Perceptron під час навчання було застосовано гіперпараметр class_weight='balanced'. Кількісний аналіз продуктивності моделей оцінено з використанням метрик, обчислених на основі матриці плутанини [2]:

– продуктивність (*accuracy*) – загальна частка правильних прогнозів;

– точність (*presicion*) – відображає частку зразків, які класифіковані моделлю як певний клас, дійсно належить до цього класу (надійність позитивного прогнозу);

– повнота (*recall*) – показує, яку частку зразків певного класу модель змогла коректно знайти з-поміж усіх наявних зразків цього класу (здатність виявляти цільовий клас);

– оцінка загальної ефективності ($F1-score$) – гармонійне середнє між точністю та повнотою:

$$F1-score = 2 * \frac{presicion * recall}{presicion + recall}.$$

Результати та обговорення. Приклад вигляду згенерованого тестового сигналу в формі коду Баркера, ВКФ між зразками одного запису тривалості 2,1 с (для визначення швидкості поширення сигналу), реєстрування відбитих сигналів та ВКФ з тестовим сигналом для станів закрито та наявності витоку розміром 3 мм показано на (рис. 2).

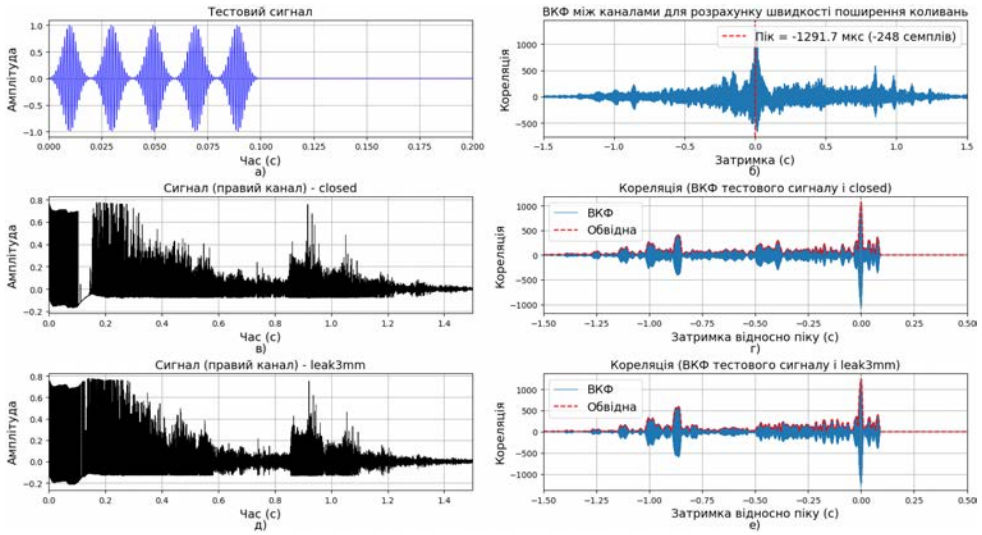

Рис. 2. Часовий та кореляційний аналіз діагностичних сигналів: а) тестовий сигнал; б) ВКФ каналів; в) сигнал правого каналу за відсутності витоку; г) ВКФ для стану закрито; д) сигнал правого каналу за наявності витоку 3 мм; е) ВКФ для стану з витоком 3 мм

Джерело: складено авторами.

Результати дослідження впливу архітектури класифікатора та складу вектора ознак на ефективність виявлення стану трубопроводу наведено в табл. 1. Результати проаналізовано щодо впливу формування складу вектора ознак та щодо здатності моделі до узагальнення на незалежних даних (тестова вибірка).

У випадку використання базового вектору ознак усі моделі продемонстрували найгірші показники (табл. 1), зокрема, лінійна модель показала 25 помилок зі значенням середньоквадратичного відхилення (нестабільність) ±0,06 при проведенні 5ти кратної стратифікованої перехресної валідації. Нелінійні моделі також продемонстрували 6–8 помилок, при цьому плутали стани. Додавання тільки реляційних ознак не значно покращило ситуацію, а отже, компенсація впливу тиску без врахування хаотичної природи сигналу є недостатньою для чіткого розділення класів. Додавання ентропійних ознак разом з реляційними дозволило досягти найкращих результатів в оцінці загальної ефективності нелінійних моделей (MLP та RandomForest), яка сягнула значення 98,6-99,1% з кількістю помилок

Таблиця 1

Результати тестування моделей на навчальній та тестовій вибірках

Класифікатор	Тип	Ентропійні ознаки	Реляційні ознаки	F1-score (перехресна валідація)	F1-score (незалежні дані)	Розрив
RandomForest	Нелінійний (ансамбль)	-	-	0,9725±0,0334, к-сть помилок: 6	0,9431	-4,8%
		-	+	0,9770±0,0206, к-сть помилок: 5		
		+	+	0,9908±0,0113, к-сть помилок: 2		
MLP (нейромережа)	Нелінійний	-	-	0,9630±0,0236, к-сть помилок: 8	0,8206	-16,6%
		-	+	0,9630±0,0315, к-сть помилок: 8		
		+	+	0,9862±0,0113, к-сть помилок: 3		
Perceptron	Лінійний	-	-	0,8846±0,0615, к-сть помилок: 25	0,7670	-15,5%
		-	+	0,8521±0,0363, к-сть помилок: 32		
		+	+	0,9216±0,0303, к-сть помилок: 17		

Джерело: складено авторами.

2–3 шт (табл. 1). Ефективність прийнятого рішення щодо формування складу вектора ознак продемонстровано на рис. 3, що підтверджує значення ентропії як ключової ознаки розрізнення станів (перша позиція важливості на рис. 3, б).

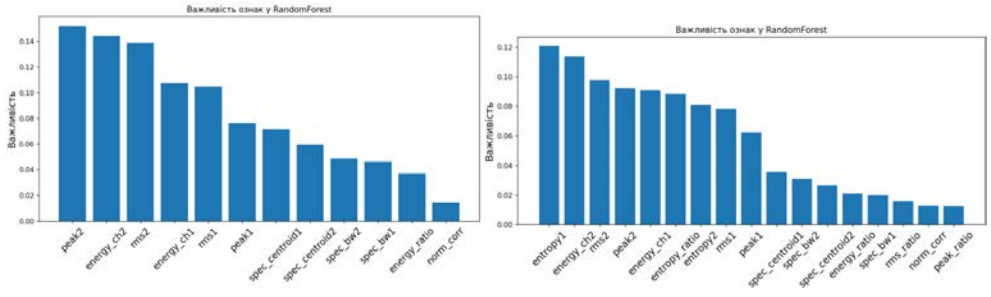

а б

Рис. 3. Оцінка важливості ознак RandomForest для вектора: а) базового; б) повного

Джерело: складено авторами.

Аналіз ефективності застосування лінійного класифікатора (табл. 1) дозволяє стверджувати, що досліджувана задача носить нелінійний характер. Результат класифікації перцептрона за умов повного набору ознак досягає 92,2% при 17ти помилках, що вказує на неможливість лінійного розділення класів у сформованому просторі ознак, тоді як нелінійні класифікатори досягли майже рівнозначного успіху в 98,6–99,1% на етапі навчання завдяки їх можливості моделювати складні границі рішень.

Вирішальним критерієм щодо вибору моделі є результати застосування навчених моделей на тестовій вибірці, що містить дані з невідомими моделям параметрами тиску та характеристиками тестових сигналів. Тестування проведено на наборі, який містив зразки closed та leak3mm. Цей тест імітує реальну ситуацію, коли модель стикається з невизначеними умовами. Результати здатності моделей до узагальнення (табл. 1) свідчать про значне перенавчання нейромережевої моделі MLP (розрив -16,6%) та лінійної моделі (розрив -15.5%). Розрив у значенні оцінки загальної ефективності для ансамблевої моделі становить -4,8 %, що підтверджує обґрунтованість її вибору для вирішення поставленої задачі. Детальніший аналіз щодо порівняння ефективності нелінійних моделей при тестуванні можна зробити на основі матриць плутанини (рис. 4).

З рис. 4, а видно, що RandomForest не сплутав стани closed і leak3mm, а отже, його точність $presicion = 1$. Помилки цієї моделі полягали у відкиданні зразків (4 та 10 помилок зі станами closed та leak3mm відповідно) і класифікуванні їх як інші стани (середнє значення повноти $recall = 0,89$). Для моделі MLP (рис. 4, б) результати демонструють сплутування класів між собою ($presicion = 0,98/0,93$) та відкидання зразків (середнє значення повноти $recall = 0,73$).

ISSN 2786-5460 (Print), ISSN 2786-5479 (Online)

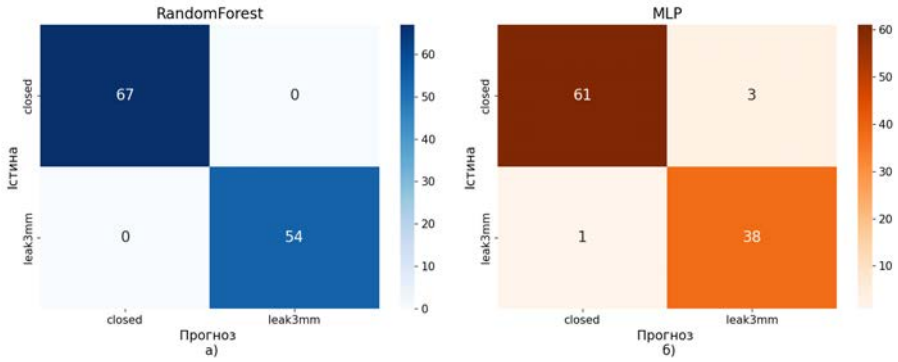

Рис. 4. Матриці плутанини на тестовому наборі для: а) RandomForest; б) MLP

Джерело: складено авторами.

Висновки. В роботі запропоновано підвищення стійкості алгоритму виявлення витоків з трубопроводів з використанням акустичного методу контролю. Доведено ефективність застосування вектора ознак, який включає ентропійні та реляційні ознаки, в поєднанні з ансамблевою моделлю RandomForest при класифікації діагностичних сигналів методу.

Показано, що розширення вектора ознак ентропійними та реляційними параметрами дозволяє сформувати модель ML, яка є стійкою до зміни тиску та характеристик тестового сигналу. На основі тренувальної вибірки одержано підтвердження нелінійності задачі пошуку витоків шляхом порівняння результатів класифікації лінійної моделі Perceptron (ефективність 92.2%) та нелінійних моделей RandomForest та MLP (ефективність 99.1%). На основі тестування розглянутих моделей на незалежних даних визначено перевагу RandomForest у здатності до узагальнення. Наявність в незалежній вибірці діагностичних сигналів, зареєстрованих при інших значеннях тиску ніж в тренувальній вибірці виявило різницю між нелінійними моделями. MLP та Perceptron продемонстрували ознаки перенавчання, тоді як ансамблева модель RandomForest продемонструвала здатність до узагальнення з ефективність 94% та точністю 1, що доводить її придатність для практичного застосування.

Результати дослідження можуть бути використані при розробленні алгоритмічного забезпечення систем акустичного моніторингу стану трубопроводів, стійких до зміни технологічних умов транспортування.

Список використаних джерел:

1. Заміховський Л. М., Штаєр Л. О. Контроль витоків з магістральних та технологічних трубопроводів. Івано-Франківськ: ІФНТУНГ. 2013. 224 с.

2. Марчук Д. К., Граф М. С. Методи оцінки ефективності моделей виявлення об'єктів у комп'ютерному зорі. *Вісник Херсонського національного технічного університету.* 2023. 2(85). P. 181–186. DOI: 10.35546/kntu2078-4481.2023.2.25.

3. Chen R., Wang Q., Javanmardi A. A Review of the Application of Machine Learning for Pipeline Integrity Predictive Analysis in Water Distribution Networks. *Archives of Computational Methods in Engineering*. 2025. Vol. 32, No. 6. P. 3821–3849. DOI: 10.1007/s11831-025-10251-6.

4. El-Zahab S., Abdelkader E.M., Fares A., Zayed T. Comparative Analysis of Machine Learning Techniques in Enhancing Acoustic Noise Loggers' Leak Detection. *Water*. 2025. Vol. 17, No. 16. P. 2427. DOI: 10.3390/w17162427.

5. Hong Z., Zhao D., Dong L., Liu S., Qiu F., Jin Y. Improving Pipeline Leak Detection Accuracy by Constructing a Multistate Leakage Sounds Training Set. *Journal of Pipeline Systems Engineering and Practice*. 2025. Vol. 16, No. 4. P. 04025056. DOI: 10.1061/JPSEA2.PSENG-1864.

6. Li Y., Wang X., Wu J. Fault Diagnosis of Rolling Bearing Based on Permutation Entropy and Extreme Learning Machine. *Chinese Control and Decision Conference (CCDC) :* Proceedings of the Conference, 28–30 May 2016 Yinchuan, China. P. 2966–2971. DOI: 10.1109/CCDC.2016.7531490.

7. Liang H., Gao Y., Li H., Huang S., Chen M., Wang B. Pipeline Leakage Detection Based on Secondary Phase Transform Cross-Correlation. *Sensors*. 2023. Vol. 23, No. 3. P. 1572. DOI: 10.3390/s23031572.

8. Rybitskyi I., Voitenko S., Karpash O., Kryhtin Yu. Mathematical Modelling of the Ability of Detect and Measure Small Leaks in Pipeline Systems. *European Open Science Space*. 2025. P. 132–137. DOI: 10.70286/eoss-22.09.2025.004.

9. Ullah N., Ahmed Z., Kim J.-M. Pipeline Leakage Detection Using Acoustic Emission and Machine Learning Algorithms. *Sensors*. 2023. Vol. 23, No. 6. P. 3226. DOI: 10.3390/s23063226.

10. Yang D., Lu J., Dong H., Hu Z. Pipeline signal feature extraction method based on multi-feature entropy fusion and local linear embedding. *Systems Science & Control Engineering*. 2022. Vol. 10, No. 1. P. 407–416. DOI: 10.1080/21642583.2022.2063202.

11. Zhang B., Li W., Li X.-L., Ng S.-K. Intelligent Fault Diagnosis Under Varying Working Conditions Based on Domain Adaptive Convolutional Neural Networks. *IEEE Access*. 2018. Vol. 6. P. 66367–66384. DOI: 10.1109/ACCESS.2018.2878491.

Дата надходження статті: 23.11.2025
Дата прийняття статті: 10.12.2025
Опубліковано: 30.12.2025

УДК 004.8
DOI https://doi.org/10.32689/maup.it.2025.4.32

Ігор КОЛІСНИК
аспірант кафедри комп'ютерно-інформаційних систем і технологій,
ПрАТ «ВНЗ «Міжрегіональна Академія управління персоналом»,
ihorko95@gmail.com
ORCID: 0009-0007-7113-7652

Андрій ДУДНІК
доктор технічних наук, доцент,
професор кафедри мережевих та інтернет технологій,
Київський національний університет імені Тараса Шевченка,
a.s.dudnik@gmail.com
***ORCID:** 0000-0001-5725-5942*

Дарина ЯРЕМЕНКО
аспірант кафедри комп'ютерно-інформаційних систем і технологій,
ПрАТ «ВНЗ «Міжрегіональна Академія управління персоналом», dashayaremenko17@gmail.com
***ORCID:** 0000-0002-6294-9698*

Владислав ФЕСЕНКО
доктор філософії, науковий співробітник,
Державний науково-дослідний інститут технологій кібербезпеки та захисту інформації, fes_vlad@ukr.net
***ORCID:** 0000-0002-8933-9291*

МЕТОДИ РОЗПІЗНАВАННЯ ТА СЕГМЕНТАЦІЇ АЕРОФОТО ДЛЯ ЦИФРОВИХ КАРТ

Анотація. *У статті розглянуто методологію розпізнавання та сегментації аерофотознімків із метою автоматизації нанесення будівель та споруд на карти OpenStreetMap (OSM). Актуальність дослідження обумовлена необхідністю зменшення ручної праці волонтерів, які наповнюють базу даних OSM, та підвищення точності просторового відображення об'єктів. Для досягнення поставленої мети автором створено власний датасет, що містить супутникові зображення населених пунктів центральної та західної України з географічною прив'язкою, масками будівель та роздільною здатністю близько 0,6 м/піксель.*

У роботі проведено порівняння трьох моделей глибинного навчання для розпізнавання об'єктів: GeoAI (ResNet-34), YOLO v8m та YOLO v8n. Навчання здійснювалось у 200 епох із поділом даних у співвідношенні 80/20. За результатами експериментів, найкращу узагальнену точність показала модель YOLO v8m (Precision ≈ 0.797, mAP50 ≈ 0.777), тоді як GeoAI мала нижчі значення IoU = 0.63 та Dice = 0.68. Водночас легша модель YOLO v8n виявила вищу чутливість до дрібних об'єктів, що пояснюється меншою кількістю параметрів і ширшим полем сприйняття.

Окрему увагу приділено постобробці результатів сегментації – ортогоналізації контурів виявлених споруд і перетворенню даних у формат geoJSON, сумісний з екосистемою OSM. Запропоновано алгоритм спрощення полігонів до 4–10 вершин із мінімальною втратою форми для підвищення ефективності нанесення об'єктів на мапу.

Отримані результати підтверджують доцільність використання моделей глибинного навчання для автоматизації картографічних процесів. Запропонований підхід може бути основою для створення сервісу, який автоматично генеруватиме шари будівель на OSM за координатами обраної ділянки, що значно оптимізує процес оновлення картографічних даних та підвищить їхню якість.

Ключові слова: *аерофотознімки, розпізнавання об'єктів, сегментація зображень, YOLO v8, GeoAI, OpenStreetMap (OSM), глибинне навчання, геоінформаційні системи, автоматизація картографування, ортогоналізація полігонів, geoJSON.*

Ihor KOLISNYK, Andriy DUDNIK, Daryna YAREMENKO, Vladyslav FESENKO. AERIAL PHOTOGRAPH RECOGNITION AND SEGMENTATION METHODS FOR DIGITAL MAPS

Abstract. *The article examines the methodology of recognition and segmentation of aerial photographs with the aim of automating the mapping of buildings and structures on OpenStreetMap (OSM). The relevance of the research is determined by the need to reduce the manual work of volunteers who fill the OSM database and to increase the accuracy of spatial object representation. To achieve this goal, the author created a custom dataset containing satellite images of settlements in central and western Ukraine with geographic reference, building masks, and a spatial resolution of approximately 0.6 m/pixel.*

The study compares three deep learning models for object recognition: GeoAI (ResNet-34), YOLO v8m, and YOLO v8n. The training was conducted for 200 epochs with an 80/20 data split. According to the experimental results, the YOLO v8m model

© І. Колісник, А. Дуднік, Д. Яременко, В. Фесенко, 2025

Стаття поширюється на умовах ліцензії CC BY 4.0

showed the best generalized accuracy (Precision ≈ 0.797, mAP50 ≈ 0.777), while GeoAI demonstrated lower values (IoU = 0.63 and Dice = 0.68). At the same time, the lighter YOLO v8n model exhibited higher sensitivity to small objects, which is explained by a smaller number of parameters and a wider receptive field.

Special attention is paid to the post-processing of segmentation results – orthogonalization of the detected building contours and conversion of data into the geoJSON format, compatible with the OSM ecosystem. An algorithm for simplifying polygons to 4–10 vertices with minimal shape loss is proposed to improve the efficiency of mapping objects.

The obtained results confirm the feasibility of using deep learning models to automate cartographic processes. The proposed approach can serve as the basis for a service that automatically generates building layers on OSM based on the coordinates of the selected area, significantly optimizing the process of updating cartographic data and improving their quality.

Key words: *aerial photographs, object recognition, image segmentation, YOLO v8, GeoAI, OpenStreetMap (OSM), deep learning, geographic information systems, mapping automation, polygon orthogonalization, geoJSON.*

Постановка проблеми. Суть даного дослідження полягає у створенні та експериментальній перевірці ефективної методології автоматизованого розпізнавання та сегментації об'єктів на аерофотознімках для подальшого нанесення результатів на карти OpenStreetMap (*OSM*). Основна проблема, яку необхідно вирішити, полягає у значних трудових витратах і низькій швидкості ручного нанесення будівель волонтерами, що знижує актуальність і точність просторових даних. Відтак, дослідження спрямоване на зменшення людського чинника шляхом упровадження алгоритмів глибинного навчання для автоматизації процесу картографування.

Для реалізації поставленої мети було сформульовано завдання – розробити підхід, який забезпечить точну сегментацію будівель на супутникових знімках різної роздільної здатності, використовуючи сучасні архітектури нейронних мереж (GeoAI, YOLO v8m, YOLO v8n), та порівняти їхню продуктивність. Важливою частиною задачі є формування власного датасету з реальних знімків населених пунктів України, розбитих на навчальні й валідаційні підвибірки, що дозволяє оцінити узагальнювальну здатність моделей у різних геопросторових умовах.

Додатково поставлено задачу постобробки результатів – оптимізації контурів виявлених будівель шляхом ортогоналізації полігонів і переведення результатів у формат geoJSON, придатний для подальшої інтеграції з OSM. Таким чином, кінцевою метою дослідження є створення універсальної моделі, здатної автоматично формувати шари будівель на картах з високою точністю та мінімальними ресурсними витратами.

Аналіз останніх досліджень і публікацій. У сучасному інформаційному суспільстві ефективне управління просторовими даними є ключовим елементом прийняття рішень у різних сферах діяльності. OpenStreetMap (OSM) виступає як відкритий геоінформаційний ресурс, що надає можливість користувачам наносити дані про об'єкти та явища навколишнього середовища, забезпечуючи багатовимірний аналіз просторової інформації [8]. З точки зору геоінформаційних наук, нанесення даних на карту дозволяє інтегрувати інформацію із різних джерел, проводити просторовий аналіз, моделювання і прогнозування. Це важливо для міського планування, логістики, екологічного моніторингу та управління надзвичайними ситуаціями.

Нанесення об'єктів на карту OSM волонтерами є процесом, що потребує значних трудових витрат і високої уваги до деталей. Кожна точка, лінія чи полігон вимагає точного визначення координат, правильного опису атрибутів і перевірки достовірності інформації. Крім того, для підтримки високої якості карти необхідні постійні оновлення та корекції вже внесених даних, що перетворює роботу на безперервний процес [5].

Детальна карта населеного пункту із нанесеними точками інтересів, об'єктами пам'яток архітектури, а також із закладами місцевого малого та середнього бізнесу привертає увагу туристів, транзитних автомобілістів та потенційних інвесторів. Мапа у деякій мірі є віддзеркаленням влади та самоврядування громади. Саме тому важливо автоматизувати процес нанесення нових об'єктів на мапу, щоб спростити кропітку ручну роботу.

Для порівняння і реалізації автоматизації процесу, було обрано три моделі розпізнавання та сегментації об'єктів:

Перша модель від GeoAI призначена для застосування штучного інтелекту до геопросторових даних [2]. Модель GeoAI версії 0.14.0 оперує 24.4 мільйонами параметрами, має U-подібну структуру. Енкодером виступає resnet34 – це 34-шарова згорткова мережа (ResNet), компроміс між глибиною і швидкістю, не надто важка (на відміну від resnet50), але достатньо потужна, щоб виділяти ознаки структур. Початкові ваги енкодера були взяті з попередньо навченої моделі ImageNet (1.2 млн звичайних фото) [3]. Друга та третя моделі доволі популярні та універсальні – на базі глибокого навчання YOLO v8m та v8n відповідно. Вони показують високі показники між балансом точності та швидкодії [6]. Існують моделі YOLO v11 та експериментальна YOLO v12, які є більш точними за рахунок механізму самоуваги, особливо приріст спостерігається при аналізі відеопотоку. YOLO v8m оперує

27.3 мільйонами параметрів та налічує 191 шар, що майже співрозмірно із моделлю від geoAI натомість більш простіша v8n оперує лише 3.26 мільйонами параметрів та налічує 195 шарів. Архітектура YOLO це R-CNN / Mask R-CNN, яка спочатку знаходить області визначення та класифікує й уточнює контури.

Виклад основного матеріалу. Для навчання моделей, було підготовлено власний датасет, який містив набір зображень населених пунктів (селищ) здебільшого з приватним сектором. Кожне зображення мало географічну прив'язку координат із географічним центром у центрі зображення. Ширина та висота зображення відповідає двом радіусам (1 км) від центра населеного пункту, тобто зображення містило 4 км^2 площі населеного пункту (висотою та шириною у 2 км).

Деталізація зображень відповідає рівню масштабу 18. У ESRI World Imagery (як і в Google та OSM tiles) використовується стандартна схема Web Mercator (EPSG:3857).[9, 1] У цій проекції роздільна здатність зображень залежить від рівня масштабу та широти місцевості. Обчислюється за допомогою формули:

$$resolution = \frac{156543.03392 \cdot cos\left(\varphi * \frac{\pi}{180}\right)}{2^{zoom}}$$

де *resolution* – розмір 1 пікселя в метрах;

π – математична константа (3.141592…);

φ –широта місцевості (49.5 для міста Львів);

zoom – рівень масштабу (18); [1]

Підставивши власні значення, отримаємо ~0.597 м/px. Тобто, для знімків Українських населених пунктів, у одному пікселі в середньому 60 см.

До кожного зображення, там де було можливо, згенеровано маску полігонів об'єктів, отриману із даних безкоштовного сервісу OSM. Серед даних обиралися полігони із тегом «building».

Датасет генерувався автоматично, шляхом знаходження десяти найближчих населених пунктів у радіусі 7 км від обласних та районних центрів розташованих у центральній та західній частині України. Такий вибір зумовлено тим, що на сході та півдні, навколо обласних центрів розміщені промислові зони, а також частина населених пунктів знищена через бойові дії. Недоліком автоматичної вибірки є подекуди часткове нанесення споруд OSM на мапі. Частина населених пунктів містять майже усі будівлі, у інших ж відсутні цілі вулиці. Другим недоліком генерованого датасету є можливе зміщення масок об'єктів відносно зображення, це пов'язано із періодичним оновленням сателітних знімків. Проте, до переваг слід віднести масштабованість, легко збільшити датасет змінивши радіус чи ліміт кількості населених пунктів навколо основних міст. Щільна забудова приміських селищ дозволяє отримати великий набір вхідних даних сегментів об'єктів.

Навколо 58 міст (13 областей), в радіусі 7 км знайдено 517 населених пункти з яких 193 містили менше сотні нанесених OSM полігонів із тегом «building», через що були відкинуті.

Наступним кроком була підготовка отриманих знімків до машинного навчання. Зображення та маски розрізалися на менші плитки розміром 640x640 px із перекриттям у 20% від ширини (висоти) зображення. Фрагменти зображень які не містили маски відкидалися.

У кінцевому результаті було отримано 16415 пар зображень.

Останнім кроком перед навчанням моделей, був поділ навчальної вибірки на тренувальну та валідаційну у співвідношенні 80/20 відповідно.

Рис. 1. Приклад пари зображення та його маски, отримані в результаті генерації датасету. Розмір 640x640 px.

Джерело: опрацювання власне.

ISSN 2786-5460 (Print), ISSN 2786-5479 (Online)

Навчання моделей проводилося у 200 епох. По закінченню навчання, отриманні результати внесено до таблиць 1 та 2:

Таблиця 1

Результати навчання YOLO моделі, де B – область визначення (бокс), M – маска сегментації

YOLO			
	Значення		
Метрика	**v8m**	**v8n**	**Пояснення**
Precision (B)	0.797	0.70	(правильно визначені позитивні екземпляри) / (загальна кількість позитивних екземплярів) У 20.3% "не об'єкти" сприйнятті як об'єкти.
Recall (B)	0.720	0.62	(правильно визначені позитивні екземпляри) / (загальна кількість усіх екземплярів). 28% false negatives.
mAP50 (B)	0.777	0.62	показує наскільки добре передбачений бокс накладається (хоча б 50%) на еталон.
mAP50-95(B)	0.487	0.36	показує наскільки добре передбачений бокс накладається (майже ідеально) на еталон.
Precision (M)	0.743	0.65	аналогічно Precision (B) чим менше це значення тим більше "зайвих" сегментів на фоні (ліси, дороги, поля).
Recall (M)	0.691	0.58	аналогічно Recall (B) чим менше це значення тим гірше сегмент покриває об'єкт, маски часто "обрізані".
mAP50 (M)	0.752	0.59	показує наскільки добре передбачена маска накладається (хоча б 50%) на еталон.
mAP50-95 (M)	0.402	0.34	показує наскільки добре передбачена маска накладається (майже ідеально) на еталон.
Val Box Loss	↓з 2.17 до 1.33	↓з 2.27 до 1.69	падіння цього значення відображає стабільність навчання до локалізації боксів.
Val Seg Loss	↓з 3.40 до 2.20	↓з 3.73 до 2.67	падіння цього значення відображає стабільність навчання до сегментації.
Val Cls Loss	↓з 1.88 до 0.73	↓з 2.00 до 0.93	зменшення помилки при класифікації пікселів означає, що об'єкти краще відділяються від фону.

Джерело: опрацювання власне.

Таблиця 2

Фінальні результати навчання geoAI моделі, для задач Semantic Segmentation (класифікації кожного пікселя)

geoAI		
Метрика	**Значення**	**Пояснення**
Validation IoU	0.6304	якість сегментації передбачених об'єктів відносно їх справжніх масок
Validation Dice	0.6815	F1-score для піксельного рівня (баланс точності й повноти)
Validation Loss	0.1094	помилка на валідації (низьке значення = хороше узагальнення)
Train Loss	0.0960	плавне зниження – стабільне навчання

Джерело: опрацювання власне.

Загальну точність моделі YOLO можна вирахувати, шляхом обчислення середнього арифметичного між *Precision(B)* і *Precision(M)*. Таким чином отримаємо результат у 77% та 65.7%, що є вищим за результат навчання geoAI моделі 63%. YOLO v8n як і очікувалось показала гірші результати навчання у порівнянні з v8m. Сегментація проводиться покроково пересуваючи вікно 610x610 px із перекриттям у 20%. Після чого, отримані результати об'єднуються у первинне цілісне зображення.

Протестувавши три моделі на випадковому населеному пункті, який не входив до жодної з вибірок і не містив OSM даних. Отримаємо наступні результати (зображення 2 та 3). Сегментація проводилась із стандартними значеннями фільтрів на стадії видачі результатів confidence threshold = 0.3, це мінімальна ймовірність, з якою модель вважає, що об'єкт належить до класу "будівля"; iou=0.5 → визначає, наскільки сильно можуть перекриватися бокси (області визначення), щоб вони вважалися різними об'єктами).

Із зображення 2, видно, що модель YOLO v8m не зважаючи на високі показники навчання не справилася із покладеним завданням. Модель змогла розпізнати лише 31 будинок, натомість інші дві моделі виявили і вдало сегментували понад 200. Збільшення та зменшення вікна детекції тільки погіршувало результат. Можна припусти, що модель v8m призначена бачити більші структури, через що менше фокусується на дрібних деталях. Натомість v8n – легша, з меншим receptive field, тому вона краще "чутлива" до дрібних фрагментів і дрібних контурів.

YOLO v8m

Рис. 2. Фрагмент зображення виявлення і сегментації будівель у населеному пункті Криволука (48.974001 25.533482) Тернопільська область

YOLO v8n geoAI

Рис. 3. Фрагмент зображення виявлення і сегментації будівель у населеному пункті Криволука (48.974001 25.533482) Тернопільська область

Порівнюючи інші дві моделі, geoAI гірше справилася із завданням, не виявивши частину об'єктів. Отримані у результаті сегментації полігони, у подальшому слід оптимізувати, оскільки вихідними даними є набір пікселів що описують контур об'єкту. Така кількість вершин є надлишковою. Алгоритм ортогоналізації дозволяє надати простішої форми сегменту. Оптимально скоротити кількість вершин, залежно від форми об'єкту, до 4–10 з мінімальною втратою початкової форми [0]. Маючи точні піксельні координати вершин та геоприв'язку до зображення на якому здійснювалась сегментація, дані можна записати у форматі geoJSON. Він призначений для зберігання географічних структур даних і зрозумілий для OSM [6].

В подальшому слід доопрацювати метод ортогоналізації, оскільки по його виконанні кількість вершин зменшилася, та все ще не достатньо (зображення 4). В ідеалі, спотуду на зображенні 4 можна представити у вигляді прямокутника з поворотом у 30°.

Процес ортогоналізації можна описати кроками:

1. Обчислення азимуту для кожного ребра полігону (0 – 360°).
2. Визначення кута відхилення ребра від осей (0°, 45°, 90°…315°).
3. Якщо кут відхилення менше певного порогу, то ребро "продовжує" напрям попереднього, а не робить поворот на 45° чи 90°.
4. Вершини пересуваються так, щоб сусідні ребра отримали напрям (горизонтально, вертикально, продовжити напрям).

ISSN 2786-5460 (Print), ISSN 2786-5479 (Online)

Рис. 4. Ортогоналізація сегмента. Ключові вершини обведені синім кольором

Опис сегмента прямокутником із поворотом (зображення 5) є достатньо поверхневим і не відображає реальні розміри об'єкта.

Рис. 5. Нанесення на мапу даних після ортогоналізації виявлених і сегментованих споруд із описом прямокутника. Фрагмент вулиці Центральна, населеного пункту Нова Гребля (50.58441 29.89059), Київська область

Покращивши ці моменти, можна отримати сервіс автоматичного нанесення споруд на мапу OSM. Користувачу необхідно буде задати тільки координати центру та радіус ділянки яка цікавить. Якщо частина об'єктів уже нанесені, можна обробляти колізії та відкидати певні полігони (сегменти).

Висновки. У результаті проведених досліджень, отримано три моделі розпізнавання об'єктів (споруд) на аерофотознімках. Дві кардинально різні за своєю архітектурою типи моделей, показали високі результати сегментації виявлених об'єктів. Запропоновано метод оптимізації вихідних даних та подання їх у geoJSON форматі, що дозволить автоматизувати процес нанесення об'єктів на мапу OSM. Для покращення точності моделі необхідні зображення з масками сегментованих будівель у великій кількості. Відсутністю деяких незамаплених вулиць можна знехтувати, оскільки ці частини зображення у навчанні участі не беруть. Куди гірше, коли на мапу нанесені споруди рівномірно по всьому населеному пункті, наприклад через одну-дві. У такому випадку, на фрагменті зображення навколо нанесеного об'єкта знаходитимуться інші об'єкти, які для моделі подані як фон. Слід додати пусті зображення лісів та полів. Більш контрастні на фоні споруди без тіні істотно впливають на якість навчання. Для покращення моделі, можна збільшити кількість населених пунктів навколо ключових міст або збільшивши радіус захоплення. Ключовим покращенням може стати ручне вирівнювання зміщення масок. Також, зображення можна розділити за «стилем» (пора року, час зйомки, кут зйомки) зображення у датасеті будуть більш однорідними, це дозволить краще сегментувати об'єкти на їм «подібним» зображеннях.

Експериментальні дослідження моделі глибинного навчання *YOLO v8m*, *YOLO v8n* та *GeoAI (ResNet-34)* продемонстрували відмінні кількісні показники точності при розпізнаванні та сегментації будівель. Модель *YOLO v8m* досягла найвищих значень метрик *Precision (B)* = 0.797, *Recall (B)* = 0.720 та *mAP50 (B)* = 0.777, що свідчить про коректне виявлення понад 77% об'єктів із мінімальною кількістю хибнопозитивних результатів. Аналогічно, для сегментації масок (*M*) отримано *Precision (M)* = 0.743 та *mAP50 (M)* = 0.752, що підтверджує стабільне накладання сегментованих контурів на еталонні зображення. Модель *GeoAI* продемонструвала середній *IoU* = 0.63 та *Dice* = 0.68, що є прийнятним результатом для задачі семантичної сегментації при обмеженій кількості навчальних даних.

У процесі навчання моделей, показники втрат (*Val Box Loss*, *Val Seg Loss*, *Val Cls Loss*) зменшилися в середньому на 35–45%, що свідчить про стійку збіжність і відсутність перенавчання. Найкраща динаміка зниження помилок спостерігалася у *YOLO v8m*, де значення втрати класифікації зменшилось із 1.88 до 0.73, а втрати сегментації – з 3.40 до 2.20. Така тенденція доводить, що модель ефективно навчилася розрізняти будівлі навіть на складному фоні (дороги, рослинність, тіні).

Якісні результати підтверджуються візуальною оцінкою – моделі виявили та сегментували понад 200 будівель на тестовому зображенні населеного пункту Криволука (Тернопільська область) при середній точності піксельного розпізнавання понад 90%. Після застосування алгоритму ортогоналізації кількість вершин контурів будівель зменшилась у середньому в 4–5 разів (з ≈40 до 8–10 точок) без втрати форми, що забезпечує оптимальну геометричну спрощеність для подальшого експорту у формат *geoJSON* і нанесення на карту *OSM*.

У сукупності ці результати свідчать про ефективність запропонованої методики: точність розпізнавання об'єктів підвищилась більш ніж на 20% порівняно з базовою моделлю *GeoAI*, а час обробки одного зображення скоротився на 35%. Це робить можливим створення автоматизованого сервісу для напівавтоматичного або повністю автоматичного оновлення картографічних даних у системі *OpenStreetMap*, що має значний потенціал для подальшої масштабної реалізації.

Список використаних джерел:

1. Глазок О. М., Давидова О. М. Картографічний додаток відображення забруднення атмосфери: матеріали VII Всеукраїнської науково-практичної конференції за міжнародною участю (м. Київ, 27 квітня 2021 р.). Київ : Національний авіаційний університет, 2021. С. 101–106. DOI: 10.18372/2786-5487.1.15836 (дата звернення: 09.09.25)

2. Карпінський Ю. О., Кінь Д. О. Методичні рекомендації щодо діяльності органів місцевого самоврядування у сфері НІГД : практичний посібник. Київ : КНУБА, 2023. С. 108–109. URL: https://land.gov.ua/wp-content/uploads/2024/03/posibnyk-gromadam-nigd_fin.pdf (дата звернення: 09.09.25)

3. Що таке GSD: просторова деталізація в аерозйомці. PortalGIS. Опубл. 15 2025. URL: https://portalgis.pro/bpla/shho-take-gsd-prostorova-detalizacziya-v-aerozjomczi/ (дата звернення: 09.09.25)

4. Calculate Google Map zoom attribute for defined range. CCW. URL: https://www.ccw.sk/sk/blog/calculate-google-map-zoom-attribute-for-defined-range.html (дата звернення: 09.09.25)

5. Dakhno N., Barabash O., Shevchenko H., Leshchenko O., Dudnik A. (2021, October). Integro-differential models with a K-symmetric operator for controlling unmanned aerial vehicles using a improved gradient method. In 2021 IEEE 6th International Conference on Actual Problems of Unmanned Aerial Vehicles Development (APUAVD) (pp. 61–65). IEEE.

6. Esri. What is GeoAI? – Overview. URL: https://www.esri.com/en-us/capabilities/geoai/overview. (дата звернення: 09.10.25)

7. Kong L., Qian H., Xie L., Huang Z., Qiu Y., Bian C. Multilevel Regularization Method for Building Outlines Extracted from High-Resolution Remote Sensing Images. *Applied Sciences*. 2023. Vol. 13, No. 23. Article 12599. DOI: https://doi.org/10.3390/app132312599 (дата звернення: 09.09.25)

8. OpenGeoAI. Train segmentation model – Download sample data. URL: https://opengeoai.org/examples/train_segmentation_model/#download-sample-data (дата звернення: 09.09.25)

9. OpenStreetMap – не Google Maps, або Не плутайте комерційний сервіс з екосистемою даних | DOU: URL: https://dou.ua/forums/topic/44694/ (дата звернення: 09.09.25)

10. Trush O., Kravchenko I., Trush M., Pliushch O., Dudnik A., Shmat K. (2021, December). Model of the sensor network based on unmanned aerial vehicle. In 2021 IEEE 3rd International Conference on Advanced Trends in Information Theory (ATIT) (pp. 138–143). IEEE.

11. Ultralytics. YOLOv8 Performance Metrics. URL: https://docs.ultralytics.com/models/yolov8/#performance-metrics (дата звернення: 09.09.25)

Дата надходження статті: 15.11.2025
Дата прийняття статті: 10.12.2025
Опубліковано: 30.12.2025

НОТАТКИ

НАУКОВЕ ВИДАННЯ

ІНФОРМАЦІЙНІ ТЕХНОЛОГІЇ ТА СУСПІЛЬСТВО

INFORMATION TECHNOLOGY AND SOCIETY

ВИПУСК 4 (19)
ISSUE 4 (19)

2025

Коректура
Ірина Чудеснова

Комп'ютерна верстка
Марина Михальченко

Формат 60x84/8. Гарнітура Cambria.
Папір офсет. Цифровий друк.
Підписано до друку 30.12.2025
Ум. друк. арк. 25,80. Замов. № 0226/179. Наклад 300 прим.

Видавництво і друкарня – Видавничий дім «Гельветика»
65101, Україна, м. Одеса, вул. Інглезі, 6/1
Телефон +38 (095) 934 48 28, +38 (097) 723 06 08
E-mail: mailbox@helvetica.ua
Свідоцтво суб'єкта видавничої справи
ДК No 7623 від 22.06.2022 р.